

N. SULTANOV

# FIZIKA KURSI



N. SULTANOV FIZIKA KURSI

ISBN 978-9943-10-035-0



9 789943 100350

№ 22.3  
8-96

O'ZBEKISTON RESPUBLIKASI OLIY VA O'RTA MAXSUS  
TA'LIM VAZIRLIGI

N.A.SULTANOV

## FIZIKA KURSI

O'zbekiston Respublikasi Oliy va o'rta maxsus ta'lim  
vazirligi tomonidan oliy texnika o'quv yurtlari uchun  
darslik sifatida tavsiya etilgan

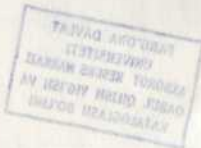
FARG'ONA DAVLAT  
UNIVERSITETI  
AXBOROT RESURS MARKAZI  
QABUL QILISH YIG'ISH VA  
KATALOGLASH BO'LIMI

TOSHKENT - 2007

N. A. Sultanov. Fizika kursi. Oliy o'quv yurtlari uchun darslik. -  
T., «Fan va texnologiya», 2007. 304 bet.

Darslikda oliy texnika o'quv yurtlari uchun tasdiqlangan o'quv dasturi asosida umumiy fizika kursining nazariy asoslari qisqa bayon etilgan. Muallif bu darslikni tayyorlashda o'zining oliy o'quv yurtlarida talabalarga dars berish jarayonida o'rtirgan boy tajribasidan foydalandi. Darslik oliy texnika o'quv yurtlari uchun mo'ljallangan bo'lib, undan shu sohada ishlovchi mutaxassislar ham foydalanishi mumkin.

**Taqrizchilar:** M. Ulug'bek nomli O'zbekiston Milliy universiteti, fizika fakulteti, umumiy fizika kafedrasini mudiri, prof. U. Abdurahmonov;  
Farg'ona Davlat universitetining umumiy fizika kafedrasini professori, f.m., f.d., Beruniy mukofotining laureati B. Otaqulov; «Nazariy fizika» kafedrasini mudiri, f.m., f.d., professor R. Rasulov;  
Farg'ona Politehnika institutining «Elektr yuritma» kafedrasini mudiri, t.f.d., N. Arifov;  
«Fizika» kafedrasini mudiri, fiz-mat f.d., prof. N.X. Yuldashyev, dots. A.X. Haydarov



ISBN 978-9943-10-035-0

© «Fan va texnologiya» nashriyoti, 2007.

## SO'Z BOSHI

Oliy texnika o'quv yurtlari uchun mo'ljallangan ushbu darslikda umumiy fizikaning uslubiy dasturida ko'zda tutilgan nazariy asoslari bayon etilgan.

Fizika kursini qisqa muddatda bir yoki ikki semestr o'qitiladigan yo'nalishlarni inobatga olgan holda uslubiy dastur asosida eng zarur bo'lgan nazariy va amaliy ma'lumotlarni qisqa muddat ichida samarali o'zlashtirib olishga imkon beradigan fizika kursi darsligi zaruriyati tug'ildi.

Shu munosabat bilan tavsiya qilinayotgan «fizika kursi» kichik hajmda (bir tomik) yozilgan va unda oliy matematika bilan eng sodda hisoblar va integralning jadvalidagi berilgan formulalaridagina foydalanilgan solos. Ko'pgina fizikaviy qonuniyatlarning matematik ko'rinishlarini keltirib chiqarishni sodda shaklda berilgan. O'rganilayotgan fizik jarayonlar va hodisalarni yaxshiroq tushunib olish uchun keltirilgan misollar ishlab chiqarishi bilan bog'liq bo'lgan sohalardan olingan.

Ushbu darslikda fizikaviy kattaliklarning faqat bitta birliklar sistemasi (SI) dan foydalanilgan bo'lib, bu birliklar bilan bir qatorda sistemaga kirmaydigan (jir, millimetr, simob ustini, angstrom, elektronvolt va shunga o'xshashlar) berilgan. Taqdim qilinayotgan kitob yetti bo'limga iborat. Birinchi bo'limga klassik mexanika fizik asoslarining sistemali bayoni va nisbiylik nazariyasi asoslari berilgan. Ikkinchi bo'limga, asosan, statistik fizika va termodinamikaga bag'ishlanadi. Uchinchi bo'limga elektrostatika, o'zgarmas elektr toki va elektromagnitizm o'rganiladi. To'rtinchi bo'limga tebranishlar va to'kqinlar, elektromagnit va mexanik tebranishlarni parallel qarab chiqishga bag'ishlanadi. Beshinchi bo'limga to'liq optika va nurlanishning kvant tabiati qarab chiqiladi. Oltinchi bo'limga atomlar, molekular va qattiq jism kvant fizikasi elementlariga bag'ishlanadi. Yettinchi bo'limga yadro va elementar zarrachalar fizikasi bayon etiladi.

Muallif ushbu kitobni yozishda, uning sifatini yaxshilash maqsadida o'zlarining qimmatli fikr va ko'rasmalarini bergan hamda katta yordam ko'rsatgan Farg'ona politehnika instituti «fizika» kafedrasining barcha professor - o'qituvchilariga va yordamchi xodimlariga chuqur minnatdorchilik bildirishni o'zining burchi deb hisoblaydi.

## Darslikni ikkinchi nashriga muallifning so'z boshi

Ushbu ikkinchi nashrda «Fizika kursi» darsligini yangidan qayta ishlandi. Ba'zi paragraflarga qo'shimchalar kiritildi. Birinchi nashrda yo'l qo'yilgan ba'zi kamchiliklar bartaraf qilindi.

Masalan, IV bobni oxiriga 4.4-qilib, «Uzloksizlik Bernulli tenglamasi» mavzusi kiritildi. Chunki 4.2- Energiya. Energiya saqlanish qonuniga bag'ishlanadi. Suyuqliklarda esa energiya saqlanish qonunini bajarilishi Bernulli tenglamasida o'z aksini topadi.

Bulardan tushqari har bir bobni oxirida o'zlashtiruvchi savollar va shu yuqoridagi boblar temalariga muvofiq masalalar yechish namunalari berilgan.

Bularni berilishi, birinchidan, yuqoridagi temalarni mustahkamlash, ikkinchidan, talabalarni shu mavzularga qiziqishini, e'tiborini oltiradi, masalalar yechishga bo'lgan harakatlarini jonlantiradi, qizilishlarini esa kuchaytiradi.

Masala yechish namunalarini berganimizda biz, bizgacha bo'lgan masala

ychish namunalaridagi berilgan fizik kattaliklar bilan, ularning o'Ichov birliklarini aralashirib yuzilishiga yo'l qo'yimadik, ya'ni berilganlarni yozganda, biz avvalo, ularni bir sistemaga keltirib oldik, so'ngra masala yechishga kirishdik. Bu holda son qiymatlari bilan o'Ichov birliklarini ifodalovchi qisqartirilgan harflar (metr - m; kilogrammi - kg; sekundi - s va hokazo) aralashib ketmaydi va fikrni chaqirg'itmaydi.

Bularni e'tiborga olib biz ana shu usulga qat'iy yondashdik va yaxshi natijalar beradi degan umiddamiz.

Masalalar tuzilishda juda murakkab masalalar emas, balki soddadan-murakkabga prinsipini saqlashga harakat qildik. Shuningdek, tanlangan masalalarni berilgan mavzularga mosligi nazarda tutildi va hokazo.

Muallif bu nashrni tayyorlashda ha'zi kamchiliklarni ko'rsatgan va ularni yo'qotishga yaqindan yordam bergan fizika kafedrası professor-o'qituvchilariga va taqrizchilarimiz prof. N.X. Yul'danhyev dots. A.X. Haydarovga o'z minnatdorchiligini bildirishni lozim deb topdi.

## KIRISH

### Fizika fani va uning boshqa fanlar bilan aloqasi

Biz yashab turgan, hayot kechirayotgan g'allaktikamiz (Quyosh va uni atrofida aylanayotgan to'qizta planeta va yulduzlar sistemasi) juda ko'p asrlardan beri mavjud. Yerimiz, tabiatimiz, yetti osmonimiz g'allaktikaning bir bo'lagi bo'lib, tirik organizmlar va odamlar maskani sifatida paydo bo'ldi. Tabiat hodisalarini, jarayonlarini va qonunlarini o'rganish juda qadimdan boshlangan. Tabiat sirilarini, jarayonlarini va qonunlarini o'rganish asosida insoniyat o'zining turmush sharoitini, yashash imkoniyatlarini yaxshilab bordi. Tabiat sirilarini o'rganish o'z navbatida, o'z zamonidagi fikrlı, mulohazalı, ilg'or kishilarni o'ziga tortdi. Qadimgi Yunonistonda tabiat hodisalarini o'rganuvchi tabiiyshunoslik fani vujudga keldi.

Fizika yunoncha so'z bo'lib, «*physis*» - tabiat degan ma'noni anglatadi. Fizika fanini birinchi bo'lib, qadimgi yunon mutafakkiri Aristotel (eramizdan avvalgi 384-322-yil) o'zining kitoblarida bayon etgan. O'sha davrda fizikaning tarkibiga hozirgi kimyo, astronomiya, biologiya, geologiya deb nom olgan bir qator tabiiy fanlar kirgan. Keyinchalik, ular mustaqil fanlar bo'lib ajralib chiqqan, lekin ular o'rtasida keskin chegaralar yo'q, ular doimo bir-birlarini to'ldirib hamisha aloqada bo'ladi. Bu so'zlarni isboti sifatida tabiatdan yangi-yangi hodisalarning kashf qilinishi va ularning amalda qo'llanishi natijasida fizikaviy-kimyo, astrofizika, geofizika, biofizika kabi birlashtirilgan fanlarning vujudga kelishini ko'rsatish mumkin. Shuning uchun fizika - barcha tabiiy va amaliy fanlarning poydevoridir deyish mumkin.

Fizika fanining boshqa fanlar bilan aloqasi ikki tomonlamadir. Bu fanlar fizika asboblari yordamida taraqqiy qilib, yangi fan cho'qqilarini egallashsa, o'zining yutuqlari bilan fizikani ham boyitadi va uni oldiga yangi vazifalar, yangi muammal asboblari yaratishni qo'yadi, shu tariqa o'zi ham, fizika ham rivojlanib boradi.

Masalalan: astronomlarga yangi teleskoplarni yaratib berish, osmon jismlarini mukammalroq o'rganishga, biologlarga elektron mikroskoplarni yaratilishi, hayotni qanday paydo bo'lish sirini ochilishiga olib keldi, ximiklarga spektroskopni yasab berilishi davriy sistemadagi 24 ta elementni kashf etilishiga sabab bo'ldi va hokazo.

Fizika fani rivojlanishida buyuk o'zbek mutafakkir olimlarimizning boy ilmiy meroslarni ham ahamiyati katta bo'lgan. Ayniqsa, Abu Rayhon Beruniyning falsafiy qarashlari, dunyo xaritasini yaratishdagi urinishlari «*Amerika*»-qit'asi berilgani bashorati (Kolumbning Amerikani ochishida asos bo'lgan), shuningdek, Ahmad al-Farg'oniyning Yer meridianini o'lchab chiqishlari, tutash idish quonmidan foydalanib Nil daryosini muvini o'lchab beradigan qurilmani yaratgani (u hozirgacha saqlanganligi), Al-Xorazmiy bilan birgalikda osmon jismlarini o'rganishdagi tadqiqotlari hozirgacha ham o'z qiymatini yo'qotganicha yo'q.

Bizning atrofimizni o'rab olgan moddiy dunyo doimo uzluksiz harakata bo'lgan materiyadan iboratdir. Materiya ikki ko'rinishda namoyon bo'ladi:

1) modda ko'rinishida, masalan, qattiq, suyuq, gazsimon va plazma bolatidagi jismlar.

2) maydon ko'rinishida, masalan, gravitatsion maydon, elektromagnit maydon, yadroviy kuchlar maydoni va boshqalar.

Fizika fani materiyaning tuzilishini va materiya harakatining eng oddiy ko'rinishidan tortib, to eng umumiy ko'rinishlarigacha o'rganadi: mexanik, atom-molekular, gravitatsion, elektromagnit, atom va yadro ichidagi jarayonlar.

Harakat deganda, materiyaning tabiatda bo'ladigan barcha o'zgarishlari, bir turdan ikkinchi turga aylanishlari, barcha jarayonlar tushiniladi.

**Fizikaviy tadqiqot usullari.** Fizika hodisalarini tabiat sharoitida o'rganish kuzatishdan hoshlanadi. Hodisalarini sun'iy ravishda laboratoriya sharoitida amalga oshirish, tajriba o'tkazishni *eksperiment* deb ataladi. Eksperimentni kuzatishga qaraganda, bir qator afzal tomon bor, chunki tabiiy sharoitlarda biror hodisa ro'y bersh uchun sukutlab, oylab, hatto, yillab kutishga to'g'ri keladi. Laboratoriya sharoitida esa bu hodisani xohlagan qisqa vaqtda amalga oshirish mumkin.

Kuzatish va tajriba natijalaridan hodisani tushuntirish uchun muolajaza va mantiqiy umumlashtirishlar asosida *gipoteza* (limiy faraz) lar yaratiladi. Agar gipoteza eksperimentda tasdiqlansa, u haqiqiy fizik nazariyaga aylanadi, aks holda gipoteza sinovdan o'tmagan gipotezaligicha qoladi.

**Fizik nazariya** atrofimizda sodir bo'layotgan bir qator hodisalarini, ularning mexanizmi va qonuniyatlarini tushuntira olishi kerak. Eksperiment asbob - uskunalarini zamonaviylashtirish va o'sishi bilan yangi hodisalar kashf etiladi, bu esa o'z navbatida yangi fizik nazariyalar yuzotishini taqozo qiladi.

**Fizik kattaliklarni o'lchash** uchun o'lchov birliklari tanlab olinadi. O'lchash mumkin bo'lgan fizik kattaliklarning birliklari etalon (namuna) larga ega. Fizik kattaliklarning qiymati deganda, taqqos kattalik etalondan (eksi uning muassasini) necha marta farqlanishini ko'rsatadigan son tushuniladi. Har bir fizik kattalik o'lchov birligini boshqa fizik kattaliklarga bog'liq bo'lmagan holda mustaqil tanlash mumkin.

Masalan, yettita fizik kattalik uchungina, o'lchov birligi taxtariy tanlanadi. Bu fizik kattaliklarning o'lchov birliklari *asosiy birliklar* deb yuritiladi. Qolgan barcha fizik kattaliklarning o'lchov birliklari bu ularni *asosiy kattaliklar* bilan bog'lovchi qonunlar (formulalar) asosida tanlanadi. Bunday kattaliklarning o'lchov birliklari *hosilaviy birliklar* deb yuritiladi.

1960-yil oktabrda Xalqaro sistema qabul qilindi.

1961-yilning 24-avgustida sobiq Sovet Ittifoqida «Sistema Internatsionalnaya» so'zlarini bosh harflari bo'yicha SI «Es-ladeh o'qiladi) tarzida belgilangan birliklar sistemasi tasdiqlandi. SI da *yettitita asosiy birlik* va *ikkita qo'shimcha birlik* qabul qilingan:

#### Asosiy birliklar

**Uzunlik, metr (m).** Krypton -86 atomining  $2p_{10}$  va  $5d_5$  sathlari orasida o'lshiga mos bo'lgan nurlanishning vakuumdagi to'liq uzunligidan 1650763.73 marta katta bo'lgan uzunlik *1 metr* deb qabul qilingan.

**Massa, kilogramm (kg).** Kilogrammi xalqaro prototipining massasi *1 kilogramm* deb qabul qilingan.

**Vaqt, sekund (s).** Sezily - 133 atomi asosiy holatining ikki o'ta nozik sathlari orasidagi o'lshiga mos bo'lgan nurlanish davridan 9192631770 marta katta vaqt *1 sekund* deb qabul qilingan.

**Elektr tokining kuchi, Amper (A).**

1 amper tok vakuumdagi bir-biridan 1m masofada joylashgan ikki parallel cheksiz uzun, lekin kesimi juda kichik to'g'ri o'tkazgichlardan o'tganda o'tkazgichning har bir metr uzunligiga  $2 \cdot 10^{-7}$  N kuchi ta'sir qiladi.

**Termodinamik temperatura, Kelvin (K).**

Suvning uchlanma nuqtasini xarakterlovchi termodinamik temperaturaning  $1/273.16$  ulushi 1 kelvin deb qabul qilingan.

**Modda miqdori, mol(mol).**

Uglerod -12 atomining 0,012 kg massasidagi atomlar soniga teng strukturaviy element (masalan, atom, molekula yoki boshqa zarralardan tashkil topgan sistemadagi moddaning miqdori) 1 mol deb qabul qilingan.

**Yorug'lik kuchi, kandel (kd).**

$540 \cdot 10^{12}$  Ga chastotali monoxromatik nurlanish chiqarayotgan manba yorug'ligining energetik kuchi 1/683 Vb/s ga teng bo'lgan yo'nalishdagi yorug'lik kuchi *1 kandel* deb qabul qilingan.

#### Qo'shimcha birliklar

**Yassi burchak, radian (rad).**

Aylanma uzunligi radiusga teng bo'lgan yoyni ajratadigan ikki radius orasidagi burchak *1 radian* deb qabul qilingan.

**Fazoviy burchak, steradian (sr).**

Uchi sfera markazida joylashgan va shu sfera sirtidan radius kvadratiga teng yuzli sirti ajratuvchi fazoviy burchak *1 steradian* deb qabul qilingan.

#### Hosilaviy birliklar

**Tezlik, metr taqsim sekund (m/s).**

1m/s tezlik bilan to'g'ri chiziqli tekis harakat qilayotgan moddiy nuqta *1s davomida 1m masofaga ko'chadi.*

**Tezlanish, metr taqsim sekund kvadrat (m/s<sup>2</sup>).**

1m/s<sup>2</sup> tezlanish bilan to'g'ri chiziqli tekis o'zgaruvchan harakat qilayotgan moddiy nuqtaning *tezlanishi 1s da 1m/s<sup>2</sup> ga o'zgaradi.*

**Impuls, kilogramm - metr taqsim sekund (kg.m/s) 1kg.m/s - 1m/s tezlik bilan harakatlanayotgan 1kg massali jismining impuls.**

**Kuch, Nyuton (N).**

*1N - massali 1kg bo'lgan jisimga ta'sir qilib, unga ta'sir yo'nalishida 1m/s<sup>2</sup> tezlanishni beradigan kuch.*

**Kuch impuls, Nyuton sekund (N.S).**

*1N.s - 1s davomida ta'sir etuvchi 1N kuchning impuls.*

## I. MEKANIKANING FIZIK ASOSLARI

**Mexanika** – fizika bo'limi bo'lib, materiya harakatining eng sodda va eng umumiy shakllarini o'rganar ekan, u jismlarning yoki jismlar qismlarining fazoda bir-biriga nisbatan siljishini ifodalovchi mexanik harakat haqidagi ta'limotdir.

Mexanika fan sifatida rivojlanishi eramizdan oldingi III asrlarga borib taqaladi. O'sha davrdayoq qadimgi yunon olimi Arximed (287–212 eramizdan oldingi yillar) rixaning muvozanatlik qonunini shakllantirishi uning mexanika fanini rivojlantirishga dastlabki qo'shilgan hissasi deb qarash mumkin. Mexanikaning asosiy qonunlarini Italiya olimi Galiley (1564–1642) aniqlagan bo'lsa, ingliz olimi Nyuton (1643–1727) bu qonunlarni uzil-kesil ta'riflab berdi va fundamental qonim sifatida shakllantirdi.

Galiley va Nyuton mexanikasi klassik mexanika deb yuritiladi va yorug'lik tezligiga qaraganda ancha kichik tezliklarda harakat qilayotgan makroskopik jismlar harakat qonunini o'rganadi.

Yorug'lik tezligiga yaqin tezliklarda harakat qilayotgan makroskopik jismlar harakat qonunlarini A.Eynshteyn (1879–1955) kashf etgan nisbiylik nazariyasi o'rganadi. Mikroskopik jismlar (alohida atomlar va elementar zarrachalar) harakat qonunlariga kelsak, ularni klassik mexanika tushuntira olmaydi. Ularni kvant mexanika o'rganadi.

Mexanika quyidagi uch bo'limni o'z ichiga oladi: kinematika, dinamika va statika.

**Kinematika** – jismlar harakatini uning vujudga keltirgan sabablarga qarab emas, balki ularni harakat davomida qoldirgan izlariga (trayektoriyasiga) qarab o'rganadi.

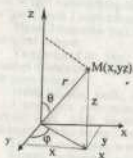
**Dinamika** – jismlarning harakat qonunlarini uning vujudga keltirgan sabablarga qarab, ya'ni kach ta'sirida jismlar harakatini o'rganadi.

**Statika** – jismlar sistemasiining muvozanatlik qonunlarini o'rganadi. Agar jismlar harakat qonunlari ma'lum bo'lsa, ulardan muvozanatlik qonunlarini ham aniqlash mumkin.

### I bob. KINEMATIKA ASOSLARI

#### 1.1. Sanoq sistemasi. Moddiy nuqta kinematikasi

Mexanik harakatda bir jismining vaziyati boshqa jismlarga nisbatan o'zgaradi. Mexanik harakatning eng sodda ko'rinishi sifatida moddiy nuqta harakatini



1.1-rasm

ko'raylik. Ko'rilayotgan masalalarda shakli va o'lchamlari hisobga olinmaydigan jisim **moddiy nuqta** deb ataladi. Moddiy nuqta tushunchasi abstrakt tushuncha bo'lib, tabiatdagi real jismlarni idealashirish natijasida vujudga keladi va uni kiritilishi tekshirilayotgan aniq masalalarni yechishni yengillashtiradi.

Masalan: Yerning va boshqa planetalarning Quyosh atrofiga harakatlarini o'rganayotganimizda Yer planetalar va Quyoshni moddiy nuqtalar deb hisoblash mumkin.

Jismlar harakati fazo va vaqtda amalga oshadi. Fazo abadiy mavjud, cheksiz katta, qo'zg'almas materiya ko'rinishida tasvirlanadi.

Fazoning xossalari vaqt o'tishi bilan o'zgararmaydi. Vaqt fazoning istalgan nuqtasida birday o'tadi deb hisoblanadi, ya'ni o'z-o'zicha, tekis va biror boshqa horiqqa bog'liq bo'lmagan holda o'tadi deb qaraladi. Har qanday fizik hodisa yoki jarayon fazoning qayerdadir va qachondir sodir bo'ladi. Mexanika nuqtayni iboratid. Moddiy jismlarning fazodagi vaziyatini vaqt o'tishi bilan o'zgarishidan iboratdir. Moddiy nuqtaning fazodagi holatini biror ixtiyoriy tanlab olingan sanoq sistemasiga nisbatan qaraladi.

Fazoda moddiy nuqta holatini to'g'ri burchakli uch o'lchovli Dekart  $x, y, z$ -koordinatlar sistemasini yordamida aniqlash mumkin (1.1-rasm). Bu holda  $M$  moddiy nuqtani vaqtning istalgan paytidagi vaziyati  $x, y, z$  koordinatlar bilan yoki koordinata hoshidan  $M$  nuqtaga o'tkazilgan radius vektor  $\vec{r}$  - orqali, ya'ni sferik koordinatlar bilan aniqlanadi. Radius vektorning moduli  $r$  - kesma bilan, yo'nalishi esa  $\theta$  va  $\varphi$  burchaklar yordamida ifodalanadi. Bu ikkala koordinatlar sistemasini moddiy nuqta vaziyatini koordinatlar va radius - vektor orqali ifodalashga ekvivalentdir. Shuning uchun ham sferik koordinatlar Dekart koordinatalarga va aksincha o'tishlarni amalga oshirish mumkin.

1) sferik koordinatlar  $-r, \theta, \varphi$  lardan Dekart koordinatlar  $-x, y, z$  larga o'tish quyidagicha amalga oshiriladi:

$$\begin{aligned} x &= r \sin \theta \cos \varphi \\ y &= r \sin \theta \sin \varphi \\ z &= r \cos \theta \end{aligned} \quad (1.1)$$

2)  $x, y, z$  lardan  $r, \theta, \varphi$  larga o'tish uchun quyidagi ifodalardan foydalanish kerik:

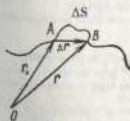
$$\left. \begin{aligned} r &= \sqrt{x^2 + y^2 + z^2} \\ \cos \theta &= \frac{z}{\sqrt{x^2 + y^2 + z^2}} \\ \operatorname{tg} \varphi &= \frac{y}{x} \end{aligned} \right\} \quad (1.2)$$

Harakatlanayotgan moddiy nuqta qoldirgan izi **trayektoriya** deb ataladi.

Agar trayektoriya to'g'ri chiziqdan iborat bo'lsa, **harakat to'g'ri chiziqli**, trayektoriya egri chiziqdan iborat bo'lsa, **harakat egri chiziqli** deb ataladi.

Ixtiyoriy trayektoriya bo'ylab harakatlanayotgan moddiy nuqtani kuzataylik. Kuzatishni moddiy nuqta  $A$  nuqtadagi holatidan boshlaymiz.

Biror  $\Delta t$  vaqtdan keyin moddiy nuqta  $B$  nuqtaga kelib qolsin, u  $\Delta S$  yo'lini o'tadi (1.2-rasm). Moddiy nuqtaning boshlang'ich ( $A$ ) va oxirgi ( $B$ ) vaziyatlarini ifodalovchi  $r$  va  $r_0$  radius vektorlar ayirmasi



1.2-rasm.

$$\vec{v} - \vec{v}_0 = \Delta \vec{v} \quad (1.3)$$

vektor moddiy nuqta ko'chishini ifodalaydi. Moddiy nuqta ko'chishining shu ko'chishni o'tilgandagi vaqt oraliq'iga nisbati harakatning o'rtacha tezligi  $v_{or}$  deyiladi.

$$\vec{v}_{or} = \frac{\Delta \vec{v}}{\Delta t} \quad (1.4)$$

Vaqt oraliq'ini cheksiz kichraytirib bersak, ya'ni  $\Delta t \rightarrow 0$  deb olsak, (1.4) ifoda ifodlangan limitni moddiy nuqtaning o'ny tezligi yoki haqiqiy tezligi deb ataladi.

$$\vec{v} = \lim_{\Delta t \rightarrow 0} \frac{\Delta \vec{v}}{\Delta t} = \frac{d\vec{v}}{dt} \quad (1.5)$$

To'g'ri chiziqli harakatda  $|\Delta \vec{v}|$  ko'chish va bosib o'tilgan yo'l  $\Delta s$  bir xildir, u holda:

$$v = |\vec{v}| = \left| \frac{d\vec{v}}{dt} \right| = \frac{ds}{dt} \quad (1.6)$$

shunday qilib, moddiy nuqtaning tezligi vektor kattalik bo'lib, u radius vektoridan vaqt bo'yicha olingan birinchi tartibli hosila tarzida, moduli esa yo'l dan vaqt bo'yicha olingan birinchi tartibli hosila tarzida ham aniqlanishi mumkin.

Moddiy nuqtaning harakat tezligi vaqt o'tishi bilan o'zgarib, uning harakati tekis harakat deyiladi, aks holda harakat o'zgaruvchan harakat deyiladi. O'zgaruvchan harakatda tezlik o'zgarishini ifodalash uchun tezlanish deb ataluvchi fizik kattalik kiritiladi. Moddiy nuqtaning tezligi  $\Delta v$  vaqtida  $\Delta v = v_2 - v_1$  ga o'zgarib, uning tezlanishi

$$\vec{a} = \lim_{\Delta t \rightarrow 0} \frac{\Delta \vec{v}}{\Delta t} = \frac{d\vec{v}}{dt} = \frac{d}{dt} \left( \frac{d\vec{r}}{dt} \right) = \frac{d^2 \vec{r}}{dt^2} \quad (1.7)$$

ifoda bilan aniqlanadi. Demak, tezlanish - moddiy nuqta tezligining vaqt birligi davomida o'zgarishini ifodalaydigan vektor kattalik bo'lib, u tezlik vektoridan vaqt bo'yicha olingan birinchi tartibli hosila yoki radius vektoridan vaqt bo'yicha olingan ikkinchi tartibli hosila tarzida ifodalanadi.

### 1.2. Moddiy nuqtaning to'g'ri chiziqli harakati

To'g'ri chiziqli harakatda trayektoriya to'g'ri chiziqdan iborat bo'ladi. Moddiy nuqtaning to'g'ri chiziqli harakatini

1) to'g'ri chiziqli tekis harakat;

2) to'g'ri chiziqli o'zgaruvchan harakat ko'rinishlarida ko'rib chiqaylik.

O'zgarib, uning harakati tekis harakat deyiladi. Moddiy nuqtaning to'g'ri chiziqli harakat har qanday teng vaqtlar oraliqlaridan bir xilda ko'chishiga to'g'ri chiziqli tekis harakat deb ataladi.

$$\vec{v} = \frac{\vec{s}}{t} \quad (1.8)$$

Moddiy nuqta harakati to'g'ri chiziqli bo'lgani uchun koordinatalar o'qini mana shu to'g'ri chiziqli bo'yab yo'naltirish kerak. Bu o'qni  $X$  bilan belgilaylik. Moddiy

nuqta tezligining vektori ham ko'chish vektori ham mana shu o'q bo'yab yo'naladi,  $\vec{S}$  va  $\vec{v} \cdot t$  vektorlar teng bo'lgani sababli ularning  $x$  o'qidagi proyeksiyalari ham teng bo'ladi, ya'ni

$$S_x = v_x \cdot t \quad (1.9)$$

$S_x$  va  $v_x$  o'rniga  $S$  va  $v$  deb yozish mumkin. U holda to'g'ri chiziqli tekis harakat tenglamasi hosil bo'ladi:

$$S = v \cdot t \quad (1.10)$$

$S$  o'rniga 1 mni,  $t$  o'rniga 1 s qo'yajak, tezlikning birligini hosil qilamiz:

$$v = \frac{S}{t} = 1 \text{ m/s}$$

To'g'ri chiziqli tekis harakatda tezlik grafigi absissa o'qiga parallel chiziqlardan iborat bo'ladi. To'g'ri chiziqli tekis harakatda, yo'l grafigi esa koordinatalar boshidan o'tuvchi to'g'ri chiziqdan iborat bo'ladi.

O'zgarib, uning harakati tekis harakat ( $a = \text{const}$ ) tekis o'zgaruvchan ( $a > 0$ ) bo'lsa, tekis tezlanuvchan va  $a < 0$  bo'lsa, tekis sekinlanuvchan harakat deyiladi. Bu vaqtda o'ny tezlanish istalgan vaqt oraliq'idagi o'rtacha tezlanishga teng bo'ladi

$$a = a_{or} = \frac{\Delta v}{\Delta t} = \frac{v - v_0}{t} \quad (1.11)$$

$$v = v_0 + at$$

bu yerda,  $v_0$  - harakatning boshlang'ich tezligi,  $v$  - vaqtning  $t$  paytidagi tezligi.

Tekis o'zgaruvchan harakatda tezlik  $v_0$  qiymatidan  $a$  qiymatiga tekis o'zgarib, bunday harakatning o'rtacha tezligi boshlang'ich va oxirgi tezliklarning o'rtacha arifmetik qiymatiga teng bo'ladi:

$$v_{or} = \frac{v + v_0}{2} \quad \text{bunda,} \quad S = \frac{v_0 + v}{2} t$$

(1.11) formuladan  $v$  ning ifodasini qo'yib, quyidagini hosil qilamiz:

$$S = \frac{v_0 + v_0 + at}{2} t$$

yoki

$$S = v_0 t + \frac{at^2}{2} \quad (1.12)$$

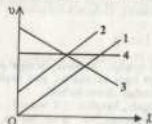
Bu ifoda tekis o'zgaruvchan harakat tenglamasidir.

(1.11) va (1.12) tenglamalarni birgalikda yechib va ularning  $t$  ni chiqarib tashlab  $v_0^2$ , tezlik va tezlanishni bog'lovchi munosabatni hosil qilamiz:

$$v^2 - v_0^2 = 2aS \quad (1.13)$$

bu formulalardan foydalanib, tekis o'zgaruvchan harakatning tezlik va yo'l grafiglarini chizish mumkin (1.3-rasm). Tezlik grafigini chizish uchun absissa

o'qiga vaqtning, ordinata o'qiga esa tezlikning qiymatini qo'yamiz. Agar  $\vec{v}_0 = 0$  bo'lsa, (1.3-rasm, 1-to'g'ri chiziq) u holda tezlik grafigi koordinata boshidan o'tgan to'g'ri chiziqdan iborat bo'ladi.  $\vec{v}_0 \neq 0$  bo'lganda esa tezlik grafigi ordinata o'qida  $\vec{v}_0$  ga teng kesmadan boshlanadi. 1.3-rasmdagi 1,2-to'g'ri chiziqlar  $a > 0$ ; 3-to'g'ri chiziq tekis ( $a < 0$ ) sekinlanuvchan harakatni, 4-to'g'ri chiziq esa ( $v = const$ ) to'g'ri chiziq tekis harakatni ifodalaydi ( $a = 0$ ).



1.3-rasm.

Tekis o'zgaruvchan harakatning yo'li grafigi esa yarim parabola shaklida bo'ladi, chunki  $y^2 = 2px$  parabola tenglamasidir. Agar  $y^2 = ax$  ( $a = 4, 5, 6$ ) qiymatlarini olganda tenglama grafigini chizadigan bo'lsak, u holda xuddi biz  $S = \frac{at^2}{2}$  tenglama yordamida hosil qilgan grafikda o'xshash grafik hosil qiladi.

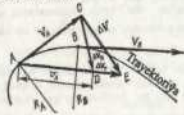
### 1.3. Moddiy nuqtaning egri chiziqli harakati. Tangental va normal tezlanishlar

Trayektoriyasi egri chiziqdan iborat bo'lgan harakat *egri chiziqli harakat* deyiladi. Bunga misol qilib, yer yuzidagi barcha transport vositalarini, mashina va mexanizm qismlarini, oqar suvni, atmosferadagi havo zarralarini, kosmik fazodagi barcha planetalar va sun'iy yo'l-doshlarning harakatini olish mumkin. Egri chiziqli harakat to'g'ri chiziqli harakata nisbatan murakkabroqdir.

Egri chiziqli harakatda vaqt o'tishi bilan tezlik vektorining faqat yo'nalishigina emas, balki miqdori ham o'zgarishi mumkin. Kuzatish boshlanganda egri chiziqli harakat qilayotgan moddiy nuqta trayektoriyaning  $A$  nuqtasidan o'tayotgan bo'lsin (1.4-rasm).

Biror kichik  $\Delta t$  vaqt ichida kichik  $\Delta S$  yoyni bosib  $V$  nuqtaga keladi.  $A$  va  $V$  nuqtalardagi tezliklarni mos ravishda  $\vec{v}_A$  va  $\vec{v}_B$  deb belgilaylik. Tezlik o'zgarishini aniqlash uchun  $\vec{v}_B$  tezlik vektorini o'z-o'ziga parallel holda  $A$  nuqtaga ko'chiraylik, u holda  $\vec{v}_A$  vektor uchini ko'chirilgan  $\vec{v}_B$  vektor uchi bilan tutashiruvchi vektor ( $\Delta \vec{v} = \vec{v}_B - \vec{v}_A$ ) izlanayotgan tezlik o'zgarishini

ifodalaydi.  $\Delta \vec{v}$  tezlik o'zgarishini ikki tezlik vektorlarining yig'indisi shaklida ham qarash mumkin. Buning uchun  $AE$  kesma ustida  $A$  dan  $\vec{v}_A$  vektor kesmasiga teng kesma ajratib  $\vec{v}_B$  yo'nalishida  $D$  nuqtani tanlaylik.  $S$  va  $D$  nuqtalarni birlashtiruvchi vektorni  $\Delta \vec{v}_n$  bilan,  $D$  va  $E$  nuqtalarni birlashtiruvchi vektorni esa  $\Delta \vec{v}_t$  bilan belgilaylik. U holda  $\Delta \vec{v}$  ni ana shu ikki vektorning yig'indisidan iborat deb hisoblash mumkin.



1.4-rasm.

$$\Delta \vec{v} = \Delta \vec{v}_n + \Delta \vec{v}_t, \quad (1.14)$$

Egri chiziqli harakatda moddiy nuqta tezlanishi

$$\vec{a} = \lim_{\Delta t \rightarrow 0} \frac{\Delta \vec{v}}{\Delta t} = \lim_{\Delta t \rightarrow 0} \frac{\Delta \vec{v}_n}{\Delta t} + \lim_{\Delta t \rightarrow 0} \frac{\Delta \vec{v}_t}{\Delta t} \quad (1.15)$$

yo'zish mumkin. (1.15) ifodadagi yig'indining birinchi limitini markazga *intilma tezlanish* yoki *normal tezlanish* deb ataladi.

$$\vec{a} = \lim_{\Delta t \rightarrow 0} \frac{\Delta \vec{v}_n}{\Delta t} \quad (1.16)$$

Geometrik mulohazalar asosida normal tezlanishning moduli tezlik kvadratining trayektoriya ayni sohasining egrilik radiusiga ( $R$ ) bo'lgan nisbatiga tengligini aniqlash mumkin:

$$a_n = \frac{v^2}{R} \quad (1.17)$$

(1.15) ifodadagi yig'indining ikkinchi limitini *urinish tezlanish* yoki *tangensial tezlanish* deb ataladi.

$$a_t = \lim_{\Delta t \rightarrow 0} \frac{|\Delta \vec{v}_t|}{\Delta t} = \frac{dv}{dt} \quad (1.18)$$



Shunday qilib, egri chiziqli harakat qilayotgan moddiy nuqtaning to'liq tezlanishi normal va urinma tezlanishlarning vektor yig'indisidan iborat.

$$\vec{a}^2 = \vec{a}_n^2 + \vec{a}_t^2, \quad \vec{a} = \sqrt{\vec{a}_n^2 + \vec{a}_t^2}. \quad (1.19)$$

Normal tezlanish tezlikning yo'nalish bo'yicha o'zgarishini, urinma tezlanish esa tezlikning miqdoriy jihatdan o'zgarish jadalligini ifodalaydi.

#### 1.4. Moddiy nuqtaning aylana bo'ylab harakati

Egri chiziqli harakatning xususiy holi bo'lgan moddiy nuqtaning aylana bo'ylab tekis harakatini ko'raylik. Bu holda tezlanishning urinma tashkil etuvchisi bo'lmaydi ( $a_t = 0$ ) va tezlanish o'zining markazga intilma tezlanishiga teng bo'ladi ( $\vec{a} = \vec{a}_n$ ).

Moddiy nuqtaning aylana bo'ylab tekis harakatini *burchak tezlik* deb ataluvchi fizik kattalik  $\omega$  bilan ifodalash mumkin, bunda, burchak tezlik deb  $R$  radiusning burilish burchagi  $\Delta\varphi$  ning bu burilish bo'lgan vaqt oralig'i  $\Delta t$  ga nisbatini tushunish kerak

$$\omega = \frac{\Delta\varphi}{\Delta t} \quad (1.20)$$

Notekis harakat uchun oniy burchak tezligi tushunchasi kiritiladi.

$$\omega = \lim_{\Delta t \rightarrow 0} \frac{\Delta\varphi}{\Delta t} = \frac{d\varphi}{dt}$$

Burchak tezlikning o'lchov birligi radian taqsim sekunddir (rad/sekund).  $R \cdot \Delta\varphi = \Delta S$  ekanligini o'tiborga olib, chiziqli tezlikni burchak tezlik bilan bog'lovchi munosabatni topamiz:

$$v = \omega R \quad (1.21)$$

Moddiy nuqtaning aylana bo'ylab bir aylanish vaqti *aylanma davri*  $T$  va vaqt birligidagi aylanishlar soni  $\nu$  (aylanish chastotasi) ni kiritaylik.

$$T = \frac{1}{\nu} \quad (1.22)$$

$T$  ning o'lchov birligi sekund (s),  $\nu$  ning o'lchov birligi esa  $s^{-1}$  bo'lib, *Gers* deb nomlangan; *Gers* sekundiga bir marta aylanishdir.

Moddiy nuqta bilan bog'langan aylana radiusi  $T$  davr ichida  $2\pi$  burchakka burilgani uchun (1.20) formulaga muvofiq

$$\omega = \frac{2\pi}{T} \quad (1.23)$$

(1.21), (1.22), (1.23) formulalardan foydalanib quyidagini hosil qilamiz:

$$v = \frac{2\pi}{T} R = 2\pi \nu R. \quad (1.24)$$

Moddiy nuqta aylana bo'ylab notekis harakatlanganda, chiziqli tezlik bilan birga burchak tezlik ham o'zgaradi. Burchak tezligi o'zgarishi  $\Delta\omega$  ning sibu o'zgarish bo'lgan vaqt oralig'i  $\Delta t$  ga nisbatni o'rtacha burchak tezlanish  $\epsilon$ , deb ataladi.

$$\epsilon_{o'rt} = \frac{\Delta\omega}{\Delta t} \quad (1.25)$$

$\epsilon_{o'rt}$  ning vaqt oralig'i nolga intilgandagi limiti *oniy burchak tezlanishi*  $\epsilon$  deyiladi:

$$\epsilon = \lim_{\Delta t \rightarrow 0} \frac{\Delta\omega}{\Delta t} = \frac{d\omega}{dt} \quad (1.26)$$

Demak, burchak tezlanish burchak tezlikdan vaqt bo'yicha olingan birinchi tartibli hosilga teng ekan,  $\epsilon$  ning o'lchov birligi radian taqsim sekund kvadrat ( $rad/s^2$ ) dir.

#### Savollar

1. Fizika fanining boshqa fanlar bilan aloqasida fizika fanining tutgan o'rni qanday?
2. Fizika fani rivojlanishida buyuk o'zbek mutafakkir olimlarimizning qo'shgan hissalarini nimadan iborat?
3. Materiya deganda nima tushunamiz?
4. Fizika fanining predmeti nima va uning qanday tadqiqot usullari mavjud?
5. Xalqaro birliklar sistemasida nechta asosiy va qo'shimcha birliklar qabul qilingan?
6. Kinematikada jismlar harakati nimalarga asoslanib o'rganiladi?
7. Inersial va noninersial sanoq sistemasidagi jismlar harakati qanday qonuniyat asosida bo'ladi?
8. Moddiy nuqtaning to'g'ri chiziqli tekis, to'g'ri chiziqli tekis o'zgaruvchan va egri chiziqli harakatlarida harakat qonuniyatlari qanday o'zgaradi?

#### Masalalar

1-masala.  $U_0 = 16 m/s$  tezlik bilan ketayotgan poyezd tormozlangandan bosib to'xtatguncha  $S = 128 m$  yo'l bosadi. Harakatning  $a$  tezlanishi va poyezd to'xtatguncha ketgan  $t$  vaqt topilsin.

$$U_0 = 16 m/s$$

$$\text{Berilgan: } S = 128 m$$

$$\frac{a^{-2} t^{-2}}$$

Vechish. Tekis o'zgaruvchan harakatni ifodalovchi  $U_1^2 - U_0^2 = 2aS$

formuladan tezlanish ( $a$ ) ni topamiz:  $a = \frac{U_1^2 - U_0^2}{2S}$

Masalani shartiga asosan harakatning oxirgi tezligi nolga teng, ya'ni  $U_1 = 0$  u

$$\text{holda } a = \frac{v_0^2}{2S} = \frac{16^2}{2 \cdot 128} = \frac{256}{256} = -1 \text{ m/s}^2$$

(-) minus ishora harakatning tekis sekinlanuvchan ekanligini ko'rsatadi.

Poyezd to'xtaguncha o'tgan vaqt  $t$  ni  $S = \frac{v_0 \cdot t}{2}$  dan aniqlash mumkin, chunki

$$v_{\text{av}} = \frac{v_1 + v_0}{2}$$

$$t = \frac{2S}{v_0} = \frac{2 \cdot 128}{16} = \frac{256}{16} = 16 \text{ s}$$

Javobi  $a = -1 \text{ m/s}^2$ ,  $t = 16 \text{ s}$ .

**2-masala.** Tramvay yo'lining birlitish qismidan tekis tezlanuvchan harakat qilib  $S = 250 \text{ m}$  masofani o'tgandan keyin uning tezligi  $36 \text{ km/soatga}$  yetdi. Tramvay harakati qila boshlagandan  $40 \text{ s}$  o'tgandan keyin uning urinma, markazga intilma va to'la tezlanishini toping. Yo'lining birlitish qismining radiusi  $R = 200 \text{ m}$ .

**Berilgan:**  $S = 250 \text{ m}$   $v = 36 \text{ km/soat}$

$$v = 36 \text{ km/soat} = 36 \frac{1000 \text{ m}}{3600 \text{ s}} = 10 \frac{\text{m}}{\text{s}}$$

$$t = 40 \text{ s}$$

**Yechish.** Boshlang'ich tezliksiz tekis tezlanuvchan harakata,  $v^2 - v_0^2 = 2aS$  formulaga muvofiq  $v^2 = 2aS$  bo'ladi, bu yerda,  $a$  - urinma tezlanish. U holda

$$a = \frac{v^2}{2S} = \frac{100}{2 \cdot 250} = 0,2 \text{ m/s}^2$$

$t = 40 \text{ s}$  vaqt o'tgandan keyin tramvay erishadigan tezlik ( $v_1$ )  $v = v_0 + at$  muvofiq

$$v_1 = a \cdot t = 0,2 \cdot 40 = 8 \text{ m/s}$$

U holda  $a_m = a_n = \frac{v^2}{R}$  muvofiq markazga intilma yoki normal tezlanish

$$a_n = \frac{v^2}{R} = \frac{64}{200} = 0,32 \text{ m/s}^2$$

to'la tezlanish

$$a = \sqrt{a_n^2 + a^2} = \sqrt{(0,04 + 0,102)^2} = 0,37 \text{ m/s}^2$$

**3-masala.** Tasmali uzatgich asosida ishlaydigan yog'och tilih qurilmasining g'ildirigi  $v_0 = 180 \text{ ail/min}$  chastotaga mos bo'lgan o'zgarmas tezlik bilan aylanayapti. Harakatlantirish tasmasi chiqib ketgan paytdan boshlab g'ildirak

tormozlana boshlaydi va  $\varepsilon = 3 \text{ rad/s}^2$  burchak tezlanish bilan tekis sekinlanuvchan harakat qiladi. G'ildirak qancha  $t$  vaqtdan keyin to'xtaydi, u to'xtaguncha necha  $n$  marta aylanadi?

**Berilgan:**  $v_0 = 180 \text{ ail/min}$   $\varepsilon = 3 \frac{\text{rad}}{\text{s}^2}$

$$\frac{\varepsilon = 3 \text{ rad/s}^2}{t \rightarrow n \rightarrow ?}$$

**Yechish.** Tekis sekinlanuvchan harakata  $\omega = \omega_0 + \varepsilon t$  formulaga muvofiq g'ildirakning burchak tezligi tormozlanish oxirida  $\omega = \omega_0 - \varepsilon t$  bo'ladi, bu yerda,  $\omega_0$  - g'ildirakning boshlang'ich burchak tezligi. Masalaning shartiga ko'ra  $\omega = 0$  bo'lgani uchun  $\omega_0 = \varepsilon t$ . Ammo (1.22) va (1.23) formulalarga muvofiq  $\omega_0 = 2\pi v_0$ . Shuning uchun

$$t = \frac{2\pi v_0}{\varepsilon} = \frac{2\pi \cdot 3}{3} = 6,3 \text{ s}$$

Demak, g'ildirakning tormozlanish boshlagandan to'xtaguncha o'tgan burchak yo'li quyidagi ifodaga teng

$$\varphi = \omega_0 t - \frac{\varepsilon t^2}{2} = 2\pi v_0 t - \frac{\varepsilon t^2}{2}$$

bu ifodaga  $t$  ning qiymatini qo'yib va  $\varphi = 2\pi n$  ekanligini e'tiborga olib quyidaginning topamiz:

$$2\pi n = \frac{4\pi^2 v_0^2}{\varepsilon} - \frac{2\pi^2 v_0^2}{\varepsilon}$$

bundan

$$2\pi n = \frac{2\pi^2 v_0^2}{\varepsilon} n = \frac{\pi \cdot 9}{3} = 9,4 \text{ marta}$$

**4-masala.** Ekvatorda chuqurligi  $180 \text{ m}$  bo'lgan shaxtaga sharcha tashlab yuborildi, bu vaqtda sharcha sharq tomonga qancha og'adi? Havoning qarshiligi hisobga olinmasin. Shu asosda Yerning inersial yoki noninersial sistema ekanligi haqida xulosa chiqaring

**Berilgan:**  $h = 180 \text{ m}$   
 $g = 10 \text{ m/s}^2$

**Yechish.** Sharcha inersiyasi bilan sharqqa tomon  $S = \Delta U l$  masofaga og'adi, bu yerda,  $\Delta U$  Yer sirti va shaxta tubidagi nuqtalar harakati tezliklarining farqi,  $t$  sharchaning tushish vaqti.

$$\Delta v = \frac{2\pi R}{T} - \frac{2\pi(R-h)}{T} = \frac{2\pi h}{T}$$

bu yerda,  $R$ —Yerning ekvatorial radiusi,  $T$ —Yerning aylanish davri va  $h$ —shaxtaning choʻqligʻi

$$h = \frac{g t^2}{2} \text{ bo'lgani uchun } t = \frac{\sqrt{2gh}}{g} \text{ va}$$

$$S = \frac{2\pi h \sqrt{2gh}}{Tg} = \frac{2 \cdot 3,14 \cdot 180 \cdot \sqrt{2 \cdot 10 \cdot 180}}{24 \cdot 3600 \cdot 10} = 0,08 \text{ m}$$

Jimga sharqqa tomon yoʻnalgan kuchlar taʼsir qilmasa ham, uning vertikal yoʻnalishdan sharqqa ogʻishi. Yer inertsial sistema ekanligini koʻrsatadi.

## II bob. DINAMIKANING ASOSIY QONUNLARI

### 2.1. Nyutonning birinchi qonuni. Massa va kuch

Oʻrgan kinematika asoslari bobida moddiy nuqtaning harakati, bu harakati vujudga keltirgan, sabablarga bogʻliq boʻlmagan holda oʻrganidik. *Dinamika* boʻlimida esa jismlarning harakati qonunlari va bu harakati keltirib chiqargan yoki oʻzgartiradigan fizik sabablar oʻrganiladi. Dinamika mexanikaning asosiy boʻlimi boʻlib, uning asosida Nyuton qonunlari yotadi.

*Nyutonning birinchi qonuni: agar jisimga boshqa jismlar taʼsir etmasa, u oʻzining tinch holatini yoki toʻgʻri chiziqli tekis harakatini saqlaydi.*

Tashqi taʼsir boʻlmagan jismlar oʻzlarining tinchlik holatini yoki toʻgʻri chiziqli tekis harakatini saqlash qobiliyati *inersiya* deyiladi. Shuning uchun ham Nyutonning birinchi qonuni *inersiya qonuni* deb ham yuritiladi. Inersiya lotincha soʻz boʻlib, *qatib qolganlik*, *sharakatsizlik* degan maʼnoni bildiradi.

Ammo Nyutonning birinchi qonunini tajriba yoʻli bilan tekshirishga tashqi taʼsirlar xalal beradi, masalan, Yerning tortish gravitatsion maydoni, muhitning qarshiligi, atrofdagi harakatlanayotgan jismlar. Nyutonning birinchi qonunida aytilgan tinch va toʻgʻri chiziqli tekis harakat qaysi sanoq sistemasiga nisbatan haqiqatlashi muhimdir. Nyutonning birinchi qonuni harcha sanoq sistemalarda ham bajarilavermaydi. Lekin shunday sanoq sistemasi mavjudki, unda jism oʻzining tinch holatini yoki toʻgʻri chiziqli tekis harakatini saqlaydi. Hunday sanoq sistemasini *inersial sanoq* sistemasi deb ataladi. Biror inersial sanoq sistemaga nisbatan toʻgʻri chiziqli tekis harakat qilayotgan ixtiyoriy sanoq sistemasi ham inersial sanoq sistemasi boʻladi.

Yer sirti bilan bogʻliq sanoq sistema, zamonada inersial sanoq sistemasi deb hisoblanadi, aslida bu sistema inersial sanoq sistemasi emas, chunki Yer oʻz oʻq atrofiga aylanadi va Quyosh atrofiga egri chiziqli trayektoriya boʻyicha harakatlanadi. Shuning uchun Yer sirtidagi tinch turgan jismlar tezlanish oladi. Lekin baʼzi amaliy holatlarda, bu nuqtai-nazar hisobga olmasa ham boʻladi. Umuman, inersial sanoq sistemasini abstrakt tushunchadir. Lekin koordinata boshi Quyoshda, koordinata oʻqlari esa uzoqda joylashgan va bir tekislikda yotmagan yulduzlar tomon yoʻnalgan sanoq sistemasini inersial sanoq sistemasi deb hisoblasha boʻladi.

Inersial sanoq sistemasida mexanikaning hamma qonunlari bajariladi. Inersial sistemasiiga nisbatan tezlanishga ega boʻlgan sanoq sistemalarda esa mexanika qonunlari bajarilmaydi.

Tajribalarni koʻrsatishicha, ayni bir xil taʼsir, tufayli turli jismlar turlicha tezlanish oladi. Jismlarning olgan tezlanishining kattaligi faqat taʼsirning kattaligigagina emas, balki shu bilan birga jismlarning baʼzi xususiy xossasiga ham bogʻliq boʻlar ekan. Jismlarning bu xossasi *massa* deb ataladigan fizik kattalik bilan ifodalanadi. *Massa jismlarning inersiya oʻlchovidir*. Bir xil taʼsir tufayli jism massasi katta boʻlsa, inersiyasi ham katta boʻladi, jism massasi kichik boʻlsa, inersiyasi ham kichik boʻladi.

Jismlarning massasini biror ixtiyoriy tanlab olingan etalon jismlarning massasiga solishtirish bilan aniqlanadi. Xalqaro kelishuvga muvofiq bunday etalon sifatida Parijda saqlanadigan platindirli qotishmasidan tayyorlangan silindri olingan, uning massasi kilogramm massa (kg) deyiladi. *Massa m* harfi bilan belgilanadi va *massa birligi 1 kg* deb qabul qilingan. 1m<sup>3</sup> distillangan suvning 4°C dagi massasi 1 kg ga teng.

Kuzatishlarning ko'rsatishicha, jangga ko'rsatilayotgan ta'sir bu jismlarning tezlanish olishi tarzidagina emas, balki jismlarning deformatsiyalanishi shaklida ham namoyon bo'lishi mumkin. Masalan, devorga urilgan o'q devorga tezlanish bermasada, lekin devorda chuqurcha hosil qiladi, ya'ni o'q ham, devor ham deformatsiyalanadi va issiqlik miqdorining ajralishi kuzatiladi.

Umuman, jangga beriladigan ta'sirni kuch deb ataladigan kattalik bilan ifodalani va uning miqdori jism erishadigan tezlanish yoki deformatsiya bilan aniqlanadi. Kuch  $F$  harfi bilan belgilanadi va kuch birligi SI sistemasida Nyuton deb qabul qilingan bo'lib, dinometriyalarda o'lchanadi.

## 2.2. Nyutonning ikkinchi qonuni

Nyutonning ikkinchi qonuni ilgari ham harakat dinamikasining asosiy qonunlari bo'lib, kuch ta'sirida moddiy nuqtaning mexanik harakati qanday o'zgarishini ifodalaydi.

Agar o'zgarimas massali ( $m = \text{const}$ ) jismlarning kuch ta'sirida olgan tezlanishi shu kuchga to'g'ri proporsional bo'lsa:

$$\vec{a} \sim \vec{F} \quad (2.1)$$

Agar bir xil kuch ta'sirida ( $F = \text{const}$ ) har xil jismlar turli xil tezlanish olsa, bunda, jism massasi qancha katta bo'lsa, ularning inersiyasi ham shuncha katta bo'ladi, tezlanishi esa shuncha kichik bo'ladi:

$$\vec{a} \sim \frac{1}{m} \quad (2.2)$$

(2.1) va (2.2) dan foydalanib, kuch va tezlanishi vektor kattalik ekanligini hisobga olib, quyidagini yozamiz:

$$\vec{a} = \kappa \frac{\vec{F}}{m} \quad (2.3)$$

Bu tenglama Nyutonning ikkinchi qonunini ifodalaydi, u quyidagicha ta'riflanadi: *Kuch ta'sirida jism erishgan tezlanish ta'sir etuvchi kuchga to'g'ri, jism massasiga esa teskari proporsionaldir va u kuchning ta'sir tomoniga qarab yo'nalgan.*

(2.3) da  $\kappa$  - proporsionallik koeffitsiyenti bo'lib,  $\vec{a}$ ,  $\vec{F}$  va  $m$  kattaliklari qaysi birliklar sistemasida o'lchanganiga bog'liq. SI sistemasida proporsionallik koeffitsiyenti  $\kappa=1$  ga teng. U holda

$$\vec{a} = \vec{F} / m \quad (2.4)$$

Agar jismga bir vaqtin o'zida bir necha kuch ta'sir qilsa, u holda Nyuton ikkinchi qonunini matematik ifodasini quyidagi ko'rinishda yozish mumkin.

$$m\vec{a} = \vec{F}_1 + \vec{F}_2 + \dots + \vec{F}_n = \sum_{i=1}^n \vec{F}_i \quad (2.5)$$

Demak, inersial sanoq sistemasida harakatlanayotgan jism tezlanishini uning massasiga ko'paytmasi jangga ta'sir etayotgan hamma kuchlarning vektor yig'indisiga tengdir.

## 2.3. Nyutonning uchunchi qonuni

Nyutonning uchunchi qonuni jismlarning o'zaro ta'sirini ifodalaydi va quyidagicha ta'riflaydi: *Ta'sir etuvchi va aks ta'sir etuvchi kuchlar miqdor jihatidan teng bo'lib, yo'nalish jihatidan qarama-qarshidir:*

$$\vec{F}_{12} = -\vec{F}_{21} \quad (2.6)$$

bu yerda,  $\vec{F}_{12}$  - ta'sir etuvchi kuch,  $\vec{F}_{21}$  - aks ta'sir etuvchi kuch.

Nyutonning ikkinchi qonuniga asosan quyidagilarni yozish mumkin: birinchi

jism  $\vec{a}_1 = \frac{\vec{F}_{21}}{m_1}$ , ikkinchi jism esa  $\vec{a}_2 = \frac{\vec{F}_{12}}{m_2}$  tezlanish oladi, yuqoridagi ikki

tezlanish ifodasidan

$$\vec{a}_1 = -\frac{m_2}{m_1} \vec{a}_2 \quad (2.7)$$

hosil qilamiz. Bu munosabat, o'zaro ta'sirlashuvchi ikki jism o'zlarining massalariga teskari proporsional bo'lgan va qarama-qarshi tomonlarga yo'nalgan tezlanishlar olganini ko'rsatadi. Misol ko'raylik, porox gazining ta'siri natijasida snaryad to'p stovidan otilib chiqadi (katta tezlanish bilan) va ta'sir natijasida to'p orqaga (kichik tezlanish bilan) harakat qiladi.

Ayliana bo'ylab Oyming Yev atrofidagi harakatida Oy markazga intilma tezlanishga ega bo'ladi. Bu tezlanish markazga intilma kuch tufayli vujudga keladi

$$F_{\text{intilma}} = m \frac{v^2}{R} \quad (2.8)$$

Bu kuch  $R$  radiusli aylana bo'ylab harakatlanayotgan Oyga qo'yilgan. Nyutonning uchunchi qonuniga asosan markazga intilma kuchga miqdor jihatidan teng, lekin teskari tomonga yo'nalgan markazdan qochma kuch ham bo'lishi kerak. Markazdan qochma kuch esa Yerga qo'yilgan. Demak, kuch o'zining kattaligi va yo'nalishidan tashqari qo'yilish nuqtasi bilan ham ifodalanar ekan.

Shunday qilib, shuni esda tutish kerakki, jismlarning o'zaro ta'sirida yuzaga keladigan kuchlar boshqa-boshqa jismlarga qo'yilgan bo'ladi va shuning uchun ular bir-birini muvozanatlay olmaydi. Ayni bir jisimga qo'yilgan kuchlarga muvozanatlasha oladi.

## 2.4. Impuls va uning saqlanish qonuni

Agar tezlanishi jism tezligining o'zgarishi jadalligiga yoki bo'lmasa, tezlanish tezlikdan vaqt bo'yicha olingan birinchi tartibli hosiliga teng ekanligini hisobga olsak, Nyutonning ikkinchi qonunini ifodalaydigan  $\vec{F} = m\vec{a}$  formulani

$$\vec{F} = m \frac{d\vec{v}}{dt} \quad (2.9)$$

ko'rinishda ham yozish mumkin. Bu yerda massa o'zgarimas kattalik bo'lgani tufayli uni differensial belgisi ostiga kiritish mumkin.

$$\frac{d(m\vec{v})}{dt} = \vec{F} \quad (2.10)$$

Bu tenglamadagi jism massasi va tezligini ko'paytmasi

$$P = mV \quad (2.11)$$

jamning *impulsi* yoki *harakat miqdori* deb ataladi. (2.11) dan foydalanib (2.10) ni quyidagi ko'rinishda yozamiz:

$$\frac{d\vec{P}}{dt} = \vec{F} \quad (2.12)$$

Demak, jism impulsidan vaqt bo'yicha olingan birinchi tartibli hosila jisimga ta'zir etayotgan kuchga teng.

Agar jisimga hech qanday kuch ta'sir etmasa (2.12), ifoda

$$\frac{d\vec{P}}{dt} = 0$$

ko'rinishga keladi. Impulsning hosilasi nolga teng bo'lsa, uning o'zi o'zgarmas miqdorga teng bo'ladi, ya'ni

$$\vec{P} = const \quad (2.13)$$

Bu ifoda impulsning saqlanish qonunini ifodalaydi: *kuch ta'sir etmaguncha moddiy nuqtaning impulsi o'zgarmaydi*.

(2.12) ifodani quyidagi ko'rinishda qayta yozamiz:

$$d\vec{P} = \vec{F} \cdot dt \quad (2.14)$$

Bu tenglikdagi  $\vec{F} \cdot dt$  kattalikni elementar kuch impulsi deyiladi. (2.14) dan ko'rinadiki, moddiy nuqta impulsining o'zgarishi kuch impulsiga teng ekan.

Endi izolatsiyalangan berk sistemalarda impuls saqlanish qonuni o'rinli bo'lishini ko'rsataylik. Tashqi muhit bilan ta'sirlashmaydigan sistema *berk sistema* deyiladi.

Jismlarga tashqaridan berilgan ta'sirlarni mos holda  $F_1, F_2, F_3$  ga ichki kuchlarni esa  $f_1, f_2, f_3$  ga teng deb hisoblaylik, uchala jism uchun dinamika tenglamasini mos holda quyidagicha yozaylik:

$$\frac{d}{dt} P_1 = f_1 + F_1 + F_2$$

$$\frac{d}{dt} P_2 = f_2 + F_2 + F_3$$

$$\frac{d}{dt} P_3 = f_3 + F_3 + F_1$$

Bu ifodalarni hadma-had qo'shib va ichki kuchlarning yig'indisi nolga teng ekanligidan quyidagi tenglik kelib chiqadi:

$$\frac{d}{dt} (P_1 + P_2 + P_3) = F_1 + F_2 + F_3$$

umumiy holda:

$$\frac{d}{dt} \sum_{i=1}^n \vec{P}_i = \sum_{i=1}^n \vec{F}_i \quad (2.15)$$

Demak, moddiy nuqtalar sistemasining impulsidan vaqt bo'yicha olingan birinchi tartibli hosila shu sistema moddiy nuqtalariga ta'sir etuvchi barcha tashqi

kuchlarni vektor yig'indisiga teng. (2.15) formulaga asosan tashqi kuchlar nolga teng ( $\sum_{i=1}^n \vec{F}_i = 0$ ) deb hisoblasak,

$$\frac{d\vec{P}_c}{dt} = 0 \quad (2.16)$$

bundan

$$\vec{P}_c = const \quad (2.17)$$

hosil bo'ladi. Bu ifoda moddiy nuqtalar sistemasini impulsining saqlanish qonunidir. Demak, berk sistemalarda impuls o'zgarmas ekan, ichki kuchlar sistema impulsini o'zgartira olmaydi. Masalan, raketaning harakati impuls saqlanish qonuniga asoslangan.

## 2.5. Moddiy nuqtalar sistemasining massa markazi harakati

2.4 da impulsi saqlanish qonunini o'rganганиmizda moddiy nuqtalar sistemasini iboratini ishlatdik. Endi moddiy nuqtalar sistemasini bilan yaqinroq tanishaylik n-ta o'zaro ta'sirlashuvchi moddiy nuqtalar to'plami, moddiy nuqtalar sistemasini yoki mexanik sistema deb ataladi. Moddiy nuqtalar sistemasining harakatini bir butun sistema harakati deb tushunish uchun sistemani ifodalovchi bir necha tushunchalar kiritaylik:

1) moddiy nuqtalar sistemasining massasi ( $m_c$ ) shu sistemaga kiruvchi barcha moddiy nuqtalar massalarining yig'indisiga teng, ya'ni

$$m_c = \sum_{i=1}^n m_i \quad (2.18)$$

2) moddiy nuqtalar sistemasining massa markazi deganda fazoning shunday nuqtasi olinadiki, ushbu nuqtaning vaziyati koordinata boshiga nisbatan

$$\vec{r}_{mm} = \frac{\sum_{i=1}^n m_i \vec{r}_i}{m_c} \quad (2.19)$$

radius-vektor bilan aniqlanadi.

3) massa markazining tezligi ( $u_{mm}$ ). Moddiy nuqtalar sistemasini massa markazining radius-vektoridan birinchi tartibli hosila olsak, massa markazining tezligi ( $u_{mm}$ ) ni topamiz, ya'ni

$$u_{mm} = \frac{d\vec{r}_{mm}}{dt} = \frac{\sum_{i=1}^n m_i \frac{d\vec{r}_i}{dt}}{m_c} = \frac{\sum_{i=1}^n m_i \vec{v}_i}{m_c}$$

$m_i, v_i \in R$ , impulsiga teng ekanligini hisobga olsak, massa markazining tezligi

$$v_{nn} = \frac{\sum_{i=1}^n P_i}{m_c} = \frac{P_c}{m_c} \quad (2.20)$$

bundagi

$$P_c = \sum_{i=1}^n P_i \quad (2.21)$$

sistemani tashkil etuvchi moddiy nuqtalar impulslarining vektor yig'indisidir. (2.20) ni

$$P_c = m_c v_{nn} \quad (2.22)$$

ko'rinishida yozaylik. Demak, sistema massasi bilan sistema massa markazi tezligining ko'paytmasi **moddiy nuqtalar sistemasini impuls** deb ataladi.

4) sistemani tashkil etuvchi moddiy nuqtalar orasidagi ta'sir etuvchi kuchlarni **ichki kuchlar** deb ataladi. Moddiy nuqtalar sistemasini barcha ichki kuchlarining to'liq yig'indisi nolga teng.

Sistemaga taalluqli bo'lmagan jismlar tomonidan sistemadagi jismlarga ta'sir etuvchi kuchlarni **tashqi kuchlar** deb ataladi. Tashqi kuchlar ta'sir etmaydigan moddiy nuqtalar sistemasini **berk sistema** deb ataladi.

$$F_1 + F_2 + \dots + F_n = 0 \quad (2.23)$$

(2.15) va (2.21) tenglamalardan foydalanib:

$$m_c \frac{dv_{nn}}{dt} = F_1 + F_2 + \dots + F_n \quad (2.24)$$

deb yozish mumkin. (2.24) ifodadan ko'rinadiki, sistemaning massa markazi moddiy nuqtadek harakat qilur ekan. Aslida, bu yerda, sistemaning hamma massalari mujassamlashtirilgan va sistemaga ta'sir etuvchi kuch, hamma tashqi kuchlarning geometrik yig'indisiga tengdir. (2.24) tenglama esa **massa markazining harakat qonunini ifodalaydi**.

## 2.6. MASSASI O'ZGARUVCHI JISMLAR HARAKAT TENGLAMASI

Bu'zi jismlarning harakati, ularning massalari o'zgarib borishi bilan amalda oshadi, masalan, raketalarni massalari yoqilg'ilar yonib gazlar chiqib ketishi hisobiga kamayib boradi. Agar sistema o'z massasining bir qismini biror yo'naltish bo'yab kamaytirib borsa, u holda u qarama-qarshi yo'naltishda impuls (harakat miqdori) oladi. Bu raketa texnikasi asosida yotuvchi reaktiv harakat prinsiplining fizik mohiyatini ifodalaydi.

Raketa harakati misolida massasi o'zgarayotgan jismlar harakat tenglamasini chiqaraylik. Agar  $t$  vaqt momentida raketa massasi  $m$ , uning tezligi  $v$  bo'lsa, u holda  $dt$  vaqt o'tishi bilan uning massasi  $m-dm$  ga, tezligi esa  $v+dv$  bo'lib qoladi. Impulsning o'zgarishi

$$dP = (m-dm) \cdot (v+dv) + (v+dv-u)dm - mv$$

yoki

$$dP = mdv - udm \quad (2.25)$$

bu yerda,  $u$  - raketadan chiqayotgan gazlar tezligi.

Agar sistemaga tashqi kuch ta'sir qilayotgan bo'lsa,

$$dP = Fdt$$

bo'ladi.

Buni (2.25) ga qo'ysak,

$$F \cdot dt = mdv - udm$$

yoki

$$m \frac{dv}{dt} = F + u \frac{dm}{dt} \quad (2.26)$$

(2.26) dagi  $u \frac{dm}{dt}$  (fida qo'shimcha kuch bo'lib, uni **reaktiv kuch** ( $F_r$ )) deb

ataladi. Shunday qilib, biz massasi o'zgarayotgan jismlar harakat tenglamasini hosil qildik, buni birinchi bo'lib I.V.Meo'crskiy (1859-1935) tomonidan keltirib chiqarilgan.

$$ma = F + F_r \quad (2.27)$$

Reaktiv kuchlarni uchuvchi apparatlarga qo'llash fikrini 1881-yili N.I.Kibalchich (1854-1881) tomonidan aytilgan, ammo kosmonavtikaning asoschisi K.E.Sokolovskiy (1857-1935) hisoblanadi. U 1903-yildayoq o'z maqolasida raketa harakatining nazariyasini asosladi.

(2.26) tenglamani hech qanday tashqi kuch ta'sir qilmayotgan ( $F=0$ ) raketa harakatiga ta'biq qisaylik.

$$m \frac{dv}{dt} = -u \frac{dm}{dt}$$

Undan

$$v = -u \int \frac{dm}{m} = -u \ln m + C$$

Integral doimiyi  $S$  ning qiymatini boshlang'ich shartlardan topamiz. Agar boshlang'ich holatda raketa tezligi nolga teng bo'lsa, massasi  $m_0$  teng deb olamiz.

U holda  $C = u \ln m_0$ . Shunday qilib,

$$v = u \ln(m_0 / m) \quad (2.28)$$

bu formulani Sotkovskiy formulasi deb yuritiladi. Bu shuni ko'rsatadiki: a) agar foydali yuk qancha katta bo'lsa, raketaning boshlang'ich massasi ham shuncha katta bo'lishi kerak; b) agar gazning chiqish tezligi qancha katta bo'lsa, raketa massasidan foydali yuk ham shuncha katta bo'lishi mumkin.

## Savollar

1. Nyutonning birinchi qonunini nima uchun inersiya qonuni deb yuritiladi?
2. Agar jisimga bir vaqtni o'zida bir necha kuch ta'sir qilayotgan bo'lsa, u holda Nyuton ikkinchi qonunining matematik ifodasi qanday ko'rinishda bo'ladi?
3. Nyuton uchinchi qonunida kuch nega o'zining kattaligi va yo'nalishidan tashqari qo'yilish nuqtasi bilan ifodalanadi?

4. Moddiy nuqta va moddiy nuqtalar sistemasining impulsi va impulsning saqlanish qonunini ta'riflang va matematik ifodasini yozing?

5. Moddiy nuqtalar sistemasining massa markazi deganda fazoning qanday nuqtasi olinadi?

6. Massasi o'zgaruvchi jisimning harakat tenglamasi qanday ifodalanadi?

#### Masalalar

**5-masala.** Jismga  $t=10s$  davomida  $F=50N$  o'zgaruvchi kuch ta'sir qilayapti. Agar bu vaqt ichida jism harakatining tezligi  $U_1 = 25m/s$  dan

$U_2 = 20m/s$  gacha o'zgargan bo'lsa, jisimning massasi  $m$  ni toping.

**Berilgan:**  $U_1 = 25m/s$ ,  $U_2 = 20m/s$

$$F = \frac{dp}{dt} = F = 50N$$

**Yechish.** Impulsning o'zgarish qonuni (2.14) dan foydalanib,  $Ft = m(U_1 - U_2)$  bundan

$$m = \frac{Ft}{U_1 - U_2} = \frac{50 \cdot 10}{25 - 20} = \frac{500}{5} = 100kg.$$

**6-masala.** Raketaning reaktiv dvigateli yonish mahsulotlarini yonib bo'lgandan keyin otib tashqariga chiqaradi. Otib chiqarayotgan chiqindi mahsulotning massasi  $m=0,4kg$ , otilib chiqish tezligi  $U = 1km/s$  bo'lib, dvigatelida sekundiga 20 marta ( $v = 20s^{-1}$ ) otib chiqarish yuz bersa,  $t=5s$  ning oxirida raketa qanday  $U_n$  tezlikka erishadi? Raketaning boshlang'ich massasi  $M=300kg$  ga, boshlang'ich tezligi esa nolga teng. Havoning qarshiligi hisobga olinmasin.

**Berilgan:**  $m=0,4kg=0,4kg$ ,  $U = 1km/s = 1000m/s$ .

$$v = 20s^{-1} = 20 \text{ 1/s}, t = 5s = 5s$$

$$M = 300kg = 300kg$$

$$U_n = ?$$

**Yechish.** Raketadan otib chiqarilgan gazmiyog birinchi ulushining tezligi  $U_1$ , ikkinchi, uchinchi va hokazo  $n$ -ulushi tezliklarini mos ravishda  $U_1$ ,  $U_2$  va  $U_n$  bilan belgilaymiz. Harakat boshlanguncha impulsning yig'indisi nolga teng bo'lgani uchun impuls saqlanish qonuniga asosan, birinchi ulush gaz chiqqandan keyin:

$$(M - m)U_1 - mU = 0, \text{ bundan (1) } U_1 = \frac{mU}{M - m};$$

ikkinchi ulush gaz chiqqandan keyingi tezlik:

$$(M - m)U_1 = (M - 2m)U_2 - mU \text{ bundan (1) ga asosan}$$

$$U_2 = \frac{2mU}{M - 2m} \quad (2)$$

bunda,  $(M - m)U_1$  - ikkinchi ulush gaz chiqqungga qadar raketaning impulsi.

Uchinchi ulush gaz chiqqungga qadar raketaning  $(M - 2m)U_2$  impulsi quyidagiga teng bo'ladi:  $(M - 2m)U_2 = (M - 3m)U_1 - mU$  bundan (2) ga

$$\text{asosan } U_2 = \frac{3mU}{M - 3m} \quad (3) \text{ shunday qilib, (1), (2), (3) tenglamalarni inobatga olib}$$

$U_n$  uchun quyidagini yozamiz

$$U_n = \frac{nmU}{M - nm}$$

$n = 5$  bo'lgani uchun  $t=5s$  oxiridagi raketa tezligi:

$$U_5 = \frac{5mU}{M - 5m} = \frac{0,4 \cdot 20 \cdot 5 \cdot 10^3}{300 - 0,4 \cdot 20 \cdot 5} = \frac{4 \cdot 10^4}{260} = 153,4m/s.$$

### III bob. QATTIQ JISM MEXANIKASI

#### 3.1. Kuch momenti va impuls momenti

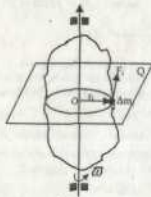
Bir-biriga nisbatan siljmaydigan moddiy nuqtalar to'plami *qattiq jism* deb yuritiladi. Tashqi kuch ta'sirida deformatsiyalanmaydigan jism *absolut qattiq jism* deyiladi. Ixtiyoriy shakldagi qattiq jism qo'zg'almas OZ o'q atrofida F kuch ta'sirida aylanayotgan bo'lsin. Uning zararlari markazi OZ o'qda yotgan aylanalar chizadi. Jismini kuch qo'yilgan nuqta chizgan aylanaga urinma bo'lgan F kuch aylantiradi, F kuchning ta'siri faqat uning kattaligiga bog'liq bo'lmay, u qo'yilgan A nuqtadan aylanish o'qigacha bo'lgan masofa  $\vec{r}$  ga ham bog'liqdir.  $\vec{F}$  aylantiruvchi kuchning kuchi qo'yilgan nuqtadan aylanish o'qigacha bo'lgan masofa -  $\vec{r}$  - radius - vektorga ko'paytmasi aylantiruvchi kuchning momenti deb ataladi va M harfi bilan belgilanadi:

$$\vec{M} = \vec{r} \cdot \vec{F} \quad (3.1)$$

M ning moduli

$$M = Fr \sin \alpha = Fl \quad (3.2)$$

ifoda yordamida aniqlanadi. 3.2-rasmda, O nuqtadan tushirilgan perpendikularning uzunligi  $l = r \sin \alpha$  bo'ladi va uni F uchning O nuqtaga nisbatan *yelkasi* deb ataladi.  $\alpha - F$  bilan r orasidagi burchak. M ning moduli OAV uchburchak (rasmda shtrixlangan) yuzaning ikkilanganiga teng. M vektorining yo'nalishini o'ng vint qoidasi asosida aniqlanadi. O nuqtaga joylashgan o'ng vintni  $\vec{r}$  dan  $\vec{F}$  ga tomon burganimizda vint ilgarilanma harakatining yo'nalishi M ning yo'nalishini ko'rsatadi.

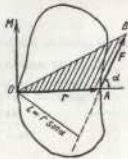


3.1-rasm.

Jismining harakat tezligi  $\vec{v}$ , impulsi  $\vec{p}$  va uning fazodagi o'rni ifodalovchi radius - vektor  $\vec{r}$  bo'lsin (3.3-rasm). Moddiy nuqtaning berilgan O nuqtaga nisbatan impuls momenti deganda, radius-vektorni impuls vektoriga vektor ko'paytmasi tushuniladi:

$$\vec{L} = [\vec{r} \cdot \vec{p}]. \quad (3.3)$$

L vektorining yo'nalishini, M ga o'xshab o'ng vint qoidasi asosida topiladi. O nuqtaga joylashtirilgan o'ng vint  $\vec{r}$  dan R yo'nalishiga

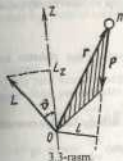


3.2-rasm.

huriganda vintning ilgarilanma harakati  $\vec{L}$  ning yo'nalishini ko'rsatadi  $\vec{L}$  ning moduli

$$L = r p |\sin(\vec{r} \cdot \vec{p})| = lp \quad (3.4)$$

deb yozish mumkin.



3.3-rasm.

#### 3.2. Qattiq jismining aylanish o'qiga nisbatan inersiya momenti. Shteyner teoremasi

Qattiq jismining aylanma harakatini o'rganishda inersiya momenti tushunchasidan foydalanamiz. Qattiq jism i-elementar bo'lakchasi bilan aylanish o'qidani  $\theta$  nuqtaga bo'lgan masofa ( $r_i$ ) kvadratining ko'paytmasini

$$I_{Zi} = \Delta m_i r_i^2 \quad (3.5)$$

i - elementar bo'lakchani OZ o'qqa nisbatan *inersiya momenti* deb ataladi (3.1-rasm). n-in elementar bo'lakchalardan tashkil topgan sistemaning inersiya momenti elementar inersiya momentlarining yig'indisiga teng, ya'ni

$$I_Z = \sum_{i=1}^n \Delta m_i r_i^2 \quad (3.6)$$

Si da inersiya momenti  $kg m^2$  (kilogram-metr kvadrat) larda o'chanadi. Qattiq jism uchun (3.6) ni quyidagicha yozish mumkin:

$$I = \int_V r^2 dm \quad (3.7)$$

Integral qattiq jism egallagan butun hajm bo'yicha olinadi. Jismining berilgan nuqtadagi zichligi  $\rho = const$ , ya'ni jism bir jinsli bo'lsa,

$$I = \rho \int_V r^2 dV \quad (3.8)$$

hosil bo'ladi.

(3.8) ifoda har qanday qattiq jismining istalgan o'qqa nisbatan inersiya momentini aniqlash imkoniyatini beradi. Misol tariqida ba'zi jismlarning inersiya momentlarini aniqlashni ko'raylik.

1. Devori juda yuqqa trubaning halqa markazidan o'tgan o'qqa nisbatan inersiya momenti

$$I = m R^2$$

2. Devorlari qalin trubaning markazidan o'tgan o'qqa nisbatan inersiya momenti



$$I = \frac{1}{2} m(R_1^2 + R_2^2)$$

Trubaning  $R_1$  va  $R_2$  ichki va tashqi devorlarining radiuslari.

3. Butun silindr (disk) ning markazidan o'tgan o'qqa nisbatan inersiya momenti

$$I = \frac{1}{2} m R^2$$

4. Butun sharning massalar markazidan o'tuvchi o'qqa nisbatan inersiya momenti

$$I = \frac{2}{5} m R^2$$

5. Sferaning massalar markazidan o'tuvchi o'qqa nisbatan inersiya momenti

$$I = \frac{2}{3} m R^2$$

6.  $l$  - uzunlikdagi ingichka sterjenning uzunligiga tik va massalar markazidan o'tuvchi OZ o'qqa nisbatan inersiya momenti (3.4-rasm).

$$I = \frac{1}{12} m l^2$$

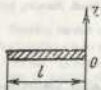
7.  $l$  uzunlikdagi ingichka sterjenning uzunligiga tik va uning bir uchidan o'tuvchi OZ o'qqa nisbatan inersiya momenti (3.5-rasm).

$$I = \frac{1}{3} m l^2$$

Agar berilgan jismning massalar markazidan o'tuvchi o'qqa nisbatan inersiya momenti aniqlangan bo'lsa, bu o'qqa parallel istalgan o'qqa

nisbatan inersiya momenti aniqlash uchun Steyner teoremasidan foydalanamiz. U quyidagicha ta'riflanadi: berilgan jismning istalgan o'qqa nisbatan inersiya momenti,  $I$  shu o'qqa parallel va  $S$  - jism massalar markazidan o'tuvchi o'qqa nisbatan inersiya momenti  $I_0$  bilan jism massasining o'qqa o'zidagi masofa kvadratiga ko'paytmasining yig'indisiga teng:

$$I = I_0 + m a^2 \quad (3.9)$$



3.5-rasm.

3.3. Aylanma harakat qilayotgan qattiq jismning kinetik energiyasi

3.1-rasmga qarash, OZ o'q atrofida aylanayotgan qattiq jismning biror i-bo'lakchasining kinetik energiyasi

$$\Delta W_{ki} = \frac{\Delta m_i v_i^2}{2} \quad (3.10)$$

tenglama bilan ifodalanishini bilamiz. Bu yerda,  $\Delta m_i$  va  $v_i$  - mos ravishda i-bo'lakchanning massasi va chiziqli tezligidir. Chiziqli tezlik bilan burchakli tezlik o'rtasidagi bog'lanishni eslatib ( $v_i = \omega r_i$ ) va buni (3.10) ga qo'yib:

$$\Delta W_{ki} = \frac{\Delta m_i r_i^2}{2} \omega^2 \quad (3.11)$$

hosil qilamiz.

Qattiq jism kinetik energiyasi uni tashkil etuvchi hamma bo'lakchalar kinetik energiyalarining yig'indisidan iborat

$$W_k = \sum \Delta W_{ki} = \frac{1}{2} \omega^2 \sum \Delta m_i r_i^2 \quad (3.12)$$

(3.6) ga asosan  $\sum \Delta m_i r_i^2 = I_x$  jismning aylanish o'qiga nisbatan inersiya momenti ekanligini e'tiborga olsak,

$$W_k = \frac{I_x \omega^2}{2} \quad (3.13)$$

ifida hosil bo'ladi.

Demak, qo'zg'almas o'q atrofida aylanayotgan qattiq jismning kinetik energiyasi shu jismning aylanish o'qiga nisbatan inersiya momentining burchak tezlik kvadratiga ko'paytmasining yarmiga teng.

Agar jism qo'zg'aluvchan o'qqa nisbatan aylanma harakat qilsa, ya'ni ham aylanma, ham ilgarilama harakat qilsa, uning kinetik energiyasi aylanma va ilgarilama harakat kinetik energiyasining yig'indisi orqali aniqlanadi.

$$W_k = \frac{I_x \omega^2}{2} + \frac{m v_m^2}{2} \quad (3.14)$$

Bunda,  $v_m$  - massa markazi ilgarilama harakatning tezligi.

3.4. Aylanma harakat dinamikasining asosiy qonuni

3.1-rasmidagi aylanayotgan qattiq jismning tekshirilayotgan elementar bo'lakchasi impulsining OZ o'qqa nisbatan momenti ( $L_{zi}$ ) (3.4) munosabatga asoslanib hisoblanadi.

$$L_{zi} = P r_i = \Delta m_i r_i \omega r_i = \Delta m_i r_i^2 \omega \quad (3.15)$$

Bu ifodani qattiq jismning barcha elementar bo'lakchalari uchun qo'llab, so'ng ularning yig'indisini olsak, jism impulsining OZ o'qqa nisbatan momentini hosil qilamiz:

$$L_z = \sum_{i=1}^n L_{zi} = \omega \sum_{i=1}^n \Delta m_i r_i^2 \quad (3.16)$$

Bunda  $\omega$  - so'ngi bo'lganligi uchun yig'indi belgisidan tashqariga chiqarib yozdik. (3.16) bilan (3.6) ifodani birlashtirib

$$L_z = I_z \omega \quad (3.17)$$

ni hosil qilamiz.

Shunday qilib, qattiq jism impulsining qo'zg'almas aylanish o'qiga nisbatan momenti jismning shu aylanish o'qqa nisbatan inersiya momenti bilan burchak tezlik ko'paytmasiga teng ekan.

Ikkinchi tomondan  $L_z = [r, R_z]$  ekanligini eslab, unda vaqt bo'yicha differensiallash amalinii bajarsak:

$$\frac{dL_z}{dt} = \frac{d}{dt} [r, P_i] \quad (3.18)$$

$r = \text{const}$  bo'lganda  $\frac{dP_i}{dt} = F_i$  ga teng deb olib bularni (3.18) ga qo'yamiz va yig'indiga o'lib quyidagini hosil qilamiz:

$$\frac{dL_z}{dt} = \sum_{i=1}^n [r, F_i] = \sum_{i=1}^n M_{z_i} \quad (3.19)$$

(3.17) va (3.19) ifodalarni solishtirsak

$$\frac{d}{dt} (I_z \omega) = M_z \quad \text{yoki} \quad \dot{M} = I_z \varepsilon \quad (3.20)$$

Bu yerda,  $\varepsilon = \frac{d\omega}{dt}$  teng bo'lib, burchak tezlanishidir.

(3.20) munosabat qattiq jismning qo'zg'almas o'g atrofida aylanma harakatning asosiy tenglamasi deb yuritiladi. U quyidagicha ta'riflanadi: *Lotyoriy qo'zg'almas aylanish o'qiga nisbatan jism inersiya momenti bilan burchak tezlanishning ko'paytmasi jismga ta'sir etayotgan kuchlarning shu o'qqa nisbatan momentlarining algebrak yig'indisiga teng.*

### 3.5. Impuls momenti va uning saqlanish qonuni

Aylanma harakat qonunlarini ilgarilama harakat qonunlari bilan solishtirsak, ilgarilama harakatdagi massa- $m$  o'rinda aylanma harakatda  $I$  - inersiya momenti, kuch o'rinda, kuch momenti, kattaligi rol o'ynaydi.

$m$ -massali moddiy nuqta  $r$  radiusli aylana bo'yicha  $v$  chiziqli tezlikka erisha impuls momenti

$$L = mvr = pr \quad (3.21)$$

ga teng bo'ladi.

(3.21) tenglamadagi chiziqli tezlikni  $v = ar$  ifoda bilan almashtirsak:

$$L = m\omega r \cdot r = mr^2 \omega$$

Bu ifodadagi  $I = mr^2$  harakatlanayotgan moddiy nuqtaning inersiya momenti ekanligini eslab, moddiy nuqtaning impuls momenti uchun quyidagi ifodani hosil qilamiz:

$$L = I\omega \quad \text{yoki} \quad \vec{L} = I\vec{\omega}, \quad (3.22)$$

Ibu yerda,  $L$  - yo'nalishi bilan  $\omega$  ni yo'nalishi mos keladi.

Endi impuls momentining o'zgarish tezligi nimaga bog'liqligini aniqlaylik. Buning uchun inersiya momentini ( $I = \text{const}$ ) o'zgarmas deb (3.22) tenglamadan vaqt bo'yicha hosila olamiz:

$$\frac{d\vec{L}}{dt} = I \frac{d\vec{\omega}}{dt} = I\vec{\varepsilon} \quad (3.23)$$

Bu tenglamani aylanma harakat dinamikasining asosiy tenglamasi (3.20) bilan taqqoslab

$$\frac{d\vec{L}}{dt} = \vec{M} \quad (3.24)$$

munosabatni hosil qilamiz. Demak, moddiy nuqtaning impuls momentining o'zgarish tezligi unga ta'sir qiluvchi kuch momentiga teng ekan.

Agar kuch momenti ( $\vec{M} = 0$ ) nolga teng bo'lsa,

$$\frac{dL}{dt} = 0 \quad (3.25)$$

hosil qilamiz. Bu ifoda

$$L = \text{const} \quad \text{yoki} \quad I\omega = \text{const} \quad (3.26)$$

bo'lgandagina bajariladi. Bu (3.25) ifoda moddiy nuqtalar sistemasi uchun impuls momentining saqlanish qonunini ifodalaydi: *moddiy nuqtalar berk sistemasi impulsining lotyoriy nuqtaga nisbatan momenti o'zgarmaydi.*

### Savollar

1. Qattiq jismlarning kuch momenti va impuls momenti qanday qonuniyat asosida bog'langan?
2. Qattiq jismning aylanish o'qiga nisbatan inersiya momenti va Shteyner teoremlarini tenglamalarini yozib, ta'riflarni bayon qiling.
3. Ba'zi jismlarni inersiya momentlarini aniqlashda jismlarni shakli va o'lchamlarining ta'siri qanday hisobga olinadi?
4. Agar jism qo'zg'aluvchan o'qqa nisbatan aylanma harakat qilsa, uning kinetik energiyasi qanday ifodalanadi?
5. Impuls momenti va uning saqlanish qonunlari qanday ifodalar bilan xarakterlanadi?

### Masalalar

- 7-masala. Elektromotoring g'ildiragi tormozlangandan keyin tekis

sekinlavuvchan harakat qilib,  $t=1$  min keyin davomida o'zining aylanish chastotasini  $\nu_0 = 300 \text{ aйл/мин}$  dan  $\nu = 180 \text{ aйл/мин}$  gacha kamaytirdi. G'ildirakning inersiya momenti  $J = 2 \text{ kgm}^2$  a) g'ildirakning burchak tezlanishi  $\varepsilon$  ni; b) tormozlovchi momenti  $M$  ni d) tormozlashishi  $A$  ni toping?

**Berilgan:**  $t = 1 \text{ daqiqa} = 60 \text{ s}$   
 $\nu_0 = 300 \text{ aйл/мин} = 300 \text{ ayl/60s} = 5 \text{ ayl/s}$   
 $\nu = 180 \text{ aйл/мин} = 180 \text{ ayl/60s} = 3 \text{ ayl/s}$   
 $J = 2 \text{ kgm}^2$   
 $\varepsilon \rightarrow M \rightarrow A \rightarrow$

**Yechish.** a) g'ildirakning burchak tezlanishini uning burchak tezligi o'zgarishining shu o'zgarish sodir bo'lgan vaqt oralig'iga nisbati sifatida topamiz

$$\varepsilon = \frac{\omega_0 - \omega}{t} = \frac{2\pi(\nu_0 - \nu)}{t} = \frac{2\pi(5 - 3)}{60} = 0,21 \text{ rad/s}^2$$

b) aylanma harakat dinamikasining asosiy qonuni (3.20) dan, kuchning tormozlovchi momenti

$$M = J\varepsilon = 2 \cdot 0,21 = 0,42 \text{ J}$$

d) g'ildirak tormozlanganda uning aylanish kinetik energiyasi tormozlovchi kuchlariga qarshi ish bajarishga sarf bo'ladi. Shuning uchun (3.13) dan foydalanib:

$$A = \frac{J\omega_0^2}{2} - \frac{J\omega^2}{2} = \frac{J}{2} \cdot 4\pi^2(\nu_0^2 - \nu^2) = 2 \cdot 2\pi^2 \cdot 16 = 640 \text{ J}$$

**8-masala.** Radiusi  $R=1,5\text{m}$  va massasi  $m_1=180\text{kg}$  bo'lgan disk tik o'q atrofiga inersiya bo'yicha  $\nu=10 \text{ min}^{-1}$  chastota bilan aylanmoqda. Disk markazida  $m_2=60\text{kg}$  massali odam turibdi. Odam diskning chetiga o'tsa, unda odamni bino poliga nisbatan chiziqli tezligi qanday bo'ladi?

**Berilgan:**  $R=1,5\text{m} = 1,5\text{m}$   
 $m_1=180\text{kg} = 180\text{kg}$   
 $\nu=10 \text{ min}^{-1}$   
 $m_2=60\text{kg} = 60\text{kg}$   
 $\nu \rightarrow$

**Yechish.** Impuls momentining saqlanish qonuniga asosan:

$$(J_1 + J_2)\omega = (J_1 + J_2')\omega' \quad (1)$$

Bunda,  $J_1$  - diskning inersiya momenti;  $J_2$  - disk markazida turgan odamning inersiya momenti;  $\omega$  - markazida odam bo'lgan diskning burchak tezligi,  $J_2'$  - diskning chekkasida turgan odamning inersiya momenti;  $\omega'$  odam chekkasida turgan paytdagi diskning burchak tezligi.

Disk chekkasida turgan odamning chiziqli tezligi burchak tezlik bilan quyidagicha munosabat orqali bog'langan

$$v = \omega' R \quad (2)$$

(1) tenglamadan  $\omega'$  ni aniqlab va olingan ifodani (2) formulaga qo'yib quyidagini olamiz:

$$v = \frac{(J_1 + J_2)\omega R}{J_1 + J_2'} \quad (3)$$

Diskning inersiya momenti  $J_1 = \frac{1}{2} m_1 R^2$ . Odamning inersiya momentini esa moddiy nuqtanikidek hisoblaymiz. Shuning uchun

$$J_2 = 0 \quad J_2' = m_2 R^2$$

Odam chetiga o'tgan diskning burchak tezligi  $\omega = 2\pi\nu$  (3) formuladagi  $J_1, J_2, J_2'$  va  $\omega$  kattaliklarni almashtirib, quyidagini olamiz.

$$v = \frac{\frac{1}{2} m_1 R^2}{\frac{1}{2} m_1 R^2 + m_2 R^2} \cdot 2\pi\nu R = \frac{m_1}{m_1 + 2m_2} \cdot 2\pi\nu R$$

$m_1, m_2, \nu, R$  va  $\pi$  larning qiymatlarini o'miga qo'yib, odamning chiziqli tezligini topamiz:

$$v = \frac{180}{180 + 120} \cdot 2 \cdot 3,14 \cdot \frac{10}{60} \cdot 1,5 = 0,942 \text{ m/s}$$

#### IV bob. ISH, QUVVAT, ENERGIYA

##### 4.1. Ish va quvvat

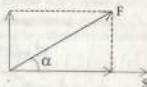
Agar jism o'zgarmas  $F$  kuch ta'sirida to'g'ri chiziqli harakat qilib biror  $S$  masofani bosib o'tsa, bu jarayonda kuchning siljishi ta'sirini ifodalash uchun ish tushunchasi kiritiladi. Jisimning to'g'ri chiziqli harakatida o'zgarmas kuchni bajarigan *ish kuch bilan yo'l ko'paytmasiga proporsional bo'ladi*. Agar kuch bilan jism harakat yo'nalishi orasida  $\alpha$  burchak hosil bo'lsa, ish (4.1-rasm)

$$A = F \cdot S \cos \alpha \quad (4.1)$$

formula bilan aniqlanadi.  $\alpha < \frac{\pi}{2}$  bo'lsa ish

musbat,  $\alpha > \frac{\pi}{2}$  bo'lganda ish manfiy,

$\alpha = \frac{\pi}{2}$  bo'lganda  $A=0$  bo'ladi, ya'ni kuch



4.1-rasm.

berilgan yo'lda jisimning siljishi bo'yicha hech qanday ish bajarilmaydi. Ishqalanish kuchi ko'chish yo'nalishiga teskari tomonga yo'nalgan va u manfiy ish bajaradi.  $\cos \alpha = 0$ , ya'ni ta'sir etuvchi kuch siljishga perpendikular bo'lganda kuch mexanik ish bajarilmaydi. Biroq biror og'irlikdagi yukni ko'tarib turish, aqlli mehnat qilish (masala yechish, mutolaa qilish, fikr yuritish) da ham mexanik ish bajarilmaydi, oddiy ish bajariladi.

Agar skolar ko'paytma tushunchasidan foydalansak, (4.1) ni quyidagi ko'rinishda yozish mumkin:

$$A = \vec{F} \cdot \vec{S} \quad (4.2)$$

Demak, mexanik ish kuch vektori va ko'chish vektorining skolar ko'paytmasiga teng.

SI da ish birligi sifatida Joule ( $J$ ) qabul qilingan:  $1 \text{ Joule} = 1 \text{ Nyuton kuch ta'sirida jisimni 1 metr masofaga ko'chirishda bajarilgan ishning miqdori}$ .

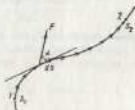
Eng umumiy hol uchun ilmi aniqlyik. Jism o'zgaruvchan kuch ta'sirida egri chiziqli harakat qilib  $S_1$  nuqtadan  $S_2$  nuqtaga o'tsin (4.2-rasm).

Bu holda yo'lmi xayolatan cheksiz kichik elementar  $dS$  bo'lakchalarga ajratamiz. Ajratgan elementar yo'l da, kuchni o'zgarmas deb olib, ko'chishni esa to'g'ri chizidigan iborat deb olamiz. Bu vaqtda elementar bajarilgan ish

$$dA = F dS \cos \alpha \quad (4.3)$$

$S_1 S_2$  yo'lida bajarilgan to'la ish

$$A = \int_{S_1}^{S_2} F dS \cos \alpha \quad (4.4)$$



4.2-rasm.

Bu integralni yechish uchun grafik usulidan foydalanamiz. Absissas o'qi bo'ylab  $S$  ning

qiymatlarini, ordinata o'qi bo'ylab  $F \cos \alpha$  ning qiymatlarini joylashtiramiz va  $F \cos \alpha = f(S)$  funktsiya grafigini chizamiz (4.3-rasm). Jisimning  $dS$  elementar ko'chish uchun bajarilgan elementar ishning miqdori

$$dA = F \cos \alpha dS = f(S) dS \cos \alpha$$

rasmidagi ikki marta shtrixlangan yuzachaning qiymatiga teng. Jisimni  $S_1$  va  $S_2$  nuqtalar orasida ko'chirishda bajarilgan ish esa rasmda  $S_1 S_2$  bilan chegaralangan va chap tomondan qiyalish shtrixlangan yuzaga teng.

Bajarilgan ishning bajarilish tezligini ifodalash uchun quvvat tushunchasi kiritiladi. Demak, vaqt birligida bajarilgan ish bilan o'lchanadigan kattalik quvvat deb ataladi, ya'ni

$$N = \frac{dA}{dt} \quad (4.5)$$

(4.5) ga  $dA$  ning (4.3) formuladagi qiymatini qo'yisak,

$$N = F \frac{dS}{dt} \cos \alpha$$

yoki

$$N = F \cdot v \cos \alpha = \vec{F} \cdot \vec{v} \quad (4.6)$$

ni hosil qilamiz.

Demak, quvvat ta'sir etuvchi  $\vec{F}$  kuch vektorining shu kuch ta'sirida jism olgan  $\vec{v}$

tezlik vektoriga skolar ko'paytmasiga teng ekan.

SI da quvvat birligi sifatida Vatt ( $W$ ) qabul qilingan:  $1 \text{ Vatt} = 1 \text{ sekunda davomida 1 Joule ish bajarilgan mashinaning quvvatidir}$ .

$$1 \text{ Vt} = 1 \text{ J/s}$$

##### 4.2. Energiya. I harakatning saqlanish qonuni

a) Energiya - materiyaning barcha turdagi harakati va ularning barcha turdagi o'zaro ta'sirlashishlarining miqdoriy o'lchovidir. b) energiya-jisimning yoki jismlar sistemasi uchun bajarilgan ish bajaran olish qobiliyatini ifodalovchi fizik kattaligidir. Energiya ma'lum sharoitlarda sistema bajarishi mumkin bo'lgan ish miqdori bilan o'lchanadi.

Energiyaning eng sodd shakllaridan biri mexanik energiya, ya'ni kinetik va potensial energiyalardir. Qisqacha qilib kinetik energiyani - harakat energiyasi, potensial energiyani esa - holat energiyasi deb atash mumkin.

Kinetik energiya, jism  $v$  tezlik bilan harakatlanyotgan bo'lsa. Uning kinetik energiyasi harakatlanyotgan jism to'xtaguncha bajarilgan ishlarining yig'indisidan iborat bo'ladi. Agar ish musbat bo'lsa, ( $A > 0$ ) jisimning kinetik energiyasi ortadi, aksincha  $A < 0$  bo'lsa, jisimning kinetik energiyasi kamayadi. Agar jism  $F$  kuch ta'sirida  $dS$  masofani bosib o'tsa, ishqalanish kuchi manfiy ish bajaradi, u holda ishni uning kinetik energiyasining kamayishiga tenglashtirish mumkin:

$$dA = -dW_k$$

yoki

$$dA = F dS = -madS = -m \frac{dv}{dt} dS = -m \frac{dv}{dt} v \cdot dt = -m v dv. \quad (4.7)$$

Bunda minus ishora harakat tormozlanish tufayli tezlanish manfiy ekanligini ko'rsatadi. To'la bajarilgan ismi hisoblash uchun oxirgi tenglikni  $t_1$  dan  $t_2$  integrallaymiz. Bu ish o'z navbatida kinetik energiyaga teng bo'ladi.

$$W_k = -A = \int_{t_1}^{t_2} m v dv = m \int_{v_1}^{v_2} v dv = \frac{m v_2^2}{2} - \frac{m v_1^2}{2}$$

yoki

$$W_k = \frac{m v_2^2}{2} - \frac{m v_1^2}{2} \quad (4.8)$$

Demak, jism kinetik energiyasining o'zgarishi uning tezligini  $v_1$  dan  $v_2$  ga o'zgarishi uchun jismga ta'sir etadigan kuch bajarishi lozim bo'lgan ishga teng. Oxirgi ifodadan umumiy holda  $W_k = mv^2/2$  yozish mumkin. Demak, massa bilan tezlik kvadrati ko'paytmasining yarimiga teng bo'lgan kattalik jismning kinetik energiyasi deb ataladi.

**Potensial energiya.** Potensial energiya jism yoki jism qismlarini holatlarining bir-biriga nisbatan o'zgarishi natijasida bajarilgan ishtir.

Masalan, Yer sathidan h balandlikda turgan jismga  $P=mg$  og'irlik kuchi ta'sir etadi. Agar jismni h balandlikdan tashlab yuborilsa, u og'irlik kuchi ta'sirida Yerga tushadi. Yer sirti yaqinida jism v tezlikka erishadi va og'irlik kuchining h balandlikni o'tishdagi bajarilgan ishi evaziga  $W_k = mv^2/2$  kinetik energiyaga ega bo'ladi.

U holda quyidagini yozishimiz mumkin:

$$A = Ph = mgh = m v^2 / 2 \quad (4.9)$$

Bu ish esa o'z navbatida jismning Yer sirtidan h balandlikka ko'turilgandagi potensial energiyasiga teng.

$$W = mgh \quad (4.10)$$

Demak, Yer sirtidan h balandlikka ko'tarilgan jismning potensial energiyasi jism og'irligi (mg) va balandlik (h) ning ko'paytmasiga teng ekan.

Endi elastik deformatsiyalangan jismning potensial energiyasini topaylik. Elastiklik kuchi Guk qonuniga asosan deformatsiyaga proporsional bo'ladi.

$$\vec{F}_{el} = -k\vec{x}$$

bunda, k - elastiklik koeffitsiyenti bo'lib, prujinaning birligi deb yuritiladi, x - siljishdir, formuladagi manfiy ishora elastiklik kuchining yo'nalishi siljish yo'nalishiga qarama-qarshi ekanligini ifodalaydi.

Kichik deformatsiyalarda (dx)  $F_{el}$  kuchining elementar ishi

$$dA = F_{el} dx = -kx dx,$$

to'la ish

$$A = - \int_0^x kx dx = - \frac{1}{2} kx^2. \quad (4.11)$$

Shunday qilib, elastik deformatsiya natijasida yuzaga kelgan potensial energiya prujina tarkibidagi zarrachalarning bir-biridan uzoqlashishi yoki bir-biriga yaqinlashishi va shunga mos tarq orasida o'zaro tortishish yoki itarishish kuchlarining hosil bo'lishi oqibatidir.

**To'la mexanik energiya va uning saqlanish qonuni.** Ko'p hollarda jism bir vaqtning o'zida ham kinetik energiyaga, ham potensial energiyaga ega bo'ladi. Kinetik va potensial energiyalarning yig'indisi to'la mexanik energiya deb ataladi. Masalan, Yer sirtidagi h balandlikda Yerga nisbatan v tezlik bilan harakatlanayotgan jism

$$W = \frac{m v^2}{2} + mgh \quad (4.12)$$

to'la energiyaga ega bo'ladi.

Agar moddiy nuqtaga faqat konservativ (bajarilgan ish yo'lini shakliga bog'liq bo'lmaydi) kuchlar ta'sir etsa, bu kuchlarning elementar dr ko'chishida bajarilgan ismi moddiy nuqta potensial energiyasining kamayishiga teng, ya'ni

$$dA = -dW_p.$$

Ikkinchi tomondan moddiy nuqtaning bu ko'chishda bajarilgan ishi uning kinetik energiyasining ortishiga teng, ya'ni

$$dA = -dW_k.$$

Bu ikki ifodani taqqoslash tufayli

$$dW_k = -dW_p, \quad \text{yoki} \quad d(W_k + W_p) = 0 \quad (4.13)$$

hosil qilamiz.

Oxirgi ifodadagi ( $W_k + W_p$ ) moddiy nuqta kinetik va potensial energiyalarining yig'indisidir, ya'ni to'la mexanik energiyasiga teng. Undan

$$W_T = W_k + W_p = \text{const} \quad (4.14)$$

hosil bo'ladi.

$$W = \frac{m v^2}{2} + mgh = \text{const} \quad (4.15)$$

Bu mexanik energiyaning saqlanish qonunining matematik ifodalidir. Bu qonun quyidagicha ta'riflanadi: faqat konservativ kuchlar ta'sir etayotgan jismlar yupiq sistemasi to'la mexanik energiyasi o'zgarmaydi.

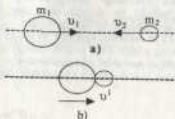
SI sistemada energiya ish birligida, ya'ni Joulida o'lchanadi.

#### 4.3. Absolut elastik va noelastik urilishlar

Jismlarning o'zaro urilishida ularning sirtlari bevosita bir-biriga tegadi va deformatsiya yuz beradi. Bunda jismlarning urilishidan oldingi kinetik energiyasi qisman yoki to'la ravishda elastik deformatsiya potensial energiyasiga va jismlarning ichki energiyasiga aylanadi. Ichki energiyani o'zlashtirish o'z navbatida jismning haroratini ortishiga sabab bo'ladi.

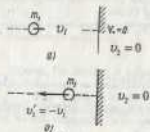
Urilishlarning ikki xil turi mavjud bo'lib, bular - absolut elastik va absolut noelastik urilishlardir.

Avval **absolut noelastik urilishni** qarab chiqaylik. Plastilni, loy, qo'rg'oshni va boshqa shular kabi moddalarning urilishi absolut noelastik urilishga yaqin bo'ladi. Absolut noelastik urilish shu bilan ifodalanadi, bunda, deformatsiya potensial energiyasi vujudga kelmaydi, jismlarning kinetik energiyasi batamom yoki qisman ichki energiyaga aylanadi, urilishdan so'ng to'qnashgan sharlar yo bir xil tezlik bilan harakatlanadi, yo tinch holatda qoladi. Bu to'qnashuvda faqat impulsning saqlanish qonuni bajariladi xolos. Massalari  $m_1$  va  $m_2$  bo'lgan sharlar  $u_1$  va  $u_2$  tezliklar bilan harakatlanib absolut noelastik to'qnashsin. Impuls saqlanish qonuniga binoan shartlarning urilishdan keyingi impulsi urilishdan oldingi impulsiga teng bo'lishi kerak, ya'ni  $m_1 v_1 + m_2 v_2 = (m_1 + m_2) v'$ .



$$v' = \frac{m_1 u_1 + m_2 u_2}{m_1 + m_2} \quad (4.16)$$

$u_1$  va  $u_2$  vektorlar bir to'g'ri chiziq bo'ylab yo'nalganligi uchun  $v'$  vektorining yo'nalishi ham shu to'g'ri chiziq yo'nalishida bo'ladi. 4.4 - rasmidagi bel uchun qaysi bir sharning impulsi katta bo'lsa, urilishdan so'ng ikkala sharning birgalikdagi



harakatining yo'nalishi o'sha  $v'$  vektor yo'nalishida bo'ladi, ya'ni impulsi katta sharning yo'nalishida bo'ladi. Bu holda sharlarning urilishdan oldingi impulslari teng bo'lsa, urilishdan so'ng harakat to'xtaydi, ya'ni  $v' = 0$  bo'ladi.

Endi **absolut elastik urilishni** ko'rib chiqaylik. Po'lat, fil suyuqi va boshqa moddalardan iborat jismlarning urilishi absolut elastik urilishga ancha yaqin bo'ladi. Bunday urilishda impulsning saqlanish qonuni bilan mexanik energiyaning saqlanish qonuni bajariladi.

Massalari  $m_1$  va  $m_2$ , urilishga qadar tezliklari  $u_1$  va  $u_2$ , urilishdan keyingi tezliklari  $u_1'$  va  $u_2'$  bilan berilgan shartlarni olamiz. Impuls va energiyaning saqlanish qonunlarini yozaylik:

$$m_1 u_1 + m_2 u_2 = m_1 u_1' + m_2 u_2' \quad (4.17)$$

$$\frac{m_1 u_1^2}{2} + \frac{m_2 u_2^2}{2} = \frac{m_1 u_1'^2}{2} + \frac{m_2 u_2'^2}{2} \quad (4.18)$$

(4.17) va (4.18) ni birgalikda yechib

$$u_1' = \frac{2m_2 u_2 + (m_1 - m_2) u_1}{m_1 + m_2}; \quad u_2' = \frac{2m_1 u_1 + (m_2 - m_1) u_2}{m_1 + m_2} \quad (4.19)$$

ifodalarni hosil qilamiz.

Ba'zi xususiy hollarni ko'rib chiqaylik.

1. Shartlarning massalari har xil bo'lib, ulardan ikkinchisi tinch holatida bo'lsin ( $u_2 = 0$ ). U holda (4.19) tenglik yordamida urilishdan keyingi tezliklarni aniqlaylik:

$$u_1' = \frac{m_1 - m_2}{m_1 + m_2} u_1; \quad u_2' = \frac{2m_1}{m_1 + m_2} u_1 \quad (4.20)$$

(4.20) dan ko'rinadiki, sharlarning to'qnashishdan keyingi tezliklari ular massalarining nisbatiga bog'liq bo'lar ekan.

Agar  $m_2 \gg m_1$  shart bajarilsa, (4.20) ga asosan:

$$u_1' = -u_1, \quad u_2' = 0 \quad (4.21)$$

bo'ladi. Bunday hol elastik shar devoriga urilganda amalga oshishi mumkin (4.5-rasm). Devorga urilgan absolut elastik shar tezligining qiymati o'zgar olmaydi, yo'nalishi esa qarama-qarshi tomonga o'zgaradi. Bu to'qnashda urilishlar ideal gaz molekularining idish devoriga elastik urilishini va orqasiga qaytishini eslatadi.

2. Urilishda ishtirok etayotgan sharlarning massalari bir xil bo'lsin (ya'ni  $m_1 = m_2$ ). U holda (4.19) ifodalari

$$u_1' = u_2, \quad u_2' = u_1$$

ko'rinishga keladi. Demak, massalari teng bo'lib to'qnashganda ular o'z tezliklarini almashadi (4.6-rasm).

#### 4.4. Uzluktsizlik va Bernulli tenglamasi

1. Mexanik energiyaning saqlanish qonunini suyuqliklarda qanday kechishini ko'raylik. Mexanikaning suyuq muhit harakatining qonunlarini va uning ahu oqayotgan muhitdagi holatlarini ifodalovchi **gidrodinamika** deyiladi. Suyuqliklarning harakatini oqish deyilib, harakatlantayotgan suyuqlik zartlarining quyilishini oqim deb yuritiladi.

Suyuqliklar, gazlar singari, ma'lum shaklga ega emas va qanday idishga quyilgan bo'lsa, o'sha idish shaklini egallaydi. Gaz aniq bir hajimga ega emas va u berilgan hajmni egallaydi. suyuqlik esa to'laigicha ma'lum xususiy hajimga ega. Gazlar nisbatan oson siqiladi, suyuqliklar esa amalda deyarli siqilmaydi. Suyuqlik molekullarini orasidagi masofa kichik bo'lgani uchun molekularning bir-biriga tortirish kuchi katta bo'ladi.

Real suyuqlikni siqish mumkin, ya'ni bosimning ortishi bilan uning hajmi kamayib, zichligi ortadi, biroq suyuqlikni siqilishi juda kam bo'ladi. Masalan, 100 m. ga ortadigan suvning zichligi, faqat 0.5% ga ortadi. Bundan tashqari, real suyuqliklar yopishqoq bo'lib, ularda hamma vaqt ichki ishqalanish kuchlari bo'ladi. Yopishqoqliq mulqoq bo'lmagan xaroratlarda ba'zi real suyuqliklar (efir, atseton, spirt, suv, simob) ning yopishqoqliqi juda kam bo'ladi, shuning uchun ularni ideal suyuqliklar deb qarash mumkin. Ideal suyuqlik zarralarining harakat tezligini vektorlar bilan tasvirlaylik. Ideal suyuqlik zarralarining harakatini ifodalovchi shuday chiziqlar o'ikazaylikki, bu chiziqlarning har bir nuqtasidagi urinma, suyuqlik zarralarining harakat tezligi vektori bilan ustma-ust tushsin. Bunday chiziqlar oqim chiziqlari deyiladi. Oqim chiziqlarining soni stu sohadaqi suyuqlik zarralari tezligining qiymatiga proporsional bo'ladi. Demak, tezligi kattaroq bo'lgan sohalarida oqim chiziqlari zichroq bo'lishi mumkin.

Agar suyuqlikning tezligi oqim egallagan hajmning har bir nuqtasida vaqt o'tishi bilan o'zgarmasa, bu suyuqlikning harakati barqaror (statsionar) harakat deyiladi. Barqaror harakatda suyuqlik zarralarining trayektoriyasi oqim chiziqlari bilan mos keladi. Suyuqlik oqimining barqaror harakatini tekshirish uchun uni xayolani oqim naylariga ajratiladi va har bir oqim nayidagi harakat o'rganiladi. 4.7-rasmdagi  $S_1$  va  $S_2$  kesimlardagi suyuqlik oqimining tezliklari mos ravishda  $V_1$  va  $V_2$  suyuqlikning zichliklari esa  $\rho_1$  va  $\rho_2$  bo'lsin. Oqim nayining  $S_1$  va  $S_2$  kesimlaridan  $\Delta t$  vaqtda bir xil massali suyuqlik o'tadi, ya'ni:

$$\Delta m_1 = \rho_1 S_1 V_1 \Delta t \quad \Delta m_2 = \rho_2 S_2 V_2 \Delta t \quad (4.22)$$

$\Delta m_1 = \Delta m_2$  bo'lgani uchun  $\rho_1 V_1 S_1 = \rho_2 V_2 S_2$  siqilmas suyuqliklar uchun

$\rho_1 = \rho_2$  bo'ladi. U holda (4.22) quyidagi ko'rinishda yoziladi.

$$V_1 S_1 = V_2 S_2 \quad (4.23)$$

(4.22) ifoda siqiluvchan suyuqliklar uchun (4.23) esa siqilmas suyuqliklar uchun uzalukstzlik tenglantasi deb yuritiladi. Bu yerda kesimlar ixtiyoriy tanlanganligi uchun

$$SV = const \quad (4.24)$$

deb yozish mumkin, ya'ni berilgan oqim nayi uchun nay ko'ndalang kesim yuzining suyuqlikning oqim tezligiga ko'paytmasi o'zgarmas kattalikdir.

2. O'zgaruvchan kesimli qiya oqim nayi bo'ylab suyuqlik chispanan o'ngga harakatlanaotgan bo'lsin. (4.7-rasm) nay bo'ylab harakatlanaotgan suyuqlikni ideal (siqilmaydigan) suyuqlik deb, bu suyuqlikning oqim tezligi bilan bosimi orasidagi bog'lanishni aniqlaylik. Oqim nayning  $S_1$  kesimidagi suyuqlik tezligi va bosimini mos ravishda  $V_1$  va  $p_1$  bilan,  $S_2$  kesimidagilarni esa  $V_2$  va  $p_2$  lar bilan belgilaylik  $S_1$  va  $S_2$  kesimlar markazlarining biror gorizontal sathdan balandliklari

mos ravishda  $h_1$  va  $h_2$  bo'lsin.  $S_1$  va  $S_2$  kesimlar bilan chegaralangan oqim nayi ichidagi suyuqlik massasining  $\Delta t$  vaqtidagi to'liq energiyasining o'zgarishini aniqlaylik. Siqilmaydigan ideal suyuqlikning to'liq energiyasi uning  $W_k$  kinetik energiyasi bilan  $W_p$  potentsial energiyasi yig'indisidan iborat bo'ladi:

$$\Delta W = (W_k + W_p)_2 - (W_k + W_p)_1 \quad (4.25)$$

yoki

$$\Delta W = \frac{\Delta m v_2^2}{2} + gh_2 - \frac{\Delta m v_1^2}{2} - \Delta mgh_1 \quad (4.26)$$

bu yerda,  $g$ —erkin tushish tezlanish.

Energiyaning bu o'zgarishi, mexanik energiyaning saqlanish qonuniga asosan, tashqi kuchlarning bajarigan ishiga teng bo'lishi lozim. Tashqi bosim kuchi  $F_1$  oqib kiruvchi massani  $V_1 \Delta t = \Delta I_1$  yo'lda ko'chirishda bajaragan  $\Delta A_1$  ishini,  $F_2$  bosim kuchi esa  $V_2 \Delta t = \Delta I_2$  yo'lda  $\Delta A_2$  ni bajaradi. U holda:

$$\Delta A_1 = F_1 \Delta I_1 = p_1 S_1 V_1 \Delta t$$

$F_2$  kuch va suyuqlik zarralarining ko'chish yo'nalishlari teskari bo'lganligi ishtayti u bajaragan ish manfiy bo'ladi.

$$\Delta A_2 = F_2 \Delta I_2 = p_2 S_2 V_2 \Delta t.$$

Natijada, tashqi kuchlarning to'liq ishi quyidagi ifoda bilan aniqlanadi.

$$\Delta A = \Delta A_1 + \Delta A_2 = p_1 S_1 V_1 \Delta t - p_2 S_2 V_2 \Delta t \quad (4.27)$$

biroq

$$S_1 V_1 \Delta t = S_2 V_2 \Delta t = \Delta V$$

bu yerda,  $\Delta V S_1$  va  $S_2$  kesimlardan chiqayotgan suyuqlikning hajmidir.

Natijada (4.27) ni quyidagicha yozamiz:

$$\Delta A = \Delta V - p_2 \Delta V \quad (4.28)$$

yuzoqida aytilganidek ideal suyuqlikning barqaror oqimida  $\Delta W = \Delta A$  shart bajarilishi kerak. Binobarin, (4.26) va (4.28) ifodalarni birlashtirib quyidagi tenglikni hosil qilamiz:

$$\frac{m v_1^2}{2} + mgh_1 + p_1 \Delta V = \frac{m v_2^2}{2} + mgh_2 + p_2 \Delta V$$

Bu tenglikning ikkala tomonini  $\Delta V$  ga bo'lib yuborsak va  $\frac{m}{\Delta V} = S$  suyuqlik

zichligi ekanligini hisobga olsak:

$$\frac{\rho v_1^2}{2} + \rho gh_1 + p_1 = \frac{\rho v_2^2}{2} + \rho gh_2 + p_2 \quad (4.29)$$

munosabat vujudga keladi.

Demak, barqaror oqayotga ideal suyuqlikning ixtiyoriy oqish chizig'i bo'ylab

$$\frac{\rho v^2}{2} + \rho gh + p = const \quad (4.30)$$

hosil qilamiz. (4.30) ifoda Bernulli tenglamasi deb yuritiladi

1. Bu yerda - harakatlantiruvchi suyuqlik ichidagi bosimni anglatadi va uni statik bosim deb yuritiladi.

2.  $\frac{\rho v^2}{2}$  - dinamik bosim. U suyuqlik ichidagi bosimni kamaytirishini ifodalaydi.

3.  $\rho gh$  - gidravlik bosim. U oqim nayi  $h$  balandlikka ko'tarilgan taqdirda statik bosimning qanchaga kamayishini ifodalaydi.

Bernulli tenglamasi energiyaning saqlanish qonunini ifodalaydi va quyidagicha ta'riflanadi:

Siqilmaydigan ideal suyuqlikning barqaror harakatida bosim solishtirma energiyasi, kinetik va potentsial solishtirma energiyalar yig'indisi oqimning har qanday ko'ndalang kesimida o'zgar olmaydi.

Yoki boshqacha ta'rif berish mumkin: ideal suyuqlikning barqaror oqishidagi to'liq bosim dinamik, gidravlik va statik bosimlarning yig'indisidan iborat bo'lib, uning qiymati oqim nayining barcha qismlari uchun birday bo'ladi.

Gorizontal oqim nayi uchun Bernulli tenglamasi quyidagi ko'rinishdagi bo'ladi:

$$\frac{\rho v^2}{2} + p = \text{const} \quad (4.31)$$

chunki  $\rho gh = 0$ .

Bernulli (4.30) va uzluksiz (4.24) tenglamalarini, faqat suyuqlik uchungina emas, balki siqilishini va yopishqoqligini e'tiborga olmasa ham, bo'ladigan gazlarga ham tatbiq qilish mumkin. Bu vaqtda gazning harakat tezligi 150-200 m/s dan ortmaydigi kerak, chunki bu holda havoni bemulohir siqilmaydigan ideal suyuqlikka o'xshash deb hisoblab unga uzluksizlik tenglamasi va Bernulli tenglamasini qo'llash mumkin. Shuning uchun ham, Bernulli tenglamasi gidro va aerodinamikaning asosiy qonunlaridan biri hisoblanadi va uning amaliy ahamiyati katta. Misol. **Gidroturbinada** Bernulli tenglamasiga muvofiq, suv bosimining potentsial energiyasi tor suv chiqarish joyida (soploda) kinetik energiyaga aylanadi, bu kinetik energiya ishlchi g'ildirakni aylantiradi.

#### Savollar

1. Mexanik ish formulasiini ifodalang va qanday kuchlar manfiy ish bajarishini ko'rsating?
2. O'zgaruvchan kuch ta'sirida jismining bajarigan to'la ishini hisoblashda qanday usuldan foydalaniladi?
3. Quvvatni ishning bajarilish tezligi bilan bog'liqligini ifodalang.
4. Energiya, energiyaning turlari va to'la energiyaning saqlanish qonunlarini ifodalang?
5. Elastik deformatsiyalangan jismining potentsial energiyasi qanday ifodalanadi?
6. Sharhlari absolyut elastik va neolastik urilishlarida qanday saqlanish qonunlarini bajariladi?
7. Uzluksizlik va Bernulli tenglamalarini mohiyatini aytib va misollar keltirib.

#### Masalalar

**9-masala.** Lemexlarning egallash eni  $l=1,2\text{m}$  bo'lgan traktor  $r=8$  soat davomida  $S=2$  gektar yer haydaydi. Tuproqning qarshiligi  $F_{\text{to'q}}=17640\text{N}$  ga teng. Traktorning foydali ish koeffitsiyenti  $\eta=80\%$  traktor motorining quvvati  $N$  ni aniqlang.

$$\begin{aligned} \text{Berilgan: } F_{\text{to'q}} &= 17640\text{N} && = 17640\text{N} \\ r &= 8 \text{ soat} && = 8 \cdot 60 \cdot 60 = 28800 \text{ s} \\ S &= 2 \text{ gektar} && = 2 \cdot 10^4 \text{ m}^2 \\ \eta &= 80\% \\ l &= 1,2\text{m} && = 1,2\text{m} \\ N &=? \end{aligned}$$

**Yechish.** Traktorni tuproqning qarshilik kuchiga qarshi bajargan ishi foydali ish koeffitsiyentini hisobga olganda quyidagicha bo'ladi:

$$A = F_{\text{to'q}} \frac{S}{l \cdot \eta}$$

bu yerda,  $\frac{S}{l}$  - traktorning bosib o'tgan yo'li, u holda traktor motorining quvvati

$$N = \frac{A}{t} = \frac{F_{\text{to'q}} S}{t \eta} = \frac{17640 \cdot 2 \cdot 10^4}{8 \cdot 3600 \cdot 1,2 \cdot 0,8} = 1,28 \cdot 10^4 \text{ Wt}$$

**10-masala.** Massasi  $m = 3 \cdot 10^3 \text{ kg}$  bo'lgan vagonetka qiyaligi gorizontal bilan

$\alpha = 30^\circ$  burchak tashkil qiluvchi rels bo'yab tepalikka ko'tarilmoqda. Agar vagonetka  $a = 0,2\text{m/s}^2$  tezlanish bilan harakatlantirayotgan bo'lsa, tortish kuchini  $S=50\text{m}$ , yo'lda bajaragan  $A$  ishi topilsin. Ishqalanish koeffitsiyenti  $k=0,1$  ga va  $g=10\text{m/s}^2$  teng deb olinin.

$$\begin{aligned} \text{Berilgan: } m &= 3 \cdot 10^3 \text{ kg}, \quad \alpha = 30^\circ, \quad a = 0,2\text{m/s}^2 \\ S &= 50\text{m} && k = 0,1, \quad g = 10\text{m/s}^2 \\ A &=? \end{aligned}$$

**Yechish.** Vagonetkaga ta'sir qiluvchi  $F_T$  tortishish kuchini aniqlash uchun  $p$  og'irlik kuchini  $F_S = P \sin \alpha$  pastga sudrovchi va  $F_N = P \cos \alpha$  normal bosim kuchlaridan iborat ikki tashkil etuvchi kuchlarga ajratamiz hamda dinamikaning ikkinchi qonuniga binoan quyidagi harakat tenglamasini yozamiz:

$$m a = F_T - P \sin \alpha - P \cos \alpha$$

bunda, ishqalanish kuchi  $F_{\text{shk}} = kP = kmg$  ekanligini hisobga olib tenglamani quyidagicha yozamiz:

$$F_T = m(a + g \sin \alpha + kg \cos \alpha)$$

u vaqtda  $F_T$  tortishish kuchining bajaragan  $A$  ishi quyidagiga teng bo'ladi:



$$A = m(a + g \sin \alpha + kg \cos \alpha) \cdot S =$$

$$= 3 \cdot 10^2 (0,2 + 10 \sin 30^\circ + 0,1 \cdot 10 \cos 30^\circ) \cdot 50 =$$

$$= 3 \cdot 10^2 \cdot 6,066 \cdot 50 = 910 \cdot 10^3 J = 910 kJ.$$

11-masala. Agar biz tanlagan prujina  $F_0 = 3 \cdot 10^4 N$  kuch ta'sirida  $x_0 = 1m$  siqilsa, prujinani  $x = 5m$  ga siqish uchun qancha  $A$  ish bajariladi?

Berilgan:  $x_0 = 1m = 1 \cdot 10^{-3} m$   
 $x = 5m = 5 \cdot 10^{-3} m$   
 $F_0 = 3 \cdot 10^4 N = 3 \cdot 10^4 N$

Yechish. Prujinani siqishda unga o'zgaruvchan kuch ta'sir qiladi. Prujinani siquvchi kuch  $F$  Guk qonuniga binoan siljishga proporsional bo'lib, bajarilgan ish

$$W_{el} = \frac{kx}{2}$$

$$dA = F dx \text{ yoki } A = \frac{kx^2}{2}$$

Bunda,  $k$  – prujinaning birligi yoki elastiklik koeffitsiyenti deb yuritiladi, u quyidagicha aniqlanadi  $k = \frac{F_0}{x_0}$

bu ifodani formulaga qo'yib quyidagini hosil qilamiz:

$$A = \frac{F_0 x^2}{x_0} \cdot \frac{1}{2} = \frac{3 \cdot 10^4}{1 \cdot 10^{-3}} \cdot \frac{25 \cdot 10^{-4}}{2} = 3750 N \cdot m = 3750 J.$$

12-masala. Mazasi  $m_1$  bo'lgan, muayyan  $U_1$  tezlik bilan harakatlanayotgan shar  $m_2$  massali harakatsiz shar bilan to'qnashdi. Urilishni bir to'g'ri chiziq bo'ylab absolut elastik deb qaralins. Birinchi shar o'z kinetik energiyasining qancha qismi ni ikkinchi sharga beradi.

Berilgan:  $U_1, m_1, m_2$

Yechish. Birinchi shar energiyasining qancha qismi ikkinchi sharga berilganligini quyidagi munosabat orqali ifodalansin:

$$w = \frac{W_2^1}{W_1} = \frac{m_2 u_2^2}{m_1 u_1^2} = \frac{m_2}{m_1} \left( \frac{u_2^2}{u_1^2} \right) \quad (1)$$

bu yerda,  $W_1$  – birinchi sharning urilishgacha bo'lgan kinetik energiyasi;  $u_1$  va  $W_2^1$  – ikkinchi sharning urilishdan keyingi tezligi va kinetik energiyasi. (1) ifodadan

ko'rinib turibdiki,  $w$  ni aqlash uchun  $u_2$  ni topish kerak. Absolut elastik to'qnashganda bir paytning o'zida ikkita impulsning saqlanish qonunlari bajarilishidan foydalanamiz.

Urilishgacha ikkinchi shar harakatsiz bo'lganligini hisobga olib, impuls saqlanish qonunini  $m_1 u_1 = m_1 u_1' + m_2 u_2'$  va energiya saqlanish qonunini

$$\frac{m_1 u_1^2}{2} = \frac{m_1 u_1'^2}{2} + \frac{m_2 u_2'^2}{2}$$

ko'rinishda yozamiz. Bu ikki tenglamani birgalikda yechib, quyidagini topamiz:

$$u_2 = \frac{2m_1 u_1}{(m_1 + m_2)}$$

$u_2$  ning bu ifodasini (1) tenglamaga qo'yib  $w$  ni topamiz:

$$w = \frac{m_2}{m_1} \left[ \frac{(2m_1 u_1)^2}{(m_1 + m_2)^2} \right] = \frac{4m_1 m_2}{(m_1 + m_2)^2}$$

13-masala. Parkagichdan suyuqlik  $U = 25 m/s$  tezlik bilan otilib chiqmoqda, suyuqlikning zichligi  $\rho = 1 \frac{g}{cm^3}$ . Parkagich idishining hajmida kompressor qanday  $p_1$  bosim hosil qiladi?

Berilgan:  $U = 25 m/s = 25 m/s$

$$\rho = 1 g/cm^3 = 1 \frac{10^{-3} kg}{10^{-6} m^3} = 1 \cdot 10^3 kg/m^3$$

$p_2 = 0$

Yechish. Bernulli tenglamasi (4.30) ga muvofiq  $\rho gh = const$  deb hisoblab quyidagini yozamiz:

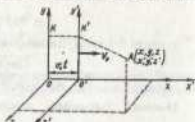
$$\frac{\rho u_1^2}{2} + p_1 = \frac{\rho u_2^2}{2} + p_2$$

bu yerda,  $U_1$  – parkagich idishidagi suyuqlikning tezligi,  $p_2$  – parkagichdan chiqishda suyuqlik oqimidagi bosim.  $U_2 = 0$ , chunki idishda suyuqlikning tezligi  $U_2$  ga nisbatan kichik,  $p_2 = 0$ , chunki Bernulli bosimida ortiq. Shuning uchun

$$p_1 = \frac{\rho U_1^2}{2} = \frac{1 \cdot 10^3 \cdot 625}{2} = 3,12 \cdot 10^5 N/m^2 = 3,12 atm.$$

5.1. Galileyning nisbiylik prinsipi

Agar sanoq-sistemalari bir-biriga nisbatan to'g'ri chiziqli tekis harakat qilsa, bu sistemalarni *inertial sanoq sistemalari* deyiladi. Bunday sanoq sistemalarida Nyuton dinamikasining barcha qonunlari bajariladi. Fikrimizni oydinlashtirish uchun ikki sanoq sistemasini tekshiraylik.  $K$  sistemani tinch holatda deb olib, ikkinchi  $K'$  sistema unga nisbatan o'zgarmas  $u_0$  tezlik bilan  $OX$  o'qi yo'nalishida to'g'ri chiziqli tekis harakatlanib (5.1-rasm).



5.1-rasm.

$t=0$  vaqtda ikkala sanoq sistemasi bir-birining ustiga tushadi. Agar vaqtni ikkala sistemaning koordinata boshlari ustma-ust tushgan paytdan boshlab hisoblasak, u vaqtda 5.1-rasmga hinoan  $X=X'+u_0t$ ,  $U=U'$ ,  $Z=Z'$  bo'ladi. Ikkala sistemada ham vaqt bir tarzda o'tadi ( $t=t'$ ) deb faraz qilsak, u holda quyidagi ifodalarga ega bo'lamiz.

$$\left. \begin{aligned} x &= x' + u_0 t' \\ y &= y' \\ z &= z' \\ t &= t' \end{aligned} \right\} \quad (5.1) \quad \left. \begin{aligned} x' &= x - u_0 t \\ y' &= y \\ z' &= z \\ t' &= t \end{aligned} \right\} \quad (5.2)$$

(5.1) va (5.2) ifodalar Galiley almashtirishlari deb ataladi. Bu ifoda o'z navbatida moddiy nuqta ( $A$ ) ning ixtiyoriy paytda ikkala sanoq sistemasidagi koordinatalarini o'zaro bog'laydi. (5.1) munosabatlarni vaqt bo'yicha differensiallasak,  $A$  nuqtaning  $K$  va  $K'$  sanoq sistemasidagi tezliklar orasidagi bog'lanishni topamiz.

$$\left. \begin{aligned} v_x &= \frac{dx}{dt} = \frac{d}{dt}(x' + u_0 t) = v'_x + u_0 \\ v_y &= \frac{dy}{dt} = \frac{d}{dt}(y') = v'_y \\ v_z &= \frac{dz}{dt} = \frac{d}{dt}(z') = v'_z \end{aligned} \right\} \quad (5.3)$$

Bu munosabatni vektor ko'rinishida

$$\vec{v} = \vec{v}' + \vec{u}_0 \quad (5.4)$$

yo'zish mumkin. (5.4) ifoda tezliklarni *qo'shish qoidasi* deb ataladi.

Umuman, bir sanoq sistemadan ikkinchi sistemaga o'tganda biror kattalikning qiymati o'zgarmasa, bu kattalik shu almashtirishga nisbatan *invariant* deb ataladi.

Masalan, uzunlik ( $l = l'$ ), massa ( $m = m'$ ), kuch ( $F = F'$ ), tezlanish ( $a = a'$ ) kabi kattaliklar Galiley almashtirishlariga nisbatan invariantdir.

Demak, turli inertial sanoq sistemalarida barcha mexanik hodisalar bir xil sodir bo'lganligi sababli hech qanday mexanik tajribalar yordamida berilgan sanoq sistemasini tinch turganligi yoki to'g'ri chiziqli tekis harakatlanayotganini aniqlab bo'lmaydi. Bu Galiley nisbiylik prinsipi.

5.2. Nisbiylik prinsipining postullatlari

Fizika fanining asosiy qonunlaridan bo'lgan elektrodinamika qonunlarini umumlashtiruvchi Maksvel tenglamalari sistemasi 1865-yilda yaratildi. Lekin Maksvel tenglamalarini Galiley almashtirishlaridan foydalanib, bir inertial sanoq sistemadan ikkinchisiga o'tkazitsa, tenglamalar mutlaqo xulosa kelib chiqadi, demak, Maksvel tenglamalari Galiley almashtirishlariga nisbatan invariant emas ekan.

O'sha davrdayoq Eynshayn va boshqa olimlar tomonidan Maksvel tenglamalarining ifodalarni o'z ko'rinishlarini o'zgartirmasligi uchun yangi almashtirishlardan foydalanish zarurligi aytildi. Eynshayn bunday almashtirishlar quyidagi ikki prinsip, ya'ni postuli asosida bo'lishni ko'tarib chiqadi:

- I Nisbiylik prinsipi. *Barcha inertial sanoq sistemalarda hamma fizik hodisalar (mexanik, elektromagnit, optik va boshqalar) bir xilda ro'y beradi.*
- II Yorug'lik tezligining doimiylik prinsipi. *Yorug'likning bo'shliqdagi tezligi barcha inertial sanoq sistemalarida bir xil bo'lib o'zgarmas kattalikdir, ya'ni S ga tengdir.*

Galiley almashtirishlariga asosan  $K$  sanoq sistemasidagi kuzatuvchi uchun yorug'lik tezligi  $S + u_0$  bo'lishi lozim edi. Lekin  $K$  sanoq sistemasida ham,  $K'$  sanoq sistemasida ham yorug'lik tezligi bir xil bo'lib, u doimiy  $S$  ga teng bo'ladi.

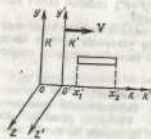
5.3. Lorens almashtirishlari

Yuqoridagi ko'rib chiqqan nisbiylik nazariyasining prinsiplaridan ravshaniki, klassik mexanika nisbiylik prinsiplariga mos bo'lgan Galiley almashtirishlari Eynshayn postullatlarini qo'qqanlantirmaydi. Shuning uchun nisbiylik prinsiplariga mos bo'lgan Lorens almashtirishlaridan foydalanamiz, u quyidagi ko'rinishda yoziladi:

$$x = \frac{x' + u_0 t'}{\sqrt{1 - \frac{u_0^2}{c^2}}}; \quad y = y'; \quad z = z'; \quad t = \frac{t' + \frac{u_0}{c^2} x'}{\sqrt{1 - \frac{u_0^2}{c^2}}} \quad (5.5)$$

Bu munosabatlardan foydalanib  $K'$  sanoq sistemasidagi koordinatalar ( $x', u', z'$ ) va vaqt ( $t'$ ) dan  $K$  sanoq sistemasidagi koordinatalar ( $x, u, z$ ) hamda vaqt ( $t$ ) ga o'tish mumkin.  $K$  sistemadan  $K'$  sistemaga o'tish uchun (5.5) ifodani quyidagi ko'rinishda yozamiz:

$$x' = \frac{x - u_0 t}{\sqrt{1 - \frac{u_0^2}{c^2}}}; \quad y' = y; \quad z' = z; \quad t' = \frac{t - \frac{u_0}{c^2} x}{\sqrt{1 - \frac{u_0^2}{c^2}}} \quad (5.6)$$



5.2-rasm.

Yuqoridagi tenglamalardan ko'rinadiki  $v \ll c$  shart bajarilganda Lorens almashirishlari Galiley almashirishlariga o'tadi. Endi Lorens almashirishlaridan kelib chiqqigan natijalarni ko'rib chiqaylik.

a) **Jism uzunligining o'zgarishi.**  $K$  sistemaga nisbatan  $X$  yo'nalishida  $\vec{v}$  tezlik bilan harakatlanayotgan  $K'$  sistemada sterjen tinch holatda bo'lsin.  $K'$  sistemada turgan kuzatuvchi sterjenning uzunligini  $l_0$  ga teng ekanligini e'tirof etadi.  $K$  sistemadagi kuzatuvchi uchun sterjen  $\vec{v}$  tezlik bilan

harakatlanadi. Ictiyoriy  $t'$  vaqtda sterjen uchlarning koordinatalari mos ravishda  $X_1'$  va  $X_2'$  bo'lsin. U holda sterjen uzunligi  $K'$  sistemada  $l_0 = X_2' - X_1'$  ifoda bilan aniqlanadi.  $K$  sistemadagi kuzatuvchi uchun sterjen uzunligi ( $t = X_2 - X_1$ ) ni aniqlaylik. Lorens almashirishlariga asosan  $X_1'$  va  $X_2'$  koordinatalar ifodalangan sterjenning  $K$  dagi koordinatalari  $X_1$  va  $X_2$  lar quyidagicha bog'langan:

$$X_1 = \frac{X_1' - v_0 t'}{\sqrt{1 - \frac{v_0^2}{c^2}}}, \quad X_2 = \frac{X_2' - v_0 t'}{\sqrt{1 - \frac{v_0^2}{c^2}}}$$

Bundan  $X_2' - X_1' = \frac{X_2 - X_1}{\sqrt{1 - \frac{v_0^2}{c^2}}}$  yoki  $l_0 = \frac{l}{\sqrt{1 - \frac{v_0^2}{c^2}}}$

Demak,

$$l = l_0 \sqrt{1 - \frac{v_0^2}{c^2}} \quad (5.7)$$

$K$  sistemadagi sterjen uzunligi  $K'$  sistemadagiga nisbatan qisqaroq bo'lar ekan. Buni uzunlikning **Lorens qisqarishi** deb ataladi.

b) **vaqt intervalni o'zgarishi.** Lorens almashirishlariga asosan  $t_1$  va  $t_2$  vaqtlar  $K'$  sanoq sistemasidagi soat bo'yicha qayd qilinadigan  $t_1'$  va  $t_2'$  vaqtlar bilan quyidagicha bog'langan:

$$\Delta t = t_2 - t_1 = \frac{t_2' - t_1'}{\sqrt{1 - \frac{v_0^2}{c^2}}} = \frac{\Delta t_0}{\sqrt{1 - \frac{v_0^2}{c^2}}} \quad (5.8)$$

Demak, nisbiylik nazariyaga asoslanib aynan bir voqeaning o'tish vaqti bir-biriga nisbat harakatlanayotgan inercial sanoq sistemalarida turlicha davom etadi. Bu effektni harakatlanuvchi sanoq sistemalarda **vaqt o'tishining sekinlashishi** deb

ataladi.  $K'$  sistemada, ya'ni harakatdagi sanoq sistemasida vaqtning o'tishi tinch turgan  $K$  sanoq sistemasiga nisbatan sekinroq o'tganligi aniqlanadi.

d) **Tezliklarni qo'shish.** Klassik mexanikada tezliklarni qo'shishda [(5.4) ifodaga qarang]  $u = v + u_0$  tenglamadan foydalanilgan bo'lsak, katta tezliklarda undan foydalanish xatolikka olib keladi.

Lorens almashirishlaridan foydalanib, tezliklarning qo'shish qoidasini aniqlaylik. Jisimning  $K$  sanoq sistemasidagi tezligi  $u = dx/dt$  bo'lsa,  $K'$  sanoq sistemasidagi tezligi esa  $u' = dx'/dt'$  teng bo'ladi. Bularni aniqlash uchun Lorens almashirishlarini ifodalovchi (5.5) tenglamadan hosilga o'taylik:

$$dx = \frac{dx' + v_0 dt'}{\sqrt{1 - \frac{v_0^2}{c^2}}}; \quad dt = \frac{dt' + \frac{v_0}{c^2} dx'}{\sqrt{1 - \frac{v_0^2}{c^2}}}$$

Bu ifodalardan foydalanib, tezlikni topaylik:

$$u = \frac{dx}{dt} = \frac{dx' + v_0 dt'}{dt' + \frac{v_0}{c^2} dx'} = \frac{\frac{dx'}{dt'} + v_0}{1 + \frac{v_0}{c^2} \frac{dx'}{dt'}} = \frac{u' + v_0}{1 + \frac{v_0 u'}{c^2}} \quad (5.9)$$

Masalan,  $v_0 = 210^8 \text{ m/s}$ ,  $u' = 3.5 \cdot 10^8 \text{ m/s}$  bo'lsa, (5.4) ga asosan  $u = v_0 + u' = 5.6 \cdot 10^8 \text{ m/s}$ , ya'ni  $u > c$  bo'lganligi uchun nisbiylik prinsipiga ziddir. (5.9) dan foydalanib:

$$u = \frac{u' + v_0}{1 + \frac{v_0 u'}{c^2}} = \frac{3.5 \cdot 10^8 + 210^8}{1 + \frac{3 \cdot 10^8 \cdot 3.5 \cdot 10^8}{9 \cdot 10^{16}}} = 262500 \text{ km/s}$$

Agar  $u' = v_0 = c$  bo'lsa,

$$u = \frac{v' + v_0}{1 + \frac{v_0 v'}{c^2}} = \frac{c + c}{1 + \frac{c^2}{c^2}} = c$$

Demak, (5.9) tenglama katta tezliklar uchun nisbiylik nazariyaning prinsiplarini, ya'ni yorug'lik tezligi hamma inercial sistemalarda o'zgarmaslik prinsipini ta'la qanoatlantiradi.

#### 5.4. Relativistik dinamikaning asosiy qonuni

Lorens almashirishlariga asoslangan mexanikani Nyuton mexanikasidan farqlash maqsadida **relativistik mexanika** deb yuritiladi.

Klassik mexanika ko'rsatmalariga, asosan jism massasi o'zgarmas kattaligidir. Biroq XX asrning boshlarida katta tezliklarda harakatlanayotgan elektronlar ustida o'tkazilgan tajribalar shuni ko'rsatdiki, jism massasi uning harakat tezligiga bog'liq ekan, ya'ni tezlik ortishi bilan massa quyidagi qonunga asosan ortib boradi:

$$m = \frac{m_0}{\sqrt{1 - v^2/c^2}} \quad (5.10)$$

bu yerda,  $m_0$  - tinch holatdagi massa deb ataladi,  $m$  - ni esa *relativistik massa* deb yuritiladi. Jism harakatining tezligi yorug'lik tezligiga yaqinlashgan sari relativistik effekt keskinroq namoyon bo'la boshlaydi va jism massasi nihoyatda tez o'rtib boradi.  $v \rightarrow c$  da massaning qiymati cheksizlikka intiladi.  $m$  massali  $v$  tezlikka ega bo'lgan yakkalangan jismining impuls  $\vec{p} = m\vec{v}$  ga tengdir. Bu tenglikdagi  $m$  massa o'rniga relativistik massa (5.10) qiymatini qo'yisak, Lorens almashirishlariga asoslangan *relativistik impuls* quyidagicha aniqlanadi:

$$\vec{p} = \frac{m_0}{\sqrt{1 - v^2/c^2}} \cdot \vec{v} \quad (5.11)$$

Nyuton II qonunini eslasak, ta'sir etuvchi kuch impulsning o'zgarish tezligiga proporsional bo'ladi, ya'ni

$$\vec{F} = \frac{d\vec{p}}{dt}$$

bu qonun Lorens almashirishlariga nisbatan kovariant deb qarab, Nyuton qonunining umumiy ko'rinishi relativistik shaklda quyidagicha ifodalanadi:

$$F = \frac{d}{dt} \left( \frac{m_0 \vec{v}}{\sqrt{1 - v^2/c^2}} \right) \quad (5.12)$$

Bu *relativistik dinamikaning asosiy qonuni* ifodasi bo'lib, ko'pincha moddiy nuqtaning relativistik *dinamikadagi harakat tenglamasi* deb ham yuritiladi.

### 5.5. Massa, energiya va impuls orasidagi bog'lanish

Eynshteyn nisbiylik nazariyasining eng ahamiyatli natijalaridan biri massa va energiya orasidagi universal bog'lanish ifodasidir:

$$W = mc^2 = \frac{m_0 c^2}{\sqrt{1 - v^2/c^2}} \quad (5.13)$$

(5.13) tenglama tabiatning fundamental qonuni deb yuritiladi. (5.13) ifodani qatorga yoysak va  $v \ll c$  holat uchun ikkinchi tartibli yig'indilarni e'tiborga olmasak, quyidagini hosil qilamiz:

$$W = m_0 c^2 + m_0 v^2 / 2 + \dots \quad (5.14)$$

bu yerda,  $m_0 c^2$  - tinch holatdagi jism energiyasini,  $m_0 v^2 / 2$  - harakatlanayotgan jismining *kinetik energiyasini* ifodalaydi (5.14) ifodadagi

$$W_0 = m_0 c^2 \quad (5.15)$$

kattalikni *tinch holatdagi jism energiyasi* deb ataladi. Klassik mexanikada tinch holatdagi jism energiyasi  $W_0$  hisobga olinmaydi, chunki  $v=0$  da tinch holatdagi jism energiyasi nolga teng bo'ladi.

Relativistik kinetik energiya uchun quyidagi ifodani yozamiz

$$W_k = mc^2 - m_0 c^2 = m_0 c^2 \left( \frac{1}{\sqrt{1 - v^2/c^2}} - 1 \right) \quad (5.16)$$

$mc^2$  ni  $W$  bilan belgilab (5.16) ni quyidagi shaklni yozamiz:

$$W = mc^2 = m_0 c^2 + W_k \quad (5.17)$$

Bu tenglama Eynshteyn kashf etgan energiya va massaning o'zaro bog'lanish qonunini ifodalaydi va jismining ixtiyoriy holatdagi to'liq relativistik energiyasi deb yuritiladi. (5.17) tenglama o'z navbatida jism massasining o'zgarishi uning energiyasini o'zgarishi bilan birgalikda yuz berishini ko'rsatadi.

Endi energiya bilan impuls orasidagi bog'lanishni aniqlaylik. Buning uchun relativistik massa ifodasi (5.10)ni kvadratga ko'tarib, quyidagicha o'zgartirib yozamiz:

$$m^2 c^2 - m^2 v^2 = m_0^2 c^2 \quad (5.18)$$

Bu ifodaning ikki tomonini  $s^2$  ga ko'paytirib, (5.11), (5.15) va (5.17) larni e'tiborga olsak

$$W^2 = P^2 c^2 + m_0^2 c^4$$

yoki

$$W = \sqrt{P^2 c^2 + m_0^2 c^4} \quad (5.19)$$

hosil bo'ladi. Bu munosabat *to'liq energiya va impuls orasidagi bog'lanishni* ifodalaydi.

(5.19) dan kelib chiqadigan xulosalardan biri shundan iboratki, tinch holatda massaga ega bo'lmaydigan neytrino va foton kabi zarrachalar ham relativistik energiyaga ega bo'lishlari mumkin ekan.  $m_0=0$  bo'lsa (5.19) quyidagi ko'rinishga keladi.

$$W = p \cdot c \quad (5.20)$$

### 5.6. Klassik mexanikaning qo'llanish chegaralari

Relativistik mexanika qonunlari  $v \ll c$  bo'lgan hollarda klassik mexanika qonunlariga o'tadi. Misol uchun tovush tezligi ( $u_0 = 300$  m/s) da uchayotgan reaktiv samolyot harakati uchun

$$\frac{u_0^2}{c^2} = \left( \frac{3 \cdot 10^2 \text{ m/s}}{3 \cdot 10^8 \text{ m/s}} \right)^2 = 10^{-14}$$

nisbatni hosil qilamiz.

Kosmik tezliklarda harakatlanayotgan kemalar uchun  $\frac{v_0^2}{c^2} = 10^9$  atrofida

bo'ladi. Demak,  $u_0 \ll c$  bo'lgan hollarda  $\sqrt{1 - \frac{v^2}{c^2}}$  ning qiymati 1 dan deyarli farqlanmas ekan. Shuning uchun kichik tezliklarda Lorens almashirishlari Galiley

almashirishlariga o'tadi. Klassik mexanika kichik tezliklarda  $\frac{v^2}{c^2} \ll 1$  shart

bajarilganda o'rinni bo'ladi, bu hol o'z navbatida klassik mexanikaning qo'llanish chegarasini belgilaydi. Shunday qilib, kichik tezliklarda klassik mexanika relativistik mexanikaning xususiy holi hisoblanishi mumkin.

Biroq elektronlar bilan qilingan tajribalarda shu narsa aniqlandiki, klassik mexanika tasavvuriga qarama-qarshi jismining massasi o'zgarish katta emas ekan, balki tezlik ortishi bilan relativistik dinamikaga qonuni asosida o'tar ekan.

Uchta katta bo'lmagan harakat tezliklarida (3000 km/s gacha tezliklarda) jismining massasi deyarli o'zgarilmaydi. Katta tezliklarda massa sezilarli o'tib ketadi, masalan,  $v = 170\ 000\text{ km/s}$  da tinch holatdagi massadan ikki baravarga o'tib ketadi.

Massa va energiyaning o'zaro bog'liqligi qonunining ifodasidagi,  $S^2$  ning son qiymati juda katta bo'lganligi uchun jism energiyasining o'zgarishi juda katta bo'lganda ham massaning o'zgarishi juda kichik amalda payqab bo'lmaydigan darajada bo'ladi. Masalan, Oyga tomon ikkinchi kosmik tezlik  $v_2 = 11,2\text{ km/s}$  bilan uchirilgan tinch holatdagi massa  $m_0 = 1500\text{ kg}$  bo'lgan kosmik raketaning energiyasi

$$\Delta W = \frac{m_0 v_2^2}{2} = \frac{1500 \cdot 11200^2}{2} = 9,4 \cdot 10^{10}\text{ J}$$

ga o'tadi, uning massasi esa

$$\Delta m = \frac{9,4 \cdot 10^{10}}{(3 \cdot 10^8)^2} = 10^{-6}\text{ kg}$$

o'tadi xolos.

Shunday qilib, raketa massasining nisbiy o'zgarishi

$$\frac{\Delta m}{m_0} = \frac{10^{-6}}{1500} < 10^{-9} = 10^{-7}\%$$

buni eksperimental yo'l bilan aniqlab bo'lmaydi.

Shuning uchun massa va energiyaning o'zaro bog'liqlik qonunini faqat mikroolam hodisalarida, ya'ni yadro juyayonlarida va elementar zarrachalarning bir turdan ikkinchi turga aylanishida eksperimental tekshirish mumkin.

Ayniqsa, yadro reaksiyalarida massaning energiya bilan o'zaro bog'liqligi juda sezilarli bo'ladi.

Shunday qilib, nisbiylik nazariyasi Galiley, Nyuton va boshqa olimlar tomonidan asoslangan klassik mexanikaning qonun va prinsiplarini inkor etmaydi, aksincha, ularni rivojlantiradi va umumlashtiradi hamda klassik mexanikaning qo'llanish chegaralarini belgilab beradi.

#### Savollar

- Galileyning nisbiylik prinsipi va uni qo'llanish chegarasini ayting?
- Qanday kattaliklar Galiley almashirishlariga nisbiy invariant bo'ladi?
- Eynshteyn postulatlarini va Lorens almashirishlarini ayting?

4. Lorens almashirishlari, Eynshteyn postulatlarini qanoatlantirishini, uzunlikning Lorens qisqarishi va vaqt o'tishining sekinalashlari asosida yotganligini ifodalang.

5. Relativistik dinamaning asosiy qonunlarini, massa, energiya va impuls qirasidagi bog'lanishlarni ifodalang.

#### Masalalar

14-masala. Fazoviy kema  $v = 0,9m/s$  tezlik bilan Yer markazi tomon harakatlanmoqda. Kema o'zida joylashtirilgan ( $K'$  sistema) soat bilan hisoblangan  $\Delta t'_0 = 1s$  vaqt oraliq'ida Yer bilan bog'langan ( $K$  sistema) hisob tizimida qanday  $t$  masofani o'tadi. Yerning xarakterli aylanishi va Quyosh atrofidagi orbital harakati hisobga olinmasin.

$$\text{Berilgan: } v = 0,9m/s \quad \Delta t'_0 = 1$$

$t \rightarrow$

Yechish. Fazoviy kemaning Yer bilan bog'langan ( $K'$  sistema) hisob tizimida o'tgan  $t$  masofasini ushbu formula orqali aniqlaymiz:  $t = v \cdot \Delta t$

(1)

bu yerda,  $\Delta t - K'$  sanoq sistemasida hisoblangan vaqt oraliq'i. Bu vaqt oraliq'i  $K$  sistemada hisoblangan vaqt oraliq'i bilan

$$\Delta t = \frac{\Delta t'_0}{\sqrt{1 - (v/c)^2}}$$

munosabatiga bog'langan  $\Delta t$  ning ifodasini (1) formulaga qo'yib quyidagini olamiz:

$$t = \frac{v \cdot \Delta t'_0}{\sqrt{1 - (v/c)^2}}$$

hisoblashlarni bajarsak  $t = 619\text{ min}$ .

15-masala. Elektronning kinetik energiyasi  $W_k = 1\text{MeV}$ . Elektronning tezligi aniqlansin.

$$\text{Berilgan: } W_k = 1\text{MeV}$$

$$v_0 \sim ?$$

Yechish. Kinetik energiyaning relativistik formulasi

$$W_k = W_0 \left( \frac{1}{\sqrt{1 - \beta^2}} - 1 \right)$$

$\beta$  ga nisbatan o'zgarishlar qilib zarraning yorug'lik tezligining ulushlarida

( $\beta = \frac{v}{c}$ ) ifodalar bilan topamiz.

$$\beta = \frac{\sqrt{(2W_0 + W_k)W_k}}{W_0 + W_k}$$

bu yerda,  $W_0$  – elektronning tinchlikdagi energiyasi ( $W_0 = 8,16 \cdot 10^{-14} \text{ J}$  yoki  $W_0 = 0,511 \text{ MeV}$ ). Bu formula bo'yicha hisoblashlarni energiyaning istalgan birliklarda bajarish mumkin, chunki formulaning o'ng tomonidagi birliklar qisqarib ketadi va hisoblash natijasida birliksiz son olinadi.

$W_0$  va  $W_k$  larning son qiymatlarini megaelektronvoltlarga qo'yib, quyidagini olamiz:

$$\beta = 0,941 \quad v = \beta c \text{ ekanligidan } v = 2,82 \cdot 10^8 \text{ m/s.}$$

16-masala.  $v = 0,9 \text{ m/s}$  tezlik bilan harakatlanayotgan elektronning relativistik impulsi  $p$  va kinetik energiyasi  $W_k$  aniqlansin (bunda,  $s$  – yorug'likning vakuumdagi tezligi)

Berilgan:  $v = 0,9 \text{ m/s}$   
 $\frac{p}{\beta \cdot W_0 c}$

**Yechish.** Relativistik impuls

$$p = m_0 c \frac{\beta}{\sqrt{1-\beta^2}} \quad (1)$$

(1) formula bo'yicha hisoblab quyidagini olamiz:

$$p = 5,6 \cdot 10^{-23} \text{ kg} \cdot \text{m/s.}$$

Relativistik mexanikada to'la energiya quyidagicha aniqlanadi

$$W = W_0 + W_k$$

$W_0 = m_0 c^2$  va  $W_k = m_0 c^2$  ekanligidan, massaning tezlikka bog'liqligini nazarda tutib, quyidagini olamiz:

$$W = \frac{m_0 c^2}{\sqrt{1-\beta^2}} - m_0 c^2$$

yoki

$$W = m_0 c^2 \left( \frac{1}{\sqrt{1-\beta^2}} - 1 \right) \quad (2)$$

hisoblashlarni bajarsak ( $W_0 = m_0 c^2 = 0,511 \text{ MeV}$ )

$$W = 106 \cdot 10^{-15} \cdot \frac{1}{1,6} \cdot 10^{19} \text{ eV} = 66,25 \cdot 10^4 \text{ eV} = 0,66 \text{ MeV.}$$

## 2. STATISTIK FIZIKA VA TERMODINAMIKA

### II bob. MAKROSKOPIK HOLATLAR

#### 6.1. Fizika hodisalarini tekshirishda dinamik, statistik va termodinamik usullar

Agar sistema faqat bitta yoki son jihatidan cheklangan jismlardan yoki jism qismlaridan tashkil topgan bo'lsa, *dinamik qonuniyatlaridan* foydalanib, sistemadagi fizik hodisalar va jarayonlarni o'rganish mumkin.

Alohida olingan atom va molekula harakati ham dinamika qonuniyatlariga bo'yinamadi. Shuning uchun *1 sm*<sup>3</sup> hajmdagi tartibsiz harakatlanayotgan molekular bilan bog'liq hodisalarni dinamik qonuniyatlar asosida tekshirish mumkin. Buning uchun, avvalo, alohida olingan molekularni o'rganib chiqib, keyin hamma molekularning fazodagi o'rinlarini, tezliklarini, ular orasidagi o'zaro va idish devoriga ko'rastayotgan ta'sir kuchlarining ifodalarni aniqlash mumkin.

Chunki bir sekunda bir millionga yaqin amali bajaradigan elektron hisoblash mashinasida *1 sm*<sup>3</sup> dagi barcha molekularning o'rinlarini va tezliklarini qayd qilish uchun kamida 6 million yil sarflanishi kerak. Bunday hollarda alohida matematik usulga – *statistik usulga* tayyanish maqsadga muvofiq bo'ladi. Statistik usul ehtimollik nazariyasidan foydalanishga asoslangan. *Statistik usul* bir-biriga o'xshagan juda ko'p, lekin bir-biridan mustaqil bo'lgan hodisalar to'plamini tekshirish uchun qo'llaniladigan usuldur. Juda ko'p sonli zarrachalardan tashkil topgan sistemaning fizik xususiyatlarini statistik usuldan foydalanib o'rganuvchi fizikaning bo'limi – *statistik fizika* deb ataladi.

Statistik usul yordamida tabiiy hodisalarini yetarlicha chuqur va aniq tekshirish mumkin bo'lganligi uchun barga asoslangan statistik fizika hozirgi davrda fizika fanining turli sohalariga muvofiqiyatli ta'biq etilmoqda. Masalan, molekular fizikada issiqlik hodisalarini; elektromagnitdagi jismlarning elektr o'tkazuvchanlik va magnit xususiyatlarini; optikada issiqlik nurlanish va boshqa hodisalarini statistik fizika asosida o'rganiladi.

Fizik hodisalar va jarayonlarni o'rganadigan dinamik va statistik usuldan tashqari *termodinamik usul* ham mavjuddir. Statistik usuldan farqli termodinamik usul jismlarni va tabiiy hodisalarini makroskopik xossalarni, ularning makroskopik manzarasiga, ya'ni o'rganilayotgan sistemaning ikki tuzilishi va sistemani tashkil etuvchi qismlarining harakat holatlariga o'lib qaray o'rganadi. Fizik hodisalarga termodinamik usulni qo'llash imkoniyati ularning energiyasining bir turdan boshqa turiga o'tirish jarayonlari bilan bog'liqlidir.

Jismlarning fizik xususiyatlarini termodinamik usul bilan o'rganadigan fizikaning bo'limiga *termodinamika* deb ataladi. Termodinamika tajribalaridan aniqlangan juda ko'p ma'lumotlarni umumlashtirgan ikki fundamental qonungga tayyandir.

Shunday qilib, makroskopik zarrachalaridan tashkil topgan sistemaga oid ta'biqiyotlarda har ikkala usul ham statistik va termodinamik usullar keng qo'llaniladi va ular o'zaro bir-birini to'ldiradi.

#### 6.2. Makroskopik sistema parametrlari

Juda ko'p sonli atom va molekularlardan tashkil topgan sistema – *makroskopik sistema* deb ataladi. Makroskopik sistema holatini to'la ravishda aniqlay oladigan fizik kattaliklar *makroskopik parametrlar* deb ataladi. Shu parametrlar va ularning o'lchov birliklari bilan tinishuvlik.

Hajm. Tashqi kuchlar ta'siriga qaramay qattiq jisim molekulalari orasida o'zaro ta'sir kuchli bo'lgani uchun o'zlarining hajmlari va shakllari, suyuqliklar esa o'z hajmlarini saqlaydilar. Gazlar esa molekulalar orasida o'zaro ta'sir kuchsiz bo'lgani uchun o'zi so'lingan idish hajmini egallaydi. Shunday qilib, **sistema hajmi** degan fizik kattalik kiritiladi, hajm  $M^3$  larda o'lchanadi.

**Harorat.** Moddaning issiqlik holatini xarakterlash uchun termodinamik kattalik **harorat** tushunchasi kiritiladi.

Si da haroratning absolut termodinamik shkalasi, ya'ni **Kelvin shkalasi** asosiy birlik sifatida qabul qilingan. **Suvning uchlama nuqtasi, ya'ni qattiq, suyuq va gazsimon fazalarining muvozanatli holatini aniqlovchi nuqta haroratigacha bo'lgan harorat intervalining 1/273,16 qismi bir kelvin (K) deb qabul qilingan.** Bu birlikdan tashqari, haroratni o'lchashda **Selsiy shkalasi** keng qo'llaniladi. Normal bosimda muzning erishi va suvning qaynash haroratlarini intervalining 1/100 ulishi Selsiy shkalasidagi 1°C ni beradi. Suvning muzlash, erish va bug'lanish fazalarining muvozanatli holatiga to'g'ri kelgan haroratni  $\theta^\circ C$  deb o'lsak, u vaqtda uchlama nuqtaning harorati kelvin shkalasida 273,16 K shu sharoitda suvning qaynash harorati esa 373,16 K teng bo'ladi.

Demak, Kelvin va Selsiy shkalalari orasidagi bog'lanish quyidagi tenglama bilan ifodalanadi:

$$T = 273,16 + t \quad (6.1)$$

hunda, sistemaning Kelvin shkalasi bo'yicha o'lchangan harorat T harfi bilan, Selsiy shkalasi bo'yicha o'lchangan harorat esa t harfi bilan belgilanadi.

**Bosim.** Bosim ( $R=F/S$ ) yuzi birligiga normal ta'sir etuvchi kuch bilan o'lchanuvchi fizik kattalikdir. Bosimning asosiy birligi sifatida **paskal (Pa)** qabul qilingan. Bosimning **millimetr simob ustuni (mm.sim.ust)** birligidan ham foydalaniladi. Bu birliklar orasida quyidagicha bog'lanish bor 1 mm.sim.ust = 133,322 Pa.

**Modda miqdori.** Modda miqdorini o'lchash uchun asosiy birlik sifatida Mol qabul qilingan. Moddaning bir molining massasiga **uning molyar massasi** deyiladi. **Ug'erod - 12 ning 0,012 kg massasidagi atomlar soniga teng strukturaviy element (massalar, atom, molekula) lardan tashkil topgan moddaning miqdori bir mol (m) deb ataladi.** Molar massa kg/mol da o'lchanadi va  $\mu$  harfi bilan belgilanadi. Masalan, kislorod ( $O_2$ ) ning molar massasi  $\mu = 0,032 \text{ kg/mol}$ , vodorod ( $H_2$ ) uchun  $\mu = 0,02 \text{ kg/mol}$ , azot ( $N_2$ ) uchun  $\mu = 0,028 \text{ kg/mol}$ , 1 mol moddadagi molekular soni moddaning turiga bog'liq bo'lmagan o'zgarmas kattalik bo'lib **Avogadro soni** deb ataladi va odatda,  $N_A$  deb belgilanadi, u  $N_A = 0,0227 \cdot 10^{23} \text{ 1/mol}$  teng bo'ladi.

Molekularining soni  $N$  ga teng bo'lgan modda miqdorida necha mol borligini aniqlash uchun quyidagi ifodadan foydalanamiz:

$$\nu = \frac{N}{N_A} \quad \nu = \frac{m}{\mu} \quad (6.2)$$

Bitta gaz molekulaning massasi  $m_m$  kg bo'lsa, bir mol gazning massasi, ya'ni molar massasi

$$\mu = m_m \cdot N_A \quad \text{kg/mol} \quad (6.3)$$

teng bo'ladi.  $N$  ta molekulalardan tashkil topgan gazning massasi:  $M = m_m N$ . Bu ikki massaning nisbatidan foydalanib, biror  $V$  hajmdagi molekulalarning sonini aniqlaylik:

$$N = \frac{M}{\mu \cdot N_A} \quad (6.4)$$

Demak,  $N$  ta gaz molekulasi egallagan hajm ma'lum bo'lsa, birlik hajmdagi molekular soni, ya'ni **molekular konsentratsiyasini** aniqlash mumkin

$$n = \frac{N}{V} \quad (6.5)$$

Normal sharoitda 1 kilomol gazning egallagan hajmi  $V_m = 22,4 \text{ m}^3$  ekanligini e'tiborga olib,  $1 \text{ m}^3$  hajmdagi molekular soni  $n_0 = N_A/V_m = 2,7 \cdot 10^{25} \text{ m}^{-3}$  ga teng ekanligi aniqlanadi. Bu esa **Loshmidt soni** deb ataladi.

Molekular massa  $\sim 10^{-26} \text{ kg}$  juda kichik bo'lganligi sababli, odatda, atom va molekularning massalari atom birligi (m.a.b) da ifodalanadi. M.a.b. qiymat jihatdan ug'erod - 12 atomi massasining 1/12 ulishiga teng qilib olinadi:

$$1 \text{ m.a.b.} = \frac{1}{12} m_c = 1,6607 \cdot 10^{-27} \text{ kg} \quad (6.6)$$

### 6.3. Issiqlik harakati

Tabiatdagi barcha moddalar molekulalardan tashkil topgan. Moddaning barcha kimyoviy xossasini o'zida saqlab qola o'tadigan eng kichik zarrasiga **molekula** deb ataladi. Kimyoviy ustul bilan tarkibiy qismlarga ajratib bo'lmaydigan moddalar **kimyoviy elementlar** deb ataladi. Molekulalar orasida o'zaro ta'sir kuchlari bo'lib, bu kuchlarning katta-kichikligiga qarab aynan bir moddani o'zi qattiq, suyuq va gaz holatlarida bo'lishi mumkin. Molekulalar orasidagi tutinish kuchlari nolga intilyotgan gaz ideal gazga aylana boshlaydi. Moddalarning xususiyatlarini va xossalari molekulalarning harakati va o'zaro ta'sir asosida o'rganuvchi nazariyaga **molekular - kinetik nazariya** deb ataladi.

Moddaning issiqlik holati molekulalarining **issiqlik (xotik) harakati** intensivligi bilan ifodalanadi. Issiqlik harakat intensivligi o'zgariganda jismning ichki energiyasi va issiqlik holati o'zgaradi.

Issiqlik holatlarini har xil bo'lgan ikki moddani olaylik. Birinchi modda molekulalarining issiqlik harakati ikkinchisidan intensivroq bo'lsin. Bu moddalarni bir-biriga tekkihsak, birinchi moddaning molekulalari moddalarning tegishli chegarasida ikkinchi modda molekulalariga urilib, ularning issiqlik harakati intensivligini oshiradi. Natijada, moddalarning issiqlik holatlari o'zgaradi: birinchi moddaning ichki energiyasi kamayadi, ikkinchisinki esa ortadi. Aslida, moddaning issiqlik holatini harorat belgilaydi. Harorat o'z navbatida modda molekulalari issiqlik harakati intensivligini miqdoriy jihatdan ifodalovchi fizik kattalikdir.

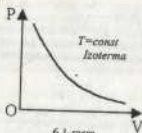
Demak, modda molekulalarining issiqlik harakati qanchalik intensiv bo'lsa, uning harorati shunchalik yuqori bo'ladi.

### 6.4. Ideal gazning holat tenglamasi

Gazlar bilan bog'liq bo'lgan bodisalarni o'rganishni soddalashtirish maqsadida **ideal gaz** tushunchasi kiritiladi. Quyidagi soddalashtirishlarni kiritaylik:

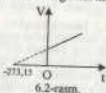
- gaz molekulalari orasida o'zaro ta'sirshah kuchlari mavjud emas;
- gaz molekulalarining o'lchamlari hisobga olinmaslik darajasida kichik;
- gaz molekulalarining o'zaro to'qnashishlari elastik sharlarning

to'qnashuvidek sodir bo'ladi.



6.1-rasm.

Siyraklashtirilgan real gazlarning xossalari ideal gazga yaqin bo'ladi. Masalan, atmosfera bosimida vodorod va geliy gazlari ideal gazga juda yaqin bo'ladi. Gaz bir holatdan ikkinchi holatga o'tganda parametrlari o'zgaradi. O'zgarmas m massali gaz holatini o'zgarishida parametrlar (bosim  $R$ , hajm  $V$  va harorat  $T$ ) dan bir o'zgarmasdan saqlanib qolgan ikkisi o'zgarishi mumkin.



6.2-rasm.

1) **Izotermik jarayon** ( $T=const$ ) da gaz holatining o'zgarishi Boyl-Mariot qonuni bilan aniqlanadi.

$$RV = const \quad (6.7)$$

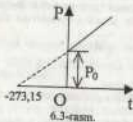
2) **Izobarik jarayon** ( $R=const$ ) Gey-Lyussak qonuniga bo'ysunadi.

$$V = V_0(1 + \alpha_V t) \quad (6.8)$$

hundan

$$\frac{V}{T} = const \quad (6.9)$$

hosil qilamiz (6.2-rasm). Bu yerda,  $\alpha_V$  - gazning hajm kengayish termik koefitsiyenti,



6.3-rasm.

$$\alpha_V = \frac{1}{273,15} K^{-1}$$

3) **Izoxorik jarayon** ( $V=const$ ) da amalga oshadi va Sharl qonuni bo'yicha aniqlanadi (6.3-rasm).

$$P = P_0(1 + \alpha_P t) \quad (6.10)$$

hundan

$$\frac{P}{T} = const \quad (6.11)$$

ni hosil qilamiz. Bu yerda, ideal gaz uchun  $\alpha = \alpha_V$ ,  $\alpha_P$  - bosimning termik koefitsiyentidir.

Endi ideal gaz parametrining har uchulasi  $R_1, V_1, T_1$  holatdan o'zgarib  $R_2, V_2, T_2$  holatga o'tsin.

Bu vaqtda ( $T_1 = const$ ) da gaz bosimini  $R_2$  gacha o'zgartiraylik. Natijada gaz hajmi ham o'zgaradi ( $V'$ ). Izotermik jarayonda

$$P_1 V_1 = P_2 V'$$

hunda,

$$V' = \frac{P_1 V_1}{P_2} \quad (6.12)$$

ifodani hosil qilamiz. Ikkinchi jarayonda ( $R_2 = const$ ) da haroratni  $T_2$  gacha o'ttiramiz. Natijada gaz  $V'$  hajmga izobarik kengayadi. Gey-Lyussak qonuniga asosan quyidagini yozamiz:

$$\frac{V'}{T_1} = \frac{V_2}{T_2}$$

Bunda

$$V' = \left(\frac{T_2}{T_1}\right) V_2 \quad (6.13)$$

ifoda hosil bo'ladi. (6.12) va (6.13) lardan

$$\frac{P_1 V_1}{T_1} = \frac{P_2 V_2}{T_2}$$

tenglikni yozamiz. Demak, o'zgarmas massali gaz uchun bosim va hajm ko'paytmasini haroratga nisbati

$$\frac{PV}{T} = B \quad (6.14)$$

o'zgarmas miqdorga teng bo'lib, bu tenglamani Klapeyron tenglamasi deb ataladi. Bu yerda  $V$  gaz massasi va turiga bog'liq gaz doimiysidir. (6.14) tenglamani D.L.Mendeleev normal sharoitda 1 mol gaz uchun quyidagi o'zgartiradi:

$$PV_M = RT \quad (6.15)$$

Bunda,  $R$  - gazning universal doimiysi deb ataladi.

$$R = 8,31 \text{ J/mol K} \quad (6.16)$$

$V_M = 22,41 \cdot 10^{-3} \text{ m}^3/\text{mol}$  1 mol ideal gazning hajmidir.

Agar (6.15) tenglamani har ikki tomoniga  $m/\mu$  ni ko'paytirib va  $(m/\mu) V_M = V$  teng deb olsak,

$$PV = \left(\frac{m}{\mu}\right) RT \quad (6.17)$$

Klapeyron - Mendeleev tenglamasini hosil qilamiz. Bu yerda,  $\mu$  - molar massa,  $m$  - ixtiyoriy olingan gaz massasi.



### 6.5. Ideal gaz molekulari - kinetik nazariyaning asosiy tenglamasi

Molekulalar issiqlik harakati tartibsiz bo'lib, bu harakat natijasida ular har doim bir-biri bilan va idish devorlari bilan to'qnashib turadi. Gaz molekulari bilan idish devori hosil qilingan o'zaro ta'sirlardan foydalanib, gazning devorga bergan ta'sir kuchi - bosimi baholanadi. Birlik vaqt ichida idish devorining birluk yuziga molekular tomonidan berilayotgan impulslar yig'indisi bosimni hosil qiladi. Har bir molekula harakat yo'nalishiga perpendikular yuzga kelib elastik urilganda uning impulsi

$$m_M v_i - (-m_M v_i) = 2m_M v_i$$

ga o'zgaradi. Agar qirralarining uzunligi  $l$ , bo'lgan kubning birluk hajmidagi molekular sonini  $n$  deb belgilasak, kubning qarama-qarshi devorlari orasida harakatlanayotgan molekular soni

$$N = \frac{1}{3} n l^3 \quad (6.18)$$

ifoda bilan aniqlanishi mumkin. Kub qirrasining uzunligi  $l$  bo'lganligi uchun molekularning  $u$  yoki  $bu$  devorga urilishlari har  $\tau = 2l/u$  vaqtda takrorlanib turadi. Bularni hisobga olib  $l$  - molekula tomonidan devorga berilayotgan o'rtacha ta'sir kuchini aniqlaymiz:

$$F_i = \frac{2m_M v_i}{\tau} = \frac{m_M v_i^2}{l} \quad (6.19)$$

Devorga ta'sir etuvchi umumiy kuch esa

$$F = \sum_{i=1}^N \frac{m_i v_i^2}{l}$$

teng bo'ladi. Bu ifodaning surat va maxrajini  $N$  ga ko'paytirsak,

$$F = \frac{Nm_i \sum_{i=1}^N v_i^2}{lN} \quad (6.20)$$

Bundagi

$$\frac{\sum_{i=1}^N v_i^2}{N} = v_{\text{sr}}^2 \quad (6.21)$$

kattalikni o'rtacha kvadratik tezlik deb yuritiladi.

(6.18) va (6.21) larni e'tiborga olib (6.20) ifodani quyidagicha yozamiz:

$$F = \frac{1}{3} n l^2 m_M v_{\text{sr}}^2$$

Bundan

$$P = \frac{F}{l^2} = \frac{1}{3} n m_M v_{\text{sr}}^2 \quad (6.22)$$

hisob qilamiz.

Bu tenglama *idela gaz molekulari - kinetik nazariyasining asosiy tenglamasi* deb yuritiladi. (6.22) quyidagicha o'zgartirib yozamiz:

$$P = \frac{2}{3} n \frac{m_M \langle v_{\text{sr}}^2 \rangle}{2} \quad (6.23)$$

Demak, idela gaz bosimi birluk hajmdagi gaz molekulari o'rtacha kinetik energiyasining 2/3 qismiga teng. Ikkinchi tomondan teng bo'lgani uchun (6.23) quyidagicha yozamiz:

$$\frac{m_M v^2}{2} = \frac{3}{2} K T \quad \text{yoki} \quad P = n k T \quad (6.23')$$

### 6.6. Gaz molekularining tezliklari va energiyalari bo'yicha taqsimlanishiga oid Maksvell qonuni

Molekular-kinetik nazariya natijalarini eslasak, gaz molekulari har xil tezliklar bilan tartibsiz harakat qilishlari ayon bo'ldi. Molekularning o'zaro to'qnashishlari tufayli ularning tezliklari miqdor va yo'nalish jihatdan uzukhsiz ravishda o'zgarib turadi. Keyinchalik tekshirishlardan ma'lum bo'ldiki, normal sharoitda har bir molekula bir sekunda taxminan  $10^{10}$  marta to'qnashar ekan. Shu sababli, juda qisqa vaqt ichida ham tezligi aniq qiymatga ega bo'lgan molekularning sonini aniqlash mumkin emas. Lekin ixtiyoriy yo'nalishda tezligi  $u$  dan  $u+du$  gacha intervalda yotgan molekular sonini aniqlash mumkin. Tezliklarning butun sohasini tezlikning juda kichik  $du$  ga teng intervallariga ajrataylik. Bunda har bir tezliklar intervaliga  $dN$  molekular soni to'g'ri keladi deb olaylik.  $dN$  sistemadagi barcha molekular soni  $N$  ga va tezlik intervali  $du$  ga proporsional bo'ladi.

$$dN = N d f(v) \quad (6.24)$$

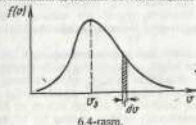
tezlik funkoyasi kattalikni kiritib (6.24) ni quyidagicha yozish mumkin.

$$dN = f(v) N d v$$

yoki

$$\frac{dN}{N d v} = f(v) \quad (6.25)$$

(6.25) ifodani molekularning tezliklar bo'yicha taqsimot funkoyasi deyiladi.



6.4-rasm.

$f(v)$  - funkoyasi  $du$  tezliklarga ega bo'lgan, molekular qolgan barcha molekularning qanday ulushini tashkil etish ehtimolligini ko'rsatadi.

Bu taqsimot funksiyasini birinchi bo'lib, ingliz fizigi Maksvell nazariy yo'lib bilan - ehtimollar nazariyasi asosida aniqlagan edi. Taqsimot funksiyasi Maksvell tomonidan 6.4-rasmda chizilgan egri chiziq sifatida tasvirlangan. Maksvell  $f(v)$  funksiyasining analitik ifodasi quyidagi ko'rinishda keltirib chiqariladi:

$$f(v) = \frac{4}{\sqrt{\pi}} \left( \frac{m_u}{2kT} \right)^{3/2} e^{-\frac{m_u v^2}{2kT}} v^2 \quad (6.26)$$

bu yerda,  $m_u$  - molekulaning massasi,  $T$  - gazning absolt harorati.

Biror hajmdagi gazning  $v$  dan  $v + dv$  gacha tezliklar bilan harakatlanayotgan molekularning nisbiy soni quyidagi munosabatdan foydalanib topiladi:

$$\frac{dN}{N} = f(v)dv = \frac{4}{\sqrt{\pi}} \left( \frac{m_u}{2kT} \right)^{3/2} e^{-\frac{m_u v^2}{2kT}} v^2 \quad (6.27)$$

Uning qiymati 6.4-rasmdagi Maksvell egri chizig'ini ostidagi ahtirixlangan yuzachaga teng. (6.27) ifoda **molekularning tezliklari bo'yicha taqsimlanishiga oid Maksvell qonuni deyiladi.**

Maksvell egri chizig'ining maksimumiga to'g'ri kelgan tezligini eng katta **ehtimolli tezlik** ( $v_e$ ) deb ataladi. U, ning qiymatini topish uchun  $f(v)$  funksiyadan  $v$  bo'yicha olingan hosilani nolga tenglashtiramiz va

$$v_e = \sqrt{\frac{2kT}{m_u}} \quad (6.28)$$

ekanligini topamiz.

Harorat yuqorilashgan sari Maksvell egri chizig'i pasayib katta tezliklar sohasiga cho'zilatadi.

Ideal gaz molekularining energiya bo'yicha taqsimoti  $\frac{dN}{N}$ ,  $w$  dan  $w+dw$

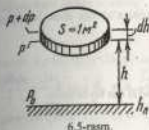
energiya oralig'ida  $w = mv^2/2$  kinetik energiyaga ega bo'lgan gaz molekulari umumiy soni  $N$ ning qanday ulishini tashkil qilishi bilan aniqlanadi:

$$\frac{dN}{N} = f(w)dw = \frac{2}{\sqrt{\pi}} (kT)^{-3/2} e^{-w/kT} \sqrt{w} dw \quad (6.29)$$

Bu ifoda gaz molekularining issiqlik harakat energiyalari bo'yicha taqsimlanishiga oid Maksvell qonuni deb ataladi. Maksvell nazariyasining to'g'riligi 1920-yilda nemis olimi Shtern tajribasida isbotlangan.

### 6.7. Bolsman taqsimot qonuni

Ideal gaz molekular-kinetik nazariyasining asosiy tenglamasi va gazning holat tenglamasini keltirib chiqarishda hamda molekularning tezliklari bo'yicha taqsimlanishiga oid Maksvell qonunida gaz molekulariga tashqi kuchlar ta'sir qilmaydi va shular sababli molekular berilgan hajmda bir tekis taqsimlangan deb hisoblanadi. Aslida atmosferamiz ostidagi gazning har bir molekulari birinchi-dan Yerning tortish kuchi maydonida bo'lsa, ikkinchidan havo molekulari doimo issiqlik harakatida bo'ladi. Havo molekularining issiqlik harakati bo'lmaganda edi, barcha molekular Yer sirtida to'planib 10 metr qalinlikdagi zich qatlami hosil



qilgan bo'lar edi. Shunday qilib, havo molekularining issiqlik harakati va Yer tortish kuchining bir vaqtning o'zida ta'siri tufayli Yer atmosferasi bizni doimo o'rab turgan atmosfera mavjud. Atmosferamizdagi havo molekularining balandlik bo'yicha taqsimlanishi shu ikki ta'sir kuchlarining natijasidir.

Yer sirtida balandlikni  $h_0$  bosimini  $r_0$  va hajm birligidagi molekular sonini  $n_0$  deb olaylik.  $h$  balandlikda  $R$  bosim ostida birlik hajmda  $n$  dona molekula mavjud deb hisoblaylik.  $h$  balandlikda qatlinig  $dh$  va asosining yuzi  $S = 1 \text{ m}^2$  bo'lgan qatlami ajrataylik. Gazni bir jinsli deb, uning haroratini esa o'zgarmas deb olaylik (6.5-rasm). Bu qatlarning qoyi va yuqori asoslariga ta'sir etuvchi atmosfera bosimini  $R$  va  $R + dR$  deb belgilaylik. Bu elementar hajmdagi molekular soni hajm birligidagi molekular sonining ( $n$ ), uning hajmiga  $dV = Sdh$  ko'paytmasi bilan ifodalanadi. Qatlarning umumiy og'irligi esa

$$dp = n \cdot Sdh \cdot m_g \quad (6.30)$$

teng bo'ladi va quyidagi bosimni hosil qiladi

$$dP = \frac{dp}{S} = -\frac{nm_g Sdh}{S} = -nm_g gdh \quad (6.31)$$

Minus ishorasi  $h$  ortib borishi bilan bosimni kamayotganligini ko'rsatadi. Ikkinchi tomondan (6.23) ni eslasak,

$$P = nkT \quad (6.32)$$

(6.31) ni (6.32) ga taqsimlasak

$$\frac{dP}{P} = -\frac{m_g g dh}{kT}$$

hosil qilamiz, uni  $g$ ,  $T$  o'zgarmas deb hisoblab  $h_0$  dan  $h$  gacha va  $R_0$  dan  $R$  gacha integrallaylik

$$\int_{R_0}^R \frac{dP}{P} = -\frac{m_g g}{kT} \int_{h_0}^h dh$$

$$\ln p - \ln p_0 = -\frac{m_g g}{kT} (h - h_0)$$

tenglamani hosil qilamiz. Bu ifoda ustida potentsiallashni bajarsak:

$$\frac{P}{P_0} = e^{-\frac{m_g g (h - h_0)}{kT}}$$

yoki  $h_0 = 0$  da

$$P = P_0 e^{-\frac{m_g g h}{kT}} \quad (6.33)$$

ifodaga erishamiz,  $\kappa' = \frac{R}{N_A}$ ,  $m_n N_c = \mu$  ekanliklarini e'tiborga olib (6.33) ni quyidagi ko'rinishda yozamiz:

$$P = P_0 e^{-\frac{\mu g h}{kT}} \quad (6.34)$$

Bu tenglama **barometrik formula** deb ataladi. (6.32) dan foydalanib:

$$\frac{P}{P_0} = \frac{n}{n_0}$$

deb hisoblab (6.33) ni quyidagicha ifodalaymiz:

$$n = n_0 e^{-\frac{m_n g h}{kT}} \quad (6.35)$$

Bu ifodadagi  $m_n g h = U$  potensial energiyani ifodalaydi.  $U$  holda (6.35) munosabat

$$n = n_0 e^{-\frac{U}{kT}} \quad (6.36)$$

ko'rinishda yoziladi. Bu munosabatni **Boltzman taqsimoti** deb ataladi.

(6.35) ifoda balandlik ortishi bilan havo zarrachalarining konsentratsiyasi kamayib borishini ko'rsatadi.

#### Savollar

1. Fizik hodisalarni tekshirishda statik va termodinamik usullar qanday nazariya va qonuniyatlar asosida yaratilganini izohlang.
2. Makroskopik sistema parametrlari deganda nimalar nazarda tutiladi?
3. Moddaning issiqlik holati nima bilan xarakterlanadi?
4. Ideal gazning holat tenglamasi va uning shakllanishida Klapeyron va Mendeleevlarning ishtiroki.
5. Ideal gaz molekular - kinetik nazariyaning asosiy tenglamasi nimaning ifodalaydi?
6. Gaz molekularini tezliklari va energiyalari bo'yicha taqsimlanishiga oid Maksvell qonunini matematik ifodasini tajribalarda isbotlanishini ko'rsating.
7. Atmosferadagi havo molekularining balandlik bo'yicha taqsimlanishi Boltzman taqsimot qonunida qanday aks ettirilgan?

#### Masalalar

**17-masala.** Pastki qismi berk bo'lgan vertikal nayda  $h_1=30$  sm balandlikdagi simob ustuni bilan o'ralgan havo ustuni bor. Temperaturasi  $t_1=27^\circ\text{C}$  dan  $t_2=-23^\circ\text{C}$  gacha o'zgaradigan simob ustuni qancha  $\Delta h$  pastga tushadi?

Berilgan:  $h_1=30$  sm,  $t_1=27^\circ\text{C}$ ,  $T_1=(273+27)$  K=300K,  
 $t_2=-23^\circ\text{C}$ ,  $T_2=(273-23)$  K=250K

$\Delta h \rightarrow ?$

**Yechish.** Agar naydagi havo ustunining  $T_1$  temperaturadagi hajmi  $V_1$  va  $T_2$  temperaturadagi hajmi esa  $V_2$  bo'lsa, Grey-Lyussak qonuniga ko'ra, quyidagi

munosabatni yozish mumkin.

$$\frac{V_1}{T_1} = \frac{V_2}{T_2}$$

bunda,  $V_1 = S h_1$  va  $V_2 = S h_2$  ( $S$  - nayning ko'ndalang kesim yuzi) bo'lganidan  $\frac{S h_1}{T_1} = \frac{S h_2}{T_2}$  yoki  $h_2 = h_1 \frac{T_2}{T_1}$  bo'ladi. Bundan naydagi simob ustunining pasayishi quyidagiga teng bo'ladi:

$$\Delta h = h_1 - h_2 = h_1 - h_1 \frac{T_2}{T_1} = h_1 \left(1 - \frac{T_2}{T_1}\right) = h_1 \frac{T_1 - T_2}{T_1}$$

berilganlarning son qiymatlari o'rni ga qo'yib hisoblashsa, quyidagi kelib chiqadi:

$$\Delta h = h_1 \frac{T_1 - T_2}{T_1} = 0,3 \frac{300 - 250}{300} = 0,05 \text{ m} = 5 \text{ sm}$$

**18-masala.** Gazni o'zgarmas hajmi ( $V_1 = \text{const}$ ) da  $\Delta T = 30$  K ga isitilganda uning bosimi uch marta ortgan bo'lsa, gazning boshlang'ich  $T_1$  va oxirgi  $T_2$  temperaturalari topilsin.

Berilgan:  $\Delta T = 30$  K,  $\frac{P_1}{P_2} = 3$

$$\frac{T_1}{T_2} = ?$$

**Yechish.** Sharh qonuniga muvofiq o'zgarmas hajmda gazning bosimi absolut temperaturaga proporsional, ya'ni:

$$\frac{P_1}{T_1} = \frac{P_2}{T_2}$$

bunda,  $T_2 = T_1 + \Delta T = T_1 \left(1 + \frac{\Delta T}{T_1}\right)$  bo'lgani uchun  $\frac{P_1}{T_1} = \frac{P_2}{T_1 \left(1 + \frac{\Delta T}{T_1}\right)}$ ,

bundan gazning boshlang'ich  $T_1$  - temperaturasi quyidagiga teng bo'ladi:

$$T_1 = \frac{\Delta T}{\frac{P_2}{P_1} - 1} = \frac{30}{3 - 1} = 15 \text{ K}$$

u vaqtda gazning oxirgi  $T_2$  temperaturasi osongina aniqlash mumkin:

$$T_2 = T_1 + \Delta T = 15 + 30 = 45 \text{ K}$$

**19-masala.**  $V=10$  l hajmi ballonda  $p_1=1$  MPa bosim ostida  $T_1=300$  K haroratda gely bor. Ballondagi  $m=10$  g gely sarflangandan keyin ballondagi harorat  $T_2=290$  K gacha pasaydi. Ballonda qolgan geliyning bosimi  $p_2$  aniqlansin.

Berilgan:  $V=10l = 10 \cdot 10^{-3} m^3 = 10^{-2} m^3$ ,  $p_1=1MPa = 10^6 Pa$ ,  
 $T_1=300K = 300K$ ,  $m=10g = 10^{-2} kg$   
 $T_2=290K = 290K$   
 $p_2=?$

**Yechish.** Masala yechish uchun ikki marta gazning boshlang'ich va oxirgi holatlarini uchun Klapeyron-Mendeleyev formulasiidan foydalanamiz. Boshlang'ich holat uchun tenglama

$$p_1 V = \frac{m_1}{M} RT_1 \quad (1)$$

ko'rinishga ega, oxirgi holat uchun esa

$$p_2 V = \frac{m_2}{M} RT_2 \quad (2)$$

bunda,  $m_1$  va  $m_2$  boshlang'ich va oxirgi holatlardagi geliy massasi, (1) va (2) tenglamalardan  $m_1$  va  $m_2$  massalarini topamiz:

$$m_1 = \frac{M p_1 V}{RT_1} \quad (3)$$

$$m_2 = \frac{M p_2 V}{RT_2} \quad (4)$$

(3) dan (4) ni ayirsak,

$$m = m_1 - m_2 = \frac{M p_1 V}{RT_1} - \frac{M p_2 V}{RT_2}$$

bundan  $p_2$  ni topamiz

$$p_2 = \frac{RT_2}{M V} \left( \frac{M p_1 V}{RT_1} - m \right) = \frac{T_2}{T_1} p_1 - \frac{m RT_2}{M V} \quad (5)$$

(5) formuladagi geliyning molar massasi  $M$  dan boshqacha barcha kattaliklar ma'lum.

$$M = 4 \cdot 10^{-3} kg / mol$$

kattaliklarning qiymatlarini (5) ga qo'yib natijani olamiz:

$$p_2 = \frac{290}{300} \cdot 10^6 - \frac{10^{-2} \cdot 8,31 \cdot 290}{4 \cdot 10^{-3} \cdot 10^{-2}} = 3,64 \cdot 10^5 = 364 kPa.$$

**20-masala.** Sig'imi  $V=6,9l$  bo'lgan ballonda  $m=2,3g$  massali azot bor. Qizdirishda molekularning bir qismi atomlarga dissotsilanadi. Dissotsilanish koeffitsiyenti  $\alpha=0,2$  1) qizdirishdan avvalgi azot molekularining umumiy soni  $N_1$  va azot molekularining konsentratsiyasi  $n_1$ ; 2) qizdirilgandan keyin azot molekularining konsentratsiyasi  $n_2$  va atomlarning  $n_3$  konsentratsiyalari aniqlansin.

**Berilgan:**

$$V = 6,9l = 6,9 \cdot 10^{-3} m^3, \quad m = 2,3g = 2,3 \cdot 10^{-3} kg, \quad \alpha = 0,2;$$

$$N_1=? \quad n_1=? \quad n_2=? \quad n_3=?$$

**Yechish.** Ta'rifga binoan, gaz zarralarining konsentratsiyasi zarralar sonini gaz egallagan idish sig'imi nisbatiga tengdir.

$$n = \frac{N}{V} \quad (1)$$

a) qizdirishdan avvalgi gaz molekulari soni  $N_1$  ni topamiz:

$$N_1 = \nu N_A = \frac{m}{M} N_A = \frac{m}{K M_G} N_A \quad (2)$$

Bunda,  $\nu$  - azotning modda miqdori;  $N_A$  - Avagadro doimiyi;  $M$  - azotning molar massasi;  $M_G$  - azotning nisbiy molar massasi;  $K=10^3$  kg/mol kattaliklarning qiymatlarini (2) ga qo'yib,

$$N_1 = \frac{2,3 \cdot 10^{-3}}{10^{-3} \cdot 8} \cdot 6,02 \cdot 10^{23} = 4,94 \cdot 10^{23} \text{ dona molekula}$$

$n_1$  konsentratsiyani (1) dan topamiz:

$$n_1 = \frac{N_1}{V} = \frac{4,94 \cdot 10^{23}}{6,9 \cdot 10^{-3}} = 7,16 \cdot 10^{25} m^{-3}$$

b) qizdirilgandan keyingi konsentratsiya  $n_2 = \frac{N_2(1-\alpha)}{V}$  (3) munosabatdan topiladi. Bunda  $N_2$  atomlarga ajralmagan molekularning soni. Kattaliklarning qiymatlarini (3) ga qo'yib quyidagini olamiz:

$$n_2 = \frac{4,94 \cdot 10^{23} (1-0,2)}{6,9 \cdot 10^{-3}} m^{-3} = 5,73 \cdot 10^{25} m^{-3}$$

Azot qizdirilgandan keyin atomlarning konsentratsiyasi

$$n_3 = \frac{2 N_1 \alpha}{V} \quad (4)$$

(4) formuladagi 2 soni har bir molekula ikkitadan atomga parchalanishini ifodalaydi. (4) ga kattaliklarni qiymatlarini qo'yib

$$n_2 = \frac{2 \cdot 4,94 \cdot 10^{23} \cdot (1-0,2)}{6,9 \cdot 10^{-3}} m^{-3} = 0,286 \cdot 10^{26} m^{-3} = 2,86 \cdot 10^{25} m^{-3}$$

**21-masala.** Idishda modda miqdori  $\nu=1,2$  mol bo'lgan gaz saqlanadi. Bu gazni ideal gaz sifatida qarab, tezliklari  $U$  eng katta ehtimoliy tezlik  $u_z$  ning 0,001 qiymatidan kam bo'lgan molekular soni  $\Delta N$  aniqlansin.

**Berilgan:**  $\nu=1,2$  mol

$$\frac{U_{max}}{u_z} = 0,001$$

$$\frac{\Delta N}{\Delta N_{-?}}$$

**Yechish.** Masalani yechish uchun molekularning nisbiy tezliklar ( $u = \frac{v}{v_0}$ )

bo'yicha taqsimotidan foydalanish qulay. Nisbiy tezliklari  $u$  dan  $u + \Delta u$  gacha oraliqda joylashgan molekularning soni

$$dN(u) = \frac{4N}{\sqrt{\pi}} e^{-u^2} u^2 du \quad (1)$$

formula bilan aniqlanadi; bu yerda,  $N$  - molekularning to'liq soni.

Masalaning shartiga ko'ra, bizni qiziqtiradigan molekularning maksimal tezligi  $U_{\max} = 0,001U_0$  - bundan  $U_{\max} = \frac{U_{\max}}{U_0} = 0,001$ ,  $u \ll 1$  ning bunday

qiymatlari uchun (1) ifodada  $e^{-u^2} \approx 1 - u^2$  deb olamiz.  $u = (0,001)^2 = 10^{-6}$  qiymatni e'tiborga olmay, (1) ifodani

$$dN(u) = \frac{dN}{\sqrt{\pi}} u^2 du \quad (2)$$

ko'rinishda yozamiz. Bu ifodani  $u$  bo'yicha 0 dan  $u_{\max}$  gacha integrallab, quyidagini olamiz:

$$\Delta N = \frac{4N}{\sqrt{\pi}} \int_0^{u_{\max}} u^2 du = \frac{4N}{\sqrt{\pi}} \left[ \frac{u^3}{3} \right]_0^{u_{\max}} \text{ yoki } \Delta N = \frac{4N}{3\sqrt{\pi}} u_{\max}^3 \quad (3)$$

(3) molekular soni  $N$  ni modda miqdori va Avogadro doimiysi orqali ifodalab, hisoblash formulasini topamiz:

$$\Delta N = \frac{4\nu N_A}{3\sqrt{\pi}} u_{\max}^3 \quad (4)$$

$\nu, N_A$  - kattaliklarning qiymatlarini (4) ga qo'yib hisoblasak:

$$\Delta N = \frac{4 \cdot 1,2 \cdot 6,02 \cdot 10^{23}}{3 \cdot 1,77} (10^{-3})^3 = 5,44 \cdot 10^{14} \text{ ta molekula.}$$

**22-masala.**  $m = 10^{-18}$  g massali chang zarrachasi havoda muallaq turibdi. Havoda qatlamning chang zarrachalarining konsentratsiyasi 1% dan ko'pga farq qilmaydigan qalinligi aniqlansin. Butun hajmda havoning harorati  $T$  bir xil va 300 K ga teng.

**Berilgan:**  $T = 300 \text{ K}$ ,  $m = 10^{-18}$ ,  $g = 10^{-27} \text{ kg}$

$$\frac{\Delta n}{n} = 0,01$$

$\Delta z = ?$

**Yechish.** Chang zarrachalarining muvozanatli taqsimotida ularning konsentratsiyasi faqatgina tik yo'nalgan o'q bilan mos keluvchi  $f$  ning koordinatasiga bog'liq bo'ladi. Bu holda chang zarrachalarining taqsimotiga

Boltzman formulasini qo'llash mumkin:

$$N = n_0 e^{-\frac{U}{kT}} \quad (1)$$

Bir jinsli maydonda  $U = mgz$  bo'lganligidan

$$n = n_0 e^{-\frac{mgz}{kT}} \quad (2)$$

Maralaning shartiga ko'ra, konsentratsiyaning  $\Delta h$  balandlik bo'yicha o'zgarishi  $n$  ga nisbatan kam  $\left( \frac{\Delta h}{h} = 0,01 \right)$ , shuning uchun ham

konsentratsiyaning o'zgarishi  $\Delta n$  ni uncha katta bo'lmagan xatolik bilan differensial  $dn$  ga almashtirish mumkin.

(2) ifodani  $z$  bo'yicha differensiallab, quyidagini olamiz.

$$dn = -n_0 \frac{mg}{kT} e^{-\frac{mgz}{kT}} \cdot dz$$

$$N_0 e^{-\frac{mgz}{kT}} = n \text{ ekanligidan } dn = -\frac{mg}{kT} n dz$$

Bundan bizni qiziqtiruvchi koordinata o'zgarishini topamiz:

$$dz = -\frac{kT}{mg} \frac{dn}{n}$$

$dz$ ,  $dn$  larni  $\Delta z$ ,  $\Delta n$  chekli ortirmalar bilan almashtirsak,

$$\Delta z = \frac{kT}{mg} \frac{\Delta n}{n} \quad \frac{\Delta n}{n} = 0,01, K = 1,38 \cdot 10^{-23} \text{ J/K} = 9,81 \text{ m/s}^2, T = 300 \text{ K}$$

$$\Delta z = 4,23 \text{ mm.}$$

## VII bob. TERMODINAMIKA ASOSLARI

### 7.1. Ichki energiya

Biror moddaning bir butun energiyasi deganda, shu moddaning kinetik energiyasi bilan moddaning o'zidagi potensial energiyasi hamda shu moddani tashkil etgan mikrozarrachalar energiyasi, ya'ni moddaning ichki energiyalarining yig'indisi tushuniladi.

$$W = W_k + W_p + U \quad (7.1)$$

$U$  - ichki energiya tushunchasi molekularlar issiqlik harakatining kinetik energiyasini, molekularlar o'zaro ta'sir potensial energiyasini va molekularlar ichidagi boshqa energiyalar (atomning molekularlardagi tebranma harakat energiyasi, atom va ionlarning elektron sathlari energiyasi va boshqalar) ni o'z ichiga oladi.

Ichki energiya sistema holatini belgilaydi. Agar sistema holatining o'zgarishi holat parametrlari  $R, V, T$  bilan ifodalansa, u vaqtda ichki energiya shu holat parametrlarining funksiyasi bo'ladi, ya'ni  $U = f(R, V, T)$ .

Ichki energiya holatning bir qiymatli funksiyasi hisoblanadi. Bu shu nazarni anglatadiki, sistemaning aniq bir tayinli holatiga ichki energiyaning aniq bir qiymati mos keladi. Sistema bir holatdan boshqa holatga o'tganda uning ichki energiyasining o'zgarishi ichki energiyaning bu holatlaridagi qiymatlari ayirmasiga teng bo'lib, bir holatdan boshqa holatga o'tiladigan yo'l shakliga bog'liq emas. Shuning uchun ichki energiyaning hisob boshini tanlash ahamiyatli emas. Ko'pincha  $T=0$  da ichki energiya nolga teng deb olinadi.

Ideal gaz ichki energiyasi ta'rifiga binoan ichki energiya faqat molekularlar kinetik energiyalarining yig'indisiga teng.  $V$  - hajmdagi gaz molekularlarining soni  $N$  ga teng bo'lsa, gazning ichki energiyasi

$$U = W_k N = \frac{i}{2} kT \frac{m}{\mu} N_A = \frac{i}{2} \frac{m}{\mu} RT \quad (7.2)$$

Bir mol gaz uchun ushbu ifoda

$$U = \frac{i}{2} RT \quad (7.3)$$

Bu ifodada  $i$  - erkinlik darajalari soni. Bir atomli gaz uchun  $i=3$  ga ikki atomli gaz uchun  $i=5$  ga uch yoki ko'p atomli bo'lsa,  $i=6$  ga teng. (7.2) munosabat *ixtiyoriy m massali ideal gazning ichki energiyasini ifodalaydi*.

Real gazning molekularlari bir-biri bilan o'zaro ta'sirlashadi, shuning uchun potensial energiyaga ega. Binobarin, real gazning ichki energiyasi molekularlar issiqlik harakatining kinetik energiyasi bilan o'zaro potensial energiyalarining yig'indisiga teng:

$$U = W_k + W_p \quad (7.4)$$

Molekularlarning o'zaro ta'sir potensial energiyasi molekularlar orasidagi masofaga, demak, gaz egallagan hajmga bog'liq bo'ladi. Shuning uchun real gazlar ichki energiyasi faqat haroratiga ega, balki gaz egallagan hajmga ham bog'liq bo'ladi.

Real gaz molekularlari ilgariqlama harakattan tashqari, aylanma va tebranma

harakat qilishi mumkin. Shu harakat tufayli molekularlar shakliga bog'liq bo'lgan ma'lum energiya mavjud bo'ladi. Molekularlar shakli molekular tarkibiga kiruvchi atomlar soniga va ularning joylashishiga ham bog'liq.

Shunday qilib, real gazning ichki energiyasi uning haroratiga, hajmiga va molekularlar strukturasiqga bog'liq bo'ladi.

$$U_{p,c} = \frac{1}{2} NkT + W_{int} + W_p + W_{rot} \quad (7.5)$$

### 7.2. Issiqlik miqdori. Issiqlik sig'imi

Issiqlikni ichki energiyaning sifat belgilarini anglatuvchi kattalik deyish mumkin, chunki issiqlik orqali berilgan moddaning harorati yuqori yoki past ekanligi o'g'riada ma'lumot olamiz. Issiqlikni kontakt yoki nurlanish tufayli uzatish mumkin. Birinchidan, haroratlari har xil bo'lgan moddalar o'zaro bir-biriga tekizilsa, ma'lum vaqtin keyin har ikki moddaning haroratlari sekin-asta bir xil qiymatga o'zgarishini kuzatish mumkin. Ikkinchidan, Quyosh nurlari ta'sirida atrof-mahit isiydi.

*Bir-biriga tekizish yoki nurlanish orqali bir sistemadan ikkinchi sistemaga berilgan yoki undan olingan energiya issiqlik miqdori deyiladi.*

Issiqlik miqdori ham energiya birliklarida o'lchanadi. Issiqlik miqdori *joutla* o'lchanadi. Issiqlik miqdori ham, xuddi bajarilgan ish kabi, holat funksiyasidir.  $U$  faqat moddaning boshlang'ich va oxirgi holatlari bilan emas, balki modda holatlarining o'zgarishi amalga oshgan jarayon bilan ham aniqlanadi.

Moddaning *issiqlik sig'imi*, modda haroratini bir kelvingga oshirish uchun unga berilgan issiqlik miqdori bilan xarakterlanadi. Gazlarning issiqlik sig'imini o'rganishda solishtirma issiqlik sig'im va molar issiqlik sig'im tushunchalaridan foydalanamiz.

a) 1 kg gaz haroratini 1 K ga oshirish uchun kerak bo'lgan issiqlik miqdori bilan o'lchanadigan kattalikka *solishtirma issiqlik sig'imi* deb ataladi. Solishtirma issiqlik sig'imi kichik  $s$  harfi bilan belgilanadi va  $J/kg K$  da o'lchanadi.

b) 1 mol gaz haroratini 1 K ga oshirish uchun kerak bo'lgan issiqlik miqdori bilan o'lchanadigan kattalikka *molar issiqlik sig'imi* deb ataladi. Molar issiqlik sig'im katta  $S$  harfi bilan belgilanadi va  $J/mol K$  da o'lchanadi. Bu ikki issiqlik sig'imlar orasida quyidagicha bog'lanish bor. Molar massa  $\mu$  kg/mol ekanligini eslanak

$$C = \mu c \quad \text{yoki} \quad c = \frac{1}{\mu} C \quad (7.6)$$

munosabat hosil bo'ladi. Ixtiyoriy  $m$  massali gazning issiqlik sig'imi esa

$$mc = \frac{m}{\mu} C \quad \text{ga teng bo'ladi.} \quad \text{O'zgarmas hajmdagi ideal gazning molar}$$

*issiqlik sig'imi* deganda, 1 mol ideal gaz haroratining 1 K ga o'zgarishiga mos keladigan ichki energiya o'zgarishi tushuniladi. Odatda, o'zgarmas hajmdagi gazning molar issiqlik sig'imi  $S$  bilan belgilanadi

$$C_V = \frac{dU_m}{dT} = \frac{d}{dT} \left( \frac{i}{2} RT \right) = \frac{i}{2} R \quad (7.7)$$

Gazning o'zgarish bosimda molar issiqlik sig'imini

$$C_p = \frac{\delta Q}{dT} = \frac{dU_m}{dT} + \frac{\delta A}{dT}$$

yoki

$$C_p = C_v + \frac{pdV_m}{dt} \quad (7.8)$$

shaklda yozish mumkin. 1 mol gaz uchun yozilgan holat tenglamasi ( $R V_m = RT$ ) ga differensiyalash amalini qo'llab  $RdV_m = RdT$  tenglikni hosil qilamiz. Uni (7.8) ga qo'ysak

$$C_p = C_v + R = \frac{i+2}{2} R \quad (7.9)$$

hosil bo'ladi.

(7.7) ning (7.9) ga nisbatini olsak va  $\gamma$  bilan belgilasak,

$$\gamma = \frac{C_p}{C_v} = \frac{i+2}{i} \quad (7.10)$$

hosil bo'ladi. Bir atomli gaz uchun  $i=3$ ,  $\gamma=5/3=1,67$ ; ikki atomli gaz uchun  $i=5$ ,  $\gamma=7/5=1,4$ ; ko'p atomli gaz uchun  $i=6$ ,  $\gamma=2/6=1,33$ .

### 7.3. Termodinamikaning birinchi bosh qonuni va uni gaz izojarayonlariga tatbiq'i

Issiqlik, ish va energiya orasidagi munosabati issiqlikning mexanik harakatga va ishga aylanish jarayoniga bog'lab o'rganadigan fizikaning bo'limiga **termodinamika** deyiladi. Demak, tabiat hodisalariga energiyani saqlanish va bir turdan ikkinchi turga o'tish qonuni asosida qarash termodinamikaning mazmunini tashkil qiladi.

Termodinamika o'zining ikki fundamental qonuniga tayanadi. Termodinamikaning birinchi bosh qonuni issiqlik hodisalariga energiyani saqlanish va bir turdan ikkinchi turga aylanish qonunining tatbiq'idan iboratdir. Silindrning qo'zg'oluvchan porsheni ostida turgan gazni qizdiraylik. Gazga berilgan  $Q$  issiqlik miqdori uning ichki energiyasini  $\Delta U$  oshirishga va porshenni  $\Delta h$  balandlikka ko'tarishda ( $\gamma$  ni  $\Delta V$  hajmga o'zgartishda)  $A$  ish bajarishga sarflanadi.

Ish energiyani bir turidan boshqaga turgan aylanish o'lchovi bo'lganligi uchun  $A$  ish sistema porshenning ko'tarilganligi natijasida olgan mexanik energiyaga teng. Energiyaning saqlanish qonuniga ko'ra

$$Q = \Delta U + A \quad (7.11)$$

Bu bog'lanish **termodinamika birinchi bosh qonunining matematik ifodasi** bo'lib quyidagicha ta'riflanadi:

**Sistemaga atrofidagi jismlar bergan issiqlik miqdori sistema ichki energiyasini o'zgarishiga va sistemaning tashqi jismlar ustida ish bajarishga sarflanadi.**

Agar sistema o'zining dastlabki holatiga har doim qaytsa, uning ichki energiyasining o'zgarishi  $\Delta U=0$  bo'ladi. U holda termodinamikaning birinchi asosiy qonuni quyidagicha yoziladi:

$$A = Q$$

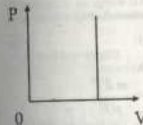
Bundan o'zi olgan energiyadan ko'proq ish bajara oladigan davriy harakatlanuvchi sistema (**birinchi tur abadiy dvigateli**) yaratish mumkin emasligi ko'rib chiqildi. Bu xulosalardan foydalanib, termodinamikaning birinchi bosh qonuni yana shunday ta'riflash mumkin: **birinchi tur abadiy dvigateli qurish mumkin emas.**

Termodinamikaning birinchi bosh qonunini differensial ko'rinishi

$$dQ = dU + dA \quad (7.12)$$

ifodaga ega bo'ladi.

Endi termodinamika birinchi bosh qonuni ideal gazdagi izojarayonlarga tatbiq qilaylik.



7.1-rasm.

I) **Izoxorik jarayon** ( $V=\text{const}$ ) hajm o'zgarmaganligi uchun izoxorik jarayonda ish bajarilmaydi, ya'ni  $A=0$ . Natijada termodinamikaning birinchi bosh qonunining ifodasi izoxorik jarayon uchun

$$Q = dU \quad (7.13)$$

ko'rinishda yoziladi.

Izoxorik jarayonning ( $R, V$ ) diagrammadagi grafigi ordinata o'qiga parallel to'g'ri chiziqdan iborat bo'ladi (7.1-rasm). Izoxorik jarayonda solishtirma issiqlik sig'im

$$C_p = dU_m / dT$$

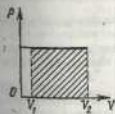
hunda va (7.6) ni hisobga olib, quyidagini hosil qilamiz:

$$dU_m = \mu C_p dT \quad (7.14)$$

hunda,  $S_v$  - izoxorik molar issiqlik sig'im.

Demak, gazning ichki energiyasi o'zgarishi uning harorati o'zgarishi  $dT$  ga to'g'ri proporsional ekan.

### 2) Izoobarik jarayon ( $R = \text{const}$ )



7.2-rasm.

Izoobarik jarayonning ( $R, V$ ) diagrammadagi grafigi absissa o'qiga parallel to'g'ri chiziqdan iborat bo'ladi (7.2-rasm). Bu jarayonda hajm  $V_1$  dan  $V_2$  gacha izobarik kengayganda bajarilgan ishning qiymati  $A = R(V_2 - V_1)$  to'g'ri to'rt burchakning yuziga teng bo'ladi. Elementar hajmlarda bajarilgan ish esa  $dA = R dV$  shaklida yoziladi.

Bundan foydalanib, 1 mol gaz uchun termodinamikaning birinchi bosh qonunini quyidagicha yozishimiz mumkin:

$$dQ = C_v dT + R dV \quad (7.15)$$

izoobarik molar issiqlik sig'im (7.8) ni e'tibor

$$C_p = \frac{dQ}{dT}$$

hosil qilamiz. Buni (7.15) qo'yib

$$S_v dT = S_v dT + R dV \quad (7.16)$$

munosabat olinadi.

1 mol gaz uchun olingan holat tenglamasidan differensial olsak,  $RdV = RdT$  hosil bo'ladi. Buni (7.16) ga qo'yib quyidagi munosabati yozamiz.

$$S_2 dT = S_1 dT + RdT$$

yoki

$$S_2 = S_1 + R$$

(7.17)

Bu ifoda Robert - Mayer tenglamasi deyiladi va  $S_2$ , ning  $S_1$  bilan farqi  $R$  ga teng ekanligini ko'rsatadi. Demak, 1 mol gazni  $1K$  ga isitganda, bosim o'zgarmas bo'lgan holda sarf qilingan issiqlik miqdorining farqi bajarilgan ish  $RdV$  ga teng bo'lib, uning qiymati  $R$  ga teng.

3) Izotermik jarayon ( $T = const$ ). Ideal gazning ichki energiyasi o'zgar olmaydi. Demak,  $dT = 0$ ,  $dU = \mu C_v dT = 0$  bo'ladi. U holda termodinamikaning birinchi bosh qonuni

$$dA = dQ = RdV \quad (7.18)$$

ko'rinishida yoziladi. Klapeyron-Mendeleyev tenglamasidan foydalanib,

$$P = \frac{m RT}{\mu V}$$

munosabati hosil qilamiz. Uni ideal gazning hajmi  $V_1$  va  $V_2$  gacha o'zgaranda bajarilgan ishni hisoblash formulasiga qo'yamiz,

$$A = \int_{V_1}^{V_2} PdV = \frac{m}{\mu} RT \int_{V_1}^{V_2} \frac{dV}{V} = \frac{m}{\mu} RT \ln \frac{V_2}{V_1} \quad (7.19)$$

Bu ifodadagi  $\frac{m}{\mu} RT$  izotermik jarayon uchun o'zgarmas kattalikdir.

Izotermik jarayonning ( $P, V$ ) diagrammadagi grafigi giperbolik egri chiziqdir (7.3-rasm).

4. Adiabatik jarayon ( $dQ = 0$ ). Gaz tashqaridan hech qanday issiqlik miqdori olmaydi va uni tashqariga bermaydi.

Gazlarda adiabatik jarayon juda tez o'tadi, shuning uchun issiqlik almashinovi deyarli amalga oshmaydi. Termodinamikaning birinchi bosh qonuni quyidagi ko'rinishida yoziladi:

$$dA = -dU \quad (7.20)$$

Demak, adiabatik jarayon tashqi jismlar usida bajarilgan ish ichki energiyaning kamayishi hisobiga bajariladi. Agar  $dA > 0$  bo'lsa,  $dU < 0$  va aksincha bo'ladi. (7.15) formulada  $dU = C_v dT$  ekanligini e'tiborga olib (7.20) ni quyidagicha ko'rinishida yozish mumkin

Bundan

$$P \cdot dV = -C_v dT \quad (7.21)$$

$$dT = -\frac{1}{C_v} PdV \quad (7.22)$$

munosabati hosil qilamiz.

Ideal gaz holat tenglamasi ( $PV_n = RT$ ) ga differensiallash amaliini qo'llaylik

$$PdV_n + V_n dP = RdT$$

Bu yerlagi  $dT$  ni o'rni ga (7.22) dagi qiymatini qo'yamiz,

$$PdV_n + V_n dP = -\frac{R}{C_v} PdV_n$$

yoki

$$\left(1 + \frac{R}{C_v}\right) PdV_n + V_n dP = 0 \quad (7.23)$$

ifodani hosil qilamiz. Bunday

$$1 + \frac{R}{C_v} = \frac{C_p + R}{C_v} = \gamma$$

ekanligini ((7.10) qarang) e'tiborga olsak, (7.23) ni quyidagicha yozamiz:

$$\gamma PdV_n + V_n dP = 0$$

Bu ifodani  $dV_n$  ga hadlab bo'lsak

$$\gamma \frac{dV_n}{V_n} + \frac{dP}{P} = 0$$

hosil bo'ladi. Oxirgi munosabat  $\ln PV_n^\gamma$  funksiyaning differensialidir. Shuning uchun

$$d(\ln PV_n^\gamma) = 0$$

ko'rinishida yozishimiz mumkin. Bu tenglikni

$$PV_n^\gamma = const$$

(7.24)

shaklida ham yozish mumkin.

(7.24) tenglama Puasson tenglamasi deb ataladi.

Bunda  $\gamma = \frac{C_p}{C_v}$  adiabata ko'rsatgichi bo'lib, adiabatik jarayon uchun  $\gamma = 1$ ,

izobarik jarayon uchun esa  $\gamma = 1$ . (7.24) tenglamani

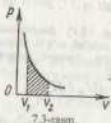
$$\left. \begin{aligned} TV^{\gamma-1} &= const \\ TP^\frac{1-\gamma}{\gamma} &= const \end{aligned} \right\} \quad (7.25)$$

ko'rinishida ham yozish mumkin.

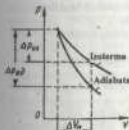
Adiabatik jarayonning ( $P, V$ ) diagrammadagi grafigi 7.4-rasmda tasvirlangan. Grafikdan ko'rinadiki, adiabata izotermadan tikeq bo'lar ekan. Gaz adiabatik kengayganda uning harorati  $T_1$  dan  $T_2$  gacha o'zgarsa, bajarilgan ish

$$A = S_2(T_1 - T_2) \quad (7.26)$$

teng bo'ladi.



7.3-rasm.



7.4-rasm.



#### 7.4. Issiqlik sig'ining klassik nazariyasi va uning chegaralanganligi

Gaz molekulasining *erkinlik darajasi* deganda, shu gaz holatini to'la aniqlovchi va bir-biriga bog'liq bo'lmagan *koordinatlar soni* tushuniladi. Agar molekula bir to'g'ri chiziq bo'yab harakatlanyotgan bo'lsa, uning vaziyati bitta koordinata bilan aniqlanadi, demak ( $i=1$ ) erkinlik darajalar soni birga teng. Molekula tekislikda harakatlanyotgan bo'lsa, uning holatini ikkita koordinata bilan aniqlash mumkin, demak  $i=2$ . Fazoda molekula vaziyati uchta koordinata bilan aniqlanadi,  $i=3$  ga teng. Gaz ikki atomli bo'lgan holda molekulaning erkinlik darajasi ortadi ( $i=5$ ). Molekular 3 va undan ortiq atomlardan iborat bo'lsa,  $i=6$  bo'ladi. Umumiy erkinlik darajasi nechega teng bo'lishidan qat'i nazar, uning uchtaasi ilgari tana harakatiga mos keladi.

Klassik nazariyaga asosan molekulaning to'la mexanik energiyasi erkinlik darajalari bo'yicha bir tekis taqsimlanadi va bitta erkinlik darajasiga to'g'ri kelgan energiya  $\frac{1}{2}kT$  ga teng. U holda (7.7) va (7.9) formulalarga asoslanib molekulari

bitta, ikkita va ko'p atomdan iborat bo'lgan ideal gazning o'zgarmas hajmdagi molar issiqlik sig'imi ( $S_v$ ) va o'zgarmas bosimdagi molar issiqlik sig'imi ( $S_p$ ) uchun quyidagi hisoblashlarni bajaraylik  $i=3$  bir atomli gaz molekulasini uchun

$$C_v = \frac{i}{2}R = \frac{3}{2}R = \frac{3}{2} \cdot 8,31 \text{ J/mol} \cdot \text{K} = 12,47 \text{ J/mol} \cdot \text{K}$$

$$C_p = \frac{i+2}{2}R = \frac{5}{2}R = \frac{5}{2} \cdot 8,31 \text{ J/mol} \cdot \text{K} = 20,78 \text{ J/mol} \cdot \text{K} \quad (7.27)$$

$i=5$  ikki atomli gaz molekulasini uchun

$$C_v = \frac{i}{2}R = \frac{5}{2}R = 20,78 \text{ J/mol} \cdot \text{K};$$

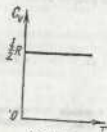
$$C_p = \frac{i+2}{2}R = \frac{7}{2}R = 29,09 \text{ J/mol} \cdot \text{K} \quad (7.28)$$

$i=6$  uch va undan ortiq atomlardan tashkil topgan molekular uchun

$$C_v = \frac{i}{2}R = \frac{6}{2}R = 24,94 \text{ J/mol} \cdot \text{K};$$

$$C_p = \frac{i+2}{2}R = \frac{8}{2}R = 33,25 \text{ J/mol} \cdot \text{K} \quad (7.29)$$

Bu topilgan natijalarni ba'zi gazlar uchun tajribada topilgan molar issiqlik sig'imlari ( $S_v$  va  $S_p$ ) bilan solishtiraylik. Bir atomli gazlar getiy uchun  $S_v = 12,48$ ,  $S_p = 20,94$  va argon uchun  $S_v = 12,48$ ,  $S_p = 21,23$  bu tajriba natijalari klassik nazariya asosida hisoblangan (7.26) hodaga juda yaxshi mos kelganligini ko'ramiz. Mo... Jarai ikki atomdan



7.5-rasm.

tashkil topgan  $N_3$ ,  $N_2$  gazlar uchun [ $C_v^{N_3} = 20,39$ ,  $C_p^{N_3} = 28,76$ ;  $C_v^{N_2} = 20,77$ ,  $S_p = 28,64$ ] ham tajriba va nazariya natijalari orasida yetaricha moslik (7.27) qarag mavjudligiga qanoat hosil qilamiz. Lekin molekulari uch va undan ortiq atomdan tashkil topgan gazlar uchun tajriba natijalari  $C_v^{H_2O} = 27,84$ ,  $C_p^{H_2O} = 36,22$ ;

$$C_v^{CH_4} = 27,26, C_p^{CH_4} = 35,63$$

suv bag'lari va metan gazlari uchun nazariy hisoblariga (7.28) qarag) mos kelmasligini ko'rib turibmiz.

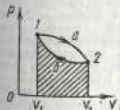
Endi issiqlik sig'imining haroratga bog'liqligini tekshiraylik. Klassik nazariyaga asosan issiqlik sig'im haroratga bog'liq emas (7.5-rasm).

Tajriba natijalari esa issiqlik sig'imining haroratga bog'liq ekanligini ko'rsatadi (7.6-rasm). Rasmdagi grafikda molekulari ikki atomdan iborat bo'lgan gazlar uchun o'zgarmas hajmdagi molar issiqlik sig'imining haroratga bog'liqligi tasvirlangan. Grafikdan shu narsa ko'rinadiki,  $S_v$  ning qiymati faqat ayrim harorat realislaridagina o'zgaraydi va ular  $i$  ning turli qiymatlariga mos keladi. Past va yuqori haroratlarda amaliy qiymatlarning nazariy qiymatlardan fursi yetarli darajada kattadir. Amalda harorat ko'tarilsa,  $S_v$  oshadi, harorat pasaysa  $S_v$  kamayadi. Bulardan ko'rinadiki, tajriba yo'li bilan olingan natijalari nazariy qiymatlardan ilinjini klassik nazariya tushuntirishga o'zidir. Klassik nazariya molekula va atomlarning aylanma va telenama harakat energiyalari harorat o'zgarishiga mos bo'lgan  $kT$  energiyaning uzluksiz qiymatlarini qabul qiladi deb tushintiradi. Kvant mexanikasida esa atom sistemalar energiyasi *diskret* (uzluqli) qiymatlarga ega bo'la oladi deb yoki boshqachga aytganda, atom sistemalar energiyasining o'zgarishi *skvantsimon tarzda* amalga oshadi deb o'rganadi.

Shunday qilib, gaz issiqlik sig'imini tushuntirishdagi ba'zi qiyinchiliklar klassik nazariyaning chegaralanganligini ko'rsatadi. Bu esa molekularning harakati kvant mexanikasidagina to'la tushuntirish mumkinligini ifodalaydi.

#### 7.5. Qaytar va qaytmas jarayonlar

Berk sistemada kechadigan barcha jarayonlarni ikki xil, qaytar va qaytmas jarayonlarga ajralish mumkin. Agar jism bir qancha holatlar orqali bir holatdan ikkinchi holatga o'tiganda va ya'ni o'zining dastlabki holatiga to'la qaytganda atrof-muhitda hech qanday o'zgarishlar yuz bermasa, bunday jarayonlar *qaytar jarayonlar* deyiladi. Aksincha, jism boshlang'ich holatga qaytgandan so'ng atrofidagi jismlarda qandaydir o'zgarishlar sodir bo'lgan jarayonni qaytmas jarayon deb ataladi. Agar ipga osilgan matematik mayatinni muvozanatli holatdan chiqarib qo'yib yuborsak, u muvozanatli holatga nyan shu yo'l bilan qaytib, yana shu yo'l bilan muvozanatsiz holatga o'tadi.



7.7-rasm.

Ishqalanish va qarshilik kuchlaridan xoli bo'lgan hamma mexanik sistemalar ideal qaytar bo'ladi. Real sharoitda faqat qaytmas jarayon amalga oshadi, chunki ishqalanish va qarshilik kuchlariga sarflangan energiya atrof-muhitga tarqalib ketadi.

Sistema bir qator holatlarni o'tishi natijasida o'zining dastlabki holatiga qaytib kelsa, bunday jarayon *aylanma jarayon* yoki sikl deb ataladi. Porshenli silindr idish ichidagi gazni tekshiraylik. Hajm kengayishi natijasida sistema 1-holatdan 2-holatga  $a$  orqali o'tsin, so'ngra hajmi siqilishi natijasida  $b$  orqali o'zining dastlabki holatiga qaytib kelsin (7.7-rasmi).

Bunda bosim va hajm o'zgarishi orqali yuz bergan jarayonda bajarilgan ishi quyidagi formula orqali aniqlasak:

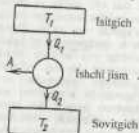
$$dA = PdV \quad \text{yoki} \quad A = \int_1^2 PdV \quad (7.30)$$

u musbat bo'lib, son jihatdan  $1A - 2V_2V_1$  egri chizig' bilan chegaralangan yuzga teng. Gazning siqilishida bajarilgan ish manfiy bo'lib, u son jihatdan  $2V_2V_1/2$  egri chiziq ostidagi yuzga orqali aniqlanadi. U holda aylanma jarayonda bajarilgan ish  $1A 2V_2V_1$  holda  $2V_2V_1/2$  egri chiziq bilan chegaralangan yuzalarning ayirmasi, ya'ni  $1A 2 b 1$  egri chiziq bilan chegaralangan yuz bilan ifodalanadi. Jarayonning qanday o'tishi yo'nalishiga qarab bajarilgan ish musbat ( $1A 2 b 1$ ) va manfiy ( $1 b 2 a 1$ ) bo'lishi mumkin.

Sikl tugagandan keyin sistema dastlabki holatiga qaytib keladi. Shuning uchun holatning har qanday funksiyasi, masalan, ichki energiya, siklning boshi va oxirida bir xil qiymatga ega bo'ladi.

### 7.6. Termodinamikaning ikkinchi bosh qonuni

Termodinamikaning birinchi bosh qonuni sistemaning ichki energiyasining o'zgarishi, bajarilgan ish va issiqlik miqdori orasidagi muqobil bog'lanishlarni aniqlaydi. Shuningdek, termodinamikaning birinchi qonuni energiyaning saqlanish va aylanish qonuni deb ham yuritiladi. Lekin termodinamikaning birinchi qonuni sistemadagi jarayon qaysi yo'nalishda sodir bo'lishini ko'rsatmaydi. Faraz qilaylik, massalari  $m_1, m_2$  haroratlari  $T_1 > T_2$  ikkita jismdan tashkil topgan berk sistema berilgan bo'lsin. Sistema tarkibidagi jismlar kontakta keltirilganda, harorati yuqoriroq bo'lgan birinchi jism ichki energiyasining bir qismi pastroq harorati



7.8-rasmi.

ikkinci jismga o'tadi, teskari yo'nalishda energiya o'tish kuzatilmaydi. Birinchi jismdan o'tgan energiyaning bir qismi ikkinchi jism ustida ish bajarilgacha va uning ichki energiyasini oshirishga sarf bo'ladi. Termodinamikaning birinchi qonuni bajarilishi uchun birinchi jismdan yo'qotgan issiqligi ikkinchi jism tomonidan qabul qilingan issiqlikka teng bo'lishi yetarli. Ammo bu qonun issiqlik miqdori harorati katta bo'lgan jismlar harorati nisbatan kichik bo'lgan jismga o'tadimi yoki jarayon, aksincha, yo'nalishda sodir bo'ladimi buni

aniqlash bera olmaydi. Chunki berk sistema uchun  $dQ = 0$  va  $dA = 0$  bo'lganligidan bu qonungacha asosan sistemadagi har qanday jarayonda uting ichki energiyasi o'zgarmasdan qolishi kerak, ya'ni  $du = 0$ . Bu muammoni termodinamikaning ikkinchi qonuni hal qiladi.

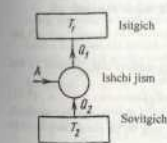
Termodinamikaning ikkinchi bosh qonuni tabiatda sodir bo'ladigan jarayonlarning amalga oshishi mumkin bo'lgan yo'nalishini aniqlaydi. Termodinamikaning ikkinchi qonunini issiqlik mashinalarining ishlash prinsipini tahlil qilish orqali tushunishga harakat qilaylik. Davriy jarayon amalga oshiriladigan qurilmalar uch qismdan - istalgich, ishchi jism va sovitgichdan iborat bo'ladi. Issiqlik mashina (7.8-rasmi) istalgichdan  $Q_1$  issiqlik miqdori olib uning bir qismini ishga aylantiradi, qolgan qismi  $Q_2$  ni sovitgichga beradi.

Termodinamikaning ikkinchi bosh qonuni *Plank* tomonidan quyidagicha ta'riflangan: *birdan-bir natijasi issiqlik miqdorini ishga aylantirishdan iborat bo'lgan davriy jarayon amalga oshmaydi*. Demak, ta'rifga ko'ra istalgichdan olingan  $Q_1$  issiqlikni hatamom ishga aylantirishdan iborat bo'lgan jarayonni amalga oshirib bo'lmaydi. Aslida issiqlik mashinasi davriy ishlash turishi uchun issiqlik miqdorining qandaydir  $Q_2$  qismi sovitgichga berilishi kerak. Istalgichdan olingan issiqlikning qanchalik ko'p qismi ishga aylantirilsa, bu dvigatel shunchalik foydali hisoblanadi. Issiqlik mashinasining foydali ish ko'rsatkichi (*FIK*)

$$\eta = \frac{A}{Q_1} = \frac{Q_1 - Q_2}{Q_1} < 1 \quad (7.31)$$

bo'ladi, chunki  $Q_1 - Q_2 < Q_1$ .

Bundan ko'rinadiki,  $\eta$  ning qiymati eng yuqori bo'ladigan ideal issiqlik mashina ham istalgichdan olingan issiqlik miqdorining barcha qismi foydali ishga aylantiradi.



7.9-rasmi.

*FIK*  $\eta = 1$  bo'lgan dvigatellar abadi dvigatellar yoki *ikkinchi tur perpetuum mobile* deb ataladi. Osvald ta'rif: *ikkinchi tur perpetuum mobilni qurish mumkin emas*.

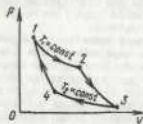
Termodinamikaning ikkinchi bosh qonuni *Kelvin* tomonidan quyidagicha ta'riflangan: *sistemaga oid bo'lgan eng sovuq jismlarning issiqligini ishga aylantiradigan issiqlik mashina yaratib bo'lmaydi*.

Termodinamikaning ikkinchi bosh qonunini *Klauzius* quyidagicha ta'riflaydi: *issiqlik miqdori o'z-o'zicha sovuq jismdan issiq jismga o'ta olmaydi*. Ta'rifda ko'rsatilgandek, issiqlik miqdorini sovuqroq jismdan uzatilishi sodir bo'lishi uchun sovitgich mashinalarda (7.9-rasmi) ishchi jism ustida ish bajarish kerak. Demak, tashqi kuchlarning bajarilgan  $A$  ishi hisobiga qaz (ishchi jism) sovitgichdan  $Q_2$  issiqlik miqdorini oladi va istalgichga  $Q_1$  issiqlik miqdori beradi.

Shunday qilib, quyidagi xulosaga kelamiz, yuqoridagi aytilgan termodinamika ikkinchi bosh qonunining ta'riflari mazmunlari har xil bo'lib, faqat shakllari bilan farqlanib hammasi ham tabiatdagi jarayonlarning sodir bo'lish yo'nalishini ko'rsatadi.

### 7.7. Karno sikli va uning foydali ish koeffitsiyentini

1824-yilda fransuz muhandisi Sadi Karno termodinamikaning ikkinchi qonuni asosida ishlovchi eng yuqori FIK li ikki izoterma va ikki adiabatdan iborat aylanna siklli ideal issiqlik mashinasi nazariy ishlab chiqdi. **Karno sikli** deb nom olgan bu ideal issiqlik mashinasining ishlash prinsipi bilan tanishaylik. Ishchi jism sifatida 1 mol ideal gazdan foydalanib, amalga oshirilgan Karno siklining ( $P, V$ ) diagrammadagi grafigi 7-10-rasmda tasvirlangan.



7.10-rasm.

Gazning boshlang'ich holati  $R, P, V, T$  parametrlar bilan xarakterlansin. Dastlab gazni izotermik ravishda ( $T_1 = \text{const}$ ) kengaytiraylik. Bu jarayonda gaz istigichidan  $Q_1$  issiqlik miqdori oladi va  $A_1$  ish bajaradi (7.19) ga asosan

$$Q_1 = A_1 = RT \ln \frac{V_2}{V_1} \quad (7.32)$$

hosil qilamiz. Gaz 1→2 holatga o'tiganda termodinamik parametrlari o'zgaradi. Gazning 2→3 holatga o'tkazishda adiabatik

kengaytiraylik. 3 holatda uning parametrlari  $R, P, V, T$  qiymatlarni oladi. Adiabatik kengaytishda, ishchi jismning bajaragan ishi (7.25) ga asosan quyidagicha bo'ladi.

$$A_2 = \frac{i}{2} R(T_1 - T_2) = C_v(T_1 - T_2) \quad (7.33)$$

Sistemani 3→4 holat bo'yicha izotermik siqaylik, bunda bajarilgan ish

$$A_3 = -Q_2 = RT_2 \ln \frac{V_4}{V_3} \quad (7.34)$$

ga teng. 4 holatda gazning parametrlari  $R, P, V, T$  qiymatlarni oladi. Harorat  $T_2$  dan  $T_1$  ga o'zgaranda adiabatik jarayonning bajaragan ishi

$$A_4 = C_v(T_2 - T_1) \quad (7.35)$$

teng bo'ladi (7.32) va (7.34) lardan ko'rinadiki, sikl davomida adiabatik jarayonlarda bajarilgan ishning yig'indisi nolga teng bo'lar ekan. Buni hisobga olib sikl davomidagi to'liq ish

$$A = A_1 + A_3 = Q_1 - Q_2 \quad (7.36)$$

teng bo'ladi. Bulardan foydalanib, Karno issiqlik mashinasining F.I.K ni topaylik

$$\eta = \frac{Q_1 - Q_2}{Q_1} = \frac{RT_1 \ln \frac{V_2}{V_1} - RT_2 \ln \frac{V_4}{V_3}}{RT_1 \ln \frac{V_2}{V_1}} \quad (7.37)$$

(7.25) Puasson tenglamasidan foydalanib, 2 va 3 holatlarning parametri orasidagi bog'lanish  $T_1 V_2^{\gamma-1} = T_2 V_3^{\gamma-1}$ , ideal gazning 4 va 1 holatlari uchun

$$T_1 V_1^{\gamma-1} = T_2 V_4^{\gamma-1}$$

ko'rinishga ega bo'ladi. Har ikkala tenglamani hadma-had bo'lib, qolgan qiymatlardan ( $\gamma-1$ ) darajali ildiz chiqarsak

$$\frac{V_2}{V_1} = \frac{V_3}{V_4}$$

munosabat hosil bo'ladi. Bundan foydalanib (7.36) ni quyidagicha yozamiz:

$$\eta = \frac{T_1 - T_2}{T_1} \quad (7.38)$$

Demak, ideal gaz bilan ishlaydigan Karno issiqlik mashinasining F.I.K faqat istigich va sovutgich haroratlarining qiymatlari bilan aniqlanar ekan.

Real, qaytmaydigan siklining F.I.K esa

$$\eta' = \frac{Q_1 - Q_2}{Q_1} < \frac{T_1 - T_2}{T_1} \quad (7.39)$$

bo'ladi. Real mashinalarda energiyaning bir qismi qaytmaydigan tarzda sarflanadi. Demak, real mashinaning FIK ideal mashinaning FIK dan kichikroq bo'ladi.

### Savollar

1. Ideal va real gazlar ichki energiyalari qozirni ifodalovchi qanday kattaliklarga bog'liq?
2. Issiqlik sig'imi, solishtirma issiqlik sig'im va molar issiqlik sig'imlar orasidagi bog'lanishlarni izohlang.
3. Termodinamikaning birinchi bosh qonuni va uni gaz izojaryonlariga ta'rifini grafiklar va matematik ifodalar orqali tushuntiring.
4. Klassik nazariyaga asosan issiqlik sig'im temperaturaga bog'liq emas, tajriba natijalari esa issiqlik sig'imi temperaturaga bog'liq ekanligini ko'rsatadi. Bu qarama-qarshilik qanday bartaraf qilinadi?
5. Qaytar va qaytmas jarayonlar qanday sharoitlarda amalga oshirishni ko'rsating.
6. Termodinamikaning ikkinchi bosh qonuni tabiatda sodir bo'ladigan jarayonlarning amalga oshishi mumkin bo'lgan yo'nalishlarini qanday aniqlaydi va bu haqda taniqli olimlarni ta'riflarini keltiring.
7. Karno sikli va uning foydali ish koeffitsiyentini grafik orqali izohlang va tenglamasini yozing.

### Masalalar

**23-masala.** Neon va vodorodni ideal gaz deb hisoblab, ularning o'zgarmas hajm ( $C_p$ ) va bosim ( $C_v$ ) dagi solishtirma issiqlik sig'imlari hisoblang.

**Yechish.** Ideal gazning solishtirma issiqlik sig'imlari

$$C_v = \frac{i}{2} R \quad (1)$$

$$C_p = \frac{i+2}{2} R \quad (2)$$

formular bilan ifodalanadi. Neon (bir atomli gaz) uchun  $i_1=3$ ,  
 $M_1 = 20 \cdot 10^{-3} \text{ kg/mol}$ .  $i$ ,  $M$ , va  $R$  larning qiymatlarini (1) va (2) formulalarga  
 qo'yib hisoblasak;  $C_{V_1} = 624 \text{ J/(kg}\cdot\text{K)}$ ;  $C_{P_1} = 1,04 \text{ kJ/(kg}\cdot\text{K)}$  Vodorod  
 (ikki atomli gaz) uchun  $i=5$ ;  $M_2=2 \cdot 10^{-3} \text{ kg/mol}$  (1) va (2) formulalar bo'yicha  
 hisoblash vodorodning solishtirma issiqlik sig'irlari uchun quyidagi qiymatlarini  
 beradi:

$$C_{V_2} = 10,4 \text{ kJ/(kg}\cdot\text{K)}; \quad C_{P_2} = 14,6 \text{ kJ/(kg}\cdot\text{K)}$$

24-masala.  $m=0,2 \text{ kg}$  massali vodorod o'zgarish bosimda  $t_1=0^\circ\text{C}$  haroratdan  
 $t_2=100^\circ\text{C}$  haroratgacha qizdirilganda yutadigan issiqlik miqdori aniqlansin.  
 Shuningdek, gaz ichki energiyasining o'zgarishi va bajargan ishi topilsin.

Berilgan:  $m=0,2 \text{ kg}$   $=0,2 \text{ kg}$   
 $t_2=100^\circ\text{C}$   $=373 \text{ K}$   
 $t_1=0^\circ\text{C}$   
 $\frac{t_2-t_1}{t_1} = \frac{373-0}{0} = 273 \text{ K}$   
 $\Delta U = ?$   $A = ?$

Yechish. Izobarik qizitishda gaz yutadigan issiqlik miqdori

$$Q = m C_p \Delta T \quad (1)$$

formula bo'yicha aniqlansin: bunda,  $m$  - qizdirilayotgan gazning massasi;  $S$  - uning  
 o'zgarish bosimidagi solishtirma issiqlik sig'irini,  $\Delta T$  - gaz haroratining  
 o'zgarishi.

Ma'lumki,  $C_p = \frac{i+2}{2} \frac{R}{M}$ .  $S$  ning bu ifodasini (1) formulaga qo'yajak.

$$Q = m \frac{i+2}{2} \frac{R}{M} \Delta T$$

Bu formula bo'yicha hisoblash o'tkazsak,  
 $Q = 291 \text{ kJ}$ .

Ichki energiya  $U = \frac{i}{2} m R T$  formula bilan ifodalanadi, demak, ichki  
 energiyaning o'zgarishi

$$\Delta U = \frac{i}{2} m R \Delta T$$

bu formulaga kattaliklarning son qiymatlarini qo'yib hisoblashni bajarsak,

$$\Delta U = 208 \text{ kJ}$$

Gazning kengayishdagi bajargan ishini termodinamikaning birinchi qonunini  
 ifodalovchi formula  $Q = \Delta U + A$  dan aniqlaymiz:

$$A = Q - \Delta U$$

$Q$  va  $\Delta U$  ularning qiymatlarini o'rni qo'yajak  
 $A = 83 \text{ kJ}$ .

25-masala. Teskari Karno sikli bo'yicha ishlaydigan issiqlik mashinasining  
 isitgichi  $t_1=200^\circ\text{C}$  haroratga ega. Agar isitgichdan  $Q_2=1 \text{ J}$  issiqlik miqdori olinganda  
 mashina  $A=0,4 \text{ J}$  ish bajarsa, sovitgichning harorati  $T_2$  aniqlansin. Ishqalanishdagi va

issiqlik berishdagi yo'qotish hisobga olinmasin.

Berilgan:  $t_1=200^\circ\text{C} = 473 \text{ K}$   
 $Q_2=1 \text{ J} = 1 \text{ J}$   
 $A=0,4 \text{ J} = 0,4 \text{ J}$   
 $T_2=?$

Yechish. Sovitgichning haroratini Karno sikli bo'yicha ishlaydigan  
 mashinalarning FIK uchun yozilgan  $\eta = (T_1 - T_2) / T_1$  ifodadan foydalanib  
 topamiz. Bundan

$$T_2 = T_1(1 - \eta) \quad (1)$$

Issiqlik mashinasining FIK mexanik ish  $A$  ga aylantirilgan issiqlik miqdorini,  
 issiqlik mashinasining  $r$  isitgichdan oladigan issiqlik miqdori  $Q_1$  ga nisbatini

ifodalaydi, ya'ni  $\eta = \frac{A}{Q_1}$ . Bu ifodani (1) formulaga qo'yib, quyidagini topamiz:

$$T_2 = T_1 \left( \frac{1 - A}{Q} \right) \quad (2)$$

$T_1=473 \text{ K}$  ekanligini hisobga olsak,  $T_2=284 \text{ K}$ .

## VIII bob. REAL GAZLAR

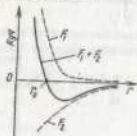
### 8.1. Molekular orasidagi o'zaro ta'sir kuchlari

Molekular-kinetik nazariyani o'rganimizda ideal gazlar bilan ish ko'rdik. Bunda molekularlar bir-birlari bilan o'zaro ta'sirlashmaydigan va ularning o'lchamlari hamda hajmlari hisobga olmaslik darajada kichik deb soddalashtirilgan edi.

Real gazlar bilan ish ko'rganda esa molekularlarning xususiy hajmlarini hisobga olishga to'g'ri keladi. Bir dona molekularning hajmi  $V' = \frac{4}{3}\pi r^3 \approx 4 \cdot 10^{-30} m^3$ .

Normal sharoitda  $1 m^3$  hajmdagi molekularlar xususiy hajmi  $nV' = 2,69 \cdot 10^{23} \cdot 4 \cdot 10^{-30} m^3$  (8.1)

Bu ancha kichik hajm, lekin bosim bir necha ming marta oshganda molekularni xususiy hajmi gaz egallagan hajmi bilan taqqoslanarli darajada bo'ladi. Bunday hollarda molekularlarning xususiy hajmini hisobga olmaslik katta xatolarga olib keladi.



8.1-rasm.

Ideal gazdagi ikkinchi soddalashtirish molekular orasida o'zaro ta'sir kuchlari yo'q deb faraz qilingan edi. Real gazlarda molekularlar orasida o'zaro tortishish va itarishish kuchlari mavjud (8.1-rasm).

Bu kuchlarning qiymatlari molekularlar orasidagi masofaga bog'liq. O'zaro itarishdigan  $F_1$  kuch va o'zaro tortishadigan  $F_2$  kuch bir vaqtda ta'sir etadi. O'zaro tortishish kuchlari muhsin, o'zaro tortishish kuchlarini manfiy deb olamiz. Bu ikki kuchning yig'indisi ramda uzluksiz chiziq bilan tasvirlangan  $F$  ga teng.  $r = r_0$  da  $F_1$  va  $F_2$  lar bir-birini muvozanatlaydi va

natijaviy kuch nolga teng bo'ladi.

$r < r_0$  da natijaviy kuch itarishish holatiga,  $r > r_0$  da esa tortishish holatiga ega bo'ladi. Molekularlar bir-biriga  $d_{eff}$  (molekularlar markazlari orasidagi masofa) masofagacha yaqinlashgach, ular o'zaro itarishish kuchlari ta'sirida yana bir-biridan uzoqlasha boshlaydi.

Shunday qilib, real gaz molekularlarining o'zaro ta'sirlarini va ularning shaxsiy hajmlarini hisobga olish ideal gaz uchun ko'rib chiqilgan harcha qonuniyatlarni real gaz uchun yaroqsizdek qilib qo'yadi.

### 8.2. Van-der-Vaals tenglamasi

Bir mol ideal gazning holat tenglamasi, ya'ni Mendeleev-Klapeyron tenglamasini eslasak, u

$$P = \frac{RT}{V_M} \quad (8.2)$$

munosabat bilan ifodalangan edi. Real gazning holat tenglamasini hosil qilish uchun bu tenglamaga molekularni xususiy hajmlari, itarishish va tortishish kuchlarini e'tiborga oluvchi tuzatmalarni kiritishga to'g'ri keladi.

Real gaz juda kuchli bosim ta'sirida bo'lsa, molekularlar zichlashib idishda shu gazning tabiatiga mos bo'lgan qandaydir «taqiqlangan»  $b$  hajmi egallaydi. Chunki real gazning ikki molekulari bir-biriga o'zaro itarishish kuchlari kekin namoyon bo'ladigan  $d_{eff}$  masofagacha yaqinlasha oladilar xolos. Boshqacha

aytganda, radiusi  $d_{eff}$  bo'lgan shar hajmi  $\left(\frac{4}{3}\pi d_{eff}^3\right)$  o'zaro ta'sirlashayotgan ikki

molekula markazlari uchun «taqiqlangan hajm» bo'ladi. Bu hajm molekularning xususiy hajmi  $V'$  dan 4 marta kattadir, ya'ni  $b = 4NV'$  bo'ladi. U holda molekularlar harakatlana olishlari mumkin bo'lgan umumiy hajm  $V_M - b$  ko'rinishda bo'ladi. Bundan foydalanib (8.2) ni quyidagi ko'rinishda yozamiz:

$$P = \frac{RT}{V_M - b} \quad (8.3)$$

(8.3) ifoda real gaz molekularining idish devoriga ko'rsatgan bosimidir.

Endi molekularlar orasidagi o'zaro tortishish kuchi ta'sirini aniqlaylik.

Real gaz molekularining idish devoriga ko'rsatgan bosimi, ideal gaz molekulari ko'rsatgan bosimga nisbatan kichikroq bo'ladi. Idish devoriga yaqinlashayotgan va u bilan to'qnashayotgan molekularlar soni  $n$  ga proporsional bo'ladi, shuningdek, idish devoriga yaqinlashayotgan molekularlari idishning ichki tomoniga tortayotgan molekularlar soni ham  $n$  ga proporsional. Demak, molekularlar o'zaro tortishish kuchining ta'siri tufayli real gaz bosimining kamaygan qismi  $R_1 = n^2$  proporsional bo'ladi. Birlik hajmdagi molekularlar soni  $n = \frac{1}{V_M}$  ekanligini

e'tiborga olsak,  $(n = N/V_M)$  va proporsionalitkni tenglikka aylantirish maqsadida ko'effitsiyent kiritsak, tortishish kuchi tufayli yuzaga kelgan ichki bosim quyidagicha aniqlanadi:

$$P_1 = -\frac{a}{V_M^2} \quad (8.4)$$

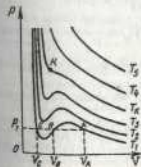
bunda, (-) ishorasi ichki bosim real gaz bosimi  $R$  ga teskari yo'natilgan ekanligini ko'rsatadi.

Shunday qilib, (8.3) va (8.4) tenglamalarga asosan real gazning bosimi

$P = \frac{RT}{V_M - b} - \frac{a}{V_M^2}$  ga teng bo'lib, bundan bir mol real gaz holat tenglamasini

$$\left(P + \frac{a}{V_M^2}\right)(V_M - b) = RT \quad (8.5)$$

shaklida yozish mumkin. Bu munosabat Van-der-Vaals tenglamasi deb ataladi,  $a$  va  $b$  lar esa



8.2-rasm.

muayyan gaz molekularini ifodalovchi doimiylik bo'lib, ularni *Van-der-Vaals izotermalari* deb yuritiladi. (8.5) tenglama  $V_M$  ga nisbatan uchinchi darajali bo'lgani uchun u uchta ildizga ega bo'ladi, ya'ni bitta bosimga uchta hajm to'g'ri keladi (8.2-rasm). Bu grafiklarni *Van-der-Vaals izotermalari* deb ataladi. Past haroratlarida Van-der-Vaals tenglamasining uchala ildizi haqiqiy, lekin turli qiymatlariga ega bo'ladi.  $T_1$  haroratga mos bo'lgan izotermami  $A$ ,  $V_1$ ,  $S$  nuqtalarida  $R_1$  mos to'g'ri chiziq kesadi. Bu uch nuqta turli izotermik holatlarni ifodalaydi. Bu holatlar bosimning  $R_1$  qiymati, hajming esa turli  $V_1$ ,  $V_2$ ,  $V_3$  qiymatlari bilan xarakterlanadi. Yuqoriroq haroratdagi  $T_2$  ga mos izotermada uchala nuqta ustma-ust tushadi (8.2-rasmda  $K$  deb belgilangan). Ko'pincha,  $T_2$  *kritik harorat* deb, unga mos bo'lgan izotermami esa *kritik izoterma* deb ataladi. Kritik nuqtadan pastda gaz hajmi qisqartirilganda, u kondensatsiyalana boshlaydi. Gaz hajmi  $V=V_b$  ga yetganda, u to'liq suyuqlik fazasiga o'tadi.

Gazning harorati  $K$  nuqtadan o'tgan izoterma haroratidan yuqori bo'lsa, u suyuqlikka kondensatsiyalanmaydi. Kritik nuqtaga mos kelgan hajm va bosim qiymatlari *kritik hajm* ( $V_K$ ), *kritik bosim* ( $R_K$ ) deb ataladi. Masalan, azot gazining kritik parametrlari,  $V_K^N = 9 \cdot 10^{-2} \text{ m}^3/\text{kmol}$ ;  $P_K^N = 33.5 \cdot 10^6 \text{ Pa}$ ;  $T_K^N = 126 \text{ K}$  ni tashkil etadi. Noermal sharoitda bir kilomol azot gazining parametrlari  $V_0 = 22.414 \text{ m}^3/\text{kmol}$ ,  $P_0 = 10^5 \text{ Pa}$ ,  $T_0 = 273 \text{ K}$  ekanligini o'tiborga olib, azot gazini suyuq fazaga o'tkazish uchun uni kuchli sovitish kerakligini ko'ramiz. Bularni kritik parametrlar bilan solishtirsak, hajmi 250 mara kichik, bosimi 33.5 mara kattaligi ko'rinadi. 126 K harorat gazni qismida davom ettirsak, azot kondensatsiyalana boshlaydi.

### 8.3. Real gazning ichki energiyasi. Joul-Tomson effekti

Ideal gaz molekulari o'zaro ta'sirlashmaydi deb bir mol gazning ichki energiyasi uchun quyidagi ifodani hosil qilgan edik (7.1 ga qarang):

$$U = \frac{i}{2} RT = C_V T \quad (8.6)$$

Real gaz molekulari istsizlik harakatidan tashqari bir-biri bilan o'zaro ta'sirlashadi, shuning uchun uning ichki energiyasi molekular istsizlik harakat kinetik energiyasi va o'zaro ta'sir potensial energiyalarining yig'indisidan iborat bo'ladi.

Molekularning potensial energiyasini aniqlash maqsadida bir mol gazning hajmi  $V_M$  dan  $V_M'$  gacha kengaytirilganda bajarilgan ishi aniqlaylik:

$$A = - \int_{V_M'}^{V_M} P_M dV_M = - \int_{V_M'}^{V_M} \frac{a}{V_M^2} dV_M = \frac{a}{V_M'} - \frac{a}{V_M} \quad (8.7)$$

Bu ish sistema potensial energiyasining o'zgarishiga teng. Shuning uchun bir

mol gazning potensial energiyasi  $\left(-\frac{a}{V_M}\right)$  ga teng deb olamiz. Yuqoridagilarni

hisobga olib, bir mol real gazning ichki energiyasi uchun

$$U_{r,z} = C_V T - \frac{a}{V_M} \quad (8.8)$$

munosabatini hosil qilamiz.

Demak, *real gazning ichki energiyasi haroratga ham, hajmga ham bog'liq*.

Ideal gaz adiabatik ( $dQ=0$ ) kengaytishda bajarilgan tashqi ish nolga teng bo'ladi. Termodinamikning birinchi qonuniga asosan, bunday adiabatik kengaytishda sistemaning ichki energiyasi o'zgarmaydi, ya'ni

$$U_1 = U_2 \quad (8.9)$$

Ideal gazlarning adiabatik kengaytishida ichki energiyadan tashqari harorat ham o'zgarmasdan qoladi.

Adiabatik jarayonda real gazlar tashqi bosimga qarshi ish bajarilgan holda kengaytirilsa, gaz ishi yoki sovishi mumkin. Real gazning adiabatik kengaytishida gaz haroratining o'zgarishi



8.3-rasm.

*Joul-Tomson effekti* deyiladi.

Gazning harorati pasayiganda ( $\Delta T < 0$ ) *musbat Joul-Tomson effekti*, aksincha, harorat ortgan holdarda ( $\Delta T > 0$ ) *manfiy Joul-Tomson effekti* sodir bo'ladi. Xona haroratidagi ko'pchilik gazlar uchun musbat Joul-Tomson effekti kuzatiladi. Faqat vodorod va geliy uchun manfiy Joul-Tomson effekti kuzatilgan.

Joul va Tomson quyidagi tajribani o'tkazishdi. Izolatsiyalangan silindr ichida ishtirokchisiz harakatlana oladigan ikkita  $P_1$  va  $P_2$  porshenlar joylashtirilgan. Porshenlar orasiga g'ovak to'siq (paxta tigin) qo'yiladi. To'siqning chap tomonida joylashgan gaz parametrlari  $R_0$ ,  $V_0$ ,  $T_0$  bo'lsa, g'ovak to'siqdan o'tmagan gazning parametrlari mos ravishda  $R_1$ ,  $V_1$ ,  $T_1$  bo'lsin. Birinchi porshen silindrga gaz g'ovak to'siq orqali o'tmagan o'tadi va bunda, bajarilgan ish  $A_1 = R_1 V_1$  ga teng bo'ladi. Ikkinchi porshen harakatlarganda bajarilgan ish esa  $A_2 = R_2 V_2$  bo'ladi. Bu bajarilgan ishlarining ifodalarni adiabatik jarayon uchun yozilgan termodinamikning birinchi qonunini qo'yaylik:

$$U_1 + P_1 V_1 = U_2 + P_2 V_2 \quad (8.10)$$

Bundan ko'rinadiki, Joul-Tomson tajribasida  $U+PV$  kattalik o'zgarмай qolar ekan. Bu kattalik gazning istsizlik funksiyasi yoki entalpiyasi deb ataladi. Real gazlarda entalpiyaning teng bo'lishi haroratlarining tengligini ko'rsatmaydi.

### 8.4. Gazlarni suyuqlashtirish

Kritik harorat mavjudligi tufayli har qanday gazni dastlab kritik haroratidan past haroratgacha sovutib, siqish yo'li bilan suyuqlikka aylantirish mumkinligini 8.2 da tanihlagan edik.

Umuman, gazlarni suyuqlashtirishning asosan ikkita usuli mavjud.

1. Musbat Joul-Tomson effektinga asoslangan usul (Dyurn-Linde usuli);
2. Tashqi bosim kuchlariga qarshi ish bajarib adiabatik kengaytirish usuli (Klod usuli).

Shveysariya fizigi Plikte past bosimda bug'lanayotgan harorati 143 K karbonat ugirdidagi vositasida kislorod va azotni dastlab kritik haroratidan past haroratgacha sovitib va siqish natijasida *suyuq kislorod (154,4 K)* va *azot (126,1 K)* deb, 1884-yilda polsha fiziklari Vroblevskiy va Qlqshchevskiy dastlabki sovituvchi sifatida qaynab turgan suyuq kisloroddan foydalanib, suyuq vodorod (33 K) oldirdi. Nitroyat,

1908-yilda golland fizigi Kamerling-Onnes kritik harorati  $4,2\text{ K}$  bo'lgan suyuq geliy oldi.

Texnikada gazlarni suyultirish uchun Linde mashinasi keng ishlatiladi. Uning ishlash prinsipini quyidagicha ta'qin qilish mumkin. Gaz, masalan, havo kompressorda 200 atm.gacha yaqin bosimgacha siqiladi va sovitsiganda oqar suv bilan sovutiladi, chunki ko'pchilik gazlar siqilganda qiziydi. So'ngra siqilgan havo to'qlinsimon ikki qatlami nayning ichki nayidan o'tadi va uning oxirgi uchidagi keng idishda kondensatorida 1 atm bosimgacha kengayadi. Bunda gaz, taxminan,  $20^{\circ}\text{C}$  ga soviydi. Kengaygan havo to'qlinsimon nayning tashqi nayi orqali yana kompressorga so'riladi, u o'z navbatida kompressorgacha oraliqda, ichki naydagi siqilgan havo to'qlinsimon nayning ikkinchi qismini ham sovib boradi. Shunday qilib, gazning ikkinchi qismi to'qlinsimon nayning o'zidayoq  $20^{\circ}\text{C}$  ga soviydi va so'ngra kondensatorida kengayganida yana  $20^{\circ}\text{C}$  soviydi. Bunday jarayon ko'p marta takrorlanadi. Natijada havo kritik haroratidan past haroratgacha sovutiladi.

Navbatdagi kengaygan havoning bir qismi suyuqlikka aylanadi va kondensator tubiga tomib tusha boshlaydi.

Soyuq havo amalda juda keng ishlatiladi, undan so'f kislorod olinadi.

### Savollar

1. Real gazlarda molekullar orasidagi o'zaro ta'sir kuchlarini mavjudligi ideal gaz qonuniyatlarini real gaz uchun yaroqsizdek qilib qo'yishni ko'rsating.

2. Van-der-Vaals tenglamasini tuzatmalar bilan ifodalang va izotermalarni grafik orqali izohlang.

3. Gazlarni suyultirishda Joule-Tomson effektingning ahamiyati haqida gapiring.

### Masalalar

**26-masala.** Silindrdagi porshen ostida  $m=20\text{g}$  massali xlor bor. Hajmi  $V_1=200\text{sm}^3$  dan to  $V_2=500\text{sm}^3$  gacha izotermik kengaytirilganda xlor ichki energiyasining ortishi  $\Delta U$  aniqlansin.

$$\begin{aligned} \text{Berilgan: } m &= 20\text{g} && 20 \cdot 10^{-3}\text{kg} \\ V_1 &= 200\text{sm}^3 && 200 \cdot 10^{-6}\text{m}^3 \\ V_2 &= 500\text{sm}^3 && 500 \cdot 10^{-6}\text{m}^3 \\ \Delta U &=? \end{aligned}$$

**Yechish.** Real gazning (Van-der-Vaals gazining) ichki energiyasi

$$U = \nu(C_V T - a/V_m) \quad (1)$$

ifoda bilan aniqlanadi.

(1) tenglamadagi molar  $V_m$  hajmini  $V$  hajm va modda miqdori  $\nu(V_m - V/\nu)$

orqali ifodalab va  $\nu = \frac{m}{M}$  ekanligini hisobga olib, quyidagini hosil qilamiz:

$$U = \frac{m}{M} \left( C_V T - \frac{ma}{MV} \right) \quad (2)$$

Izotermik kengayish natijasida ichki energiyaning o'zgarishi  $\Delta U$  ni  $V_1$  va  $V_2$  hajmlarga mos keluvchi ichki energiyaning ikki qiymati orasidagi farq sifatida aniqlaymiz:

$$\Delta U = U_2 - U_1 = \frac{m^2 a (V_2 - V_1)}{M^2 V_1 \cdot V_2} \quad (3)$$

(3) ga kattaliklarning qiymatlarini qo'yib hisoblaymiz:

$$\Delta U = U_2 - U_1 = \frac{(20 \cdot 10^{-3})^2 \cdot 0,650 \cdot (5 - 2) 10^{-4}}{(71 \cdot 10^{-3})^2 \cdot 2 \cdot 10^{-4} \cdot 5 \cdot 10^{-4}} J = 154 J$$

**27-masala.** Diametri  $d=10\text{sm}$  bo'lgan sovun pufagining ichidagi qo'shimcha  $p$  bosimi topilsin. Bu pufakni pufash uchun bajarishi kerak bo'lgan ish  $A$  aniqlansin.

$$\text{Berilgan: } \frac{d-10\text{sm}}{p-2\text{atm}} = 10 \cdot 10^{-2}\text{m}$$

**Yechish.** Sovun pufagining pardasi ikkita tashqi va ichki sferik sirtga ega. Har ikkala sirt ham pufak ichidagi havoга bosim beradi. Parda qalinligi juda kam bo'lganligidan har ikkala sirtlarning ham diametrlari amalda teng. Shuning uchun

bosim  $p = 2 \cdot 2\sigma/r$ , bunda,  $r$  – pufak radiusi,  $r = \frac{d}{2}$  ekanligidan:

$$p = \frac{8\sigma}{d}$$

Bu formulaga  $\sigma = 40 \cdot 10^{-3}\text{N/m}$  va  $d=0,1\text{m}$  kattaliklarni qo'yib hisoblasak,

$$p = 3,2\text{Pa}$$

Pardani cha'zib, uning sirtini  $\Delta S$  ga o'ttirish uchun bajarilishi zarur bo'lgan ish

$$A = \sigma \Delta S \quad \text{yoki} \quad A = \sigma(S - S_0)$$

formula bilan aniqlanadi.

Bu holda  $S$  – sovun pufagining har ikkala sirtining umumiy yuzasi;  $S_0$  – pufakni pufash bo'lguncha naycha teshigini qoplab turuvchi yassi parda ikkala sirtining umumiy yuzasi,  $S_2$  ni inobatga olmay, quyidagini hosil qilamiz:

$$A = \sigma \cdot S = 3\pi d^2 \sigma$$

kattaliklarni qiymatlarini o'miga qo'yib,  $A=2,5\text{mJ}$  topamiz.

**28-masala.**  $P=28$  atm da hajmi  $V=90\text{sm}^3$  bo'lgan  $m=3,5\text{g}$  massali kislorodning temperaturasi  $T$  qanday bo'ladi? Kislorod uchun doimiy kattaliklarning qiymati

$$\text{Berilgan: } V=90\text{sm}^3 = 90 \cdot 10^{-6}\text{m}^3$$

$$m=3,5\text{g} = 3,5 \cdot 10^{-3}\text{kg}$$

$$a=1,36 \cdot 10^3\text{Nm}^3/\text{kmol}$$

$$b=3,16 \cdot 10^2\text{m}^3/\text{kmol}$$

$$r=?$$

Yechish. Katta bosim ostidagi gazni real gaz deb hisoblash zarur va uning uchun Van-der Waals tenglamasi (8.5)ni qo'llash kerak:

$$\left(p + \frac{m^2 a}{M^2 V^2}\right) \left(V - \frac{m}{M} b\right) = \frac{m}{M} RT$$

bu yerda,  $M = 32 \text{ kg/mol}$  – kilomol kislorodning massasi, u holda

$$T = \frac{1}{R} \left(p + \frac{m^2 a}{M^2 V^2}\right) \left(\frac{M}{m} V - b\right) = \frac{1}{8,32 \cdot 10^7}$$

$$\left(28 \cdot 1,013 \cdot 10^5 + \frac{1,225 \cdot 10^{-3} \cdot 1,36 \cdot 10^5}{1024 \cdot 8,1 \cdot 10^{-8}} \frac{32 \cdot 9 \cdot 10^{-5}}{3,5 \cdot 10^{-3}} - 3,16 \cdot 10^{-2}\right) = 289 \text{ K}$$

$t = 16^\circ \text{C}$

Taqqoslash uchun azotni ideal gaz deb olib, uning temperaturasini Klapeyron-Mendeleyev formuladan aniqlaymiz. U holda

$$T = \frac{M p V}{m R} = \frac{32 \cdot 28 \cdot 1,013 \cdot 10^5 \cdot 9 \cdot 10^{-5}}{3,5 \cdot 10^{-3} \cdot 8,32 \cdot 10^7} = 281 \text{ K}$$

$t = 8^\circ \text{C}$

Demak, real gaz uchun Klapeyron-Mendeleyev tenglamasini qo'llash bu gazning parametrlari hisoblashda axtagina noaniqlikka olib kelar ekan.

### 3. ELEKTR VA MAGNETIZM

#### IX bob. ELEKTROSTATIKA

##### 9.1. Kulon qonuni

Qadimgi yunon olimlari qahraboni junga ishqilaganda turli yengil buyimlarni o'ziga tortishini payqanganlar. Yunon tilida qahрабо *elektron* degan ma'noni anglatadi. «Elektr» degan so'z shundan kelib chiqqan. Keyinchalik qahrabodan metallar shisha, ebonit, olmos, olingurgut, smola va boshqa jismlar ham yumbod materiallarga – ipak, chirm, jun, mo'yunga ishqilanganda ikki xil elektrlanish hosil bo'lishi aniqlangan. Chirmga ishqilangan shishada – musbat elektr zaryadi, chirmda esa manfiy elektr zaryadi vujudga kelishi shartli belgilandi. Bir xil ishoral zaryadlar bir-birini itaradi, har xil ishoralilari esa o'zaro tortishadi. Barcha elementar zarrachalarning zaryadi absolt qiymati jihatdan birday bo'ladi. Bu zaryadni e harfi bilan belgilamadi. Tabiatdagi jismlar tarkibida turli ishoral zaryadlarga ega bo'lgan zarralar miqdori teng bo'ladi. Bunday jismlarning har biri elektr nuqtayi nazardan neytral bo'ladi.

Demak, har qanday izolatiziyalangan sistemada elektr zaryadlarining algebraik yig'indisi o'zgarmaydi.

$$\sum q_i = \text{const} \quad (9.1)$$

Bunda,  $q_i$  – sistema tarkibidagi ayrim jismlar elektr zaryadlarining miqdori.

(9.1) muvosiibat *elektr zaryadining saqlanish qonunini* talaydi.

SI da zaryad birligi sifatida kulon (Kl) qabul qilingan. Kulon hisobida ifodalangan elementar zaryad  $e = 1,6 \cdot 10^{-19} \text{ Kl}$  ga teng bo'ladi.

Kuzatishlarni ko'rsatishicha, bir xil ishoral zaryadlangan jismlar bir-birini itaradi, qarshi-qarshi ishoral zaryadlangan jismlar esa o'zaro tortishishadi. Nuqtaviy zaryadlar deb ataluvchi zaryadlarning o'zaro ta'sir kuchi kattaligini 1785-yilda fransuz fizigi Sharl Kulon o'z tajribalari asosida aniqladi:

Vakuumdagi ikki nuqtaviy elektr zaryadning o'zaro ta'sir kuchi har bir zaryad kattaliklari ko'paytmasiiga to'g'ri va zaryadlar orasidagi masofaning kvadratiga teskari proporsionaldir, ya'ni

$$F = k \frac{q_1 q_2}{r^2} \quad (9.2)$$

bu yerda,  $k$  – proporsionallik koeffitsiyenti bo'lib, u SI sistemasida quyidagiga teng bo'ladi:

$$k = \frac{1}{4\pi\epsilon_0}$$

bu yerda,  $\epsilon_0 = 8,85 \cdot 10^{-12} \text{ Kl}^2/\text{Nm}^2 = 8,85 \cdot 10^{12} \text{ F/m}$ .

*Elektr dolmisi deb atiladi.*

Agar zaryadlar o'zaro ta'sir bir jinsli va izotrop muhitda bo'lsa, Kulon qonunining ko'rinishi quyidagicha bo'ladi:



$$F = \frac{1}{4\pi\epsilon_0} \cdot \frac{q_1 q_2}{r^2} \quad (9.3)$$

bu yerda,  $\epsilon$  - birliksiz kattalik bo'lib, *muhitning dielektrik sug'uruvchanligi* deb yuritiladi.

Kulon qonunining vektor ko'rinishi quyidagicha bo'ladi:

$$\vec{F}_{12} = \frac{1}{4\pi\epsilon_0} \cdot \frac{q_1 q_2 \vec{r}_{12}}{r^3} \quad (9.4)$$

bu yerda,  $\vec{F}_{12}$  -  $q_2$  zaryad tomonidan  $q_1$  zaryadga ta'sir yo'nalishi ko'rsatiladi,  $\vec{r}_{12}$  -  $q_1$  dan  $q_2$  ga o'tkazilgan radius vektor,  $r = |\vec{r}_{12}|$ .

### 9.2. Elektr maydon va uning kuchlanganligi

Kulon qonuniga asosan, bir-biridan ma'lum masofada turgan zaryadlar fazo orqali o'zaro ta'sirlashadi. *Elektr zaryad atrofidagi elektr kuchlar ta'sir etadigan fazo sohasi bu zaryadning elektr maydoni deb ataladi.*

Elektr maydonning xususiyatlarini o'rganish uchun «sinov zaryadi» tushunchasi kiritiladi. «Sinov zaryadining» miqdori mumkin qadar kichik bo'lishi kerak, chunki u o'z maydoni bilan tekshirilayotgan maydonning xususiyatlarini o'zgartira olmasin. Zaryad +q ga nisbatan holati radius - vektor  $\vec{r}$  bilan aniqlangan nuqtaga sinov zaryadi (+q<sub>s</sub>) joylashtiraylik (9.1-rasm).

Bu zaryadga quyidagicha Kulon kuchi ta'sir qilganini topamiz.

$$F = \frac{1}{4\pi\epsilon_0} \cdot \frac{qq_s \cdot \vec{r}}{r^3} \quad (9.5)$$

$\frac{F}{q_s}$  nisbat birlik musbat zaryadga ta'sir qiluvchi kuchni xarakterlaydi, bu kuch  $q_s$

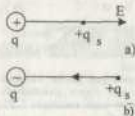
sinash zaryadi kattaligiga bog'liq bo'lmaydi. Shuning uchun bu nisbatni elektr maydonini belgilovchi kattalik sifatida qabul qilib,  $E$  bilan belgilaymiz

$$\vec{E} = \frac{F}{q_s} = \frac{1}{4\pi\epsilon_0} \cdot \frac{q}{r^2} \cdot \frac{\vec{r}}{r} \quad (9.6)$$

(9.6) munosabatdagi  $\vec{E}$  vektor kattalik *elektr maydonning kuchlanganligi* deb ataladi.

Demak, *elektr maydonning ixtiyoriy nuqtasidagi maydon kuchlanganligi deganda, shu nuqtaga olib kiritilgan birlik zaryadga ta'sir etuvchi kuch bilan ifodalanuvchi fizik kattalik tushuniladi.*

Elektr maydon kuchlanganligi vektor kattalik bo'lib, uning yo'nalishi maydonning tekshirilayotgan nuqtasiga olib kiritilgan birlik musbat zaryadga ta'sir



9.1-rasm.

etuvchi kuchning yo'nalishi bilan aniqlanadi (9.1-rasm). Agar  $q$  zaryad musbat bo'lsa,  $E$  yo'nalishi maydonning tekshirilayotgan nuqtasini birlashtiruvchi to'g'ri chiziq bo'ylab zaryadidan tashqariga yoki  $q$  manfiy bo'lganda, zaryad tomoniga yo'nalgan bo'ladi.

SI da elektr maydon kuchlanganligining birligi nyuton taqvim kulon (N/Kl) yoki volt taqvim metr (V/m) deb qabul qilingan.

Agar elektr maydonini bir necha zaryad vujudga keltirayotgan bo'lsa, natijaviy maydonning kuchlanganligi alohida zarralar hosil qilgan elektr maydon kuchlanganliklarining vektor yig'indisiga teng bo'ladi, ya'ni:

$$E = E_1 + E_2 + \dots + E_n \sum_{i=1}^n E_i \quad (9.7)$$

(9.7) ifoda *maydonlar superpozitsiyasi (yo'shish) prinsipini* ifodalaydi.

### 9.3. Kuchlanganlik chiziqlari. Gauss teoremasi

Elektr maydonni grafik usulda tasvirlash uchun *kuchlanganlik chiziqlari* kattalik kiritiladi. Kuchlanganlik chiziqlarini quyidagi ikki shartga asoslanib o'tkaziladi:

1. Kuchlanganlik chizig'ining ixtiyoriy nuqtasiga o'tkazilgan urinma elektr maydonning shu nuqtadagi kuchlanganlik vektorining yo'nalishi bilan mos tushishi kerak.

2. Chiziqlar zichligini tashlashda chiziq'larga perpendikular joylashgan birlik yuzadan o'tayotgan chiziqlar soni  $E$  vektorining son qiymatiga teng bo'lishi kerak.

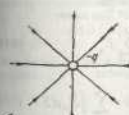
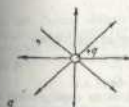
Elektr maydon kuch chiziqlarining boshi va oxiri mavjud bo'lib, ular musbat zaryadidan boshlanib manfiy zaryadga tugaydi.

Agar elektr maydonning hamma nuqtalarida  $F$  kuchlanganlik bir xil bo'lsa, elektr maydoni bir jinsli deyiladi.

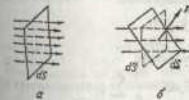
9.2 a va b rasmlarda musbat va manfiy nuqtaviy zaryadlarning elektr maydoni tasvirlangan. Nuqtaviy zaryadlarning kuchlanganlik chiziqlari radial to'g'ri chiziq'lardan iborat bo'lib musbat zaryad sirtidan boshlanib manfiy zaryad sirtida tugaydi yoki musbat zaryadidan chiqib cheksizlikka yoyilib ketadi.

Elektr maydonida joylashgan hitur sirti kesib o'tayotgan kuch chiziqlari soni maydonning shu sirt orqali o'tayotgan *kuchlanganlik oqimi  $\Phi$*  deyiladi.

Endi  $\Phi$  ning qiymatini aniqlaylik. Buning uchun kuchlanganlik chiziqlarining yo'nalishiga perpendikular qilib joylashtirilgan  $dS$  elementar yuzachani o'ylaylik (9.3a-rasm).  $dS$  yuzani kesib



9.2-rasm.



9.3-rasm.

o'tayotgan kuchlanganlik chiziqlarini soni  $E dS$  ga teng.  $E dS$  ifoda  $dS$  yuzadan o'tayotgan kuchlanganlik vektorining oqimi deyiladi. Agar sirt kuchlanganlik chiziqlariga perpendikular bo'lmasa va maydon kuchlanganligi uning turli sohalarida turlicha bo'lsa, u holda sirtini har birida  $E$  maydon kuchlanganligi doimiy bo'ladi deb hisoblash mumkin bo'lgan  $dS$  kichik yuzachalarga bo'lish kerak. Bunda elementar yuzga orqali o'tayotgan kuchlanganlik oqimi quyidagicha teng bo'ladi:

$$d\Phi = E dS' = E dS \cos \alpha = E_n dS \quad (9.8)$$

Bu yerda,  $\alpha$  - kuchlanganlik chizig'i bilan  $dS$  yuzaga o'tkazilgan normal  $n$  orasidagi burchak.  $dS'$  esa  $dS$  yuzaning kuchlanganlik chiziqlariga perpendikular bo'lgan tekislikka proyeksiyasi. U holda butun yuzga orqali o'tayotgan maydon kuchlanganligi oqimi  $d\Phi$  elementar oqimlarining yig'indisi bilan ifodalanaadi. Buni integrallash amali orqali quyidagicha yozamiz:

$$\Phi = \int_S d\Phi = \int_S E_n dS \quad (9.9)$$

$E$  vektorining radiusi  $r$  bo'lgan sferik sirt orqali oqimini topaylik. (9.6) ni eslasak,

$$E_n = |E| = \frac{1}{4\pi\epsilon_0} \frac{q}{r^2}$$

ikkinchi tomondan,  $r$  radiusli sferik sirtning to'liq yuzi  $4\pi r^2$  ga teng. Natijada

$$\Phi = \int_S E_n dS = \frac{1}{4\pi\epsilon_0} \frac{q}{r^2} \cdot 4\pi r^2 = \frac{q}{\epsilon_0} \quad (9.10)$$

Bu ifoda bitta nuqtaviy zaryadni o'rab turgan sferik sirt orqali o'tuvchi  $E$  vektorining oqimini ifodalaydi. Endi biror yopiq sirt ichiga qiymatli ixtiyoriy bo'lgan  $q_1, q_2, \dots, q_n$  va hokazo nuqtaviy zaryadlar joylashgan bo'lsin.

Maydonlarning superpozitsiya prinsipiga muvofiq (9.7) ga asosan:

$$E_n = E_{n1} + E_{n2} + \dots + E_{ni} = \sum_{i=1}^n E_{ni} \quad (9.11)$$

(9.11) va (9.9) lardan foydalanib, quyidagini hosil qilamiz:

$$\Phi = \int_S E_n dS = \int_S \sum_{i=1}^n E_{ni} dS = \sum_{i=1}^n \int_S E_{ni} dS \quad (9.12)$$

Bu ifoda  $i$  nuqtaviy zaryad tufayli vujudga kelgan  $E_{ni}$  - elektr maydon kuchlanganligi vektorining shu zaryadni o'rab tuvchi ixtiyoriy berk  $S$  sirt orqali oqimini ifodalaydi. Yuqoridagi (9.10) munosabatga asosan:

$$\int_S E_{ni} dS = \frac{q_i}{\epsilon_0}$$

Buni e'tiborga olib (9.12) ni quyidagicha yozamiz:

$$\Phi = \int_S E_n dS = \frac{1}{\epsilon_0} \sum_{i=1}^n q_i \quad (9.13)$$

Bu ifoda **Gauss teoremi deb ataladi**. Bu teoremani quyidagicha ta'riflash mumkin: **elektr maydon kuchlanganlik vektorining ixtiyoriy shakldagi berk sirt orqali oqimi shu sirt ichida joylashgan zaryadlar algebraik yig'indisining  $\epsilon_0$  ga bo'lgan nisbatiga tengdir.**

Gauss teoremasidan foydalanib, zaryadning sirt zichligi  $+\sigma$  bo'lgan tekis zaryadlangan cheksiz tekislikning elektr maydon kuchlanganligini topaylik, u

$$E = \frac{\sigma}{2\epsilon_0} \quad (9.14)$$



ga teng bo'ladi, bu yerda,  $\sigma = \frac{q}{S}$  zaryad sirt zichligidir. Ikkinchi o'zaro parallel tekis zaryadlangan cheksiz tekisliklarning oralig'ida elektr maydon kuchlanganligi

$$E = E_+ + E_- = \frac{\sigma}{2\epsilon_0} + \frac{\sigma}{2\epsilon_0} = \frac{\sigma}{\epsilon_0} \quad (9.15)$$

bo'ladi. Demak, natijaviy maydon ikkala zaryadlangan tekislik tufayli vujudga kelgan maydonlarning yig'indisidan iborat bo'lar ekan (9.4-rasm). Bu ikki tekislik orasidagi maydonning barcha nuqtalarida  $E$  ning qiymati va yo'nalishi bir xil bo'lganli uchun bu maydonni **bir jinsli maydon** deb ataladi.

#### 9.4. Elektrostatik maydon kuchlarining ishi. Potensial

Quyidagi nuqtaviy  $q$  zaryad maydonida joylashgan  $q'$  zaryadni 1 dan 2 nuqtaga ko'chirishda maydon kuchlarining bajarigan ishini hisoblaylik. Uzunligi  $dl$  ga teng bo'lgan elementar yo'lda bajarilgan ish (9.3-rasm).

$$dA = F dl \cos \alpha = \frac{1}{4\pi\epsilon_0} \frac{qq'}{r^2} dl \cos \alpha = \frac{1}{4\pi\epsilon_0} \frac{qq'}{r^2} dr$$

teng bo'ladi. Bu yerda  $dr = dl \cos \alpha$  1-2 nuqtalar orasidagi yo'lda bajarilgan ishini topamiz:

$$A = \int_1^2 dA = \frac{qq'}{4\pi\epsilon_0} \int_{r_1}^{r_2} \frac{dr}{r^2} = \frac{1}{4\pi\epsilon_0} \left( \frac{qq'}{r_1} - \frac{qq'}{r_2} \right) \quad (9.16)$$

Mexanika qismidan ma'lumki, maydon kuchlarining yopiq yo'lda bajarilgan ishi nolga teng, ya'ni

$$\oint E' dl \cos \alpha = 0$$

bu yerda,  $E_i$  -  $E$  vektorining elementar ko'chish  $dl$  yo'nalishiga bo'lgan proyeksiyasidir (integral belgisidagi aylana yopiq kontur bo'yicha integral olinayotganligini ko'rsatadi). Ishni ifodalovchi integralni nolga tenglashtirib, o'zgarmas kattalik  $q'$  ni qisqartirib, quyidagi munosabatga ega bo'lamiz:

$$\oint E_i dl = 0 \quad (9.17)$$

bu munosabat istalgan yopiq kontur uchun bajarilishi kerak.



9.5-rasm.

Demak, (9.17) munosahatdan ko'rinadiki, elektr maydon-potensial maydondir va bu maydon kuchlanganlik vektorining ixtiyoriy berk kontur bo'yicha sirkulyatsiyasi nolga teng bo'ladi.

Yuqoridagi mulohazalardan foydalanib, (9.16) formula orqali ifodalangan ishni  $q'$  zaryad maydonining 1 va 2 nuqtalaridagi potensial energiyalari farqi sifatida ifodalash mumkin.

$$A_{12} = \frac{1}{4\pi\epsilon_0} \frac{qq'}{r_1} - \frac{1}{4\pi\epsilon_0} \frac{qq'}{r_2} = W_{P_1} - W_{P_2}$$

Bundan 1 va 2 nuqtalarda joylashgan  $q'$  zaryadning  $q$  zaryad maydonidagi potensial energiyasi:

$$W_{P_1} = \frac{1}{4\pi\epsilon_0} \frac{qq'}{r_1}; \quad W_{P_2} = \frac{1}{4\pi\epsilon_0} \frac{qq'}{r_2}$$

teng ekanligi kelib chiqadi. Umumiy holda  $q'$  maydonni ixtiyoriy nuqtasida joylashtirganda uning potensial energiyasi

$$W_P = \frac{1}{4\pi\epsilon_0} \frac{qq'}{r} \quad (9.18)$$

Turli  $q'$  va  $q$  va hokazo sinash zaryadlari maydonning muayyan nuqtasida,  $W_{P_1}, W_{P_2}$  va hokazo energiyaga ega bo'ladi. Lekin barcha zaryadlar uchun  $W_P / q'$  nisbatan bir xil bo'ladi. Quyidagi kattalik

$$\varphi = \frac{W_P}{q'} \quad \text{yoki} \quad \varphi = \frac{1}{4\pi\epsilon_0} \frac{q}{r} \quad (9.19)$$

potensial deb ataladi.

Agar elektr maydon zaryadlar sistemasi tomonidan vujudga kelayotgan bo'lsa, natijaviy potensial tekshirilayotgan nuqtadagi potensiallarining algebraik yig'indisiga teng bo'ladi.

$$\varphi = \varphi_1 + \varphi_2 + \dots + \sum \varphi_i \quad (9.20)$$

(9.19) va (9.20) foydalanib, quyidagini hosil qilamiz:

$$\varphi = \frac{1}{4\pi\epsilon_0} \sum_{i=1}^n \frac{q_i}{r_i} \quad (9.21)$$

(9.19) dan foydalanib

$$W_P = q \cdot \varphi \quad (9.22)$$

hosil qilamiz. Demak, maydon kuchlarining  $q$  zaryad ustida bajargan ishini potensial farqi orqali ifodalash mumkin:

$$A_{12} = W_{P_1} - W_{P_2} = q(\varphi_1 - \varphi_2) \quad (9.23)$$

yoki

$$\varphi_1 - \varphi_2 = \theta \quad \text{bo'lsa,} \quad A_{12} = q \cdot \theta \quad (9.24)$$

Bundan foydalanib, potensialni quyidagicha ta'riflash mumkin: *elektr maydon ixtiyoriy nuqtasining potensialini deganda shu nuqtadan birlik musbat zaryadni cheksizlikka ko'chirish uchun lozim bo'ladigan ish bilan xarakterlanuvchi kattalik tushuniladi.*

*Elektr maydonning kuchlanganligi bilan potensial o'rtasidagi bog'lanishni ko'rib chiqaylik. Agar  $q'$  sinov zaryadini maydon kuchlari ta'sirida  $dr$  masofaga uzoqlashtirilsa, bajarilgan ish  $F \cdot dr$  ga teng bo'ladi. Bu ish  $q'$  zaryadning potensial energiyasini  $dW_P$  qadar kamayishiga olib keladi. Shunday qilib, (9.18) tenglamani  $z'$  nuqtasiga olsak*

$$F dr = -dW_P$$

yoki

$$F = -\frac{dW_P}{dr}$$

Bu ifodani har ikkala tomonini ko'chirilayotgan zaryad miqdori  $q'$  ga bo'lsak:

$$\frac{F}{q'} = -\frac{d\left(\frac{dW_P}{q'}\right)}{dr}$$

bundan

$$E = -\frac{d\varphi}{dr} \quad (9.25)$$

ifodani hosil qilamiz. (9.25) dagi  $\frac{d\varphi}{dr}$  ifoda *potensial gradienti* deb ataladi, ya'ni ( $\text{grad } \varphi$ ), u holda (9.25)ni quyidagicha yozishimiz mumkin:

$$E = -\text{grad } \varphi \quad (9.26)$$

Shunday qilib, *elektr maydon kuchlanganligi potensialning teskari ishora bilan olingan gradientiga teng ekan.* Bu yerda ma'niy ishora  $E$  ni olingan potensialni kamayib boradigan tomonga yo'nalganligini ko'rsatadi.

#### Savollar

1. Elektr zaryadning saqlanish qonuni va zaryadlarning o'zaro ta'sir kuchini aniqlashda Kulon tajribasini izohlang.

2. Elektr maydoni va maydon kuchlanganligi kattaligini xarakterlang, tenglamalarini ifodalang.

3. Kuchlanganlik chiziqlari elektr maydonini qanday usulda tasvirlashga imkon beradi va ular qanday shartlarga asoslanib o'rnatiladi.

4. Ixtiyoriy shakldagi berik sirt orqali o'tayotgan elektr maydon kuchlanganlik oqimini Gauss teoremidan foydalanib aniqlang.

5. Elektrostatik maydonda zaryadni ko'chirishda bajarilgan ishini, potensial, potensial energiya va potensial gradientlari bilan bog'lanishlarini ko'rasting.

#### Masalalar

29-masala. Massasi  $m=1\text{g}$  va zaryadi  $q=10^{-8}\text{Kl}$  bo'lgan sharcha potentsiali  $\varphi_A=600\text{V}$  li A nuqtadan  $\varphi_B=0$  potentsiali B nuqtaga tomon harakatlamoqda. Agar sharchaning B nuqtadagi tezligi  $v_B=20\text{sm/s}$  ga teng bo'lsa, uning A nuqtadagi tezligi qanday bo'lgan?

$$\begin{aligned} \text{Berilgan: } v_B &= 20\text{sm/s} = 20 \cdot 10^{-2}\text{m/s} \\ m &= 1\text{g} = 1 \cdot 10^{-3}\text{kg} \\ q &= 10^{-8}\text{Kl} \\ \varphi_A &= 600\text{V} \\ v_A &=? \end{aligned}$$

**Yechish.** Musbat zaryadlangan sharcha elektr maydonida katta potentsialdan kichik potentsialga tomon (ya'ni maydon bo'ylab) harakatlani, maydon kuchlari ta'sirida tezlashadi va uning kinetik energiyasi ortadi. Energiyaning saqlanish va bir tandan ikkinchi turga aylanish qonunidan sharcha kinetik energiyasining ortishi  $\Delta W$  maydon kuchlari bajarilgan ishga teng bo'lishi kerak:

Biroq  $\Delta W = W_B - W_A = \frac{mqv_B^2}{2} - \frac{mqv_A^2}{2}$ , bu yerda,  $W_A$  va  $W_B$  sharchaning mos ravishda B va A nuqtalardagi kinetik energiyasi. Shu bilan birga  $A = q(\varphi_A - \varphi_B)$  mavofiq quyidagini yozish mumkin:

$$\frac{mqv_B^2}{2} - \frac{mqv_A^2}{2} = q(\varphi_A - \varphi_B)$$

bundan

$$v_A = \sqrt{v_B^2 - \frac{2q}{m}(\varphi_A - \varphi_B)} = \sqrt{4 \cdot 10^{-2} - \frac{2 \cdot 10^{-8}}{10^{-3}} \cdot 600} = 0,167\text{m/s}$$

30-masala. Matematik mayatnik  $l=1\text{m}$  uzunlikdagi ipak ipga osilgan zaryadi  $q=2 \cdot 10^{-8}\text{Kl}$  bo'lgan  $m=0,1\text{g}$  massali sharchadan iborat bo'lib, u kuch chiziqlari yuqoriga vertikal yo'nalgan  $E=9,4\text{kV/m}$  kuchlanganlikli, bir jinsli maydonga joylashtirilgan. Agar sharchaga ta'sir etuvchi kuch og'irlik kuchidan katta

bo'lsa, mayatnik qanday T davr bilan tebranadi? Mayatnik  $T_0 = 2\pi \sqrt{\frac{l}{g}}$  davr bilan tebranishi uchun maydon kuchlanganligi E qanday bo'lishi kerak?

$$\begin{aligned} \text{Berilgan: } m &= 1 \cdot 10^{-4}\text{kg}, q = 2 \cdot 10^{-8}\text{Kl}, T_0 = 2\pi \sqrt{l/g} \\ l &= 1\text{m}, E = 9,4 \cdot 10^3\text{V/m}, g = 9,8\text{m/s}^2 \\ T &=? E=? \end{aligned}$$

**Yechish.** Sharchaga elektr maydon tomonidan yuqoriga vertikal yo'nalgan  $\vec{F} = q\vec{E}$  kuch ta'sir etadi. Masala shartiga ko'ra sharchaning  $p = mg$  og'irlik

kuchi  $\vec{F}$  kuchiga nisbatan kichik ( $p < E$ ) bo'lganligi uchun muvozanat holatida sharcha vertikal tortilgan ipning yuqorigi uchida joylashgan bo'ladi. Agar sharcha erkin bo'lsa,  $\vec{F}$  va  $\vec{p}$  kuchlarning teng ta'sir etuvchisi Nyutonning ikkinchi

qonuniga asosan  $ma = qE - mg$  bo'lib, bundan  $a = \frac{qE - mg}{m}$  tezlanish ham

sharchaning holatiga bog'liq emas. U vaqtda maydondagi mayatnikning tebranish davri to'plash uchun uning formulasidagi g ni a bilan almashirish kerak, ya'ni:

$$T = 2\pi \sqrt{\frac{l}{g}} = 2\pi \sqrt{\frac{ml}{qE - mg}}$$

son qiymatlarini o'ringa qo'yib hisoblasa, quyidagi hosil bo'ladi.

$$T = 2\pi \sqrt{\frac{ml}{qE - mg}} = 2 \cdot 3,14 \sqrt{\frac{10^{-4} \cdot 1}{2 \cdot 10^{-8} \cdot 9,4 \cdot 10^3 - 10^{-4} \cdot 9,8}} = \frac{6,28}{3} = 2,09\text{s}$$

Yuqoridagi formula  $T = T_0$  bo'lganda  $a=g$  bajarilib, undan

$$T_0 = 4\pi^2 \frac{l}{g} = 4\pi^2 \frac{ml}{qE_0 - mg}, \text{ bundan } E_0 = \frac{2mg}{q}, \text{ son qiymatlarini}$$

qo'yib hisoblaymiz:

$$E_0 = \frac{2mg}{q} = \frac{2 \cdot 10^{-4}}{2 \cdot 10^{-8}} = 9,8 \cdot 10^4 \frac{\text{N}}{\text{Kl}}$$

31-masala. Zaryadlangan yassi kondensator plastinkalari orasiga shlyuda plastinka ( $\epsilon=6$ ) qo'yilgan. Kondensatoridagi elektr maydoni kuchlanganligi  $E=1000\text{kV/m}$  bo'lganda, bu plastinkaga qanday bosim ta'sir qiladi?

$$\text{Berilgan: } \epsilon = 6, E = 1000\text{kV/m} \\ p = ?$$

**Yechish.** Shu yerdagi plastinkasiga ta'sir qiladigan bosim kondensatorning turli ishori zaryadlangan plastinkalarining o'zaro tortishish kuchi  $F$  tufayli yuzaga keladi va u quyidagiga teng bo'ladi:

$$p = \frac{F}{S}$$

bu yerda,  $S$  - har bir plastinkaning yuzi. Binobarin, turli ishori zaryadlangan ikkita parallel plastinkalarning yuzi biqligiga to'g'ri keladigan tortishish kuchini aniqlash zarur. Buning uchun kondensator plastinkalaridan birini  $E_1$  elektr maydoni kuchlanganligini hosil qiluvchi, boshqasini esa bu maydonda bo'lgan  $q$  zaryad deb

qabul qilamiz. Bunda  $E = \frac{F_0}{q_0}$  formulaga muvofiq, birinchi plastinkaning ikkinchi

plastinkaga ta'sir kuchi  $F = qE_1 = \sigma_1 SE_1$ , bundan plastinkalarning yuzi biqligiga to'g'ri keladigan tortishish kuchi (ya'ni  $p$  bosim) quyidagiga teng bo'ladi:

$$\frac{E}{S} = p = \sigma_1 E$$

Bunda,  $\sigma_2$  - ikkinchi plastinka zaryadining sirt zichligi. Biroq

$E = \frac{\sigma}{2\epsilon_0}$  formulaga muvofiq  $E_1 = \frac{\sigma_1}{2\epsilon_0}$ , bu yerda,  $\sigma_1$  - birinchi plastinka

zaryadining sirt zichligi. Kondensator uchun  $\sigma_1 = \sigma_2 = \sigma$  ekanligini hisobga olgan holda quyidagini yozish mumkin:

$$p = \frac{\sigma^2}{2\epsilon_0 \epsilon}$$

$E = \frac{\sigma}{\epsilon_0}$  formulaga muvofiq,  $E = \frac{\sigma}{\epsilon_0 \epsilon}$  bo'lgani uchun  $\sigma = \epsilon_0 \epsilon E$ ,

bo'ladi, binobarin,

$$p = \frac{\epsilon_0 \epsilon E^2}{2} = \frac{8,85 \cdot 10^{-12} \cdot 6 \cdot 10^{12}}{2} = 26,5 \text{ N/m}^2$$

**32-masala.** Moyga botirilgan ( $\epsilon = 4$ ) sharning potentsiali  $\varphi = 4500 \text{ M}$  va zaryadning sirt zichligi  $\sigma = 1,13 \cdot 10^{-3} \text{ Kl/m}^2$ . Quyidagilarni toping: sharchani, a)  $r$  radiusini; b)  $q$  zaryadini; v)  $C$  sig'imini; g)  $W$  energiyasini.

Berilgan:  $\epsilon = 4$ ,  $\varphi = 4500 \text{ V}$ ,  $\sigma = 1,13 \cdot 10^{-3} \text{ Kl/m}^2$   
 $c \rightarrow q \rightarrow C \rightarrow W \rightarrow$

**Yechish.** a)  $c = \frac{q}{\varphi}$  ga asosan  $\varphi = \frac{q}{c}$ , biroq sharning zaryadi

$q = cS = \sigma 4\pi r^2$  (bu yerda,  $S$  - sharning yuzi)  $c = 4\pi\epsilon_0 r$  formulaga muvofiq sharning sig'imi  $c = 4\pi\epsilon_0 r$ . Shuning uchun

$$\varphi = \frac{4\pi\sigma r^2}{4\pi\epsilon_0 r} = \frac{r\sigma}{\epsilon_0 \epsilon}$$

bundan

$$r = \frac{\epsilon_0 \epsilon \varphi}{\sigma} = 1,4 \cdot 10^{-2} \text{ m} \quad \text{b) } q = 4\pi r^2 \sigma = 2,8 \cdot 10^{-4} \text{ Kl}$$

$$\text{v) } c = \frac{q}{\varphi} = 6,2 \cdot 10^{-12} \text{ f} \quad \text{g) } W = \frac{c\varphi^2}{2} = 6,3 \cdot 10^{-5} \text{ J}$$

## X bob. ELEKTR MAYDONIDA O'TKAZGICHLAR

### 10.1. O'tkazgichda zaryadlarning taqsimlanishi

O'tkazgichlar, asosan, metallardan yasaladi. Bunday o'tkazgichlarning boshqa o'tkazgichlar va dielektrlardan farqi shundan iboratki, ularda zaryad tashuvchilar *erkin elektronlar* hisoblanadi. O'tkazgichlar tarkibida musbat va manfiy zaryadlar o'zaro teng bo'ladi. Tenglik buzilish o'tkazgichda musbat zaryadlar ortib ketasa, bu o'tkazgich musbat zaryadlanib qoladi va aksincha manfiy zaryadlar ortib bo'lsa, manfiy zaryadlangan hisoblanadi. Zaryadlar taqsimoti o'tkazgichlarning shakliga bog'liq bo'ladi:

a) zaryadlar o'tkazgichlarni sirti bo'ylab taqsimlanadi, uchli joylarda sirt zichligi kattaroq bo'ladi;

b) o'tkazgichlarning ichki qismlarida zaryadlar bo'lmaydi,  $\sigma = 0$ .

O'tkazgichga  $q$  zaryad berilsa, u qisqa vaqt ichida o'tkazgichning sirti bo'ylab tekis taqsimlanadi va zaryadlar muvozanati vujudga keladi.

Bunday hollarda quyidagi shartlar bajariladi:

1. O'tkazgich ichidagi barcha nuqtalarda maydon kuchlanganligining qiymati nolga teng bo'ladi ( $E = 0$ ). (9.25) muvofiq o'tkazgich ichidagi potensial o'zgarmas bo'lishi kerak ( $\varphi = \text{const}$ ).

2. Maydon kuchlanganligining o'tkazgich sirtiga yaqin nuqtalardagi yo'nalishi sirtga o'tkazilgan normalga mos bo'lishi kerak. ( $E = E_n$ ). Zaryadlar muvozanatida bo'lganda jisim ichidagi nuqtalarda maydon bo'lmaganligi uchun sirt orqali o'tayotgan elektr siljish vektori ( $D = \epsilon_0 \epsilon E$ ) ning oqimi nolga teng. Gauss teoremasiga muvofiq, sirt ichidagi zaryadlarning algebraik yig'indisi ham nolga teng bo'lishi kerak.

Muvozanat holatida ortiqcha zaryadlar bo'lmagani uchun o'tkazgich ichida taniangan biror hajmdagi moddani olib tashlanishi, ya'ni bo'sh, kavak joyini qoldirilishi zaryadlarning muvozanati joylashishiga ta'sir qilmaydi. Shunday qilib, ortiqcha zaryad ichi bo'sh o'tkazgichda (*m*: sferada) xuddi yaxiti o'tkazgichda (*m*: sharda) taqsimlanganday, ya'ni tashqi sirt bo'yicha taqsimlanadi. Bunday o'tkazgichlar sirti yaqinidagi maydon kuchlanganligi (9.15) ga asosan

$$E = \frac{\sigma}{\epsilon_0 \epsilon}$$

teng bo'ladi, bu yerda,  $\epsilon$  - o'tkazgichni o'rab turgan muhitning nisbiy dielektrik singuliruvchanligidir. O'zaro itarishi tafsil zaryadlar bir-birlaridan mumkin qadar uzoqroq joylashishga harakat qiladi, natijada uchli joylarda, bo'rab turgan joylarda zaryadlar zichligi katta bo'ladi.

Zaryadlanmagan o'tkazgichni elektr maydoniga kiritilsa, undagi zaryad tashuvchilar harakatga keladi. Musbat zaryad tashuvchilar *E* vektor yo'nalishi bo'yicha, manfiy zaryad tashuvchilar esa *qarama-qarshi yo'nalishda* harakat qiladi. Natijada o'tkazgichning uchlari qarama-qarshi ishorali zaryadlar vujudga kelib, bu zaryadlar *infuksiyalangan* zaryadlar deb ataladi.

Zaryadlarni sirt bo'yicha taqsimlanishidan foydalanib, ichi bo'sh sferik sirtlarda joda katta miqdorda zaryad o'tplash mumkin, bunday qurilmalardan birini Van-de-Graaf generatori deb ataladi. Van-de-Graaf generatorida shu va Yer orasida bir necha million volt potensiallar farqini vujudga keltirish mumkin. Van-de-Graaf

generatori zaryadli zarrachalarni tezlatishda keng qo'llaniladi.

### 10.2. O'tkazgichning elektr sig'imi. Kondensatorlar

Bizga ma'lumki, (9.21) asosan, o'tkazgichga qancha ko'p zaryad miqdori bera boshlasak, uning potentsiali ham shu darajada ortib boradi, ya'ni

$$q = C \varphi \quad (10.1)$$

bu yerda,  $C$  - o'tkazgichning elektr sig'imi deb ataladi. Elektr sig'imi o'tkazgichning shakli, o'lchamlari va tashqi sharoitlarga bog'liq kattalikdir. (10.1) quyidagicha ko'rinishda yozaylik:

$$C = \frac{q}{\varphi} \quad (10.2)$$

(10.2) dan foydalanib elektr sig'imiga quyidagicha ta'rif beriladi: *yakkalangan o'tkazgichning elektr sig'imi shu o'tkazgichning potentsialini bir birlikka o'stirish uchun zarur bo'ladigan zaryad miqdori bilan ifodalanuvchi fizik kattalikdir.* Si da elektr sig'imining o'lchov birligi

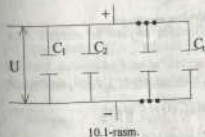
$$|C| = \frac{K}{B} = F$$

farada deb ataladi. *Bir farada shunday o'tkazgichning elektr sig'imi ekanki, bu o'tkazgichga 1 Kl zaryad berilganda uning potentsiali 1V ga ortadi.*  
 $1F = 9 \cdot 10^{11} \text{ sm}$

Bundan ko'rinadiki, 1F joda katta birlik bo'lib, u radiusi  $9 \cdot 10^8 \text{ m}$  ga teng, ya'ni bu Yer radiusidan 1500 marta katta ( $R_{\text{er}} = 6,4 \cdot 10^8 \text{ m}$ ) radiusli yakkalangan sharning elektr sig'imidir. Shu sababli amalda fudaning uloshlariga teng birliklardan:

$$\begin{aligned} 1 \text{ mikrofarada (mF)} &= 10^{-6} F \\ 1 \text{ nanofarada (nF)} &= 10^{-9} F \\ 1 \text{ pikofarada (pF)} &= 10^{-12} F \end{aligned}$$

foydalanamiz.



10.1-rasm.

deganda, zaryadi  $q$  ga proporsional bo'lib, qo'plamlar orasidagi potentsiallar farqiga teskari proporsional kattalikka aytiladi, ya'ni:

$$C = \frac{q}{\varphi_1 - \varphi_2} = \frac{q}{U} \quad (10.3)$$

kondensatorning elektr sig'ini uning qoplamalari orasidagi potensiallar farqini bir birlikka oshirish uchun zarur bo'lgan elektr zaryadi bilan ifodalovchi kattaligidir. Bu yerda

$$\varphi_1 - \varphi_2 = U \quad \text{yoki} \quad U = Ed \quad (10.4)$$

keyinchalik **kuchlanish** deb yuritiladi,  $d$  - qoplamalar orasidagi masofa  $E$  - qoplamalar orasidagi maydon kuchlanganligidir.

$$E = \frac{\sigma}{\epsilon_0 \epsilon} = \frac{q}{\epsilon_0 \epsilon S} \quad (10.5)$$

Bu ifodada  $S$  - qoplamaning yuzi,  $\sigma$  - qoplamadagi zaryadning sirt zichligi,  $\epsilon$  - qoplamalar orasidagi muhitning dielektrik singdiruvchanligi. (10.4) va (10.5) dan foydalanib (10.3) ni quyidagicha yozamiz:

$$C = \frac{q}{U} = \frac{q}{\frac{q}{\epsilon_0 \epsilon S} d} = \frac{\epsilon_0 \epsilon S}{d} \quad (10.6)$$

Bu ifoda yassi kondensatorning elektr sig'imidir.

Elektr sig'imini kattaroq yoki kichikroq qilishni ta'minlash uchun kondensatorlar parallel yoki ketma-ket ulanadi.

Kondensatorlarni parallel ulanganda (10.1-rasm) ularning sig'imlari qo'shiladi, ya'ni:

$$C = \sum_{i=1}^n C_i \quad (10.7)$$

Kondensatorlarni ketma-ket ulanganda elektr sig'imining teskari ifodasi alohida kondensator elektr sig'imlari teskari qiymatlarining yig'indisiga teng.

$$\frac{1}{C} = \sum_{i=1}^n \frac{1}{C_i} \quad (10.8)$$

### 10.3. Elektrostatik maydon energiyasi

(9.24) ga asosan cheksizlikdan  $dq$  elementar zaryadni ko'chirishda elektr maydon kuchlariga qarab bajarilgan ish

$$dA = \varphi dq \quad (10.9)$$

(10.9) teng bo'ladi. (10.1) tenglikni  $\epsilon$ 'tiborga olsak, (10.9)ni quyidagicha yozamiz:

$$dA = \varphi d(C\varphi) = C\varphi d\varphi \quad (10.10)$$

O'tkazgich potensialini  $\varphi$  ga yetkazish uchun bajarilishi kerak bo'lgan ishini integrallashdan foydalanib aniqlaylik:

$$A = \int_0^{\varphi} C\varphi d\varphi = \frac{C\varphi^2}{2} \quad (10.11)$$

Bu zaryadlangan o'tkazgich energiyasidir, bu energiyani quyidagicha ifodalash mumkin:

$$W = \frac{C\varphi^2}{2} = \frac{q^2}{2C} = \frac{q\varphi}{2} \quad (10.12)$$

(10.3) ifodadan foydalanib, (10.12) quyidagicha o'zgartirib yozamiz:

$$W = \frac{CU^2}{2} = \frac{qU}{2} = \frac{q^2}{2C} \quad (10.13)$$

(10.13) ifoda zaryadlangan kondensator energiyasidir.

Endi yassi kondensator qoplamalari orasida muajassamlashgan elektrostatik maydon energiyasi ( $W_0$ ) ni aniqlaylik. (10.4) va (10.6) lardan foydalanib, (10.13)ni quyidagicha yozamiz:

$$W_0 = \frac{1}{2} \frac{\epsilon_0 \epsilon S}{d} E^2 d^2 = \frac{\epsilon_0 \epsilon}{2} E^2 Sd \quad (10.14)$$

bu yerda,  $Sd = V$  qoplamalar orasidagi hajmga teng bo'ladi. (10.14)ni hajm ( $V$ )ga bo'lsak, birlik hajmga to'g'ri keluvchi elektr maydon energiyasini topamiz:

$$W_0 = \frac{W}{V} = \frac{\epsilon_0 \epsilon}{2} E^2 \quad (10.15)$$

Bu kattalik elektr maydon energiyasining zichligi deyiladi.

### Savollar

1. Elektr maydoniga o'tkazgichlar kiritilsa, zaryadlar taqsimoti nimalarga bog'liq?
2. Zaryadlarni o'tkazgich bo'ylab tekis taqsimlanishi va muvozanatining vujudga kelish shartlarini keltiring.
3. Elektr sig'imi deb nimaga aytiladi va uning o'lchov birliklarini ayting?
4. Kondensatorlarni parallel va ketma-ket ulanishini ko'rating.
5. Elektr maydon energiyasini va energiya zichligini ifodalang.

### Masalalar

**33-masala.** Yassi kondensator qoplamalari orasi birday  $d=0,5$  mm qalinlikdagi shisha ( $\epsilon_1 = 7$ ) stiyuda ( $\epsilon_2 = 6$ ) va parafillangan qog'oz ( $\epsilon_3 = 2$ ) dan iborat dielektriklar bilan to'ldirilgan. Agar kondensator qoplamalarining yuzi  $S = 200 \text{ cm}^2$  bo'lsa, kondensatorning elektr sig'imi  $S$  topitsin.

$$\text{Berilgan:} \quad d = 0,5 \text{ mm}, \quad S = 200 \text{ cm}^2 = 2 \cdot 10^{-2} \text{ m}^2 \\ \epsilon_0 = 8,85 \cdot 10^{-12} \text{ F/m}, \quad \epsilon_1 = 7, \epsilon_2 = 6, \epsilon_3 = 2$$

S-7

**Yechish.** Agar yassi kondensator qoplamalariga parallel qilib yupqa metall plastinka kiritilsa, u holda uning sirtlarida teng kattaligidagi qarama-qarshi ishoral zaryad paydo bo'ladi. Shuning uchun ham, qoplamalari orasida dielektrik plastinkalari bo'lgan kondensatorning elektr sig'imini bu plastinka sirtlariga yupqa

metall qatlamlar siljigan deb faraz qilib, aniqlash mumkin. Bu holda o'zaro ketma-ket ulangan kondensator batareyasi hosil bo'lib, ularning elektr sig'irlari

$$c_1 = \frac{\epsilon_0 \epsilon_1 S}{d}; c_2 = \frac{\epsilon_0 \epsilon_2 S}{d}; c_3 = \frac{\epsilon_0 \epsilon_3 S}{d} \text{ bo'lgani uchun kondensatorning}$$

$$\text{umumiy elektr sig'iri: } \frac{1}{c} = \frac{1}{c_1} + \frac{1}{c_2} + \frac{1}{c_3} = \frac{d}{\epsilon_0 S} \left( \frac{1}{\epsilon_1} + \frac{1}{\epsilon_2} + \frac{1}{\epsilon_3} \right)$$

$$\text{Bundan } c = \frac{\epsilon_0 \epsilon_1 \epsilon_2 \epsilon_3 S}{(\epsilon_1 \epsilon_2 + \epsilon_1 \epsilon_3 + \epsilon_2 \epsilon_3) d} \text{ son qiymatlarini o'rinlariga qo'yib}$$

hisoblaymiz

$$c = \frac{\epsilon_0 \epsilon_1 \epsilon_2 \epsilon_3 S}{(\epsilon_1 \epsilon_2 + \epsilon_1 \epsilon_3 + \epsilon_2 \epsilon_3) d} = \frac{8,85 \cdot 10^{-12} \cdot 7 \cdot 6 \cdot 2 \cdot 2 \cdot 10^{-2}}{(7 \cdot 6 + 7 \cdot 2 + 6 \cdot 2) 5 \cdot 10^{-4}} = \frac{8,85 \cdot 168 \cdot 10^{-14}}{0,8 \cdot 5 \cdot 10^{-4}} = 437 \cdot 10^{-12} \text{ F} = 437 \text{ pF.}$$

34-masala. Agar qoplamalarining yuzasi  $S = 100 \text{ sm}^2$  bo'lsa, ikkita dielektrik qatlamli qalinligi  $d_1 = 2 \text{ mm}$  bo'lgan chinni va qalinligi  $d_2 = 1,5 \text{ mm}$  bo'lgan ebonit yusai kondensatorning elektr sig'iri  $S$  ni aniqlang.

$$\text{Berilgan: } d_1 = 2 \text{ mm} = 2 \cdot 10^{-3} \text{ mm}, \\ d_2 = 1,5 \text{ mm} = 1,5 \cdot 10^{-3} \text{ mm} \\ S = 100 \text{ sm}^2 = 10^{-2} \text{ m}^2$$

Yechish. Ta'rifga ko'ra kondensatorning sig'iri  $c = \frac{q}{U}$  bunda,  $q$  -

kondensator qoplamalaridagi zaryad,  $U$  - qoplamalar potensiallari farqi. Bu tenglikka kondensatorning umumiy potensiallar farqi  $U$  - ni dielektrik qatlamlaridagi kuchlanish yig'indisi  $U_1 + U_2$  bilan almashtirib quyidagini olamiz:

$$c = \frac{q}{(U_1 + U_2)} \quad (1)$$

$$q = cS, U_1 = E_1 d_1 = \frac{D}{\epsilon_0 \epsilon_1} d_1 \text{ va } U_2 = E_2 d_2 = \frac{D}{\epsilon_0 \epsilon_2} d_2$$

ekantligini e'tiborga olib, (1) tenglamani

$$c = \frac{\sigma S}{\frac{D}{\epsilon_0 \epsilon_1} d_1 + \frac{D}{\epsilon_0 \epsilon_2} d_2} \quad (2)$$

ko'rinishda yozish mumkin. Bunda  $\sigma$  - qoplamalardagi zaryadning sirt zichligi,  $E_1$  va  $E_2$  mos ravishda dielektriklarning birinchi va ikkinchi qatlamlaridagi maydon kuchlanganliklari;  $D$  - dielektriklardagi maydonning elektr siljishi.

(2) tenglikning surat va maxrajini  $\epsilon_0$  ga ko'paytirib  $D = \sigma$  ekanligini hisobga olsak,

$$c = \frac{\epsilon_0 S}{\frac{d_1}{\epsilon_1} + \frac{d_2}{\epsilon_2}}$$

hisoblash o'kazsak,

$$c = \frac{8,85 \cdot 10^{-12} \cdot 100 \cdot 10^{-4}}{\frac{1}{5} \cdot \frac{2 \cdot 10^{-3}}{5} + 1,5 \cdot 10^{-3} \cdot \frac{1}{3}} \text{ F} = 9,83 \cdot 10^{-11} \text{ F} = 98,3 \text{ pF.}$$

35-masala.  $c_1 = 3 \text{ mkF}$  sig'imli kondensator  $U_1 = 40 \text{ V}$  potensiallar farqigacha zaryadlangan. Tok manbai uzilgandan keyin  $c_2 = 5 \text{ mkF}$  elektr sig'imli kondensator zaryadlanmagan boshqa kondensator bilan parallel ulangan. U'lnchi kondensatorni ulash paytida vujudga kelgan uchqunni hosil qilishga sarflangan  $\Delta W$  energiya aniqlansin.

$$\text{Berilgan: } c_1 = 3 \text{ mkF} = 3 \cdot 10^{-6} \text{ F}, c_2 = 5 \text{ mkF} = 5 \cdot 10^{-6} \text{ F}, U_1 = 40 \text{ V} \\ \Delta W \text{ -?}$$

Yechish. Uchqun hosil qilish uchun sarflangan energiya.

$$\Delta W = W_1 - W_2, \quad (1)$$

bunda,  $W_1$  - birinchi kondensatorning, unga ikkinchi kondensator ulaguncha bo'lgan energiyasi,  $W_2$  - birinchi va ikkinchi kondensatorlardan tashkil topgan batareyaning

energiyasi. (1) tenglikka zaryadlangan kondensatorning energiyasi  $W = \frac{1}{2} c U^2$

ni qo'yib va parallel ulangan kondensatorlarning umumiy elektr sig'iri, alohida kondensatorlar elektr sig'irlarining yigindisiga tengligidan quyidagini olamiz:

$$\Delta W = \frac{c_1 U_1^2}{2} = \frac{(c_1 + c_2) U_2^2}{2} \quad (2)$$

bunda,  $S_1$  va  $S_2$  - birinchi va ikkinchisi kondensatorlarning elektr sig'irlari;  $U_1$  - birinchi zaryadlangan kondensatoridagi potensiallar farqi;  $U_2$  - kondensator batareyasi qisqichlaridagi potensiallar farqi.

Ikkinchi kondensator ulagandan keyin ham zaryad oldingidek qolganini hisobga olib,  $U_2$  potensiallar farqini quyidagicha ifodalaymiz.



$$U_2 = \frac{q}{c_1 + c_2} = \frac{c_1 U_1}{c_1 + c_2}$$

$U_2$  ning bu ifodasini (2) formulaga qo'yib,

$$\Delta W = \frac{c_1 U_1^2}{2} \frac{(c_1 + c_2)c_2}{2(c_1 + c_2)^2} U_1^2$$

Oddiy o'zgartirishdan keyin quyidagini topamiz:

$$\Delta W = \frac{1}{2} \frac{c_1 c_2}{c_1 + c_2} U_1^2$$

$$\Delta W = 1,5 \cdot 10^{-3} \text{ J} = 1,5 \text{ mJ}$$

## XI bob. O'ZGARMAS ELEKTR TOKI

### 11.1. Elektr tokining mavjudlik sharti va uning asosiy xossalari

Zaryadli zarrachalarning ma'lum bir yo'nalishida tartibli harakati *elektr tok* deb ataladi. «Tok» — oqim» degan ma'noni anglatadi. Elektr tokini metallarda erkin elektronlarning harakati, elektrofitlarda ionlarning gazlarda esa ionlar bilan elektronlarning harakatini hosil qiladi.

*Tokning yo'nalishi uchun shartli ravishda musbat zaryadlarning harakat yo'nalishi qabul qilingan. O'tkazgichlar ichida elektr maydoni sababli hosil bo'lgan elektr tokiga o'tkazuvcilik toki deb ataladi.*

O'tkazuvcilik tokini hosil qilgan erkin elektronlarning harakatini bevosita kuzatib bo'lmaydi. Lekin o'tkazgichdagi *tokning mavjudligini* uning ta'siri yoki u vujudga keltirgan hodisalariga qarab quyidagicha aniqlash mumkin:

1. Tok o'tayotganda o'tkazgich qiziydi.
2. Tokning magnit qanotchalariga ta'siri.
3. Elektr toki o'tqanda moddaning kimyoviy tarkibi o'zgarishi.

Tokning ta'siridan qat'i nazar, uni ifodalovchi asosiy kattalik sifatida *tok kuchi* qabul qilingan. O'tkazgichning kesim yuzidan *de* vaqt davomida *dq* zaryad miqdori o'tayotgan bo'lsa, bunday tokning kuchi:

$$j = \frac{dq}{dt} \quad (11.1)$$

ga teng bo'ladi. Uni quyidagicha ta'riflash mumkin: *o'tkazgichning kesim yuzidan kesim yuzidan vaqt birligi ichida o'tgan elektr zaryadiga qador jihatdan teng bo'lgan fizik kattalikka tok kuchi deb ataladi.*

Vaqt o'tishi bilan miqdori va yo'nalishi o'zgarib yotgan tokka *o'zgarmas tok* deb ataladi. Yaza birligidan o'tayotgan tok kuchiga tok zichligi deb yuritiladi.

$$j = \frac{I}{S} \quad (11.2)$$

O'tkazgichning bir birlik ko'ndalang kesim yuzidan o'tgan tokning kuchiga miqdor jihatdan teng bo'lgan fizik kattalikka tok zichligi deyiladi. Agar elektr toki ikki xil ishorali zaryadlarning tartibli harakati tufayli vujudga kelayotgan bo'lsa, tok zichligining ifodasini quyidagicha ko'rinishda yozish mumkin:

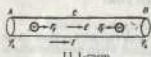
$$j = q^+ n^+ u^+ + q^- n^- u^- \quad (11.3)$$

hunda,  $q^+$  va  $q^-$  mos ravishda musbat va manfiy tok tashuvchilarning zaryad miqdorlari,  $n^+$  va  $n^-$  ularning konsentratsiyasi (ya'ni bir-birlik hajmdagi soni),  $u^+$  va  $u^-$  esa ularning tartibli harakatidagi o'rtacha tezliklari.

Si da tok kuchining o'lchov birligi amper (A) bo'lib, u asosiy birlik sifatida qabul qilingan. Tok zichligi birligi amper taqsim metr kvadrat (A/m<sup>2</sup>).

### 11.2. Elektr yurituvchi kuch va kuchlanishi

Biror o'tkazgich olib, bu o'tkazgichning *A* va *V* o'chida turli ishorali ortiqcha musbat va manfiy zaryadlar bilan ta'minlanganligini nazarda tutib, bu o'tkazgich bo'ylab o'tkazgichning uchlarida hosil bo'lgan  $\phi_1$  -  $\phi_2$  potensiallar ayirmasi uning ichida potensial tushishi tomonga yo'nalgan elektr maydoni hosil bo'lishini



11.1-rasm.

tekshiraylik. Bu maydon kuchlari ta'sirida musbat zaryadlar  $A$  dan  $V$  ga qarab, manfiy zaryadlar esa  $V$  dan  $A$  ga qarab tartibli harakatga keladi va natijada o'tkazgich bo'ylab elektr toki oqib boshlaydi. Ammo bu holat uzoq vaqt davom etmaydi, chunki zaryad tashuvchilarning harakati o'tkazgich

ichidagi maydonni tezlik bilan yo'qolishiga va tokning to'xtashiga olib keladi.

O'tkazgichda uzluksiz ravishda elektr toki mavjud bo'lishi uchun maxsus qurilma bo'lishi va uning ichida hamma vaqt turli ismli zaryadlar ajratib turishi hamda musbat zaryadlar  $A$  uchiga, manfiy zaryadlar esa  $V$  uchiga ko'chib turishi zarur. Bunday qurilmani tok manbai deyiladi. Tok manbaida zaryadlarni ajratuvchi kuchlar elektostatik xususiyatiga ega bo'lmaganlik kerak, chunki elektr kuchlar turli ismli zaryadlarni ajratmaydi, balki faqat birlashtirishi mumkin. Shuning uchun tok manbaida zaryadlarni ajratuvchi kuchlar begona, ya'ni tashqi kuchlar deb yuritiladi. Tok manbalarida zaryadlarni ajratish jarayonida mexanik, kimyoviy, ichki va boshqa turdagi energiyalar elektr energiyasiga aylanadi. Masalan, o'zgarmas tok generatorida bu kuchlar magnit maydon energiyasi va yakomning aylanishidagi mexanik energiya, elektrofar mashinasida mexanik energiya, termoelementda ichki energiya, akkumulator va galvanik elementda - kimyoviy reaksiyalar energiyasi, yarimo'tkazgich fotoelementda yorug'lik energiyasi hisobiga hosil qilinadi. Shunday qilib, tok manbai o'tkazgichning  $A$  va  $V$  uchlarni uzluksiz ravishda har xil ismli zaryadlar bilan ta'minlab turadi. Ammo tok manbai ichida zaryadlarning ajralishiga, birinchidan, musbat qutblarda manfiy qutblga yo'nalgan ichki elektr maydoni va ikkinchidan, tok manbai ichida ionlarni harakatiga elektroflotning (yopishqoqliq) qarshiligi to'g'ri keladi. Shu tariqa tashqi elektr ajratuvchi kuchning bajarigan  $A$ , ishi tok manbai ichidagi elektr maydoni kuchlariga qarshi bajariladi, u holda

$$\frac{A_T}{q} = \varepsilon \quad (11.4)$$

kattalik tok manbaining elektr yurituvchi kuchi deyiladi. U quyidagicha ta'riflanadi: tok manbaining elektr yurituvchi kuchi (EYUK) tashqi kuchlar ta'sirida birlik musbat zaryadli manban o'z ichiga olgan berk zanjir bo'ylab ko'chirilishda bajarilgan ish bilan xarakterlanadi.

Si da EYUK birligi qilib volt ( $V$ ) qabul qilingan:  $1V$  - shunday tok manbaining EYUK ki, u manbani o'z ichiga olgan berk zanjir bo'ylab  $1kI$  zaryadni ko'chirishda  $1J$  ish bajariladi. Ochiq zanjirdagi tok manbaining EYUK manbaining qutblaridagi potensiallar farqiga teng:

$$\varepsilon = \varphi_A - \varphi_B \quad (11.5)$$

Tashqi elektr zanjiri bilan tutashirilgan tok manbai qutblaridagi potensiallar ayrimasi tok manbaining kuchlanishi deyiladi.

Yopiq zanjir uchun birinchidan, kulon kuchlari ta'sirida birlik musbat zaryadni  $A$  dan  $V$  gacha ko'chirishda bajarilgan ish shu ikki nuqta orasidagi potensiallarning farqi ( $\varphi_A - \varphi_B$ ) ga teng. Ikkinchidan, tashqi kuchlar ta'sirida birlik musbat zaryadni zanjirning tekshirilayotgan qismida ko'chirishda bajarilgan ish zanjirning shu qismidagi manbaining EYUK ga teng. Shuning uchun kuchlanish

$$U_{AB} = (\varphi_A - \varphi_B) + \varepsilon_{AB} \quad (11.6)$$

teng bo'ladi. Agar  $\varepsilon_{AB} = 0$  bo'lsa,

$$U_{AB} = (\varphi_A - \varphi_B)$$

bo'ladi.

Kuchlanish ham, xuddi EYUK kabi volt ( $V$ )da o'lchanadi.

### 11.3. Om qonuni. O'tkazgichning qarshiligi

Om qonuni juda ko'p tajribalar natijasi asosida kashf etilgan qonundir. Uning to'g'ri rii boshqa kishilar tomonidan o'tkazilgan ko'pgina tajribalarda ham isbotlangan. 1826-yili nemis fizigi Ohm quyidagi qonuni yaratdi: bu jisli metall o'tkazgichdan o'tayotgan tok kuchi ushbu o'tkazgichning uchlardagi kuchlanishga to'g'ri proporsional:

$$I = \frac{1}{R}U \quad (11.7)$$

bu yerda,  $R$  - o'tkazgichning elektr qarshiligidir. (11.7) tenglama zanjirning bir qismi uchun Om qonunini ifodalaydi. Qarshilik birligi  $Om$  deb qabul qilingan. O'tkazgichning uchlardagi kuchlanish  $1V$  bo'lganda  $1A$  tok kuchi o'tadigan o'tkazgichning elektr qarshiligi  $1Om$  ga teng bo'ladi. Elektr qarshilikka teskari bo'lgan kattalik

$$G = \frac{1}{R} \quad (11.8)$$

elektr o'tkazuvchanlik deb ataladi, uning o'lchov birligi simens ( $Sm$ ).  $1Sm$  - elektr qarshiligi  $1Om$  bo'lgan o'tkazgichning elektr o'tkazuvchanligidir.

Metall o'tkazgichning tok ko'rsatadigan qarshiligi erkin elektronlarning metallidagi kristall panjara ionlari bilan to'qnashib tushishi hosil bo'lgan uchun qarshilik o'tkazgichning shakli, o'lchamlari va uning qanday materialdan yasalganligiga bog'liq bo'ladi. Omning tadqiqotlariga muvofiq, bir jisli silindrsimon o'tkazgich uchun o'tkazgichning qarshiligi uning  $l$  uzunligiga to'g'ri proporsional va ko'ndalang kesim yuzi  $S$  ga teskari proporsional

$$R = \rho \frac{l}{S} \quad (11.9)$$

bu yerda,  $\rho$  - o'tkazgichning solishtirma elektr qarshiligi. U o'tkazgich materialining tabiatiga bog'liq kattaligidir. Solishtirma elektr qarshilikka teskari bo'lgan:

$$\sigma = \frac{1}{\rho} \quad (11.10)$$

kattaligini o'tkazgichning solishtirma elektr o'tkazuvchanligi deb ataladi. Solishtirma elektr qarshilikning o'lchov birligi -  $Om$  metr ( $Om \cdot m$ );  $1Om \cdot m$  - ko'ndalang kesimi  $1m^2$ , uzunligi  $1m$  bo'lganda  $1Om$  elektr qarshilikka ega bo'lgan o'tkazgichning solishtirma elektr qarshiligidir.

Solishtirma elektr o'tkazuvchanlikning o'lchov birligi simens taqsim metr ( $Sm/m$ );  $1Sm/m$  - ko'ndalang kesimi  $1m^2$ , uzunligi  $1m$  bo'lganda  $1Sm$  elektr o'tkazuvchanlikka ega bo'ladigan o'tkazgichning solishtirma elektr o'tkazuvchanligidir.

O'tkazgichning qarshiligi va solishtirma qarshiligi haroratga bog'liq bo'ladi. Harorat o'tirishi bilan metall panjarasidagi ionlarning issiqlik harakati tezlashadi va elektronlarning tartibli harakatini qiyinlashtiradi. Shuning uchun metallarning qarshiligi harorat o'tirishi bilan ortadi. Tajribalarni ko'rsatishicha barcha metallarning qarshiligi harorat bilan chiziqli bog'langandir:

$$R = R_0(1 + \alpha t) \quad (11.11)$$

bu yerda,  $R_0$  - o'tkazgichning  $0^\circ C$  dagi qarshiligi,  $t$  - harorat,  $\alpha$  - qarshilikning harorat koeffitsiyenti, sof metallar uchun:

$$\alpha = \frac{1}{273} \text{ grad}^{-1}$$

Termodinamik harorat  $T$  dan foydalanib, (11.11) ni quyidagicha yozamiz:

$$R = \alpha R_0 T \quad (11.12)$$

O'tkazgichning qarshiligi, asosan, solishtirma qarshilikning o'zgarishi hisobiga

o'zgaradi. Agar (11.11) formulaga  $R = \rho \frac{l}{S}$  va  $R_0 = \rho_0 \frac{l}{S}$  qiymatlari qo'yilsa,

solishtirma qarshilikning haroratga bog'lanishini ifodalovchi formula hosil bo'ladi:

$$\rho = \rho_0(1 + \alpha t) \quad (11.13)$$

Binobarin, solishtirma qarshilik ham haroratga chiziqli bog'langandir. Lekin ayrim ayrim sof metallarning solishtirma qarshiligi **absolut nolga yaqin haroratdayoq keskin nolga aylanishi ma'lum bo'ldi. O'ta o'tkazuvchanlik** deb nom olgan bu hodisani birinchi marta 1911-yilda gollandiyalik fizik Kamerling-Onnes simohi suyuq geliyda sovutganda simobning qarshiligi dastlab asta-sekin kamayib, so'ngra harorat  $4,1 K$  ga yetganda sakrab birdaniga nolga tushib qolganligini aniqlagan.

Elektr zanjiri ko'pincha turli usullar bilan ulangan bir necha qarshiliklardan iborat bo'lishi mumkin. Qarshiliklar zanjirga o'zaro ketma-ket va parallel ulanadi.

Ketma-ket ulangan qarshiliklarning umumiy qarshiligi alohida olingan qarshiliklarning algebraik yig'indisiga teng, ya'ni:

$$R_{\text{ket}} = R_1 + R_2 + \dots + R_n = \sum_{i=1}^n R_i \quad (11.14)$$

O'zaro parallel ulangan qarshiliklardan tuzilgan zanjir qarshiligining teskari qiymati har bir alohida olingan qarshiliklar teskari qiymatlarining algebraik yig'indisiga teng, ya'ni:

$$\frac{1}{R} = \frac{1}{R_1} + \frac{1}{R_2} + \dots + \frac{1}{R_n} = \sum_{i=1}^n \frac{1}{R_i} \quad (11.15)$$

#### 11.4. Zanjirning bir jinsli bo'lmagan qismi uchun Om qonuni

Zanjirning bir jinsli bo'lmagan qismida tok manbai ishtirok etadi. Shuning uchun zanjirning umumiy elektr qarshiligi ( $R_{\text{um}}$ ) ni hisoblaganda tok manbasining **ichki qarshiligi**  $r$  ni ham hisobga olishga to'g'ri keladi. Generatorlarda  $r$  ichki qarshilik deb chulg'amlar qarshiligi, galvanik elementda esa elektrolit eritmasi (musbat va manfiy ionlar harakatiga bo'lgan qarshilik) va elektrodning qarshiligi tushuniladi.

(11.6) dan foydalanib zanjirning bir jinsli bo'lmagan qismi uchun Om qonunini quyidagi ko'rinishda ifodalaylik:

$$I = \frac{U_{\text{ab}} - (\varphi_A - \varphi_B) +}{R_{\text{um}} + R + r} \quad (11.16)$$

(11.16) ni oddatda, Om ning umumlashtirilgan qonuni deb ham ataladi, chunki uni elektr zanjirning ixtiyoriy qismi uchun qo'llash mumkin. (11.16) ifodada  $\varphi_A - \varphi_B$  bo'lsa, berk zanjir uchun Om qonunining ifodasi quyidagi ko'rinishga keladi.

$$I = \frac{E}{R + r} \quad (11.17)$$

bundagi  $E$  - berk zanjirdagi barcha EYUK larning algebraik yig'indisi,  $R+r$  esa zanjirdagi umumiy qarshilik.

(11.17) tenglik berk zanjir uchun Om qonunining matematik ifodasi bo'lib, u quyidagicha ta'riflanadi:

**Berk zanjirdan o'tayotgan tokning kuchi manbaning elektr yurituvchi kuchiga to'g'ri proporsional va zanjirning to'la qarshiligiga teskari proporsionaldir.** (11.9), (11.10) lardan foydalanib, Om qonunlarining differensial ko'rinishini ifodalaylik. Buning uchun o'tkazgichning qarshiligi  $R = \rho \frac{dl}{dS}$  ni

hisoblaganda elementar uzunlik  $dl$  va elementar yuz  $dS$  ni kirityaylik. U holda o'tkazgich uchlaridagi kuchlanishni  $U = Edl$  deb, undan o'tayotgan tok kuchini esa  $I = IdS$  ga teng deb olamiz. Ularni zanjirning bir jinsli qismi  $u$ -bun Om qonuni (11.7) ifodasiga qo'yisak:

$$IdS = \frac{Edl}{\rho} = \frac{dS}{\rho dl} Edl$$

yoki

$$j = \frac{1}{\rho} E \quad (11.18)$$

hosil bo'ladi. Bu yerdagi  $\sigma = \frac{1}{\rho}$  teng ekanligini hisobga olsak (11.18) ifoda

quyidagi ko'rinishga keladi:

$$j = \sigma E \quad (11.19)$$

Bu ifoda zanjirning bir jinsli qismi uchun Om qonunining differensial ko'rinishidir. Agar zanjirning tekshirilyotgan qismi bir jinsli bo'lmasa, u holda zanjirda Kulon kuchlari bilan bir qatorda tashqi kuchlar ham ishtirok etadi. U holda zanjirning **bir jinsli bo'lmagan qismi uchun Om qonunining differensial ko'rinishi** quyidagicha yoziladi:

$$j = \sigma(E + E_{\text{r}}) \quad (11.20)$$

bu'dagi  $E_{\text{r}}$  - zanjirning tekshirilyotgan qismidagi tok manbalari ta'sir etayotgan tashqi kuchlar maydonining kuchlanganligidir.

### 11.5. Joul - Lens qonuni

Tajribalaridan ma'lumki, o'tkazgichdan tok o'tganda hamma vaqt mazkur o'tkazgich qiziydi. Uning qizishiga sabab shuki, o'tkazgich bo'ylab harakatlanayotgan elektronlarning kinetik energiyasi elektronni o'tkazgich kristalli panjarasining ion bilan har bir to'qnashishida issiqlikka aylanadi. Joul va Lens mustaqil ravishda o'z tajribalarida o'tkazgichdan tok o'tishi natijasida undan ajralib chiqqan issiqlik miqdori o'tkazgichning qarshiligi, tok kuchining kvadratiga va tokning o'tib turish vaqtiga proporsional ekanligini topdilar:

$$dQ = I^2 R dt = \frac{U^2}{R} dt \quad (11.21)$$

Bu munosabat Joul-Lens qonunini ifodalaydi. (11.21) ifoda o'z navbatida o'tkazgichning ko'ndalang kesimidan  $dt$  vaqt ichida  $ldt$  zaryadni ko'chirishda tokning bajarigan ishiga teng bo'ladi:

$$dA = dQ = I^2 R dt = \frac{U^2}{R} dt \quad (11.22)$$

Elektr tokining quvvati esa quyidagi:

$$N = \frac{dA}{dt} = IU = I^2 R = \frac{U^2}{R} \quad (11.23)$$

ifodaga teng bo'ladi. (11.18) dan foydalanib (11.21) ni quyidagicha yozamiz;

$$dQ = RI^2 dt = \frac{\rho dl}{dS} (jdS)^2 dt = \rho j^2 dl dS dt \quad (11.24)$$

Agar  $dl \cdot dS = dv$  o'tkazgichning issiqlik ajralayotgan hajmi ekanligini hisobga olsak,

$$dQ = \rho j^2 dv dt \quad (11.25)$$

(11.24) ni  $dv dt$  ga bo'lsak, o'tkazgichning birlik hajmdan birlik vaqtda ajralib chiqqan issiqlik miqdorini xarakterlovchi kattalikni topamiz. Bu kattalik **tok issiqlik quvvatining zichligi deb ataladi.**

$$w = \frac{dQ}{dv dt} = \rho j^2 \quad (11.26)$$

(11.18) va (11.19) ifodalardan foydalanib, (11.25) ni quyidagicha yozamiz:

$$w = jE = \sigma E^2 \quad (11.27)$$

Bu ifoda Joul-Lens qonunining **differentsial ko'rinishidir.**

### 11.6. Kirxgof qoidalari

Yuqorida biz berk zanjirdan iborat tarmoqlanmagan, eng sodda elektr zanjirlarini ko'rdik. Tarmoqlanmagan zanjirning barcha qismlarida tok kuchi bir xil bo'ladi. Tarmoqlanmagan zanjirlarni (tok kuchi, E, YU.K ni va qarshiligini aniqlash) **Om qonunlari** yordamida osongina hisoblash mumkin.

Tarmoqlangan elektr zanjiri ancha murakkab bo'ladi. Kirxgof qoidalari tarmoqlangan murakkab zanjir qismlarini hisoblashda qo'llaniladi. Tarmoqlanmagan zanjir berk konturning alohida qismlarida tok kuchlari kattalik va yo'nalish jihatdan

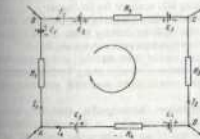
turlicha bo'lishi mumkin.

Elektr zanjirining kumida uchta o'tkazgich tutashgan nuqtasi tugun deyiladi. Tugunga kelayotgan toklarni **musbat** ishora bilan, tugundan ketayotgan toklarni esa **manfiy** ishora bilan olinadi. Kirxgofning birinchi qoidasiga asosan; **tugunda uchrashuvchi toklarning algebraik yig'indisi nolga teng**, ya'ni 11.2-rasmdagi elektr tugun uchun:

$$\sum_{i=1}^n I_i = I_1 + I_2 + I_3 - I_4 - I_5 = 0 \quad (11.28)$$

$$\text{yoki } I_1 + I_2 + I_3 = I_4 + I_5$$

Kirxgofning ikkinchi qoidasi tarmoqlanmagan zanjirning berk konturiga tegishli. Birec murakkab tarmoqlanmagan elektr zanjirdan ixtiyoriy AVSD berk konturini ajratib olaylik (11.3-rasm). Bu kontur ixtiyoriy yo'nalishda aylanganda qo'shni tugunlar o'rtasidagi zanjir qismlari uchun Om qonuni (11.16) ni qo'llaymiz. Bunda quyidagi shartlarga rioya qilish kerak:



11.3-rasm.

1) zanjirning har bir qismidagi qarshilik ( $R$ ) dependa shu qismidagi barcha ta'siriy va ichki qarshiliklar yig'indisi hisoblanadi;

2) zanjirning ayrim qismlaridagi tokning yo'nalishi konturni aylantirish yo'nalishi bilan mos tushsa, bunday tokni musbat, aks holda manfiy deb hisoblanadi;

3) zanjirdagi tok manbalari-ning manfiy qutbidan musbat qutbi tomon yurish konturini aylantirish yo'nalishi bilan mos tushsa, manbaning EYUK musbat ishora bilan aks holda manfiy

ishora bilan olinadi.

Shunday qilib, yuqoridagilarni hisobga olib ABCD kontur uchun quyidagilarni yozaylik:

$$\begin{aligned} AB \text{ qism uchun.} & I_1 R_1 = \varphi_1 - \varphi_2 + \mathcal{E}_1 \\ BC \text{ qism uchun.} & I_1 R_2 = \varphi_2 - \varphi_3 + \mathcal{E}_2 - \mathcal{E}_3 \\ CD \text{ qism uchun.} & -I_1 R_3 = \varphi_3 - \varphi_4 \\ DA \text{ qism uchun.} & -I_1 R_4 = \varphi_4 - \varphi_1 + \mathcal{E}_4 - \mathcal{E}_5 \end{aligned}$$

Bu tengliklarni hadlab qo'shsak:

$$I_1 R_1 + I_1 R_2 - I_1 R_3 - I_1 R_4 = \mathcal{E}_1 + \mathcal{E}_2 - \mathcal{E}_3 - \mathcal{E}_4 - \mathcal{E}_5 \quad (11.29)$$

yoki I va E lar algebraik kattaliklar ekanligini hisobga olib, (11.28)ni quyidagi ko'rinishda yozamiz:

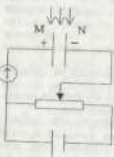
$$\sum I_i R_i = \sum \varepsilon_i \quad (11.30)$$

Bu munosabat Kirxgof ikkinchi qoidasining matematik ifodasidir, u quyidagicha ta'riflanadi: *tarqoqlanmagan elektr zanjirining birkonturli tok kuchlarining bu konturning tegishli qiymatlari qarshiliklariga ko'paytmalarining algebraik yig'indisi ushbu konturdagi barcha EYUK larning algebraik yig'indisiga teng.*

Kirxgofning ikkinchi qoidasini o'zgaruvchan tok zanjiriga ham tatbiq qilish mumkin.

### 11.7. Gazlarda elektr toki

Elektr tokning gazlar orqali o'tishiga *gaz zaryadi* deyiladi. Metallar va elektrolitlar tok tashuvchilar har doim mavjuddir, ularga berilgan elektr maydoni mavjud zaryadlarni faqat tartibga soladi. Gazlar esa normal holda izolator hisoblanadi, ularda tok tashuvchilar bo'lmaydi. Gazlar orqali elektr tokning o'tishini tekshirish uchun 11.4-rasmda tasvirlangan elektr zanjirining chizimasini tuzaylik. Zanjir orqali elektr tok oqimini ta'minlovchi bo'lmak, *M* va *N* elektrodlar oraliqiga zaryad tashuvchilar vujudga keltirish kerak. Gazda zaryad tashuvchilar vujudga keltirishning ikki usulidan foydalanamiz:



11.4-rasm.

- gazlarda zaryad tashuvchilar tashqi ta'sirlar natijasida hosil qilinsa, bunday holda kuzatiladigan elektr tokni *nomustaqil gaz zaryadi* deyiladi;
- agar zaryad tashuvchilar elektr maydon ta'sirida vujudga kelsa, shu hodisa tufayli kuzatiladigan elektr tokni *mustaqil gaz zaryadi* deyiladi.

*Nomustaqil gaz zaryadi* gazlarni yuqori haroratgacha qizdirish bilan, ultrabinafsha yoki rentgen nurlari ta'siri bilan, shuningdek,  $\alpha$ ,  $\beta$  yonlanishining ta'siri ostida yuzaga kelishi mumkin. Bu hol *M* va *N* elektrodlar o'rtasidagi gaz molekularining ionlashuviga olib keladi. Ionlashishda gaz molekulasidan, odada, bitta elektron uzib chiqariladi, buning natijasida molekula *musbat ion* bo'lib qoladi. Uzilib chiqqan elektron juda oz muddat erkin oqishi mumkin yoki darhol gazning neytral molekularidan biriga birlashadi va bu molekulaning *manfiy ioniga aylantiradi*. Gazdagi ionlashish jarayoni sababchisi bo'lgan ionni *manfiy ionga aylantiradi*. Shunday qilib, ionlashgan gazda musbat ionlar ham, manfiy ionlar ham, erkin elektronlar ham bo'ladi. Gazda ionlashish bilan birga ionlarning rekombinatsiyalanish o'zaro qo'shilishi jarayoni ham boradi.

Tashqi elektr maydoni bo'lganida ionlashgan gazda turli turlu ionlarning qarama-qarshi yo'nalishdagi harakati va elektronlarning harakati tufayli tok vujudga keladi.

Ionizator ta'siri ta'siridagi gaz ionlarining konsentratsiyasi darhol nolgacha kamayadi va tok to'xtaydi.

*Mustaqil gaz zaryadi* vaqtida o'z-o'zidan ionlashish jarayonlari tashqi ionizator ta'sir qilmasdan, balki kuchli elektr maydonlar ta'sirida zaryad tashuvchilar vujudga kelishi tufayli sodir bo'ladi. Elektrodlar zaryad

tashuvchilarning hosil bo'lishini ta'minlovchi quyidagi asosiy jarayonlar bilan tashib o'taylik.

1). *Zarbdan ionlanish*. Tabiiy sharoitlarda gazda hamma vaqt ham oz miqdorda erkin elektronlar va ionlar bo'ladi, ular kosmik nurlar va atmosfera, tuproqda, so'vda bo'ladigan radiaktiv moddalarni nurlanishi ta'sirida hosil bo'lishi mumkin.  $10^3 - 10^5$  V/m elektr maydonlarida bu zaryachalarni shunday tezliklarga tezlatish mumkin, ularning kinetik energiyasi ionlashish hisidan katta bo'lib ketadi va ular neytral molekular bilan to'qnashib, bu molekularlarni ionlashtiradi. Hosil bo'lgan elektron va ionlar ham maydon ta'sirida tezlashib, o'z navbatida, ular ham yangi neytral molekularlarni ionlantiradi va hokazo. Sho tariqa gazda ionlashish nihoyatda katta qiymatlarga erishadi. Gazning bunday o'z-o'zidan ionlanishi *zarbdan ionlanish deyiladi*.

2). *Ikkilamchi elektron emissiya*. Maydon ta'sirida tezlashtirilgan musbat ionlar metall katodga urilib, *katoddan elektronlarni urib chiqaradi*, bu elektronlar o'z navbatida maydon tomonidan tezlashtirilib, neytral molekularlarni ionlashtiradi. Bu hodisa ikkilamchi elektron emissiya deyiladi.

3). *Avtoelektron emissiya*. Bu hodisa nihoyatda kuchli elektr maydonlarda ( $10^6$  V/m) sodir bo'ladi. Bunda nihoyatda kuchli elektr maydon metallardan elektronlarni yulib oladi, deyish mumkin.

4). *Fotoionlanish*. Gaz molekularini zarbdan ionlashish natijasida vujudga kelgan ion uyg'ongan holatda bo'lishi mumkin. Bu ion uyg'ongan holatdan o'zining dastlabki holatiga o'tganida qizga to'liqli nur chiqariladi. Bunday nur energiyasi molekularning ionlashishiga yetarli bo'lib qolganda, fotoionlanish hodisa ro'y beradi.

5). *Termoelektron emissiya*. Katodni yetarli darajada qizdirilishi natijasida undan elektronlarni uchib chiqishi tufayli elektronlar to'plami vujudga keladi.

Endi mustaqil gaz zaryadining ba'zi turlari bilan tashibaylik.

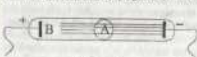
1). *Toj zaryad*. Bir jinali bo'lmagan, ya'ni neytrik elektr maydonlarida bo'lgan normal bosimni gazda elektrodlar o'rtasidagi qismlarining yaqinida *toj zaryadi* kuzatiladi. Toj zaryad gaz molekularining kuchli elektr maydonida katta tezliklarga tezlatilgan elektronlari va ionlarning zarbdan ionlanishi tufayli yuzaga keladi, bunday kuchli elektr maydonlar elektrodning o'rtasidagi qismlarida vujudga kelishi ta'kidlanadi.

Toj zaryad, masalan, yuqori kuchlanishli simlar yaqinida, machalar uchlarida va boshqa o'rtasidagi simlar yaqinida hosil bo'ladi. Yashin qaytarqichning tashishi toj zaryadga asoslangan. Atmosferada momaqaldiroq bo'lgan vaqtda hosil bo'ladigan kuchli elektr maydoni yashin qaytarqichning uchida toj zaryadi vujudga keltiradi va binolarni yashin zarbdan muhofaza qiladi.

2). *Uchqunli zaryad*. Induktsion g'altak chug'atining ikki uchi orasidagi kuchlanishi nihoyatda katta ( $10^6$  V/m) bo'lganda, gazning turtkisi zarbdan ionlanishi natijasida qizga vaqti raryad yoshindir. Yashin bulutlar orasida yoki bulut bilan Yer oraliqida katta potensiallar farqi vujudga kelishi natijasida paydo bo'ladi. Uchqun zaryad yaqinidagi gaz yuqori ( $10^3$  C) haroratlariga qiziydi va keskin kengayadi. Yashinning uzunligi 50 kilometracha, tok kuchi 20 000 A gacha yetadi, yashin  $10^6$  sekund davom etadi, shuning uchun uning tovushi, ya'ni momaqaldiroq juda kuchli bo'ladi.

3). *Yoy zaryad*. Yoy zaryad bir-biriga yaqin joylashgan ikki elektrod (ko'mir yo. metall) orasida 40 V yaqin kuchlanishda vujudga keladi. Atmosfera bosimida uning harurati 2500 - 4000 C bo'ladi. Yoy zaryad vaqtida tok kuchi - 3000 A dan

katta bo'lishi mumkin. Yoy razryad cho'g'langan katodning termoelektron emissiyasidan yuzaga keladi. Yoy razryad 1802-yilda V.V.Petrov tomonidan kashf qilingan. Yoy razryaddan metallarni pavyandlashda, maxsus po'latlarni eritish (yoy pechi), yoritishda (yoy proyektor) va boshqa sohalarda qo'llaniladi.



11.5-rasm.

**4.Yo'lqin razryad.** Yo'lqin razryad gaz bosimi 0,1 mm. sinob ustuniga, elektrodlanga berilgan kuchlanish bir necha yuz voltga teng bo'lganda kuzatiladi. Yo'lqin razryad gaz-razryad nayining elektrodleri orasida deyarli butun fazoni to'ldiruvchi sobin

nurlantuvchi A ustun (*musbat ustun*) ko'rinishida bo'ladi (11.5-rasm), faqat katod yaqinidagi kichik V sohagina nurlanmay qoladi (*katod qoroviq'i fazasi*). Nurlanish qo'zg'algan molekularni vujudga keltiradi. Nurlanishning rangi gaz tabiatiga bog'liq bo'ladi, masalan, neon-qizil, argon-ko'kish, gelly-sariq rangdagi nurlanishni beradi.

Yo'lqin razryad musbat ionlarning katoddan urib chiqargan elektronlarining zarbidan ionlashuvi tufayli hosil bo'ladi. Katod yaqinida bi elektronlar maydon ta'sirida halli tezlashib ulgurmagani bo'ladi. Yo'lqin razryadning xususiyatlaridan kunduzgi yorug'lik lampalarida, ko'rgazmalarni yoritish, bezash maqsadlarida foydalaniladi.

### 11.8. Plazma

Mustaqil razryadning ba'zi turlarida gazning ionlashishi darajasi juda yuqori bo'ladi. Yuqori darajada ionlashgan kichik hajmda elektroneytral bo'lgan gaz *plazma* deb ataladi. Agar gazning barcha molekulari ionlashgan bo'lsa, ya'ni ionlashganlik darajasi birga teng bo'lsa, to'liq ionlashgan plazma deyiladi. Boshqa hollarda qisman ionlashgan plazma bilan ish ko'riladi.

Plazma moddaning alohida holatidir. Bir necha o'n million gradus haroratga ega bo'lgan Quyosh va boshqa yulduzlarni tashkil qilgan moddalar plazma holatida bo'ladi. Plazmani ikki usul bilan hosil qilish mumkin.

1.O'ta yuqori harorataragacha qizdirilgan gaz molekulari o'zaro to'qnashuvi tufayli ionlanish sodir bo'ladi. Masalan,  $T \geq 10\ 000\ K$  da har qanday jism plazma holatida bo'ladi. Yuqori haroratda hosil bo'lgan plazma *yuqori haroratti plazma deyiladi*.

2. Gaz razryadi natijasida hosil bo'lgan plazma *gaz razryadli plazma deyiladi*. Gaz razryadli plazma elektronlari va ionlari gaz razryadini vujudga keltirayotgan elektr toki manbaidan doimo energiya o'tib turadi. Natijada ionlar va elektronlarning haroratlari keskin farq qiladi, chunki elektronlar elektr maydonida ko'proq tezlashadi. Masalan, yo'lqin razryadda elektronlar harorati  $-10\ 000\ K$  bo'lsa, ionlar harorati  $-2000\ K$  dan o'tmaydi.

Plazma zararlari, oddiy gaz molekulariga o'xshash tarhvisi harakata bo'ladi. Plazma elektromagnit maydon bilan ta'sirlashgani uchun radio to'lqinlarni qaytaradi.

Plazmada tok tashuvchilar konsentratsiyasi juda katta. Shuning uchun plazmaning elektr o'tkazuvchanlik xossasi yaxshi. Plazmada elektronlarning harakatchanligi ionlarga nisbatan taxminan uch marta katta, shu sababli plazmada tokni, asosan, elektronlar hosil qiladi.

Hozirgi paytda plazmadan ikki yo'nalishda foydalanish mo'ljallanyapti:

1) boshqariluvchi termoyadro reaksiyalarida,

2) magnitogidrodinamik generatorlarda (MGDG).

### Savollar

1. Elektr tokining mavjudlik shartini u vujudga keltirgan hodisalarga qarab qanday aniqlash mumkin?
2. Agar elektr toki ikki xil ishorali zaryadlarning tartibli harakati tufayli vujudga kelayotgan bo'lsa, tok zichligini ifodalash qanday ko'rinishda bo'ladi?
3. O'tkazgichda uzluksiz ravishda elektr toki mavjud bo'lishi uchun qanday qurilma bo'lishi va uning ichida hamma vaqt turli ismli zaryadlarni ajratib turuvchi qanday kuchlar bo'ladi?
4. Elektr yurituvchi kuch (EYUK), potensial va kuchlanishlar orasida qanday bog'lanish bor?
5. Om qonunlarini bir-jinsli va bir-jinsli bo'lmagan elektr zanjirlari uchun ifodalang va ularni differensial ko'rinishini keltirib chiqaring.
6. Qeshilikni o'tkazgichning o'lchamlariga, temperaturaga bog'liqligini ifodalang va o'ta o'tkazuvchanlik hodisastni aniqlashda moddalarni turiga qarab temperatura sohasini o'zgarib borishini tushuntiring.
7. Joul-Lens qonunini ta'riflang va uning differensial ko'rinishini keltiring.
8. Tarmoqlanmagan va tarmoqlangan zanjirlar uchun Kirsgof qoidalarini ifodalang, ta'riflarni ayting.
9. Mustaqil va nomustaqil gaz razryadlari hosil qilishda ionizator va elektr maydonlarini ta'sirini xarakterlang.
10. Yuqori darajada ionlashgan kichik hajmda elektroneytral bo'lgan gaz, ya'ni plazma qanday hosil qilinadi va uni qanday tutib turiladi, shuningdek, plazmadan qanday maqsadlarda foydalaniladi?

### Masalar

**36-masala.** Elektr stansiyasining klemmalardagi kuchlanish  $U_0 = 6600\ V$ , iste'molchi  $l = 10\ km$  uzoqlikda joylashgan. Agar tok kuchi liniyada  $I = 20\ A$  va simlarda kuchlanish tushishi  $3\%$  bo'lsa, ikki simli uzatish liniyasi qurish uchun o'lmadigan mis simning ko'ndalang kesim yuzi  $S$  qancha bo'lishi kerak? Misning solishtirma qarshiligi  $\rho = 1,7 \cdot 10^{-8}\ Om \cdot m$ .

Berilgan:  $U_0 = 6600\ V, l = 10\ km = 10^4\ m$

$I = 20\ A, k = 3\%$

$\rho = 1,7 \cdot 10^{-8}\ Om \cdot m$

$S = ?$

**Yechish.**  $R = \rho \frac{l}{S}$  formulaga muvofiq  $S = \rho \frac{2l}{R}$  bu yerda,  $R$ -simning qarshiligi,  $Om$  qonuniga muvofiq  $U = IR$ . Biroq shartga ko'ra  $U = 0,03U_0$

$U$  holda  $R = \frac{0,03U_0}{I}$  va

$$S = \frac{2l\rho I}{0,03U_0} = \frac{2 \cdot 10^4 \cdot 1,7 \cdot 10^{-8} \cdot 20}{0,03 \cdot 6600} = 3,4 \cdot 10^{-6}\ m^2 = 34\ mm^2.$$

37-masala. Cho'g'lanma lampochka volfram tolalining qarshiligi  $t_1=20^\circ\text{C}$  temperaturada  $R_1=40\ \text{Om}$ , ga, uning  $t=0^\circ\text{C}$  temperaturadagi  $R_0$  qarshiligi topilsin. Agar cho'g'lanma lampochka  $U=120\text{V}$  kuchlanishli tok manbaiga ulanganda tolalidan  $I=0,3\text{A}$  tok o'tsa, qizigan volfram tolalining  $R_2$  qarshiligi va  $t_2$  temperaturasi topilsin. Volfram uchun qarshilikning temperatura koeffitsiyenti  $\alpha = 4,6 \cdot 10^{-3}\ \text{grad}^{-1}$ .

**Berilgan:**  $t_1=20^\circ\text{C}$ ,  $R_1=40\ \text{Om}$ ,  $U=120\text{V}$ ,  $I=0,3\text{A}$ .

$$\alpha = 4,6 \cdot 10^{-3}\ \text{grad}^{-1}$$

$$\frac{R_2 - R_1}{R_1 - R_0} = \alpha (t_2 - t_1)$$

**Yechish.** Temperatura juda katta bo'lgan intervallarda o'tkazgich  $R$  - qarshiligi  $t$  temperaturaga chiziqli bog'liq bo'ladi, ya'ni  $R = R_0(1 + \alpha t)$ , bunda,  $R_0$  - o'tkazgichning  $0^\circ\text{C}$  temperaturadagi qarshiligi,  $\alpha$  - qarshilikning temperatura koeffitsiyentidir.

$U$  vaqtida  $t_1 = 20^\circ\text{C}$  temperaturadagi volfram tolalining qarshiligi  $R_1 = R_0(1 + \alpha t_1)$ , bundan  $R_0$  ni topib hisoblaymiz.

$$R_1 = \frac{R_0}{1 + \alpha t_1} = \frac{40}{1 + 4,6 \cdot 10^{-3} \cdot 20} = \frac{40}{1,092} = 36,63\ \text{Om}$$

Om qonuniga asosan yunib turgan cho'g'lanma lampochka volfram tolalining qarshiligi quyidagiga teng bo'ladi:

$$R_2 = \frac{U}{I} = \frac{120}{0,3} = 400\ \text{Om}$$

Ikkinchi tomondan qizigan tolalning qarshiligi  $R_2 = R_0(1 + \alpha t_2)$ , undan tolalning  $t_2$  temperaturasi topib hisoblaymiz:

$$t_2 = \frac{R_2 - R_0}{\alpha R_0} = \frac{400 - 36,63}{4,6 \cdot 10^{-3} \cdot 36,63} = \frac{363,37 \cdot 10^1}{4,6 \cdot 36,63} = 2157^\circ\text{C}$$

38-masala. Ko'ndalang kesim yuzi  $S=0,5\text{sm}^2$  bo'lgan metall o'tkazgichdan  $I=3\text{A}$  tok o'tadi. Agar metalldagi erkin elektronlarning konsentratsiyasi  $n = 4 \cdot 10^{28}\ \text{m}^{-3}$  teng bo'lsa, elektronlar dreyfining o'rtaacha tezligi  $U_{d'v}$  topilsin.

Elektronning zaryadi  $e = 1,6 \cdot 10^{-19}\ \text{Kl}$  ga teng.

**Berilgan:**  $S=0,5\text{sm}^2$ ,  $I=3\text{A}$ ,  $n = 4 \cdot 10^{28}\ \text{m}^{-3}$

$$e = 1,6 \cdot 10^{-19}\ \text{Kl}$$

$$U_{d'v} = ?$$

**Yechish.** Metallarning elektron o'tkazuvchanlik nazariyasiga asosan o'tkazgichdan o'tayotgan elektr tokining zichligi  $j = \frac{I}{S}$  metallardagi erkin

elektronlarning zaryadi  $e$ , konsentratsiyasi  $n$  va elektronlar dreyfining o'rtaacha tezligi  $j = en U_{d'v}$ . Bundan topish kerak bo'lgan elektronlar dreyfining o'rtaacha tezligi quyidagicha topiladi

$$U_{d'v} = \frac{j}{en} = \frac{I}{enS}$$

Son qiymatlarini o'rni qo'yib hisoblaymiz:

$$U_{d'v} = \frac{1}{enS} = \frac{3\text{A}}{1,6 \cdot 10^{-19} \cdot 4 \cdot 10^{28} \cdot 0,5 \cdot 10^{-4}} = 0,94 \cdot 10^{-4}\ \text{m/s} = 94\ \text{mikn/s}$$

39-masala. Qarshiligi  $R=20\ \text{Om}$  bo'lgan o'tkazgichdagi tok kuchi  $\Delta I = 2\text{S}$  vaqt davomida chiziqli qonung binoan  $I_0=0$ dan  $I_{\text{max}}=6\text{A}$  gacha ortadi. O'tkazgichda birinchi va ikkinchi sekundlarda ajralib chiqqan  $Q_1$  va  $Q_2$  issiqlik miqdori hamda bu issiqlik miqdorlarining nisbati  $Q_1 / Q_2$  aniqlansin.

**Berilgan:**  $\Delta I = 2\text{S}$   $I_0=0$ ,  $I_{\text{max}}=6\text{A}$ .

$$\frac{R=20\ \text{Om}}{Q_1 \rightarrow Q_2 \rightarrow Q_1 / Q_2}$$

**Yechish.**  $Q = I^2 R t$  Joule-Lenz qonuni o'zgarmas tok ( $I = \text{const}$ ) uchun qo'llanilishi mumkin. Agar o'tkazgichdagi tok kuchi o'zgaruvchan bo'lsa, yuqoridagi qonun faqat vaqtning cheksiz kichik oraliq' uchunгина o'rinni va

$$dQ = I^2 R dt \quad (1)$$

ko'rinishda yoziladi.

bu yerda, tok kuchi  $I$  vaqtning qandaydir funksiyasi bo'ladi.

Bu holda

$$I = kt \quad (2)$$

bunda,  $k$  - proporsionallik koeffitsiyenti bo'lib, tok kuchi orttirmasining bu ortish ro'y bergan vaqt oraliq' nisbatiga tengdir:

$$k = \frac{\Delta I}{\Delta t}$$

(2) tenglikni hisobga olganda (1) tenglamma

$$dQ = k^2 R t^2 dt \quad (3)$$

ko'rinishda bo'ladi.

Chekli  $\Delta t$  vaqt oraliq'ida ajralgan issiqlik miqdorini aniqlash uchun (3) ifodani  $t_1$  dan  $t_2$  gacha oraliqda integrallash kerak:

$$Q = k^2 R \int_{t_1}^{t_2} t^2 dt = \frac{1}{3} k^2 R (t_2^3 - t_1^3)$$

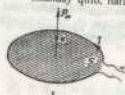
Birinchi sekunda ajralib chiqqan issiqlik miqdorini aniqlashda integrallash chegaralari  $t_1=0$ ,  $t_2=1\text{s}$  bo'ladi va natijada  $Q_1=60\text{J}$ .

Ikkinchi sekunda esa integrallash chegaralari  $t_1=1\text{s}$ ,  $t_2=2\text{s}$  bu holda,  $Q_2=420\text{J}$ , ya'ni ikkinchi sekundda birinchi sekunddagiga nisbatan 7 marta ko'p issiqlik miqdori ajraladi.

## XII bob. MAGNIT MAYDON

### 12.1. Magnit maydon va uning xarakteristikasi

XVIII asrdayoq fransuz fizigi Arago tomonidan chaqmoq razryadi natijasida temir buyumlarining magnitlanishi, kompassni esa magnitsizlanish hodisasi o'z kitoblarida bayon etilgan edi. Bu hodisa magnit hodisalari bilan elektr hodisalari o'rtasida bog'liqlik mavjudligini ko'rsatardi. Bunday farazning to'g'ri ekanligini 1820-yilda daniyalik fizik Ersted o'z tajribasida to'g'ri tokning magnit streklasiga ta'siri orqali tasdiqladi. Tinch turgan zaryad magnit streklasiga ta'sir qilmaydi, faqat harakatlanayotgan elektr zaryadlariga magnit ta'siriga egadir.



12.1-rasm.

Shunday qilib, harakatlanayotgan elektr zaryadlari atrofida maydonning yana bir turi — **magnit maydonni** hosil bo'lishi aniqlandi. Elektrostatik maydonni tekshirganimizda bir *«sinov»* zaryadidan foydalanigan edik. Endi magnit maydonni tekshirishda magnit streklasidan yoki *«sinov»* konturini deb ataladigan tokli berk konturdan foydalanamiz (12.1-rasm). Konturning xarakteristikasi sifatida konturdan o'tayotgan tok kuchi  $I$  bilan kontur yuzi  $S$  ko'paytmasiga miqdordan teng bo'lgan va konturning musbat normalini bo'ylab yo'nalgan vektordan foydalaniladi, ya'ni

$$\vec{P}_m = I S \vec{n} \quad (12.1)$$

vektorni konturning **magnit momenti** deb ataladi. 12.1 dagi  $\vec{n}$  — musbati normal yo'nalishdagi birlik vektordir. Parva qoidasidan foydalansak, parva dastasining aylanma harakati yo'nalishi konturdagi tokning yo'nalishi bilan mos tushsa, uning ilgarihlama harakati yo'nalishi esa kontur yuziga o'tkazilgan musbat normalning yo'nalishini ko'rsatadi (12.1-rasm).

*Sinov* konturini magnit maydoniga kiritganimizda maydon konturga yo'naltiruvchi ta'sir ko'rsatib, uni musbat normal bilan ma'lum yo'nalishga berishini ko'rsatib. Agar konturini normal yo'nalishi bilan maydon yo'nalishi mos kelmaydigan qilib joylashtirsak, konturini muvozanat holatiga qaytaruvchi aylanma moment hosil bo'ladi. Momentning kattaligi normal bilan maydon yo'nalishi orasidagi burchakka bog'liq bo'lib, burchak  $\alpha$  teng bo'lganda aylantiruvchi moment o'zining maksimal  $M_{max}$  qiymatiga erishadi. Magnit maydonning berilgan nuqtasiga  $R_m$  ning qiymatlari turlicha bo'lgan sinov konturlarini navbatma-navbat kiritsak, ularga ta'sir etadigan aylantiruvchi momentlarning maksimal qiymatlari  $|M_{max}|$  han turlicha bo'ladi. Lekin  $M_{max}/R_m$  nisbat barcha konturlar uchun bir xil bo'lganligidan, uni maydonning miqdoriy xarakteristikasi deb qarash mumkin.

Har bir sinov konturiga ta'sir etuvchi  $|M_{max}|$  ni  $|R_m|$  ga nisbati, magnit maydonning ayni nuqtasi uchun o'zgarmas kattalik bo'lib, **magnit induksiya vektori** ( $V$ ) deb ataladi.

$$B = \frac{M_{max}}{P_m} \quad (12.2)$$

Magnit induksiya vektori  $V$  ning yo'nalishi  $M$  va  $R_m$  yo'nalishlari bilan quyidagicha bog'langan

$$M = [P_m B] \quad (12.3)$$

Magnit induksiya vektorining SI dagi birligi **Tesla** ( $T$ ) deb ataladi.

$$1T = \frac{1N \cdot m}{1A \cdot m^2} = 1 \frac{N}{A \cdot m}$$

(12.2) ga binovan magnit maydonning induksiya vektorini quyidagicha ta'riflash mumkin.

**Magnit maydonning biror nuqtasidagi induksiya vektori** deb, maydonning *shu nuqtasiga kiritilgan, magnit momenti bir-birlikka teng bo'lgan sinov konturi* ga ta'sir qiluvchi maksimal aylantiruvchi kuch momentiga miqdor *ijhtidan teng bo'lgan fizik kattalikka* aytiladi.

Magnit maydonni grafik usulda tasvirlash uchun **magnit induksiya chiziqlaridan** foydalaniladi. Magnit induksiya chiziqlari deb shunday egri chiziqlarga aytiladi, ular har bir nuqtasida magnit induksiya vektori urtina ravishida yo'nalgandir.



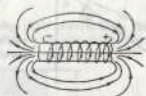
12.2-rasm.

Magnit induksiya chiziqlarining zichligi, ya'ni magnit induksiya vektoriga perpendikular joylashgan bir-birlik yuza orqali o'tuvchi induksiya chiziqlarining soni, maydonning ushbu sohasidagi magnit induksiya vektorining miqdorini belgilaydi. Maktab fizika kursidan ma'lumki, yupqa qatlam qilib temir qipiqdari sepilgan kardanon vertikal o'tkazilgan to'g'ri tok atrofida vujudga kelgan magnit maydoni markazi vertikal o'qda yotgan konsentrik aylanalardan iborat bo'ladi (12.2-rasm).

Magnit induksiya chiziqlarining yo'nalishini aniqlashda parva qoidasidan foydalanamiz: agar o'ng parmaning ilgarihlama harakati tokning yo'nalishi bilan mos tushsa, parva dastasining aylanish yo'nalishi magnit induksiya chiziqlarining yo'nalishini ko'rsatadi.



12.3-rasm.



12.4-rasm.

Aylana shaklidagi tokli o'tkazgich atrofidagi temir qipiqdari konsentrik aylanalari hosil qilmasdan, berk yopiq chiziqlar bo'ylab joylashadi (12.3-rasm).

Bu holda aylanma tok uchun parva qoidasini quyidagicha qo'llash mumkin: agar parva dastasini aylanma tok yo'nalishida aylantirsak, parmaning ilgarihlama





12.5-rasm.

chiziqlardan iborat bo'ladi.

### 12.2. Bio-Savar-Laplas qonuni

Bio va Savar har kil shakldagi toklarning magnit maydonlarini o'rganar ekanlar, ular barcha hollarda magnit induksiya o'kazgichdagi tok kuchi  $I$  ga to'g'ri proporsional, o'kazgichdan magnit induksiya aniqlanadigan masofa  $r$  ning kvadratiga esa teskari proporsional ekanligini aniqladilar. Laplas, Bio va Savar tajribalarining natijalarini analiz qilib, istalgan tokning magnit maydonini, tokning alohida elementar bo'lakchalari hosil qilgan maydonlarning vektor yig'indisi sifatida hisoblash mumkinligini aniqladi, ya'ni

$$B = B_1 + B_2 + B_3 + \dots + B_n = \sum_{i=1}^n B_i \quad (12.4)$$

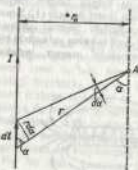
(12.4) ifoda bir necha elementar toklar tufayli mavjud kelgan magnit induksiya vektorining *superpozitsiya prinsipi* deyiladi. Har bir tok elementi (12.5-rasm) mavjud kelgan maydonning magnit induksiya

$$dB = \frac{\mu_0 I dl r}{4\pi r^2} \quad (12.5)$$

munosabat bilan aniqlanadi,  $dB$  ning modulini quyidagicha yozamiz:

$$dB = \frac{\mu_0}{4\pi} \frac{I dl \sin \alpha}{r^2} \quad (12.6)$$

Bu munosabatlar Bio-Savar-Laplas qonunini ifodalaydi, (12.5) va (12.6) larda  $r$  - tok elementidan magnit induksiya aniqlanayotgan nuqtaga o'kazilgan radius-vektor,  $\alpha$  - o'kazgichning elementar bo'lagi  $dl$  bilan  $r$  orasidagi burchak;  $\mu_0 = 4\pi \cdot 10^{-7} \text{ N/A}^2$  bo'lib, *magnit doimiyi* deb ataladi.



12.6-rasm.

harakati aylanna tok ichidagi magnit induksiya chiziqlarining yo'nalishini ko'rsatadi.

Endi 12.4-rasmda ko'rsatilgan g'altakdan o'tayotgan tokni umumiy o'qqa ega bo'lgan aylanna toklar sistemasi deb qarab, uning magnit maydonining grafik tasvirini ko'raylik. G'altakning ichki qismida magnit induksiya chiziqlari g'altak o'qiga parallel chiziqlardan iborat bo'ladi.

G'altak uchlariga yaqinlashgan sari magnit maydon induksiya chiziqlari egr chiziqlarga aylanadi va g'altakning tashqarisida o'zaro tutashib yopiq chiziqlarga aylanadi.

Shunday qilib, har qanday tokli o'kazgichlarning shakllaridan qat'i nazar, bu o'kazgichlar atrofiga hosil bo'lgan magnit induksiya chiziqlari berk

Bio-Savar-Laplas qonunining ba'zi natijalarini ko'raylik.

1. Cheksiz uzun to'g'ri o'kazgichdan o'tayotgan  $I$  tok tufayli mavjud kelgan maydonning  $A$  nuqtadagi magnit induksiya  $V$  ni hisoblaylik.  $V$  ning qiymati  $dB$  lar modulillarining yig'indisidan iborat bo'ladi. (12.5) dan foydalanarak:

$$B = \int dB = \frac{\mu_0 I}{4\pi} \int \frac{dl}{r^2} \sin \alpha \quad (12.7)$$

12.6-rasmdan  $r = \frac{r_0}{\sin \alpha}$ ;  $dl = \frac{r d\alpha}{\sin \alpha} = \frac{r_0 d\alpha}{\sin^2 \alpha}$  ekanligini aniqlab uni (12.7) ga

qo'yamiz:

$$B = \frac{\mu_0 I}{4\pi} \int_0^{\pi} \frac{r_0 d\alpha \sin^2 \alpha \sin \alpha}{\sin^2 \alpha r_0^2} = \frac{\mu_0 I}{4\pi} \frac{1}{r_0} \int_0^{\pi} \sin^3 \alpha d\alpha = \frac{\mu_0 I}{2\pi r_0} \quad (12.8)$$

hosil bo'ladi.

Demak, cheksiz uzun to'g'ri tokning magnit induksiya o'kazgichdan o'tayotgan tok kuchiga to'g'ri proporsional va induksiya o'lchanayotgan nuqtaning o'kazgichdan uzoqligiga teskari proporsional ekan.

2.  $I$  tok o'tayotgan  $R$  radiusli aylana shakldagi o'kazgichning markazidagi magnit maydon induksiya

$$B = \frac{\mu_0 I}{2\pi R} \quad (12.9)$$

long bo'ladi.

3. G'altak (markazlari umumiy o'qda yotuvchi bir-biri bilan ketma-ket ulangan aylanna toklar yig'indisidir) ichidagi magnit maydonning induksiya

$$B = \mu_0 n_0 I \quad (12.10)$$

bo'ladi. Bunday  $n_0 = n/l$  g'altakning birlik uzunligidagi o'ramlar soni,  $n_0 I$  ko'paytma esa birlik uzunlikdagi amper-o'ramlar soni deb ataladi.

4. Toroid (G'altakni egib halqa shakliga keltirilgan) ichidagi  $V$  quyidagi formula bilan aniqlaydi:

$$B = \mu_0 \frac{n}{2\pi r} I \quad (12.11)$$

Bunda  $l = 2\pi r$  toroid uzunligi  $r$  - halqa markazidan barcha o'ramlar markazlarigacha bo'lgan masofa.

12.3. Magnit maydondagi tokli o'kazgichga ta'sir qiluvchi kuch. Amper kuchi Magnit maydondagi tokli o'kazgichga ta'sir qiluvchi kuchlarni aniqlash masalasini fransuz olimi Amper hal qilgan.



12.7-rasm.

Magnit maydonning tokli o'kazgicha ta'sir qiluvchi kuchini quyidagi qurilma yordamida kuzatish mumkin (12.7-rasm).  $dI$  uzumlikdagi tokli o'kazgichni bir jinsi magnit maydonida ( $V=const$ ) erkin ko'cha oladigan qilib o'rnataylik. Raunda tasvirlanganidek, ikkita metall stjerlan ustiga ko'ndalang qilib joylashtirilgan  $dI$  o'kazgichdan tok o'tkazaylik. Bu tokli o'kazgichga chizma tekisligiga perpendikular ravishda yo'nalgan magnit maydonning ta'sir etuvchi Amper kuchining qiymati

$$dF_A = I [Bdl] \quad (12.12)$$

ifoda bilan, uning moduli esa

$$dF_A = I Bdl \sin \alpha \quad (12.13)$$

tenglama bilan aniqlanadi. Bunda  $\alpha$ -dl bilan  $V$  vektor orasidagi burchak (12.12) va (12.13) munosabatlar Amper kuchini ifodalaydi. Bu kuchning yo'nalish  $dI$  elementning ko'chish yo'nalishi bilan mos tushganligi uchun bajarilgan ish

$$dA = dF_A \cdot b = I \cdot Bdl \cdot b \quad (12.14)$$

$dI \cdot b = dS$  deb olsak, (12.14) quyidagi ko'rinishni oladi:

$$dA = I \cdot B dS = I \cdot d\Phi \quad (12.15)$$

bunda,  $dF$ —kontur yuzi  $dS$  ni kesib o'tayotgan magnit oqimidir.

Amper kuchi  $d\vec{F}_A$ , o'kazgich va magnit maydon induksiya vektori  $\vec{B}$  yotgan tekislikka perpendikular yo'nalgan bo'lib, uning yo'nalishini quyidagi chap qo'l qoidasi bilan aniqlanadi.

Agar chap qo'lning ochiq kaftiga  $\vec{B}$  induksiya vektorining o'kazgich uzunligi  $dI$  ga perpendikular tashkil etuvchisi tushayotganda, to'rt barmoq tokning yo'nalish bilan mos tushsa, bosh barmoq o'kazgichga ta'sir qiluvchi  $dF_A$  Amper kuchining yo'nalishini ko'rsatadi.

#### 12.4. Lorens kuchi

Bir 12.3 da magnit maydondagi tokli o'kazgichga ta'sir etuvchi kuch, ya'ni Amper kuchi bilan tanishib o'tdik, lekin Amper kuchining paydo bo'lish sabablariga e'tibor bermadik.

Magnit maydondagi tokli o'kazgichga ta'sir etuvchi kuch harakatlanuvchi alohida zaryadlarga ta'sir etuvchi kuchlar yig'indisidan iborat, bundan esa ta'sir zaryadlardan ular harakatlanayotgan o'kazgichlarga berilishi mumkin degan fikrni Lorens berdi. Shuning uchun Amper qonuni (12.12) dan foydalanib, magnit maydonida harakatlanayotgan zaryadga ta'sir etuvchi kuchni topaylik. O'kazgichdan o'tayotgan tok kuchi (11.2) va (11.3) ga asosan:

$$I = jS = qnuS \quad (12.16)$$

ekanini eslab, (12.16) ni har ikkala tomonini  $dI$  ga ko'paytiraylik, u holda quyidagini olamiz:

$$IdI = qunS dI = qu ndV \quad (12.17)$$

bu yerda,  $s$  — o'kazgichning ko'ndalang kesim yuzi,  $n$  — o'kazgichning birlik hajmdagi zaryad tashuvchilarning soni,  $u$  — zaryad tashuvchining tartibli harakat tezligi,  $q$  — uning zaryadi,  $dV = Sdl$  — o'kazgich elementining hajmi. Agar  $n$   $dV$  ni,

$dV$  hajmdagi zaryad tashuvchilarning sonini  $dn$  deb belgilasak (12.17) quyidagicha yoziladi:

$$IdI = qundn \quad (12.18)$$

Bu ifodani Amper kuchi bilan solishtirib

$$dF = [uB]qdn \quad (12.19)$$

ifodani hosil qilamiz.

(12.19) ifoda  $dn$  dona harakatlanuvchi zaryad tashuvchiga magnit maydon tomonidan ta'sir etuvchi kuchni xarakterlaydi.

Bir dona zaryad tashuvchiga ta'sir etuvchi kuch Lorens kuchi deb ataladi:

$$F_L = \frac{dF}{dn} = q [uB] \quad (12.20)$$

Lorens kuchining yo'nalishini ham Amper kuchiga o'xshab, chap qo'l qoidasi bilan aniqlanadi (12.3 ga qarang).

12.8-rasm.

Amper kuchiga o'xshab, chap qo'l qoidasi bilan aniqlanadi (12.3 ga qarang).

#### 12.5. Zaryadli zarralarning magnit maydondagi harakati. Siklotron

Magnit maydonda kiran zaryadli zarralarning bir necha holini ko'raylik.

1. Zaryadli zarraning harakat yo'nalishi magnit induksiya chiziqlari bo'ylab sodir bo'lganda,  $u$  va  $V$  vektorlari orasidagi burchak  $\alpha = 0$  yoki  $\alpha = \pi$  ga teng. Bunda  $F_L = 0$  bo'ladi. Demak, bu holda magnit maydon zaryadli zarrani ta'sir qilmaydi.

2. Agar  $u$  va  $V$  orasidagi burchak  $\alpha = \pi/2$  yoki  $3\pi/2$  ga teng bo'lsa,  $F_L = quB$  bo'ladi. Bunda kuch ta'sirida zarra aylana bo'ylab harakatlanadi. Aylana radiusi  $R$  ni Lorens kuchini markazdan qo'chma kuchga tenglab topamiz:

$$quB = \frac{mu^2}{R} \quad \text{bundan} \quad R = \frac{mu}{qB} \quad (12.21)$$

ekanligi kelib chiqadi.

(12.21) dagi  $m$  — zarraning massasi,  $q$  — zarraning zaryadi.

Zarraning aylanish davri

$$T = \frac{2\pi R}{u} = \frac{2\pi mu}{u qB} = \frac{2\pi m}{qB} \quad (12.22)$$

va  $V$  ning aniq qiymatlarini bilsak  $q/m$  ni aniqlash mumkin bo'ladi.

3. Zarra tezligi magnit maydon yo'nalishi bilan ixtiyoriy  $\alpha$  burchak tashkil etsin. Bu vaqtda harakatlanayotgan zarralarga magnit maydon ko'rsatadigan ta'sirdan siklik tezlatgichlar (siklotron, sinxrotron, sinxrofizotron), magnitogidrodinamik generatorlarda foydalaniladi.



12.9-rasm.

Siklotron zaryadlangan elementar zarralar (elektron, proton, alfa va boshqa shu kabi zarralar)ni yorug'lik tezligi  $S = 3 \cdot 10^8$  m/s ga yaqin tezliklarga cha tezlashtiruvchi qurilma. Bunday zarralar atom yadrolarini o'rganishda, radioaktiv izotoplar olibshda va shunga o'xshash maqsadlarda foydalaniladi.

Siklotronning asosiy qismi kuchli elektromagnitdir. Bu elektromagnit qutblari orasida yarim doira shaklidagi yassi silindr-vakuum kamerasi joylashgan. Bu kamera duant deb ataluvchi  $D$ -simon ikki bo'lak  $D_1$  va  $D_2$  lardan iborat. Duanntlar elektrodlar vazifasini ham o'taydi. Ular o'zgaruvchan kuchlanishi yuqori chastotali generatsioning qutblariga ulangan. Shuning uchun duantlar navbatma-navbat g'oh musbat, g'oh manfiy zaryadlanib turadi. Elektr maydon faqat duantlar oraliq'idaги tirqishdagina mavjud bo'ladi. Tezlatilishi lozim bo'lgan zaryadli zarralar kamerasga maxsus qurilma (ramda  $S$  deb belgilangan) oqali kiritiladi.

Kamera kiritilgan musbat zaryadli zarralardan birining harakatini kuzataylik. Zarra darhol manfiy zaryadlangan duant tomon tortiladi. Duant ichida zarraning harikat yo'nalishiga perpendikular bo'lgan magnit maydon zarrani aylanna orbita bo'ylab harakatlantirishga majbur etadi. Zarra yarim aylannani bosib o'tgach, yana duantlar oraliq'idaги tirqishga yetib keladi. Lekin o'tgan vaqt ichida maydon yo'nalishini o'zgartirgan bo'ladi. Shuning uchun zarra ikkinchi duant tomon tortilib tezlashadi. Ikkinchi duant ichida yarim aylannani bosib o'tadi va ya'ni tirqishga yetib keladi. Bu yerda uchinchi marta tezlashadi va hokazo.

Har safardan so'ng zarraning tezligi va orbitasining radiusi ortib boradi. Shunday qilib, zarraning trayektoriyasi spiralsimon yoyilib boradi. Zarra duantlar chetiga juda katta tezlikda yetib keladi va undan og'irliruvchi elektrod ta'sirida tashqariga katta kinetik energiya bilan uchib chiqadi. Masalan, proton siklotron yordamida  $25$  MeV energiyagacha tezlatilishi mumkin.

### Savollar

- Magnit maydoni va uni xarakterlovchi kattaliklar –magnit momenti ( $\mu_B$ ), magnit induksiya vektori ( $B$ ) va aylantiruvchi momentlarni maksimum qiymatlari ( $M_{max}$ ) orasidagi bog'lanishni ifodalang.
- Magnit induksiya chiziqlarining yo'nalishini aniqlashda qanday qoidadan foydalanamiz va u qanday ta'riflanadi.
- Bio-Savar-Laplas qonuni qanday ifodalanadi va uning ba'zi ta'tbiqlarini ko'rsating.
- Magnit maydonidagi tokli o'tkazgichga ta'sir qiluvchi Amper kuchi va magnit maydonida harakatlantayotgan zaryadga ta'sir etuvchi Lorens kuchlari o'rtasida qanday umumiylik mavjud hamda ularning yo'nalishlari qanday qoida bilan aniqlanadi?
- Siklotronning tuzilishi, ishlash prinsipi va undan qanday maqsadlarda foydalanish mumkinligini ayting.

### Masalalar

**40-masala.** Uzunligi  $l=20$  sm va diametri  $D=5$  sm g'altak tayyorlash kerak. uning hosil qiladigan magnit maydon kuchlanganligi  $H=1008$  A/m bo'lsin. Quyidagilarni hisoblang: a) bu g'altaklarning  $I_0$  amper - o'ramlari sonini; b) agar bi diametri  $d=0,5$  mm bo'lgan mis simdat tayyorlangan bo'lsa, g'altak uchlariga beriladigan  $U$  potentsiallar ayirmasini toping. Misting so'xtirima qarshiligi  $\rho = 1,71 \cdot 10^8$  Om m.

$$\text{Berilgan: } l=20\text{sm}, D=5\text{sm}=0,05\text{m}, H=1008\text{ A/m}, \\ d=0,5\text{mm}=0,5 \cdot 10^{-4}\text{m}, \rho=1,71 \cdot 10^8\text{ Om m} \\ I_0^{-1}, U^{-1}$$

**Yechish.** a) g'altak ichidagi magnit maydon kuchlanganligini hisoblash formulasiga muvofiq  $H = \frac{In}{l}$  bu yerda,  $n$  - g'altak o'ramlari soni,  $l$  - undagi tok.

kuchi. U holda  $In=HI=1008\text{A/m} \cdot 0,2\text{m} = 201,6\text{A}=201,6$  amper-o'ram (12,2 ga qarang).

b) Om qonuniga ko'ra  $U=IR=I\rho \frac{l}{S}$  bu yerda,  $R$  - sinning qarshiligi.

$S = \frac{\pi d^2}{4}$  -sinning ko'ndalang kesim yuzi,  $h = \pi Dn$  -sinning uzunligi, shuning uchun

$$U = \frac{4\rho D(In)}{d^2} = \frac{4 \cdot 1,71 \cdot 10^8 \cdot 0,05 \cdot 201,6}{25 \cdot 10^{-4}} = 2,76\text{V}$$

**41-masala.** Magnit maydon kuchi chiziqlariga  $\alpha = 30^\circ$  burchak ostida joylashgan  $l=0,25$  m uzunlikdagi to'g'ri o'tkazgichga  $F_A=3\text{N}$  kuch bilan ta'sir qiladi. Agar o'tkazgichdagi tok kuchi  $I=30\text{A}$  bo'lsa, magnit maydonning  $V$  induksiyani topilsin.

$$\text{Berilgan: } \alpha = 30^\circ, F_A=3\text{N} \\ l=0,25\text{m}, I=30\text{A} \\ B^{-1}$$

**Yechish.** Amper qonuniga binon, magnit maydonidagi tokli o'tkazgichga  $F_A = IlB \sin \alpha$  kuch ta'sir qiladi. Bundan izlanayotgan magnit maydonning  $V$  induksiya vektori quyidagicha topiladi.

$$B = \frac{F_A}{Il \sin \alpha}$$

bunda,  $l$  - o'tkazgichdan o'tayotgan tokning kuchi,  $l$  - o'tkazgichning uzunligi,  $\alpha$  - magnit kuch chiziqlari bilan o'tkazgich orasidagi burchak. Oxirgi ishchi formulasiga kirgan barcha fizik kattaliklarning qiymatlarini o'rninga qo'yib hisoblashni bajaramiz:

$$B = \frac{F_A}{Il \sin \alpha} = \frac{3}{30 \cdot 0,25 \cdot \sin 30^\circ} = \frac{1}{10 \cdot 0,25 \cdot 0,5} = 0,8\text{T}$$

**42-masala.** Induksiyasi  $B=10^{-3}\text{T}$  bo'lgan bir jinsli magnit maydonida  $R=1,5$  sm radiusli aylanna bo'ylab harakatlantayotgan elektronning  $U$  tezligi topilsin. Elektron massasi  $m = 9,1 \cdot 10^{-31}\text{kg}$  va zaryadi  $e = 1,6 \cdot 10^{-19}\text{KJ}$  ga teng.

$$\text{Berilgan: } R = 1,5 \cdot 10^{-2}\text{m}, B = 10^{-3}\text{T}, \\ m = 9,1 \cdot 10^{-31}\text{kg}, e = 1,6 \cdot 10^{-19}\text{KJ} \\ U^{-1}$$

**Yechish.** Magnit maydonda harakatlanayotgan elektronga ta'sir qiluvchi natijali

kuch  $F_A = e v B \sin \alpha$  Lorens kuchi va markazga intilma kuch  $F_{m,i} = \frac{m v^2}{R}$  dan iborat bo'lgani uchun elektronning harakat trayektoriyasi aylananan iborat bo'ladi. Demak,

$$e v B \sin \alpha = \frac{m v^2}{R}$$

hunda,  $l$  - elektronning zaryadi,  $m$  - uning massasi,  $v$  - esa harakat tezligi,  $R$  - harakat trayektoriyasining egrilik radiusi,  $\alpha$  - elektron harakat yo'nalishi bilan magnit maydon kuch chiziqlari orasidagi burchak.

Yuqoridagi tenglikdan elektron tezligini topsak,

$$v = \frac{e B R \sin \alpha}{m}$$

Masalada berilgan kattaliklarning son qiymatlarini o'rniga qo'yib  $U$  ni topamiz:

$$U = \frac{e B R \sin \alpha}{m} = \frac{1,6 \cdot 10^{-19} \cdot 10^{-3} \cdot 1,5 \cdot 10^{-3} \cdot \sin 90^\circ}{9,1 \cdot 10^{-31}} = \frac{1,6 \cdot 1,5 \cdot 10^7}{9,1} = 0,264 \cdot 10^7 \frac{\text{J}}{\text{kgm}} = 2,64 \cdot 10^6 \frac{\text{m}}{\text{s}}$$

**43-masala.** Magnit qutblari orasida joylashtirilgan  $r=10$  sm radiusli sim o'ramiga  $M_{\text{max}}=6,5 \text{ mK}$  maksimal mexanik moment ta'sir qilmoqda. O'ramdagi tok kuchi  $I=2 \text{ A}$ . Magnit qutblari orasidagi maydonning magnit induksiyasi  $B$  aniqlansin. Yer magnit maydonining ta'siri inobatga olinmasin.

**Berilgan:**  $M_{\text{max}}=6,5 \text{ mK}$ ,  $I=2 \text{ A}$   
 $r=10 \text{ sm}=0,1 \text{ m}$   
 $B \sim ?$

**Yechish.** Magnit maydon induksiyasi  $B$  ni magnit maydonidagi tokli o'ramga ta'sir etuvchi mexanik momentning ifodasidan aniqlash mumkin:

$$M = P_m B \sin \alpha \quad (1)$$

Agar mexanik momentning maksimal qiymati  $\alpha = \frac{\pi}{2}$  da ( $\sin 90^\circ=1$ ) bo'lishini hamda  $P_m = IS$  ekanligini hisobga olsak, (1) formula quyidagi ko'rinishini oladi.

$$M_{\text{max}} = IBS$$

Bundan  $S = \frac{M_{\text{max}}}{I B}$  ekanligini hisobga olib, quyidagini topamiz

$$B = \frac{M_{\text{max}}}{I S} \quad (2)$$

(2) formulaga binoan hisoblash o'tkazamiz  $B = 104 \text{ mKl}$ .

## XIII bob. ELEKTROMAGNIT INDUKSIYA

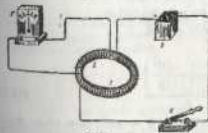
### 13.1. Elektromagnit induksiya hodisasi

Erted elektr toki yordamida magnit maydon olinishini tajribada ko'rsatdi. Erted tajribalari haqida xabar topgan ingliz fizigi M.Faradey aytilgan bog'lanishning ikkinchi tomonini - magnit hodisalari bilan elektr hodisalari orasida bog'lanishni axtarishga kirishdi. Faradey izlanishlari 10 yil davom etdi. U sabot-nimotat va tirishqoqlik bilan juda ko'p mehnat qildi, tinmay izlandi va nihoyat, magnit maydon yordamida elektr toki olishga muvaffaq bo'ldi. Faradey bu tokni induksion tok deb atadi. Faradey tajribalari bilan tashshaylik.

1. Agar doimiy magnit berk o'ranni g'altak ichiga kiritilsa yoki undan chiqarilsa (13.1-rasm), konturda induksion tok hosil bo'ladi: doimiy magnitning  $N$  qutbi g'altakka yaqinlashganda galvanometrlning strekasi bir tomonga, magnit g'altakdan uzoqlashtirilganda esa qarama-qarshi tomonga o'qadi, bu induksion tokning yo'nalishi o'zgariganidan dalolat beradi. Magnit qancha kuchli, uning harakati qancha tez va g'altak o'ramlari qancha ko'p bo'lsa, induksion tokning qiymati shuncha katta bo'ladi. Magnitning ikkinchi  $S$  qutbi bilan ham yuqoridagi tajribani qaytarish mumkin.

2. Bitta g'altakka bir-biridan izolatsiyalangan ikki sim o'ralgan bo'lsin. Birinchi o'ram kalli ( $K$ ) orqali tok manbai ( $B$ ) ga ulangan, ikkinchi g'altakning uchlari esa galvanometr ( $G$ ) ga ulangan. Birinchi o'ranni tok manbaga ulash va uzish vaqtda ikkinchi o'ramda qisqa muddatli induksion tok qayd qilingan. Bu hodisaga **elektromagnit induksiya** deb ataladi. Keyinchalik Faradey elektromagnit induksiya hodisasini yuqoridagidek turli xil variantlarda amalga oshirdi. Faradey tajribalarini tahlil qilib quyidagi xulosaga keldi.

**Induksion tok berk konturdan o'tuvchi magnit induksiya oqimining o'zgarishi tufayli vujudga keladi.** Induksion tokning qiymati magnit oqimining o'zgarish tezligi  $\frac{d\Phi}{dt}$  ga bog'liqdir.



13.2-rasm.

1833-yilda Lens induksiya tokining yo'nalishini aniqlaydigan umumiy qoidani tajriba yo'li bilan topdi, bu qoida **Lens qoidasi** deb ataladi: **Yopiq konturda hosil bo'lgan induksion tok shunday yo'nalgan bo'ladiki, uning xususiy magnit maydoni bu tokni vujudga keltirayotgan magnit induksiya oqimining o'zgarishiga to'sqinlik qiladi.** Biz ko'rgan barcha hodlarda induksion tokning yo'nalishi Lens qoidasiga mos kelayotganini ko'rish

mumkin. Masalan, I konturdagi tok o'rtiganda (13.2-rasm) ikkinchi kontur orqali o'tayotgan induksiya magnit oqimi ortadi.

Bu vaqida ikkinchi konturda hosil bo'lgan induksion tokning xususiy magnit maydoni birinchi konturning magnit maydoniga qarama-qarshi yo'nalgan bo'ladi. Bundan induksion tokning yo'nalishi birinchi g'altakda oqayotgan zosiy tokka qarama-qarshi yo'nalishda ekanligi kelib chiqadi. Induksion tokning yo'nalishini galvanometr strelkasini o'ng yoki chapga og'ishi orqali aniqlash mumkin. Magnitning shimoliy qutbini g'altakdan uzoqlashtirilganda (13.1b-rasm) kontur orqali o'tayotgan magnit induksiya oqimi kamayadi. Bu kamayishini oldini olish uchun induksiya tokining xususiy maydoni, endi asosiy tokning maydoniga mos yo'nalishda kerak. Bunda parva qoidasiga muvofiq induksion tok soat strelkasi yo'nalishida bo'ladi. Shunday qilib, yuqoridagilardan xulosa qilib. Lens qoidasini yana ham soddaroq ta'riflash mumkin: **Yopiq konturda hosil bo'lgan induksion tok shunday yo'nalgan, induksiyalovchi magnit oqim ko'payotganda induksion tokning xususiy magnit oqimi uni kamaytirishga va aksincha, kamayotganda uni ko'paytirishga intiladi.**



13.3-rasm.

Endi umumiyroq holdan foydalanib induksion elektr yurituvchi kuchni aniqlaylik. EYUK  $\mathcal{E}$  bo'lgan manbaga ulangan ixtiyoriy shaklidagi konturni magnit maydoniga joylashtriylik (13.3-rasm).

Bu manbaing  $dt$  vaqt ichidagi bajarigan to'liq ishi:

$$\mathcal{E} dA = Idt \quad (13.1)$$

bo'ladi. Bu ishning bir qismi elektr qarshiligi  $R$  bo'lgan konturdan Joule issiqligi ( $dQ$ ) sifatida ajralib chiqadi:

$$\mathcal{E} dA_1 = dQ = I^2 R dt \quad (13.2)$$

Ikkinchi qismi esa magnit maydonidagi tokli konturni bir vaziyatdan boshqa vaziyatga ko'chirishda sarf bo'ladi. Bunda bajarilgan ish (12.15) ga asosan:

$$dA_2 = Id\Phi \quad (13.3)$$

teng bo'ladi. Energiyaning saqlanish qonuniga asosan:

$$\mathcal{E} dA = dA_1 + dA_2$$

yoki

$$Idt = I^2 R dt + Id\Phi \quad (13.4)$$

Bu tenglamaning har ikki tomonini  $dt$  ga hadlab bo'lsak:

$$\mathcal{E} = IR + d\Phi/dt$$

bundan

$$I = \frac{\mathcal{E} - \frac{d\Phi}{dt}}{R} = \frac{\mathcal{E} + \left(-\frac{d\Phi}{dt}\right)}{R} \quad (13.5)$$

Bu ifodani EYUK  $\mathcal{E}$  bo'lgan tok manbaidan tashqari, yana kontur bilan chegarlangan yuzga orqali o'tuvchi magnit induksiya oqimining o'zgarishi tufayli

paydo bo'lgan qo'shimcha  $\left(-\frac{d\Phi}{dt}\right)$  EYUK li kontur uchun  $Om$  qonuni ifodasi deb qarash mumkin. Ana shu qo'shimcha EYUK **Induksiya elektr yurituvchi kuchidir:**

$$\mathcal{E}_i = -\frac{d\Phi}{dt} \quad (13.6)$$

Shunday qilib, Faradey xulosasiga muvofiq induksiya elektr yurituvchi kuchi magnit induksiya oqimining o'zgarish tezligiga proporsional bo'lib chiqadi. Bu ifodani **Faradey-Maksvell qonuni** deb ataladi. **Faradey-Maksvell qonuni kontur yuzi orqali o'tuvchi magnit oqimining har qanday o'zgarishi uchun o'rinlidir.** Induksiya elektr yurituvchi kuchining Si dagi birligi:

$$\begin{aligned} \mathcal{E}_{ind} &= \left[\frac{\Phi}{t}\right] = \frac{Vb}{s} = \frac{T_l \cdot m^2}{s} \\ T_l &= \frac{V \cdot S}{m^2} \\ \mathcal{E}_{ind} &= \frac{V \cdot S}{m^2} \cdot \frac{m^2}{s} = V \end{aligned}$$

kelib chiqadi.

Demak, kontur yuzi orqali o'tuvchi magnit oqim  $1 \text{ Vb/s}$  tezlik bilan o'zgarisa, konturda vujudga kelayotgan induksiya elektr yurituvchi kuchi  $1 \text{ V}$  ga teng bo'ladi:

$$1 \text{ V} = \frac{1 \text{ Vb}}{s}$$

### 13.2. O'zinduksiya va o'zaroinduksiya

Elektr toki oqayotgan har qanday o'tkazgich o'zining xususiy magnit maydonida joylashadi. Shuning uchun konturdan oqayotgan tok kuchining o'zgarishi natijasida xuddi shu konturning o'zida elektromagnit induksiyasi ro'y beradi. Bu hodisani **o'zinduksiya hodisasi** deyiladi.

Konturdan o'tayotgan tok tufayli vujudga kelgan magnit oqimi tok kuchiga proporsional bo'ladi, ya'ni:

$$\Phi = LI \quad (13.7)$$

bu yerda,  $L$  - konturning induktivligi, u konturning shakli va o'lchamlari hamda muhitning magnit singdiruvchanligiga bog'liq kattalikdir. Si da induktivlikning birligi - **genri (Gn)** deb ataladi.

$$|L| = \left|\frac{\Phi}{I}\right| = \frac{B\delta}{A} = Gn$$

Demak,  $1 \text{ Gn}$  shunday g'altakning induktivligi, bu g'altakdan  $1 \text{ A}$  o'zgarman tok o'tganda vujudga keladigan magnit oqimi  $1 \text{ Vb}$  bo'ladi. Uzunligi  $l$  o'rnamli soni  $n$  bo'lgan g'altakning induktivligi

$$L_c = \mu_0 \mu \frac{n^2 S}{l} \quad (13.8)$$

ifoda bilan aniqlanadi.

Konturning induktivligi o'zgararsa bo'lgan hol uchun o'zinduksiya EYUK

$$\mathcal{E}_{\text{ind}} = \frac{d\Phi}{dt} = -L \frac{dI}{dt} \quad (13.9)$$

ifoda bilan aniqlanadi. Demak, induktivligi  $IGn$  bo'lgan konturdan o'tayotgan tok kuchi  $I$  sekunda  $1A$  ga o'zgarsa, konturda  $IV$  o'zinduksiya EYUK vujudga keladi.



13.4-rasm.

Tokning boshqa (qo'shni) konturda o'zgarishi tufayli shu konturning o'zida induksion tokni hosil qilinishi o'zaro induksiyasi deb ataladi. Bkita kontur olaylik (13.4-rasm).

Birinci konturdan oqayotgan tok kuchining  $dI_1$  ga o'zgarishi ikkinchi kontur yuzini kesib o'tayotgan magnit oqimi

$$d\Phi_{21} = L_{21} dI_1 \quad (13.10)$$

ga o'zgaradi. Bu esa o'z navbatida ikkinchi konturda

$$\mathcal{E}_2 = -\frac{d\Phi_{21}}{dt} = -L_{21} \frac{dI_1}{dt} \quad (13.11)$$

induksiya EYUK ni vujudga keltiradi. Xuddi shuningdek, ikkinchi konturdan oqayotgan tok kuchining  $dI_2$  ga o'zgarishi tufayli birinchi kontur yuzini kesib o'tayotgan magnit oqimi

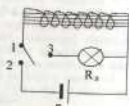
$$d\Phi_{12} = L_{12} dI_2 \quad (13.12)$$

ga o'zgaradi. Natijada

$$\mathcal{E}_1 = -\frac{d\Phi_{12}}{dt} = -L_{12} \frac{dI_2}{dt} \quad (13.13)$$

induksiya EYUK vujudga keladi.

$L_{12}$  va  $L_{21}$  lar konturlarning o'zaro induktivligi deb ataladi. Tajribalar va nazariya ham  $L_{12} = L_{21}$  ekanligini isbotlaydi.



13.5-rasm.

### 13.3. Magnit maydon energiyasi

13.5-rasmda ko'rsatilgan zanjirni qarang chiqaylik. Avval knit bilan 1 va 2 klemmalarni ulasak, elektr yurituvchi kuchi  $\mathcal{E}$  bo'lgan tok manbai va induktivligi  $L$  bo'lgan g'altakdan iborat zanjir vujudga keladi. Bu zanjirdan o'tayotgan tok kuchi  $I$  ga teng bo'lganda, (12.10) asosan g'altak ichidagi magnit maydon induksiyasi:

$$B = \mu_0 \mu I \frac{n}{l} \quad (13.14)$$

ifoda bilan aniqlanar edi. Bunda,  $n$  - g'altakdagi o'ramlar soni,  $l$  - g'altakning uzunligi.

Endi 1 va 2 uzib 1 va 3 klemmalarni ulasak, induktivligi  $L$ , va aktiv qarshiligi  $R$ , dan iborat berk kontur vujudga keladi. Bu tajribada zanjir manhadan uzilganda elektr lampochka yona boshlaydi. Buning sababi shundan iboratki,  $L$  da o'zinduksiya EYUK ta'sirida yuzaga kelgan tok lampa orqali o'tadi. Ammo lampaning yonishi uzoq vaqt davom etmaydi. Tok kuchi juda tez kamayadi. Tok kuchi  $I$  bilan birga magnit maydon induksiyasi  $I$  ham kamayadi. Bu hodisada lampa cho'g'lanish to'lanishning qizishi g'altak magnit maydoni energiyasi hisobiga bo'ladi. Bu energiyani hisoblash uchun zanjirdagi tok kuchining nolga cha kamayish vaqtida o'zinduksiya EYUK tomonidan bajarilgan ishi hisoblash kerak. Bu tokning  $dt$  vaqtda bajarigan ishi

$$dA = \mathcal{E}_{\text{ind}} I \cdot dt = \frac{d\Phi}{dt} = I \cdot dt = -I d\Phi \quad (13.15)$$

ga teng. Lekin g'altakdan o'tuvchi to'la oqimning o'zgarishi (13.10) ga asosan  $d\Phi = L dI$  bo'lgani uchun

$$dA = -L I dI \quad (13.16)$$

Bu ifodani tok kuchining o'zgarishi chegaralarida, ya'ni  $I$  dan  $\theta$  gacha bo'lgan intervalda integrallasak, zanjirni uzish vaqtida yo'qolgan magnit maydon energiyasi hisobiga bajarilgan ishini, ya'ni joul issiqligiga aylangan ( $R$  lampochkada) energiyani topamiz:

$$A = \int_I^\theta dA = -\int_I^\theta L I dI = \frac{LI^2}{2} \quad (13.17)$$

Demak, magnit maydon energiyasi

$$W_m = \frac{LI^2}{2} \quad (13.18)$$

ifoda bilan aniqlanadi. (13.8) va (13.14) dan foydalanib, (13.18)ni quyidagicha yozamiz:

$$W_m = \mu_0 \mu I \frac{n^2 S}{l} \left( \frac{BI}{\mu_0 \mu n} \right)^2 = \frac{B^2}{2\mu_0 \mu} S l = \frac{B^2}{2\mu_0 \mu} V \quad (13.19)$$

bu yerda,  $V = Sl$  g'altakning hajmidir. (13.19) ni  $V$  ga bo'lsak, birlik hajmga mos keluvchi magnit maydon energiyasini quyidagicha yozamiz:

$$w_m = \frac{W_m}{V} = \frac{B^2}{2\mu_0 \mu} \quad (13.20)$$

Bu ifodani magnit maydon energiyasining zichligi deb ataladi.

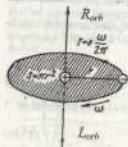
### 13.4. Moddalarning magnit xossalari

Moddaning magnitlanishi. Shu vaqtgacha biz magnit maydonni vakuumda o'rganib keldik. Endi magnit maydoniga moddani qanday ta'sir ko'rsatishini o'rganaylik. Agar magnit maydoniga biror modda olib kirsak, bu modda magnitlanib o'zining xususiy magnit maydoni  $V'$  ni vujudga keltiradi.

U vaqtda natijaviy magnit maydon induksiyasi quyidagidan iborat bo'ladi:

$$B = B_0 + B' \quad (13.21)$$

bu yerda,  $V_0$  - tashqi magnit maydon induksiyasi. Moddalarning magnit xususiyatlarini har tomonlama o'rganish maqsadida barcha moddalar uchun "magnetik" degan fizik tushuncha kiritiladi. Magnetiklarning xossalari ularning atomlari tarkibidagi proton, neytron va elektronlar bilan aniqlanadi.



13.6-rasm.

13.6-rasmda  $r$  radiusli orbita bo'ylab  $v$  tezlik bilan harakatlanayotgan elektron tasvirlangan. Elektronning burchak tezligi  $\omega = v/r$  bo'ladi. 1

sekunda yadro atrofida  $\frac{\omega}{2\pi}$  marta aylanayotgan elektronning bu harakati tok kuchi

$$I = e \frac{\omega}{2\pi} \quad (13.22)$$

teng bo'lgan aylanma tokka ekvivalentdir. Bunday mikro aylanma tok magnit momentining moduli quyidagicha topiladi:

$$P_{orb} = I \cdot S = \frac{\omega}{2\pi} \pi r^2 = \frac{e \omega r^2}{2} \quad (13.23)$$

Bu magnit moment elektronning orbita bo'ylab harakati tufayli vujudga kelayotganligi uchun uni *orbital magnit moment* deb ataladi.  $r$  - radiusli orbita bo'ylab  $v$  tezlik bilan harakat qilayotgan elektron qiymati

$$L_{orb} = mvr = m\omega r^2 \quad (13.24)$$

ga teng bo'lgan orbital mexanik momentga ham ega bo'ladi, bu yerda,  $m$  - elektronning massasi  $R_{\infty}$  va larning yo'nalishlari qarama-qarshi  $R_{\infty}$  ning  $L_{orb}$  nisbati *elektronning orbital giromagnitik nisbati* deyiladi va  $G_{orb}$  deb belgilanadi:

$$G_{orb} = \frac{P_{orb}}{L_{orb}} = \frac{e}{2m} \quad (13.25)$$

Orbital mexanik momentdan tashqari elektron xususiy mexanik moment spin ( $L_{sp}$ ) ga hamda unga mos ravishda *xususiy magnit moment* ( $R_{sp}$ ) ga ham ega. Elektron spinining absolut qiymati quyidagi (ifoda bilan aniqlanadi):

$$L_{sp} = \frac{\sqrt{3}}{2} \hbar \quad (13.26)$$

bu yerda,  $\hbar$  - Plank doimiysi ( $\hbar = 1,05 \cdot 10^{-34}$  J.s). Elektron spin magnit momentining absolut qiymati:

$$P_{sp} = \sqrt{3} \frac{e\hbar}{2m} = \sqrt{3} \mu_B \quad (13.27)$$

ifoda bilan aniqlanadi. Bu ifodadagi

$$\mu_B = \frac{e\hbar}{2m} = 0,927 \cdot 10^{-23} \text{ J/Tl} \quad (13.28)$$

*kattalik Bar magnetroni deb ataladi.* Elektronning spin giromagnitik nisbati:

$$G_{sp} = \frac{P_{sp}}{L_{sp}} = \frac{e}{m} \quad (13.29)$$

orbital giromagnit nisbatidan ikki marta katta. Elektron spinining xususiyati shundan iboratki, u magnit maydonda faqat ikki yo'nalishiga ega bo'ladi:

1. Magnit induksiya vektori  $V$  ga parallel. Bu holda spin va spin magnit momentlarining  $V$  yo'nalishiga proyeksiyalari mos ravishda

$$(L_{sp})_B = +1/2 \hbar \quad (13.30)$$

$$(P_{sp})_B = -\mu_B \quad (13.31)$$

qiymatlariga ega bo'ladi.

2. Magnit induksiya vektori  $V$  ga antiparallel. Bu holda

$$(L_{sp})_B = -1/2 \hbar \quad (13.32)$$

$$(P_{sp})_B = +\mu_B \quad (13.33)$$

Atom yadrosining tarkibidagi proton va neytronlarning magnit momentlari elektronning spin magnit momentidan taxminan ming marta kichik bo'lganligi uchun atomning magnit momenti atom tarkibidagi elektronlarning orbital va spin magnit momentlarining vektori yig'indisidan iborat deb hisoblash mumkin, ya'ni:

$$P_{\omega} = \sum P_{orb} + \sum P_{sp} \quad (13.34)$$

Tashqi maydon ta'sirida magnetiklar turlicha magnitlanadilar. Magnetiklarning magnitlanishlik darajasini xarakterlash uchun *magnitlanish vektori*  $J$  dan foydalaniladi:

$$J = \frac{\Delta P_{\omega}}{\Delta V} \quad (13.35)$$

bunda,  $\Delta V$  - magoetikning magnitlanish vektori aniqlanayotgan nuqtasi atrofidagi elementar hajm.

Bir jinsli magnitlangan magnetik uchun magnitlanish vektori birlik hajmdagi atomlar magnit momentlarining vektor yig'indisiga teng:

$$J = \frac{\sum \Delta P_m}{V}$$

Si da magnitlanish vektorining birligi

$$|J| = \frac{|\Delta P_{\omega}|}{|\Delta V|} = \frac{A \cdot m^2}{m^3} = \frac{A}{m}$$

bilan ifodalanadi.

*Magnetiklarning turlari.* Magnitlanish vektori  $J$  va magnit maydon kuchlanganligi  $N$  orasida quyidagicha bog'lanish bor:

$$H = \frac{B}{\mu_0} - j \quad (13.36)$$

ikkinchi tomondan

$$j = \chi_m H \quad (13.37)$$

bu yerda,  $\chi_m$  – magnetikning magnit xususiyatlarini ifodalovchi kattalik bo'lib, **magnit qabul qiluvchanlik deyiladi.**

$J$  va  $N$  larning o'ltahv birliklari bir xil bo'lgani uchun  $\chi_m$  o'lchamsiz kattalikdir.

$\chi_m$  musbat va manfiy qiymatlarga ega bo'la oladi.

$J$  ning (13.37) ifodasini (13.36) ga qo'yamiz:

$$H = \frac{B}{\mu_0} - \chi_m H$$

$$H = \frac{B}{\mu_0(1 + \chi_m)} \quad (13.38)$$

yoki

$$1 + \chi_m = \mu \quad (13.39)$$

**muhitning magnit singdiruvchanligi deyiladi.** (13.39) belgilash asosida (13.38) ifodani quyidagicha yozish mumkin:

$$H = \frac{B}{\mu_0 \mu} \quad (13.40)$$

Demak, izotrop muhitda magnit maydon kuchlanganlik vektori magnit induksiya vektori bilan bir xil yo'naltirishga ega va modul jihatidan undan  $\mu$ da marta kichik bo'ladi. Magnetikning magnit singdiruvchanligi  $\mu$  o'lchamsiz kattalik u magnetikdagi magnit maydonni vakuumdagiga qaraganda necha marta farqlanishini ifodalaydi.

**Barcha magnetiklar o'zlarining magnit qabul qiluvchanliklarining ihsorasi va qiymatlariga qarab uch sinfga bo'lingan:**

1) **diamagnetiklarda**  $\chi_m < 0$  bo'ladi. Bu sinfga oid bo'lgan moddalarida, masalan, fosfor, oltinugurt, surma, uglerod, simob, oltin, kumush, mis kabi elementlar, shuningdek, suv va ko'pgina organik hitkimalarda magnit maydon bir oz susayadi ( $\mu = 1 + \chi_m < 1$ );

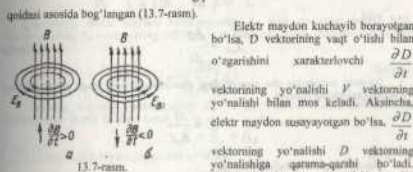
2) **paramagnetiklarda**  $\chi_m > 0$  bo'ladi. Bu sinfga kiruvchi kislorod, azot, aluminiy, platina, volfram kabi elementlarda magnit maydon bir oz kuchayadi ( $\mu = 1 + \chi_m > 1$ );

3) **ferromagnetiklarda**  $\chi_m \gg 1$  bo'ladi. Bu sinfga kiruvchi temir, nikel, kobalt kabi metallarda va ularning qotishmalarida magnit maydon juda zo'rayib ketadi. Shunday qilib, magnitlanish vektori  $j$  yo'nalish jihatidan  $N$  ga mos kelishi (para va ferromagnetiklarda) va qarama-qarshi tomonga yo'nalgan bo'lishi mumkin (diamagnetiklarda).

### 13.5. Elektromagnit maydon uchun Maksvell tenglamalari

1863-yilda Maksvell yagona elektromagnit maydon nazariyasini ishlab chiqdi, bu nazariyaga muvofiq, o'zgaruvchan elektr maydoni, o'zgaruvchan magnit maydonini, o'zgaruvchan magnit maydoni esa, o'zgaruvchan elektr maydonini vujudga keltiradi. Bu ikkala o'zgaruvchan maydonlar uyrumali xarakteriga ega, ya'ni vujudga keltirayotgan maydonning kuch chiziqlari, vujudga kelayotgan maydonning kuch chiziqlari bilan konsentrik o'rab olingan. Natijada o'zaro o'ralgan elektr va magnit maydonlar sistenasi hosil bo'ladi.

Magnit maydon induksiya chiziqlarining yo'nalishi shu maydonning vujudga kelishiga sababchi bo'layotgan **elektr maydon induksiya vektorining** vaqt davomida o'zgarishini ifodalovchi  $\frac{\partial D}{\partial t}$  vektorining yo'nalishi bilan o'ng vint qoidasi asosida bog'langan (13.7-rasm).



13.7-rasm.

Elektr maydon kuchayib borayotgan bo'lsa,  $D$  vektorining vaqt o'tishi bilan o'zgarishini xarakterlovchi  $\frac{\partial D}{\partial t}$

vektorining yo'nalishi  $V$  vektorining yo'nalishi bilan mos keladi. Aksincha, elektr maydon susayayotgan bo'lsa,  $\frac{\partial D}{\partial t}$

vektorining yo'nalishi  $D$  vektorining yo'nalishiga qarama-qarshi bo'ladi.

Elektr maydonning o'zgarishi va bu o'zgarish tufayli vujudga kelayotgan magnit maydon orasidagi miqdoriy bog'lanishni topish uchun Maksvell **siljish toki** deb ataladigan tushunchani kiritadi. Siljish toki bilan yaqinroq tanishish maqsadida yassi kondensatorli zanjirdan o'zgaruvchan tok oqandagi jarayonlarni tekshiraylik.

U holda kondensator plastinkalarini birilashiruvchi o'tkazgichlar orqali o'tkazuvchanlik toki o'ladi, lekin plastinkalar oralig'idagi dielektrikdan o'tmaydi. U holda o'zgaruvchan tokning zanjir bo'ylab oqishi kondensatorning zaryadlanishlari (13.8 a-rasm) va zaryadlanishlaridan (3.8 b-rasm) iborat bo'ladi.



13.8-rasm.

Maksvell ilshq zanjirida oquvchi o'tkazuvchanlik toki kondensator ichida shohida tok – siljish toki bilan tutashadigan o'z g'oyasini ligari surdi, siljish toki



elektr maydon induksiya vektorining o'zgarish tezligi  $\left(\frac{\partial D}{\partial t}\right)$  proporsional va

tashqi zanjirdagi o'tkazuvchanlik tokiga teng bo'ladi.

Zanjirdan o'tayotgan tokning o'ny qiymati  $I$  bo'lsin, kondensator qoplamalaridagi zaryadning sirt zichligini  $\sigma = \frac{q}{S}$  deb olaylik. U holda kondensator plastinkasi ichidagi o'tkazuvchanlik toki zichligining qiymati

$$j_{\text{ust}} = \frac{I}{S} = \frac{dq}{S dt} = \frac{d}{dt} \left( \frac{q}{S} \right) = \frac{d\sigma}{dt}$$

yoki

$$j_{\text{ust}} = \frac{d\sigma}{dt} \quad (13.41)$$

bo'ladi.

Ikkinchi tomonidan shu momentdagi plastinkalar oralig'idagi elektr maydon kuchlanganligining qiymati

$$E = \frac{\sigma}{\epsilon_0 \epsilon}$$

teng edi.

Maydonning elektr induksiyasi esa

$$D = \epsilon_0 \epsilon E = \epsilon_0 \epsilon \frac{\sigma}{\epsilon_0 \epsilon} = \sigma \quad (13.42)$$

ga teng. Vaqt o'tishi bilan plastinkalardagi zaryadning sirt zichligi o'zgaradi. Bu esa plastinkalar oralig'idagi elektr maydon induksiyasi qiymatining o'zgarishiga sababchi bo'ladi, ya'ni:

$$\frac{\partial D}{\partial t} = \frac{d\sigma}{dt} \quad (13.43)$$

Hamma vaqt  $\frac{\partial D}{\partial t}$  ning yo'nalishi o'tkazuvchanlik tokining yo'nalishi bilan

bir xil bo'ladi.  $\frac{\partial D}{\partial t}$  ning birligi

$$\frac{\partial D}{\partial t} = \frac{K_f}{m^2} \cdot \frac{1}{c} = \frac{A}{m^2}$$

bo'ladi.

$\frac{\partial D}{\partial t}$  kattalik Maksvell gipotezasiga asosan, siljish tokining zichligidir, ya'ni:

$$j_{\text{silj}} = \frac{\partial D}{\partial t} \quad (13.44)$$

Shunday qilib, o'zgaruvchan tok zanjirida o'tkazgichlardagi o'tkazuvchanlik tokining chiziqlari kondensator plastinkalari oralig'idagi siljish tokining chiziqlariga ulanib ketadi.

Maksvell nazariyasining asosini uning nomi bilan ataladigan to'rtta tenglama tashkil etadi.

1. Qo'zg'almas zaryad  $q$  atrofidagi fazoda elektr maydon hosil qiladi. Bu maydon potensial maydondir. Bu maydon kuchlanganlik vektori  $E_q$  ning ixtiyoriy berk kontur bo'yicha sirkulatsiyasi nolga teng:

$$\oint_l E_q dl = 0 \quad (13.45)$$

Ugornaviy elektr maydon kuchlanganligi  $E_r$  ning chiziqlari doimo berk. Shuning uchun,  $E_r$ -vektorining ixtiyoriy berk kontur bo'yicha sirkulatsiyasi noldan farqli

$$\oint_l E_{rl} dl = - \int_S \left( \frac{\partial B}{\partial t} \right)_n dS \quad (13.46)$$

Natijaviy maydon kuchlanganligi  $E_n$  va  $E_r$  maydon kuchlanganliklarning yig'indisidan iborat bo'lishi kerak, ya'ni

$$E = E_q + E_B$$

(13.45) va (13.46) tenglamalarni qo'shsak,

$$\oint_l E dl = - \int_S \left( \frac{\partial B}{\partial t} \right)_n dS \quad (13.47)$$

Bu ifodaning chap tomonidagi integral ixtiyoriy berk kontur bo'yicha, o'ng tomonidagi integral esa shu konturga tiralgan ixtiyoriy sirt bo'yicha olinadi. Bu **Maksvellning birinchi tenglamasidir**.

2. Magnit maydon harakatidagi zaryadlar atrofida emas, balki fazoning vaqt davomida o'zgarib turuvchi elektr maydon mavjud bo'lgan barcha sohalarda ham mavjud bo'ladi. O'zgaruvchan elektr maydon induksiyasi vektorining o'zgarish

tezligini xarakterlovchi  $\frac{\partial D}{\partial t}$  kattalikni siljish tokining zichligi  $j_{\text{silj}}$  deb yuritilishi

bilan yuqorida tanishdik (13.44) qarangi. Agar zanjirdagi to'liq tok zichligini  $j_T$  deb belgilasak,

$$j_T = j_{\text{ust}} + j_{\text{silj}} = j_{\text{ust}} + \frac{\partial D}{\partial t} \quad (13.48)$$

husni bo'ladi. (13.48) dan foydalansak, magnit maydon kuchlanganlik vektorining ixtiyoriy berk kontur bo'yicha sirkulatsiyasi uchun quyidagini yozamiz:

$$\oint_l H_T dl = - \int_S \left( j_{\text{ust}} + \frac{\partial D}{\partial t} \right)_n dS \quad (13.49)$$

Bu ifoda **Maksvellning ikkinchi tenglamasi** deb ataladi. U magnit maydon kuchlanganlik vektori  $N$  ning ixtiyoriy berk kontur bo'yicha sirkulatsiyasi, shu konturga tirilgan ixtiyoriy  $S$  - sirtini teshib o'tuvchi makroskopik va siljish toklarining algebraik yig'indisiga tengligini ko'rsatadi.

3. Elektr induksiya vektori  $D$  ning ixtiyoriy berk sirt orqali oqimi shu sirt ichidagi barcha erkin zaryadlarning algebraik yig'indisiga teng:

$$\oint D_s dS = \int q dV \quad (13.50)$$

bundagi  $\rho$  - berk sirt ichida joylashgan zaryadlarning hajmiy zichligi.  $B_u$  **Maksvellning uchinchi tenglamasidir.**

4. Magnit maydon usul bilan hosil qilinmasin magnit induksiya chiziqlari doimo berk bo'ladi. Shuning uchun umumiy holda:

$$\oint B_s dS = 0 \quad (13.51)$$

Bu **Maksvellning to'rtinchi tenglamasidir.** Yuqoridagi to'rtinchi tenglama **integral ko'rinishdagi Maksvell tenglamalaridir.**

Endi Maksvell tenglamalarini differensial ko'rinishini yozaylik:

$$\text{rot} E = - \frac{\partial B}{\partial t} \quad (13.52)$$

$$\text{rot} H = j_{\text{ost}} + \frac{\partial B}{\partial t} \quad (13.53)$$

$$\text{div} D = \rho \quad (13.54)$$

$$\text{div} B = 0 \quad (13.55)$$

Maksvellning bu tenglamalari tabiiat qonunlarining ifodasidir.

### Savollar

1. O'z tajribalariga asoslanib, Faradey induksion tokning qiymatini qanday aniqladi?
2. Lens induksion tokning yo'nalishini qanday tajriba asosida aniqladi?
3. Induksion EYUK hosil bo'lishini energiya saqlanish qonuniga asoslan tushuntiring.
4. O'z induksiya va o'zarinduksiya hodisasi deganda nimani tushunasiz, o'zinduksiya EYUK ifodasini keltirib chiqaring?
5. Magnit maydon energiyasini va energiya zichligini ifodasini yozing.
6. Moddalarning magnit xossalari xarakterlovchi kattaliklar magnitlanish vektori, magnit qabul qiluvchanlik va magnit maydon kuchlanganligi orasida qanday bog'lanish bor?
7. Moddalarning diamagnetik, paramagnetik va ferramagnetik xususiyatlarini uch sinfga bo'linishining asosiy sababini ko'rsating.
8. Maksvellning elektromagnit maydon uchun yaratgan tenglamalarining integral va differensial ko'rinishlarini ifodalang.
9. Elektr maydonining o'zgarishi tufayli vujudga kelgan magnit maydon va elektr maydon orqasidagi miqdoriy bog'lanishini ifodalovchi Maksvell siljish toki deganda nimani tushunasiz?

### Masalalar

**44-masala.** Magnit induksiya  $B=0,571$  bo'lgan bir jinsli magnit maydonga kuch chiziqlariga  $\alpha = 60^\circ$  burchak ostida joylashgan  $S=25\text{sm}^2$  sirt orqali o'tuvchi magnit induksiya oqimi  $\Phi$  topilsin.

$$\text{Berilgan: } B=0,5 \text{ Tl, } \alpha = 60^\circ \\ S=25\text{sm}^2=2,5 \cdot 10^{-2} \text{ m}^2 \\ \Phi=?$$

**Yechish:** Biror  $S$  sirt orqali o'tuvchi magnit induksiya oqimi  $F$  ushbu formuladan aniqlanadi:

$$\Phi = BS \cos \alpha \quad (1)$$

bunda,  $\alpha$  - magnit induksiya vektori  $\vec{B}$  va sirt  $S$  ga o'tkazilgan  $\vec{n}$  normal orasidagi burchak.

Masalada berilgan kattaliklarning son qiymatlarini o'rni qo'yib hisoblab chiqamiz:

$$\Phi = BS \cos \alpha = 0,571 \cdot 2,5 \cdot 10^{-2} \cos 60 = 12,5 \cdot 10^{-7} \cdot 0,5 = \\ = 0,625 \cdot 10^{-7} \text{ Vb} = 6,25 \cdot 10^{-8} \text{ Vb}.$$

**45-masala.** Induksiya  $V=0,5 \text{ Tl}$  bo'lgan magnit maydon  $l=50\text{sm}$  uzunlikdagi sterjen  $V = 4 \text{ ayl} / \text{s}$  chastota bilan tekis aylanmoqda. Aylanish o'qi sterjenning bir uchidan o'tib, magnit maydonning kuch chiziqlariga parallel yo'nalgan bo'lsa, sterjenning uchlari hosil bo'lgan induksion EYUK ning qiymati topilsin.

$$\text{Berilgan: } V=0,5 \text{ Tl, } l=50 \text{ sm,} \\ v = 4 \text{ ayl} / \text{s} \\ \mathcal{E}_i = ?$$

**Yechish.** Faradeyning elektromagnit induksiya qonuniga binoan induksion

$$\text{EYUK quyidagiga teng: } \mathcal{E}_i = - \frac{\Delta \Phi}{\Delta t}$$

Sterjenning har bir aylanishida kesib o'tgan magnit induksiya oqimi quyidagicha bo'ladi.

$$\Phi = BS = B\pi r^2$$

Agar sterjenning  $\Delta t$  vaqt oralig'ida  $\Delta N$  marta aylansa, magnit induksiya oqimining o'zgarishi  $\Delta \Phi = \Phi \cdot \Delta N = B\pi r^2 \cdot \Delta N$ , uni (1) formulaga qo'yib topamiz:

$$\mathcal{E}_i = \frac{\Delta \Phi}{\Delta t} = -\pi B r^2 \frac{\Delta N}{\Delta t} = -\pi B r^2 v$$

Bunda  $v = \frac{\Delta N}{\Delta t}$  sterjenning aylanish chastotasi. Kattaliklarning son

qiymatlarini (3) ga qo'yib hisoblaymiz:

$$|E_i| = \pi B e^2 V = 3,14 \cdot 0,5 \cdot 0,25 \cdot 4 = 1,57V.$$

**46-masala.** Uzunligi  $l=40$  sm, ko'ndalang kesim yuzi  $S=4\text{cm}^2$  va o'ramlar soni  $N=800$  bo'lgan g'altakning induktivligi  $L$  topilsin. G'altak o'zagi materialining nisbiy magnit singdiruvchiligi  $\mu=500$  ga teng.

**Berilgan:**  $l=0,4$  m,  $S=4\text{cm}^2 = 4 \cdot 10^{-4} \text{m}^2$ ,  $N=800$ ,  $\mu=500$ .

$$\mu_0 = 12,56 \cdot 10^{-7} \text{Gn/m}$$

**Yechish.** Uzun g'altakning induktivligi  $L$  quyidagi formula bilan aniqlanadi.

$$L = \mu_0 \mu n^2 V \quad (1)$$

bunda,  $n = \frac{N}{l}$  g'altakning uzunligi bo'rtligi mos kelgan o'ramlar soni,  $l$  g'altakning

uzunligi,  $V = lS$  g'altakning hajmi,  $S$  uning ko'ndalang kesim yuzi. Agar  $n$  va  $V$  ning ifodalari (1) ga qo'yilsa, ishchi formula kelib chiqadi,

$$L = \mu_0 \mu n^2 V = \mu_0 \mu \frac{N^2}{l^2} lS = \mu_0 \mu \frac{N^2}{l} S \quad (2)$$

(2) dagi kattaliklarning qiymatlarini o'miga qo'yib chiqamiz:

$$L = \mu_0 \mu \frac{N^2}{l} S = 12,56 \cdot 10^{-7} \cdot 500 \frac{64 \cdot 10^4}{0,4} \cdot 4 \cdot 10^{-2} = 0,4 \text{Gn}$$

**47-masala.** Tokli g'altakning nikel o'zagini kesim yuzi  $S=20\text{cm}^2$  orqali o'lgan magnit induksiya oqimi  $\Phi = 1,256 \cdot 10^{-2} \text{Vb}$  ga teng. Agar g'altak ichidagi bir jinsli magnit maydonning kuchlanganligi  $H = 2,5 \cdot 10^4 \text{A/m}$  ga teng bo'lsa, nikelning shu sharoitdagi nisbiy singdiruvchanligi  $\mu$  topilsin.

**Berilgan:**  $S=20\text{cm}^2 = 2 \cdot 10^{-3} \text{m}^2$ ,  $\Phi = 1,256 \cdot 10^{-2} \text{Vb}$ ,

$$\frac{H}{\mu} = 2,5 \cdot 10^4 \text{A/m}, \mu_0 = 12,56 \cdot 10^{-7} \text{Gn/m}$$

**Yechish.** G'altak o'zagining ko'ndalang kesim yuzi  $S$  orqali o'tayotgan magnit induksiya oqimi

$$\Phi = BS = \mu_0 \mu HS$$

bunda,  $B$  - magnit maydonning induksiya  $H$  - kuchlanganligi  $\mu_0$  - magnit doimiyi. Oxirgi formuladan g'altak o'zagi materialini nisbiy magnit singdiruvchanligi  $\mu$  ni aniqlab, uni son qiymatini hisoblab topamiz:

$$\mu = \frac{\Phi}{\mu_0 HS} = \frac{1,256 \cdot 10^{-2}}{12,56 \cdot 10^{-7} \cdot 2,5 \cdot 2 \cdot 10^{-3}} = 200$$

**48-masala.** Uzunligi  $l=0,4$  m ga ko'ndalang kesim yuzi  $S=2\text{cm}^2$  ga va uzunlik birligiga mos kelgan o'ramlar soni  $n=25$  1/sm ga teng bo'lgan o'zaksiz g'altak cho'lg'amlaridan  $l=0,8$  A tok o'tayotgan bo'lsa, g'altak ichida hosil bo'lgan magnit maydonning energiyasi  $W_m$  topilsin.

**Berilgan:**  $l=0,4$  m,  $S=2\text{cm}^2$ ,  $n=25$  1/sm,  $l=0,8$  A.

$$\mu_0 = 12,56 \cdot 10^{-7} \text{Gn/m}, \mu = 1$$

$W_m = ?$

**Yechish.** Induktivligi  $L$  ga teng g'altakdan tok o'tayotganda unda hosil bo'lgan magnit maydonning energiyasi  $W_m$  quyidagi formuladan aniqlanadi.

$$W_m = \frac{LI^2}{2} \quad (1)$$

G'altakning induktivligi  $L$  uzunlik birligiga mos kelgan  $n=25$  o'ramlarga  $V=IS$  hajmga va muhitining magnit xususiyati, ya'ni absolut magnit singdiruvchanligi  $\mu_n = \mu_0 \mu$  ga bog'liq bo'lib, u quyidagiga teng.

$$L = \mu_n n^2 V = \mu_0 \mu n^2 lS \quad (2)$$

bunda,  $\mu_0$  - magnit doimiyi,  $\mu$  - muhitning nisbiy magnit singdiruvchanligi. Induktivlik  $L$  ning ifodasini (1) formulaga qo'yilsa, quyidagi ishchi formula kelib chiqadi.

$$W_m = \frac{LI^2}{2} = \frac{\mu_0 \mu n^2 lSI^2}{2} \quad (3)$$

(3) formulaga son qiymatlarini qo'yib hisoblashni bajaraylik:

$$W_m = \frac{12,56 \cdot 10^{-7} \cdot 1 \cdot 625 \cdot 10^4 \cdot 0,4 \cdot 2 \cdot 10^{-4} \cdot 0,64}{2} = 2 \cdot 10^{-4} \text{J}$$

**49-masala.** Uzunligi  $l=50$  sm va ko'ndalang kesim yuzi  $S=2\text{cm}^2$  bo'lgan o'zakning induktivligi  $L=2 \cdot 10^{-7} \text{Gn}$ . Tok kuchi  $I$  qanday bo'lganda g'altak ichidagi magnit maydoni energiya zichligi  $\omega = 10^{-3} \text{J/m}^3$  bo'ladi.

**Berilgan:**  $l=50$  sm,  $S=2\text{cm}^2 = 2 \cdot 10^{-4} \text{m}^2$ ,

$$\frac{L}{l} = 2 \cdot 10^{-7} \text{Gn}, w = 10^{-3} \text{J/m}^3$$

**Yechish.**  $w_m = \frac{\mu_0 \mu H^2}{2}$  formulaga muvofiq

$$w = \frac{\mu_0 \mu H^2}{2} \quad (1)$$

bu yerda,  $H = \frac{In}{l}$  g'altak ichida magnit maydonning kuchlanganligi,  $n$  - g'altak

o'ramlar soni (13.8) formulaga ko'ra  $L = \frac{\mu_0 \mu n^2 S}{l}$  bundan

$$\mu_0 \mu = \frac{LI}{Sn^2} \quad (2)$$

$H$  va  $\mu_0 \mu$  ning ifodalarini (1) formulaga qo'yib tok kuchini topamiz:

$$I = \sqrt{\frac{2eSw}{L}} = \sqrt{\frac{2 \cdot 0,5 \cdot 2 \cdot 10^{-4} \cdot 10^{-3}}{2 \cdot 10^{-7}}} = 1 \sqrt{\frac{J}{Gn}} = 1A.$$

#### 4. TEBRANISHLAR VA TO'LQINLAR

##### XIV bob. MEXANIK VA ELEKTROMAGNIT TEBRANISHLAR

##### 14.1. Mexanik garmonik tebranishlar tenglamasi

Hiror moddiy nuqtaning muvozanat vaziyatidan goh bir tomonga, goh ikkinchi tomonga harakatlantirish davriy takrorlanadigan jarayon *tebranna harakat* deb ataladi. Harakatning bu turini biz tabiatda, texnikada juda ko'p uchratamiz. Masalan, soat nayatigining, kamerton shoxchalirining, telefonlarning membranalari tebranishlari, bug' dvigatellari va ichki yonuv dvigatellarining porshenlari harakatlari olish mumkin. Tebranishlarning eng oddiy turi *garmonik tebranishdir*. Jisimning harakat trayektoriyasini vaqt bo'yicha o'zgarishi sinus yoki kosinuslar qonuni bo'yicha o'zgaradigan tebranishlarga *garmonik tebranishlar* deyiladi.

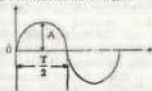
$$x = A \sin(\omega t + \alpha)$$

yoki

$$x = A \cos(\omega t + \alpha) \quad (14.1)$$

Bunda,  $x$  - jisimning siljishi,  $A$  - jisimning muvozanat holatidan maksimal siljishi bo'lib, *uni tebranish amplitudasi deyiladi*. Sinus yoki kosinusning eng katta qiymati birga teng bo'lgani uchun  $x_{max} = A$  bo'ladi;  $(\omega t + \alpha)$  - garmonik tebranishning fazasi,  $\alpha$  - tebranishning boshlang'ich fazasi deyiladi;

$\omega = \frac{2\pi}{T}$  berilgan tebranish uchun doimiy bo'lib, garmonik tebranishning siklik chastotasi deyiladi.  $\omega = 0$  bo'lgan hol uchun (14.1) tenglama bilan ifodalangan garmonik tebranishlar grafigi 14.1-rasmda tasvirlangan.



14.1-rasmi.

Tebranna harakat qilayotgan jisimning muvozanat vaziyatidan eng chetga chiqishi *siljish* deb ataladi. Jisimning bitta to'liq tebranishi amalga oshishi uchun ketgan vaqt *davr (T)* deb ataladi.

Tebranuvchi jisim bitta davr ichida to'rtta amplitudaga teng bo'lgan yo'lni bosib o'tadi. Agar  $t$  vaqtida jisim  $n$  marta tebrangan bo'lsa, uning davri

$$T = \frac{t}{n} \quad (c) \quad (14.2)$$

ga teng bo'ladi. Birlik vaqt davromidagi tebranishlar soni

$$V = \frac{1}{T} = |f| \quad (14.3)$$

chastota deyiladi. Si da davr sekund(s)arddi, chastota esa Gerslarda. (Gc)

o'lanadi. Siklik va chiziqli chastotalar orasida quyidagicha bo'lanish bor:

$$\omega = 2\pi\nu \quad (14.4)$$

bunda *co-la* sekund ichida to'la tebranishlar sonini ifodalaydi.

Tebranyotgan jisimga ta'sir etuvchi kuch siljishga proporsionaldir, lekin kuch siljishga teskari yo'nalgan:

$$F = -kx \quad (14.5)$$

Agar tebranyotgan yo'lat sharcha prujinaga osilgan bo'lsa, *k* - prujinaning *bikirligi* deyiladi. (14.5) munosabat tebrama harakat uchun *Guk* qonuni deb yuritiladi. Nyuton ikkinchi qonunidan foydalansak, (14.5) quyidagi ko'rinishda yoziladi:

$$m\ddot{x} = -kx \quad (14.6)$$

Bu yerdagi  $a = \frac{d^2x}{dt^2}$  teng ekanligini e'tiborga olsak, (14.6) ifoda quyidagi ko'rinishga keladi:

$$m \frac{d^2x}{dt^2} = -kx \text{ yoki } \frac{d^2x}{dt^2} + \frac{k}{m}x = 0 \quad (14.7)$$

Bunda *kvam* musbat kattaliklar bo'lganligi uchun

$$\frac{k}{m} = \omega_0^2 \quad (14.8)$$

belgilansak, (14.7) ifoda

$$\frac{d^2x}{dt^2} + \omega_0^2x = 0 \quad (14.9)$$

ko'rinishi oladi. (14.9) ifoda ikkinchi tartibli differensial tenglama bo'lib, uning yechimi

$$x = A \cos(\omega_0 t + \alpha) \quad (14.10)$$

ko'rinishda bo'ladi. Bu ifoda (14.1) tenglamaning o'zginasidir, bu yerda, *A* - amplituda, *x* - siljish, (*o*)*t* + *α* - tebranish fazasi, *α* - boshlang'ich fazasidir.

Demak, yuqorida bayon etilgan fikrlarni umumlashtirib, garmonik tebranishga yana quyidagi ta'rif o'rini bo'ladi: *Jismining siljishga proporsional, muvozanat vaziyati tomon yo'nalgan kuch ta'sirida xodir bo'luvchi tebranishlarni garmonik tebranishlar deyiladi.* (14.10) dagi *ω<sub>0</sub>* - tebranishning *xususiy* siklik chastotasi deb ataladi.

Xususiy tebranish davri (*T<sub>0</sub>*) bilan *ω<sub>0</sub>* ning munosabati quyidagicha ifodalanadi:

$$\omega_0 = \frac{2\pi}{T_0} \quad (14.11)$$

## 14.2. Elektromagnit garmonik tebranishlar

Yuqori chastotali o'zgaruvchan toklarni *elektir tebranishlari* sifatida qabul qilish mumkin. Lekin hech qanday mexanik generatorlar  $10^4$  Gc chastotali o'zgaruvchan tok hosil qila olmaydi, chunki buning uchun generatorming yakori sekundiga million marta aylanishi kerak. bunday generator hali yaratilgani yo'q. Shuning uchun, elektir tebranishlarning generatori va yuksak chastotali

elektromagnit to'lqinlar manbai sifatida *tebranish konturidan* foydalanish maqsadga muvofiq bo'ladi.

Kondensator va induktiv g'aitkdan tashkil topgan zanjir *tebranish konturi* deb nomlangan. Elektir maydonni kondensator qoplamalari orasida, magnit maydonni esa induktiv g'aitk yordamida vujudga keltiriladi. Bunda elektir maydon energiyasi magnit maydon energiyasiga va aksincha, magnit maydon energiyasi elektir maydon energiyasiga aylanib, elektromagnit tebranishlar hosil bo'ladi.

Konturda elektir tebranishlar hosil qilish uchun dastlab kondensatorni zaryadlaymiz (14.2 a-rasm.), kondensatorni zaryadlash g'aitk tomonga oqib kondensator zaryadsizlanib boshlaydi. Kondensator zaryadsizlangan sari uning elektir maydoni zaiflashadi, g'aitkning magnit maydoni kuchayib boradi. Magnit maydonning o'sishi kondensator to'liq zaryadsizlangunga davom etib, g'aitkda o'zinduksiya EYUK hosil bo'lishga sababchi bo'ladi.

Kondensator to'liq zaryadsizlanganda g'aitkdagi tok maksimal bo'ladi (14.2b-rasm). Bu vaqtda elektir maydonning energiyasi ( $W_e = \frac{CQ^2}{2}$ )

to'liq'icha g'aitkning magnit maydon energiyasi

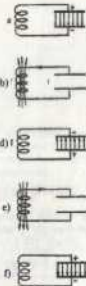
$$\left( W_m = \frac{1}{2} LI^2 m \right) \text{ ga aylanadi. Vaqt o'tishi bilan magnit}$$

maydon zaiflashib, g'aitkda o'zinduksiya EYUK vujudga keladi. Induksion tokni yo'nalishi dastlabki tok yo'nalishida bo'ladi, natijada kondensator qayta zaryadlanadi. Bu momentda magnit maydon energiyasi elektir maydon energiyasiga aylanadi, biroq bu holda elektir maydonning yo'nalishi (14.2 d - rasmga qarang) boshlang'ich holatdagi elektir maydon yo'nalishiga teskari bo'ladi. So'ngra yana kondensatorning zaryadlanishi va konturda teskari yo'nalishda elektir tokning oqishi kuzatiladi. Bu tok g'aitkdan o'tib unda magnit maydon hosil qiladi. Magnit maydonning yo'nalishi bu holda (14.2 e-rasm) oldingi holatiga qarama - qarshidir.

Keyin magnit maydon energiyasi hisobiga o'zinduksiya toki vujudga keladi va kondensator qoplamalari orasida dastlabki yo'nalishdagi kabi elektir maydon (14.2 f-rasm) hosil bo'ladi. Shunday qilib, konturda bitta to'liq tebranish tugallanadi, bu hoi o'z navbatida konturda ma'lum *T* davrga ega bo'lgan elektromagnit tebranishlari hosil bo'lganligini ko'rsatadi. Konturdan tok davrning birinchi yarmida bir yo'nalishda, davrning ikkinchi yarmida esa qarama - qarshi yo'nalishda oqadi.

Agar tebranishlar ideal konturda (*R=0*) hosil bo'lyapti deb faraz qilsak, elektir yoki magnit maydon energiyalari boshqa tur energiyalarga aylanmaydi. Tebranishlar sodir bo'layotgan vaqtda konturga tashqi kuchlanish berilmaganligi uchun

kondensatoridagi kuchlanish tushishi ( $U_c = \frac{q}{C}$ ) va g'aitkdagi kuchlanish



14.2-rasm.

tushishi esa  $(U_L = L \frac{dI}{dt} = L \frac{d^2q}{dt^2})$  bo'ladi. Bu kuchlanish tushishlarining yig'indisi nolga teng bo'lishi kerak, ya'ni

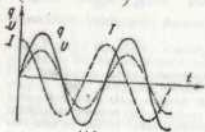
$$\left( L \frac{d^2q}{dt^2} + \frac{q}{c} = 0 \right) \quad (14.12)$$

Bu ifodani  $L$  ga bo'lsak va

$$\left( \omega_0 = \frac{1}{\sqrt{LC}} \right) \quad (14.13)$$

deb belgilasak, (14.2) munosabat quyidagi ko'rinishga keladi

$$\left( \frac{d^2q}{dt^2} + \omega^2 c q = 0 \right) \quad (14.14)$$



14.3-rasm.

Bu tenglamaning yechimi

ko'rsatishda bo'ladi. Bu ifodadan shu narsa ko'rinadiki, kondensator qoplamalaridagi zaryad miqdori harmonik qonun bo'yicha o'zgaradi (14.3-rasm) u holda kondensatordagi kuchlanish

$$U = \frac{q}{c} = \frac{q_m}{c} \cos(\omega_0 t + \varphi) = U_m \cos(\omega_0 t + \varphi) \quad (14.16)$$

ifoda bilan aniqlanar ekan, u ham harmonik qonun bo'yicha o'zgaradi (14.3 - rasm).

Zanjirdagi tok kuchi ham harmonik qonun bo'yicha o'zgaradi:

$$I = \frac{dq}{dt} = \omega_0 q_m \sin(\omega_0 t + \varphi) = I_m \cos(\omega_0 t + \varphi + \frac{\pi}{2}) \quad (14.17)$$

Demak, tok kuchi zaryad va kuchlanishdan faza bo'yicha  $\frac{\pi}{2}$  ga farq qiladi (14.3-rasm).

Teburanish davri uchun quyidagi formulani yozish mumkin.

$$T = \frac{2\pi}{\omega_0} = 2\pi\sqrt{LC} \quad (14.18)$$

Bu tenglama Tomson formulasi deb yuritiladi. Elektromagnit tebranishlarni uzluksiz hosil qilish uchun kondensatorni biror moslama bilan zaryadlab turish zarur. Bunday moslama sifatida 1886-yilda Gers induksiya g'altigidan foydalanagan. Hozirda esa so'nmas elektromagnit tebranishlari hosil qilish uchun elektron lampa va yarimo'tkazgichli tranzistoridan foydalaniladi.

### 14.3. Mayatniklar

Muvozanat vaziyati atrofida g'oh u yon, g'oh bu yon tebranma harakat qiladigan qattiq jism mayatnik deb ataladi. Prujinali, matematik va fizik mayatniklarning tebranishi qonuniyatlari bilan tanishib o'taylik.



14.4-rasm.

1. Pujinali mayatnik. Pujinaga osilgan  $m$  - massali sharchadan iborat sistemani qarab chiqaylik (14.4-rasm). Muvozanat holatida  $mg$  og'irlik kuchi  $F_s$  elastik ( $F_s = kx$ ) kuchi bilan muvozanatlashadi. Tashqaridan ta'sir bo'lmaguncha mayatnik o'zining muvozanat vaziyatini saqlayveradi. Agar sharchani pastga  $x > 0$  masofaga tortib uni muvozanat vaziyatidan chiqarsak (14.4b-rasm), yukning og'irlik kuchi 14.4-rasm. Pujinaning elastiklik kuchidan kichik bo'lib qoladi,  $F_s$  kuchi esa muvozanat vaziyat tomon yo'nalgan bo'ladi. ( $F_s < 0$ ). Sharcha muvozanat vaziyatga yetsa, inersiya tufayli harakati davom ettiradi, natijada  $x < 0$  bo'lganda kuch ( $F_s > 0$ ) bo'ladi, (14.4 d-rasm) prujina siqiladi. Bu holda yukka ta'sir etuvchi natijaviy kuch, yana muvozanat vaziyat tomon yo'nalgan bo'ladi. Shu tariqa muvozanat vaziyatidan chiqarilgan prujinali mayatnikning tebranishlari amalga oshadi. (14.8) va (14.11) ifodalardan foydalanib, prujinali mayatnikning tebranish davri uchun

$$T_n = 2\pi\sqrt{\frac{m}{k}} \quad (14.19)$$

formulani hosil qilamiz.

2. Matematik mayatnik. Cho'zilmaydigan vaznsiz ipga osilgan og'irlik kuchi ta'sirida vertikal tekislikdagi aylana yoyi bo'ylab tebranma oladigan moddiy nuqta matematik mayatnik deyiladi.

Mayatnik ipi vertikal vaziyatda bo'lsa, shargachaga ta'sir etuvchi og'irlik kuchi

$\vec{mg}$  larning taranglik kuchi ( $\vec{F}_n$ ) bilan muvozanatlashadi. Lekin mayatnik muvozanat vaziyatidan biror  $\varphi$  burchakka og'irliganda og'irlik kuchi ( $\vec{mg}$ ) va larning taranglik kuchi ( $\vec{F}_n$ ) bir to'g'ri chiziqda yotmaydi. Natijada ularning teng ta'sir etuvchi kuchi  $\vec{F}_n = \vec{mg} + \vec{F}_n$  hosil bo'ladi. Mayatnik o'ng tomonga og'gan holda (14.5 b-rasm)  $\vec{F}$  chap tomonga yo'nalgan, mayatnik chap tomonga og'gan holda (14.5 d-rasm)  $\vec{F}$  o'ng tomonga yo'nalgan bo'ladi.

Demak,

$$F = mg \sin \varphi \quad (14.20)$$

Bu kuch ta'sirida sharcha  $l$  radiusli aylana yoyi bo'ylab muvozanat vaziyati tomon harakatlanadi. Mayatnikning bu harakati aylanma harakat dinamikasining asosiy tenglamasi

$$I \cdot M \quad (14.21)$$

bilan xarakterlanadi. Bunda,  $I$  - sharchaning aylanishi o'qiga nisbatan inersiya momenti,  $e$  - uning burchak tezlanishi,  $M$  esa  $F$  kuchning  $O$  o'qqa nisbatan momenti bo'lgani uchun

$$I m = m l^2, \quad \varepsilon = \frac{d^2 \varphi}{dt^2}, \quad M = -mgL \sin \varphi$$

(fodalardan foydalanib, (14.21) ni quyidagi ko'rinishda yozish mumkin:

$$m l^2 \frac{d^2 \varphi}{dt^2} = -mgL \sin \varphi \quad \text{yoki} \quad \frac{d^2 \varphi}{dt^2} + \frac{g}{l} \sin \varphi = 0 \quad (14.22)$$

$\varphi$  burchak kichik bo'lganda,  $\sin \varphi \approx \varphi$ , taqriban  $\varphi$  bilan almashtirish mumkin. Natijada (14.22) (foda

$$\frac{d^2 \varphi}{dt^2} + \frac{g}{l} \varphi = 0$$

ko'rinishga keladi:

$$\frac{g}{l} = \omega_0^2 \quad (14.23)$$

belgini kiritsek,

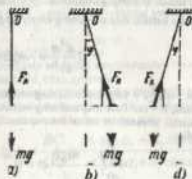
$$\frac{d^2 \varphi}{dt^2} + \omega_0^2 \varphi = 0 \quad (14.24)$$

tenglamani hosil qilamiz. Bu tenglamaning yechimi

$$\varphi = \varphi_0 \cos(\omega t + \alpha) \quad (14.25)$$

ko'rinishda bo'ladi. (14.25)dan foydalanib, matematik mayatnik tebranish davri

$$T_M = \frac{2\pi}{\omega_0} = 2\pi \sqrt{\frac{l}{g}} \quad (14.26)$$



14.5-rasm.

Demak, kichik og'ish burchaklarda matematik mayatnikning tebranish davri mayatnik uzunligining kvadrat ildiziga to'g'ri proporsional, erkin tushish tezlanishining kvadrat ildiziga teskari proporsional bo'lib mayatnik tebranishlarining amplitudasi va massasiga bog'liq emas. Shuningdek, matematik mayatnikning tebranish tekisligi o'zgarishtirish qoladi.



14.6-rasm

3. Fizik mayatnik — deganda inersiya markazidan o'tmaydigan horizontal qo'zg'almas aylanish o'qi atrofidagi og'irlik kuchi ta'sirida harakatlanadigan qattiq jism tushuniladi. Aylanish o'qi fizik mayatnikning osilish o'qi deb ataladi. Fizik mayatnikning inersiya markazi (S) dan osilish o'qiga o'tkazilgan perpendikular (OS) vertikal chiziq bilan mos tushgan holda mayatnik muvozanat vaziyatida bo'ladi. Muvozanat vaziyatidan biror burchakka og'irliganda (14.6 b yoki 14.6 d = rasm)  $mg$  va  $\vec{F}_n$  kuchlarning teng ta'sir etuvchisi fizik mayatnikni

muvozanat vaziyati tomon qaytarishga intiluvchi  $\vec{F}$  kuchdir. Fizik mayatnikning harakati uchun aylana harakat dinamikasining asosiy tenglamasi

$$I \frac{d^2\varphi}{dt^2} = -mgh \sin\varphi \quad (14.27)$$

tarzida yoziladi. Bu yerda,  $I$  – fizik mayatnikning osilish o'qiga nisbatan inersiya momenti,  $m$  – massasi,  $h$  – esa fizik mayatnikning osilish o'qi va inersiya markazi orasidagi masofa. Kichik tebranishlar uchun  $\sin\varphi \approx \varphi$  ekanligini hisobga olsak, 14.27 quyidagicha yoziladi:

$$\frac{d^2\varphi}{dt^2} + \frac{mgh}{I} \varphi = 0$$

$$\frac{d^2\varphi}{dt^2} + \omega_0^2 \varphi = 0 \quad (14.28)$$

(14.28) tenglamaga

$$\omega_0^2 = \frac{mgh}{I} \quad (14.29)$$

belgilash kiritdik.

Shunday qilib, fizik mayatnikning tebranish davri

$$T_0 = \frac{2\pi}{\omega_0} = 2\pi \sqrt{\frac{I}{mgh}} \quad (14.30)$$

formula bilan aniqlanadi. (14.26) va (14.30) larni solishtirib

$$l_0 = \frac{I}{m\pi n} \quad (14.31)$$

fizik mayatnikning keltirilgan uzunligi ( $l_0$ ) ni topamiz. Shunday qilib, fizik mayatnikning keltirilgan uzunligi shunday matematik mayatnikning uzunligidan iboratki, bu mayatnikning tebranish davri berilgan fizik mayatnikning tebranish davriga teng bo'ladi.

(14.19), (14.26) va (14.30) lar asosida quyidagi xulosaga kelamiz: prujinali mayatnik, matematik va fizik mayatniklar uchun umumiy xususiyati shundan iboratki, mayatniklarning kichik tebranishlarida, ya'ni gormonik tebranishlar sodir bo'layotganda tebranish davri, amplitudaga bog'liq emas. Mayatniklarning bu xossasi *izotropik* deb ataladi. Bu ko'rib o'tilgan mayatniklar texnikasining turli sohalarida qo'llaniladi.

#### 14.4. Bir xil yo'nalishdagi tebranishlarni qo'shish

Yo'nalishlar va chastotalari bir xil, lekin amplituda va boshlang'ich fazalari turlicha bo'lgan ikkita gormonik tebranishlarning qo'shilishini qarang chiqaylik. Tebranuvchi jisimning  $x_1$  va  $x_2$  siljishlarning yig'indisidan iborat bo'ladi:

$$x_1 = A_1 \cos(\omega t + \alpha_1) \quad x_2 = A_2 \cos(\omega t + \alpha_2) \quad (14.32)$$

Bu tebranishlarni qo'shishda amplitudaning vektorlar diagrammasidan foydalanamiz. Vektorlarning qo'shish qoidasiga binoan A vektori chizaylik. Bu vektorni  $x$  o'qiga proektsiyasi, qo'shiluvchi vektorlar proektsiyalarning yig'indisiga teng, ya'ni

$$x = x_1 + x_2$$

ekanligini (14.7-rasm)dan ko'rish qiyin emas.

Demak, A vektor natijaviy tebranish amplitudasidir. Bu vektor ham  $A_1$  va  $A_2$  vektorlar labi  $\omega_0$  burchak tezlik bilan aylanadi.

A ning qiymatini esa kosinuslar teoremasidan foydalanib topish mumkin.

$$A^2 = A_1^2 + A_2^2 - 2A_1 A_2 \cos[\pi - (\alpha_2 - \alpha_1)] = A_1^2 + A_2^2 + 2A_1 A_2 \cos(\alpha_2 - \alpha_1) \quad (14.33)$$

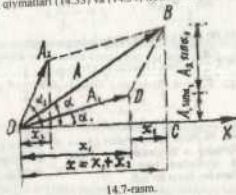
$\alpha$  ning qiymati OVS uchburchaklardan aniqlaymiz:

$$\operatorname{tg} \alpha = \frac{BC}{OC} = \frac{A_1 \sin \alpha_1 + A_2 \sin \alpha_2}{A_1 \cos \alpha_1 + A_2 \cos \alpha_2} \quad (14.34)$$

Shunday qilib, gormonik tebranishlarni vektorlar yordamida tasvirlash usuli, bir necha tebranishlarni qo'shilishi, vektorlarning qo'shish qoidasiga keltirilishga imkon berar ekan. Demak, natijaviy tebranma harakat ham  $\omega_0$  chastota bilan qo'shiluvchi tebranishlar yo'nalishida amalga oshuvchi gormonik tebranish bo'ladi, uning tenglamasi

$$x = A \cos(\omega t + \alpha)$$

bo'lib, A va  $\alpha$  ning qiymatlari (14.33) va (14.34) ifodalari bilan aniqlanadi.



14.7-rasm.

#### 14.5. O'zaro perpendikular tebranishlarni qo'shish

O'zaro perpendikular tebranishlarning tenglamalari

$$x = A_1 \cos(\omega t + \alpha_1) \quad (14.36)$$

$$y = A_2 \cos(\omega t + \alpha_2)$$

ko'rinishida yoziladi. Bunda  $A_1$  va  $A_2$ ,  $\alpha_1$  va  $\alpha_2$  mos ravishda birinchi va ikkinchi tebranishlarning amplitudalari va boshlang'ich fazalari.

(14.36) tenglamalar ustida bir qator matematik amallar bajarib,  $z$  ni yo'qotsak, moddiy nuqta natijaviy harakati trayektoriyasining tenglamasini hosil qilamiz:



$$\frac{x^2}{A_1^2} + \frac{y^2}{A_2^2} - \frac{2xy}{A_1 A_2} \cos(\alpha_2 - \alpha_1) = \sin^2(\alpha_2 - \alpha_1) \quad (14.37)$$

Bu tenglamani quyidagi xususiy hollar uchun tatbiq qilaylik:

1).  $\alpha_2 - \alpha_1 = 0$ , ya'ni  $\alpha_2 = \alpha_1 = \alpha$  bo'lsin. U holda (14.37) quyidagicha ko'rinishga keladi:

$$\frac{x^2}{A_1^2} + \frac{y^2}{A_2^2} - \frac{2xy}{A_1 A_2} = 0 \quad \text{yoki} \quad \left( \frac{x}{A_1} - \frac{y}{A_2} \right)^2 = 0$$

bundan

$$y = \frac{A_2}{A_1} x \quad (14.38)$$

to'g'ri chiziq tenglamasini hosil qilamiz.

2).  $\alpha_2 - \alpha_1 = \pi$  bo'lsin. U holda (14.37) tenglama

$$\frac{x^2}{A_1^2} + \frac{y^2}{A_2^2} + \frac{2xy}{A_1 A_2} = 0 \quad \text{yoki} \quad \left( \frac{x}{A_1} + \frac{y}{A_2} \right)^2 = 0$$

ko'rinishga keladi. Bundan:

$$y = -\frac{A_2}{A_1} x \quad (14.39)$$

hosil qilamiz. (14.39) ifoda ham to'g'ri chiziq tenglamasidir.

$\alpha_2 - \alpha_1 = \pm \frac{\pi}{2}$  bo'lsin. U holda (14.37) ifoda

$$\frac{x^2}{A_1^2} + \frac{y^2}{A_2^2} = 1 \quad (14.40)$$

ko'rinishga keladi. Bu ifoda yarim o'qlari  $A_1$  va  $A_2$   $OX$  va  $OY$  o'qlar bo'yicha yo'nalgan *ellipsning* tenglamasidir. Agar qo'shimchi tebranishlar amplitudalarining qiymatlari teng bo'lsa, (ya'ni  $A_1 = A_2$ ) natijaviy harakat trayektoriyasi aylanadan iborat bo'ladi.

#### 14.6. Garmonik tebranishlar energiyasi

Biz yuqorida mayatniklarni tebranish jarayonida ularning kinetik energiyasi potentsial energiyaga va aksincha, potentsial energiya esa kinetik energiyaga aylanib turishiga e'tibor qilmadik. Endi garmonik tebranishlar energiyasini aniqlaylik. Massasi  $m$  bo'lgan moddiy nuqta elastik kuch ta'sirida garmonik tebranma harakat qiladi.

$$F = -kx$$

Harakat davomida moddiy nuqta ma'lum bir tezlikka erishadi, demak, u ma'lum kinetik energiyaga ega bo'ladi.

$$W_k = \frac{1}{2} m v^2$$

Le'kin garmonik tebranma harakat qilayotgan moddiy nuqtaning tezligi uchun

$$v = \frac{dx}{dt} = \frac{d}{dt} [A \cos(\omega_0 t + \alpha)] = -A \omega_0 \sin(\omega_0 t + \alpha) \quad (14.41)$$

ifoda hosil bo'ladi. U holda kinetik energiya formulasi:

$$W_k = \frac{1}{2} m \omega_0^2 A^2 \sin^2(\omega_0 t + \alpha) \quad (14.42)$$

ko'rinishda yoziladi.

Potentsial energiya qiymati esa

$$W_p = \int_0^x F dx = \int_0^x kx dx = \frac{1}{2} kx^2 = \frac{1}{2} kA^2 \cos^2(\omega_0 t + \alpha) \quad (14.43)$$

(14.42) va (14.43) lardagi sinus va kosinusning maksimal qiymati 1 ga teng. Shuning uchun kinetik va potentsial energiyalarning maksimal qiymatlari quyidagicha:

$$W_k = \frac{1}{2} m \omega_0^2 A^2, \quad (14.44)$$

$$W_p = \frac{1}{2} kA^2 \quad (14.45)$$

Garmonik tebranma harakat qilayotgan moddiy nuqtaning ixtiyoriy vaziyatdagi to'liq energiyasi kinetik va potentsial energiyalar yig'indisidan iborat:

$$W = W_k + W_p = \frac{1}{2} m \omega_0^2 A^2 \sin^2(\omega_0 t + \alpha) + \frac{1}{2} kA^2 \cos^2(\omega_0 t + \alpha)$$

(14.45) dan  $k = m\omega_0^2$  teng ekanligini eslatib, to'liq energiya uchun

$$W = \frac{1}{2} m \omega_0^2 A^2 \quad \text{yoki} \quad W = \frac{1}{2} kA^2 \quad (14.46)$$

formulasi hosil qilamiz.

Buni (14.44) va (14.45) bilan taqqoslab, quyidagi xulosaga kelamiz.

tebranuvchi sistemaning ixtiyoriy vaziyatdagi to'liq energiyasi o'zgarmaydi va u kinetik yoki potentsial energiyaning maksimal qiymatiga teng bo'ladi.

#### 14.7. So'nuvchi va majburiy tebranishlar. Rezonans

**So'nuvchi tebranishlar.** Agar mayatnik muvozanat vaziyatidan chiqarilib, so'ngra qo'yib yuborilsa, u holda mayatnik faqat unga dastlabki berilgan energiya tufayli ancha vaqt tebranib turadi. Mayatnikning bunday tebranishlari erkin tebranishlar yoki xususiy tebranishlar deyiladi. Amalda havoning qarshiligi va ishqalanishining mavjudligi mayatnik tebranishlar amplitudasini vaqt o'tishi bilan kamayishiga olib keladi. Vaqt o'tishi bilan amplitudasi kamayib boradigan tebranishlar so'nuvchi tebranishlar deyiladi.

Kichik tezliklarda havoning qarshilik kuchi tezlikka proporsional, lekin unga teskari yo'nalgan bo'ladi:

$$F_x = -rV = -r \frac{dx}{dt} \quad (14.47)$$

bu yerda,  $r$  — qarshilik koeffitsiyenti deb ataladi.

Tebranayotgan jism uchun Nyutonning ikkinchi qonunidan foydalansak, natijada so'nuvchi tebranishni karakterlaydigan tenglama

$$m \frac{d^2 x}{dt^2} = -kx - r \frac{dx}{dt} \quad (14.48)$$

ko'rinishida yoziladi. Bu tenglamaning ikki tomonini  $m$  ga bo'lsak va

$$\frac{k}{m} = \omega_0^2; \quad \frac{r}{m} = 2\beta \quad (14.49)$$

belgilashlardan foydalansak, quyidagi munosabatni hosil qilamiz:

$$\frac{d^2 x}{dt^2} + 2\beta \frac{dx}{dt} + \omega_0^2 x = 0 \quad (14.50)$$

Bu tenglamaning yechimi  $\beta \angle \omega_0$  bo'lgan holda quyidagicha bo'ladi:

$$x = A_0 e^{-\beta t} \cos(\omega_c t + \alpha) \quad (14.51)$$

Bundagi  $\frac{\partial D}{\partial t} = \frac{d\sigma}{dt}$  so'nuvchi tebranish chastotasi, uning qiymati

$$\omega_c = \sqrt{\omega_0^2 - \beta^2} \quad (14.52)$$

munosabat bilan aniqlanadi. Faqat bitta xususiy holda, ya'ni  $\beta = \frac{r}{2m} = 0$

bo'lgan holda  $\omega_c = \omega_0$  bo'ladi. So'nuvchi tebranish davri ( $T_c$ ) esa xususiy tebranish davri ( $T_0$ ) dan katta:

$$T_c = \frac{2\pi}{\omega_c} = \frac{2\pi}{\sqrt{\omega_0^2 - \beta^2}} > T_0 = \frac{2\pi}{\omega_0} \quad (14.53)$$

so'nuvchi tebranishlarning amplitudasi esa vaqt o'tishi bilan

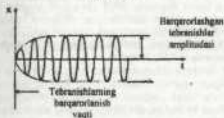
$$A = A_0 e^{-\beta t} \quad (14.54)$$

qonun bo'yicha kamayib boradi (14.8-rasm). Bunda  $A_0$  — boshlang'ich amplituda,  $\beta$  esa so'nish koeffitsiyenti deb ataladi.

Amplitudaning kamayib borishi 14.8-rasmida punktir chiziq bilan tasvirlangan.



14.8-rasm.



14.9-rasm.

**Majburiy tebranishlar.** Mayatnikning tebranishlari so'nmasligi uchun atrof-muhitga ketayotgan energiyani uzluksiz qayta tiklab turish kerak, ya'ni mayatnikka davriy o'zgarib turuvchi kuch bilan ta'sir qilib turish kerak. Davriy ravishda o'zgarib turadigan bunday tashqi kuchni **majbur etuvchi kuch** deb ataladi.

Moddiy nuqtaga harmonik qonun bo'yicha o'zgaruvchi

$$F = F_0 \cos \omega t$$

kuch ta'sir etsin. Dinamikaning ikkinchi qonuniga asosan, moddiy nuqtaning mazkur holdagi harakat tenglamasini quyidagicha yozishimiz mumkin:

$$m \frac{d^2 x}{dt^2} = -kx - r \frac{dx}{dt} + F_0 \cos \omega t$$

yoki

$$\frac{d^2 x}{dt^2} + 2\beta \frac{dx}{dt} + \omega_0^2 x = \frac{F_0}{m} \cos \omega t \quad (14.55)$$

(14.55) tenglamaning xususiy yechimi esa majbur etuvchi kuch chastotasi  $\omega$  bilan sodir bo'ladigan tebranishlarni aks ettiradi. Bu tebranishlarni moddiy nuqtaning majburiy tebranishlari deyiladi (14.9-rasm).

Moddiy nuqtaning xususiy tebranishlari majbur etuvchi kuch ta'sir eta boshlagan dastlabki paytda vujudga keladi va eksponentsial qonun bo'yicha so'nadi. (14.55) tenglamaning izlanayotgan yechimi:

$$X = A \cos(\omega t + \alpha) \quad (14.56)$$

munosabat bilan aniqlanadi. Bundagi  $A$  majburiy tebranishlar amplitudasi, uning qiymatini:

$$A = \frac{F_0}{m\sqrt{(\omega_0^2 - \omega^2)^2 + 4\beta^2\omega^2}} \quad (14.57)$$

formula yordamida hisoblash mumkin,  $a$  esa majbur etuvchi kuch va majburiy tebranish fazalarining farqi, uning qiymati:

$$\operatorname{tg} \alpha = -\frac{2\beta\omega}{\omega_0^2 - \omega^2} \quad (14.58)$$

formula yordamida hisoblanadi.

**Rezonans hodisasi.** Agar  $\omega = 0$  bo'lganda, ya'ni majbur etuvchi kuchning qiymati o'zgarmaganda (14.57) ifodadan

$$A = \frac{F_0}{m\omega_0^2} = \frac{F_0}{K} \quad (14.59)$$

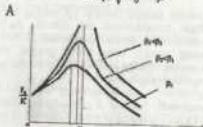
kelib chiqadi.  $\omega \rightarrow \infty$  bo'lsa, (14.57) ga asosan, amplituda nolga intiladi (14.10-rasm)dan ko'rinadiki,  $\omega$  ning biror oraliq qiymatida amplituda maksimal qiymatga erishadi. Bu hodisa, ya'ni majbur etuvchi kuch chastotasining biror aniq qiymatida majburiy tebranishlar amplitudasiining keskin oshib ketishi **rezonans hodisasi** deb ataladi.

Rezonans hodisasi amalga oshgan holdagi majbur etuvchi kuchning chastotasini **rezonans chastotasi** deb, amplitudalarning maksimal qiymatini esa **rezonans amplituda** deb ataladi. Rezonans hodisasi to'y berganda (14.57) ifoda maksimal qiymatga erishadi, ammo bu holda mazkur ifodaning maxraji minimal qiymatga erishishi lozim. Shuning uchun (14.57) ning maxrajidan  $\omega$  bo'yicha hosila olib, uni nolga tenglashtiraylik:

$$\begin{aligned} \text{yoki} \quad & -2(\omega_0^2 - \omega^2)2\omega + 4\beta^2\omega = 0 \\ & -(\omega_0^2 - \omega^2) + 2\beta^2 = 0 \\ \text{bundan} \quad & \omega = \omega_r = \sqrt{\omega_0^2 - 2\beta^2} \end{aligned} \quad (14.60)$$

Rezonans chastotasining bu qiymatini (14.57) qo'yisak, rezonans amplituda qiymatini topamiz:

$$A_p = \frac{F_0}{2m\beta\sqrt{\omega_0^2 - \beta^2}} \quad (14.61)$$



14.10-rasm.

Demak, rezonans chastota va rezonans amplituda βga bog'liq, β kamaygan sari  $\omega_r$  ortib boradi va xususiy tebranishlar chastotasi ( $\omega_0$  ga yaqinlashib boradi).  $\beta = 0$  bo'lganda esa rezonans amplitudaning qiymati cheksiz katta bo'lib ketadi. Real holatda rezonans amplituda chekli qiymatga ega bo'ladi, chunki real sharoitda  $\beta \neq 0$  bo'ladi.

#### 14.8. To'liqin jarayonlar. Yassi sinusoidal to'liqin

Agar muhitning (havо, suv, prujina, arqon va boshqalarning) qandaydir bir nuqtasini tebranma harakatga keltirilsa, u holda biror vaqt o'tishi bilan bu muhitning boshqa nuqtalari ham tebrana boshlaydi, ya'ni tebranish botuni muhitga tarqaladi. Birinchi muhitning nuqtalari tebranish manbalaridan tobora uzoqlashib borgan sari keyingi nuqtalarning tebranma harakati dastlabkisidan kechikadi, ya'ni muhitning har bir nuqtasining tebranishi oldingi nuqta tebranishidan faza jihatidan orqada qoladi.

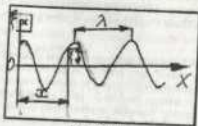
Tebranishlarning fazoda tarqalishi **to'liqin harakat** deyiladi. Tebranishlarning muhinda tarqalish jarayoni **to'liqin** deb yuritiladi. To'liqin tarqalayotgan vaqtda muhitning zarralari to'liqin bilan birga siljimasdan, balki o'zining muvazzan vaziyati atrofida tebranaladi. To'liqinning tarqalish yo'nalishi **sur** deb, ikxitoriy i vaqtda tebranishlar yetib kelgan muhit zarralarining geometrik o'zirlari esa **to'liqin fronti** deb ataladi. O'z navbatida, to'liqin frontini muhitning tebramayotgan zarralarining tebranishi hali boshlanmagan zarralardan ajratib turuvchi chegaraviy sirt tarzida tasavvur qilish mumkin. To'liqin frontining shakli muhit xossalari, tebranish manbaining shakli va o'lchamlariga bog'liq. Masalan, nuqtaviy tebranish manbaidan tarqalayotgan to'liqinlarning fronti **sferik shaklda** bo'ladi. Undan tarqalayotgan to'liqinlari esa **sferik to'liqinlar** deb nom olgan. Agar tebranish manbai tekislik shaklida bo'lsa, manbaga yaqin sohalarda to'liqin fronti ham tekislikdan iborat bo'ladi. Shu sababli bu to'liqinlar **yassi to'liqinlar** deb ataladi. Ikkala holda ham sur to'g'ri chizib bo'lib, u to'liqin frontiga perpendikular bo'adi. Zarralarning tebranishi to'liqin tarqalayotgan yo'nalishga nisbatan qanday yo'nalganligiga qarab to'liqinlar **bo'yilama** va **ko'ndalang** to'liqinlarga bo'linadi.

Agar muhit zarrasining tebranishi to'liqinning tarqalish yo'nalishiga sodir bo'lsa, bunday to'liqinlarga **bo'yilama to'liqinlar** deyiladi. Bo'yilama to'liqinga misol qilib siqilgan prujinaning tebranishlari, tovush to'liqlari va boshqalarni o'tish mumkin. Bo'yilama to'liqlar elastik moddada qattiq, suyuq va gazsimon jismlarda yuzaga kelishi mumkin.

Agar muhit zarrasining tebranishi to'liqinning tarqalish yo'nalishiga perpendikular bo'lsa, bunday to'liqinlarga **ko'ndalang to'liqinlar** deyiladi. Ko'ndalang to'liqlarga misol qilib suv yuzasida hosil bo'lgan va arqon bog' qatlab yo'nalgan to'liqlarni olish mumkin. Aslida ko'ndalang to'liqlar faqat qattiq jismlardagina yuzaga keladi. Suyuqlik va gazlarda ko'ndalang to'liqlar hosil bo'lmaydi, chunki gaz va suyuqliklarda elastik kuchlar vujudga kelmaydi. Suyuqlikning sirti ustida gap ketganda bunday deb bo'lmaydi, chunki suyuqlik ustida ko'ndalang to'liqlar tarqaladi, bu holda shaklining elastikligini o'z ichiga olinadigan kuchlari va sirt hamda taranglik kuchlari ta'minlab turadi. Shunday qilib, ko'ndalang to'liqin tarqalish yo'nalishida muhit zarralarining do'ngliklari va chuqurliklari, bo'yilama to'liqinda esa ustiub zarrachalarining zichlashishi va siyraklanishi daviy hosil bo'la boradi. To'liqin to'siqa duch kelganda qaytadi, bir muhitdan ikkinchi muhitga o'tganda esa sinadi.

Bir tebranish davri davomida to'liqinning tarqalish masofasi **to'liqin uzunligi**

deyiladi. Boshqacha aytganda, to'liqin uzunligi, to'liqinning bir xil fazada tebranayotgan ikki yaqin nuqtalari orasidagi masofadir.



14.11-rasm.

Agar tebranish davri  $T$  bilan, to'liqin uzunligini  $\lambda$  bilan belgilasak, u holda to'liqin tezligi quyidagicha aniqlanadi:

$$u = \frac{\lambda}{T} = \lambda \nu \quad (14.62)$$

Bunda,  $\nu$  – tebranish chastotasi.

To'liqin tarqalish jarayonida manbadan tobora uzoqroqda joylashgan muhit zarralari tebrana boshlaydi. Bu jarayonda to'liqin, xuddi o'zini vujudga keltirgan manbadan «yugurib qochayotgandek» tuyuladi. Shu boisdan uni *yuguruvchi to'liqin* deb ataladi. Biror  $0$  nuqtadan  $x$  masofa uzoqlikdagi (14.11-rasm) zarraning ixtiyoriy

$t$  – vaqtdagi siljishi manbaga bevosita tegib turgan zarraning  $t = \frac{x}{u}$  vaqtdagi siljishiga teng bo'ladi, ya'ni

$$\xi = A \cos \omega \left( t - \frac{x}{u} \right) \quad (14.63)$$

Bu ifoda *yuguruvchi to'liqin tenglamasi* deb ataladi. U to'liqin tarqalayotgan muhit ixtiyoriy zarraning muvozanat vaziyatdan siljishi ( $\xi$ ni vaqt  $t$ ) va zarraning tebranish manbaidan uzoqligi ( $x$ ning funksiyasi sifatida aniqlanadi). (14.63) tenglamaga  $t$  va  $x$  ga nisbatan simmetrik ko'rinish berish uchun *to'liqin soni* deb ataluvchi  $k$  – kattalikni kiritamiz:

$$k = \frac{2\pi}{\lambda} \quad (14.64)$$

(14.62) va (14.64) dan to'liqin soni  $k$ , aylanish chastotasi  $\omega$  va to'liqinning faza tezligi  $u$  orasida quyidagicha munosabat bor degan xulosaga chiqadi:

$$u = \frac{\omega}{k} \quad (14.65)$$

(14.63)dagi  $u$  ning (14.65) qiymati bilan almashirib va ichiga  $\omega$  ni kiritib, *yassi to'liqin* uchun quyidagi ko'rinishdagi tenglamani topamiz:

$$\xi = A \cos(\omega t - kx) \quad (14.66)$$

Bu  $x$  – ning kamayishi tomoniga qarab tarqaluvchi to'liqin tenglamasidir.  $t$  –

radiusli sferik to'liqin tenglamasini (14.66) ga o'xshatib quyidagi ko'rinishda yozibmiz mumkin:

$$\xi = \frac{A}{2} \cos \omega \left( t - \frac{r}{u} \right) \quad (14.67)$$

yoki 
$$\xi = \frac{A}{2} \cos(\omega t - kr)$$

bundan  $r$  – radiusli to'liqin sirtida yotuvchi zarralar  $\omega \left( t - \frac{r}{u} \right)$  faza, bilan tebranaadi, degan xulosaga kelamiz.

#### 14.9. Fazaviy va gruppaviy tezliklar

Yassi to'liqin fronti tekislikdan iborat bo'lib, bu tekislikning barcha nuqtalari bir xil fazada tebranaadi. Shuning uchun bu yassi to'liqin fronti *bir xil fazalar tekisligi* deyish mumkin. U holda (14.63) to'liqin tenglamasida

$$\omega \left( t - \frac{x}{u} \right) = \text{const}$$

bo'lishi kerak. Bunday  $\omega$  o'zi doimiy kattalik bo'lgani uchun

$$t - \frac{x}{u} = \text{const}$$

ko'rinishida yozish mumkin. Bu (14.68) tenglik vaqt  $t$  bilan bir xil fazalar tekisligining koordinatasi  $x$  orasidagi bog'lanishni ifodalaydi. Zarralarning ox o'qi bo'ylab harakat tezligini topish uchun (14.68) dan differensial olamiz

$$dt - \frac{1}{u} dx = 0$$

bundan

$$u = \frac{dx}{dt}$$

(14.69)

Bu ifodani fazoviy tezlik deb yuritiladi. To'liqinlarning fazoviy tezliklari faqatgina muhitning xossalari bog'liq bo'lib, to'liqinning parametri (chastotasi, davriga, shuningdek, to'liqin uzunligi) ga bog'liq emas. Masalan, berilgan muhitda turli chastotali to'liqinlar bir xil fazoviy tezlikda tarqalishi mumkin. Lekin ba'zi sirt bo'ylab yo'nalgan to'liqinlar horki, bularning fazoviy tezliklari chastotalariga bog'liq bo'ladi. *To'liqinlar fazoviy tezligining chastotaga bog'liqligini ifodalovchi hodisaga to'liqinlar dispersiyasi* deb ataladi.

Chastotalari turlicha bo'lgan bir nechta to'liqinlar yig'indisini *to'liqinlar guruhli* yoki *to'liqin apaketi* deb ataladi. «Paketning tezligi uning tarkibiga kirgan to'liqinlarning birortasini ham tezligiga mos kelmaydi. Bunday holdarda *guruhli* tezlik tushunchasidan foydalanamiz.  $\lambda$  dan  $\lambda + d\lambda$  to'liqin uzunliklar sohasida apaketning guruhli tezligi quyidagicha ifodalanadi:

$$u_g = u - \lambda \frac{du}{d\lambda}$$

(14.70)

Bu munosabat tezlikning to'liq uzunlikka bog'liqligini ifodalashi  $\left(\frac{du}{d\lambda}\right)$

bilan fazaviy tezlikdan farqlanadi.

«Paket» tarkibiga kirgan barcha to'liqlar bir xil tezlik bilan tarqalganda, ya'ni

$\left(\frac{du}{d\lambda}\right) = 0$  bo'lgan holda dispersiya hodisasi kuzatilmaydi. Bu vaqtda gurubiy va fazaviy tezliklar o'zaro ( $n_1 = n_2$ ) teng bo'lib, aynan bir xil qiymatga ega bo'ladi.

#### 14.10. To'liqlar interferensiyasi. Turg'un to'liqlar

Agar muhitda bir vaqtni o'zida bir nechta to'liq tarqalayotgan bo'lsa, ular bir-birlari bilan uchrashganda so'ng ham xuddi o'zidan boshqa to'liq mavjud bo'lmagandek, mustaqil o'z tarqalishini davom ettiraveradi. Bu hodisa to'liqlar *superpozitsiya prinsipi* deyiladi.

Chastotalari bir xil va fazalar farqi o'zgarmas bo'lgan to'liqlarni *kogerent* to'liqlar, manbalarini esa *kogerent manbalar* deyiladi. Kogerent to'liqlarning qo'shishida, ularning bir-birini kuchaytirishi yoki zaiflashtirish hodisasi, to'liqlar *interferensiyasi* deyiladi.

Tebrash fazalari mos ravishda  $(ar + \phi_1)$  va  $(ar + \phi_2)$  larga teng bo'lgan ikkita nuqtaviy manbalardan tarqalayotgan to'liqni tekshiraylik.

$$\xi = \frac{A}{r_1} \cos(\omega t + \phi_1 - kr_1)$$

$$\xi = \frac{A_2}{r_2} \cos(\omega t + \phi_2 - kr_2) \quad (14.71)$$

bu yerda,  $A_1$  va  $A_2$  to'liqlarning tekshirayotgan nuqtadagi amplitudalari,  $r_1$  - to'liq soni,  $r_1$  va  $r_2$  to'liq manbalaridan berilgan nuqtagacha bo'lgan masofa.

Quyidagi shart bajarilganda to'liqlar bir-birini kuchaytiradi.

$$k(r_1 - r_2) - (\alpha_1 - \alpha_2) = \pm 2n\pi \quad (n = 0, 1, 2, \dots) \quad (14.72)$$

Quyidagi shart qanoatlaniriganda esa

$$k(r_1 - r_2) - (\alpha_1 - \alpha_2) = \pm 2\pi \left( n + \frac{1}{2} \right) \quad (n = 0, 1, 2, \dots) \quad (14.73)$$

to'liqlar bir-birini zaiflashtiradi.

Demak, agar to'liqlarning yo'l farqi yarim to'liq uzunliklarining juft sonidan iborat bo'lsa, berilgan nuqtada maksimum, agar yo'l farqi yarim to'liq uzunliklarining toq sonidan iborat bo'lsa, berilgan nuqtada minimum kuzatiladi.

To'liqlar interferensiyasining boshqa muhim holi bir to'g'ri chiziq bo'ylab qarama-qarshi tomonga yo'nalgan ikki kogerent to'liqni qo'shishdan iboratdir. Chastotalari va amplitudalari bir xil bo'lgan ikki yansi to'liq bir-biriga qarab harakatlanganda uchrashib, natijada turg'un to'liq mavjudga keladi.

Bu to'liqlarning tenglamalarini yozaylik:

$$\xi_1 = A \cos \omega \left( t - \frac{x}{u} \right); \quad \xi_2 = A \cos \omega \left( t + \frac{x}{u} \right) \quad (14.74)$$

Bu tenglamalarni qo'shamiz va kosinuslar teoremasi asosida o'zgartirishlar kiritamiz:

$$\xi = \xi_1 + \xi_2 = A \left[ \cos \omega \left( t - \frac{x}{u} \right) + \cos \omega \left( t + \frac{x}{u} \right) \right] = 2A \cos \omega \frac{x}{u} \cos \omega t; \quad \text{bu yerdagi } \omega = \frac{2\pi}{T} \text{ va } uT = \lambda$$

eksanligini eslasak, yuqoridagi ifodani

$$\xi = 2A \cos 2\pi \frac{x}{\lambda} \cos \omega t \quad (14.75)$$

ko'rinishda yozamiz. (14.75) ifoda *turg'un to'liq* tenglamasidir. Undan ko'rinish turibdiki, turg'un to'liq chastotasi, uchrashayotgan to'liqlarning chastotasi ga teng bo'lib, amplitudasi vaqtga bog'liq bulmasdan  $x$  koordinatiga bog'liq.

$$A_T = 2A \cos 2\pi \frac{x}{\lambda}$$

$$2\pi \frac{x}{\lambda} = \pm n\pi \quad (n = 0, 1, 2, \dots) \quad (14.76)$$

shartni qanoatlaniruvchi nuqtalarda turg'un to'liq amplitudasi ning maksimal qiymati  $2A$  ga teng bo'ladi. Bu nuqtalar turg'un to'liqning *do'ngliklari* deb ataladi. (14.12 - rasim) 14.76) ga asosan do'ngliklarning koordinatalari uchun

$$x = n \frac{\lambda}{2} \quad (n = 0, 1, 2, \dots) \quad (14.77)$$

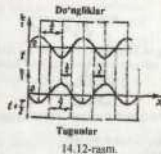
ifodani hosil qilamiz.

$$2\pi \frac{x}{\lambda} = \pm \left( n + \frac{1}{2} \right) \pi \quad (n = 0, 1, 2, \dots)$$

shartni qanoatlaniruvchi nuqtalarda esa turg'un to'liq amplitudasi nolga teng bo'ladi. Bu nuqtalar *turg'un to'liqning tugunlari* deb ataladi (14.12 - rasim). Bundan tugunlarning koordinatalari

$$x = \pm (2n + 1) \frac{\lambda}{2} \quad (n = 0, 1, 2, \dots) \quad (14.78)$$

ifoda bilan aniqlanishini topamiz. 14.12 - rasmdan ko'rinadiki, do'ngliklar va tugunlar bir-biridan to'liqning chorak uzunligiga teng masofada joylashadi.



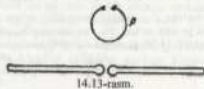
14.12-rasim.

#### 14.11. Elektromagnit to'liqlar. Umov vektori

14.2 da tebrash konturida elektromagnit to'liqlar hosil qilish va unda elektr hamda magnit maydon energiyalarining bir-biriga aylanishlarini o'rganib chiqdik. Bu hodisa kontur atrofidagi fazoda energiyaning juda oz qismi elektromagnit to'liq

sifatida tarqalishi mumkinligini ko'rsatadi. Tebranish konturining davri qanchalik kichik bo'lsa, kontur energiyasining shunchalik ko'prog qismi elektromagnit to'lqin sifatida tarqaladi. Tomson formulasi ( $T = 2\pi\sqrt{LC}$ ) asosan tebranish davrini kichraytirish uchun tebranish konturidagi induktivlik va sig'im qiymatlarini kamaytirish lozim yoki tebranish chastotasini oshirish kerak. Elektromagnit to'lqinlarni tarqatish uchun Gers ochiq konturidan, ya'ni Gers vibratoridan foydalanish maqsadga muvofiqdir.

Vibratorning ikkala qismi dastlab o'zgaruvchan tok manbaidan yuqoriroq potentsiallar farqi vujudga kelguncha zaryadlanadi. Potentsiallar farqi yetarlicha yuqori bo'lganda vibratorning ikkala qismi oralig'ida uchun yuz berib zarjining ikkala qismini ulaydi. Keyin vibrator yangidan zaryadlanadi va jarayon takrorlanaveradi.



14.13-rasm.

Elektromagnit to'lqinlarini qayd qilish uchun rezonator (rdan) foydalanish mumkin (14.13-rasm). Elektromagnit to'lqinning differensial tenglamasi quyidagicha yoziladi:

$$\frac{\partial^2 E}{\partial x^2} + \frac{\partial^2 E}{\partial y^2} + \frac{\partial^2 E}{\partial z^2} = \frac{1}{u^2} \frac{\partial^2 E}{\partial t^2} \quad (14.79)$$

$$\frac{\partial^2 H}{\partial x^2} + \frac{\partial^2 H}{\partial y^2} + \frac{\partial^2 H}{\partial z^2} = \frac{1}{u^2} \frac{\partial^2 H}{\partial t^2} \quad (14.80)$$

bundagi  $u$  — elektromagnit to'lqinning fazaviy tezligi bo'lib, uning qiymati quyidagi munosabat bilan aniqlanadi:

$$u = \frac{1}{\sqrt{\mu_0 \epsilon_0} \sqrt{\mu \epsilon}} \quad (14.81)$$

bunda,  $\mu$  — muhitning magnit singdiruvchanligi va  $\epsilon$  — dielektrik singdiruvchanligi birga teng. Shuning uchun vakuumda elektromagnit to'lqinlarining tarqalish tezligi

$$c = \frac{1}{\sqrt{\mu_0 \epsilon_0}} \quad (14.82)$$

munosabat bilan topiladi. Bu ifodani e'tiborga olib (14.81)ni quyidagicha yozamiz.

$$u = \frac{c}{\sqrt{\mu \epsilon}} \quad (14.83)$$

Maksvel nazariyasiga asosan elektromagnit to'lqinlar ko'ndalang to'lqinlardir. A va N vektorlar o'zaro perpendikular bo'lib, ular to'lqinning tarqalish tezligi  $u$  ga perpendikular tekislikda yotadi (14.14-rasm). Elektromagnit to'lqinda A va N

vektorlarining tebranishlari doimo bir xil fazada sodir bo'ladi. o x yo'nalishida tarqalayotgan o chastotali elektromagnit to'lqin tenglamasi quyidagicha yoziladi:

$$E = E_m \cos(\omega t - kx + \varphi_0) \quad (14.84)$$

$$H = H_m \cos(\omega t - kx + \varphi_0) \quad (14.85)$$

bundagi  $E_m$  va  $H_m$  — mos ravishda E va N vektorlarning amplituda qiymatlari,

$k = \frac{\omega}{u} = \frac{2\pi}{\lambda}$  to'lqin smi,  $\varphi_0$  — koordinatasi  $x=0$  bo'lgan nuqtadagi

tebranishlarning boshlang'ich fazasi.

Elektromagnit maydon energiyasi, elektr va magnit maydon energiyalarining zichligi yig'indisidan iborat:

$$W = W_e + W_m = \frac{\epsilon_0 \epsilon E^2}{2} + \frac{\mu_0 \mu H^2}{2} \quad (14.86)$$

bir momentda elektr va magnit maydon energiyalarining zichliklari birday bo'ladi, ya'ni:

$$W_e = W_m$$

buni e'tiborga olib (14.86) ni quyidasi ko'rinishda yozamiz:

$$W = 2W_e = 2W_m = \epsilon_0 \epsilon E^2 = \mu_0 \mu H^2 \quad (14.87)$$

Bundan

$$\sqrt{\epsilon_0 \epsilon} E = \sqrt{\mu_0 \mu} H$$

ekmaligi kelib chiqadi yoki buni (14.87) ga qo'ysak,

$$W = \sqrt{\epsilon_0 \mu_0 \epsilon \mu} EH \quad (14.88)$$

natijani olamiz.

Energija oqimining zichligini S bilan belgilasak,

$$\begin{aligned} S &= W u = EH \\ S &= [EH] \end{aligned} \quad (14.89)$$

S vektorini Umov - Poynting vektori deb ataladi.

Savollar

1. Garmonik tebranishlar deb nimaga aytiladi va uni tavsiflovchi kattaliklarni ifodalang.
2. Tebranayotgan jismga ta'sir etuvchi kuchni Guk qonuni orqali izohlang.
3. Elektr tebranishlarning generatori va yuksak chastotali elektromagnit to'lqinlar manbai sifatida foydalanish mumkin boigan tebranish konturini tuzilishi va ishlash prinsipini ko'rsating.
4. Tebranish konturida bosil bo'lgan elektr tebranishlarning tebranish davri T ning Tomson formulasi orqali ifodalang.
5. Mayatniklarning turlarini va ularning tebranish qonunlarini aniqlang.

6. Bir xil yo'nalishdagi va o'zaro perpendikular tebranishlarni qo'nishda qanday natijalarga erishiladi.

7. Garmonik tebranishlar energiyasi tenglamasini keltirib chiqaring va ifodalovchi kattaliklarni ta'riflang.

8. So'nuvchi tebranishlarning amplitudasini vaqt o'tishi bilan monoton ravishda kamayib borishini tushuntiring.

9. Majburiy tebranishlar va rezonans hodisasini vujudga kelish sabablarini izohlab bering.

10. Yugiruvchi to'lqin va sferik to'lqin tenglamalarni yozing va ularning xarakterlovchi kattaliklarni ajratib ko'rsating.

11. To'lqin interferensiyasining hosil bo'lish shartlarini ifodalang.

12. Turg'un to'lqin tenglamasini yozing va turg'un to'lqin qanday hosil qilinishini ko'rsating.

13. Elektromagnit to'lqinlarini hosil qilishda va tarqatishda Gers vibratoridan qanday foydalanilgan?

14. Elektromagnit to'lqinining differensial tenglamasini yozing.

**Masalalar**

**50-masala.** Tebranish konturi har bir plastinkasining yuzi  $S=100\text{cm}^2$  bo'lgan havo kondensatori va induktivligi  $L=10^{-6}\text{Gn}$  bo'lgan g'altakdan iborat konturdagi elektr tebranishlar davri  $T=10^{-5}\text{s}$ . Kondensator plastinkalari orasidagi masofani aniqlang.

**Berilgan:**  $S=100\text{cm}^2=100\cdot 10^{-4}\text{m}^2$   
 $L=10^{-6}\text{Gn}$ ,  $T=10^{-5}\text{s}$

**Yechish.** Tomson formulasi (14-8) ga muvofiq

$$C = \frac{\epsilon_0 \epsilon S}{4\pi^2 L}$$

Ikkinchi tomondan yassi kondensatorning  $C = \frac{\epsilon_0 \epsilon S}{d}$  sig'imi bo

yerd  $\epsilon_0 = 8,85 \cdot 10^{-12}\text{F/m}$  elektr doimiysi,  $\epsilon = 1$  havoning nisbiy dielektrik sigdiruvchanligi  $S$  ning ifodasi bo'lgan ikki tenglikning o'ng qismlarini o'zaro tenglab, quyidagini hosil qilamiz:

$$d = \frac{4\pi^2 \epsilon_0 \epsilon L S}{T^2} = \frac{4 \cdot 3,14^2 \cdot 8,85 \cdot 10^{-12} \cdot 10^{-6} \cdot 10^{-3} \cdot 10^{-2}}{10^{-10}} = 3,5 \cdot 10^{-3}\text{m} = 3,5\text{mm}.$$

**51-masala.** Moddiy nuqtaning tebranishi  $x=0,25\sin\left(\pi t + \frac{\pi}{2}\right)\text{m}$  qonun

bo'yicha bajariladi. Tebranish amplitudasi  $A$ , davri  $T$ , siklik chastotasi  $\omega$  boshlang'ich fazasi  $\phi_0$  maksimal tezligi  $v_{\text{max}}$  va maksimal tezlanishi  $a_{\text{max}}$  topilsin.

$$x = 0,25 \sin\left(\pi t + \frac{\pi}{2}\right)\text{m}$$

**Berilgan:**  $x = A \sin(\omega t + \phi_0)$

**Yechish.** Topilishi kerak bo'lgan kattaliklarni aniqlash uchun tebranishning tenglamasini garmonik tebranishning umumiy ko'rinishidagi tenglamasi bilan solishtiramiz:

$$x = 0,25 \sin\left(\pi t + \frac{\pi}{2}\right)\text{m}$$

$$x = A \sin\left(\frac{2\pi}{T}t + \phi_0\right)\text{m}$$

Bu ikki tenglama taqqoslanishidan quyidagi kelib chiqadi: tebranishning

amplitudasi  $A=0,25\text{m}$ ; davri  $\frac{2\pi}{T}t = \pi$  bundan  $T=2\text{s}$ ; siklik chastotasi

$$\omega = \frac{2\pi}{T} = \frac{2\pi}{2} = 3,14\text{rad/s}; \text{ boshlang'ich fazasi } \phi_0 = \frac{\pi}{2}$$

Tebranishning tezligi  $v$  va tezlanishi  $a$  mos ravishda siljish funksiyasining birinchi va ikkinchi tartibli hosilidan iborat bo'lgani uchun:

$$v = \frac{dx}{dt} = 0,25\pi \cos\left(\pi t + \frac{\pi}{2}\right) \text{ bo'lib, } v_{\text{max}} = 0,25\pi \text{ m/s} = 0,785\text{ m/s}.$$

Shunday qilib,  $v_{\text{max}} = 0,785\text{ m/s}$   $a = \frac{d^2x}{dt^2} = \frac{dv}{dt} = -0,25\pi^2 \sin\left(\pi t + \frac{\pi}{2}\right)$  bo'lib,

$a = -0,25\pi^2 \text{ m/s}^2 = -0,25 \cdot 3,14^2 \text{ m/s}^2 = -2,46\text{ m/s}^2$ . Shunday qilib,  $a = -2,46\text{ m/s}^2$ .

**52-masala.** Tebranish konturi  $C=48\text{mkF}$  sig'imi kondensator va  $L=1,2\text{mGn}$  induktivlikli g'altakdan tuzilgan bo'lsa, konturning xususiy tebranish chastotasi  $\nu$  topilsin.

**Berilgan:**  $C=48\text{mkF} = 48 \cdot 10^{-6}\text{F}$ ,  
 $L=1,2\text{mGn} = 1,2 \cdot 10^{-3}\text{Gn}$

**Yechish.** Kontorning tebranish chastotasi  $\nu = \frac{1}{T}$ , bunda  $T$  - konturning xususiy

tebranish davri, Tompson formulasidan aniqlanadi, chunki konturning xususiy tebranishida g'altakning qarshiligi hisobga olinmaydi. Shuning uchun:

$$T = 2\pi \sqrt{LC}$$

bunda  $L$  - g'altakning induktivligi,  $C$  - kondensatorning sig'imi.

Davr  $T$  ning ifodasi yuqoridagi formulaga qo'yilsa, quyidagi ishchi formula kelib chiqadi:

$$V_i = \frac{1}{2\pi\sqrt{LC}}$$

Kattaliklarning son qiymatlarini o'rniga qo'yib, hisoblashni bajaramiz:

$$V_i = \frac{1}{2\pi\sqrt{LC}} = \frac{1}{2 \cdot 3,14 \sqrt{12 \cdot 10^{-4} \cdot 481 \cdot 10^{-6}}} = \frac{1}{6,28 \cdot 24 \cdot 10^{-5}} = 663 \text{Gs}$$

**53-masala.**  $m=5$  g massali moddiy nuqta  $v=0,5 \text{Gts}$  chastota bilan garmonik tebranadi. Tebranish amplitudasi  $A=3 \text{sm}$ . 1) nuqtaning siljishi  $x=1,5$  sm bo'lgan vaqtidagi tezligi  $v$ ; 2) nuqtaga ta'sir etuvchi maksimal kuch  $F_{\text{max}}$ ; 3) tebralayotgan nuqtaning to'liq energiyasi  $W$  aniqlansin.

**Berilgan:**  $v=0,5 \text{Gts}$ ,  $m=5 \text{g}=5 \cdot 10^{-3} \text{kg}$ ,  $A=3 \text{sm}=3 \cdot 10^{-2} \text{m}$   
 $x=1,5 \text{sm}=1,510^{-2} \text{m}$

**Yechish.** 1) Garmonik tebranish tenglamasi quyidagi ko'rinishga ega

$$x = A \cos(\omega t + \varphi) \quad (1)$$

Tezlik formulasini esa siljishidan vaqt bo'yicha birinchi tartibli hosila olib topamiz:

$$v = \frac{dx}{dt} = -A\omega \sin(\omega t + \varphi)$$

Tezlikni siljish orqali ifodalash uchun (1) va (2) tenglamalardan vaqtni yo'qotish kerak. Buning uchun har ikkala tenglamani kvadratga ko'tarib, birinчисini  $A$  ga, ikkinчисini  $A^2\omega^2$  ga bo'lamiz va ularni qo'shamiz:

$$\frac{x^2}{A^2} + \frac{v^2}{A^2\omega^2} = 1 \quad \text{yoki} \quad \frac{x^2}{A^2} + \frac{v^2}{4\pi^2\nu^2 A^2} = 1$$

Oxirgi tenglamani  $u$  ga nisbatan yechib, quyidagini topamiz:

$$v = \pm 2\pi\nu\sqrt{A^2 - x^2}$$

Shu formula bo'yicha hisoblashni bajarsak

$$v = \pm 8,2 \text{sm/s}$$

2) nuqtaga ta'sir etuvchi kuchni Nyutonning ikkinchi qonuniga binoan topamiz:

$$F = ma \quad (2)$$

Bunda  $a$  — nuqtaning tezligidan vaqt bo'yicha hosila olib topiladigan tezlanishi

$$a = \frac{dv}{dt} = -A\omega^2 \cos(\omega t + \varphi) \quad \text{yoki} \quad a = -4\pi^2\nu^2 A \cos(\omega t + \varphi)$$

tezlanishning ifodasini (3) formulaga qo'syak:

$$F = -4\pi^2\nu^2 m A \cos(\omega t + \varphi)$$

Bundan kuchni maksimal qiymati

$$F_{\text{max}} = 4\pi^2\nu^2 mA$$

Bu tenglamaga  $\pi$ ,  $\nu$ ,  $m$  va  $A$  kattaliklarini qiymatlarini qo'syak.

$$F_{\text{max}} = 1,49 \text{mN}$$

3) tebralayotgan nuqtaning to'liq energiyasi istalgan vaqt "realig'i uchun kinetik va potensial energiyalarning yig'indisiga tengdir.

To'liq energiyani hisoblashning eng soddayo'li uni kinetik energiya potensial energiya maksimal qiymatga erishganda hisoblashdir. Bu vaqtda potensial energiya nolga teng bo'ladi (yoki kinetik energiya). Shuning uchun ham tebralayotgan nuqtaning to'liq energiyasi  $W$  maksimal kinetik energiya  $W_{\text{max}}$  ga teng bo'ladi:

$$W = W_{\text{max}} = \frac{1}{2} m v^2_{\text{max}} \quad (4)$$

Maksimal tezlik (2) formulaga asosan  $\sin(\omega t + \varphi) = 1$  qo'yib

$$v_{\text{max}} = 2\pi\nu A$$

Tezlikning ifodasini (4) formulaga qo'syak

$$W = 2\pi^2 m \nu^2 A^2$$

Kattaliklarning qiymatlarini bu formulaga qo'yib hisoblaymiz:

$$W = 2 \cdot (3,14)^2 \cdot 5 \cdot 10^{-3} \cdot (0,5)^2 \cdot (3 \cdot 10^{-2})^2 \text{J} = 22,1 \cdot 10^{-6} \text{J} = 22,1 \text{mJ}$$

**54-masala.**  $x_1 = A_1 \cos \omega(t + \tau_1)$ ;  $x_2 = A_2 \cos \omega(t + \tau_2)$  tenglamalar bilan ifodalanadigan, bir xil yo'naltirli ikkita tebranish qo'shiladi. Bunda  $A_1 = 1$  sm,  $A_2 = 2$  sm  $\tau_1 = \frac{1}{6}$  s,  $\tau_2 = \frac{1}{2}$  s,  $\omega = \pi \text{s}^{-1}$

1) qo'shiluvchi tebranishlarning boshlang'ich fazalari  $\varphi_1$  va  $\varphi_2$  lar aniqlansin; 2) natijaviy tebranishning amplitudasi  $A$  va boshlang'ich fazasi  $\varphi$  topilsin. Natijaviy tebranishning tenglamasi yozilsin.

**Berilgan:**  $A_1 = 1 \text{sm} = 1 \cdot 10^{-2} \text{m}$ ,  $A_2 = 2 \text{sm} = 2 \cdot 10^{-2} \text{m}$ ,

$$\tau_1 = \frac{1}{6} \text{s}, \tau_2 = \frac{1}{2} \text{s}, \omega = \pi \text{s}^{-1}$$

$\varphi_1 = ?$ ,  $\varphi_2 = ?$ ,  $\varphi = ?$ ,  $A = ?$

**Yechish.** 1. Garmonik tebranishning tenglamasi

$$x = A \cos(\omega t + \varphi) \quad (1)$$

ko'rinishga ega. Masala shartida berilgan tenglamalarni (1) ko'rinishga keltiramiz

$$x_1 = A_1 \cos \omega(t + \tau_1); x_2 = A_2 \cos \omega(t + \tau_2) \quad (2)$$

(2) ifodadan (1) tenglik bilan solishtirishdan birinchi va ikkinchi tebranishlarning boshlang'ich fazalarini topamiz:

$$\varphi_1 = \omega\tau_1 = \frac{\pi}{6} \text{rad} \quad \text{va} \quad \varphi_2 = \omega\tau_2 = \frac{\pi}{2} \text{rad}$$

2) natijaviy tebranishning amplitudasi  $A$  ni aniqlash uchun kosinuslar teoremasidan foydalanamiz (14.4)

$$A = \sqrt{A_1^2 + A_2^2 + 2A_1A_2 \cos \Delta\varphi} \quad (3)$$



bu yerda  $\Delta\varphi$  - qo'shiluvchi tebranishtarning fazalar farqi  $\Delta\varphi = \varphi_2 - \varphi_1$  bo'lganligidan,  $\varphi_2$  va  $\varphi_1$  larning topilgan qiymatlarini o'rniqa qo'yajak.

$$\Delta\varphi = \frac{\pi}{3} \text{ rad}$$

$A_1, A_2$  va  $\varphi_1, \varphi_2$  larning qiymatlarini (3) formulaga qo'yib hisoblasak,

$$A = 2,65 \text{ sm}$$

Natijaviy tebranishtning boshlang'ich fazasi tangensini (14.4) dagi 14.7 rasmdan aniqlaymiz

$$\operatorname{tg} \varphi = \frac{A_1 \sin \varphi_1 + A_2 \sin \varphi_2}{A_1 \cos \varphi_1 + A_2 \cos \varphi_2} \text{ bundan boshlang'ich faza}$$

$$\varphi = \operatorname{arctg} \frac{A_1 \sin \varphi_1 + A_2 \sin \varphi_2}{A_1 \cos \varphi_1 + A_2 \cos \varphi_2}$$

$A_1, A_2, \varphi_1$  va  $\varphi_2$  larning qiymatlarini qo'yamiz va hisoblaymiz:

$$\varphi = \operatorname{arctg} \left( \frac{5}{\sqrt{3}} \right) = 70,9 = 0,394 \pi \text{ rad.}$$

55-masala. Moddiy nuqta bir paytmnig o'zida tenglamalari

$$x = A_1 \cos \omega t \quad (1)$$

$$y = A_2 \cos \frac{\omega}{2} t \quad (2)$$

ko'rinishda bo'lgan ikkita o'zaro tik harmonik tebranishta ishtirok etadi. Bunda

$A_1 = 1 \text{ sm}, A_2 = 2 \text{ sm}, \omega = \pi \text{ s}^{-1}$ . Nuqta trayektoriyasining tenglamasi topilsin.

Berilgan:  $A_1 = 1 \text{ sm} = 1 \cdot 10^{-2} \text{ m}, A_2 = 2 \text{ sm} = 2 \cdot 10^{-2} \text{ m}, \omega = \pi^{-1}$   
 Trayektoriya tenglamasi -?

**Yechish.** Nuqta trayektoriyasining tenglamasini topish uchun, berilgan (1) va

(2) tenglamalaridan  $t$  vaqtini yo'qotamiz. Bu maqsadda  $\cos \left( \frac{\alpha}{2} \right) = \sqrt{\frac{1 + \cos \alpha}{2}}$

formulasidan foydalanamiz. U holda  $\alpha = \omega t$ , shuning uchun

$$y = A_2 \cos \frac{\omega}{2} t = A_2 \sqrt{\frac{1 + \cos \alpha}{2}}$$

(1) formulaga binoin  $\cos \omega t = \frac{x}{A_1}$  ekanligidan, trayektori tenglamasi

$$y = A_2 \sqrt{\frac{1 + \frac{x}{A_1}}{2}} \quad (3)$$

hasil bo'lgan ifoda o'qi OX o'qi bilan mos keluvchi parabola tenglamasidir.

## 5. OPTIKA. YORUG'LIKNING TO'LQIN VA KVANT TABIATI

### XV bob. YORUG'LIKNING TO'LQIN TABIATI

#### 15.1. Yorug'likning interferensiyasi

##### Yorug'likning tabiati.

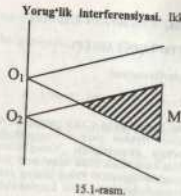
XVII asrning oxirida yorug'likning tabiati haqida ikkita o'zaro qarama-qarshi nazariya maydonga keldi: bulardan birinchisi, Nyuton yaratgan **korpuskular nazariya** va ikkinchisi, G'uyensning **to'lqin nazariyasidir**. Yorug'likning korpuskular nazariyasiga binoin, yorug'lik juda katta tezlik bilan tarqaluvchi juda kichik moddiy zarrachalar (korpuskulalar) oqimidan iboratdir. Yorug'likning rang ta'siri korpuskularning o'lchami bilan tushuntirilgan: eng yirik korpuskulalar qizil rangli nurni, eng maydalari esa binafsha rangli nurni hosil qiladi.

Yorug'likning to'lqin nazariyasiga muvofiq yorug'lik elastik muhitdan iborat bo'lgan fazoda katta tezlik bilan tarqaluvchi to'lqindan iborat. Bu nazariyaga muvofiq yorug'likning qaytish va sinish qonunlari barcha to'lqinlar uchun o'rinli bo'lgan qonunlar asosida tushuntiriladi. Yorug'likning rangi uning to'lqin uzunligiga bog'liq. Qizil rangli nurning to'lqin uzunligi ( $\lambda = 76 \cdot 10^{-9} \text{ m}$ ) eng katta bo'lib, binafsha nurniki esa ( $\lambda = 38 \cdot 10^{-9} \text{ m}$ ) eng kichik. Har ikkala nazariyaga ham ha'zi yorug'lik hodisalariga oid qonuniyatlarini, masalan, yorug'likning qaytish va sinish qonunlarini qoniqlik tushuntirib berdi. Biroq yorug'likning interferensiyasi, diffraksiyasi va qutblanishi singari hodisalarni bu nazariyalar tushuntira olmadi.

XVIII asrning oxirigacha ko'pchilik fiziklar Nyutonning korpuskular nazariyasini afzal ko'rib keldilar. XIX asrning boshlarida ingliz fizigi Yung va Frenelning tadqiqotlari tufayli to'lqin nazariya ancha rivojlandi. G'uyens - Yung - Frenel to'lqin nazariyasi o'sha vaqtda ma'lum bo'lgan barcha yorug'lik hodisalarini, shu jumladan, yorug'likning interferensiyasini, diffraksiyasi va qutblanishini ham muvaffaqiyatli tushuntirib berdi. 1873-yilda ingliz olimi Maksvell yorug'lik bo'shliqda  $s = 3 \cdot 10^{10} \text{ m/s}$  tezlik bilan tarqaluvchi elektromagnit to'lqindan iborat ekanligini nazariy asoslab berdi. Shunday qilib, yorug'likning elektromagnit to'lqin nazariyasi yaratildi. Bu nazariya G. Gers tajribalarida tasdiqlandi. Yorug'likning tabiati haqidagi **to'lqin nazariya** rivojlanib, **yorug'likning elektromagnit nazariyasiga** aylandi.

Biroq XIX asrning oxiriga kelib, to'lqin nazariya bilan tushuntirib bo'lmaydigan tadqiqotlar - fotoeffekt, Kompton effekti, absolut qora jismlarning issiqlik nurlanishi va boshqa hodisalar paydo bo'ldi. Ularni 1905-yilda Eynshteyn tomonidan yaratilgan **yorug'likning kvant nazariyasi** tushuntirib berdi. Shunday qilib, yorug'likning tabiati haqida yangi nazariya - **kvant nazariyasi** maydonga keldi. Kvant nazariyasi ma'lum ma'noda Nyuton korpuskular nazariyasini qayta tikladi. Biroq fotonlar korpuskulalardan farq qiladi: barcha fotonlar yorug'lik tezligiga teng tezlik bilan harakatlanadi va foton tinch holatda massaga ega emas. Kvant nazariyasi kvant nazariyasi ham Bor, Shredinger, Dirak va boshqa olimlar tomonidan yanada rivojlandi.

Shunday qilib, (elektromagnit) to'lqin va korpuskular (kvant) nazariya bir-birini rad etmaydi, balki bir-birini to'ldiradi, bu bilan yorug'lik hodisalarining **ikki yoqlama holatini** aks ettiradi.



15.1-rasm.

**Yorug'lik interferensiyasi.** Ikki yoki undan ortiq to'lqinlarning tebranish chastotasi bir xil va faza farqlari doimiy bo'lsa, bunday to'lqinlar *kogerent to'lqinlar* deb ataladi. Ikki yoki bir nechta kogerent yorug'lik to'lqinlari ustma-ust tushganda, fazoda yorug'lik oqimlarining qayta taqsimlanishi to'g'ri beradi va natijada intensivlikning bir joyda maksimumi, boshqa joyda minimumi kuzatiladi. *Yorug'likning interferensiyasi deb, o'zaro kogerent to'lqinlarning qo'shilishi natijasida yorug'lik to'lqinlarining fazoli turli nuqtalarda kuchayishi yoki susayishi hoditasiga* aytiladi.

Kogerent yorug'lik to'lqinlari oltish uchun bitta manba nurlantirayotgan to'lqinni ikkiga bo'lish usuli ishlatiladi. Bunda to'lqinlar turli optik yo'lni o'rganlaridan so'ng qo'shiladilar va interferensiyadan manzara kuzatiladi. Aytaylik,  $O_1$  va  $O_2$  nuqtalarida to'lqin ikkita kogerent to'lqinga ajralyapti (15.1-rasm). Interferensiyadan manzara kuzatilayotgan  $M$  nuqtaga borquncha  $n_1$  sindirish ko'rsatkichli muhitda birinchi to'lqin  $l_1$  yo'l o'tadi, ikkinchi to'lqin  $n_2$  sindirish ko'rsatkichli muhitda  $l_2$  yo'l o'tadi. Agar  $O_1$  va  $O_2$  nuqtalarda tebranish

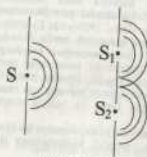
fazasi  $\alpha$  bo'lsa,  $M$  nuqtada birinchi to'lqin  $A_1 \cos \omega \left( t - \frac{l_1}{v_1} \right)$ , ikkinchi to'lqin

$A_2 \cos \omega \left( t - \frac{l_2}{v_2} \right)$  ni vujudga keltiradi; bu yerda,  $v_1 = n_1 \lambda_0$ ,  $v_2 = n_2 \lambda_0$ ; birinchi va

ikkinchi to'lqinlarning fazoviy tezliklari, ikki kogerent to'lqinlar uchun faza farqi:

$$\delta = \omega \left( \frac{l_2}{v_2} - \frac{l_1}{v_1} \right) = \frac{2\pi}{\lambda_0} (l_2 n_2 - l_1 n_1) = \frac{2\pi}{\lambda_0} (L_2 - L_1) = \frac{2\pi}{\lambda_0} \Delta$$

bu yerda,  $\lambda_0$  - vakuumdagi to'lqin uzunligi.



15.2-rasm.

*Yo'lning geometrik uzunligi  $l$  ning mahitning sindirish ko'rsatkichi  $n$  ga ko'paytmasi yo'lning optik uzunligi  $L$  deb ataladi.  $\Delta = L_2 - L_1$  esa yo'lning optik uzunliklar farqi deyiladi.*

Agar yo'lning optik farqi vakuumdagi to'lqinning butun soniga:

$$\Delta = \pm m \lambda_0 \quad (m = 0, 1, 2, \dots) \quad (15.1)$$

va  $\delta = \pm 2m\pi$  bo'lsa  $M$  nuqtada qo'zg'alayotgan tebranishlar bir xil fazoda bo'ladi. (15.1) ifoda interferensiya maksimumi - rivi deb ataladi.

Agar

$$\Delta = \pm (2m + 1) \frac{\lambda_0}{2} \quad (m = 0, 1, 2, \dots) \quad (15.2)$$

bo'lsa,  $\delta = \pm (2m + 1)\pi$  bo'ladi va  $M$  nuqtadagi to'lqin fazolari qarama-qarshi bo'ladi. (15.2) ifoda interferensiya minimum sharti deyiladi.

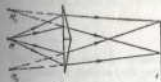
**Yorug'lik interferensiyasini kuzatish usullari.** Yorug'lik interferensiyasini kuzatish uchun kogerent yorug'lik dastasi bo'lishi kerak. Lazerlar ( $10^8$  s davomida kogerent bo'la oladi) ixtiro qilinishidan oldin yorug'lik dastasi ikkiga bo'linar va so'ngra ular qo'shilish interferensiyadan manzara hosil qilinar edi. Bunday ba'zi usullarni ko'rib chiqaylik.



15.3-rasm.

**Frenel ko'zgulari.** Kogerent manbalar hosil qilishning ikkinchi usuli bir-biriga  $180^\circ$  ga yaqin  $\alpha$  burchak ostida o'rnatilgan ikkita yassi ko'zgodun yorug'likning qaytishiga asoslangan (15.3-rasm). Bu hodisada yorug'likning  $M$  asosiy manbagan  $M_1$  va  $M_2$  tasvirlari kogerent manbalar bo'ladi.

**Frenel prizmasi.** U ikkita bir xil sindirish burchaklari kichkina bo'lgan va asoslari birlashtirilgan prizmalardan iborat (15.4-rasm).  $M$  manbagan tarqalgan nurlar prizmalarda sinib,  $M_1$  va  $M_2$  manbalaridan chiqayotgan kogerent nurlardek tarqaladi. Ekanda bu kogerent nurlar qo'shilish interferensiyasi hosil bo'ladi.



15.4-rasm.

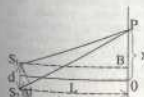
**Ikki manba beradigan interferensiyadan manzarani hisoblash.**  $S_1$  va  $S_2$  kogerent (15.5-rasm) manbalar hosil qilayotgan va  $R$  nuqtada qo'shilyotgan yorug'lik to'lqinlarining interferensiyasini ko'riblik. Agar nurlar yo'lning ayirmasi  $\Delta l = S_1P - S_2P$  ga to'lqinlarning butun soni joylashtirilsa, ya'ni

$$\Delta l = n\lambda = 2n \frac{\lambda}{2} \quad (n = 1, 2, 3, \dots) \quad (15.3)$$

bo'lsa,  $R$  nuqtada yorug'likning maksimumi kuzatiladi, agar

$$\Delta l = (2n + 1) \frac{\lambda}{2} \quad (15.4)$$

bo'lsa,  $R$  nuqtada yorug'likning minimumi hosil bo'ladi. Endi monoxromatik yorug'likning  $S_1$  va  $S_2$  kogerent manbalaridan ekranda hosil qilingan interferensiya manzarasi qanday bo'lishini aniqlaylik. Bu manzarani ekrandagi masofa  $d$ ,



15.5-rasm.

manbalardan ekrangacha bo'lgan masofa  $L$  bo'lsin, shu bilan birga  $d \ll L$  bo'lsin (15.5-rasm).

$S_1$  va  $S_2$  lardan barobar uzoqlikdagi  $\theta$  nuqtadan interferensiya maksimumlari kuzatiladigan nuqtalargacha bo'lgan  $X$  masofani aniqlaylik.

$RS S_1$  va  $RBS_2$  to'g'ri burchakli uchburchaklardan:

$$PS_1^2 = L^2 + \left(x + \frac{d}{2}\right)^2$$

$$PS_2^2 = L^2 + \left(x - \frac{d}{2}\right)^2$$

bundan  $PS_1^2 - PS_2^2 = 2xd$  yoki  $(PS_1 - PS_2)(PS_1 + PS_2) = 2xd$  biroq

$$PS_1 - PS_2 = \Delta l; PS_1 + PS_2 = 2L$$

Demak,  $\Delta l \cdot 2L = 2xd$  bundan

$$x = \frac{L \cdot \Delta l}{d} \quad (15.5)$$

kelib chiqadi. (15.3), (15.4) va (15.5) formulalarni nazarga olib, yorug'lik

maksimumlari  $\theta$  nuqtada  $x = n\lambda \frac{L}{d}$  masofalarda hosil bo'lishini, minimumlari esa

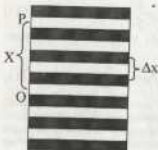
$x = (2n+1) \frac{\lambda L}{2d}$  masofada hosil bo'lishini aniqlaymiz. Bu maksimum va

minimumlar mos ravishda bir-biriga parallel yorug' va qorong'i yo'llar ko'rinishida bo'ladi.  $n=0$  ga tegishli bo'lgan markaziy maksimum  $\theta$  nuqtadan o'tadi. Qo'shni maksimumlar (yoki minimumlar) orasidagi masofa

$$\Delta x = \frac{\lambda L}{d} \quad (15.6)$$

ga teng bo'ladi.

Shunday qilib, yorug'lik ikki koherent manbalari ekranda hosil qilgan interferensiya manzarasi yorug' va qorong'u yo'llarning navbatlashib joylanishidan iborat bo'ladi (15.6-rasm).

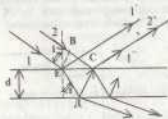


15.6-rasm.

(15.6) formulaga asosan yorug'lik to'liqining uzunligi  $\lambda$  ni  $d$ ,  $L$  va  $\Delta x$  kattalikning o'lchangan qiymatlariga ko'ra tajribada aniqlash mumkin. Agar monoxromatik bo'lmagan, masalan, oq yorug'likdan foydalanganda interferensiya maksimumlari (15.6) formulaga muvofiq, har bir to'liq uzunligi uchun bir-biriga nisbatan siljigan bo'ladi va hamma yorug'lik yo'llari kamalak rangiga ega bo'lib qoladi.

## 15.2. Yuqqa qatlamlardagi yorug'lik interferensiyasi

Yuqqa shaffof plastinkaga 1.2 nurlar tushayotgan bo'lsin (15.7-rasm).  $E$  nuqtaga tushgan 1 nurlan qaytadi va u  $1'$  deb belgilanadi, qisman sinib  $ED$



15.7-rasm.

ustki tekisligidan qaytgan qismini (15.7-rasm)da  $2'$  deb belgilangan va  $1''$  nur interferensiyalashadi, chunki plastinkaning ustki va ostki tekisliklaridan qaytgan bu nur o'zaro koherentdir. Plastinkaning ustki va ostki tekisliklaridan qaytgan nurlarning interferensiyalashishi natijasida yorug'lik intensivligining maksimumi,

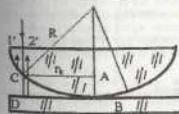
$$2d\sqrt{n^2 - \sin^2 i} + \frac{\lambda_0}{2} = 2k \frac{\lambda_0}{2} \quad (k = 0, 1, 2, \dots) \quad (15.7)$$

shart bajarilganda, minimum esa

$$2d\sqrt{n^2 - \sin^2 i} + \frac{\lambda_0}{2} = (2k+1) \frac{\lambda_0}{2} \quad (k = 0, 1, 2, \dots) \quad (15.8)$$

shart bajarilganda kuzatiladi. Maksimum shart bajarilganda plastinka yuzining barcha qismi  $\lambda_0$  to'liq uzunlikli nurning rangiga bo'yalgandek bo'ladi.

**Nyuton haqiqatlari.** Monoxromatik yorug'lik destasi linzaning tekis sirtiga normal tushayotgan bo'lsin (15.8-rasm). Shu nurlardan biri - birinchi nur  $S$  nuqtaga yetib borgach, qisman qaytadi, qisman havo qismini ichiga kirib boradi. Nurning bu ikkinchi qismi  $D$  nuqtadan qaytadi.  $1'$  va  $2'$  nurlar o'zaro koherent, ular ustma-ust tushib, interferensiyalashadi. Natijada konkrit haqiqalar kuzatiladi. Bu haqiqalar **Nyuton haqiqatlari** deb ataladi. Yorug'lik haqiqalarning radiuslari



15.8-rasm.

$$(r_n)_{\max} = \sqrt{n\lambda_0 R} \quad (15.9)$$

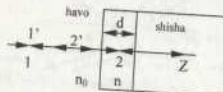
ifoda bilan, qorong'i haqiqalarning radiusi esa

$$(r_n)_{\min} = \sqrt{(n-1/2)\lambda_0 R} \quad (15.10)$$

ifoda bilan aniqlanadi.

### 15.3. Yorug'lik interferensiyasining qo'lanishi

Yorug'lik interferensiyasi optik asboblarning sifatini yaxshilash va qaytaruvchi qatlamlar olish uchun ham qo'laniladi. Hozirgi zamon optik asboblarning obyektivlariga ko'plab linzalar bo'ladi, shuning uchun ularda yorug'likning qaytishi va yorug'lik oqimining isrofi ko'p bo'ldi. Bularni yo'qotish uchun linza sirtiga sindirish ko'rsatgichi linza moddasining sindirish ko'rsatkichidan kichik bo'lgan yupqa qatlam qoplanadi (15.9-rasm).



15.9-rasm.

Havo qatlam va shisha qatlam chegaralarida yorug'likning qaytishi tufayli 1' va 2' koherent nurlarning interferensiyasi o'yo' beradi. Qatlam qalinligi  $d$ , sindirish ko'rsatkichi  $n$  va shishaning sindirish ko'rsatkichi  $n_0$  ni shunday tanlab olish mumkin, interferensiyalanuvchi nurlar bir-birini so'ndiradi. Bunda ularning amplitudalari teng optik yo'l farqi

$(2m+1)\lambda/2$  ga teng bo'lishi kerak. Hisoblamamiz yorug'likning qaytishi tufayli 1' va 2' koherent nurlarning interferensiyasi o'yo' beradi. Qatlam qalinligi  $d$ , sindirish ko'rsatkichi  $n$  va shishaning sindirish ko'rsatkichi  $n_0$  ni shunday tanlab olish mumkin, interferensiyalanuvchi nurlar bir-birini so'ndiradi. Bunda ularning amplitudalari teng optik yo'l farqi  $(2m+1)\lambda/2$  ga teng bo'lishi kerak. Hisoblamamiz yorug'likning qaytishi tufayli 1' va 2' koherent nurlarning interferensiyasi o'yo' beradi. Qatlam qalinligi  $d$ , sindirish ko'rsatkichi  $n$  va shishaning sindirish ko'rsatkichi  $n_0$  ni shunday tanlab olish mumkin, interferensiyalanuvchi nurlar bir-birini so'ndiradi. Bunda ularning amplitudalari teng optik yo'l farqi  $(2m+1)\lambda/2$  ga teng bo'lishi kerak.

$2nd = (2m+1) \frac{\lambda_n}{2}$

$$2nd = (2m+1) \frac{\lambda_n}{2} \quad (15.11)$$

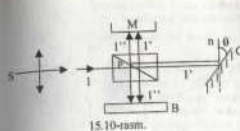
bo'ladi. Bu yerda,  $nd$  - qatlamning optik qalinligi. Odatda,  $m=0$  uchun

$$nd = \frac{\lambda_n}{4} \quad (15.12)$$

bo'ladi. Shunday qilib,  $n = \sqrt{n_0}$  bo'lganda va qatlamning optik qalinligi  $\frac{\lambda}{4}$  ga teng bo'lganda, interferensiya natijasida qaytgan nurlarning so'nishi va o'tgan nurlar intensivligining ortishi kuzatiladi. Optik sistemaning ravshanlashuvi ana shundan iborat.

### 15.4. Interferometrlar

Interferensiya manzarasi interferensiyalanuvchi to'liqlarining yo'llari ayirmasiga juda sezgir bo'ladi: yo'llar ayirmasining kichik o'zgarishlarida uzunkilar va burchaklari aniq o'linishi uchun, shuningdek, shaffof muhitlarning shunga asoslangan, sanoatda interferometrlar metall va boshqa silliqilgan detal sirtlarning silliqilgini tekshirishda keng qo'laniladi. Sirtlarning mikroskopik notekisliklarini paryoqs va o'linishi uchun ishlatiladigan *Linnik mikrointerferometrlar* misolida *interferometrlar bilan tanishaylik*.



15.10-rasm.

Monoxromatik yorug'lik nurlarining (to'liq uzunligi  $\lambda$  bo'lgan) S dastasi yarim shaffof P qatlama (shisha kub diagonal kesimiga surilgan yupqa kutush qatlamga) tushadi (15.10-rasm). Bu nurlardan birining yo'lini ko'raylik. Yarim shaffof qatlamda 1 nur o'ikkiga ajraladi: qisman qatlam oqali o'tadi va S ko'zguga tushadi (1' nur), qisman undan qaytadi va tekshirilayotgan P sirtiga tushadi (1'' nur). So'ngra 1' nur ko'zga va yarim shaffof qatlamdan o'tgandan so'ng va 1'' nur tekshirilayotgan sirtidan qaytib, yarim shaffof qatlamdan o'tgandan so'ng M mikroskopga tushadi. Bu nurlar koherent nurlardir, shuning uchun ular interferensiyalanadi, ularning interferensiya manzarasi mikroskopning ko'rish maydonida ko'rinib turadi.

Endi Maykelson interferometriyning ishlash prinsipi bilan tanishaylik (15.11-rasm). M mabdarar chiqayotgan monoxromatik yorug'lik nurlari yarim shaffof P plastinkaga tushadi. Bu plastinkadan nur qisman qaytadi, qisman o'tadi. Qaytgan va o'tgan nurlar o'zaro perpendikular ravishda joylashgan 1 va 2 ko'zgulardan orqaga qaytadi. 1 ko'zguldan qaytgan nur P plastinkadan qisman o'tib, OK yo'nalishida kuzatuvchi tomon yo'nalgan. 2 ko'zguldan qaytgan nur P dan qaytib, u ham OK bo'yicha yo'nalgan. Bu nur birinchi nur bilan interferensiyalashishi tufayli qorqong' va yorug' yo'llardan iborat bo'lgan interferensiya manzara namoyon bo'ladi. Agar ko'zgulardan biriga, masalan, 2 ko'zguga deformatsiyani o'rganilayotgan jism yopishtirilgan bo'lsa, deformatsiya tufayli jism ko'zga bilan birga  $\lambda/2$  masofaga P plastinka tomon siljigan. Keyin 1 ko'zguga tushib qaytgan nur  $2\lambda/2$  teng kamroq yo'l yuradi. Yo'llar farqi tufayli ekranda interferensiya manzara hosil bo'ladi va u to'liq bir yo'lga siljigan bo'ladi. Bu esa o'z navbatida jism deformatsiyasining kattaligi haqida ma'lumot beradi.

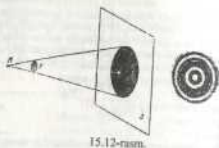


15.11-rasm.

### 15.5. Yorug'lik diffraksiyasi. Gyuygens - Frenel prinsipi

Yorug'lik nurlarining shaffof bo'lmagan to'siqlardan egilib o'tish geometrik sayra shahisiga o'linish hodisasi, diffraksiya deb ataladi. Diffraksiya so'zi lotincha «diffraktio», «egilib o'tish» ma'nosini beradi. Diffraksiya hodisasi kuzatish uchun quyidagi tajribani qilaylik. M dan tarqalayotgan monoxromatik yorug'lik nurining yo'lga dok shaklidagi T to'siq joylashiraylik (15.12-rasm). Nur to'g'ri chiziq bilan tarqalgan uchun T to'siqning E ekraniga sayra - doira shaklidagi qorqong' soha kuzatilishi kerak. Lekin to'siqdan ekrangacha masofa to'siq o'ichamidun bo'lgan holda ekranda ketma-ket joylashgan yorug' va qorqong' konsentrik halqalar kuzatiladi (15.12-b-rasm). Gyuygens prinsipi asosan, bu hodisa quyidagicha tushuntiriladi: to'liq frontining har bir nuqtasini ikkilamchi to'liqlarining manbalari

deb hisoblash mumkin. Frenel esa Gyuygens prinsipini takomillashirib, bu ikkilamchi to'liqlarning manbolarini koherent manbalar deb va fazoning istiyoriy nuqtasidagi tebranishi bu nuqtaga yetib kelgan ikkilamchi koherent to'liqlar interferensiyalashishining natijasi deb qarash lozim, degan fikri berdi. Bu prinsipni Gyuygens - Frenel prinsipi deb yuritila boshlandi.



15.12-rasm.

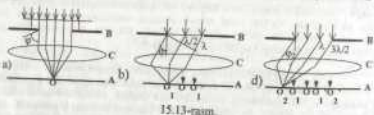
Difraksiya hodisalari ikki sinfga bo'linadi. To'ssiqqa tushayotgan nurlar parallel dastasini hosil qilgan va difraksiyon manzara manbadan cheskiylikda mujassamlashtgan holdagi difraksiyalarni Fraunhofer tekshirgan. Shuning uchun bu hoditalar Fraunhofer difraksiyasi deyiladi. To'ssiqqa tushayotgan sferik to'lqin frontiga ega bo'lgan yorug'lik difraksiyasini Frenel o'rganagan. Shuning uchun bu sinfga oid difraksiyalarni Frenel difraksiyasi deyiladi.

### 15.6. Frenel zonalar. Fraunhofer difraksiyasi. Difraksiyon panjara

Difraksiya manzarasi odatda shu'lalarni bir tirqishdan, ikki tirqishdan va ko'p parallel tirqishlardan difraksiyasini ko'rib chiqaylik. Tirqishlarga perpendikular bo'lgan parallel nurlar dastasidan, Fraunhofer difraksiyasi hosil bo'ladi:

#### a) bir tirqishdan bo'ladigan difraksiya.

To'g'ri to'ri burchakli tor tirqishli  $V$  ekranga parallel monoxromatik nurlar dastasi normal holda tushayotgan bo'lsin. Tirqishdan dastlabki yo'nalishda o'tayotgan barcha nurlar  $S$  linza yordamida linzaning fokal tekisligida joylashgan  $A$  ekranning  $\theta$  nuqtasiga to'planadi. Bu hodisada barcha nurlar yo'l ayirmasi  $\theta$  ga teng bo'ladi.  $\theta$  nuqta orqali tirqishga parallel yorug' yo'l ayirmasi  $\theta$  ga teng bo'lgan o'tgan nurlarning faqat dastlabki yo'nalishida emas, balki bu yo'nalishdan turli  $\varphi$  burchaklarga burilishini nazarga olamiz.  $\varphi$  burchak difraksiya burchagi deb ataladi.



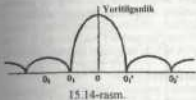
15.13-rasm.

Tirqishdan shunday  $\varphi = \varphi_0$  burchak ostida difraksiyalanuvchi nurlari dastasini ko'raylikki, dastaning chekka nurlari orasidagi yo'l ayirmasi  $\Delta l$  yorug'lik to'lqinining uzunligiga teng bo'lsin.  $\Delta l = 2 \frac{A}{\lambda}$  (15.13 b-rasm). Bunda butun dastani

Frenel zonasi deb ataladi. Frenel zonalarini shunday I va II zonalariga ajratish mumkinli, bu zonalar uchun I zonaning har bir nuri bilan II zona mos nurining yo'l

ayirimasiga  $\lambda/2$  ga teng bo'ladi. Linza yordamida  $\theta_0$  nuqtadan o'tgan to'g'ri chiziqda to'plangan, bu nurlar interferensiyalanadi va o'zaro so'nadi. Natijada  $\theta_0$  orqali yo'l difraksiya minimumi o'tadi (bu hol  $\theta_0$  ga simmetrik bo'lgan  $\theta_0'$  da ham ro'y beradi).

$\varphi = \varphi_0$  burchak ostida difraksiyalanuvchi boshqa nurlar dastasining chekka nurlar orasidagi  $\Delta l$  yo'l ayirmasi  $\lambda/2$  ga teng bo'lsin (15.13 d-rasm). Bu holda butun dastani uchta I, II, III Frenel zonalariga ajratish mumkin. Ikki qo'shni zonaning (I, II) bir-birini so'ndirishi tushunarli (chunki bu zonalarining nurlari orasidagi yo'l ayirmasi  $\lambda/2$  ga teng) III zona esa so'nmaydi va  $\theta_0$  nuqtadan o'tuvchi chiziqda difraksiya maksimumini beradi.  $\theta_0$  nuqtada simmetrik bo'lgan  $\theta_0'$  nuqtadan o'tuvchi to'g'ri chiziqda shunday maksimum paydo bo'ladi.  $\theta_0$  va  $\theta_0'$  maksimumlarning yoritilganligi  $\theta$  maksimumning yoritilganligidan ancha kam bo'ladi (15.14-rasm).



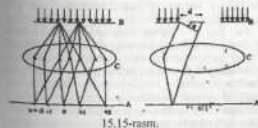
15.14-rasm.

Shunday qilib, Frenel zonalarining toq soniga mos burchaklar bilan difraksiyalanuvchi nurlar dastasi ekranda difraksiya maksimumlarini hosil qiladi. Frenel zonalarining juft soniga mos burchaklar bilan difraksiyalanuvchi nurlar dastasi difraksiya minimumlarini hosil qiladi. Bu maksimumlarni hosil qiluvchi nurlarning difraksiya burchaklari ortishi bilan maksimumlarni yoritilganligi kamayadi.

Natijada bir tirqishdan hosil qilinadigan difraksiya manzarasi markazi yorug' yo'lidan har ikki tomondan simmetrik joylashgan qorog'ni va yorug' yo'lning narbatlashishidan iborat.

#### b) Ikki va ko'p parallel tirqishlardan hosil bo'lgan difraksiya.

Parallel monoxromatik nurlar dastasi bir-biridan  $d$  masofada joylashgan ikki ta parallel tirqishi bo'lgan  $V$  ekranga perpendikular tushayotgan bo'lsin (15.15-rasm). Bunda bu tirqishlar yorug'likning koherent manbalarini bo'lib



15.15-rasm.

qoladi. Agar  $V$  ekran orasida  $S$  yig'uvchi linza qo'yilgan bo'lsa, u holda linzaning fokal tekisligida joylashgan  $A$  ekranda difraksiya manzarasi vujudga keladi, bu difraksiya manzarasi ikki jarayonning, ya'ni yorug'likning har bir ayrim tirqishdan interferensiyasi natijasidir. Biroq bu manzaraning asosiy xususiyatlari ko'proq ikkinchi jarayon bilan aniqlanadi.

15.15-rasmidagi ikki parallel nurlar yo'l-larining ayirmasi  $\Delta l = d \sin \varphi$ . Agar bu ayirma

$$d \sin \varphi = n \lambda \quad (15.13)$$

shartni qanoqlantirsa, ekranda interferensiyon maksimum kuzatiladi. Agar

$$d \sin \varphi = (2n + 1) \frac{\lambda}{2} \quad (15.14)$$

bo'lsa, interferensiyalar minimum kuzatiladi.

Maksimumlarning mumkin bo'lgan soni, sin $\phi \leq 1$  ligidan

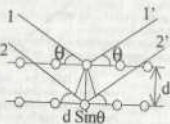
$$n \leq \frac{d}{\lambda} \quad (15.15)$$

bo'ladi.

Yorug'likning bir-biriga yaqin joylashgan ko'plab parallel tiriqishlar to'plamidan diffraksiyalanganida ham diffraksiya manzarasining ko'rinishi ikki tiriqishdan diffraksiyalanishdagi ko'rinishda bo'ladi. Faqat maksimumlar ravshanroq va toroq, ularni ajratib turgan minimumlar esa keng va amalda butunlay qorong'i ko'rinadi. Bunday qurilma diffraksiyon panjara deyiladi.  $d$  masofa panjaraning davri (doimiyi) deyiladi. Diffraksiyon panjaralar shisha plastinka yoki metall ko'zgu sirtiga shtrixlar (tirnashlar) chizish yo'li bilan tayyorlanadi. Diffraksiyon panjara bilan yorug'lik to'liq uzunligini aniqlash mumkin.

### 15.7. Rentgen nurlari diffraksiyasi

Diffraksiyon manzarani kuzatish uchun panjara doimiyi, tushayotgan yorug'likning to'liq uzunligi bilan bir xil tartibda yoki kichik bo'lishi kerak. Tabiiy fazoviy panjara, ya'ni kristallarning



15.16-rasm.

panjara doimiyi, tushayotgan yorug'likning to'liq uzunligi bilan bir xil tartibda yoki kichik bo'lishi kerak. Tabiiy fazoviy panjara, ya'ni kristallarning panjara doimiyi  $\sim 10^{10}$  m tartibida bo'ladi. Ko'rinadigan yorug'likning to'liq uzunligi esa atigi  $(4 \cdot 7,5) \cdot 10^7$  m ni tashkil qiladi xolos. Demak, kristall panjarada vujudga kelishi mumkin bo'lgan diffraksiyon manzarani oq yorug'likdan foydalanib, hosil qilib bo'lmaydi.

Nemis fizigi M.Laue kristallarda diffraksiyasi rentgen nurlari ( $\sim 10^{-11} - 10^{-7}$  m) yordamida kuzatish mumkinligini

birinchi bo'lib ko'rsatdi. Rentgen nurlari kristal oqali o'tganda ham, undan qaytganda ham diffraksiyon manzara kuzatiladi. Parallel rentgen nurlar dastasi kristalga kristal panjaraning tugunlari (atomlar) orqali o'tgan parallel tekisliklarga  $\theta$  sirpanish burchagi ostida tushayotgan bo'lsin. Bunday atom tekisliklarini rentgen nurlarini qisman o'tkazib, qisman qaytaruvchi yarim shaffof ko'zgu deb qarash mumkin.

Rentgen nurlar dastasi (1,2)  $\theta$  - sirpanish burchagi ostida kristalga tushmoqda va 1', 2' ikkilamchi to'liq sifatida tarqalmoqda va interferensiyalanmoqda (15.16-rasm).

Intensivlik maksimumlari - diffraksiyon maksimumlar

$$2d \sin \theta = m\lambda \quad (m = 1, 2, 3, \dots) \quad (15.16)$$

shart bajarilganda kuzatiladi, bu yerda,  $d$  - atom tekisliklari orasidagi masofa. (15.16) munosabat Vulf - Breggler formulasi deb ataladi. Bu formuladan foydalanib, kristallarning atom tekisliklari orasidagi masofa ( $d$ ) ni aniqlash mumkin. Bu usul rentgen strukturaviy tahlil deb ataladi. Bu usuldan elektronlar va neytronlardan foydalanib analiza oshirish mumkin bo'lgan elektronografiya,

neytronografiyalardan foydalaniladi.  $d$ ,  $\theta$  va  $m$  ni bilgan holda rentgen nurlarning to'liq uzunligi  $\lambda$  ni aniqlash mumkin.

### 15.8. Golografiya

Golografiya yunoncha «holos» to'liqni, «grafe» yozaman» so'zlaridan tashkil topgan bo'lib, u buyumlarining tashqi ko'rinishini «yozib olish» ning maxsus usulini anglatadi. Bu usul 1977-yilda D.Gabor tomonidan kashf qilingan. Golografiyaning mohiyati buyumdan kelayotgan nurlanishning to'liq frontini fotoplastinkaga qayd qilish (yozib olish), so'ng buyumning tasvirini vujudga keltirish maqsadida bu frontni tiklashdan iborat.

Golografiyani fotografiyadan farqi nimada ekanligini quyidagicha ifodalaymiz.

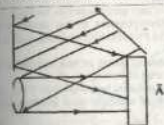
Fotografiyada yotirilgan obyektning ayrim nuqtalaridan qaytgan nurlar fotoplastinka yoki fotoplyonka tekisligining ayrim nuqtalariga obyektiv yordamida fokuslanadi. Bunda buyum barcha qismlarining tasvirlari ravshan bo'lavermaydi. Fotoapparat biror tekislikka ravshan qilib moslangan bo'lsa, buyumlarining shu tekislikka yotuvchi nuqtalarining tasvirlari ravshan bo'lib chiqadi xolos. Buyumning bu tekislikdan berrastrodagi yoki nastrodagi qismlarining tasvirlari esa unchalik aniq bo'lmaydi.

Masalan, bino oldida turgan odamning fotografik tasvirida odam gavdani berkitib turgan bino qismini fotografiyaga turlicha nuqtalardan qaragan bilan bari bir ko'rib bo'lmaydi. Bundan tashqari, binoi odamdan qanchalik uzoqda joylashganligini ham aniqlab bo'lmaydi. Bino va odamning tasvirlari bitta tekislikda ko'rinadi.

Fotoplastinkada buyumning ayrim nuqtalaridan qaytgan nurlarning nisbiy intensivliklari qayd qilinadi. Bu nurlar fazalari orasidagi munosabati fotoplastinkaning qorayishiga hech ta'siri yo'q. Vaholanki, fazalar orasidagi munosabat buyumning ayrim nuqtalarini fotoplastinkadan uzoqliklariga bog'liqdir.

Demak, buyumdan qaytgan nurlarning faqat amplitudalariga emas, balki fazalari ham fotoplastinkada qayd qilish usulini topish lozim. Bu usul golografiyadir, golografiya to'liq optikasining asosiy qonunlari - interferensiya va diffraksiya qonunlaridan foydalanilgan asosida vujudga keladi.

Kogerent yorug'lik dastasi ikkiga ajratiladi (15.17-rasm), uning bir qismi buyum (B)dan qaytib fotoplastinka (A)ga tushadi. Bu to'liqni signal to'liq yoki buyum to'liq deyiladi. Ikkinchi qism esa qaytarib plastinka (K)dan qaytib fotoplastinkaga tushadi. Uni tayanch to'liq deyiladi. Bu ikki guruh kogerent to'liqlar fotoplastinkada qo'shilib interferensiyalanib manzara hosil qiladi. Fotoplastinkaga ishlov berilgandan so'ng oshkor bo'ladigan bu interferensiyalar manzara gologramma deyiladi. Gologrammada buyumdan qaytgan to'liqlarida, ya'ni buyum to'liqlarining amplituda hamda fazalari to'g'risidagi axborotlar qayd qilingan. Haqiqatan, buyum va tayanch to'liqlarining fazalari bir xil bo'lsa, bu to'liqlarning amplitudalari qo'shiladi. Shuning uchun pozitiv gologrammaning bunday nuqtalari shaffofroq (negativ gologrammada esa xiroq) bo'ladi. Buyum va tayanch to'liqlar fazalari mos bo'lmagan tarzda yetib kelgan gologrammada nuqtalar esa qorong'iroq bo'ladi.



15.17-rasm.

Tarvimi tiklash uchun gologramma avvalgi holatiga joylashtiriladi va uni «tayancho» to'liq bilan yoritiladi. Natijada interferension strukturadagi diffraksiya tufayli buyum to'liqning nuxasi tiklanadi.

Golografiyaning ajoyib xususiyatlaridan yana biri shundaki, gologrammaning kichik bir bo'lakchasi ham butun gologrammadan foydalanagandek tasvirni beraveradi. Chunki buyumning har bir nuqtasidan sochilayotgan sferik nuqtalar gologrammaning barcha yoritilayotgan yuziga yetib keladi; o'z navbatida gologrammaning har bir nuqtasiga buyumning barcha nuqtalaridan to'liqlar keladi. Shuning uchun gologrammaning har bir kichik bo'lakchasida buyum to'g'risida to'liq axborot mavjuddir.

#### Savollar

1. Yorug'likning tabiiati haqida ikkita o'zaro qarama-qarshi nazariya, ya'ni Nyuton yaratgan korpuskular nazariya va Gyuygenning to'liq nazariyasining kelishmovchiliklarini barham topishida Yung va Frenel tadqiqotlarining ahamiyatini ayob bering.
2. Yorug'lik interferensiyasini kuzatishda koherent to'liq manbalarining rolini aytib va interferensiyani kuzatish shartlarini ko'rsating.
3. Yorug'lik interferensiyasini kuzatish usullarini bayon qilishda Yung usuli, Frenel ko'zgusi va Frenel prizmalarining koherent manbalar hosil qilishini chizma yordamida ko'rsating.
4. Interferometrlarning sanoatda qo'llanilishi va vazifalarini aytib. Maykebon interferometrining ishlash prinsipini taniqtiring.
5. Yorug'lik diffraksiyasini kuzatishda Gyuygen-Frenel prinsipining ahamiyatini aytib.
6. Tirgishlarga perpendikular bo'lgan parallel murar dasstasidan, Fraunhofer diffraksiyasi hosil bo'lishini tushuntiring.
7. Nemis fizigi M.Laue kristallarda rentgen nurlarining diffraksiyasini kuzatganligini va Lauegrammani taqdim etganini izohlab bering.
8. Golografiyani fotografiyadan farqi nimada ekanligini izohlang.

#### Masalalar

**56-masala.** Frenel ko'zgulari bilan o'tkazilgan tajribada yorug'lik manbaining mavhum tasvirini orasidagi masofa  $d=0,5$  mm, ekrangacha bo'lgan masofa  $L=5$  m ga teng. Yashil yorug'likda ekranda interferensiya yo'llari bir-biridan  $\Delta x=5$  mm masofada hosil bo'ladi. Yashil yorug'likning to'liq uzunligi  $\lambda$  ni toping.

$$d = 0,5 \text{ mm} = 0,5 \cdot 10^{-4} \text{ m.}$$

**Berilgan:**  $L = 5 \text{ m, } \Delta x = 5 \text{ mm} = 5 \cdot 10^{-3} \text{ m}$

$$\lambda_0 = ?$$

**Yechish:** Masalaning sharti 15.1-dagi 15.3-15.6-rasmlarga mos keladi. (15.5)

formulaga muvofiq qo'shni interferensiya yo'llari orasidagi masofa  $\Delta x = \frac{\lambda L}{d} \cdot i$  u

voqida

$$\lambda = \frac{\Delta x d}{L} = \frac{5 \cdot 10^{-4} \cdot 5 \cdot 10^{-3}}{5} = 5 \cdot 10^{-7} = 0,5 \text{ mkm.}$$

**57-masala.** Sindirish ko'rsatkichi  $n=1,4$  bo'lgan moddadan juda yupqa parda qoplangan qalin shisha plastinkaga monoxromatik yorug'lik ( $\lambda=0,6$  mkm) parallel dasstasi normal tushadi. Qaytayotgan yorug'lik interferensiya natijasida maksimal suyuq. Yupqa pardaning qalinligi  $d$  aniqlansin.

$$n_1 = 1,4, \quad n_2 = 1,5$$

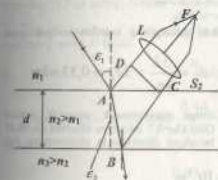
**Berilgan:**  $n_1 = 1,00029$

$$\lambda = 0,6 \text{ mkm} = 0,6 \cdot 10^{-6} \text{ m}$$

$d = ?$

**Yechish:** Yupqa pardaga tushayotgan yorug'lik to'liq-nidan ingichka SA dasstasi ajratamiz.

Tushish burchagi  $\epsilon_1 \neq 0$  bo'lgan hol uchun bu nurning yo'lli (15.18) rasmda ko'rsatilgan. A va B nuqtalarga tushayotgan dassta qisman qaytadi va qisman simdi. Yorug'likning qaytgan  $AS_1$  va  $BS_2$  dasstalari yig'uvchi L linzaga tushadi, to'ing F fokusida kesishishadi va o'zaro interferensiyalanadi. Havoning sindirish ko'rsatkichi ( $n_0=1,00029$ ) yupqa parda moddasining sindirish ko'rsatkichi ( $n_2=1,4$ ) dan kichik, u esa o'z navbatida shishaning sindirish ko'rsatkichi ( $n_1=1,5$ ) dan kichik bo'lganligidan, har ikkala holda ham qaytish to'liq ishtayotgan muhitga qaraganda optik jihatdan zichroq muhitda ro'y beradi.



Shuning uchun ham  $AS_1$  va  $BS_2$  lik dasstasining tebrnash fazasi A nuqtadan qaytganiga  $\pi$  radianga o'zgaradi va xuddi shuningdek,  $BS_2$  yorug'lik dasstasining tebrnash fazasi ham B nuqtadan qaytishda  $\pi$  radianga o'zgaradi. Natijada bu yorug'lik dasstalari linzaning F fokusida kesishishidagi interferensiya natijasida xuddi na u va na bu dasstaning tebrnash fazalarida hech qanday o'zgarish bo'lmaganidek ro'y beradi.

Ma'lumki, yupqa pardalardagi interferensiyada yorug'likning maksimal suyuq sharti interferensiyaga kiruvchi to'liqlarning optik yo'lli farqi toq sondagi

$$\text{yo'lli to'liqlarga teng bo'lishi kerakligidan iboratdir: } \Delta = (2k + 1) \frac{\lambda}{2}$$

Rasmdan ko'rinib turibdiki, optik yo'lli farqi

$$\Delta = \ell_2 n_2 - \ell_1 n_1 = (|AB| + |BC|) n_2 - |AD| n_1$$

Hinobarin, yorug'lik intensivligining minimumlik sharti quyidagi ko'rinishni oladi.

$$(|AB| + |BC|)n_2 - |AD|n_1 = (2k+1)\frac{\lambda}{2}$$

Agar  $E_1$  burchak nolga intilgan holda kamayib borsa, unda  $AD \rightarrow 0$  va  $AVH/NSI \rightarrow 2d$  bunda,  $d$ -yupqa pardaning qalinligi  $E_1 = 0$  chegarada quyidagigacha ega bo'lamiz:

$$\Delta = 2dn_2 = (2k+1)\frac{\lambda}{2},$$

bundan qidirilayotgan yupqa pardaning qalinligi

$$d = \frac{(2k+1)\lambda}{4n_2}$$

$k=0,1,2,3,\dots$  deb olib, yupqa parda qalinligining mumkin bo'lgan qator qiymatlarini olamiz:

$$d_0 = \frac{\lambda}{4n_2} = 0,111 \text{ mkm}; \quad d_1 = \frac{3\lambda}{4n_2} = 3d_0 = 0,33 \text{ mkm}.$$

**58-masala.** Diffraksiyon panjara sirtiga monoxromatik yorug'lik normal tushayapti. Panjaraning davri 2 mkm. Qizil ( $\lambda_1=0,7$  mkm) va binafsha ( $\lambda_2=0,41$  mkm) yorug'liklar uchun shu panjara beradigan diffraksiyon maksimumning eng katta tartibini aniqlang.

$$d = 2 \text{ mkm} = 2 \cdot 10^{-6} \text{ m}$$

$$\text{Berilgan: } \lambda_1 = 0,7 \text{ mkm} = 7 \cdot 10^{-7} \text{ m}$$

$$\lambda_2 = 0,41 \text{ mkm} = 4,1 \cdot 10^{-7} \text{ m}$$

$$m_{\max} = ?$$

**Yechish:** Diffraksiyon panjara bosh maksimumlarining vaziyatini aniqlaydigan formuladan diffraksiyon maksimum tartibi  $m$  ni aniqlaymiz:

$$m = (d \sin \varphi) / \lambda, \quad (1)$$

bunda,  $d$  — panjara davri;  $\varphi$  — diffraksiya burchagi;  $\lambda$  — monoxromatik yorug'likning to'lqin uzunligi.  $\sin \varphi$  birdan katta bo'la olmagani uchun  $m$  soni  $d/\lambda$  dan katta bo'la olmaydi. Ya'ni

$$m \leq \frac{d}{\lambda} \quad (2)$$

(2) formulaga kattaliklarning qiymatini qo'yib hisoblaymiz:

$$m \leq 2/0,7 = 2,86 \quad (\text{Qizil nurlar uchun})$$

$$m \leq 2/0,41 = 4,88 \quad (\text{Binafsha nurlar uchun})$$

Maksimumlar tartibi butun sonlarga teng bo'lishini inobatga olsak, qizil yorug'lik uchun  $m_{\max}=2$  va binafsha uchun  $m_{\max}=4$  bo'ladi.

**59-masala.** Diffraksiyon panjara  $N$  ga yorug'lik nurlari normal tushmoqda. Gonjometrning ko'rish trubasini biror  $\varphi$  burchakka burganda ko'rish maydonida uchinchi tartibli ( $n=3$ ) spektrda  $\lambda=0,44$  mkm chiziq ko'rindi. Xuddi shu burchak ostida ko'rinuvchi spektr chegarasida (0,4 mkm dan 0,7 mkm gacha) yotuvchi  $\lambda$ , to'lqin uzunliklarga mos keluvchi biror boshqa spektral chiziqdani ko'rish mumkinmi?

$$n = 3, \quad \lambda = 0,44 \text{ mkm} = 0,44 \cdot 10^{-6} \text{ m},$$

$$\text{Berilgan: } \lambda = (0,4 - 0,7) \text{ mkm} = (0,4 - 0,7) \cdot 10^{-6} \text{ m}$$

$$\lambda_2 = ?$$

**Yechish:** Diffraksiya panjarasiga qo'llash mumkin bo'lgan (15.13) formulaga muvofiq (15.7 ga qarang) shunday yozish mumkin.

$$d \sin \varphi = n\lambda = n\lambda_2$$

bu yerda,  $d$  — panjara  $L$  davri,  $n$ , esa  $\lambda_2$  spektral chiziq bo'lishi mumkin bo'lgan spektrning tartibi. U holda

$$\frac{n_2}{n} = \frac{\lambda}{\lambda_2}$$

Biroq shartga ko'ra  $\lambda/\lambda_2$  nisbat  $\frac{0,44}{0,4} = 1,1$  dan  $\frac{0,44}{0,7} = 0,63$  gacha chegarada,

ya'ni

$$0,63 < \frac{\lambda}{\lambda_2} < 1,1$$

o'zgaradi. Bundan  $0,63 < \frac{n_2}{n} < 1,1$  yoki  $n=3$  ekanligini o'tiborga olsak,

$$1,89 < n_2 < 3,3$$

$n_2$  butun son, shuning uchun ikki hol bo'lishi mumkin:  $n_2=2$  va  $n_2=3$ . Biroq  $n_2=3$  bo'la olmaydi, chunki  $n$  ham 3 ga teng: spektrning bitta tartibiga tegishli bo'lgan chiziqlar ustma-ust tusha olmaydi (qo'shila olmaydi).

Demak,  $n_2=2$ . U holda  $\lambda_2 = \lambda \frac{n}{n_2} = 0,44 \frac{3}{2} = 0,66 \text{ mkm}$ . bu qizil rangga

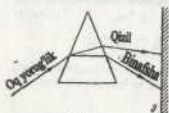
mos keladi;  $\lambda=0,44$  mkm ko'k rangga mos keladi.

Shunday qilib, uchinchi tartibli spektrning ko'k rangi ( $\lambda=0,44$  mkm)ga ikkinchi tartibli spektrning qizil rangi ( $\lambda=0,44$  mkm) qo'shiladi.



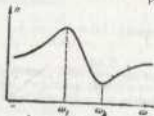
16.1. Yorug'lik dispersiyasi

Moddalar sindirish ko'rsatkichining yorug'lik to'liq uzunligi (chastotasi) ga bog'liqligi yorug'likning dispersiyasi deyiladi.

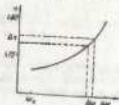


16.1-rasm.

Nyuton tajribalar asosida yorug'lik dispersiyasini kashf etdi. Nyuton prizma tushayotgan oq yorug'likni qizildan binafshagacha rangdagi yorug'lik spektrga ajralishini aniqladi (16.1-rasm). Tajribalardan shular ma'lum bo'ldiki, turli moddalardan yasalgan prizmalarda bir xil chastotali ( $\omega = \text{const}$ ) nular turlicha burchakka og'adi yoki bir xil chastotalar intervali  $\Delta\omega = \omega_2 - \omega_1$  ga mos bo'lgan spektr qismining kengliklari turli prizmalarda turlicha bo'ladi.



16.3-rasm.



16.2-rasm.

Chastota ortishi bilan moddaning sindirish ko'rsatkichi ham ortib borsa, ya'ni  $\frac{\Delta n}{\Delta \omega} > 0$  bo'lsa, bu moddadagi yorug'likning dispersiyasi *normal dispersiya* deyiladi (16.2-rasm). Agar chastota ortishi bilan moddaning sindirish ko'rsatkichi kamaysa (16.3-rasm), ya'ni  $\frac{\Delta n}{\Delta \omega} < 0$  bo'lsa, bunday moddadagi yorug'lik dispersiyasini *anomol dispersiya* deyiladi.

Shishta uchun oq yorug'lik sohasining barcha qismlarida normal dispersiya, ultrabinafsha va infraqizil sohalarning ba'zi qismlarida *anomol dispersiya* kuzatiladi.

16.2. Dispersiyang elektron nazariyasi

Dispersiyang elektron nazariyasini muhohaza qilar ekanmiz, yorug'likni elektromagnit to'liq, modda tuzilishini esa elektron nazariya asosida tavsavur qilish yetarli. Elektron nazariyaga asosan jism elektronlar va ionlardan tashkil topgan. Ular yorug'lik ta'sirida tebranma harakatga keladi. Yorug'lik to'liqlarining tebranishlari  $\sim 10^{15}$  Ge chastotalarda sodir bo'ladi. Elektromagnit maydonning burchalik tez o'zgarishini massalari yetarlicha kichik bo'lgan elektronlarga sezishga ulguradi.

Shuning uchun yorug'lik to'liqining jisimga ta'sirini hisoblashda yorug'likning elektromagnit ta'sirini hisoblash bilan chegaralansa bo'ladi.

Elektromagnit to'liq jismdan o'tayotganda  $-e$  zaryadli har bir elektronga elektr kuchi ( $\vec{F}_e = -e\vec{E}$ ) va Lorens kuchi ( $\vec{F}_l = -e[\vec{u}\vec{B}]$ ) bilan ta'sir qiladi.

$$\vec{F} = \vec{F}_e + \vec{F}_l = -e(\vec{E} + [\vec{u}\vec{B}]) \quad (16.1)$$

Lorens kuchi elektr kuchidan juda kichik bo'lganligi sababli uni hisobga olmasa ham bo'ladi. U holda (16.1) ni ko'rinishi quyidagicha bo'ladi,

$$\vec{F} = -e\vec{E} = -e\vec{E}_0 \cos \omega t \quad (16.2)$$

Bunda,  $\vec{E}_0$ ,  $\vec{E}$  ning amplituda qiymati,  $\omega$  - to'liqning siklik chastotasi. Birinchi yaqunlashganda  $F$  kuch (16.2) faqat eng tashqi elektronlarni siljitadi, deb hisoblash mumkin. Lekin bu elektronlar bilan atomning qolgan qismi orasidagi kvazielastik kuch mavjudki, u elektronni avvalgi vaziyatiga qaytarishga harakat qiladi. Bu kuch x siljishga proporsionaldir:

$$F_{\text{qayt}} = -Kx,$$

u holda elektron harakati uchun Nyuton 2-qonunini quyidagicha yozish mumkin.

$$m \frac{d^2 x}{dt^2} = -Kx - eE_0 \cos \omega t \quad (16.3)$$

yoki 
$$\frac{d^2 x}{dt^2} = -\frac{K}{m} x - \frac{e}{m} E_0 \cos \omega t$$

$$\frac{d^2 x}{dt^2} = -\omega_0^2 x - \frac{e}{m} E_0 \cos \omega t; \quad \omega_0^2 = \frac{K}{m} \quad (16.4)$$

(16.4) tenglamaning yechimi

$$x = x_0 \cos \omega t \quad (16.5)$$

ko'rinishda bo'ladi. (16.5) dan vaqt bo'yicha birinchi tartibli va ikkinchi tartibli hosila olamiz:

$$\dot{x} = -x_0 \omega \sin \omega t,$$

$$\ddot{x} = -\omega^2 x_0 \cos \omega t.$$

Buni hisobga olsak, (16.4) quyidagi ko'rinishni oladi:

$$-\omega^2 x_0 \cos \omega t = -\omega_0^2 x_0 \cos \omega t - \frac{e}{m} E_0 \cos \omega t$$

bunda,

$$x_0 (\omega^2 - \omega_0^2) = \frac{e}{m} E_0$$

yoki

$$x_0 = \frac{\frac{e}{m} E_0}{\omega^2 - \omega_0^2} = -\frac{\frac{e}{m} E_0}{\omega_0^2 - \omega^2} \quad (16.6)$$

ifodani hosil qilamiz.

Ikkinchi tomondan elektromagnit to'lqin ta'sirida elektronning siljishi tufayli hosil bo'lgan sistemani elektr dipoli deb qarash mumkin. Bu dipolning yelkasi  $x$  siljishiga teng. Agar  $x_0$  maksimal siljish bo'lsa, dipol momenti  $R_0 = -ex_0$  ga teng.

Moddaning birlik hajmdagi atomlar sonini  $N$  deb belgilasak, qutblanish vektori  $R$  ning qiymati

$$P = NP_0 = \frac{N e^2 E_0}{\omega_0^2 - \omega^2} \quad (16.7)$$

ko'rinishini oladi.

Kuchlanganligi  $E_0$  bo'lgan maydondagi modda uchun  $R$  dielektrik singdiruvchanligi ( $\epsilon$ ) bilan quyidagicha bog'langan:

$$P = (\epsilon - 1) \epsilon_0 E_0$$

U holda (16.7) dan

$$\frac{N \frac{e^2}{m} E_0}{\omega_0^2 - \omega^2} = (\epsilon - 1) \epsilon_0 E_0 \quad (16.8)$$

$$\epsilon = 1 + \frac{N \frac{e^2}{m}}{\epsilon_0 (\omega_0^2 - \omega^2)} \quad (16.9)$$

e'lonligi kelib chiqadi. Maksvell nazariyasiga asosan dielektrik singdiruvchanligi  $\epsilon$  magnit singdiruvchanligi  $\mu$  bo'lgan muhitda elektromagnit to'lqinining tarqalish tezligi

$$u = \frac{c}{\sqrt{\epsilon \mu}} \quad (16.10)$$

bo'ladi. Moddaning sindirish ko'rsatkichi esa

$$n = \frac{c}{u} = \sqrt{\epsilon \mu}, \quad \mu = 1 \quad \text{bo'lsa,}$$

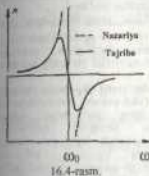
$$n = \sqrt{\epsilon} \quad (16.11)$$

ifoda hosil bo'ladi. (16.10) dan foydalanib (16.11)ni quyidagi ko'rinishda yozsa olinadi:

$$n = \sqrt{1 + \frac{N}{\epsilon_0} \frac{e^2}{\omega_0^2 - \omega^2}} \quad (16.12)$$

(16.12) formula asosida hisoblangan  $n$  ning qiymatlarini  $\omega$  ga bog'liqlik grafigi 16.4-rasmda tasvirlangan.

Demak, muhitning sindirish ko'rsatkichi to'lqin chastotasiga mos ravishda o'tirib boradi. Lekin  $\omega$  ga yaqinlashganda  $n$  ning qiymati keskin o'tirib ketadi.  $\omega$  ning qiymati  $\omega_0$  ga yaqin chastotalar tomonidan yaqinlashganda esa  $n$  ning qiymati keskin kamayib ketadi. Umuman aytganda,  $\omega$  ning qiymati  $\omega_0$  ga yaqin bo'lgan sohada  $n=f(\omega)$  funksiya uzulishga ega bo'lgan (16.4-rasm punktir chiziq). Buning sababi nazariy hisoblashlarda tebranma harakatining so'nishini hisobga olinmaganligidir. Biz

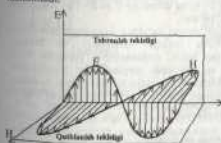


ko'rayotgan holda 'sirtqalanish' elektromagnit to'lqinining bir qismini muhitda yutilishi tufayli vujudga keladi.

### 16.3. Yorug'likning qutblanishi. Tabiiy va qutblangan yorug'lik

Interferensiya va diffraksiya hodisalarini ham ko'ngdalang, ham bo'yama ta'lqinlar uchun kuzatiladi. Shu bilan birga shunday hodisalar borki, ular uchun yorug'lik to'lqinining ko'ngdalang ta'lqin ekanligi alohida ahamiyatga egadir. Bunday hodisalar qatoriga yorug'likning qutblanishi ham kiradi. Ixtiyoriy yorug'lik manbasi (Quyosh va sham) dan tarqalayotgan yorug'lik nurlari deganda, shu manbaniy atomlardan chiqayotgan yorug'lik to'lqinlarining aralashmasi ma'shumladi.

Soddalik uchun tebranayotgan elektr dipoli nurlanishini qarash uchun, u turli tomonga elektromagnit to'lqinlar chiqarishini, bunda, elektromagnit to'lqin nurlanish yo'nalishi  $\vec{r}$  ga perpendikular, dipol e'qi tekisligida  $\vec{E}$  kuchlanganlik vektorining tebranishini ko'ramiz. Magnit maydon kuchlanganligi vektori  $\vec{H}$  va  $\vec{E}$  o'zaro perpendikular tekislikda tebranadi.  $\vec{E}$  vektor

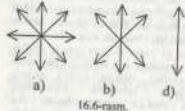


16.5-rasm.

tebranadigan tekislikni tebranish tekisligi va  $\vec{H}$  - vektori tebranadigan tekislikni qutblanish tekisligi deb ataladi (16.5-rasm). Qutblanish hodisasini to'la yoritish uchun  $\vec{E}$  to'g'risida fikr yuritish yetarli. Buning sababi, birinchidan, Maksvell

nazariyasiga binoan  $\vec{E}$  tebranyotgan tekislikka perpendikular tekislikda, albatta,  $\vec{H}$  ham tebranadi, ikkinchidan moddalar  $\vec{E}$  ning ta'siri  $\vec{H}$  ta'siridan ko'ra ko'proq bo'lar ekan.  $\vec{E}$  yorug'lik vektor deb ataladi. Yorug'lik manbaining o'lchamlari qanchalik kichik bo'lmasin, undagi «nurlanqichlar» soni nihoyat ko'p bo'ladi. Boshqacha aytganda, har onda mahadagi milliardlab atomlar to'liq nurlatishni tugallasa, milliardlab atomlar to'liq chiqarishni boshlaydi.

Demak, biror jism nurlanayotgan yorug'likda yorug'lik vektori turli yo'nalishlarda bir xil ehtimollikda tebranadi.  $\vec{E}$  ning turli yo'nalishlarda bir xil taqsimlanganligi nurlanayotgan atomlar sonining ko'pligidan, amplituda qiymatlarining tengligi, har bir atom nurlanish intensivligini bir xiligidan kelib chiqadi.



16.6-rasm.

Bunday yorug'lik — tabiiy yorug'lik deyiladi (16.6 a-rasm). Tebranish yo'nalishlari biror usul bilan tartibga keltirilgan yorug'lik qutblangan yorug'lik deyiladi. Biror yo'nalishdagi tebranishlari boshqa yo'nalishdagi tebranishlarga qaraganda ko'proq bo'lsa, yorug'lik qisman qutblangan yorug'lik deyiladi (16.6 b-rasm).

$\vec{E}$  - vektorining tebranishlari faqat bitta tekislikda sodir bo'ladigan yorug'lik yassi (chiziqli) qutblangan yorug'lik deyiladi (16.6 d-rasm). Yuqorida ko'rib o'tilgan davriy tebranyotgan dipoldan nurlanayotgan elektromagnit to'lqin, yassi qutblangan yorug'likka misol bo'la oladi.

Qutblanish darajasi sifatida

$$P = \frac{I_1 - I_2}{I_1 + I_2} \quad (16.13)$$

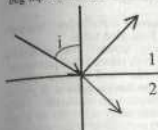
qabul qilingan. Bu yerda  $I_1, I_2$  - ikki bir-biriga perpendikular yo'nalishdagi yorug'lik intensivligi. Tabiiy yorug'likda bo'lgani uchun  $I_1 = I_2$  va  $P = 0$  bo'ladi, yassi qutblangan yorug'lik uchun  $I_2 = 0$  va  $P = 1$  bo'ladi.

Yuqorida ko'rib o'tilgan nurlanayotgan atomni har doim dipolning tebranishiga keltirib bo'lmaydi. Dipol nurlanishidan tashqari kvadrupol va boshqa multipollikdagi nurlanishlar mavjud. Bu holda nurlanayotgan yorug'lik bita tekislikda tebranyapti deb bo'lmaydi va uni endi perpendikular tekisliklarda qutblangan, faza jihatdan siljigan ikkita tebranish yig'indisi sifatida qarash mumkin. Eng oddiy holda bunday nurlanish, umumiy holda esa ellips bo'ylab qutblangan bo'ladi, ya'ni  $\vec{E}$  vektor aylana yoki ellips chizadi.

#### 16.4. Yorug'likning qaytishida va sinishida qutblanish

Tabiiy yorug'lik nuri ikki dielektrik chegarasiga tushayotgan bo'lsin (masalan, havodan shishaga). Bunda nurning bir qismi qaytadi, bir qismi sinadi. Tajribalar qaytgan va singan nurlar qisman qutblanganligini ko'rsatadi. Qaytgan narda tushish tekisligiga perpendikular yo'nalishdagi tebranishlar ko'proq ekanligiga, singan narda tushish tekisligiga parallel tebranishlar ko'pligi aniqlandi.

Qutblanish darajasi nurning tushish burchagiga va sindirish ko'rsatkichiga bog'liq. Shotlandiyalik olim Bryusterning aniqlashicha (16.7-rasm),



16.7-rasm.

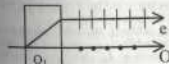
$$\text{tg } i = n_2 \quad (16.14)$$

munosabatdan topiladigan  $i$  burchaklarda qaytgan nur to'la yassi, singan nur esa qisman qutblangan bo'lar ekan. Masalan, shisha uchun ( $n=1.53$ ) Bryuster burchagi  $56^\circ$  ga yaqin. Demak, tabiiy yorug'lik nuri shisha plastinkaga  $56^\circ$  burchak hosil qilib tushirilsa, qaytgan nur tushish tekisligiga perpendikular yo'nalishda to'la qutblangan bo'ladi.

Yorug'lik Bryuster burchagi ostida tushganda qaytgan va singan nurlar o'zaro perpendikular bo'ladi. Singan nurning qutblanish darajasini har safar Bryuster burchagi ostida tushirib oshirish mumkin.

#### 16.5. Nurning ikkilanib sinishi. Kristallning optik o'qi

Fizik xususiyatlari yo'nalishlarga bog'liq bo'lgan muhit esa anizotrop muhit deyiladi. Izotrop muhit (masalan, shisha plastinka) da yorug'likning sinish qonuniga bo'yunsadi. Agar island shpatiga yorug'lik tushsa, kristaldan ikki bir-biriga va tushayotgan turga parallel nur chiqadi. Agar tushayotgan nur kristalga perpendikular bo'lsa ham, singan nur ikkiga bo'linadi. Bu nurlardan birining elektr tebranishlari kristallning optik o'qiga perpendikular bo'ladi; bu nur oddiy nur ( $\theta$ ) deb ataladi. Ikkinchi nurning elektr tebranishlari esa bosh optik o'qqa parallel bo'ladi; bu nur g'ayri oddiy nur ( $\epsilon$ ) deyiladi (16.8-rasm).



16.8-rasm.

Kubik sistemaga kiruvchi kristallardan boshqa hamma kristallar nurni ikkilanirib sindirish xossasiga ega. Bu hodisa birinchi bo'lib island shpatida Bartolini tomonidan aniqlangan. Bu hodisa yorug'likning anizotrop kristallarda turli yo'nalishda  $\epsilon_e, \epsilon_o$  lar har xil bo'lishi mumkinligi bilan bog'liq. Demak, sindirish ko'rsatkichlari

$$(n_e = \sqrt{\epsilon_e}, \quad n_o = \sqrt{\epsilon_o}) \quad \text{ham har xil.}$$

Shuning uchun nur kristallga tushganda turli burchak ostida sinadi. Kristallarda shunday yo'nalish berki, bu yo'nalishda yorug'lik tarqalganda nurning ikkilanib sinishi kuzatilmaydi. Bu yo'nalish kristallning optik o'qi deyiladi. Agar kristal optik o'qqa perpendikular yo'nalishda qirilsa, shu qirragga normal tushayotgan nur bir xil tekis bilan tarqaladi. Tabiiy nur optik o'q bo'ylab kyetganda yorug'lik qutblanmaydi.

#### 16.6. Qutblovchi prizmalar. Malysu qonuni

Tabiiy yorug'likdan qutblangan yorug'lik olish uchun shunday sharoit yaratish kerakki, bunda, yorug'lik to'lqinining  $\vec{E}$  vektori muayyan aniq bir yo'nalish bo'ylab tebranadigan bo'lsin. Bunday sharoitlar qutblovchi prizmalar (polarizatorlar)da mavjud bo'ladi. Prizmalar ikki turga bo'linadi.

1. Faqat yassi qutblangan nur olinadigan.
2. Bie-biriga perpendikular tekisliklarda qutblangan ikkita nur beradigan prizmalar.

Eng avvalo, Blyuster qonuni asosida ko'p qavatli kristallardan foydalanib (16.9-rasm) qutblagich yasash mumkinligiga qanoat hosil qilish kerak.

Qutblovlchi prizmalar to'la ichki qaytish hodisasiga asoslanib ishlaydi. Bunday prizmalarning tipik misoli Nikol prizmasidir. Nikol prizmasi ikki ifland shpatidan qilingan  $AF$  chiziq bo'ylab Kanada balzami ( $n_0=1,55$ ) kley bilan birlashtirilgan qurilmadir. Tabiiy nur kristall ichida oddiy ( $n_o=1,66$ ) va g'ayri oddiy ( $n_e=1,51$ ) nurlarga bo'linadi. Oddiy nur Kanada balzamidani to'la qaytadi va qoraytirilgan  $YS$  sirtida yutiladi. Kristallidan g'ayri oddiy nur chiqadi (16.10-rasm).



16.9-rasm.



16.10-rasm.

Anizotrop muhitlarda nur ikkiga bo'linishidan tashqari turlicha yutiladi. *Dicroizim deb ataluvchi bu hodisa tufayli ikki nurdan biri to'la yutiladi.* Masalan, tormalin kristallida oddiy nurning yutilishi ko'effitsiyenti g'ayri oddiylikidan bir necha marta katta. Qalmligi  $1\text{ mm}$  bo'lgan tormalin plastikasida oddiy nur yutilib, faqat g'ayrioddiy nur chiqadi. Bu esa dicroizimli kristallardan qutblagich sifatida foydalanish

imkoniyatini beradi.

Qutblagich sifatida polaroidlar keng qo'llaniladi. Polaroid yuqa selluloid plynokasidan iborat bo'lib, unga gerapatit ingichka kristallari kiritilgan bo'ladi. Gerapatitning  $0,1\text{ mm}$  qalinlikdagi plastikasi oddiy nurni to'la yutadi.

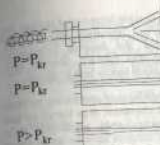
*Agar bir tormalin plastikasi orqasiga ikkinchi tormalin plastikani joylashtirilsa, birinchi qutblagich, ikkinchi talblchi (analyzer) deyiladi.* Ikkinchi kristalga tushayotgan yorug'lik intensivligini  $I_0$  chiqovchi yorug'lik intensivligini  $I$  deb belgilasak,

$$I = I_0 \cos^2 \alpha \quad (16.15)$$

tabiiy yorug'lik intensivligi  $I_0$  bo'lsa,  $I_0 = I_0/2$  dir. (16.15) dagi  $\alpha$  - kristallarning optik o'qlari orasidagi burchak (16.15) ifoda Matyx qonunini ifodalaydi.

### 16.7. Yorug'likning sochilishi

Tiniq bo'lmagan muhitlarda, ya'ni optik jihatdan bir jinsli bo'lmagan muhitdan ham yorug'lik diffraksiyasi kuzatiladi. Bunday muhitlarga aerozollar (bulut, tuman, tuman), emulsiya, kolloidli eritmalar va hokazolar kiradi, ya'ni mayda zarrachalar suzib yurgan muhitlar kiradi. Yorug'lik bunday muhitdan o'tayotib tarqab joylashgan bir jinsli bo'lmagan joylardan, zarralardan diffraksiyalanadi va bamma yo'nalishda bir xil intensivlik beradi, bunda, aniq bir diffraksiyon manzara hosil bo'lmaydi. *Bu hodisa tiniq bo'lmagan (xiva) muhitida, yorug'likning sochilishi deb ataladi.* Misol uchun, Quyosh nurning ingichka dastasi changli havodan o'tayotib sochiladi va ko'rinadigan bo'lib qoladi.



16.11-rasm.

Yorug'likning sochilishi begona zarralar bo'lmagan toza muhitlarda ham kuzatilishi mumkin. I.I.Mandelstam bu hodisani muhitning sindirish ko'rsatkichining doimiy emassiyi bilan, ya'ni nuqtadan nuqtaga o'nganda o'zgarishi bilan tushuntiradi. Keyinchalik M.Smoluxovskiy bunga sabab molekular suvotik issiqlik harakati tufayli yuzaga keladigan zichlikning fluktuatsiyalari bo'lishi mumkinligini ko'rsatdi. Bunga sabab yangi muhit anizotropligi bo'lishi mumkin. Bunday sochilishlar *molekular sochilishi* deb ataladi. Osmon rangining ko'kligi molekulyar sochilishi bilan tushuntiriladi. D.Reley bo'yicha sochilgan yorug'lik intensivligi  $I \sim \lambda^{-4}$ , shuning uchun hammo rang, ko'k nurlar sariq va qizil nurlarga nisbatan ko'p sochiladi va osmon havorang (ko'k) bo'lib ko'rinadi. Zichlik va intensivlik fluktuatsiyalari harorat ortishi bilan ortadi. Shuning uchun yozda osmon rangi qishdagidan ko'ra to'yinganroq bo'ladi.

### 16.8. Nochiziqiy optika elementlari

Lazerlar yaratilganidan so'ng optikada bir qator yangi yo'nalishlar paydo bo'ldi. Bunday hodisalar qatoriga turli muhitlarda optik hodisalarning yorug'lik intensivligiga bog'liqligi kiradi. Bu hodisalar *nochiziqiy* optikaning yaratilishiga sabab bo'ldi.

Lazer yaratilishidan oldingi optik jarayonlarda yorug'lik intensivligiga bog'liq optik hodisalar kuzatilmagan edi. Quvvati  $10^{-10} - 10^{-12}\text{ Vt/cm}^2$  bo'lgan yorug'lik dastalari bilan o'tkazilgan tajribalarda yorug'lik intensivligiga bog'liq bo'lgan qator yangi optik effektlar kuzatildi. Ulardan ba'zilari ko'rib o'taylik.

**O'z-o'zidan fokuslanish.** Paralel yorug'lik oqimi muhitda tarqalganda, diffraksiya hodisasi tufayli chekka sohalarga ham tarqaladi. Agar muhit suyuqlik yoki kristal bo'lsa, bunday holat bo'lmagisi ham mumkin ekan.

Shunday tajribalardan birida (16.11-rasm) rubin lazeri ( $\lambda=6943\text{ \AA}$  - qizil soha) ning qizil dastasi  $F$  filtri va dumaloq diafragmaidan o'tgandan so'ng shaffof suyuqlik, masalan, *nitrobenzolga* tushadi. Quvvat  $R=0,5\text{ Vt}$  bo'lganda odatdagi chiziqli optika qonunlariga binoat diffraksiyon manzara hosil bo'ladi.

Quvvat  $R_0=20\text{ kVt}$  ga teng bo'lsa, yorug'lik cheqta tarqalmagan dasta bo'lib tarqaladi,  $R>R_0$ , da dasta muhitda siqilib  $R = \frac{1}{\sqrt{P}}$  o'z-o'zidan fokuslanadi. Buning

sababini muhit sindirish ko'rsatkichi yorug'lik intensivligi ortib borishi bilan ortishdir.

$$n = n_0 + n_1 E^2 \quad n_0 = \sqrt{\epsilon_0} \quad (16.16)$$

Bunda nur egallagan soha optik jihatdan zich bo'lib qoladi va dasta fokuslanadi. Lazer nurning intensivligi ma'lum chegaraviy intensivlikdan katta bo'lsa, asosiy chastota ( $\omega_0$ ) ga yo'ldosh sifati bo'ladigan spektral satellitlar intensivligi ortib ketar ekan va asosiy chastotali chiziq intensivligiga teng bo'lib qolar ekan. Satellitlar ham ortib ketar ekan hamda  $\omega_1 \approx 2\omega_0$ ;  $\omega_2 \approx 3\omega_0$ ;  $\omega_3 \approx 4\omega_0$  va hokazo

komponentlar paydo bo'lar ekan. Ayniqsa, bu hodisa rubin lazer nurini siqilgan gaz (vodород, azot) da sochilishida yorqin namoyon bo'ladi. Intensivlik  $10^7-10^8 \text{ V/cm}^2$  yetganda, sochilgan nur tarkibidagi komponentlar shu darajada ko'payadi, tushayotgan qizil bo'lgan nur chiqishda oq yorug'likka aylanadi. Shunday qilib, muhit bilan ta'sirlashish natijasida yorug'likning spektral tarkibi ham o'zgaradi.

#### Optik garmonikalarni generatsiyalash.

Intensiv lazer nuri suyuqlik va kristallarda sochilganda spektrining yo'ldosh komponentlari bilan birgalikda tushuvchi yorug'lik chastotasi  $\omega$  ga karrafi bo'lgan  $2\omega, 3\omega, \dots$  - optik garmonikalar ham generatsiyalanishi aniqlangan. Ba'zi kristallarda optik garmonikalarning intensivligi shu darajada katta bo'ladiki, ularga nurlarning 30-50% quvvati to'g'ri keladi. Misol uchun rubin lazerining kuchli nur dastasi kvartsdan o'tganda lazer nuri to'liq uzunligiga to'g'ri keluvchi nur ( $\lambda=6943 \text{ \AA}$ ) bilan birga  $\lambda/2 = 3471.5 \text{ \AA}$  ga teng bo'lgan ultrabinafsa nur bortigi aniqlangan.

Xuddi shuningdek, ko'zga ko'rinmaydigan infraqizil ( $\lambda=10600 \text{ \AA}$ ) neodim lazer yorug'lik dastasi kristallga tushiriganda, chiqishda ikkinchi garmonika ko'rinuvchi ko'k sohaga to'g'ri keladi ( $\lambda_2=5350 \text{ \AA}$ ).

Bundan tashqari, kuchli dasta ta'sirida muhit shaffofligi ham o'zgarar ekan. Kuchli intensivlikda shaffof bo'lgan muhit, kuchli intensivlikka shaffof bo'lmay qolar ekan. Boshqa muhitlarda oksid bo'lishi mumkin. Kuchli yorug'lik ta'sirida fotoeffektning qizil chegarasi buzilar ekan. Fotoeffektning inlanish energiyasidan 2-3 bar'ida 6-7 marta kam energiyali fotonlar bilan amalga oshirilishi mumkin.

Shunday qilib, yorug'lik intensivligining ortishi ma'lum optik hodisalarning yangi qirralarini va yangi effektlarni ochish imkonini berdi. Bunda intensivlik  $I$   $V/cm^2$  dan  $10^7-10^8 V/cm^2$  gacha, ya'ni  $10^7-10^8$  marta ortadi. Bu hodisalarni birilashiruvchi umumiy narsa: ularning tabiiati intensivlikka bog'liqligidir. Bu effektning aksariyat ko'pchiligida intensivlik chegarasi mavjud.

#### Savollar

1. Yorug'lik dispersiyasi deb nimaga aytiladi? Nyuton tajribalari ortali tushuntiring.
2. Normal va anomal dispersiya qanday shartlar asosida moddaning sindirish ko'rsatkichi bilan yorug'lik chastotasi orasidagi bog'lanishni ifodalaydi.
3. Dispersiyang elektron nazariyasini tushuntirishda yorug'likning elektronga ta'sirini hisoblash bilan chegaralansa bo'ladimi?
4. Yorug'lik to'liqining ko'ndalang to'liq ekanligi, yorug'likning qutblanishini izohlash qanday ahamiyatga ega?
5. Nurning ikkilanib sinishini tushuntirishda, elektr tebranishlarini kristallning optik o'qiga munosabati qanday bo'ladi?
6. Tabiiy yorug'likdan qanday qilib, ya'ni qutblangan yorug'lik olish mumkin?
7. Nikol prizmasida nur yo'lini ko'rsatay va qanday nurlar chiqishini izohlang?
8. Malyus qonunining ifodasini yozing va ikki tarmalin plattinkalarning vazifasini eslatib o'ting.
9. Xira muhitda va toza muhitlarda yorug'likning sochilishi qanday tushuntiriladi?

#### Masalar

**60-masala.** Suvning sirtiga to'liq uzunligi  $\lambda_0=700 \text{ nm}$  bo'lgan qizil yorug'lik nurlari tushmoqda. Suvning qizil yorug'lik nurlari uchun absoliit sindirish ko'rsatkichi  $n=1.331$  ga teng bo'lsa, bu nurning suvdagi to'liq uzunligi  $\lambda$  topilsin. Suv tubida turgan kishi qanday rangli yorug'lik nurini ko'radi? Yorug'likning vakuumda tarqalish tezligi  $v=3 \cdot 10^8 \text{ m/s}$

$$\lambda_0 = 700 \text{ nm} = 700 \cdot 10^{-9} \text{ m} = 7 \cdot 10^{-7} \text{ m},$$

$$\text{Berilgan: } n = 1.331, c = 3 \cdot 10^8 \text{ m/s}$$

$$\lambda - ?$$

**Yechish:** Yorug'lik nurning vakuumdagi to'liq uzunligi  $\lambda = \frac{c}{\nu}$  bo'lib,

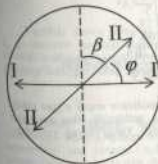
bunda,  $\nu$  - yorug'likning tarqalish tezligi,  $c$  - uning chastotasi. Yorug'lik nuri bu muhitdan boshqa muhitga o'tganda, uning chastotasi o'zgarmay qolib, tarqalish tezligi va to'liq uzunligi o'zgaradi. Agar yorug'lik nurning suvdagi tarqalish

tezligi  $v$  va to'liq uzunligi  $\lambda$  bo'lsa,  $\lambda = \frac{v}{\nu}$  bo'ladi, bundan

$$\nu = \frac{c}{\lambda_0} \text{ va } \nu = \frac{c}{\lambda} \text{ bo'lgani uchun quyidagi ishchi formula kelib chiqadi:}$$

$$\lambda = \frac{v}{\nu} = \frac{c/n}{c/\lambda_0} = \frac{\lambda_0}{n} = \frac{7 \cdot 10^{-7}}{1.331} = 5.26 \cdot 10^{-7} \text{ m} = 526 \text{ nm}$$

To'liq uzunligi  $\lambda=526 \text{ nm}$  ga teng bo'lgan yorug'lik nuri qizil emas, yashil nurdan iborat bo'ladi. Lekin suv tubidagi kishi yashil nurni emas, qizil nurni ko'radi, chunki inson ko'zining rangni ajratishi yorug'likning to'liq uzunligiga qarab emas, balki to'liqining chastotasiga qarab belgilanadi.



16.12-rasm.

**61-masala.** Qutblagichga tushayotgan yassi qutblangan monoxromatik yorug'lik dastasi unda to'la tutilib qolmoqda. Yorug'lik dastasi yo'liga kvarts plastinkasi qo'yilganda qutblagichdan chiqayotgan yorug'likning qutblagichdan chiqayotgan yorug'lik intensivligi unga tushayotgan yorug'lik intensivligining yarmiga teng bo'lib qoladi. Kvarts plastinkasining minimal qutblanish aniqlang. Qutblagichda yorug'likning yutilishini va qaytishini hisobga olmag. Kvartsning aylanish doimiysi  $\alpha=48.9$  grad/um deb oling.

Berilgan:  $\alpha = 48,9 \text{ grad} / \text{mm},$   
 $d \sim ?$   $\frac{I}{I_0} = \frac{1}{2}.$

**Yechish:** Qutblagichda (16.12-rasm) yorug'likning to'la tutilish qolishi unga tushayotgan qutblangan yorug'likning tebranish tekisligi (I-1) qutblagichning o'tkazish tekisligiga (16.12-rasmda shrix chiziq) perpendikular ekanligini bildiradi, Kvars plastinkasining kiritilishi yorug'lik tebranish tekisligini

$$\varphi = \alpha d \quad (1)$$

burchakka burilishiga olib keladi, bunda,  $d$  - plastinkaning qalinligi.

Qutblagichdan o'tganda yorug'lik intensivligining necha marta kamayganligini bilgan holda, qutblagich o'tkazish tekisligi bilan unga tushayotgan yassi qutblangan yorug'lik tebranish tekisligining yangi yo'nalishi (II-II) orasida hosil bo'lgan burchak  $\beta$  ni aniqlaymiz. Buning uchun Mal'us qonunidan foydalanamiz:

$$I = I_0 \cos^2 \beta.$$

$$\beta = \frac{\pi}{2} - \varphi \text{ ekanligini nazarda tutsak.}$$

$$I = I_0 \cos^2 \left( \frac{\pi}{2} - \varphi \right)$$

yoki

$$I = I_0 \sin^2 \varphi. \quad (2)$$

(1) ni hisobga olsak, (2) tenglikdan

$$\text{ctg} \varphi = \text{arc sin} \sqrt{I/I_0}$$

ni hosil qilamiz. Bundan plastinkaning izlanayotgan qalinligini topamiz:

$$d = \left( \frac{1}{\alpha} \right) \text{arc sin} \sqrt{\frac{I}{I_0}}$$

Sistemaga kirmagan birliklarda hisoblashni bajarsak:

$$d = \frac{1}{48,9} \text{arc sin} \sqrt{1/2} \text{mm} = \frac{0,785}{48,9} = 16 \text{m km}.$$

**62-masala.** Agar qutblagich (polarizator) va analizator orqali o'tgan tabiiy yorug'likning intensivligi 4 marta kamaygan bo'lsa, qutblagich bilan analizator asosiy tekisliklari orasidagi o' burchak nimaga teng? Yorug'likning yutilishini hisobga olmag.

Berilgan:  $I/I_T = 4 \text{ marta}$   
 $\alpha \sim ?$

**Yechish:** Yorug'lik qutblagichdan o'tganda intensivligi ikki marta kamayadi. Shuning uchun  $I_0 = \frac{1}{2} I_T$ , bu yerda,  $I_0$  - tabiiy yorug'likning intensivligi,  $I_0$  - qutblagich orqali o'tgan yorug'likning intensivligi.

Yorug'lik analizatoridan o'tganda intensivligi Mal'us qonuniga muvofiq kamayadi, ya'ni

$$I = I_0 \cos^2 2\alpha,$$

bu yerda,  $I$  - analizator orqali o'tgan yorug'likning intensivligi, biroq masalaning shartiga ko'ra  $I = \frac{1}{4} I_T$ . Shuning uchun

$$\frac{1}{4} I_T = \frac{1}{2} I_T \cos^2 \alpha,$$

bundan

$$\cos \alpha = \frac{\sqrt{2}}{2} \text{ va } \alpha = 45^\circ.$$

**63-masala.** Qisman qutblangan yorug'lik dastasi nikol orqali qaratadi. Dastlab nikol shunday o'rnatiladi, uning o'tkazish tekisligi chiziqli qutblangan yorug'likning tebranish tekisligiga parallel bo'ladi. Nikol  $\varphi = 60^\circ$  ga burilganda u o'tkazayotgan yorug'lik intensivligi  $k=2$  marta kamayadi. Berilgan qisman qutblangan yorug'likning tashkil etuvchilari bo'lmish tabiiy va chiziqli qutblangan yorug'liklar intensivliklarining nisbati  $I_1/I_0$  hamda yorug'lik dastasining qutblanish darajasi aniqlansin.

Berilgan:  $\varphi = 60^\circ$   $k=2 \text{ marta}$   
 $I_0/I_q \sim ?$   $P \sim ?$

**Yechish:** Tabiiy yorug'lik intensivligi  $I_T$  ning qutblangan yorug'lik intensivligi  $I_q$  ga nisbatini quyidagi mulohazalardan topamiz. Nikolning dastlabki holatida u chiziqli-qutblangan yorug'likni to'la va tabiiy yorug'likning yarmini o'tkazadi. Bunda o'tkazilgan yorug'likning to'la intensivligi

$$I_1 = I_q + \frac{1}{2} I_T.$$

Nikolning ikkinchi holatida esa o'tkazilgan qutblangan yorug'likning intensivligi Mal'us qonuni bilan aniqlanadi, o'tkazilgan tabiiy yorug'likning intensivligi esa birinchi holdagidek, nikolga tushayotgan tabiiy yorug'lik intensivligining yarmiga teng. Ikkinchi holda to'la intensivlik

$$I_2 = I_q \cos^2 \alpha + \frac{1}{2} I_T.$$

Masalaning shartiga ko'ra,  $I_1 = k I_2$  yoki

$$I_{\varphi} + \frac{1}{2}I_T = k \left( I_{\alpha} \cos^2 \alpha + \frac{1}{2}I_T \right)$$

Bunga burchak  $\alpha$ ,  $k$  larning qiymatlarini qo'yib hisoblaymiz:

ya'ni berilgan dastada tabiiy va qutblangan yorug'likning intensivliklari o'zaro teng  
Qisman qutblangan yorug'likning qutblanish darajasi

$$P = \frac{I_{\max} - I_{\min}}{I_{\max} + I_{\min}} \quad (1)$$

munosabat bilan aniqlanadi, bunda,  $I_{\max}$  va  $I_{\min}$  nikoldan o'tkazilgan yorug'likning mos ravishda maksimal va minimal intensivliklari.

Maksimal intensivlik  $I_{\max} = I_1 = I_{\varphi} + \frac{1}{2}I_T$  yoki  $I_2 = I_{\varphi}$  ekanligi hisobga olinsin.

$$I_{\max} = \frac{3}{2}I_{\varphi}$$

Minimal intensivlik nikolning o'tkazish tekisligi chiziqli qutblangan yorug'likning tebranish tekisligida tik yo'nalgan holatiga mos keladi. Nikolning bunday holatida qutblangan yorug'lik to'la yutiladi va nikol orqali faqat tabiiy yorug'lik intensivligining yarmigina o'tadi. To'la intensivlik quyidagi tenglik bilan ifodalanadi:

$$I_{\min} = \frac{1}{2}I_T = \frac{1}{2}I_{\varphi}$$

$I_{\max}$  va  $I_{\min}$  larning topilgan ifodalari (1) formulaga qo'yib natijani olamiz:

$$P = \frac{\frac{3}{2}I_{\varphi} - \frac{1}{2}I_{\varphi}}{\frac{3}{2}I_{\varphi} + \frac{1}{2}I_{\varphi}} = \frac{1}{2}$$

Shunday qilib, yorug'lik dastasining qutblanish darajasi  $P = \frac{1}{2}$ .

### 17.1. Issiqlik nurlanishi. Absolut qora jism nurlanishidagi qonuniyatlar

Yuqoridagi bo'limlarda ta'kidlaganimizdek, elektromagnit nurlanishi elektr zaryadlarining, xususan, moddaning atomlari va molekulari tarkibiga kiruvchi zaryadlarning tebranishi sabab bo'ladi. Masalan, molekularlar va atomlarning tebranma va aylanma harakati infraqizil nurlarni, atomba elektronlarning muayyan ko'chishlari ko'rinadigan va infraqizil nurlanishi, erkin elektronlarning tormozlanishi esa rentgen nurlanishini vujudga keltiradi.

**Tabiatda elektromagnit nurlanishning eng keng tarqalgan turi issiqlik nurlanishi bo'lib, u moddaning atomlari va molekularining issiqlik harakati energiyasi, ya'ni moddaning ichki energiyasi hisobiga hosil bo'lib, nurlanayotgan jismning sovishiga olib keladi.** Issiqlikning nurlanishida energiya taqsimoti haroratga bog'liq: past haroratda issiqlik nurlanishi, asosan, infraqizil nurlanishdan, yuqori haroratlarda ko'rinadigan va ultrabinafsha nurlanishdan iborat.

Har qanday jism o'z nurlanishi bilan birga atrofidagi jismlar chiqarayotgan nur energiyasining bir qismini yutadi. **Bu jarayon nur yutish deyiladi. Biror yuz orqali o'tayotgan F oqim deb vaqt birligi ichida shu yuzadan o'tayotgan nurlanish energiyasi tushuniladi.**

$$F = \frac{dW}{dt} \quad (17.1)$$

Nurlanish oqimi  $F$  hiror plastikaga tushayotgan bo'lsin. Bu oqim qisman qaytadi ( $F_{\alpha}$ ), qisman jismda yutiladi ( $F_{\beta}$ ), qolgan jismdan o'tadi ( $F_{\gamma}$ ), ya'ni

$$F_{\alpha} + F_{\beta} + F_{\gamma} = F \quad (17.2)$$

$F_{\alpha}/F = \rho$  - jismning nur qaytarish qobiliyati;

$F_{\beta}/F = a$  - jismning nur yutish qobiliyati;

$F_{\gamma}/F = d$  - jismning nur o'tkazish qobiliyati.

Bu belgilardan foydalanib (17.2) ni quyidagicha yozamiz:

$$\rho + a + d = 1 \quad (17.3)$$

Nisbatan qalinroq bo'lgan jismlar uchun  $d=0$ , u holda (17.3) quyidagi ko'rinishni oladi.

$$\rho + a = 1 \quad (17.4)$$

Tajribalarni ko'rsatishicha  $\rho$  va  $a$  ning qiymatlari  $\lambda$  va  $T$  larning funksiyasidir

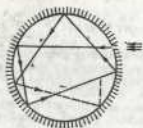
$$\rho_{\lambda,T} + a_{\lambda,T} = 1 \quad (17.5)$$

Umuman,  $\rho_{\lambda,T}$  va  $a_{\lambda,T}$  larning qiymatlari 0 dan 1 gacha o'zgaradi,

1)  $\rho_{\lambda,T} = 1$ ,  $a_{\lambda,T} = 0$  nur to'la qaytariladi (absolut oq jism).

2)  $\rho_{\lambda,T} = 0$ ,  $a_{\lambda,T} = 1$  nur to'la yutiladi (absolut qora jism).

Tabiatda absolut oq jism ham, absolut qora jism ham bo'lmaydi. Har qanday jism tushayotgan nurlanishning bir qismini yutsa, qolgan qismini qaytaradi. Farqi shundaki, ba'zi jismlar ko'proq qismini yutib ozrog'ini qaytarsa, boshqa jismlar



17.1-rasm.

aksincha ko'prog'ini qaytarib, ozrog'ini yutadi. Masalan, qorakuya uchun  $\lambda=0,40-0,75$  mikn sohada  $a_{\lambda,T}=0,99$ .

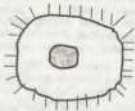
Nur yutish qobiliyati hamma to'laqin uzunliklar uchun bir xil va birdan kichik bo'lgan jism kulrang jism deb ataladi.

$$a_{\lambda,T} = a_T = \text{const} < 1 \quad (17.6)$$

Odatda, o'zining xususiyatlari bilan absolut qora jismdan kam farq qiladigan Mixelson taklif etgan modeldan foydalaniladi (17.1-rasm). Bunday model juda kichik teshigi bo'lgan berk kovak ifodishdan iborat. Ixtiyoriy to'laqin uzunlikdagi nur teshik orqali kovakka kirib qolgach, uning ichki devoridan ko'p marta qaytib, nur energiyasining bir qismi yutiladi, natijada nur energiyasining juda kichik ulushigina kovakdan qaytib chiqishi mumkin. Shuning uchun bunday modelning nur yutish qobiliyati 1 ga juda yaqin bo'ladi.

Bu modelda nur qaytarish va nur yutish qobiliyatidan tashqari  $T$  haroratdagi jismining birlik sirtidan birlik vaqtda nurlanayotgan elektromagnit to'laqinlarning energiyasini ifodalaydigan kattalik -  $T$  haroratdagi jismining nur chiqarish qobiliyati yoki energetik yotqinligi ( $\epsilon$ , orqali belgilanadi va  $V/m^2 \cdot (J/m^2 \cdot s)$ ) bilan o'ltichanadi) tushuncha

kiritiladi. Bundan tashqari,  $\lambda$  to'laqin uzunlikli,  $T$  - haroratdagi jism nur chiqarish qobiliyati  $e_{\lambda,T}$  dan foydalaniladi. Absolut qora jism nur chiqarish qobiliyati  $E_{\lambda,T}$  bilan belgilanadi.



17.2-rasm.

Issiqlik nurlanishi boshqa turdagi nurlanishlardan o'zining bir xususiyati bilan farq qiladi.  $T$  haroratdagi jism issiqlik o'tkazmaydigan qobiq bilan o'ralgan deb faraz qilaylik (17.2-rasm). Jism chiqargan nurlanish qobiqqa tushib undan bir yoki bir necha marta qaytadi va yana jisimga tushadi. Jism bu nurlanishni qisman yoki to'la yutadi. Qisman yutsa, qolgan qismini yana qobiqqa qaytaradi. Shuning uchun jism vaqt birligi ichida qancha energiya chiqarsa, shuncha energiya yutadi va jismining harorati o'zgarmaydi. Bu holat muvozanatli holat deyiladi. Shu sababdan issiqlik nurlanishini muvozanatli nurlanish



17.3-rasm.

deh yuritiladi. Endi qobiq ichida 2 ta (17.3-rasm) bir xil haroratdagi jism bo'lsin. Agar jismlardan biri ko'prog' yutayotgan bo'lsa, bu jismining harorati ortib ketadi. Buning evaziga 2 - jismining harorati kamayib ketishi kerak. Lekin bu termodinamikaniq 2 - qonuniga ziddir. Aytaylik 1 - jism oddiy, 2 - jism absolut qora jism bo'lsin:

$$\text{nur chiqarish } 1 e_T ; 2 E_T$$

nur yutish  $a_T ; 1$

1 - jism, 2 - jism nurlantirgan energiyaning  $a_T$  qismini, ya'ni  $a E_T$  energiyani yutadi. Demak, 1 - jism uchun  $e_T = a T E_T$ , 2 - jism 1 jism chiqargan  $e_T$  energiyani va bu jism qaytargan  $(1 - a_T) E_T$  energiyani yutadi, ya'ni 2 - jism uchun  $E_T = e_T + (1 - a_T) E_T$

Bulardan

$$\frac{e_T}{a_T} = E_T \quad (17.7)$$

Bu Kirxgofning integral qonunidir: har qanday jismining muayyan haroratdagi to'la nur chiqarish va nur yutish qobiliyatining nisbati o'zgarmas kattalik bo'lib, u shu haroratdagi absolut qora jismining to'la nur chiqarish qobiliyatiga teng.

Agar ikkala jism oraliq'iga  $\lambda$  dan  $\lambda + d\lambda$  gacha to'laqin uzunlikdagi nurlanishni o'ltkazib, qolganlarini qaytarib yuborgan filtrga joylashtirsak, Kirxgofning differensial qonuni olamiz.

$$\frac{e_{\lambda,T}}{a_{\lambda,T}} = E_{\lambda,T} \quad (17.8)$$

Ixtiyoriy jismining nur chiqarish va nur yutish qobiliyatlarining nisbati bu jismining tabiiatiga bog'liq bo'lmay, barcha jismlar uchun to'laqin uzunlik va haroratning universal funksiyasidir va u absolut qora jismining nur chiqarish qobiliyati  $E_{\lambda,T}$  ga tengdir.

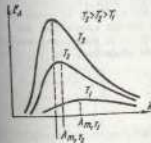
Issiqlik nurlanish nazariyasining eng asosiy vazifasi absolut qora jism uchun  $E_{\lambda,T}$  ning ko'rinishini topishdir.

Absolut qora jismining to'la nur chiqarish qobiliyati haroratning 4 darajadagi proporsionaldir

$$E_T = \sigma T^4 \quad (17.9)$$

bunda,  $\sigma$  - Stefan-Bolsman doimiyi ( $\sigma = 5,67 \cdot 10^{-8} \text{ W/m}^2 \cdot \text{K}^2$ ) (17.9) ifoda Stefan-Bolsman qonuni deb ataladi.

Bu formulani Stefan tajriba natijalarini tahlil qilish natijasida topdi, lekin xato qilib ixtiyoriy jism uchun o'rnatilgan deb hisoblagi. Bolsman esa bu qonuni termodinamik usul asosida topdi va absolut qora jism uchun o'rinitilganlikni ko'rsatdi. Ba'zi ishlarida bu qonun ixtiyoriy jism uchun o'rinitilgan ko'rinishini topishga



17.4-rasm.

harakat bo'ladi:  $E_{\lambda,T} = BT^4$  lekin  $V$  ham  $n$  ham turli xil haroratlarga uchun turlicha bo'lib chiqariladi. 17.4-rasmda absolut qora jism nur chiqarish qobiliyatining to'laqin uzumligiga bog'liqligi (spektral taqsimoti) turli  $T$  lar uchun keltirilgan.

1. Unda absolut qora jism nurlanish spektri uzluksizligi.

2. Har bir haroratga oid bo'lgan nurlanishning energetika taqsimoti ifodalovchi egri chiziqda aniq maksimum



bo'lib, u harorat oshgan sari qisqa to'liq sohasiga siljishi ko'rinib turibdi.

Vinning siljish qonuni deb ataladigan qonun ana shu maksimumlar asosida ta'riflanadi: **absolut qora jisim nur chiqarish qobiliyatining maksimumi uchun keluvchi  $\lambda_m$  to'liq uzunligining temperaturaga ko'paytmasi o'zgarmas kattalikdir:**

$$\lambda_m T = b \quad (17.10)$$

bunda,  $v$  - Vin doimiyisi,  $v = 2.898 \cdot 10^3 \text{ m} \cdot \text{K}$  (17.10) dan ko'rinadiki,  $T$  qancha yuqori bo'lsa,  $\lambda_m$  shuncha kichikroq qiymatga ega bo'ladi, ya'ni harorat oshgan sari absolut qora jisim nur chiqarish, qobiliyatining maksimumi qisqa to'liq uzunliklar sohasiga siljidi.

17.4-rasmda grafikni tushuntirish uchun ko'pinishtar bo'lgan. Bulardan Vin termodinamik mulohazalar asosida

$$E_{\lambda,T} = \frac{\alpha}{\lambda^5} e^{-\frac{\beta}{\lambda}} \quad (17.11)$$

ifodani hosil qiladi. Bunda  $\alpha$  va  $\beta$  - tajribalardan foydalanib tanlanadigan doimiylerdir. Vin taklif etgan (17.11) ifoda qisqa to'liq uzunliklar sohasida yaxshi mos keladi. Lekin katta to'liq uzunliklar sohasida Vin formulasi  $E_{\lambda,T}$  uchun tajribadagidan kichikroq qiymatlarni beradi.

Reley va Jins ishqilik nurlanishiga statistik fizika uslublaridan foydalanib, absolut qora jisim nur chiqarish qobiliyati uchun

$$E_{\lambda,T} = \frac{2\pi c k T}{\lambda^5} \quad (17.12)$$

ifodani topdi. Bu ifoda katta to'liq uzunliklar sohasida tajriba bilan mos keladi.

Qisqa to'liq sohasida  $E_{\lambda,T}$  cheksiz katta (sulfurbinashaviy halokata, P. Erenfest) qiymatlarga ega bo'ladi. Reley-Jins formulasi. Stefan-Bolsman qonunini keltirib chiqarishga urinishlar ham natija bermadi.

$$E_T = \int_0^{\infty} E_{\lambda,T} d\lambda = 2\pi c k T \int_0^{\infty} \frac{d\lambda}{\lambda^5} = \infty \quad (17.13)$$

Reley-Jins ifodasi klassik fizika qonunlariga

qat'iy amal qilgan holda chiqarilgan bo'lib, u muhim tajribalar natijalarini tushuntirishga qodir emasligini ko'rsatadi. Shunda Maks Plank (1900) - bu yerda, klassik fizika asosida kamchiliklar bor degan xulosaga keladi va o'z gipotezasini ilgari surdi: ya'ni **jismlarning nurlanishi uzinksiz emas, balki alohida kvantlar sifatida chiqariladi.** Har bir nurlanish kvantining energiyasi:

$$\epsilon = h\nu = h \frac{c}{\lambda} \quad (17.14)$$

ga teng. Bunda  $\nu = \frac{c}{\lambda}$  nurlanishning chastotasi  $h$  - Plank doimiyisi ( $h = 6.62 \cdot 10^{-34}$

J.s). (17.14) ga asosan  $\lambda \rightarrow 0$  da kvant energiyasi shu darajada ortib ketadiki, natijada

jisim ishqilik harakatining energiyasi, hatto bittagina kvant chiqarishga ham yetmaydi va  $E_{\lambda,T}$  ning qiymati keskin kamayib ketadi.

Ishqilik nurlanishi uchun Plank:

$$E_{\lambda,T} = \frac{2\pi h c^2}{\lambda^5} \frac{1}{e^{\frac{hc}{\lambda k T}} - 1} \quad (17.15)$$

formulasi chiqardi. **Bu formula Plank formulasi deb ataladi.** Bu formula tajribada olingan natijalarni to'la tushuntiradi va undan absolut qora jisim nurlanishi uchun olingan hamma qonunlar kelib chiqadi. Bundan 1. Stefan-Bolsman qonunini olish uchun (17.15)ni to'liq uzunlikning 0 dan = gacha intervalida integrallaymiz:

$$E_T = \int_0^{\infty} E_{\lambda,T} d\lambda = 2\pi h c^2 \int_0^{\infty} \frac{d\lambda}{\lambda^5 (e^{\frac{hc}{\lambda k T}} - 1)} \quad (17.16)$$

Hisoblashlarni bajarish uchun yangi o'zgartiruvchilarni kiritaylik:

$$x = \frac{\lambda k T}{hc}; \lambda = \frac{hc}{k T} x; d\lambda = \frac{hc}{k T} dx;$$

Bularni (17.16) ga qo'yisak:

$$E_T = 2\pi h c^2 \left( \frac{k T}{hc} \right)^4 \int_0^{\infty} \frac{dx}{x^5 (e^{\frac{1}{x}} - 1)}$$

ifodani hosil qilamiz. Bunday integral  $\pi^4/15$  ga teng. Shuning uchun

$$E_T = \frac{2\pi^5 k^4}{15 c^2 h^3} T^4 = \sigma T^4$$

Bu ifodada

$$\sigma = \frac{2\pi^5 k^4}{15 c^2 h^3} \quad (17.17)$$

Stefan-Bolsman doimiyisidir.

2. Plank formulasi. Vinning siljish qonunini topish uchun maksimumga mos keluvchi  $\lambda_m$  ni topish kerak, buning uchun

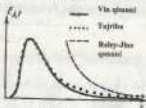
$$\frac{dE_{\lambda,T}}{d\lambda} = 0$$

Hosila olib nolga tenglashtirib, olingan tenglamani yechsak,

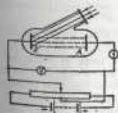
$$\lambda_m = \frac{hc}{4.97 k T}$$

ko'rinishda bo'ladi. Bu ifodani

$$\lambda_m T = \frac{hc}{4.97 k} \quad (17.18)$$



17.5-rasm.



17.6-rasm.

shakiga yozib, uning o'ng tomondagi hadni

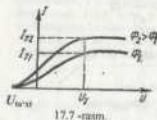
$$e = \frac{hc}{4,97\kappa}$$

tenglab hisoblash mumkin.

### 17.2. Fotoeffekt va uning qonunlari

**Yorug'lik ta'sirida jismdan elektronlarning ajralib chiqish hodisasiga fotoeffekt deb ataladi.** Bu hodisani birinchi bo'lib, 1887-yilda G.Gers kuzatgan. Ritzning uning xossalari haqida tomonlarni chuqur o'rgangan va qonunlar yaratgan olim, rus fizigi A.G.Stoletovdir. 1898-yilda Lenard va Tomsonlar fotoeffekt natijasida katoddan ajralib chiquvchi zarralar elektronlardan iborat ekanligini zararlarning magnit maydonida og'ishga asoslanib aniqladilar.

Fotoeffekt hodisasini kuzatish uchun havo si'rib olingan shisha idish ikki metall elektrod-katod va anodlar tashqi ampermetr zanjiriga ulangan (17.6-rasm). O'tkazilgan tajribalar natijasida 17.7-rasmga tasvirlangan volt-ampere xarakteristikasi olingan.



Fotoeffektning 4 ta asosiy qonuni bo'lib:

1. Muayyan fotokatodga tushayotgan yorug'likning spektral tarkibi o'zgarmas bo'lsa, fotokotodning to'yinish qiymati yorug'lik oqimiga to'g'ri proporsional (17.7-rasm).

2. Muayyan fotokatoddan ajralib chiqayotgan fotoelektronlar boshlang'ich tezliklarining maksimal qiymati yorug'lik intensivligiga bog'liq emas. Yorug'likning to'lin uzunligi o'zgarasa, fotoelektronlarning maksimal tezliklari ham o'zgaradi.

3. Har bir fotokatod uchun biror 'qizil chegaras' mavjud bo'lib, undan kattaroq to'lin uzunligi yorug'lik ta'sirida fotoeffekt mavjud bo'lmaydi.  $\lambda_0$  ning qiymati yorug'lik intensivligiga mutlaqo bog'liq emas, u faqat fotokatod materialining kimyoviy tabiatiga va sirtining holatiga bog'liq.

4. Yorug'likning fotokatodga tushishi bilan fotoelektronlarning hosil bo'lishi orasida sezilarli vaqt o'tmaydi.

Fotoeffektning 1-qonunini to'lin nazariyasi asosida tushuntirish mumkin. Lekin to'lin nazariya 2, 3 va 4-qonunlarni tushuntirishga e'tijiz qilmadi.

To'lin nazariyaga asosan fotokatodga tushayotgan ixtiyoriy to'lin uzunligidagi yorug'likning intensivligi organ sari ajralib chiqayotgan fotoelektronlarning energiyasi ham o'rtishi kerak edi, ammo fotoelektronlarning energiyasi yorug'lik intensivligiga mutlaqo bog'liq emas.

Ikkinchidan, to'lin nazariyaga asosan, elektron metallardan ajralib chiqishi uchun kerakli energiyani har qanday yorug'likdan olishi mumkin, ya'ni yorug'likning to'lin uzunligining ahamiyati yo'q. Faqat yorug'lik intensivligi yetarlicha katta bo'lishi lozim. Lekin to'lin uzunligi 'qizil chegaradan' katta bo'lgan yorug'likning intensivligi har qancha katta bo'lsa ham, fotoeffekt mavjud bo'lmaydi. Aksincha, to'lin uzunligi 'qizil chegaradan' kichik bo'lgan yorug'lik intensivligi nihoyatda zalf bo'lsa ham fotoeffekt kuzatiladi. Ammo zalf intensivligidagi yorug'lik tushayotgan taqdirda, to'lin nazariyaga asosan yorug'lik ta'sirlarini tashib kelgan energiyalar hisobiga metallidagi elektron ta'minotidagi energiyani jam'arib olishi kerak, chunki bu energiya elektronning

metallidan chiqishi (ya'ni chiqish ishi  $A_{ex}$ ) uchun yetarli bo'lgandagina fotoeffekt sodir bo'ladi. Hisoblashlarning ko'rsatishicha intensivligi juda kam bo'lgan yorug'likdan  $A_{ex}$  ga yetarli energiyani elektron jam'arib olishi uchun soatlab va'zan kutilab vaqt kerak bo'ladi. Tajribalarda esa metallga yorug'likning tushishi va fotoelektronlarning vujudga kelishi orasida  $10^{-9}$  s vaqt o'tadi, xolos.

Demak, yorug'likning to'lin nazariyasi va fotoeffekt orasida yoqorida bayon qilingan mos kelmasliklar mavjud. Bu kumchiliklarning sabablarini aniqlash uchun 1905-yilda A.Eynshteyn yorug'likni kvant nazariyasini taklif qildi. Eynshteyn Plank nazariyasini yorug'likka nisbatan qo'llab, yorug'lik kvantlar tariqasida turlanibgina qolmay, balki yorug'lik energiyasining tarqalishi ham, yutilishi ham, kvantlashgan bo'lishini ta'kidladi.

**Funda yorug'lik fotonlar (yorug'lik zarralari) sifatida qaraladi.**  $h\nu$  energiyaga ega bo'lgan foton o'z energiyasini metallidagi elektronga beradi. Agar bu energiya yetarlicha katta bo'lsa, metallidan elektron ajralib chiqadi. Energiyaning qolgan qismi esa metalldan tashqariga chiqib olgan elektronlarning maksimal kinetik energiyasi sifatida namoyon bo'ladi. Buni

$$h\nu = A_{ex} + \frac{mv_{max}^2}{2} \quad (17.19)$$

ko'rinishida ifodalash mumkin. Bu tenglama Eynshteyn tenglamasi deb ataladi. Eynshteyn tenglamasi fotoeffektning barcha qonunlarini tushuntira oladi. Xususan 'qizil chegaras' uchun (17.19) ga asosan, elektronning metallidan chiqish ishining qiyomatiga teng, ya'ni:

$$h\nu_0 = A_{ex} \quad (17.20)$$

Bu tenglama fotoeffektning 'qizil chegarasini' aniqlaydi.

Foton. Foton energiyasi  $\epsilon = h\nu$  energiya va massaning ekvivalentlik qonuni  $w = mc^2$  dan foydalanib, foton massasi uchun quyidagini yozamiz:

$$m = \frac{\epsilon}{c^2} = \frac{h\nu}{c^2} \quad (17.21)$$

Yorug'lik fotonining boshqa zarralardan farqlanuvchi maxsus xususiyati shundand iboratki, foton tinchlikdagi massaga ega emas. Foton faqat harakatlanish jarayonidagina mavjud bo'lib, uning tezligi yorug'lik tezligiga teng.

Har qanday harakatlanayotgan zarr kabi foton ham impulsga ega bo'ladi:

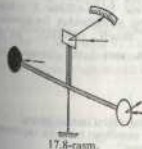
$$P_F = m_F c = \frac{h\nu}{c^2} c = \frac{h\nu}{c} \quad (17.22)$$

Shunday qilib, barcha zarralar kabi foton ham energiya ( $\epsilon = h\nu$ ) massa ( $m_F = h\nu/c^2$ ) va impuls ( $P_F = h\nu/c$ ) bilan ifodalabadi.

**Yorug'lik bosimi.** Maksivell nazariyasiga biton jam sirtiga tushayotgan har qanday elektro magnit to'lin jisimga bosim beradi:

$$P = w(1 + \rho) \quad (17.23)$$

bu yerda,  $w$  - sirtiga tushayotgan yorug'lik dastasi energiyasining hajmiy zichligi,  $\rho$  - sirtning yorug'lik qiyarish koeffitsiyenti. Yorug'lik



bosimini birinchi bo'lib, 1900-yilda P.N.Lebedev tajribada aniqladi; yengilgina burladigan parrakning qanotlaridan biri qoqaytirilgan, ikkinchisi esa yaltiroq qilib yatalgan (17.8-rasm).

Bu qanotlarni navbatma-navbat yoritish natijasida hosil bo'ladigan parrakning burajishlari taqqoslanadi. Yaltiroq sirt uchun  $\rho = 1$ . Shuning uchun

$$P_{j\theta} = w(1 + \rho) = 2w.$$

Yorug'likni to'la yutuvchi qoraytirilgan sirt uchun  $\rho = 0$  natijada

$$P_{j\theta} = w(1 + \rho) = w \text{ nisabati}$$

$$\frac{P_{j\theta}}{P_{j0}} = 2. \quad (17.24)$$

Tajriba bu natijani tasdiqladi.

Yorug'lik bosimini kvant tasavvurlar asosida ham tushuntirish mumkin.

**Kompton effekti.** Yorug'likning korpuskular xossalari Kompton effektida

yorqin namoyon bo'ladi. 1923-yilda amerikalik fizik Kompton yengil atomli moddalarda monoxromatik rentgen nurlarining sochilishini o'rganayotib sochilgan nurlanish faktibida birlamchi to'liq uzunlikli nurlanish bilan birga kattaroq to'liq uzunlikli nurlanish borligini aniqladi. Tajribalar  $\Delta\lambda = \lambda' - \lambda$  farq tashuvchi nurlanishning to'liq uzunligi  $\lambda$ , sochuvchi jisimga bog'liq bo'lmay, faqat sochilish burchagi  $\theta$ ga bog'liqligini ko'rsatadi:

$$\Delta\lambda = \lambda' - \lambda = 2K \sin^2 \frac{\theta}{2} \quad (17.25)$$

bundagi  $K$  - kompton doimiyi deb ataladi va  $K = 2.41 \cdot 10^{-12} \text{ m}$  teng. 17.9-rasmda ko'rsatilgan  $D_1$ ,  $D_2$  diaframlardan o'tgan ingichka rentgen nurlari  $K$ , kristallga tushadi. Sochilgan nurlanishni  $S_0$  spektrograf yordamida tekshirish mumkin. Nurlanish yo'nalishida ( $\theta = 0$ )  $\lambda$  o'zgar olmaydi, boshqa yo'nalishlarda  $\Delta\lambda = \sin^2 \theta/2$ .

Shunday qilib, Kompton effekti deb nurlanish (rentgen,  $\gamma$ -nurlanish) moddaning erkin elektronlarida sochilishi natijasida to'liq uzunligining oshishiga aytiladi.

To'liq nazariya nuqtayi nazaridan bu hodisani tushuntirib bo'lmaydi. Elektron yorug'lik to'liqimi ta'sirida shu chastotaga teng chastota bilan tebranishi va shu chastotaga teng to'liq nurlantirishi kerak.

Kvant nuqtayi nazariya ko'ra rentgen fotonlarining kristall elektronlari bilan ta'sirlashganda yuqoridagi ifoda hosil bo'ladi  $K = h/m_0c$ . Hisob-kitoblarni  $K$  uchun yuqoridagi son qiymatini, ya'ni  $h$ ,  $m_0$  va  $c$  s larining qiymatlaridan foydalanib,  $K = 2.426 \cdot 10^{-12} \text{ m}$  hosil bo'ladi. Demak, nazariy ( $K = h/m_0c$ , ya'ni

$$\Delta\lambda = 2 \frac{h}{m_0c} \sin^2 \frac{\theta}{2}$$

mavjudligini isbotlovchi dalil bo'lib xizmat qildi).

#### Savollar

1. Absolut qora jism nurlanishidagi asosiy qonuniyatlarini izohlab bering.
2. Qora jism nurlanishida energiyaning to'liq uzunliklari bo'yicha taqsimot egriligining maksimumi temperaturaga qanday bog'langan?

3. Plank gipotezasi nimadan iborat? Kvant nazariyasining klassik nazariyasidan asosiy farqi nimada?

4. Kvantlar gipotezasini qaysi hodisalar tasdiqlaydi?

5. Foton qanday xossalarga ega?

6. Fotoeffekting asosiy qonunlarini aytib va ularni kvant tasavvurlar asosida tushuntirib bering.

7. Fotoeffekting egrilik chegarasi nima?

8. Fotoeffekting barcha qonunlarini tushuntira oladigan Eynshteyn tenglamasi ifodasini yozing.

9. Kompton tajribasining g'oyasini, eksperimental qurilmasi sxemasini va natijalarini tushuntiring.

#### Masalalar

**64-masala.** Qora jism nurlanish spektrida energiyaning maksimal qiymatiga to'g'ri kelgan to'liq uzunligi  $\lambda_0 = 0,58 \text{ mkm}$ . Jism sirtining  $R_0$  energetik yorituvchanligini aniqlang.

Berilgan:  $\lambda_0 = 0,58 \text{ mkm}$   
 $R_0 = ?$

Yechish: Stefan-Bolsman qonuniga ko'ra absolut qora jisimning energetik yorituvchanligi  $T$  termodinamik temperaturating to'rtinchi darajasiga proporsional va u quyidagicha ifodalanadi:

$$R_0 = \sigma T^4, \quad (1)$$

bunda,  $\sigma$  - Stefan-Bolsman doimiyi,  $T$  - termodinamik temperatura. Vinning sifli shi qonuni yordamida temperatura  $T$  ni hisoblash mumkin:

$$\lambda_0 = wT, \quad (2)$$

bunda,  $w$  - Vin doimiyi. (2) va (1) formuladan foydalanib,

$$R_0 = \sigma(w\lambda_0)^4$$

formulani hosil qilamiz. Hisoblaymiz:

$$R_0 = 5,67 \cdot 10^{-8} \left( \frac{2,90 \cdot 10^{-3}}{5,8 \cdot 10^{-7}} \right)^4 V_1 / m^2 = 3,54 \cdot 10^7 V_1 / m^2$$

$$= 35,4 \text{ MV}_1 / m^2.$$

**65-masala.** Nuz chiqarishi sababli Yer o'z sirtining har bir kvadrat metr sirtidan 1s da o'rtacha 91 J energiya yo'qotadi. Yerni absolut qora jism deb qabul qilib, sirtning o'rtacha temperaturasi  $T_1$  va nurlanayotgan energiya maksimumiga to'g'ri kelgan to'liq uzunligi  $\lambda_m$  ni aniqlang.

$$t = 1s.$$

Berilgan:  $W = 91 \text{ J}$   
 $T \sim ?$   $\lambda_m \sim ?$

**Yechish:** Stefan-Bolsman qonuni asosan

$$E_r = \sigma T^4,$$

bunda,  $E_r = 91 \text{ k}(\text{m}^2 \cdot \text{s})$  - Yerning nur chiqarish qobiliyati,  $\sigma$  - Stefan-Bolsman doimiyi, U vaqtda

$$T = \sqrt[4]{\frac{E_r}{\sigma}} = \sqrt[4]{\frac{91}{5,67 \cdot 10^{-8}}} = 200 \text{ K} = -73^\circ \text{C}$$

Vin qonuni (17.10) ga muvofiq

$$\lambda_m T = b,$$

bunda,  $b$  - Vin doimiyi. Shuning uchun:

$$\lambda_m = \frac{b}{T} = \frac{2,898 \cdot 10^{-3}}{200} = 1,45 \cdot 10^{-5} \text{ m} = 14,5 \text{ m km}.$$

Shunday qilib, Yer nur chiqarish qobiliyatining maksimumi spektrning uzun to'liqin (infraqizil) qismiga to'g'ri keladi.

**66-masala.** Seziy to'liqin uzunligi  $\lambda = 400 \text{ nm}$  bo'lgan hirafta nur bilan yoritilganda uning sirtidan ictib chiqqan elektronlarning kinetik energiyasi  $W_k$  va tezligi  $v$  topilsin. Seziydan elektronning chiqish ishi  $A = 1,7 \cdot 10^{-19} \text{ J}$  ga, yorug'likning tarqalish tezligi  $s = 3 \cdot 10^8 \text{ m/s}$  ga va Plank doimiyi  $h = 6,625 \cdot 10^{-34} \text{ J} \cdot \text{s}$  ga va elektronning massasi  $m = 9,1 \cdot 10^{-31} \text{ kg}$  ga teng.

**Berilgan:**  $\lambda = 400 \text{ nm} = 4 \cdot 10^{-7} \text{ m}$ ,  $A = 1,7 \cdot 10^{-19} \text{ J}$ ,  
 $c = 3 \cdot 10^8 \text{ m/s}$ ,  $h = 6,625 \cdot 10^{-34} \text{ J} \cdot \text{s}$ ,  
 $W_k = ?$   $v = ?$

**Yechish:** Fotoeffekt uchun Eynshayn formulasi ni yozamiz:

$$h\nu = \frac{m v^2}{2} + A \quad \text{yoki} \quad \frac{m v^2}{2} = h\nu - A,$$

bunda,  $\nu = \frac{c}{\lambda}$  teng, u holda

$$W_k = \frac{hc}{\lambda} - A = \frac{6,625 \cdot 10^{-34} \cdot 3 \cdot 10^8}{4 \cdot 10^{-7}} - 1,7 \cdot 10^{-19} = 5 \cdot 10^{-19} \text{ J}.$$

Fotoelektronning  $W_k$  kinetik energiyasini bilgan holda uning  $v$  tezligini hisoblaymiz:

$$v = \sqrt{\frac{2W_k}{m}} = \sqrt{\frac{2 \cdot 5 \cdot 10^{-19}}{9,1 \cdot 10^{-31}}} = \sqrt{1,1 \cdot 10^{12}} = 1,05 \cdot 10^6 \text{ m/s}.$$

**67-masala.** Elektronning chiqish ishi  $A = 3,6 \cdot 10^{-19} \text{ J}$  bo'lgan Kaliy uchun fotoeffekt «qizil chegarasi»ga mos kelgan to'liqin uzunligi  $\lambda_0$  topilsin. Yorug'lik tarqalish tezligi  $s = 3 \cdot 10^8 \text{ m/s}$  va Plank doimiyi  $h = 6,625 \cdot 10^{-34} \text{ J} \cdot \text{s}$ .

**Berilgan:**  $A = 3,6 \cdot 10^{-19} \text{ J}$ ,  $c = 3 \cdot 10^8 \text{ m/s}$ ,  $h = 6,625 \cdot 10^{-34} \text{ J} \cdot \text{s}$ ,  
 $\lambda_0 = ?$

**Yechish:** Fotoeffektning «qizil chegarasi»ga mos kelgan fotonning energiyasi  $E = h\nu_0$  elektronning metallidan chiqish ishi  $A$  ga sarf bo'ladi, ya'ni:

$$h\nu_0 = A$$

bunda,  $\nu_0 = \frac{c}{\lambda_0}$  bo'lganligi uchun  $\frac{hc}{\lambda_0} = A$  bo'lib, undan  $\lambda_0$  ni topib,

hisoblaylik:

$$\lambda_0 = \frac{hc}{A} = \frac{6,625 \cdot 10^{-34} \cdot 3 \cdot 10^8}{3,6 \cdot 10^{-19}} = 5,096 \cdot 10^{-7} \text{ m}.$$

**68-masala.** Kompton hodisasi tufayli erkin elektron bilan to'qnashgan foton  $\theta = 90^\circ$  burchakka sochilgan. Sochilgan fotonning energiyasi  $E_2 = 0,4 \text{ MeV}$ . Fotonning sochilgunga qadar bo'lgan energiyasi  $E_1$  ni aniqlang.

**Berilgan:**  $\theta = 90^\circ$ ,  $E_2 = 0,4 \text{ MeV}$   
 $E_1 = ?$

**Yechish:** Fotonning dastlabki energiyasini aniqlash uchun Kompton formulasi dan foydalanamiz:

$$\Delta\lambda = 2 \frac{h}{m_0 c} \sin^2 \frac{\theta}{2}, \quad (1)$$

bunda,  $\Delta\lambda$  - erkin elektron dan sochilishi tufayli foton to'liqin uzunligining o'zgarishi;  $h$  - Plank doimiyi;  $m_0$  - elektronning tinch holidagi massasi;  $s$  - yorug'likning vakuumdagi tezligi;  $\theta$  - fotonning sochilish burchagi. (1) formulani quyidagicha ifodalaymiz: a)  $\Delta\lambda$  ni  $\lambda_2 - \lambda_1$  ga almashiramiz; b)  $E = hc / \lambda$  formuladan foydalanib,  $\lambda_1$  va  $\lambda_2$  to'liqin uzunliklarni mos ravishda fotonning  $E_1$  va  $E_2$  energiyalari bilan ifodalaymiz. U holda (1), a) va b) lardan foydalanib quyidagini topamiz:

$$22 \frac{hc}{E_2} \frac{hc}{E_1} = \frac{hc}{m_0 c^2} 2 \sin^2 \frac{\theta}{2}$$

hc ga qisqartirib, bu formuladan izlanayotgan  $E_1$  energiyani topamiz:

$$E_1 = \frac{E_2 m_0 c^2}{m_0 c^2 - E_2 2 \sin^2 \left(\frac{\theta}{2}\right)} = \frac{E_2 E_0}{E_0 - E_2 \sin^2 \left(\frac{\theta}{2}\right)} \quad (2)$$

bunda,  $E_0 = m_0 c^2$  - elektronning tinch holidagi energiyasi. (2) formula bo'yicha hisoblashlarni sistemaga kirmagan birliklarda bajarish qulay. Elektron uchun  $E_0 = 0,511 \text{ MeV}$  bo'lgani uchun

$$E_1 = \frac{0,4 \cdot 0,511}{0,511 - 2 \cdot 0,4 \sin^2 \left(\frac{90}{2}\right)} \text{ MeV} = 1,85 \text{ MeV}.$$

## 6. ATOM MOLEKULA VA QATTIQ JISMLAR KVANT FIZIKASI

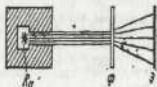
### XVIII bob. ATOM TUZILISHNING BOR NAZARIYASI

#### 18.1. Atomning Rezerford modeli

Uzoq tarixdan ma'lumki, bizning ongimizdan tashqariya yashayotgan obyektiv borlik, ya'ni materiya atomlardan tashkil topgan. O'sha davrdan atomga materyaning bo'linmasi eng kichik zarrasi deb qaraladi. Shuning uchun ham atom grekcha «atomos» so'zidan olingan bo'lib, «bo'linmas» degan ma'noni anglatadi.

XIX asr oxiriga kelib atomning murakkab tuzilganligi tajribalardan ayon bo'lib qoldi. Ayniqsa, bu 1896-yilda fransuz olimi A.Bekkeri uran tuzlari qandaydir noma'lum nurlanish manbai ekanligini aniqlagandan so'ng yaqqol bo'lib qoldi. Bu nurlanish keyinchalik radioaktiv nurlanish nomini oldi. Radioaktiv nurlanish atom tarkibiga mushab va manfiy zaryadlangan zarralar kirishi mumkinligini ko'rsatdi. Atomning tuzilishi haqidagi birinchi atom modelini 1904-yilda ingliz olimi J.J.Tomson (1856-1940) yaratdi. Bu modelga binosan atom shu shaklda bo'lib, uning butun hajmida zaryadlar bir tekis taqsimlangan. Shu mushab zaryadlar orasida elektronlar ham joylashgan bo'lib, ularning soni mushab zaryadlar soniga teng bo'lgani uchun atom neytral hisoblanadi. Elektron muvozanat vaziyatidan siltiganda uni muvozanat vaziyatiga qaytaruvchi elastik kuchga o'xshash kuch hosil bo'ladi. Shu kuch ta'sirida elektron garmonik tebramma harakat qiladi. Maksvell elektromagnit to'lqin nazariyasiga asoslan elektron atomda tebramma harakat qilgani uchun atom monoxromatik elektromagnit to'lqin sochadi.

Bu elektromagnit to'lqin chastotasi elektronning tebranish chastotasiga to'g'ri keladi. Tomson shu atom model bilan atomning nurlanish spektri chiziqli bo'lishini tushuntirib berdi. G.N.Lorens, Tomsonning bu atom modeli asosida yorug'lik dispersiyasining elektron nazariyasini yaratdi. Bu nazariya normal va anomol dispersiyalarini tushuntirib berdi. O's vaqtida Tomson modeli fizikada muhim rol o'ynaydi. Ammo bu model uzoq yashamadi. Ingliz olimi Rezerfordning radioaktiv moddalaridan chiqqovli  $\alpha$ -zarrachalarini yuqqa metall qatlamidan o'tganda sochilishini o'rganib, 1911-yilda atom tuzilishining yangi modelini yaratdi.  $\alpha$ -zarrachalar bilan ta'sirlashayotgan moddadan atom tuzilishini bilish uchun o'ldin  $\alpha$ -zarrachaning o'zini tabiatini bilish kerak. Shuning uchun Rezerford  $\alpha$ -zarrachani zaryadini massasini va tezligini aniqladi. Rezerford va Geyger radioaktiv moddadan chiqayotgan  $\alpha$ -zarrachalarini Faradey silindriga to'plab, elektrometr yordamida uning zaryadi mushab bo'lib, ikki elektron zaryadiga teng ekanligini aniqladi.

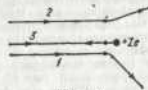


18.1-rasm.

$\alpha$ -zarrachalarni magnit maydonida og'ishiga qarab, 4 ta vodorod atomi massasiga tengligi aniqladi. Radioaktiv moddadan uchib chiqayotgan  $\alpha$ -zarrachalarining tezligi 10 m/s atrofida bo'lib, ular ancha katta kinetik energiyaga ega. Rezerford  $\alpha$ -zarrachalar yo'lga kichkina yumaloq tiriqishi to'siq qo'yib, tiriqishdan  $\alpha$ -zarrachalar dastasini qalinligi 1 mikr. #

yaqqin bo'lgan oltin yaprog'i (folga) tomon yo'naltirdi. Rezerford tajribasining sxemasi 18.1-rasmda tasvirlangan.

Qo'rg'oshin bo'lagini ichidagi kichik bo'shliqda radioaktiv manba - radiy joylashtirilgan, manbada barcha yo'nalishlarda alfa zarrachalar chiqadi. Lekin qo'rg'oshindagi tiriqish yo'nalishidan boshqa barcha yo'nalishlarda alfa zarrachalar yutiladi. Tiriqishdan chiqqan  $\alpha$ -zarrachalar dastasi F oltin yaprog'ga perpendikular ravishda tushadi. Yaprog'dan o'tgan zarrachalar fluoressensiyalamovchi qatlam bilan



18.2-rasm.

qatlam bilan zarrachalarga og'adi. Hatto orqasiga qaytgan  $\alpha$ -zarrachalar ham kuzatilgan (18.2-rasm). Tajriba natijalarini tushuntirish uchun Rezerford atom tuzilishini quyidagicha faraz qildi: atomning nihoyat kichik sohasida mushab zaryad joylashgan, uning atrofida atomning barcha sohasi esa manfiy zaryadli elektronlar bulutidan iborat bo'lib, bu elektronlarning to'liq zaryadi mushab zaryadga miqdoran teng.

Atom markaziga yaqqinroq masofadan o'tayotgan  $\alpha$ -zarracha (18.2-rasmda 1 deb belgilangan) markazdan uzoqroq masofadan o'tayotgan  $\alpha$ -zarracha (rasmda 2 deb belgilangan)ga nisbatan kattaroq burchakka og'adi, chunki  $\alpha$ -zarracha bilan atom markazi orasidagi Kulon itarish kuchi masofaga teskari proporsionaldir. To'ppa to'g'ri markaz tomon kelayotgan alfa-zarracha (rasmda 3 deb belgilangan) esa katon kuchi ta'sirida sekinlashib to'xtaydi, so'ng orqasiga qaytadi.

Rezerford yaqqoridagi tajriba natijalarini asosida atomning yadro modelini yaratdi. Bu modelga binosan atom markazida mushab zaryadlangan yadro («mag'iza» degan ma'noni anglatadi) joylashgan. Yadro bilan elektronlar o'zaro ta'sirlashishi natijasida elektronlar yadro atrofida aylana shaklidagi orbitalar bo'ylab aylana harakat qiladilar. Yadro kuchlari maydoni markazga intilma kuch vazifasini bajaradi. Yadro atrofida aylanayotgan elektron uchun Nyutonning III qonuni quyidagi ko'rinishda yoziladi:

$$\frac{e^2}{4\pi\epsilon_0 r^2} = \frac{m_e v^2}{r} \quad (18.1)$$

bu yerda,  $v$  - elektronning orbitaldagi tezligi,  $e$  - elektron zaryadi,  $r$  - orbita radiusi. Elektronlarning umumiy zaryadi, yadrodagi mushab zaryadlarning umumiy zaryadiga teng bo'lgani uchun atom elektr zaryadiga ega emas.

Rezerford tajribaga va atom yadro modeliga asoslanib nom zaryadini va o'lchamini aniqlashga muvaffaq bo'ldi. Yadroning zaryadi elektron zaryadiga karrali bo'lib,

$$q = +Ze$$

eklanligi aniqlandi. Bu yerda  $Z$  - elementning Mendel'ev davriy sistemasidagi tartib raqami. Rezerford ona shu narsaga aniqlik kiritadiki, elementning davriy

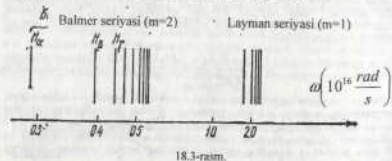
sistemadagi o'ni Mendeleyev ko'rsatganidek, uning atom massasi bilan emas, balki yadro zaryadi bilan aniqlanadi. Rezerford ayrim elementlarning davriy sistemadagi o'rniga tuzatishlar kiritdi, ya'ni ularning tartib raqamlarini o'zgartirdi. Rezerford tadqiqotlari yadro o'lichami ( $\epsilon \cdot 10^{-17}$  sm) ni aniqlashga imkon berdi.

Ammo atom tuzilishi to'g'risidagi Rezerford modeli klassik fizika qonunlari doirasida joylashmaydi. Bu model yadro atrofida aynanayotgan elektronning orbitasi nima subdandan turg'un ekanligiga ham javob bera olmaydi. Elektron yadro atrofida aylanar ekan ma'lum tezliklarga ega bo'ladi, shuning uchun atomdan elektromagnit nurlanish chiqib tushishi kerak. Bunday nurlanish energiyaning uzluksiz kamayib borishi bilan birgalikda sodir bo'lganidan, elektron spiral bo'ylab harakatlanib, utaq-sekin yadroga yaqinlashib borishi va oxiri yadroga tushishi lozim. Elektron yadroga yaqinlashgan sari, elektronning aylanish chastotasi shu bilan birga elektromagnit nurlanish chastotasi ham uzluksiz o'zgarar borishi kerak. Bu klassik fizika nuqtayi nazaridan atom tutash nurlanish spektrini beradigan **turg'unmas** (uzoq yashamaydigan) sistemadan iborat degan fikrni tug'diradi. Ma'lumki, bunday hol kuzatilmaydi, atom turg'unligicha qoladi. Atom sochilayotgan yorug'lik spektri ham uzluksiz bo'lmay, balki chiziqli. Bunday chiziqli spektrga misol qilib vodorod atomi spektrini olish mumkin. Atomlar spektri nima subdandan chiziqli bo'lishini ham Rezerford atom yadro modeli tushuntirib bera olmaydi. Demak, klassik mexanika va elektrodinamikaga asoslanib yaratilgan Rezerford atom nazariyasi atom ichida sodir bo'ladigan jarayonlarni tushuntirishga o'ziga ekan. Shundan keyin daniyalik fizik Nils Bor M.Plankning kvant energiyasi haqidagi ta'limotini va tajribada kuzatilgan vodorod atomi spektral seriyalarini o'rganib, atom tuzilishining yangi nazariyasini yaratdi.

### 18.2. Vodorod atomi spektridagi qonuniyatlar

Atom tuzilishini o'rganishda 1860-yilda nemis olimlari G.Kirxof (1824-1887) va R.Bunzen (1840-1898)lar tomonidan yaratilgan spektral analiz usuli muhim rol o'ynaydi.

1885-yilda Shveysariyalik matematik fizika o'qituvchisi Balmer ko'zga ko'rinadigan sohada vodorod atomining spektri chiziqlarining joylashish varyatida ma'lum qonuniyat borligini seydi. Balmerning aniqlashicha, to'liq usumtki kamayishi bilan ular orasidagi masofa ham kamayib borar ekan.



Vodorod atomi nurlanishning spektrini o'rganish natijasida spektrdagi chiziqlar tartiblash emas, balki guruhlar tarzida (bu guruhlarni chiziqlar seriyalari deb atash odat bo'lgan) ma'lum qonuniyat bilan joylashganligi aniqlanadi. 18.3-rasmda

vodorod atomi spektrining ko'rinuvchan va ultrabinafsa qismlari tasvirlangan. Vodorod atomi spektridagi barcha chiziqlar chastotalarini quyidagi umumiy lashtgan Balmer formulasi bilan ifodalasa bo'ladi:

$$\omega = R \left( \frac{1}{m^2} - \frac{1}{n^2} \right) \quad (18.2)$$

(18.2) formuladagi  $R$  - Ridberg doimiyi deb ataladi. uning qiymati  $2.07 \cdot 10^{16}$  rad/s ga teng.  $m$  ning qiymati esa Layman seriyasi uchun 1, Balmer seriyasi uchun 2, Paschen seriyasi uchun 3, Brackett seriyasi uchun 4, Pfund seriyasi uchun 5 ga teng. Ayrim seriyalardagi chiziqlarning chastotalari (18.2) ifodaga  $n=m+1$ ;  $m+2$ ;  $m+3$ ; ..... qiymatlarni qo'yish natijasida vujudga keltiriladi. Masalan, Balmer seriyasi uchun  $m=2$ . Shuning uchun  $n=3, 4, 5$ ; ..... qiymatlarga mos ravishda 18.3-rasmda tasvirlangan  $N_\alpha, N_\beta, N_\gamma$  chiziqlarning chastotalari hosil bo'ladi.  $N_\alpha$  chiziq qizil rangga ega,  $N_\beta$  chiziq hav rang,  $N_\gamma$  chiziq ko'k rangga mos keladi. Bu seriyaning qolgan qismlari spektrning ultrabinafsa qismida yotadi.

Atomlarning nurlanish (va nur yutish) spektrlarining chiziqli xarakterini atomning energiyani istalgan miqdorda emas, balki aniq poziyalar-kvantlaridagina chiqarishini yoki yutishini bildiradi. Bundan shu kelib chiqadiki, atom aniq (diskret) energetik holatlardagina bo'la oladi; atom bir energetik holatdan boshqa energetik holatga o'tishda boshlang'ich va oxirgi holatlardagi energiyalarning ayirmasiga teng kvant energiyani nurlantirishi yoki yutishi mumkin.

### 18.3. Bor postulatlari

Atomning energetik holatlarining diskretligi to'g'risidagi tasavvurga tayanib, N.Bor 1913-yilda Rezerfordning atom modeliga o'sha vaqtda tajribada kuzatilgan vodorod atomi spektri va nurlanish kvant tushunchalarini mohirlik bilan umumlashtirib, atomning yangi nazariyasini yaratdi. Bor bu nazariyani yaratishda absolut qora jisimning nurlanishini tushuntirib bergan Plankning energiya kvanti haqidagi gipotezasini atonadigi elektronlarga ta'biq etib, elektronlar ixtyoriy orbitalarda aylanmasdan faqat ruxsat etilgan orbitalar bo'yicha aylanadilar degan xulosaga keldi. Bunday xulosani natijasida u atom spektrining chiziqli bo'lishi sababini osongina tushuntirib berdi. Bundan tashqari, Bor elektronning ruxsat etilgan orbitalar radiuslarining ham qanday aniqlanishini topdi. Bor o'zining atom nazariyasiga isbotisga qabul qilinuvchi uch postuladni asos qilib oldi. Bu postulatlari quyidagicha ta'riflanadi.

**I postulat.** Atom yetarlicha uzoq vaqt turg'un holatlarda bo'lishi mumkin, bu holatlardagi atom energiyasining qiymatlari  $W_1, W_2, W_3, \dots, W_n$  diskret qiymat shakli etadi. Atom ana shu turg'un holatlarini birida bo'lishi mumkin xolos. Atomning turg'un holatiga elektronning turg'un orbitalarda aylanishi mos keladi. Elektronlar turg'un orbitalarda aylananda atom yorug'lik sochmaydi va yutmaydi.

**II postulat.** Atomdagi elektron ixtyoriy orbitalar bo'ylab aylanmasdan impuls momenti Plank doimiyisiga karra bo'lgan orbitalar bo'ylab aylanadilar:

$$L_n = m_e v r_n = n \hbar \quad (18.3)$$

bu yerda  $n=1, 2, 3, \dots$  qiymatlarni oladi. U elektronning orbita tartib raqamini ko'rsatadi,  $m_e$  - elektronning massasi,  $v$  - elektronning orbita bo'ylab harakatidagi chiziqli tezligi,  $r_n$  - orbita radiusi,  $\hbar = h/2\pi = 1.055 \cdot 10^{-34}$  Js.

**III postulat.** Atom energiyasi  $W_n$  bo'lgan bir turdagi holatdan energiyasi  $W_m$  bo'lgan ikkinchi turdagi holatga o'tganda energiyani bitta kvanti chiqariladi yoki yutiladi. Bu kvantning chastotasi quyidagi:

$$\omega = \frac{W_m - W_n}{\hbar} \quad (18.4)$$

munosabat bilan aniqlanadi,  $W_m < W_n$  shart bajarilsa, kvant nurlantiriladi,  $W_m > W_n$  bo'lganda esa kvant yutiladi.

Elektron yuqori orbitadan quyi orbitaga tushsa, atom yorug'lik kvanti sochadi. Elektron quyi orbitadan yuqori orbitaga chiqishi uchun esa tashqaridan yorug'lik kvanti yutiladi.

Masalan, elektron energiyasi katta bo'lgan 2-orbitadan, energiyasi kichik bo'lgan 1-orbitaga tushganda atomdan sochilgan yorug'lik kvanti energiyasi elektronni orbitadagi energiyalarining ayirmasiga teng:

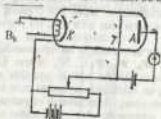
$$h\nu = W_2 - W_1$$

sochilgan yorug'lik chastotasi  $\nu = \frac{W_2 - W_1}{h}$  bo'ladi.

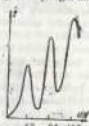
#### 18.4. D.Frank va G.Gers tajribasi

Nemis fiziklari D.Frank va G.Gers tomonidan 1914-yilda amalga oshirilgan tajriba atomdagi turdagi holatlarni, ya'ni diskret energetik sathlarning mavjudligini insonladi. Bu tajribaning sxemasi 18.4-rasmda tasvirlangan. Bunda havosi so'rib olingan shisha idish ichiga  $13P_6$  bosim ostida simobning bog'larlari qamalib, idishning ikki chegariga katod (K) va anod (A) joylashtirilgan. Katod bilan anod orasiga metall to'r (T) elektrod o'rnatilgan.

Qizdirilgan katoddan uchib chiqqan termoelektronlar katod bilan to'r oraliqidagi elektr maydon ta'sirida tezlatiladi. Katod va to'r orasidagi potentsiallar farqi  $U$  bo'lsa, to'r dan o'tayotgan elektronning energiyasi  $eU$  bo'ladi. To'r bilan anod orasiga elektronlarni to'xtatuvchi uchta katta bo'lmagan ( $-0,5V$ ) U'q manfiy kuchlanish beriladi. Agar elektron katod va to'r oraliqida simob atomi bilan noelastik to'qnashmasa, u bematol bu kuchsiz maydonni yengib anodga yetib ketadi.



18.4-rasm.



18.5-rasm.

Aksincha, simob atomi bilan noelastik to'qnashma energiyasini yo'qotgan elektron to'xtatuvchi maydonni yenga olmaydi va to'rtga tushadi. Elektronlar simob atomlari bilan noelastik to'qnashgan vaqtda atomlar qo'zg'algan holatga o'tadi. Bor atom nazariyasiga ko'ra, har bir atom ma'lum bir qo'zg'algan holatga o'tishi uchun u aniq bir qiymatga ega bo'lgan energiya olishi kerak. Buning natijasida atom bilan

noelastik to'qnashgan elektronlarning energiyasi bir tekisda kamaymasdan, diskret holda yoki boshqacha aytganda ma'yorlangan holda aniq bir energiya bo'ladi miqdordagi o'zgarishi kerak. To'rtga tushayotgan elektronlar qanchalik ko'p bo'lsa, anod zanjiriga ulangan galvanometr qayd qilayotgan tok shunchalik kamayib ketadi. Tezlatuvchi potentsial  $U$  ning qiymati reostat yordamida o'zgartirilishi mumkin.  $U$  ning qiymatiga bog'liq ravishda anod tokining o'zgarishini ifodalovchi egr chiziq 18.5-rasmda tasvirlangan. Grafikdan ko'rinib turibdiki, anod toki potentsial 4,9V ga yetgancha bir tekis o'tib boradi va keyin birlaniga kamayib ketadi. So'ngra 9,8V va 14,7V potentsiallarda ham anod tokining maksimumlari kuzatiladi. Anod tokini 4,9V; 9,8V va 14,7V potentsiallarda keskin kamayib ketishiga energiyasi 4,9eV, 2,49 eV va 3,49 eV bo'lgan elektronlarni simob atomlari bilan noelastik to'qnashishi sabab bo'ladi.

Frank va Gerslarning bu tajribasi atomlar energiyasi uzuksiz holda emas, balki diskret holda o'zgarishini ko'rsatib, Bor atom nazariyasining to'g'riligini tasdiqlaydi. Endi anod toki maksimumlarini hosil bo'lish jarayonini to'g'riligi ko'rib o'taylik. Elektronlar energiyasi 4,9eV ga yetgancha simob atomlari bilan elastik to'qnashadi, biroq bunday to'qnashuvda elektronlarning energiyasi o'zgar olmaydi. Shuning uchun kuchlanish 4,9Vga yetgancha anodga kelayotgan elektronlar soni ortib boradi, bu esa anod tokini oshirishga sabab bo'ladi. 7-to'rtliq kuchlanish 4,9Vga yetganda elektronlar 4,9eV energiyaga ega bo'ladi, bunday energiyali elektronlar simob atomi bilan noelastik to'qnashadi, ya'ni atimga urilgan elektron atomdagi elektronni kichikroq energiyali orbitadan kattaroq energiyali orbitaga o'tkazib, energiyasining ko'p qismini atimga beradi. Energiyasi kamaygan bunday elektronlar anodga yetib bora olmaydi, ularni to'r ushlab qoladi. Natijada anod toki keskin kamayadi. Kuchlanishni yana ortirib borib, anod toki ham yana ortib boradi, kuchlanish 2,49 Vga yetganda, yana elektronlarni atomlar bilan noelastik to'qnashishi sodir bo'ladi, natijada anod toki yana birlaniga kamayadi. Bunday hol keyingi 3,4,9 V va h.k. kuchlanishlarda ham sodir bo'ladi.

#### 18.5. Bor nazariyasiga ko'ra yodod atomi spektri

Yodod atomida zaryadi  $e$  ga ega bo'lgan yadro, ya'ni proton atrofida bitta elektron harakatlanadi. Yodod elektroni radiusi  $r_n$  bo'lgan orbitada tutib turuvchi markazga nisbatan kuch va elektron bilan yadroning o'zaro tortishidagi Kulon kuchidan iboratdir, ya'ni:

$$\frac{m_e v^2}{r_n} = \frac{e^2}{4\pi\epsilon_0 r_n^2} \quad (18.5)$$

bunda,  $m_e$  - elektron massasi,  $v$  - uning tezligi. Bu elektronning impuls momenti esa orbitaning kvantlash qoidasiga asosan, (18.3) shartni qanoqlantirishi kerak. (18.3) va (18.5) ifodalarni birgalikda yechsak, yodod atomidagi elektron uchun turdagi orbitalarning radiuslari

$$r_n = \frac{4\pi\epsilon_0 \hbar^2}{m_e e^2} n^2 \quad (18.6)$$

ifoda bilan aniqlanadi. Bundagi  $n$  - asosiy kvant son deb ataladi va u 1, 2, 3... musbat sonlarga teng bo'ladi.

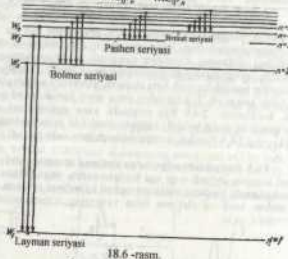
Bu orbitalarga mos keluvchi turq'un holatlarda vodorod atomining to'liq energiyasi elektronning kinetik energiyasi va elektronning yadro bilan o'zaro ta'sir energiyalarining yig'indisidan iborat:

$$W_n = \frac{m_e v^2}{2} - \frac{e^2}{4\pi\epsilon_0 r_n} \quad (18.7)$$

Ikkinchi tomondan (18.5) ifodaning ikkala tomonini  $\frac{r_n}{2}$  ga ko'paytirsak, u

$$\frac{m_e v^2}{2} = \frac{e^2}{8\pi\epsilon_0 r_n} \quad \text{ko'rinishga keladi. Bundan foydalanib (18.7)ni quyidagicha yozamiz:}$$

$$W_n = \frac{e^2}{8\pi\epsilon_0 r_n} - \frac{e^2}{4\pi\epsilon_0 r_n} \quad (18.8)$$



(18.8) ifodadagi  $r_n$  o'rniga uning (18.6) bilan aniqlanuvchi qiymatini qo'yib, vodorod atomining turq'un holatlarini xarakterlovchi energetik sathlarning qiymatlarini hisoblash imkonini beradigan quyidagi ifodani hosil qilamiz:

$$W_n = -\frac{m_e e^4}{32\pi^2 \epsilon_0^2 h^2 n^2}; \quad (n=1,2,3,\dots) \quad (18.9)$$

bu ifodani Gauss birliklar sistemasi bo'yicha hisoblasak.

$$W_n = -\frac{m_e e^4}{2h^2 n^2}; \quad (n=1,2,3,\dots) \quad (18.10)$$

uchun ko'rinishga keladi. Bu formula yordamida hisoblangan energetik sathlari 18.6-rasmda gorizontal chiziqlar shaklida tasvirlangan. Vodorod atomining normal turq'un holatida elektron eng quyi energetik sathda, ya'ni asosiy kvant son  $n=1$  qiymatiga mos keladigan sathda joylashgan bo'ladi. Agar atonga tashqaridan biror energiya berilsa, elektron  $n=2, 3; 4; \dots$  qiymatlariga mos bo'lgan energetik sathlarning birortasiga ko'tariladi. Atomning bu holatlarini uyg'ongan holatlar deb ataladi. Uyg'ongan holatdan normal holatga qaytayotgan atom elektromagnit nurlanish kvantini chiqaradi. Agar elektron  $n=4$  bilan xarakterlanuvchi holatda bo'lsa, u normal ( $n=1$ ) holatga birdaniga yoki  $n=2; 2$  holatlar orqali ham qaytishi mumkin. Lekin har o'tishda nurlanadigan fotonning energiyasi boshlang'ich va oxirgi sathlari energiyalarining farqiga teng bo'ladi. Shu tariqa Bor nazariyasi vodorod spektridagi seriyalarining fizik ma'nosini oydinlashtirdi. Bundan tashqari, Bor nazariyasi Ridberg doimiysini ham hisoblash imkonini berdi; vodorod atomi n holatdan m holatga o'tishida nurlanadigan elektromagnit to'lqin chastotasi

$$\omega = \frac{W_n + W_m}{h} = \frac{m_e e^4}{32\pi^2 \epsilon_0^2 h^3} \left( \frac{1}{m^2} - \frac{1}{n^2} \right) \quad (18.11)$$

bo'ladi. Bu ifodani umumlashtirgan Balmer formulasi bilan solishtirsak, Ridberg doimiysi

$$R = \frac{m_e e^4}{32\pi^2 \epsilon_0^2 h^3} \quad (18.12)$$

ekanligini topamiz. (18.12) ga kiruvchi barcha doimiylik qiymatlarini qo'yib, hosil bo'lgan kattalik Ridberg doimiysining tajribada topilgan qiymatiga juda mos keladi.

Lekin Bor nazariyasi spektral chiziqlar intensivligini hisoblashda o'zlik qiladi. Ikkinchi kamchiligi, vodorodsimon atomlar (ya'ni yadrosining zaryadi  $+Ze$ , lekin hitlagina elektroni bo'lgan ionlar, masalan:  $Ne^+, Li^+, Be^{++}$  va h.k.) dan tashqari birorta ham atomning qonuniyatlarini mutlaqo tushuntira olmaydi. Buning isbisi shundaki, Bor nazariyasi yarim klassik, yarim kvant nazariyadan iboratdir. Lekin Bor nazariyasi atom fizikasi fanining rivojida katta rol o'ynaydi, ya'ni mikro dunyo hodisalariga klassik fizika qonunlarini qo'llash mumkin emasligini ko'rsatadi.

### Savollar

1. Atomning Razerford modeli bilan klassik fizika orasidagi asosiy ziddiyatlarni ko'rsating.
2. Bor postulatlarini ta'riflang va uni Razerfordning atom tuzilishi va yadroviy modelini kvant xarakterini bahalashdagi ahamiyatini tushuntirib bering.
3. Balmer formulasi Bor postulatlarini asosida tushuntiring.
4. Bor atom nazariyasini tasdiqlovchi qanday tajribalarni bilasiz?
5. Bor nazariyasining qanday kamchiliklari bor?
6. Qanday prinsip asosida vodorodning spektral chiziqlari seriyalarga birlashtirilishini tushuntiring.

### Masalalar

69-masala. Bor nazariyasidan foydalanib, vodorod atomidagi elektronning n -li Bor orbitasining radiusi  $r_n$  va bu orbitasidagi tezligi  $v_n$  topilsin. Masala  $n=3$  hol uchun yechilsin. Plank doimiysi  $n=6.625 \cdot 10^{-34}$  Js va elektr doimiysi  $\epsilon_0=8,85 \cdot 10^{-12}$



f/m ga, elektronning massasi  $m_e=9,1 \cdot 10^{-31}$  kg.ga va zaryadi  $e=1,6 \cdot 10^{-19}$  Kl ga teng.

Berilgan:  $m_e=9,1 \cdot 10^{-31}$  kg,  $e=1,6 \cdot 10^{-19}$  Kl,  $\epsilon_0=8,85 \cdot 10^{-12}$  Kl<sup>2</sup>/Nm<sup>2</sup>  
 $h=6,625 \cdot 10^{-34}$  Js,  $n=3$

$$v_1 = ? \quad v_2 = ?$$

**Yechish.** Vodorod atomi protoni va uning atrofiga aylanayotgan elektronning

o'zaro ta'sir Kulon kuchi:  $F_s = \frac{1}{4\pi \epsilon_0} \frac{e^2}{r_n^2}$ , markazga intilma kuch

$$F_{s,j} = \frac{m_e v_n^2}{r_n} \text{ dan iborat, ya'ni}$$

$$\frac{1}{4\pi \epsilon_0} \frac{e^2}{r_n^2} = \frac{m_e v_n^2}{r_n} \quad (1)$$

bunda,  $\epsilon_0$  - elektr doimiysi,  $m_e$  - elektronning massasi va  $e$  - uning zaryadi,  $r_n$  - elektron orbitasining radiusi,  $v_n$  - elektronning orbitadagi tezligi.

Borning ikkinchi postulatiga asosan: «Elektron impuls momenti ( $m_e v_n$ )

$r_n$ ) karrali  $h/2\pi$  n ga, ya'ni  $n \frac{h}{2\pi}$  ga teng bo'lgan orbita bo'ylab harakatlanadi».

Binobarin,

$$m_e v_n r_n = n \frac{h}{2\pi} \quad (2)$$

bunda,  $n=1,2,3,\dots$  orbitaning tartib raqamidir. Bundan  $n$  - orbitadagi elektronning tezligi:

$$v_n = n \frac{h}{2\pi m_e r_n} \quad (3)$$

ga teng bo'ladi. Buni o'rniga (1) (2) (3) dan foydalanib, orbitaning radiusi  $r_n$  ni aniqlaymiz:

$$\frac{e^2}{4\pi \epsilon_0 r_n^2} = \frac{m_e n^2 h^2}{r_n 4\pi^2 m_e^2 r_n^2} \text{ yoki } \frac{e^2}{\epsilon_0} = \frac{n^2 h^2}{\pi n r_n}$$

Bundan izlanayotgan orbitaning radiusi  $r_n$  quyidagiga teng bo'ladi:

$$r_n = n^2 \frac{h^2 \epsilon_0}{\pi m_e e^2}$$

Buni yuqoridagi ifodaga qo'yib, orbitadagi elektronning tezligi  $v_n$  ni topamiz:

$$v_n = \frac{nh}{2\pi m_e r_n} = \frac{nh}{2\pi m_e n^2 h^2 \epsilon_0} = \frac{1}{n} \frac{e^2}{2h \epsilon_0}$$

Masala shartiga ko'ra  $n=3$  bo'lgan holni hisoblab chiqamiz:

$$v_3 = n^2 \frac{h^2 \epsilon_0}{\pi m_e e^2} = 3^2 \frac{6,625^2 \cdot 10^{-68} \cdot 8,85 \cdot 10^{-12}}{3,14 \cdot 9,1 \cdot 10^{-31} \cdot 1,6^2 \cdot 10^{-38}} = 4,78 \cdot 10^{10} \text{ m}$$

$$v_3 = \frac{1}{n} \frac{e^2}{2h \epsilon_0} = \frac{1}{3 \cdot 2} \frac{1,6^2 \cdot 10^{-38}}{6,625 \cdot 10^{-34} \cdot 8,85 \cdot 10^{-12}} = 7,3 \cdot 10^6 \text{ m/s}$$

**70-masala.** Vodorod atomidagi elektron to'rtinchi energetik sathdan ikkinchisiga o'tdi. Nurlangan fotonning energiyasi aniqlansin.

Berilgan:  $n_1 = 2, n_2 = 4$   
 $E = ?$

**Yechish:** Foton energiyasini aniqlash uchun vodorodsimon ionlarni serial formulalaridan foydalanamiz

$$\frac{1}{\lambda} = RZ^2 \left( \frac{1}{n_1^2} - \frac{1}{n_2^2} \right) \quad (1)$$

bu yerda,  $\lambda$  - fotonning to'liq uzunligi,  $R$  - Ridberg doimiysi;  $Z$  - yadro zaryadining nisbiy birligi ( $Z=1$ da formula vodorod seriyasiga mos keluvchi formulaga aylanadi);  $n_1$  - elektron o'tgan orbita nomeri;  $n_2$  - elektronning hodlang'ich holatidagi orbita nomeri ( $n_1$  va  $n_2$  asosiy kvant sonlar).

Foton energiyasi  $E$  quyidagicha aniqlandi:

$$E = \frac{hc}{\lambda}$$

(1) formulani chap va o'ng tomonini  $hc$  ga ko'paytirib foton energiyasini aniqlash formulasini topamiz:

$$E = RhcZ^2 \left( \frac{1}{n_1^2} - \frac{1}{n_2^2} \right)$$

Ionizatsiyalash energiyasi  $E_0 = Rhc$  ekanligini hisobga olib

$$E = E_0 Z^2 \left( \frac{1}{n_1^2} - \frac{1}{n_2^2} \right)$$

hisoblashni bajaramiz.

$E_0 = 13,6 \text{ eV}$  (jadvalda beriladi);  $Z=1$ ;  $n_1=2$ ;  $n_2=4$ ;

$$E = 13,6 \cdot 1^2 \left( \frac{1}{2^2} - \frac{1}{4^2} \right) \text{ eV} = 13,6 \cdot \frac{3}{16} \text{ eV} = 2,55 \text{ eV}$$

**71-masala.** Vodorod atomining birinchi Bor orbitasidagi elektronning burchak tezligi  $\omega$  va aylanish davri  $T$  ni toping.

Berilgan:  $n=1$ ,  $m=9,1 \cdot 10^{-31}$  kg,  $e=1,6 \cdot 10^{-19}$  Kl,  
 $h=6,625 \cdot 10^{-34}$  Js,  $\epsilon_0=8,85 \cdot 10^{-12}$  Kl<sup>2</sup>/Nm<sup>2</sup>,  
 $\omega = ?$   $T = ?$

Yechish. Bor postulati (18,3)ga ko'ra,

$$mvr = n \frac{h}{2\pi} \quad (1)$$

bu yerda,  $m$  – elektron massasi,  $r$  – orbita radiusi,  $v$  – shu orbitada elektronning chiziqli tezligi,  $h$  – Plank doimiyi,  $n=1$  – birinchi orbitaga mos kelgan kvant soni  $v$  – or ekanligini e'tiborga olib, ushbu formulani yozamiz.

$$m\omega r^2 = n \frac{h}{2\pi} \quad (2)$$

formulaga muvofiq  $r = n^2 \frac{E_0 h^2}{\pi m e^2}$  ( $h = \frac{h}{2\pi}$ ), bunda,  $c$  – elektron

zaryadi,  $E_0$  – elektr doimiyi (3)ni (2)ga qo'yib, quyidagini olamiz:

$$\omega = \frac{\pi m e^4}{2 E_0^2 n^3 h^2} = \frac{3,14 \cdot 9,1 \cdot 10^{-31} \cdot (1,6 \cdot 10^{-19})^4}{2(8,85 \cdot 10^{-12})^2 (6,625 \cdot 10^{-34})^2} = 4,4 \cdot 10^{16} \text{ rad/s.}$$

Elektronning aylanish davrini quyidagi munosabatdan topamiz:

$$T = \frac{2\pi}{\omega} = \frac{6,28}{4,4 \cdot 10^{16}} = 1,4 \cdot 10^{-16} \text{ s.}$$

72-masala. Vodorod atomi birinchi infraqizil seriyasidagi (Paschen seriyasi) ikkinchi chiziqaq mos keluvchi foton energiyasi  $\mathcal{E}$  aniqlansin.

Berilgan:  $E_1 = 13,6 \text{ eV}$ ,  $n_1 = 3$ ,  $m = 2$ ,  $n_2 = 5$

$\mathcal{E} = ?$

Yechish. Elektronning bir orbitadan boshqasiga o'tishida vodorod atomi chiqaradigan foton energiyasi

$$\mathcal{E} = E_1 \left( \frac{1}{n_1^2} - \frac{1}{n_2^2} \right) \quad (1)$$

bunda,  $E_1$  – vodorod atomining ionlash energiyasi;  $n_1 = 1, 2, 3$  elektron o'tadigan orbitaning tartib raqami (18,6-rasmga qarang);  $n_2 = n_1 + 1$ ;  $n_1 = 2, \dots$ ;  $n_2 = m$  elektron tark etadigan orbitaning tartib raqami;  $m$  – mazkur seriyadagi spektral chiziqaqning tartib raqami. Paschen seriyasi uchun  $n=3$ ; shu seriyadagi ikkinchi chiziq uchun  $m=2$ ,  $n_1 = m, m+3 = 2+5$  son qiymatlarini (1)ga qo'yib fotonning energiyasini topamiz:

$$\mathcal{E} = 13,6 \left( \frac{1}{3^2} - \frac{1}{5^2} \right) = 8,7 \text{ eV.}$$

## XIX bob. KVANT MEXANIKASI ELEMENTLARI

### 19.1. De-Broyl gipotezasi. Elektronlar diffraksiyasi

Yuqorida ko'rib o'tganimizdek, yorug'lik korpuskular va to'liq xossasiga ega. Yorug'likning to'liq xossaga ega ekanligini yorug'lik Interferenatsiyasi, yorug'lik diffraksiyasi, yorug'lik dispersiyasi va boshqa optik hodisalar tasdiqlaydi. Yorug'likning korpuskular tabiatini yoki boshqacha aytganda yorug'likning kvant tabiatini nurlanish qonunlari, fotoeffekt hodisasi, Kompton effekti va boshqa qator optik hodisalar tasdiqlaydi.

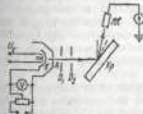
Yorug'likning bu dualistik xususiyatlarini yanada rivojlantirib 1924-yilda Lui de-Broyl (1892–1987) korpuskular – to'liq tabiat faqat yorug'lik zarrachalari (fotonlari)gagina xos bo'lib qolmasdan, balki bunday ikki yoqlamalik elektronga va har qanday boshqa mikrozararlarga ham taalluqli degan gipotezani ilgari surdi. Boshqacha aytganda, de-Broyl gipotezasiga asosan, korpuskular – to'liq dualizmi elektromagnit nurlanishdek, har qanday boshqa modda zarralari uchun ham tegishlidir. U holda foton uchun yozilgan quyidagi

$$P = \frac{h\nu}{c} = \frac{h}{\lambda}$$

munosabatni modda zarralari uchun ham qo'llash mumkin. Agar massasi  $m$ , tezligi  $v$  ga, impulsi  $p = mv$  teng bo'lgan biror modda zarrasida harakatlanish jarayonida uzunligi

$$\lambda = \frac{h}{p} = \frac{h}{mv} \quad (19.1)$$

bo'lgan to'liq tabiat namoyen bo'lishi kerak, degan xulosaga kelinadi. (19.1) ifodani de-Broyl to'liq uzunligi deb ataladi. De-Broyl gipotezasi bilan tanishgan, Eynshteyn; agar bu gipoteza to'g'ri bo'lsa, elektronlar uchun diffraksiya hodisasi kuzatilishi lozim degan fikrni aytdi.



19.1-rasm.



19.2-rasm.

1927-yilda Devisson va Jermeler elektronlar ustida tajriba o'tkazib Fynsbteyn fikrini tasdiqlashdi.

Qizdirilgan K katoddan chiqqan termoelektronlar katod va A anod oralig'idagi elektr maydon ta'sirida tezlatiladi. Elektronlar dastasi  $D_1$  va  $D_2$  diaphragmalardan o'tib K kristaliga, undan sochilib ionizatsion kamera (IK) ga tushadi (19.1-rasm). Ionizatsion kamerada hosil bo'lgan tok galvanometr orqali o'lchanadi. Ionizatsion kamerani uyon-buyon slifitish yordamida turli burchaklarda sochilayotgan elektronlarni qayd qilish imkoniyati mavjud. Lekin tajriba shuni ko'rsatdiki,

sochilish burchagining o'zgarishi bilan ionizatsion kameradagi tok kuchi monoton ravishda o'zgarib, balki bir qator maksimumlar kuzatiladi. Nikel kristali bilan o'tkazilgan tajribada elektronlarni tezlatuvchi potentsiallar farqi 54 V bo'lganda sochilish burchagi  $\alpha=50^\circ$  qiymatida maksimum kuzatiladi. Agar shu tajriba elektronlarni o'miga rentgen nurlari bilan o'tkazilsa, diffraksiya maksimumi,  $\alpha=50^\circ$  da kuzatilishi uchun rentgen nurining to'liq uzunligi  $1,67 \cdot 10^{-10}$  m bo'lishi lozim. Ikkinchi tomonidan (19.1) asosida elektronlar uchun de-Broyl to'liq uzunligini hisoblasak,  $\lambda=1,67 \cdot 10^{-10}$  m qiymatni hosil qilamiz. Bu natija de-Broyl gipotezasi to'g'riligini tasdiqladi. Keyinchalik de-Broyl gipotezasi to'g'riligi ko'p olimlarning tajribalarida ham isbotlandi. Masalan, rus olimi P.S. Tartakovskiy katta tezlikdagi elektronlarni yupqa ( $d=1$  mikr) metall qatlamdan o'tkazib, bu elektronlar hosil qilgan diffraksiya manzarasining rasminii fotoqog'oxga tushirdi (19.2-rasm).

1948-yilda V. Fabrikant, B.Biberman va N.Sushkinar nilyotada zaif intensivlikdagi elektronlar oqimi bilan tajriba o'tkazib, to'liq xususiyatlar elektronlar oqimi uchunгина emas, balki ayrim elektronlar uchun ham tegishlidir degan xulosani isbot qilishdi. Xulosa qilib aytganda, de-Broyl, gipotezasi bir qator tajribalarda tasdiqlandi va to'liq mexanikasining yaratilishida muhim rol o'ynadi.

**19.2. Geyzenbergning noaniqliklar munosabati**

Elektronning to'liq xossasini o'chilishi unga oddiy zarracha sifatida emas, balki to'liq xossasiga ega bo'lgan murakkab bir boriq sifatida qarash kerakligini ko'rsatadi. Uni o'chilishi, aniq trayektoriyasi haqida gapirish qiyin. Elektron fotodan farqli zaryadiga ega bo'lib, uni fazodagi vaziyati va taqsimlanishi boshqa zarrachalar bilan, masalan, atomda yadro bilan o'zaro ta'sirlashtirishga bog'liq bo'ladi.

Klassik mexanikada moddiy nuqta bir vaqtning o'zida aniq koordinataga, impuls va trayektoriyaga ega bo'ladi.

Mikrozarra to'liq xossaga ega bo'lgani uchun u klassik mexanikadagi zarrachadan farq qiladi. Asosiy farq shundaki, mikrozarrahani trayektoriyasi bo'lmaydi. Bundan tashqari, uni aniq koordinata va impuls haqida ham gapirish mumkin emas. Masalan, mikrozarrahaning impulsini to'liq uzunligi orqali ifodalashimiz mumkin. Ammo mikrozarra to'liq xossaga ega bo'lgani uchun u fazoda ancha katta oraliqni egallaydi va koordinatasining noaniqligi katta bo'ladi. Demak, zarrachaning impuls aniq bo'lsa, uni koordinatasi noaniq qoladi. Aksincha mikrozarra koordinatasini aniq hisoblasak, uning impulsining noaniqligi  $\Delta r$  ortadi, ya'ni  $\Delta r \rightarrow 0$  bo'lganda  $\Delta p \rightarrow \infty$  bo'ladi.

1927-yilda nemis olimi Verner Geyzenberg (1901-1976) mikrozarrahalarining to'liq xossasini hisobga olib, ularning impuls va koordinatalari bir xil aniqlik bilan hisoblab bo'lmaydi degan xulosaga keldi va o'zining noaniqliklar munosabati qonunini yaratdi.

Mikrozarraning impuls va koordinatasini aniq o'chib bo'lmastigi o'Ichov asboblari aniqlik darajasiga bog'liq bo'lmisdan mikrozarra to'liq xossasidan kelib chiqadi.

Agar mikrozarra fozadagi koordinatalarini X, U, Z va impulsning o'qlardagi proyeksiyalarini  $R_x, R_y, R_z$  desak, Geyzenberg noaniqlik munosabatlariga ko'ra koordinata noaniqligini impuls noaniqligiga ko'paytmasi Plank doimiyisidan kichik bo'lmaydi, ya'ni:

$$\begin{aligned} \Delta X \cdot \Delta P_x &\geq \hbar \\ \Delta Y \cdot \Delta P_y &\geq \hbar \\ \Delta Z \cdot \Delta P_z &\geq \hbar \end{aligned} \quad (19.2)$$

Demak, koordinata noaniqligi impuls noaniqligiga ko'paytmasi doimo  $\hbar$  dan katta bo'ladi. Impuls koordinatalari juda katta aniqlikda o'Ichanganda ularning ko'paytmasi  $\hbar$  teng bo'lishi mumkin. (19.2) munosabatlaridan ko'rinadiki, koordinatalarni juda katta aniqlikda o'Ichab, uni noaniqligi X ni juda kichik bo'lishiga ( $\Delta X \rightarrow 0$ ) erishish mumkin. Ammo bu vaqtda mikrozarra impulsini noaniqligi R ortib ketadi ( $r \rightarrow \infty$ ). Doimo  $\Delta X$  ni  $\Delta R$  ga ko'paytmasi Plank doimiyisi  $\hbar$  dan katta bo'ladi. Bundan zarra ning impuls va koordinatasini bir xil aniqlikda o'Ichab bo'lmastigi kelib chiqadi.

Bundan tashqari, mikrozarra ning energiyasi va vaqtini o'Ichashdagi noaniqliklar uchun quyidagi munosabat ham mavjud:

$$\Delta W \cdot \Delta t \geq \hbar \quad (19.3)$$

Bu ifodadan yashash vaqti  $\Delta t$  bo'lgan zarra ni energiyasi aniq bir W qiymatiga ega bo'lmastigi kelib chiqadi. Zarra ning yashash vaqti kamayishi bilan uning energiyasining noaniqligi ortadi.

Shunday qilib, noaniqliklar munosabatlari inson irodasiga bog'liq bo'lmagan o'zaro bog'lanishlarni ifodalaydi. Shuning uchun ham bu munosabatlarini **tabiiatning obyektiv qonuni deb qarash lozim.**

**19.3. To'liq funksiya va uning statistik ma'nosi. Shredinger tenglamasi.**

De-Broyl gipotezasini tajribada tasdiqlanishi, mikrozarralarning impuls va koordinatalarini aniqlashda noaniqlik munosabatlarini bajarilishi va boshqa qator tajribalar kvant mexanikasini yaratilishiga olib keldi.

Kvant mexanikasini yaratilish davri 1900-yilda M.Plank tomonidan yorug'lik kvanti haqidagi gipotezasi ixtiro qilinishi davridan boshlab 1920-yillarni oxirigacha bo'lgan vaqtni o'z Ichiga oladi. Kvant mexanikasini yaratishga asvriyaliq fizik E.Shredinger, nemis fizigi V. Geyzenberg va angliyalik fizik P.Diraklar katta hissa qo'shgan. Bu mexanikada faqat mikroobyektlardagina aniq kuzatiladigan kvant tasavvurlar o'z aksini topganligi uchun uni, odatda, **kvant mexanikasi** deb ham ataladi.

Yorug'likning kvant nazariyasiga ko'ra diffraksiya manzarasining intensivligi, o'sha joyga tushayotgan kvantlar soni bilan aniqlanadi. Shuningdek, diffraksiya manzarasining ma'lum nuqtasiga mos kvantlar soni yorug'lik to'liqni amplitudasi ning kvadrati  $E^2$  bilan aniqlanadi. Bitta kvant uchun to'liqni amplitudasi ning kvadrati uni fazoning u yoki bu nuqtasiga tushish ehtimoligini bildiradi.

Mikrozarralarda kuzatiladigan diffraksiya manzarasi ham ma'lum yo'nalishlar bo'yicha zarralar oqimini bir xilda taqsimlanganligiga bog'liq. Ma'lum yo'nalishga ko'p sondagi zarralar to'g'ri kelsa, boshqa yo'nalishga kam sonli zarralar to'g'ri keldi.

To'liq nazariyaga ko'ra diffraksiya maksimumiga de-Broyl to'liqining eng katta intensivligi mos keladi. Fazoning qayetiga ko'p sonli zarralar tushayotgan bo'lsa, o'sha joyda de-Broyl to'liqining intensivligi ham katta bo'ladi. Boshqacha

aytganda mikrozararlardan hosil bo'ladigan difraktsiya manzarasi zararlarning fazoning o'sha joyiga tashish ehtimolligiga bog'liq.

Kvant nazariyasining o'ziga xos tomoni shundaki, mikrozararlarning xossalari o'rganishda ehtimolliklar qonuniyatlaridan foydalaniladi. De-Broyl to'liqini ehtimolliklar to'liqidan iborat deb qarash, ya'ni zararni fazoda topilish ehtimolligi to'liq qonuniyat bilan o'zgaradi deyish xato bo'lar edi. Chunki bunday bo'lganda zararni fazoda topilish ehtimolligi manfiy bo'lishi mumkin.

1926-yilda M.Bornning ko'rsatishicha to'liq qonuniyat bilan ehtimollik o'zgarmasdan, balki ehtimollikning amplitudasi o'zgaradi. Ehtimollikning amplitudasi fazoning koordinatalari va vaqtda bog'liq bo'lgan ( $x, u, z, t$ ) to'liq funksiya orqali ifodalanadi. Ehtimollik amplitudasi mavhum bo'lishi mumkin. Shuning uchun ehtimollik uning modulning kvadratiga proporsional:

$$W = |\psi(x, y, z, t)|^2 \quad (19.4)$$

Demak, de-Broyl to'liqini amplitudasi kvadrati fazoning ayni nuqtasida mikrozararni qayd qilish ehtimolligini xarakterlaydi. Shunday qilib, mikrozararni holatini to'liq funksiya bilan ifodalash statistik yoki hashqacha aytganda ehtimollik xarakteriga ega. To'liq funksiya qiymatini kvadrati zararni  $t$  vaqt momentida fazoning tomonlari  $x$  va  $x+dx$ ,  $u$  va  $u+du$ ,  $z$  va  $z+dz$  sohasida topilish ehtimolligini ko'rsatadi.

Kvant mexanikasida zararni holati butunlay yangicha, ya'ni zararni ham to'liq, ham ko'rsatkular xususiyatini o'zida mujassamlashtirgan to'liq funksiyasi orqali ifodalanadi. Zararni hajmining dv bo'lakchasiida bo'lish ehtimolligi

$$dW = |\psi|^2 dV \quad (19.5)$$

ko'rinishida ifodalanadi. Bunda  $\psi$  - funksiya qiymatining kvadrati

$$|\psi|^2 = \frac{dW}{dV}$$

ehtimollik zichligini bildiradi. Bu yerda shuni nazarda tutish kerakki,  $\psi$  funksiyani o'zi fizik ma'noga ega bo'lmasdan, uni qiymatining kvadrati fizik ma'noga ega bo'ladi.  $|\psi|^2$  ni haqiqiy  $\psi$  va mavhum  $\psi'$  funksiyalarining ko'paytmasi tarzida ifodalanadi:

$$|\psi|^2 = \psi \cdot \psi'$$

Zararni V hajm bo'lagida  $t$  vaqtda topilish ehtimolligini hisoblash uchun ehtimolliklarni qo'shish to'raemasiga asosan V-hajm bo'yicha integrallash kerak:

$$W = \int_V dW = \int_V |\psi|^2 dV$$

Agarda zarra haqiqatan ham mavjud bo'lsa, uni butun V hajmda bo'lish ehtimolligi 1 ga teng bo'ladi. Shu holda  $\psi$  - funksiya normaler deb ataluvchi sharti qanoatlaniradi, ya'ni

$$\int_V |\psi|^2 dV = 1 \quad (19.6)$$

bo'ladi. Bundan tashqari, to'liq funksiyani fizik ma'nosidan kelib chiqqichi qiyadagi shartlar ham bajarilishi kerak:

a)  $\psi$  funksiya chekli bo'lishi kerak, chunki mikrozararni qayd qilish ehtimolligi butun katta bo'la olmaydi;

b)  $\psi$  funksiya bir qiymatli bo'lishi kerak, chunki mikrozararni fazoning bir nuqtasida qayd qilish ehtimolligining qiymati bir nechta bo'lishi mumkin emas;

d)  $\psi$  funksiya uzluksiz bo'lishi kerak, chunki mikrozararni qayd qilish ehtimolligi sakrashimon xarakterda o'zgaraydi.

$\psi$  funksiyani 1926-yilda Shredinger tomonidan taklif etilgan va uning nomi bilan ataladigan tenglama yechib topiladi.

$$-\frac{\hbar^2}{2m} \left( \frac{\partial^2 \psi}{\partial x^2} + \frac{\partial^2 \psi}{\partial y^2} + \frac{\partial^2 \psi}{\partial z^2} \right) + U\psi = i\hbar \frac{\partial \psi}{\partial t} \quad (19.7)$$

bunda,  $m$  - mikrozararni massasi,  $U$  - mikrozararni potensial energiyasi,  $\hbar$  - Plank doimiyi,  $i = \sqrt{-1}$  - mavhum birlik.

(19.7) da  $\psi$  funksiyadan vaqi bo'yicha olingan hosilali had qatnashayotgani uchun uni vaqt ishtirok etgan Shredinger tenglamasi deb ataladi. Bu tenglamada mikrozararga ta'sir etuvchi kuchlar potensial funksiya  $U(x, u, z, t)$  orqali aks etirilgan, ya'ni mikrozarra potensial energiyasining qiymati fazoning turli nuqtalaridagina emas, balki fazoning ayni nuqtasida ham vaqtning turli o'larida turiladi.

Lekin mikrozdunyoda sodir bo'ladigan aksariyat hodisalarda mikrozararni potensial energiyasi vaqtda oshkor bog'liq bo'lmaydi (turg'un holatlar uchun). Bu holda  $\psi$  - funksiya ikkita ko'paytuvchiga ajralib, biri faqat koordinatalarga, ikkinchisi faqat vaqtda bog'liq bo'ladi:

$$\psi(x, y, z, t) = \Psi(x, y, z) \cdot \varphi(t) \quad (19.8)$$

Natijada bir qator matematik amallardan so'ng (19.7) tenglamani quyidagi ko'rinishga keltirish mumkin:

$$\frac{\partial^2 \Psi}{\partial x^2} + \frac{\partial^2 \Psi}{\partial y^2} + \frac{\partial^2 \Psi}{\partial z^2} + \frac{2m}{\hbar^2} (W - U)\Psi = 0 \quad (19.9)$$

Bu tenglamada  $W$  - mikrozararni to'liq energiyasi. (19.9) ifoda vaqt ishtirok emagan turg'un holat uchun Shredinger tenglamasidir. Kvant mexanikasining ko'p masalalarini yechishda shu (19.9) tenglamadan foydalaniladi. Differensial tenglamalar nazariyasidan ma'lumki, Shredinger tenglamasiga o'xshash tenglamalar har doim ham yechimga ega bo'lmaydi. U faqat energiyani ma'lum bir aniq qiymatidagina xususiy yechimga ega bo'ladi. Topilgan  $W$  energiyani qiymati uzluksiz yoki diskret bo'lishi mumkin.

Biz ham ayrim masalalarni yechishda shu tenglamaning tatbiqlarini ko'rib chiqaylik.

1. Shredinger tenglamasini erkin zarralar uchun tatbiql. Agar zarra erkin, unga hech qanday tashqi kuchlar ta'sir etmayotgan bo'lsa, uning potensial

energiyasi nol ( $U=0$ ) teng bo'lib, to'liq energiyasi uning kinetik energiyasidan iborat bo'ladi. Masalani soddalashtirish uchun zarra koordinatining  $X$  o'qqa parallel holda harakatlantirishda deb olamiz. Uni koordinatalaridan olingan xususiy hosilalari nolga teng bo'lib, Laplas operatorida bitta had qoladi:

$$\Delta \psi = \frac{\partial^2 \psi}{\partial x^2}$$

Bu holda Shredinger tenglamasi soddalashtirib, quyidagi ko'rinishni oladi:

$$\frac{\partial^2 \psi}{\partial x^2} + \frac{2m}{\hbar^2} W \psi = 0 \quad (19.10)$$

(19.10) ko'rinishdagi Differensial tenglamaning xususiy yechimi yassi to'liqin tenglama ko'rinishida bo'ladi:

$$\psi(x, t) = A \sin(\alpha x - kx) \quad (19.11)$$

Bunga ishonch hosil qilish uchun (19.11) ifodani va  $\frac{\partial^2 \psi}{\partial x^2}$  ni (19.10) ga qo'yib ko'ramiz.

$$-k^2 A \sin(\alpha x - kx) + \frac{2m}{\hbar^2} W \sin(\alpha x - kx) = 0$$

bundan

$$k = \frac{1}{\hbar} \sqrt{2mW} \quad (19.12)$$

ekanligini topamiz,  $\sqrt{2mW} = P$  bo'lgani uchun

$$k = \frac{P}{\hbar} \quad (19.12a)$$

kelib chiqadi. Ko'rinib turibdiki, hosil qilingan bu ifoda de-Broyl formulatsiyasining o'zginasidir. Bu Shredinger tenglamasidan de-Broyl formulasi kelib chiqishini bildirmaydi. Aslida buni teskarisi Shredinger, o'zida de-Broyl to'liqinini mujassamlashtirgan tenglamani izlab topgan.

(19.12)ni boshqacha ko'rinishda ham yozish mumkin,

$$W = \frac{\hbar^2 k^2}{(2m)} = \frac{P^2}{(2m)} \quad (19.13)$$

(19.13) dan ko'rinadiki, erkin zarra energiyasi har qanday qiymatni olishi mumkin. Ya'ni uni energiyasining spektri uzluksizdir. Bu to'liqin sozi  $k$  ni va zarraing impulsi  $P$  ni uzluksiz holda o'zgarishidan kelib chiqadi.

Shunday qilib, erkin zarra kvant mexanikasida yassi monoxromatik de-Broyl to'liqini (19.11) bilan ifodalanadi. Bunday zarra fazoning har qanday nuqtasida topilish ehtimolligi bir xil va vaqtga bog'liq bo'lmay, amplitudaning kvadratiga teng.

$$|\psi|^2 = \psi \cdot \psi^* = A^2$$

Shredinger tenglamasi erkin zarra energiyasiga hech qanday chegaralar qo'ymaydi. Ya'ni uni energiyasi kvantlanmaydi, u har qanday qiymatni olishi mumkin. Agar zarra bog'langan bo'lsa, uning energiyasi kvantlanishi mumkin. Masalan, atomdagi elektron yadroga bog'langan bo'lgani uchun uni energiyasi uzluqli qiymatlarni oladi, ya'ni kvantlanadi.

**2. Cheksiz chuqur potensial o'radagi zarra.** Zarra kengligi  $a$  bo'lgan cheksiz chuqur potensial o'rada harakatlantayotgan bo'lsin. O'rani devorlari cheksiz baland bo'lgani uchun zarra uchun tashqariga chiqa olmaydi. Uni koordinatasi  $0 \leq x \leq a$  qiymatlarini olishi mumkin. Zarra o'ranning devorlariga urilib, undan qaytishi natijasida devorlar orasida to'g'ri chiziqli trayektoriya bilan harakat qilishi mumkin. Zarraing bu o'radagi potensial energiyasi manfiy va cheksizdir ( $U=-\infty$ ). Agar elektron o'radan chiqqan taqdirda ham, uning potensial energiyasi nol bo'lib, u erkin zarra aylanadi. Shunday qilib,  $a$  kenglikdagi cheksiz chuqur potensial o'radagi zarraing potensial energiyasi uchun

$$U(x) = \begin{cases} -\infty, & x < 0 \\ 0, & 0 \leq x \leq a \\ \infty, & x > a \end{cases}$$

shartni yozish mumkin. Bunday potensial o'ranning grafigi 19.3-rasmda ko'rsatilgan. Bu o'rada harakatlantayotgan  $m$  - massali mikrozarra uchun Shredinger tenglamasi quyidagi ko'rinishda yoziladi:

$$\frac{\partial^2 \psi}{\partial x^2} + \frac{2m}{\hbar^2} (W - U) \psi = 0 \quad (19.14)$$

O'rani devorlari cheksiz baland bo'lgani uchun zarra o'radan tashqariga chiqa olmaydi. Shuning uchun zarra o'radan tashqarida bo'lish ehtimolligi nolga teng.

O'rani cheklarida  $x=0$  va  $x=a$  bo'lganda to'liqin funksiya ham nolga aylanadi. Ya'ni chegaraviy shart  $\psi(x) = \psi(a) = 0$  bo'ladi. O'rani ichidagi zarra uchun Shredinger tenglamasi

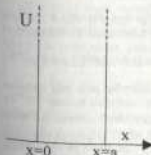
$$\frac{\partial^2 \psi}{\partial x^2} + \frac{2m}{\hbar^2} W \psi = 0 \quad \text{yoki}$$

$$\frac{\partial^2 \psi}{\partial x^2} + k^2 \psi = 0 \quad (19.15)$$

ko'rinishda bo'ladi. Bu yerda

$$k^2 = \frac{2mW}{\hbar^2} \quad (19.16)$$

(19.15) ko'rinishdagi Differensial tenglamaning umumiy yechimi  $\psi(x) = A \sin kx + B \cos kx$  tenglamadan iborat bo'ladi. Agar yuqoridagi chegaraviy shartdan  $\psi(0) = 0$  bo'lishi uchun  $B = 0$



19.3-rasm.

ekanligini hisobga olsak, (19.15) tenglamani yechimi

$$\psi(x) = A \sin kx \quad (19.17)$$

bo'ladi,  $x = a$  ekanligini e'tiborga olsak, (19.17) ifoda

$$\psi(a) = A \sin ka$$

ko'rinishini oladi. Yuqoridagi chegaraviy shart, ya'ni  $\psi(a) = A \sin ka = 0$

bo'lishi faqat  $ka = n\pi$  ( $n=1, 2, 3, \dots$ ) bo'lganda bajariladi. Demak,

$$k = \frac{n\pi}{a} \quad (19.18)$$

(19.18) ni (19.16) ga qo'yib, zarraning energiyasi uchun

$$W = \frac{n^2 \hbar^2 \pi^2}{2ma^2}, \quad (n=1, 2, 3, \dots) \quad (19.19)$$

ifodani topamiz.

Bu ifodadan quyidagi xulosa kelib chiqadi:

potensial o'radagi mikrozarraning energiyasi ixtiyoriy qiymatlarga emas, balki qator diskret qiymatlarga ega bo'lishi mumkin (19.4-rasm). Wning kvantlashgan bu qiymatlarini energetik sathlar deb, mikrozarraning energetik sathini aniqlovchi  $n$  son esa *kvant son* deb ataladi. Shunday qilib,  $W$  ning faqat (19.19) ifoda bilan aniqlanuvchi qiymatlariga Shredinger tenglamasi yechimga ega bo'lar ekan. Energiyaning bu qiymatlarini  $W$  ning *xususiy qiymatlari* deb, tenglamaning ularga mos kelgan yechimlarini esa *masalaning xususiy funksiyalari* deb ataladi.

Endi (19.19) dan foydalanib, qo'shni  $W_n$  va  $W_{n+1}$  energetik sathlarning bir-biridan uzoqligini topaylik:

$$\Delta W = W_{n+1} - W_n = \frac{\pi^2 \hbar^2}{2ma^2} (2n+1) \quad (19.20)$$

Bu ifodadan foydalansak, kengligi atom o'lchamiga mos keluvchi ( $a \sim 10^{-10}$  m) potensial o'radagi elektron ( $m_e \sim 10^{-30}$  kg) energiyasining xususiy qiymatlari uchun

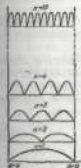
$$\Delta W \approx \frac{3,14^2 \cdot 1,05^2 \cdot 10^{-59}}{2 \cdot 10^{-30} \cdot 10^{-20}} (2n+1) J \approx 0,34 \cdot 10^2 (2n+1) eV$$

ekanligini topamiz. Bu holda energetik sathlarning diskretligi juda aniq namoyon bo'ladi. Biror ( $a \sim 10^{-2}$  m) bo'lgan potensial o'ra uchun, molekula massasi  $\sim 10^{-26}$  kg deb hisoblasak, u holda  $\Delta W = 0,34 \cdot 10^{-33} (2n+1)$  J ni hosil qilamiz. Bu holda energetik sathlar shunchalik zich joylashgan bo'ladi,ki, ularni uzluksizga yaqin deb hisoblash ham bo'ladi. Aslida, energetik spektr faqat  $a \rightarrow \infty$  dagina ( $W \rightarrow 0$ ) uzluksiz qiymatga ega bo'ladi.

Energetik sathlarning joylashuvi haqida mulohaza qilish uchun (19.20) ni (19.19) ga nisbatini olib,

$$\frac{\Delta W}{W_n} = \frac{2n+1}{n^2} \quad (19.21)$$

munosabatni hosil qilamiz.  $n$  ning ancha katta qiymatlarida kasr suratidagi 1 ni hisobga olmasa ham bo'ladi, natijada  $\Delta W/W_n \approx 2/n$  hosil bo'ladi. Demak,  $n$  kattalashgan sari  $\Delta W$  ning qiymati  $W_n$  ga nisbatan kichiklashib boradi. Natijada energetik sathlar bir-biri bilan tutashadigan darajada yaqinlashib ketadi. Boshqacha qilib aytganda, kvant sonining katta qiymatlarida kvant mexanikasining xulosalari klassik fizikaga olingan natijalarga mos kelishi kerak. Bu qoida Bor tomonidan aniqlangan bo'lib, uni *moslik prinsipi* deb ataladi. Klassik fizikaga ko'ra o'radagi zarraning barcha holatlari bir xil ehtimollikda bo'ladi. Kvant mexanikasida bu hodisa quyidagicha tahlil qilinadi. Shredinger tenglamasining yechimi, ya'ni  $n$  kvant sonining bizi qiziqitirovchi qiymatlari uchun to'liq



19.5-rasm.

funksiyalarini topib,  $|\Psi|^2$  ning grafigini chizish kerak. 19.5-rasmda  $|\Psi|^2$  ning  $x$  ga bog'liqlik grafigi  $n$  ning turli qiymatlari uchun tasvirlangan.

Rasmdan ko'rinadiki,  $n=1$  holatda zarrani qayd qilish ehtimolligi o'raning o'rtasida maksimumga erishadi,  $n=2$  holatda esa zarrani o'ra devorlariga yaqin nuqtalarda va o'raning o'rtasida topib bo'lmaydi, chunki bu nuqtalarda

$|\Psi|^2 = 0$ . Bu holatda zarraning qayd qilish ehtimolligi o'raning ikki nuqtasida maksimumga erishadi.  $n=3$  holatda esa zarrani qayd qilish ehtimolligi uchta maksimumga erishadi,  $n$  ning ancha katta qiymatlarida ehtimollik maksimumlarini xarakterlovchi do'ngliklar ham ortib boradi, anana bu do'ngliklarning hammasi  $\Delta n = a$  kenglikda joylashishi kerak.  $n$  kattaroq bo'lgani sari do'ngliklar bir-biri bilan tutashadigan darajada yaqin joylashadi, ya'ni zarrani qayd qilish ehtimolliklari bir xil bo'lgan nuqtalar soni ortib boradi.

#### 19.4. Kvant mexanikasida garmonik ossillator

Klassik kuch va kvant nazariyasining ko'p masalalarini yechishda elastik kuchga o'xshash kuch ta'sirida tebrama harakat qiluvchi sistema model sifatida foydalaniladi va uni *chiziqli garmonik ossillator* deb ataladi. Prujinali, fizik va matematik mayatniklar garmonik ossillatorlarga misol bo'la oladi. Garmonik ossillatorning potensial energiyasi

$$U = \frac{m\omega_0^2 x^2}{2} \quad (19.22)$$

formula bilan aniqlanishi bizga ma'lum. Bu yerda  $\omega_0$  - ossillatorning xususiy echanotasi,  $m$  - ossillatorning massasi. (19.22) bog'lanish grafigi parabola deb boshqacha aytganda parabola shaklidagi 'potensial' o'radan iborat bo'ladi.

Ossillatorning to'liq energiyasi uning potensial va kinetik energiyalarining yig'indisiga teng va u vaqt o'tishi bilan o'zgarmaydi:

$$W = W_k + U = \frac{m\omega_k^2 A^2}{2} \quad (19.23)$$

Bu ifoda energiyang saqlanish qonunini ifodalaydi. Energiyaning saqlanish qonuniga ko'ra to'liq energiya ossillatorga berilgan dastlabki energiyaga teng bo'ladi. Ossillatorning to'liq energiyasi uni tebranishi davomida potensial va kinetik energiya orasida turlicha taqsimlanadi. Agar 19.6-rasmda ko'rsatilgan grafikda to'liq energiyaga mos joydan gorizontal chiziq o'tkazsak, bu chiziq koordinatalari  $x = \pm A$  bo'ladi, bu yerda  $A$  - ossillatorning tebranish amplitudasi. Ossillator  $-A$ ,  $+A$  oralig'idan chiqa olmaydi. Agar u bu oralig'idan chiqadi desak, uning potensial energiyasi to'liq energiyadan ham katta bo'lib, energiyang saqlanish qonuni buziladi. Demak, klassik ossillator chegaralangan fazo sohasida tebralanadi.

Kvant mexanikada *chiziqli harmonik ossillator-kvant ossillator deb ataladi*. *Kvant ossillatorga misol qilib*, kristall panjara tugunida tebranna harakat qilayotgan atomi, molekulari va umuman olganda tebranna harakat qilayotgan har qanday mikrozararni olish mumkin. Kvant ossillatori uchun Shredinger tenglamasi quyidagicha yoziladi:

$$\frac{\partial^2 \psi}{\partial x^2} + \frac{2m}{\hbar^2} (W - \frac{m\omega_k^2 x^2}{2}) \psi = 0 \quad (19.24)$$

Bu yerda  $U = \frac{m\omega_k^2 x^2}{2}$  ossillatorning potensial energiyasi,  $W$  - ossillatorning

to'liq energiyasi.

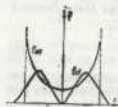
Differensial tenglamalar nazariyasidan ma'lumki, (19.24) ko'rinishdagi differensial tenglama energiyang

$$W_n = \left(n + \frac{1}{2}\right) \hbar \omega_k, \quad (n = 0, 1, 2, \dots) \quad (19.25)$$

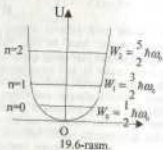
bo'ladigan xususiy qiymatlarida yechimga ega. (19.25) formuladan ko'rinadiki, kvant ossillator energiyasi diskret qiymatlarni olib o'zgaradi, ya'ni uni energiyasi kvantlanadi. Kvant ossillatorning ham eng kichik energiyasi vertikal devorli potensial o'ra ichidagi zararning energiyasiga o'xshab, noldan katta bo'ladi. Ossillatorning bu eng kichik energiyasi (19.25) dan

$$n=0 \text{ bo'lganda } W_0 = \frac{\hbar \omega_k}{2} \text{ bo'ladi.}$$

Kvant ossillator haqidagi masalaning yechimidan klassik fizikaga xos bo'lmagan yangi natija kelib chiqadi. Kvant ossillatori sifatida qaralayotgan zarra



19.7-rasm.



19.6-rasm.

klassik fizika nuqtayi nazaridan mumkin bo'lmagan sohada ham bo'lishi mumkin. Klassik nuqtayi nazardan qaraganda zarra ( $-A$  va  $+A$ ) oralig'idan chiqa otmastigini kerak. Ammo kvant ossillatori parabola shaklidagi potensial o'radan ham tashqariq chiqishlari mumkin.

Kvant ossillatorning koordinatalari  $x$  dan  $x+dx$  gacha bo'lgan sohada bo'lishi ehtimolligi

$$W_{\text{ch}}(x) dx = |\psi_n(x)|^2 dx$$

ifoda bilan aniqlanadi.

19.7-rasmda  $n=1$  kvant holati uchun kvant mexanikasidagi ehtimollik zichliklari solishtirilgan. Grafikdan ko'rinib turibdiki, kvant ossillatori klassik fizikaga ruxsat etmagan sohada ham bo'lishi mumkin. Bu zararning to'liqin vujudiyatidan, bevosita Shredinger tenglamasining yechimidan kelib chiqadi. Bu yechim murakkab bo'lgani uchun biz unga to'xtalmaymiz.

### Savollar

1. De-Broyl gipotezasi nimadan iborat?
2. De-Broyl to'liqin uzunligi ifodasini yozing.
3. De-Broyl gipotezasini isbotlovchi Devisson va Jermelarni elektronlar ustida o'tkazgan eksperimental qurilmasi sxemasini va natijalarini tushuntiring.
4. Tabiatning obyektiv qonuni deb qaralgan Geyzenberning noaniqliklar munosabatini ifodalang.
5. To'liqin funksiyasi va uning statistik ma'nosini tushuntiring.
6. Vaqt ishtirok etmagan turg'un holat uchun Shredinger tenglamasini yozing.
7. Cheksiz chuqur potensial o'radagi harakatlanayotgan zarra uchun Shredinger tenglamasini yozing.
8. Chiziqli harmonik ossillator qanday model sifatida foydalaniladi?

### Masalalar

**73-masala.** Boshlang'ich tezligini hisobga otmastik mumkin bo'lgan elektron  $U$  tezlanitiruvchi potensiallar furoqi orqali o'tadi. Ushbu ikki hol uchun 1)  $U_1 = 51V$  2)  $U_2 = 510 \text{ kV}$ . De-Broyl to'liqin uzunligi  $\lambda$  topilsin.

$$\text{Berilgan: } \frac{U_1 = 51V, U_2 = 510 \text{ kV}}{\lambda \sim ?}$$

**Yechish.** Zarra De-Broyl to'liqinining uzunligi  $\lambda$ , uning impulsi  $R$  ga bog'liq va

$$\lambda = \frac{2\pi\hbar}{P} \quad (1)$$

formula bilan aniqlanadi.

Agar zararning kinetik energiyasi  $W_k$  ma'lum bo'lsa, uning impulsi aniqlanadi. Norelativistik ( $W_k \ll W_0$  da) va relativistik ( $W_k = W_0$  da) holat uchun impulsoning kinetik energiya bilan bog'lanishi mos ravishda quyidagi formulalar bilan ifodalanadi:

$$P = \sqrt{2m_0 W_k} \quad (2)$$

$$P = \frac{1}{c} \sqrt{(2W_0 + W_e)W_e} \quad (3)$$

Norelativistik va relyativistik hollar uchun mos ravishda (2) va (3) munosabatlarni hisobga olganda, (1) formulaga quyidagi ko'rinishda yoziladi:

$$\lambda = \frac{2\pi h}{\sqrt{2m_0 W_e}} \quad (4)$$

$$\lambda = \frac{2\pi h}{\frac{1}{c} \sqrt{(2W_0 + W_e)W_e}} \quad (5)$$

Ma'lumki, U tezlaniruvchi potentsiallar farqini o'tgan elektronning kinetik energiyasi  $W_e = eU$ .

Birinchi holda  $W_0 = eU_0 = 51 \text{ eV} = 0.51 \cdot 10^{-4} \text{ MeV}$ . Bu elektronning tinchlikdagi energiyasi  $W_0 = m_0 c^2 = 0.51 \text{ MeV}$  dan ko'p marta kichik. Demak, (4) formulani qo'llash mumkin.

Hisob-kitobni qisqartirish uchun  $W_0 = 10^{-4} m_0 c^2$  ekanligini nazarga olamiz.

Bu ifodani (4) formulaga qo'yib, uni

$$\lambda_1 = \frac{2\pi h}{\sqrt{2m_0 \cdot 10^{-4} m_0 c^2}} = \frac{10^2 \cdot 2\pi h}{\sqrt{2} m_0 c}$$

ko'rinishda yozib olamiz.

[ $\frac{2\pi h}{m_0 c}$ ] Kompton to'lqin uzunligi  $\lambda_c$  ekanligini hisobga olib, quyidagini olamiz

$$\lambda_1 = (10^2 / \sqrt{2}) \lambda_c$$

$\lambda_c = 2.43 \cdot 10^{-12} \text{ m}$  ekanligidan

$$\lambda_1 = \frac{10^2}{\sqrt{2}} \cdot 2.43 \cdot 10^{-12} \text{ m} = 172 \text{ nm}$$

Ikkinchi holda kinetik energiya  $W_k = (e)U_2 = 510 \text{ keV} = 0.51 \text{ MeV}$ , ya'ni elektronning tinchlikdagi energiyasiga teng. Demak, relativistik formula (5)ni qo'llash kerak.

$W_e = 0.51 \text{ MeV} = m_0 c^2$  ekanligini hisobga olib (5) formulaga binoan quyidagini topamiz

$$\lambda_2 = \frac{2\pi h}{\frac{1}{c} \sqrt{(2m_0 c^2 + m_0 c^2) m_0 c^2}} = \frac{2\pi h}{\sqrt{3} m_0 c} \text{ yoki } \lambda_2 = \frac{\lambda_c}{\sqrt{3}}$$

$\lambda_2$  ning qiymatini oxirgi formulaga qo'yib va hisoblab, natijani topamiz:

$$\lambda_2 = 1.4 \text{ pm}$$

**74-masala.** Vodorod atomidagi elektronning  $W_k$  kinetik energiyasi  $10 \text{ eV}$  ni ishlak etadi. Noaniqlik munosabatidan foydalanib atonning minimal chiziqli o'lchamlari baholanin.

$$\text{Berilgan: } \frac{W_e = 10 \text{ eV}}{\ell \text{ min} \sim ?}$$

**Yechish.** Elektron koordinatasining va impulsining noaniqligi quyidagi munosabat orqali bog'langan.

$$\Delta x \cdot \Delta p \geq \hbar \quad (1)$$

bunda  $\Delta x$  - elektron koordinatasining noaniqligi;  $\Delta p$  - uning impulsining noaniqligi;  $\hbar$  - Plank doimiyi.

Bu munosabatlardan ko'rinib turibdiki, zarraning fazodagi o'rni qanchalik to'g'ri o'lchansa, impulsi va demak, zarraning energiyasi shunchalik noaniq bo'la boradi. Atomning chiziqli o'lchami  $\ell$  bo'lsin, unda atom elektroni  $\Delta x = \ell/2$  noaniqlik saba atrofida bo'ladi. Bu holda (1) noaniqlik munosabatlarini ( $\frac{\ell}{2} \cdot \Delta p \geq \hbar$ )

ko'rinishda yozish mumkin, bundan

$$\ell \geq 2\hbar / (\Delta p) \quad (2)$$

Fizik mantiqqa asosan impulsning noaniqligi  $\Delta p$  har holda impuls  $p$  ning qiymatidan katta bo'lmaydi; kerak, ya'ni

$$\Delta p \leq p$$

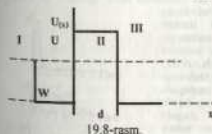
Impuls  $p$  endi kinetik energiya  $W_k$  bilan quyidagi munosabat orqali bog'langan

$p = \sqrt{2m W_k}$ ,  $\Delta p \leq \sqrt{2m W_k}$  qiymat bilan almashiramiz (bunday almashirish  $\ell$  ni o'tirmaydi). (2) tengsizlikdan tenglikka o'tib quyidagini olamiz

$$\ell_{\text{min}} = 2\hbar / \sqrt{2m W_k}$$

Son qiymatlarni qo'yamiz va hisoblab natijasini topamiz

$$\ell_{\text{min}} = 124 \text{ nm}$$



**75-masala.**  $W = 4.9 \text{ eV}$  energiyali elektron  $x$  o'qining musbat yo'nalishi bo'ylab harakatlamoqda (19.8-rasm). Potensial to'siqligining balandligi  $U = 5 \text{ eV}$ . To'siqligining qanday  $d$  qalinligida, elektronning to'siq orqali o'tish ehtimolligi  $E = 0.2$  bo'ladi?

**Yechish.** Zarraning potensial to'siq orqali o'tish ehtimolligi o'zining fizik ma'nosiga ko'ra shaffoflik koeffitsiyenti  $D$  bilan mos keladi ( $W = D$ ). U holda elektronning to'g'ri burchakli potensial to'siqdan o'tish ehtimolligi quyidagi munosabat bilan ifodalanadi:



$$E = \exp\left[-\frac{2}{\hbar}\sqrt{2m(U-W)}d\right] \quad (1)$$

hunda,  $m$  – elektronning massasi (1) ni logariflab, quyidagini olamiz

$$\ln E = -\frac{2}{\hbar}\sqrt{2m(U-W)}d$$

Hisoblash qulay bo'lishi uchun bu tenglikning har ikki tomonini insholarini o'zgartiramiz va  $d$  ni topamiz

$$d = \frac{\hbar \ln(Y_0)}{2\sqrt{2m(U-W)}}$$

Bu formulaga kiruvchi kattaliklarni SI birliklarida ifodalaymiz va hisoblaymiz:

$$d = 4,95 \cdot 10^{-10} \text{ m} = 0,495 \text{ nm}$$

(1) formulani taxminiy ekanligini va hisob-kitob baholash uchungina qilinayotganligini nazarda tutib,  $d \approx 0,5 \text{ nm}$  deb qabul qilish mumkin.

## XX bob. ATOM VA MOLEKULALAR FIZIKASI

### 20.1. Vodorod atomining kvant nazariyasi

Bor atom nazariyasining kamchiliklari aniq bo'lib qolganidan keyin atom jaryonlarini ta'algicha tushuntirib beruvchi umumiy atom nazariyasini yaratishga harakat boshlandi. Atomning bunday nazariyasini kvant mexanikasi asosida yaratishga kiritildi. Natijada atomning Bor nazariyasida postulat tarzida qabul qilingan elektron energiyasining kvantlanishi Shredinger tenglamasi yechimidan  $n=1$  zidan kelib chiqishi ma'lum bo'ldi. Bor atom nazariyasini postulatga tayanib yaratgan bo'lsa, atomning yangi nazariyasida bunga hojat bo'lmadi.

Vodorod atomining asosiy tur-g'un holati uchun Shredinger tenglamasi qanday ko'rinishda bo'lishini ko'raylik. Vodorod atomida elektronning yadrodan uzorligi  $r$  deb belgilasak, uning potentsial energiyasi  $U = -e^2/4\pi\epsilon_0 r$  bo'ladi. Natijada vodorod atomi uchun Shredinger tenglamasi

$$\frac{d^2\psi}{dx^2} + \frac{d^2\psi}{dy^2} + \frac{d^2\psi}{dz^2} + \frac{2m_e}{\hbar^2} \left( W + \frac{e^2}{4\pi\epsilon_0 r} \right) \cdot \psi = 0 \quad (20.1)$$

ko'rinishda yoza olamiz.

(20.1) ko'rinishdagi Differensial tenglamani yechish anchagina murakkab matematik amallarni talab qiladi. Shuning uchun tenglamani qanday yechish yo'lariga to'xtalmay, uni tayyor yechimini muhokama qilamiz.

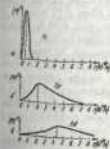
(20.1) tenglama quyidagi ikki holda yechimga ega bo'lishi mumkin: 1)  $W > 0$  qiymatlarda

2)  $W < 0$  ning faqat

$$W = -\frac{m_e e^4}{32\pi^2 \epsilon_0^2 \hbar^2 n^2}; \quad (n = 1, 2, 3, \dots) \quad (20.2)$$

shartni qanoatlantiruvchi diskret qiymatlarida  $W > 0$  bo'lgan hol yadro yaqinidan o'tib, undan cheksizlikkacha uzoqlashayotgan elektroniga,  $W < 0$  bo'lgan hol esa yadroga bog'langan elektronga mos keladi. Demak, Shredinger tenglamasining  $W > 0$  qiymatlaridagi yechimlari vodorod atomini emas, balki atom bo'lib birlamgan yadro va fazodagi erkin elektroni aks ettiradi.  $W < 0$  bo'lgan ikkinchi holdagi yechimlari vodorod atomidagi elektrenni aks ettiradi. Elektron vodorod atomidagi energiya qiymatlarini aniqlovchi (20.2) ifoda Borning vodorod atomining nazariyasidan kelib chiqqan (18.9) ifodaning o'zginasidir. Lekin Bor bu formulani postulatga, ya'ni farazlarga asoslanib chiqargan bo'lsa, kvant mexanikasida esa u Shredinger tenglamasining yechimidan kelib chiqadi. (20.1) tenglamaning yechimlari kvant sonlar deb ataladigan uchta parametrga ega. Birinchisi *asosiy kvant son* deyiladi va  $n$  harfi bilan belgilanadi, ya'ni:

$$n = 1, 2, 3, \dots \quad (20.3)$$



20.1-rasm.

ikkinchisi — *orbital kvant son*,  $l$  harfi bilan belgilanadi, uning yordamida elektron ega bo'la oladigan impuls momentining diskret qiymatlarini quyidagi

$$L = \sqrt{l(l+1)\hbar} \quad (20.4)$$

formula asosida aniqlash mumkin. Orbital kvant soni  $l$  dan  $n-l$  gacha butun musbat qiymatlarga ega bo'la oladi, ya'ni:

$$l = 0, 1, 2, \dots, n-1 \quad (20.5)$$

Uchinchisi — *magnit kvant son*  $m$  bo'lib,  $u = l$  dan 0 orqali  $-l$  gacha bo'lgan butun sonli qiymatlarga ega bo'la oladi, ya'ni:

$$m = -l, -(l-1), \dots, -1, 0, +1, \dots, +(l-1) + l \quad (20.6)$$

Magnit kvant son  $m$  — yordamida elektronning impuls momenti vektori  $L$  ning fazodagi yo'nalishi aniqlanadi  $L$  vektorining  $Z$  yo'nalishiga proyeksiyasi:

$$L_z = \pm m\hbar \quad (20.7)$$

ifoda bilan aniqlanadi.

Vodorod atomidagi elektron energiyasining (20.2) formula bilan aniqlanuvchi har bir qiymatiga bir necha to'liq funktsiya mos keladi, ular bir-biridan  $l$  va  $m$  kvant sonlar bilan farqlanadi. Misol tariqasida  $n = 2$  ga teng bo'lgan holni muhokama qilaylik. Orbital kvant son  $l$  (20.5) shartga asosan, 0 yoki 1 qiymatga ega bo'la oladi.  $l = 0$  bo'lganda magnit kvant son  $m$  (20.6) shartga asosan faqat 0 qiymatini oladi. Bunda elektronning mexanik impuls momenti ham nolga teng bo'ladi. Bu holatda elektron mavjud bo'ladigan fazodagi soha sferik simmetriyaga ega bo'ladi, ya'ni yadro durnalog elektron buluti bilan o'rnatgan deyslik mumkin. Elektron bulutini zich joylari elektron orbitasining birinchi Bor radiusi ( $r_1 = 0,53 \cdot 10^{-10}$  m) ga mos keladi.

Elektron holatlarini belgilashda asosiy kvant sonni raqam bilan, orbital kvant sonni harf bilan ifodalash qabul qilingan.  $l=0$  holatini  $S$  harfi bilan,  $l=1$  holatini  $P$  harfi bilan,  $l=2$  holatini  $d$  harfi bilan belgilanadi. Masalan,  $n=1, l=0$  holatdagi elektroni  $1s$  deb,  $n=2, l=1$  holatdagi elektroni esa  $2p$  deb belgilasa bo'ladi.

Kvant mexanikasida «trayektoriya» tushunchasi ma'noga ega bo'lmaganligi uchun «orbita» tushunchasi ham o'z ma'nosini yo'qotadi. Lekin kvant mexanikasi elektronning fazani qaysi nuqtasida qayd qilish ehtimolligi haqida axborot bera oladi. 20.1-rasmlarda mos ravishda  $1s, 2s, 3d$  holatlardagi elektronlarni yadrodan  $r$  masofadagi nuqtalarda qayd qilish ehtimolligining zichligini tasvirovchi graffiklar keltirilgan. Rasmlardan ko'rinishicha, eng katta ehtimollik bilan elektroni qayd qilish mumkin bo'lgan nuqtalarining geometrik o'rinlari Bor orbitalariga mos keladi.

***1s dan boshqa holatlar uyg'un holatlar*** deyiladi. Atomning asosiy holatdan uyg'un holatga yoki quyiroq uyg'un holatdan quyiroq uyg'un holatga o'tkazish uchun unga tashqirdan energiya berilishi lozim. Bu energiyaning miqdori



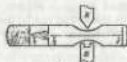
20.2-rasm.

atomning oxiri va boshlang'ich holatlardagi energiyalarning farqiga teng bo'ladi, albatta. Energiya berish yo'llaridan biri atom tomonidan fotoni yutishidir. Foton yutishga teskari jarayon atomning nur chiqarishidir. Shu narsa ayonlik, bu jarayon tufayli atom quyiroq uyg'un holatdan quyiroq uyg'un holatga yoki asosiy holatga o'tadi. Atomning boshlang'ich va oxirgi holatlarining orbital kvant sonlari faqatgina bir birlikka o'zgaradigan, ya'ni  $\Delta l = \pm 1$  bo'ladigan o'tishlarigina amalga oshadi. 20.2-rasmda vodorod atomi spektrini kvant mexanikasi tasavvurlari asosida amalga oshirilgan tasvirlangan.

Demak, Shredinger tenglamasi hech qanday qo'shimcha gepotezaga tayyanmasdan vodorod atomining barcha xususiyatlarini tushuntira oladi.

## 20.2. Stern va Gerlach tajribasi. Elektronning spini

O. Shtern va V. Gerlxlar tajribada tashqi magnit maydonni  $n$  sirlida atom magnit momentlari faroda ixtiyoriy yo'nalishlarda emas, balki ruxsat etilgan tayinli yo'nalishlardagina joylashishini isbotladilar. Bu tajribada qo'llanilgan qurilma 20.3-rasmda tasvirlangan. Qizdiriladigan K kameradan bug'lanib chiqqan atomlar tasmasimon tirqishli to'siqlar ( $T_1$  va  $T_2$ ) dan o'tgach, dasta shakliga keladi. So'ngra atomlar dastasi nihoyat darajada bir jinsli bo'lmagan magnit maydonidan o'tib  $E$  ekraniga tushadi. Kuchli bir jinsli bo'lmagan magnit maydonni elektro-magnit o'zaginging qutblariga maxsus shakl berish bilan hosil qilinadi. Qurilma havosi so'rib olingan maxsus kameraga joylashtirilgan bo'ladi.

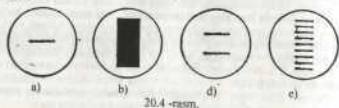


20.3-rasm.

Klassik fizika nuqtayi nazardan qaraganda atomlar dastasi ekranini bir joyiga tushishi kerak, chunki atomlarning magnit momentlari har qanday qiymatni olishi mumkin.

Kvant nazariyasiga ko'ra atomlar dastasi umuman bo'laklarga ajratilmastigi yoki kamida uchta bo'lakka ajralishi kerak. Vodorod atomi dastasi esa magnit momenti nol bo'lgani uchun umuman, bo'laklarga ajratilmastigi kerak edi. Lekin vodorod atomlari dastasi bir jinsli bo'lmagan magnit maydonidan o'tishida ikkiga ajralib, ekranining ikki nuqtasida to'siqdagi tirqishning shakliga o'xshash dog' hosil bo'ladi. Bir valentli Na, K, Ag va boshqa atomlar dastasini ham vodorodga o'xshash ikki bo'lakka ajralishi kuzatiladi. Buning sababi keyinchalik ma'lum bo'ladi. Umuman, Shtern va Gerlx tajribasi atom magnit momentlarini fazoviy kvantlanishini isbotladi. Agar bir jinsli bo'lmagan magnit maydonidan  $R$  — holatdagi  $(l-1)$  atomlar dastasi o'tkazilsa, ular uch bo'lakka ( $2l+1=3$ ) bo'linishini qayd qilindi. Magnit maydon  $t$  sir qilmaganda ekranda 20.4.a-rasmdagi tasvir hosil bo'ladi. Demak, bir jinsli bo'lmagan magnit maydonida harakatlanayotgan atomlarga  $t$  sir etuvchi kuch atom magnit momentining yo'nalishiga bog'liq. Bu kuch  $t$  sirlida atomlar ekranining quyiroq yoki pastroq qizimlariga tushadi. Shuning uchun atomlar dastasida  $R_n$  ning barcha yo'nalishlari mavjud bo'lsa, bu atomlar ekranga tushishi natijasida vujudga kelgan dog'ning shakli 20.4.b-rasmdagidek bo'lishi kerak edi. Tajribalarda esa bunday natijalar mutlaqo kuzatilmadi. Ba'zi hollarda, masalan, simob yoki marganets atomlarining dastalari bilan o'tkazilgan tajribalarda, ekrandagi dog' xuddi hech qanday maydon  $t$  sir qilmagandek (20.4.a-rasmda q) shakliga ega bo'ladi. Boshqa hollarda esa atomlar dastasi komponentlarga ajraladi, natijada ekranda bir necha o'zaro parallel chiziqcha shaklidagi dog'lar hosil bo'ladi. Natriy yoki simob atomlarining dastalari ekranda vujudga keltingan manzara 20.4.v-rasmda, temir

atomlarning dastasi qo'lanilgan tajribada kuzatilgan manzara esa 20.4 c-rasmda tasvirlangan.



20.4-rasm.

Shunday qilib, Shtern va Gerlax tajribasi fazoviy kvantlanish mavjudligini hamda elektronlar va atomlar magnit momentlarining qiymatlari diskret xarakterga ega ekanligini isbotladi.

**Elektron spini.** 1925-yilda amerikalik fiziklar Jorj Ulenbek va Semyuel Gaudsmit agar elektron xususiy mexanik va magnit momentlariga ega deb faraz qilinsa, Shtern va Gerlax tajribalarini ham, atomlarning spektral chiziqlarini bo'linishini ham tushuntirish mumkinligini isbotladilar. Klassik fizika nuqtayi nazaridan qaraganda elektron o'z o'qi atrofida aylanganidagina xususiy impuls va magnit momentga ega bo'ladi. Elektron zaryadga ega bo'lishi natijasida magnit momenti vujudga keladi. Elektronning xususiy impuls momentini spin, xususiy magnit momentini spin magnit momenti deb ataladi.

«Spin» inglizcha so'z bo'lib «aylanmoq» degan ma'noni anglatadi. Bu termin ishlatilishiga sabab, o'sha vaqtda elektronni o'z o'qi atrofida aylanuvchi zaryadli sharcha sifatida tasavvur qilingan. Lekin bunday tasavvur noto'g'ri ekanligi keyinchalik ma'lum bo'ldi. Chunki elektron uchun odatdagi impuls va magnit momenti qiymatini olish uchun u yorug'lik tezligidan yuz martadan ham katta chiziqli tezlikda aylanishi kerak ekan. Bu esa Eynshteyn nisbiylik nazariyasiga zid keladi.

Hozirgi vaqtda elektron spini uni aylanishini bildirmaydi, spin xuddi zaryad va massa kabi elektronning impuls momentini bildiruvchi kattalik hisoblanadi.

Elektronning spini uning aylanishi bilan bog'lash noto'g'ri ekanini zaryadsiz zarracha – neytron ham mexanik momentdan tashqari spin magnit momentiga ega bo'lishda ko'rishimiz mumkin.

Elektron spin mexanik momentini ham orbital mexanik momentga o'xshab kvantlanadi, ya'ni

$$L_{sp} = \frac{\sqrt{3}}{2} \hbar \quad (20.8)$$

ga teng. Spinning tanlab olingan yo'nalishi  $z$  ga (masalan, tashqi magnit maydon yo'nalishiga) proyeksiyasi faqat kvantlangan qiymatlarga ega bo'la oladi, bu qiymatlar quyidagi formula bilan aniqlanadi:

$$L_{sp,z} = s \hbar \quad (20.9)$$

bunda,  $s$  – spin kvant son. U  $n$ ,  $l$ ,  $m$  kvant sonlardan farqlanib kasr qiymatlarga, ya'ni

$$s = -\frac{1}{2} ; +\frac{1}{2} \quad (20.10)$$

ga ega bo'lishi mumkin. Elektronning spin magnit momentining proyeksiyasi va  $L_{sp,z}$  quyidagi munosabat bilan bog'langan:

$$\mu_{sz} = \frac{l}{m_e} L_{sp,z} = -S \frac{\hbar}{2m_e} = \pm \frac{\hbar}{2m_e} = \pm \mu_B \quad (20.11)$$

Demak, elektron spini magnit momentining tashqi magnit maydon yo'nalishiga proyeksiyasi faqat ikki qiymatga ega bo'la oladi, uning absolut miqdori Bor magnetoniga teng. Bir valentli Na, K, Ag va vodorod atomlari dastasini bir jinsli bo'lmagan magnit maydonida ikki komponentaga ajralishining sababi shu tariqa elektron spin magnit momenti orqali tushuntiriladi.

### 20.3. Pauli prinsipi

Pauli atom spektrlarini o'rganib atomda ma'lum bir holatda  $n$ ,  $l$ ,  $m$ ,  $s$  o'rtala kvant sonlari bir xil bo'lgan bitandan ortiq elektroni bo'lishi mumkin emas degan xulosaga keldi.

Demak, kvant mexanikasida atomdagi energetik sathlar o'rtala kvant son bilan xarakterlanadi:

$$\left. \begin{aligned} n &= 1, 2, 3, \dots \\ l &= 0, 1, \dots, (n-1); \\ m &= -l, -(l-1), \dots, (l-1), l; \\ s &= -\frac{1}{2}, +\frac{1}{2} \end{aligned} \right\} \quad (20.12)$$

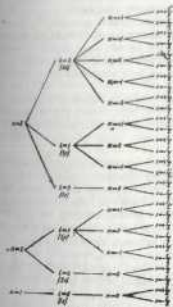
20.5-rasmda  $n=1$ ,  $n=2$  va  $n=3$  bo'lgan energetik sathlar tasvirlangan,  $n$ ,  $l$  va  $m$  kvant sonlarining to'plami bir xil, lekin spin kvant soni bilan farqlanuvchi sathlar ikkita dan bo'ladi.

Pauli prinsipi bo'yicha atomdagi bir energetik sathda ikkita elektron bo'lsa, ular qarama-qarshi spinga ega bo'lishi kerak. Atomda ayni bir  $n$  bosh kvant soni uchun bo'lishi mumkin bo'lgan energetik sathlarning umumiy sonini hisoblaylik.

Agar  $n$  va  $l$  larning qiymatlari o'zgarmasdan  $m$  va  $s$  lari bilan farqlanuvchi sathlar sonini topish kerak bo'lsa, har bir  $n$  va  $m$  ning  $2l+1$  ruxsat etilgan qiymati bor. Demak,  $n$  va  $s$  larning ayni to'plami  $(2l+1)$  sathdan iborat. Nihoyat, ayni  $n$  uchun  $l$ ,  $m$  va  $s$  lari bilan farqlanuvchi sathlar sonini topaylik. (20.12) ga asosan, ayni  $n$  uchun  $l$  ning qiymatlari 0 dan  $n-1$

gacha bo'lgan butun musbat sonlarni egallashi mumkin. Shuning uchun asosiy kvant son  $n$  ning ayni qiymati bilan ifodalanuvchi sathlar soni

$$\sum_{l=0}^{n-1} 2(2l+1) = 2n^2 \quad (20.13)$$



20.5-rasm.

bo'ladi.

Sathlar soni ham elektronlar soniga teng bo'ladi. 20.5-rasmda  $n=1, n=2$  va  $n=3$  bo'lgan energetik sathlar tasvirlangan,  $n=1$  bo'lganda sathlar soni 2 ta,  $n=2$  bo'lganda sathlar soni 8 ta,  $n=3$  bo'lsa, sathlar soni 18 ga teng. Masalan, vodorod atomida  $n=1$  bo'lgan ikkala sath bir xil energiyaga ega bo'ladi ( $n=2$  bo'lgan sakkizta sathning hammasi aynan bir xil energiyaga ega bo'ladi (aynigan sathlar hisoblanadi). Lekin ko'p elektronli atomlarda o'zaro ta'sir tufayli sathlar aynishi yo'qoladi va atomdagi energetik sathlarning energiyalari boshqa kvant sonlarga ham bog'liq bo'lib qoladi.

Ko'p elektronli atomlarda ayni bir bosh kvant soni  $n$  ga to'g'ri kelgan elektronlar to'plami elektron qobigini hosil qiladi. Har bir qobiq  $l$  kvant soniga mos holda qobiqchalariga bo'linadi. Ma'lumki, orbital kvant soni  $l=0$  dan  $n-1$  gacha bo'lgan qiymatni qabul qilgani uchun qobiqdagi qobiqchalarni soti  $n$  tartibida bo'ladi.

Shunday qilib, Pauli prinsipi quyidagicha ta'riflanadi: **Atomdagi  $n, l, m, s$  kvant sonlar to'plami bilan xarakterlanuvchi ixtiyoriy energetik sathda bittadan ortiq elektron bo'lishi mumkin emas.**

#### 20.4. D. I. Mendeleev elementlar davriy sistemasi

1869-yilda rus olimi D.I.Mendeleev elementlarning atom massalari bo'yicha ma'lum bir sistemaga solishga erishdi va atom fizikasining asosi bo'lgan tabiatning fundamental qonuni – elementlar davriy sistemasini yaratdi. Agar elementlarning massalarini ortib borishi tartibida joylashtirilsa, ma'lum bir tartib raqami oralig'ida, ya'ni **biror davrda**, ularning ko'pgina kimyoviy va fizik xossalari takrorlanishi ma'lum bo'ladi.

Masalan, litiy bir valentli ishqoriy metall bo'lib, tartib raqami  $Z=3$  ga teng. Yana 8 ta tartib raqamidan keyin kelgan natriy ( $Z=11$ ) ham, undan yana 8 ta raqam keyin joylashgan kaliy ( $Z=19$ ) ham litiyga o'xshab ishqoriy metall hisoblanadi. Bunday ishqoriy metall xossasi 18 tartib raqamdan keyin rubidy ( $Z=37$ ) va sezilyda ( $Z=55$ ) ham takrorlanadi.

Davriy sistema yaratilgan vaqtda 64 ta kimyoviy element borligi ma'lum edi. D.I.Mendeleev tomonidan katakchalarga davriy sistemadagi elementlar birin-ketin qo'yib chiqarilgandan keyin ayrim katakchalar bo'sh qoldirdi. Mendeleev bu bo'sh katakchalarni to'ldirishi mumkin bo'lgan, hali topilmagan kimyoviy elementlarning xossalari o'zlaridan aytib berdi. Masalan, shunday yo'l bilan Fransiyada davriy sistemada ruxdan keyin joylashgan gallyi elementi kashf etildi. Undan keyin selen (*Se*), germaniy(*Ge*) va boshqa kimyoviy elementlar ham kashf etilib, davriy sistemadagi bo'sh kataklar to'lib bordi. Bulardan tashqari, D.I.Mendeleev ba'zi elementlarning atom og'irliklarini to'g'riligini tekshirishga muvaffiq bo'ldi. Masalan, *Be* va *U* ning atom og'irliklarini tablitasi asosida hisoblab chiqardi. Keyinchalik ma'lum bo'ldiki, kimyoviy elementning davriy sistemadagi tartib raqami atom yadrosi zaryad sonini yoki yadro atrofidagi elektronlar sonini bildirar ekan. Elementning davriy sistemadagi tartib raqami organ sari uni massasi ham, yadro zaryadi ham ortib boradi. Yadro atrofida aylanuvchi elektronlar erg kichik energiyali holatni olishga intilishi natijasida hammasi birinchi Bor orbitasida aylanishlari lozim edi. Agar birorta elektron qo'shilganda ham elementlarning xossalari inchaalik o'zgartirilmagani kerak. Ammo bizga ma'lumki, bitta elektron bilan farq qiluvchi argon ( $Z=18$ ) inert gaz, kaliy ( $Z=19$ ) alkaliy metall, shunday bo'lsa kripton ( $Z=36$ ) va rubidy ( $Z=37$ ), ksenon ( $Z=54$ ) va sezily ( $Z=55$ ), radon ( $Z=86$ ) va

fransiy ( $Z=87$ ) juftlarida ham kuzatishimiz mumkin. Bu elementlar bitta elektroni bilan farq qilgani holda, birinchilari inert gaz, ikkinchilari esa ishqoriy metallardir.

Atomning tartib raqami organ sari uni o'ichami urliksiz kichiklashib borishi kerak, chunki elektronlar soni organ sari Kulon tortishish kuchlari ham ortib boradi. Lekin amal atomlarning o'ichami bir davr elementlaridan boshqa davr elementlariga o'lganda o'zliksiz holda emas aniq bir qiymatni olgan holda keskin ortib ketadi (20.1-jadval)

20.1-jadval

I davr elementlari	Li	Be	B	C	N	O	F
Diametr, Å	3,10	2,26	1,82	1,54	1,42	1,32	1,28
II davr elementlari	Na	Mg	Al	Si	P	S	Cl
Diametr, Å	3,78	3,29	2,89	2,68	2,60	2,08	1,98

Masalan, bunga misol qilib ikkinchi davr oxiridagi flor (*F*) bilan uchunchi davr boshidagi natriyni olishimiz mumkin. Atom o'ichamini bir davrdan boshqa davrga o'lganda keskin o'zgarib ketishini nima bilan izohlashni Pauli taqsimot prinsipi yaratilganicha bilishmas edi.

Hozirgi vaqtda davriy sistemadagi harcha elementlarning elektronlari Pauli prinsipiga bo'ysungan holda energetik sathlar bo'yicha qanday taqsimlanishi ma'lum. Biz birinchi element vodoroddan boshlaylik. Uning bittagina elektroni bor.

Bu elektron Pauli va minimal energiya prinsipiga asosan  $n=1, l=0, m=0, s=-\frac{1}{2}$  kvant sonlar bilan ifodalanuvchi 20.5-rasmida tasvirlangan 1S energetik sathni egallaydi. Gely atomida ikkita elektron 1S holatda spinlari antiparallel bo'lgan holda joylashadi va  $1^2S$  ko'rinishda (1S holatda 2 elektron) yuziladi. Geliyda *K* - qobiq 2ta elektron bilan to'ldi. Natijada davriy sistemadagi 1 davr tugaydi (20.2-jadval).

Litiydagi ( $Z=3$ ) uchinci elektron Pauli prinsipiga ko'ra to'lgan *K* - qobiqqa joylashishi mumkin emas, u  $n=2$  bo'lgan *L* - qobiqdagi eng kichik 2S energetik sathni egallaydi. Litiyda elektronlarni qobiqlar bo'yicha taqsimlanishi 1S<sup>2</sup> 2S<sup>1</sup> ko'rinishida belgilanadi. To'rtinchi element Ber ( $Z=5$ ) dan boshlanib *Ne* - neondagi 2S qobiqcha to'ldi. Berolinda keyingi element Bor ( $Z=5$ ) dan boshlanib *Ne* - neondagi 2S qobiqcha to'ldi. Berolinda elementda 2p qobiqchani to'lishi tugallandi. Sistema II davr inert gaz neon bilan tugaydi, neonda *L* - qobiq to'lgan bo'ladi (20.2-jadval).

20.2-jadval

Davriy	Z	l	K		L			M			N			
			1S	2S	2R	3S	3R	3d	4S	4P	4d	4F		
I	1	H	1											
	2	He	2											
	3	Li	2	1										
	4	Be	2	2										
	5	B	2	2	1									
II	6	C	2	2	2									
	7	N	2	2	3									
	8	O	2	2	4									
	9	F	2	2	5									
	10	Ne	2	2	6									

Ishqoriy metallardan boshlanib, inert gazlarda tugaydi. Keyingi inert gazlarning ham oxiri tashqi  $S$  va  $R$  qobiqlari to'lgan bo'ladi.

Davriy sistemadagi lantanoidlar deb ataluvchi bir guruh elementlari (lantandan ( $Z=57$ ) boshlab lyutetsiy ( $Z=71$ ))gacha xossalari bir xil bo'lgani uchun bir qatorga, yana aktinoidlar nomini olgan bir guruh elementlari (aktiniy ( $Z=89$ ))dan boshlab loursensiy ( $Z=103$ )gacha yana bir boshqa qatorga joylashga to'g'ri kelgan. Chunki aktinoidlarning xossalari bir-biriga o'xshash.

Lantanoidlarning xossalari o'xshash bo'lishiga tashqi  $R$  va  $Q$  qobiqlarda bir xil, ya'ni  $6S$  va  $7S$  sathlarda ikkidan elektron bo'lishi sabab bo'ladi.

Shunday qilib, davriy sistemadagi elementlarning xossalari bir-biriga yaqin bo'lishiga ularning tashqi elektron qobig'i o'xshashligi sabab bo'lar ekan. Masalan, inert gazlarning hammasining tashqi qobig'ida 8 tadan elektron bo'ladi. Ya'ni doimo  $S$  va  $R$  qobiqlarda elektron bilan to'lgan bo'ladi. Ishqoriy metallarning ( $Li, Na, K, Rb, Cs, Fr$ )  $S$  - qobiqlarida doimo bittadan elektron, ishqoriy - yer metallariga ( $Be, Mg, Ca, Sr, Ba, Ra$ )  $S$  - sathda 2 tadan elektron, gologenlarning ( $F, Cl, Br, I, At$ ) tashqi qobig'ini to'lishga bittadan elektron yetishmaydi va kokazo.

### 20.5. Molekularlar. Molekular kimyoviy bog'lanishning fizik tabiati

Molekula deb, bir xil yoki har xil element atomlarining kimyoviy birikishidan tashkil topgan va ma'lum bir moddaning kimyoviy va fizik xususiyatlarini o'zida namoyanlashtirgan eng kichik zarrachaga aytiladi. Masalan, vodorod ( $H_2$ ), kislorod ( $O_2$ ), azot ( $N_2$ ) bir xil atomlardan tuzilgan molekularlardir, osh tuzi molekuli ( $NaCl$ ) esa har xil elementlardan tashkil topgan molekula misol bo'ladi. Molekuladagi atomlarning kimyoviy bog'lanishi ularning tashqi valent elektronlari o'zaro bir-biriga bog'lanishi bilan bog'lanadi. Ko'pincha molekularlar *kovalent* va *ionli* bog'lanish uchraydi.

Ionli (geteropolar) bog'lanishi hosil bo'lishi bilan yaqindan tanishaylik. Ishqoriy metallardagi valent elektron yadro bilan zaif bog'langan. Gologen atomlarida esa tashqi elektron qobig'ini to'lishiga bitta elektron yetishmaydi. Shuning uchun ishqoriy metall atomi bilan gologen atomi yaqinlashganda ishqoriy metallning bitta elektroni gologen atomiga o'tadi. Natijada, ishqoriy metall musbat, gologen atom esa manfiy ionga aylanadi. Bu musbat va manfiy ionlar o'zaro elektrostatik Kulon kuchi bilan o'zaro tortishishi natijasida birikib, molekularni hosil qiladi. Ion bog'lanishlarga  $NaCl, KBr$  misol qilishimiz mumkin.

Kovalent bog'lanishi molekularlarga misol qilib  $H_2, C_2, N_2$  molekularini olish mumkin. Bir xil element atomlaridan tashkil topgan molekuladagi bog'lanishi *gomonopolar* (grekcha «gomco», ya'ni «bir xil») degan so'zdan olingan *bog'lanish* yoki *kovalent bog'lanish* deyiladi. Kovalent bog'lanishi hosil bo'lishini kvant mexanikasi nuqtayi nazaridan ko'rib chiqaylik. Uning mohiyatini vodorod molekuli misolida muhokama qilaylik. Alohida joylashgan vodorod atomlaridagi elektronlarning yadro atrofida bo'lish ehtimolligi  $S$  holatida ( $l=0$ ) sferik - simmetrik xarakterga ega, boshqacha qilib aytganda yadro atrofidagi «elektron buluti» biror radiusli sferadan iborat bo'ladi. Agar ikki vodorod atomi bir-biriga Bor radiusicha namoqada yaqinlashsa, ikkala atomning elektron bulutlari tutashib ketadi. Buni mamofada yaqinlashsa, ikkala atomning elektron bulutlari yaqinlashganda birinchi atom quyidagicha tushuntirish mumkin; atomlar bir-biriga yaqinlashganda birinchi atom elektroni ikkinchi atom yadrosi atrofida, ikkinchi atom elektroni esa birinchi atom yadrosi atrofida qayd qilish ehtimolligi nolidan farqli bo'ladi, bunda, birinchi atomning elektroni yoki ikkinchi atomning elektroni degan so'z ma'nosini yo'qotadi. Bu hol uchun kvant mexanikasidagi bir xil zarrachalarni farq qilmaslik

III	11	Na	2	2	6	1	-	-			
	12	Mg	2	2	6	2	-	-			
	13	Al	2	2	6	2	1	-			
	14	Si	2	2	6	2	2	-			
	15	P	2	2	6	2	3	-			
	16	S	2	2	6	2	4	-			
	17	Cl	2	2	6	2	5	-			
	18	Ar	2	2	6	2	6	-			
	I V	19	K	2	2	6	2	6	-	1	
		20	Ca	2	2	6	2	6	-	2	
21		Sc	2	2	6	2	6	1	-	2	
22		Ti	2	2	6	2	6	2	-	2	
23		V	2	2	6	2	6	3	-	2	
24		Cr	2	2	6	2	6	5	-	1	
25		Mn	2	2	6	2	6	5	1	-	
26		Fe	2	2	6	2	6	5	2	-	
27		Co	2	2	6	2	6	7	2	-	
28		Ni	2	2	6	2	6	8	2	-	
	29	Cu	2	2	6	2	6	10	1	-	
	30	Zn	2	2	6	2	6	10	2	-	
	31	Ga	2	2	6	2	6	10	2	1	
	32	Ge	2	2	6	2	6	10	2	2	
	33	As	2	2	6	2	6	10	2	3	
	34	Se	2	2	6	2	6	10	2	4	
	35	Br	2	2	6	2	6	10	2	5	
	36	Kr	2	2	6	2	6	10	2	6	

Natriydagi  $3S$  va litiydagi  $2S$  - sathlarda bittadan elektron bo'lgani uchun ularning kimyoviy va fizik xossalari o'xshash bo'lib, ishqoriy metallar guruhiga kiradi. Magniydan ( $Z=12$ ) boshlab  $M$  - qobiqni to'lishi boshlandi va argonda ( $Z=18$ ) tugaydi. Argon ham  $He, Ne$  ga o'xshab inert gazdir. III davr argon bilan tugaydi.

Kaliy ( $Z=19$ ) o'pik va kimyoviy xossalari xuddi  $Li$  va  $Na$  atomlariga o'xshaydi. Bu shundan dalolat beradiki, elektronlarning o'zaro ta'siri tufayli  $n-4, l=0$  holat  $n=3, l=2$  holatga qaraganda kichik energiyaga ega bo'lib qolar ekan. Shuning uchun kaliyning 19 - elektroni  $M$  - qobiqning 3d qobiqlarida joylashmagan  $N$  - qobiqning 4s qobiqlarida joylashar ekan. Natijada kaliy ham ishqoriy metall bo'lib qoladi.

Kalsiyning ( $Z=20$ ) spektroskopik va kimyoviy xossalari ham uni 20 - elektroni 4s sathda joylashganini ko'rsatadi. Keyingi 21 - element akandiy ( $Sc$ )dan boshlanib  $M$  - qobiqni 3d qobiqlarida ham to'la boshlaydi va uni to'lishi  $Zn$ -rux ( $Z=30$ ) tugaydi. Keyingi  $N$  - qobiqni to'lishi  $Kr$ -kriptonda ( $Z=36$ ) tugaydi.  $Ne$  va  $Ar$  ga o'xshab, kriptoni ham tashqi  $S$  va  $R$  qobiqlarini to'lgan bo'ladi. IV davr shu kriptoni-inert gaz bilan tugaydi.

Shunday mulohazalar Mendeleev jadvalidagi boshqa elementlarga ham tegishli. Yana shuni ham aytib o'tish kerakki, elementlarning keyingi davrlari ham



orbitasining radiusi). Bu holatni tasvirovchi to'liq funksiyasi ma'lum deb hisoblanadi.

**Berilgan:**  $1s, r = 0,1a$   
 $E \sim ?$

**Yechish.** Elektronning r,θ,φ koordinatali nuqta atrofidagi dV hajmda topish ehtimolligi,

$$dE = |\psi_{n,\ell,m}(r,0,\varphi)|^2 dV$$

tenglik bilan aniqlanadi.

Is holatda to'liq funksiyasi ψ sferik, ya'ni faqat r gagina bog'liq bo'ladi, shuning uchun

$$dE = |\psi_{100}(r)|^2 dV \quad (1)$$

bunda, ψ<sub>100</sub>(r) - asosiy holatga mos keluvchi normalashtirilgan xususiy to'liq funksiyasi:

$$\psi_{100} = \frac{1}{\sqrt{\pi a^3}} e^{-r/a}$$

Funksiya sferik bo'lganligidan elektronni r masofada topish ehtimolligi hamma yo'nalishlarda bir xil bo'ladi. Shuning uchun ham ehtimollikning bir xil zichligiga mos keluvchi dV hajm elementini r radiali va dr qalinlikdagi sfera qatlarning hajmi ko'rinishda tasavvur qilish mumkin;

ψ<sub>100</sub>(r) va dV larning ifodalari hisobga olganda (1) formula quyidagi ko'rinishda yoziladi:

$$dE = \left| \frac{1}{\sqrt{\pi a^3}} e^{-r/a} \right|^2 4\pi r^2 dr = \frac{4}{a^3} e^{-2r/a} r^2 dr.$$

Ehtimollikni hisoblashda uzunlik birligi sifatida birinchi Bor orbitasining radiusi a ni qabul qilib, atom birliklariga o'tish qulaydir. Agar ζ = r/a o'lchamiz kattalikni kiritsak, u holda

$$r^2 = \zeta^2 a^2, dr = a d\zeta \quad \text{ea} \quad dE = 4e^{-2\zeta} \zeta^2 d\zeta.$$

de ni r<sub>1</sub>=0 dan r<sub>2</sub>=0,1a gacha (yoki ζ<sub>1</sub>=0 dan ζ<sub>2</sub>=0,1 gacha) chegarada integrallab ehtimollikni topamiz:

$$E = 4 \int_0^{0,1} \zeta^2 e^{-2\zeta} d\zeta.$$

Bu integralni bo'laklab integrallash usuli bilan aniq hisoblanishi mumkin, lekin kichik ζ larda (ζ<sub>max</sub>=0,1) e<sup>-2ζ</sup> ifodani Makleron qatori

$$e^{-2\zeta} = 1 - 2\zeta + \frac{1}{2!}(2\zeta)^2 + \dots$$

ga yoyish va taxminiy hisoblash ham mumkin.

Darajasi biridan yuqori bo'lgan barcha hadlarni inobatga olmay, integralni

$$E = 4 \int_0^{0,1} (1 - 2\zeta) \zeta^2 d\zeta = 4 \int_0^{0,1} \zeta^2 d\zeta - 8 \int_0^{0,1} \zeta^3 d\zeta$$

ko'rinishda yozamiz.

Birinchi va ikkinchi integrallar mos ravishda quyidagi natijalarni beradi:

$$4 \left[ \frac{\zeta^3}{3} \right]_0^{0,1} = \frac{4}{3} 10^{-3} \quad \text{ea} \quad 8 \left[ \frac{\zeta^4}{4} \right]_0^{0,1} = 0,2 \cdot 10^{-3}$$

Shunday qilib, qidirilayotgan ehtimollik  
 $E = 1,33 \cdot 10^{-3} - 0,2 \cdot 10^{-3} = 1,13 \cdot 10^{-3}$ .

**77-masala.** Neptuniy yadrosi  ${}^{234}_{93}\text{Np}$  atomning K - qobig'idagi elektroni tutilib oldi (K- tutilishi) va α- zarrani chiqardi. Bu o'zgarishlar natijasida qaysi elementning yadrosi hosil bo'ladi?

**Berilgan:**  $\frac{{}^{234}\text{Np}}{Y \sim ?}$

**Yechish.** Atomning yadroga eng yaqin bo'lgan elektron qobig'idan (K-qobig) K- tutilishda elektron yadro tomonidan tutiladi. Buning natijasida yadrodagi proton neytronga aylanadi. Yadrodagi nuklonlarning umumiy soni o'zgarmaydi, zaryad soni esa bittaga kamayadi. Shuning uchun oraliq yadro 93-1=92 zaryad soniga ega bo'ladi; massa soni esa oldingidek 234 bo'lib qolaveradi. D.I.Mendeliev yadvalidan oraliq yadro umimgin  ${}^{234}_{92}\text{U}$  izotopi ekanligini aniqlaymiz.

Oraliq yadro α- zarrani chiqaradi α- zarra (geliy  ${}^4_2\text{He}$  izotopining yadrosi) ikkita proton va ikkita neytronidan iborat bo'lganligidan, oraliq  ${}^{234}_{92}\text{U}$  yadro α- zarra chiqarishi natijasida zaryad sonini ikki birlikka va massa sonini to'rt birlikka kamaytiradi. Shunday qilib, oxirgi yadro Z=90 va A=230 ga ega bo'lib, u toriyning  ${}^{230}_{90}\text{Th}$  izotopidir.

$$Y = {}^{230}_{90}\text{Th}$$

**78-masala.** Elektron g'alayonlangan vodorod atomida 3r - holatda. Atomning asosiy holatga o'tishida elektronning harakati natijasida vujudga kelgan magnit momentining o'zgarishi aniqlansin.

**Berilgan:**  $\frac{{}^1H_s \quad 3p}{\Delta M_e \sim ?}$

**Yechish.** Magnit momentining o'zgarishi ΔM<sub>e</sub> ni oxirgi (asosiy) va boshlang'ich (g'alayonlangan) holatlari magnit momentlarning farqi sifatida, ya'ni ΔM<sub>e</sub> = M<sub>e<sub>1</sub></sub> - M<sub>e<sub>2</sub></sub> kabi topamiz.

Elektron orbital harakatining magnit momenti faqat orbital kvant soni  $\ell$  ga bog'liq bo'ladi:

$$M_z = M_z \sqrt{\ell(\ell+1)}$$

Bundan, asosiy holatda  $\ell=0$  va  $M_z=0$ , g'alayonlangan ( $3z$ ) holatda  $\ell=1$  va

$$M_z = M_z \sqrt{2}. \text{ Binobarin, magnit momentning o'zgarishi}$$

$$\Delta M_z = -M_z \sqrt{2}$$

Ma'niy ishora mazkur holda magnit momenti kamayganligini ko'rsatadi:

$$M_z = 0,927 \cdot 10^{-23} \text{ J/T}$$

qiyamtni qo'yib, natijani olamiz:

$$M_z = 1,31 \cdot 10^{-23} \text{ J/T}.$$

## XXI bob: KVANT STATISTIKASI ELEMENTLARI

### 21.1. Kvant tizimining statistik tavsifi

Moddalar tartibsiz, issiqlik harakat qiluvchi atom va molekullardan tashkil topgan. *Moddalarning atom va molekullari haqidagi ma'lumotlarga asoslanib, ularning makroskopik sistema xossalarini o'rganuvchi fikrining bo'lumiga statistik fizika deyiladi.* Statistik usullar ehtimollar nazariyasi va statistik matematika qonunlariga asoslanadi. Statistik qonunlarni o'rganish natijasida makro sistema xossalarini tekshirish mumkin. Bu tekshirishlar sistema tarkibiga kirgan zarrachalarning ichki xossalariga, ularning harakatiga, o'zaro va tashqi muhit (jism) bilan ta'sirlashishlariga bog'liq bo'ladi.

Nyuton mexanikasiga bo'yusuvchi ko'p sonli zarralardan tashkil topgan makro sistemalarning xossalarini (masalan, gazning energiyasini, uning idish devoriga bosimini, termodinamik jarayonlarda issiqlik, ish va boshqa kattaliklar orasidagi bog'lanishlarni) klassik statistika o'rganadi. Kvant mexanikasi qonunlariga bo'yusuvchi ko'p sonli mikro zarrachalardan tashkil topgan sistemalarning xossalari (masalan: kristall panjaraning issiqlik sig'imi, qat'iy jismlarning issiqlik va elektr o'tkazuvchanligi, issiqlik nurlanishi energiyasi va h.k.k.) ni kvant statistikasi o'rganadi.

Statistik qonuniyatlarni miqdoriy jihatdan tavsiflash uchun ko'p o'lchovli cheksiz fazodan foydalanamiz. Cheksiz fazoni statistikada *fazoviy fazo* deb yuritiladi.

Zarraning fazoviy fazosi deganda olti o'lchovlik fazo tushuniladi, unda uch o'q yordamida zarra koordinatalari va qolgan uch o'q yordamida impuls komponentlari ifodalanaadi. Berilgan sistema  $N$  zarradan tashkil topgan bo'lsa, fazoviy fazo  $6N$  o'lchovli bo'ladi. O'qlardan  $3N$  tasi sistemadagi barcha zarralar koordinatalariga proyeksiyasiga, qolgan  $3N$  o'qlar esa mos ravishda impulsning proyeksiyalariga tegishli. Sistema bitta erkinlik darajasi bilan xarakterlan - fazoviy fazo ikki o'lchovli, erkinlik darajasi  $n$  bo'lsa -  $2n$  o'lchovli bo'ladi.

Agar zarralar koordinatalarini  $q_i (i=1, 2, \dots, 3N)$ , impulsining proyeksiyalarini  $R_i (i=1, 2, \dots, 3N)$  bilan belgilasak,  $6N$  o'lchamli fazoviy fazodagi hajm elementi barcha  $6N$  koordinatalar differensiallarining ko'paytmasi ko'rinishida quyidagicha ifodalanadi:

$$dV = dq_1 \cdot dq_2 \cdots dq_{3N} \cdot dp_1 \cdot dp_2 \cdots dp_{3N} = dq \cdot dp \quad (21.1)$$

Bu hajm qancha katta bo'lsa, sistema holatini ifodalovchi fazoviy nuqtani shu hajm ichida bo'lish ehtimolligi ham shuncha katta bo'ladi, ya'ni:

$$dW(q, p) = f(q, p) dq dp \quad (21.2)$$

Bu ifodadagi  $f(q, p)$  - taqsimot funksiyasi, u sistema holatining ehtimollik zichligi vazifasini bajaradi. Shuning uchun sistemaning amalga oshishi mumkin bo'lgan barcha holatlar ehtimolliklarining yig'indisi 1 ga teng bo'lishi kerak:

$$\int dW(q, p) = \int f(q, p) dq dp = 1 \quad (21.3)$$

(21.3) ifodani ehtimollikni *normalash sharti* deb ataladi. Uning ma'nosi shundan iboratki, agar zarra mavjud bo'lsa, fazoviy fazoning qayeridadir topilishi muqarrar hodisadir. Taqsimot funksiya ma'lum bo'lgan holda sistemaning birez xossasini ifodalovchi  $x$  kattalikning o'rtaacha qiymatini quyidagicha aniqlash mumkin:



$$\langle x \rangle = \int x(q, p) dW(q, p) = \int x(q, p) f(q, p) dq \cdot dp \quad (21.4)$$

Taqsimot funksiyasini topishga erishish muhim ahamiyatga ega, chunki u makro sistema xosxasi x ning hisoblanish va tajribada aniqlangan qiymatlari bir xil bo'lishini ta'minlashga xizmat qiladi. Endi esa biz kvant va klassik statistikalarini orasidagi umumiylikni va farqni oydinlashtirib olaylik.

Yuqorida bayon etilgan fikrlar ham klassik, ham kvant mexanikasi qonunlariga bo'yusuvchi ko'p sonli zarralardan tashkil topgan sistemalarning xossalari o'rganish uchun umumiydir. Ular orasidagi farq esa klassik va kvant zarralar holatlarining xossalari bilan belgilanadi:

a) kvant zarralarining holatlari diskret o'zgaradi, klassik zarralariniki esa uzluksiz o'zgaradi;

b) berilgan holatdagi bir xil kvant zarralari (masalan, elektron, protonlar) mutlaqo bir-birlaridan farq qilmaydilar (o'xshash zarralarning o'zaro farqlanmaslik prinsipi), klassik statistikada bir-biridan farqlanadi (o'xshash zarralarning o'zaro farqlanish prinsipi) deb hisoblanadi;

d) kvant zarralari o'zining xususiy mexanik momentiga, ya'ni spiniga ega;

e) kvant zarralari korpuskular - to'loqin xususiyatiga ega bo'lganliklari tufayli, noaniqliklar prinsipiga binoan, fazoviy fuzodagi hajm elementi  $dq \cdot dr \geq h'$  dan kichik bo'la olmaydi. Binobarin, ulti o'lichamli fazoviy elementar bo'lakchasi hajmining qiymati quyidagi ifoda bilan aniqlanadi:

$$(\Delta X \cdot \Delta Y \cdot \Delta Z \cdot \Delta P_x \cdot \Delta P_y \cdot \Delta Z_z)_{\min} = h^3 \quad (21.5)$$

f) klassik statistikaga asosan bir vaqtda bitta holatda (ixtiyoriy sonli zarralar bo'lishi mumkin. Kvant statistikasi esa mazkur savolga quyidagicha javob beradi:

spinlari 0 va  $\pm \frac{h}{2}$  ga juft son marta karrali bo'lgan zarralar, ya'ni bozonlar uchun taqsimot funksiyasi quyidagi ko'rinishga ega va uni  $W$ , energiyali holatdagi zarralarning o'tiracha soni **Boze-Eynshteyn taqsimoti** deb atalsadigan

$$\langle N_i \rangle = \frac{1}{e^{(w_i - \mu)/kT} - 1} \quad (21.6)$$

ifoda yordamida aniqlanadi. Bu ifodadagi  $\mu$  - kimyoviy potensial bo'lib, uning qiymati barcha  $\langle N_i \rangle$  lar yig'indisi sistemadagi zarralar soni  $N$  ga teng (ya'ni  $\sum_i \langle N_i \rangle = N$ ) bo'lishi shartidan aniqlanadi.

Spinlari  $\pm \frac{h}{2}$  ga toq son marta karrali bo'lgan zarralar, ya'ni fermionlar uchun esa taqsimot funksiyasini **Fermi-Dirak taqsimoti** deyiladi.

Fermionlarning energiyalar bo'yicha taqsimoti

$$\langle N_i \rangle = \frac{1}{e^{(w_i - \mu)/kT} + 1} \quad (21.7)$$

munosabat bilan ifodalanadi. **Fermionlar** (Fermi-Dirak taqsimoti o'rinni bo'lgan zarralar) uchun Pauli prinsipi o'rinni bo'ladi, ya'ni bir vaqtning o'zida aynan bir

kvant holatda bittadan ortiq fermion bo'lishi mumkin emas. **Bozonlar** (Boze-Eynshteyn taqsimoti o'rinni bo'lgan zarralar) uchun esa Pauli prinsipi bajarilmaydi, ya'ni bir vaqtning o'zida aynan bir kvant holatda bitta emas, balki (ixtiyoriy) sondagi bozonlar bo'lishi mumkin. Fermionlardan tashkil topgan sistema (fermi gaz) va bozonlardan tashkil topgan sistema (boze gaz) xossalari klassik statistikaga bo'yusuvchi sistema (ideal gaz) xossalariidan keskin farqlanadi.

## 21.2. Metallardagi elektronlarning kvant statistikasi

Metallardagi elektronlarni ikki xilga ajratib o'rganamiz:

1) bog'langan elektronlar kristal panjar tuginlaridagi ion tarkibiga kiradi;

2) erkin elektronlar metallidagi barcha ionlarga taalluqi. Erkin elektronlar metal parchasining sirti bilan chegaralangan hajmda harakatlanadi.

Metallarning ko'pchilik xossalari, asosan, erkin elektronlar holati bilan aniqlanadi. Metallidagi erkin elektronlar gazini ideal gaz deb tasavvur etish mumkin.

21.1-ravda elektron gaz uchun kvant



21.1-rasmi.

holatlari zichligi  $\frac{dN}{dW}$  ni energiya  $W$  ga bog'liqlik

grafigi tasvirlangan. Shtrixlangan yuza energiyali  $W$  dan  $W + \Delta W$  sohagacha bo'lgan kvant holatlari sonini ifodalaydi. Rasmdan ko'rinadiki,  $W$  ortishi bilan birday  $\Delta W$  sohaga mos keluvchi kvant holatlari soni ham ortib boradi. Boshqacha aytganda, kvant holatlarga mos keluvchi energetik sathlar  $W$  kattaroq bo'lganda zichroq joylashadi (21.2-rasmi).

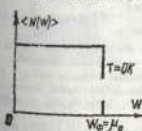


21.2-rasmi.

Elektron spini  $\pm \frac{h}{2}$  ga teng bo'lgani uchun ularni

energetik sathlar bo'yicha taqsimlanishi Fermi-Dirak taqsimoti (21.7) ga bo'yusadiki. Agar elektron gazning  $T=OK$  haroratidagi kimyoviy potensialini  $\mu_0$  bilan belgilasak,  $W$  energiyali kvant holatdagi elektronlarning o'tiracha soni

$$\langle N(w) \rangle = \frac{1}{e^{(w - \mu_0)/kT} + 1} \quad (21.8)$$



21.3-rasmi.

munosabat bilan aniqlanadi. 21.3-rasmda bu funksiyaning  $T=OK$  haroratdagi grafigi tasvirlangan; energiyasi 0 dan  $\mu_0$  gacha bo'lgan holatlar uchun  $\langle N(w) \rangle = 1$ , energiyasi  $\mu_0$  dan katta bo'lgan holatlar uchun  $\langle N(w) \rangle = 0$ . Boshqacha aytganda, OK haroratda  $\mu_0$  dan pastroq energiyali barcha ruxsat etilgan holatlarni elektronlar ishg'ol etgan (bu holatlarning har birida bittadan elektron bor),  $\mu_0$  dan yuqori

energiya holatlar esa batamom bo'sh bo'ladi. Demak,  $\mu_0$  – absolut nol haroratdagi metallida erkin elektronlar ega bo'lishi mumkin bo'lgan maksimal energiyadir. Energiyaning bu qiymatini **Fermi energiyasi** deb ataladi va  $W_f$  bilan belgilanadi. Shuning uchun Fermi-Dirak taqsimoti quyidagi ko'rinishda yoziladi:

$$\langle N(w) \rangle = \frac{1}{e^{(w-w_f)/kT} + 1} \quad (21.9)$$

$W_f$  energiyali sathni **Fermi sathi** deb ataladi.

Metallning harorati o'tishi bilan elektronlar yuqoriroq energetik sathlarga o'ta boshlaydi, natijada ularning holatlar bo'yicha taqsimlanishi ham o'zgaradi. (21.9) ga asosan,  $T \ll OK$  haroratlarda uchun

$W < W_f$  bo'lganda  $\langle N(w) \rangle$  yarinaga teng,  
 $W > W_f$  bo'lganda  $\langle N(w) \rangle$  yarimdan kichik,  
 $W < W_f$  bo'lganda  $\langle N(w) \rangle$  yarimdan katta.

21.4-rasmda  $\langle N(w) \rangle$  ning  $W$  ga bog'liqlik grafigi tasvirlangan.  $OK$  dan farqli haroratlarda bu grafik  $W$  ning kichik sohasi ( $-kT$ ) da 1 dan 0 gacha o'zgaradi.

Metallning harorati oshirilganda metallidagi erkin elektronlarning faqat bir qismigina Fermi sathidan uzog'i bilan  $kT$  qadar pastki energetik sathlarda joylashgan bo'lishi kerak. So'ngra bu elektronlar kristall panjarasining issiqlik tebranishlaridan qo'shimcha energiya olib yuqoriroq energetik sathlarga ko'tarilishi mumkin. Agar

$$kT \geq W_f \quad (21.10)$$

shart bajarilsa, ixtiyoriy erkin elektron kristall panjari bilan energiya almashinish imkoniyatiga ega bo'ladi.

### 21.3. Metallar elektr o'tkazuvchanligining kvant nazariyasi

Zommerfeld Fermi – Dirak statistikasiga asoslangan metallar elektr o'tkazuvchanligi ( $\sigma$ ) ga oid nazariy hisoblashlarni amalga oshirib quyidagi munosabtni hosil qildi:

$$\sigma = \frac{e^2 n l_f}{m v_f} \quad \text{yoki} \quad \sigma = \frac{e^2 n \tau}{m} \quad (\tau = l_f / v_f) \quad (21.11)$$

Bu ifodadagi  $e$  – elektronning zaryadi,  $n$  – erkin elektronlar konsentratsiyasi,  $l_f$  – Fermi energiyasiga ega bo'lgan elektronning erkin yugurish o'rtaacha masofasi,  $v_f$  – fermi energetik sathidagi elektronning issiqlik harakat o'rtaacha tezligi,  $\tau$  – **relaksatsiya vaqti** deyiladi, bu muvozanat vujudga kelgan vaqtni ifodalaydi. Zommerfeld formuladagi  $l_f$  – haroratga bog'liq emas, chunki  $W_f$  ning qiymatiga harorat o'zgarishlari ta'sir etmaydi.

Klassik va kvant nazariyalarida erkin yugurish masofasi ( $l_f$ ) turlicha ta'qin qilinadi. Ma'lumki, klassik nazariyada erkin elektronlar o'tplimini elektron gaz deb hisoblanar edi. Bu gazning zarralari – elektronlar o'z yo'lida uchratgan kristall

panjara tugunidagi ionlarga uilib turadi. Metallarning elektr qarshiligi ana shu o't qashishlar tufayli paydo bo'ladi.

Kvant mexanikasiga nuqtaiy nazariidan qaraganimizda ideal kristali panjaradagi elektronlari hech qanday to'siqqa uchratmasdan harakat qiladi, buning natijasida metallidagi elektr o'tkazuvchanlik cheksiz katta bo'lishi mumkin, lekin kristall panjara hech vaqt ideal sof bo'lmaydi, chunki panjarada doimo ma'lum darajada nuqsonlar (aralashma va vakansiya) bo'ladi. Bu nuqsonlar elektronlarning sochilishiga olib keladi, ya'ni ularning tartibli harakatiga to'siqlik ko'rsatadi. Bundan tashqari, panjaraning atomlari ham doimo muvozanat vaziyati atrofida tebranib (issiqlik tebranishi hosil qilib) turadi va erkin elektronlar bilan o'tqashadi. Bu sabablar metallarda elektr qarshiligini vujudga keltiradi.

Agar metall qancha toza va harorati qancha past bo'lsa, elektr qarshilik shuncha kam bo'ladi. Metallarning solishtirma elektr qarshiligi ikki had yig'indisi tarzida ifodalanadi:

$$\rho = \rho_{\text{oh}} + \rho_{\text{aralash}} \quad (21.12)$$

bundagi  $\rho_{\text{oh}}$  – panjaraning issiqlik tebranishlari tufayli vujudga keladigan qarshilik,  $\rho_{\text{aralash}}$  – aralashma atomlarga elektron to'qinlarning sochilishi tufayli vujudga keladigan qarshilik.

Temperatura ortgan sari elektron to'qinlarning panjara issiqlik tebranishlarida sochilishi ortadi, ya'ni elektronlarning erkin yugurish o'rtaacha masofasi  $l_f$  kamayadi, o'tkazuvchanlik ham kamayadi,  $\rho_{\text{oh}}$  ortadi. Harorat  $T \rightarrow 0$  da  $\rho_{\text{oh}} \rightarrow 0$  bo'ladi, ammo  $\rho \rightarrow \rho_{\text{aralash}}$ . Odatda,  $\rho_{\text{aralash}}$  u qoldiq qarshilik deb ham yuritiladi, chunki u deyarli haroratga bog'liq bo'lmagan uchun  $OK$  da ham uning qiymati o'zgar olmay qoladi.

### 21.4. Yartimo'tkazgichlar fizikasi

#### 1. Kristall jismlar zonaviy nazariyasining elementlari

Elektron nazariyasi rivojlanishi natijasida qattiq jismlarning zonaviy nazariyasi tashkil topdi. Bu nazariyada qattiq jismlar kristall sohasiga ega deb qaralib, shu kristall panjaralar orasida harakatlanuvchi elektronlarning holatlari o'rganiladi.



21.5-rasm.

qo'shni sathlar orasidagi masofa  $\sim 10^{-12}$  eV bo'ladi. Bu masofa shunchalik kichikki, zonadagi sathlar uzoksiz energetik qiymatlarga egadek tuyuladi. Lekin zonadagi energetik sathlar soni chekli ekanligini unutmashlik kerak. Shunday qilib, isotatsiyalangan atomdagi ruxsat etilgan energetik sath o'rniga kristallida ruxsat

etilgan energetik zona vujudga keladi. O'tkazuvchanlik zona valent zonadan taqiqlangan (man etilgan) zona bilan ajratiladi (21.5-rasm).

Kristaldagi zonalarning energetik sathlarida Pauli prinsipiga asosan, ikkita dan ortiq elektron joylashishi mumkin emas. Energetik zonalar amalda uzluksiz spektrni beradi. Bu esa, o'z navbatida elektronni bitta zona bilan chegaralangan energetik sathlarda harakat qila olishini ko'rsatadi, ya'ni berilgan zonalardagi elektronlar bir atomdan ikkinchi atomga o'ta olib, hamma atomlar uchun umumiy bo'lib qoladi.

**Energetik zonadagi hamma sathlar elektronlar bilan to'lgan bo'lsa, bunday zonalarni o'ldirilgan (valent) zona deb ataladi.**

Shunday qilib, kristallarda elektronlar energetik zonalar bo'ylab taqsimlangan bo'ladi.

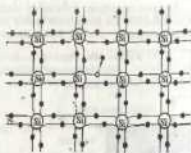
Elektronlar kristallida past energetik zonadan boshlab yuqori zonalariga qarab to'lib boradi. Zonalardagi elektronlarning taqsimlanishi va man qilingan zonalarning kengligiga qarab qattiq jismlar o'tkazgich, yarimo'tkazgich va dielektrik xossalriga ega bo'ladi (21.5-rasm).

**Valent zonadagi sathlar elektronlar bilan gisman to'ldirilgan yoki valent va bo'sh (o'tkazuvchanlik) zonalari ustma-ust tushgan qattiq jismlar o'tkazgichlar (metallar) deb ataladi.**

Metall bo'lmagan aksariyat qattiq jismlarda valent zonadagi harcha energetik sathlari elektronlar band etgan bo'ladi. Shuning uchun elektron yuqoriroq energetik sathga ko'tarilishi lozim bo'lsa, faqat o'tkazuvchanlik zonadagi energetik sathga ko'tarilishi kerak. Buning uchun elektr maydon ta'sirida elektron erishayotgan qo'shimcha energiya taqiqlangan zonalarning energetik kengligi  $\Delta W$  dan katta bo'lishi kerak.

Demak, bu holda qattiq jismlarning elektr va optik xossalari taqiqlangan zonalarning energetik kengligi bilan aniqlanadi.

Agar  $\Delta W$  yetarlicha katta bo'lsa va elektr maydon ta'sirida yoki issiqlik harakat energiyasi tufayli elektronlar valent zonadan o'tkazuvchanlik zonaga o'ta olmasa, ya'ni elektronlar valent zonadagi  $n$  o'z o'rinlaridami qo'zg'olmasa, bunday jismlarni dielektriklar deb ataladi ( $\Delta W > 4eV$ ). Agar  $\Delta W$  unchalik katta bo'lmasa, qattiq jismlarning harorati yetarlicha yuqori bo'lganda ( $OK$  dan yuqori, xona harorati atrofida  $\sim 300K$ ) issiqlik harakat energiyasi tufayli valent zonadagi elektronlarning bir qismi o'tkazuvchanlik zonadagi energetik sathlarga ko'tarilishga qodir bo'ladi, natijada elektr maydon ta'sirida elektronlar o'tkazuvchanlik zonaning yuqoriroq teshiklar esa valent zonaning quyiroq energetik sathlariga ko'tarilishi mumkin va umuman, elektronlar va teshiklar mos zonalarda maydon yo'nalishi ta'sirida erkin elektronlardek harakat qilishlari mumkin. Bunday jismlar yarimo'tkazgichlar deb ataladi ( $\Delta W > 3eV$ ).



21.6-rasm.

## 2. Yarimo'tkazgichlarda elektr o'tkazuvchanlik

Yarimo'tkazgichlar elektr o'tkazuvchanligi bo'yicha metallar bilan dielektriklar orasidagi jismlar guruhiga kiradi va ularda valent zona to'lig'icha elektronlar bilan to'ldirilgan bo'ladi.

Yarimo'tkazgichlar xususiy va aralashmali yarimo'tkazgichlarga bo'linadi.

**a) yarimo'tkazgichlarda xususiy elektr o'tkazuvchanlik.**  $T=OK$  da xususiy yarimo'tkazgichlarning valent zonasi elektronlar bilan butunlay to'lgan bo'ladi, bu holda yarimo'tkazgich so'f dielektrik bo'ladi. Agar harorat  $T \neq OK$  bo'lsa, valent zonaning yuqori sathlaridagi bir qism elektronlar o'tkazuvchanlik zonasi bilan pastki sathlariga o'tadi (21.5-rasm). Bu holda elektr maydon ta'sirida o'tkazuvchanlik zonasiidagi elektronlar va valent zonada hosil bo'lgan bo'sh joylar (teshiklar) harakata keladilar. Natijada yarimo'tkazgichlarning elektr o'tkazuvchanligi noldan farqli bo'ladi, ya'ni so'f yarimo'tkazgichda erkin elektron va teshik vujudga keladi. Elektr maydon ta'sirida butun kristal bo'ylab elektronlar maydonga teskari yo'nalishda, teshiklar esa maydon yo'nalishida harakata keladi. **Bunday elektr o'tkazuvchanlik faqat so'f yarimo'tkazgichlar uchun xos bo'lib, uni xususiy elektr o'tkazuvchanlik deyiladi.** Aslida, so'f yarimo'tkazgichlarning biror joyida kovalent bog'lanishning buzilishi natijasida elektron va teshik vujudga keladi. 21.6-rasmda IV guruh elementi kremniy ( $Si$ ) atomining kovalent bog'lanish sxemasi tasvirlangan.

Masalan, kristallni qizdirilganda yoki uni yoritilganda yarimo'tkazgich atomining kovalent bog'lanishidagi elektronlari issiqlik harakat energiyasi so'f yarimo'tkazgichdagi kovalent bog'lanishni buzishga yetarli bo'lib qolganda, bu elektron o'z o'rnini tashlab kristal bo'ylab harakat qila boshlaydi. Odatda energiyaniang bu qiymatini **aktivlash energiyasi** deb ataladi. Elektron bo'zhatgan joy atrofida elektronetrallik buziladi. Bu yerda manfiy zaryad yetishmagani uchun bo'sh joy (teshikning zaryadini **musbat** deb qabul qilindi). Agar elektron teshik bilan uchrashsa (bu jarayon **rekombinatsiya** deyiladi), u teshik atrofidagi musbat zaryadni neytrallaydi. Demak, so'f yarimo'tkazgichda elektron va teshiklar birgalikda, ya'ni juft bo'lib paydo bo'ladi yoki yo'qoladi.

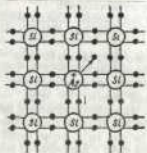
**b) yarimo'tkazgichlarda aralashmali elektr o'tkazuvchanlik.**

Ta'biatda so'f yarimo'tkazgich kristalli uchramaydi, ya'ni oz miqdorda bo'lsa ham begona element atomlari aralashgan bo'ladi.

Bu aralashma yarimo'tkazgichlarda juda ko'p o'zgarishlarni vujudga keltirishi mumkin. To'rt valentli kremniy ( $Si$ ) dan yoki germaniy ( $Ge$ ) dan tuzilgan kristall panjaraning bo'sh tuganlarida bishi valentli atomlar, masalan, fosfor ( $P$ ) yoki mishtyak ( $As$ ) joylashsin (21.7-rasm). Bu vaqtda aralashma atomlaridan bitta elektron ( $Si$ ) yoki ( $Ge$ ) atomlari bilan kovalent bog'lanishda bo'ladi, beshinchi elektron esa atom bilan juda zaif bog'lanadi. Shuning uchun issiqlik harakat energiyasi ham bu elektronni atomdan ajratib o'zod elektron bo'lishiga yetarlidir. Bu elektronlar tok tashuvchilik vazifani bajaradi.

Bunday yarimo'tkazgich **elektronli yarimo'tkazgich** deyiladi. Kiritilgan  $R$  va  $A$  atomlari donorlar yoki **n-tip aralashma** deyiladi.

Aralashma atomlari tufayli kristall panjaraning maydoni ideal so'f yarimo'tkazgich panjarasining maydonidan farqli bo'ladi. Bu esa taqiqlangan zonada donor sathlarning vujudga kelishiga sabab bo'ladi (21.8-rasm). Masalan, kremniyga mishtyak aralashirilgan bo'lsa,  $\Delta W_p \sim 0.05 eV$  bo'ladi.

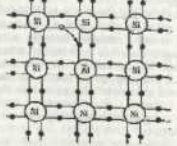


21.7-rasm.

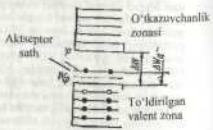


21.8-rasm.

To'rt valentli element atomlaridan iborat bo'lgan kristalli panjaraning bu'zi tugunlarida uchi valentli element atomlari joylashgan bo'lsin (21.9-rasm). Masalan, sof kremniya atomini ( $Al$ ) qo'shilgan bo'lsa, atomining uchi valent elektroni uchta qo'shni kremniy atomlari bilan kovalent bog'lanishda bo'ladi. To'rtinchi kremniy atomi bilan kovalent bog'lanish to'ldirilmagan bo'ladi, ya'ni bitta elektron uchun bo'sh joy mavjud bo'ladi. Qo'shni kremniy atomlarining birorta elektroni o'z atomidan ajralib bu joyni to'ldiradi. Natijada aralashma atomi atrofidagi bog'lanish to'ldi, lekin elektroni yo'qotgan kremniy atomi atrofida teshik vujudga keladi. Bu teshik ikkinchi kremniy atomidan ajralib chiqqan elektron bilan to'ldirilishi mumkin. Shu tariqa teshik kristal bo'shlab xotik ravishda ko'chib yurishi mumkin. Agar bu yarimo'kazgichda elektr maydon hosil qilinsa, teshik elektr maydon kuchlanganlik vektori yo'nalishida ko'chib, yarimo'kazgichda teshikli elektr o'tkazuvchanlik mavjud bo'ladi. Bunday elektr o'tkazuvchanlik  $r - tip$  o'tkazuvchanlik deb ataladi.  $R - tip$  aralashma tufayli taqzilangan zonada akseptor sath vujudga keladi, bu sathga elektron o'tishi uchun lozim bo'lgan energiya  $\Delta W_A$  bilan ifodalanaadi (21.10-rasm). Har ikkala holda  $W_F - Fermi$  sathi hisoblanadi.



21.9-rasm



21.10-rasm

Past haroratlarda yarimo'kazgichning elektr o'tkazuvchanligi, asosan, aralashmali o'tkazuvchanlikdan iborat bo'ladi. Yuqori haroratlarda esa issiqlik harakat energiyasi valent zonadan elektronlarning o'tkazuvchanlik zonasiga ko'chirishga yetarli bo'lib qoladi, bu hol o'z navbatida xususiy o'tkazuvchanlikni, ya'ni elektron va teshik juftini vujudga keltiradi.

Shunday qilib, yuqoriroq haroratlarda aralashmali va xususiy o'tkazuvchanliklarni hisobga olish kerak bo'ladi. Juda yuqori haroratlarda esa faqat, xususiy o'tkazuvchanlik asosiy o'tkazuvchanlikni tashkil qiladi, chunki aralashmali o'tkazuvchanlikning ulushi juda kam bo'lganligi uchun uni hisobga olinmas ham bo'ladi.

**21.5. O'ta o'tkazuvchanlik hodisasi**

Past haroratlarda bu'zi metallar elektr qarshiligi biridaniga ( $\rho=0$ ) nolga teng bo'lib qoladi. Bu holni o'ta o'tkazuvchanlik hodisasi deb yuritiladi. Bu hodisani birinchi bo'lib 1911-yilda golland fizigi Kamerling - Onnes tomonidan kashf qilingan. U toza simohning elektr qarshiligi juda past haroratlarda o'ltash chog'ida 4.2C haroratda, simob qarshiligi biridaniga nolgacha kamayib ketganligini aniqladi. Keyinchalik, ba'zi boshqa metallarda ham o'ta o'tkazuvchanlik hodisasi kuzatildi (21.11-rasm).

Agar o'ta o'tkazuvchan holatda bo'lgan metall halqada tok hosil bo'lsa, keyin manba uzib qo'yilsa, istalganicha uzoq vaqt davomida bu tokning kuchi o'zgarmay qoladi. Haqiqatan ham Kamerling - Onnes 7 K haroratdagi qo'zg'ohin ( $Rv$ ) da BYUK ta'siri o'xtatilgandan keyin 4-sutka davomida elektr toki o'tib turganligini kuzatgan.



21.11-rasm.

1933 yilda Meyssner o'ta o'tkazuvchanlikning yangi bir xosxosini kashf etdi. O'ta o'tkazuvchanlik xususiyatiga ega bo'lgan metallni magnit maydon joylashtiraylik va haroratni pasaytirib boraylik.  $T > T_c$  haroratlarda metall ichida magnit maydon o'soldan fariqli,  $T < T_c$  esa metallidagi magnit maydon induksiya nolga teng ( $V=0$ ) bo'ladi.

1937-yilda Ruzin, Kuper va Shriffferlar tomonidan o'ta o'tkazuvchanlik xususiyati ishlab chiqildi. Oddiy haroratda o'kazgich hisoblangan (simoh, mis va oltin) jumlar o'ta o'tkazuvchanlik xosxosiga ega bo'ldi, chunki o'ta o'tkazuvchanlik moddalar uchun elektron-fonon (elektronlarni kristalli panjara tebrantishlari bilan) o'zaro ta'siri asosiy rol o'ynaydi. Ayniqsa, elektronlarni o'zaro tortishida fononlar katta rol o'ynaydi, ya'ni elektron ma'lum impulsga ega bo'lgan holatda fonon bilan va orqali muvofiqdagi boshqa elektron bilan bog'langan. Agar mana shu elektronlar orasidagi fononlar orqali tortinishlar ujar o'rtasidagi Kulon tortinishidan katta bo'lsa, o'ta o'tkazuvchanlik vujudga keladi. Shunday qilib, o'ta o'tkazuvchanlikning o'ljehvi bo'lib kuchi elektron fonon o'zaro ta'siri hisoblanadi. O'ta o'tkazuvchanlik holatini bog'langan elektronlar jufti (qarama-qarshi yo'nalgan spini) hosil qiladi, demak bu elektron juftining (eKuper jufti ning) spini nolga teng bo'lib ular bazomni hosil qiladi. Bazonlar esa asosiy holatda to'planishga va ularni ko'zg'olgan holatga o'tkazish juda qiyin. Bu elektron juftining muvofiqdagi ligan hankali uzoq vaqt saqlanadi va u elektron juftining muvofiqdagi harakati o'tkazuvchanlik tokidir. Elektronlar juftining hosil bo'lishi metallning energetik aspektini o'zgarishiga olib keladi.

1986-87-yillarda yuqori haroratli o'ta o'tkazuvchan moddalar kashf etildi. Ba'zi metallaksid keramik birikmalarda, hattoiki, 100 K haroratida ham o'ta o'tkazuvchanlik xususiyati qayd qilindi. Bu hodisa yuqori haroratli o'ta o'tkazuvchanlik deb nom oldi.

### 21.6. Majburiy nurlanish. Optik kvant generatorlari (lazerlar)

«Lazer» soʻzi bu qarilmaning ishlash prinsipi aks ettiruvchi ingliz soʻzlarining bosh harflaridan tashkil topgan: Light Amplification by Stimulated Emission of Radiation, yaʼni majburiy nurlanish yordamida yorugʻlikni kuchaytirish. Lazer bilan bir qatorda *mazerlar* ham yaratildi. *Lazerlar* koʻzga koʻrinadigan, infraqizil yoki ultrabinafsha nurlar chiqarsa, *mazerlar* oʻta past chastotali uzoq infraqizil elektromagnit toʻlqinlar sohasida ishlaydi. «Mazer» soʻzidagi «M» harfi ingliz tiliidagi mikrotoʻlqin (Microwave) soʻzining bosh harfidan oʻlingan, qolgan harflar lazer soʻziniiki bilan bir xil.

Atom biz yuqoridagi koʻrib oʻtganimizdek, energiya  $W_1, W_2, W_3, \dots$  boʻlgan kvant holatlarda boʻlishi mumkin. Agar atom  $W_1$  energiyali asosiy 1 holata boʻlsa, uni tashqi nurlanish taʼsirida  $W_2$  energiyali uygʻongan yuqori 2 holatga majburan oʻtkazish mumkin. Atom uygʻongan holatda qisqa vaqt ( $\sim 10^{-8}$  s) boʻlgandan keyin  $u \text{ h}\nu = W_2 - W_1$  energiyali foton chiqarib, oʻz-oʻzidan tashqi taʼsirsiz spontan holda past energiyali asosiy holatiga qaytishi mumkin.

#### Bu vaqtda chiqarilgan nurlanish spontan nurlanishi deyiladi.

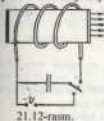
Spontan nurlanishni ehtimoligi qancha katta boʻlsa, atami uygʻongan holatda boʻlish vaqti shuncha kichik boʻladi. Atomlarning spontan nurlanishi bir-biriga muvofiqlashtirilmagan holda turli yoʻnalish va vaqtlarda sodir boʻladi. Shuning uchun turli atomlardan chiqayotgan nurlanishlarning tebranish tekisliklari, fazalari, yoʻnalishlari turlicha xarakteriga ega boʻladi, natijada spontan nurlanish kozerent boʻlmaydi. Choʻgʻlamma va lyuminessent manbalardan doimo spontan nurlanish chiqariladi.

A. Eynshteyn 1916-yilda nazariy tekshirishlar natijasida atomlarning qoʻzgʻalgan holatdan turgʻun holatga oʻtishi nafaqat oʻz-oʻzidan (spontan), balki tashqi taʼsir tufayli majburiy (induksiyalangan) boʻlishi ham mumkin degan xulosaga keldi. Bunday majburiy oʻtishda vujudga keladigan nurlanishni *majburiy nurlanish* yoki *induksiyalangan nurlanish* deb ataladi. Tashqi taʼsir deganda, atoming boshqa zarra bilan toʻqnashuvi yoki taʼsirlashuvi tushuniladi. Lekin koʻp hollarda majburiy nurlanish shu nurlanishni chastotasiga aynan teng boʻlgan chastotali elektromagnit toʻlqin (foton) taʼsirida sodir boʻladi. Chastotasi boshqacharoq boʻlgan fotonlar sistemaning xususiy tebranishlari bilan rezonanslanmaydi, natijada ularning induksiyalovchi taʼsiri ancha kuchsiz boʻladi. Atomlarning majburiy nurlanishini hosil boʻlishi uchun uygʻongan atom yaqinidan uchib oʻtayotgan foton uni uygʻongan holatdan yashash vaqtini qisqartirib, quyiroq energiyali holatga oʻtishga majbur qiladi. Bunda atom oʻzining nurlanishiga induksiyalagan fotonga aynan oʻxshash foton chiqaradi. Natijada bir foton ikkita foton boʻladi va ular oʻz yoʻnalishida harakatini davom ettirib, yoʻlida uchrangan boshqa uygʻongan atomlarni ham majburiy nurlantirishga uchratadi. Shu tariqa borgan sari koʻchiksimon koʻpayib boradigan fotonlar oqimi hosil boʻlib, moddaga tushayotgan nurlanishni kuchaytirishga sabab boʻladi. Majburiy nurlanish tushuvchi nurlanish bilan kozerent boʻladi, yaʼni u yerda bir xil chastota, harakat yoʻnalishi, faza va qutblanish tekisligiga egadir.

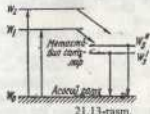
Lekin nurlanish moddadan oʻtganda kuchaytirishga fotonlarni quyi energetik holatdagi atomlar tomonidan yutilishi xalqit beradi. A. Eynshteyn koʻrsatishicha, termodinamik muvozanat vaqtda spontan va majburiy nurlanish ehtimoligi oʻsha chastotadagi nurlanishni yutilish ehtimoligiga teng. Shuning uchun termodinamik muvozanat vaqtda moddaga tushayotgan nurlanishning yutilishi majburiy

nurlanishdan ustun keladi, natijada yorugʻlik moddadan oʻtganda intensivligi kamayadi.

Yorugʻlik moddaga tushganda, unda kuchayishi uchun sistemani muvozanatli boʻlmagan holatini amalga oshirish kerak. Bunday holatda uygʻongan atomlarning soni uygʻonmagan, turgʻun holatdagi atomlar sonidan koʻp boʻlishi kerak. Mana shunday sistemada majburiy nurlanish koʻchiksimon tarzda kuchavadi.



21.12-rasm.



21.13-rasm.

Ayrim moddalarning atomlarida shunday qoʻzgʻalgan, lekin nisbatan turgʻun holatlar borki, atomlar bu holatda ancha uzoq vaqt ( $10^{-7} - 10^{-10}$  s) boʻlolaadi. Bunday holatlar *metastabil* holatlar deyiladi. Atomlarida metastabil holatlari boʻladigan moddalarga tarkibida 0,005 % xrom (Cr) boʻlgan yuqori kristalli ( $Al_2O_3$ ) misol boʻladi, unda alüminiy atomlarining bir qismini metastabil holatlari boʻlgan xrom atomlari egallagan. Yuqori kristalli yorugʻlik bilan yoritilganda xrom ionlari qoʻzgʻaladi va  $W_1$  sathdan  $W_2$  energetik sathga mos keluvchi holatga oʻtadi. Xromning energetik sathlari 21.13-rasmda tasvirlangan. Yuqori silindr shaklida olingan boʻlib, uring asoslari nihoyat darajada silliqilgan. Asoslar kumush bilan shunday qoplanganki, chap tomonidagi (21.12-rasm) toʻla qaytaruvchanlik xususiyatiga ega, oʻng tomonidagi esa qisman shaffof. Silindrsimon yuqori kristalli spirallimon choʻgʻlamma lampaga oʻrab olgan. Bu lampaning nurlanishi yuqori tarkibidagi xrom ionlarini  $W_1$  va  $W_2$  energetik sathlarga koʻtaradi (21.13-rasm). Bu uygʻongan sathlarning yashash davri ancha kichik ( $\sim 10^{-8}$  s), ulardan  $W_2$  va  $W_1$  sathlarga oʻtish sodir boʻladi. Bir-biriga yaqin joylashgan bu sathlarning yashash davomiyligi anchagina katta,  $\tau \sim 10^{-4}$  s. Bu metastabil sathlardagi xrom ionlari yigʻila boradi. Natijada  $W_1$  va  $W_2$  sathlardagi ionlar soni  $W$  dagi ionlar sonidan ortib ketadi. Kristall oʻqi boʻylab harakatlanayotgan fotonlar esa qaytaruvchi asoslardan koʻp marta qaytadi, bu harakat davomida koʻp sonli majburiy nurlanishlar vujudga keladi. Natijada fotonlarning kuchli oqimi kristallning qisman shaffof oʻng tomonidagi asosi ortiq tashqariga chiqadi. Shundan soʻng mabandana yana energiya olinadi va bayon etilgan ketma-ketlikda yana jarayonlar qaytariladi.

Lazerlar yordamida olingan nurlar yuqori darajada kozerent, dastasi esa nihoyatda ingichka boʻlganligi uchun ular fan va texnikaning turli sohalariida: uzoq masofalardagi radioaloqada, kichik hajmlarda juda yuqori haroratlar hosil qilishda, meditsinada juda nozik jarrohlik operatsiyalarini bajarishda va hokazolarda keng qoʻllanilmoqda.

#### Savollar

1. Moddalarning atom va molekullari haqidagi maʼlumotlarga asoslanib, koʻp sonli zarrachalardan tashkil topgan sistemalarning xossalariini qanday oʻrganish mumkin?
2. Fazoviy fazo deganda statistikada nima tushuniladi?

3. Kvant va klassik statistikalar orasida qanday umumiylik va farqlar mavjud?

4. Bozonlar uchun Bose-Eynshteyn taqsimotini, fermionlar uchun esa Fermi-Dirak taqsimoti tenglamalarini yozing.

5. Nima sababdan Pauli prinsipi fermionlar uchun bajariladi, bozonlar uchun esa bajarilmaydi?

6. Erkin elektronlar bilan metallarning ko'pchilik xossalari qanday aniqlanadi?

7. Metallarning solishtirma elektr o'tkazuvchanligi formulasi yozing va izohlang.

8. Metall, yarimo'tkazgich va dielektrlarning energetik zonalarini qanday farqlanadi?

9. Xususiy va arilashmali yarimo'tkazgichlar bir-biridan qanday farqlanadi?

10. Yarimo'tkazgichlarda Fermi sathining ma'nosini aytting.

11. Qanday hodisaga o'ta o'tkazuvchanlik hodisasi deb ataladi?

12. Spontan nurlanish deb qanday nurlanishga aytiladi?

13. Majburiy nurlanish yoki induksiyalangan nurlanish deb qanday nurlanishga aytiladi?

14. Rubinli lazerni ishlatish prinsiplari tushuntiring, metastabil sathlar vazifasini aytib bering.

#### Masalalar

79-masala.  $V=20 \text{ sm}^3$  hajmli metall parchasi  $T=0$  haroratida turibdi. Impulsleri maksimal impuls  $R_{\text{max}}$ , dan  $0,1R_{\text{max}}$  gacha ko'p farq qilmaydigan erkin elektronlar soni  $\Delta N$  aniqlansin. Fermi energiyasi  $\mathcal{E} = 5 \text{ eV}$ .

Berilgan:  $V=20 \text{ sm}^3 = 2 \cdot 10^{-5} \text{ m}^3$ ,  $T=0$ ,  $e=5 \text{ eV}$   
 $\Delta N = ?$

**Yechish.** Metallidagi erkin elektronlarning impulsler bo'yicha taqsimotini hosil qilish uchun  $T=0$  da erkin elektronlar uchun Fermi taqsimotidan foydalanimiz:

$$dn(\mathcal{E}) = \frac{1}{2\pi^2} \left( \frac{2m}{\hbar} \right)^{3/2} \mathcal{E}^{1/2} d\mathcal{E} \quad (1)$$

$dn(\mathcal{E})$  birlik hajmdagi energiyalari  $\mathcal{E}$  dan  $\mathcal{E}+d\mathcal{E}$  gacha ( $\mathcal{E} < \mathcal{E}_F$ ) qiymatlar oraliq'ida bo'lgan elektronlar soni bo'lganligidan, u impulsleri  $r$  dan  $r+dr$  gacha qiymatlar oraliq'ida bo'lgan birlik hajmdagi elektronlar soni  $dn(r)$  ga teng bo'lishi kerak, ya'ni

$$dn(r) = dn(\mathcal{E}) \quad (2)$$

Bunda quyidagi shartga rioya qilinmog'i lozim. Berilgan  $\mathcal{E}$  energiya ma'lum impuls  $\zeta p \left( \mathcal{E} = \frac{p^2}{2m} \right)$  ga mos keladi va energiyaning  $d\mathcal{E}$  oraliq'iga unga mos

keluvchi impulsning  $dp \left( d\mathcal{E} = \frac{p}{m} dp \right)$  oraliq'i to'g'ri keladi.  $\mathcal{E}^{1/2} = \sqrt{2m} p^{1/2}$

ekanligini nazarda tutib, (2) tenglikning o'ng tomonidagi  $dn(\mathcal{E})$  o'rniga yuqorida

olingan munosabatlarga muvofiq  $\mathcal{E}$  ni  $r$  bilan va  $d\mathcal{E}$  ni  $dr$  bilan almashtirib (1) (2)ga qo'yamiz, ya'ni

$$dn(p) = \frac{1}{2\pi^2} \left( \frac{2m}{\hbar} \right)^{3/2} \cdot \frac{p}{(2m)^{1/2}} \cdot \frac{p}{m} dp,$$

qisqartirishlardan keyin metallardagi erkin elektronlarning  $T=0$  da impulsler bo'yicha qidirilayotgan taqsimotini olamiz:

$$dn(p) = \frac{1}{\pi^2 \hbar^3} p^2 dp$$

Impulsleri  $r_{\text{max}} - 0,1 r_{\text{max}}$  dan  $r_{\text{max}}$  gacha oraliqda bo'lgan birlik hajmdagi elektronlar sonini mos chegaraviy qiymatlarda integrallash bilan topamiz:

$$\Delta N = \frac{1}{\pi^2 \hbar^3} \int_{0,1 r_{\text{max}}}^{r_{\text{max}}} p^2 dp = \frac{1}{3\pi^2 \hbar^3} [r_{\text{max}}^3 - (0,9)^3 r_{\text{max}}^3] \text{ yoki}$$

$$\Delta N = \frac{0,271}{3\pi^2} \cdot \frac{P_{\text{max}}^3}{\hbar^3}$$

Metallardagi elektronlarning maksimal impuls  $r_{\text{max}}$  va maksimal energiyasi  $\mathcal{E}$  ushbu  $P_{\text{max}}^2 = 2m\mathcal{E}_F$  munosabat orqali bog'langanligini hisobga olib ( $T=0$ da)

metallidagi erkin elektronlarning qidirilayotgan soni  $\Delta N$  ni topamiz.

$$\Delta N = \frac{0,271}{3\pi^2 \hbar^3} (2m\mathcal{E}_F)^{3/2} \text{ yoki } \Delta N = \frac{0,271}{3\pi^2} \left( \frac{3m\mathcal{E}_F}{\hbar^2} \right)^{3/2} \cdot V$$

$\pi$ ,  $m$ ,  $\mathcal{E}_F$ ,  $\hbar$ ,  $V$  kattaliklarning qiymatlarini qo'yib, hisoblab ( $5\text{eV} = 8 \cdot 10^{-19}\text{J}$ ),

$\Delta N = 2,9 \cdot 10^{23}$  ta elektronni olamiz.

80-masala. Temperaturasi  $T=0\text{K}$  bo'lgan mis metallidagi erkin elektronlarning maksimal Fermi energiyasi  $\mathcal{E}_F$  hisoblangin. Har bir mis atomiga bittadan valent elektron mos keladi deb olinsin.

$$\text{Berilgan: } \frac{T = 0\text{K}}{\mathcal{E}_F = ?} \quad Cu$$

**Yechish.** Temperaturasi  $T=0\text{K}$  bo'lgan metallidagi elektronlarning maksimal Fermi energiyasi  $\mathcal{E}_F$  erkin elektronlar konsentratsiyasi bilan quyidagicha bog'langan.

$$\mathcal{E}_F = \frac{\hbar^2 (3\pi^2 n)^{2/3}}{(2m)} \quad (1)$$

Bunda  $\hbar$  - Plank doimiysi,  $m$  - elektron massasi. Masalaning shartiga ko'ra, erkin elektronlar konsentratsiyasi ( $n$ ) atomlar konsentratsiyasiga teng.

$$n = \frac{\rho N_A}{M} \quad (2)$$

Bunda  $\rho$  - misning zichligi;  $N_A$  - Avagadro doimiyi;  $M$  - molyar massa, (2) ni (1) ga qo'yib

$$\varepsilon_F = \frac{h^2}{2m} (3\pi^2 \rho \frac{N_A}{M})^{2/3}$$

ifodani hosil qilamiz.

Berilgan kattaliklarni yuqoridagi formulaga qo'yib, hisoblashlarni bajaramiz:

$$\varepsilon_F = \frac{(1,05 \cdot 10^{-24})^2}{2 \cdot 9,110^{-31}} \left[ 3(3,14)^2 \cdot 8,9 \cdot 10^3 \frac{6,02 \cdot 10^{23}}{64 \cdot 10^{-3}} \right]^{2/3} J =$$

$$= 1,18 \cdot 10^{-19} J = 7,4 eV.$$

**81-masala.** Kremniy temperaturasini  $t_1 = 0^\circ C$  dan to  $t_2 = 10^\circ C$  gacha qizdirilganda uning solishtirma elektr o'tkazuvchanligi necha marta oshadi?

Berilgan:  $t_1 = 0^\circ C$ ;  $t_2 = 10^\circ C$

**Yechish.** Xususiy o'tkazuvchanlik yarimo'tkazgichlarning solishtirma elektr o'tkazuvchanligi ( $\sigma$ ) temperatura ( $T$ ) bilan quyidagicha bog'langan.

$$\sigma = \sigma_0 e^{-\Delta E / (2eT)}$$

bunda,  $\sigma_0$  - konstanta;  $\Delta E$  - taqiqlangan zonaning kengligi.

Demak,

$$\frac{\sigma_1}{\sigma_2} = \frac{e^{-\Delta E / (2eT_1)}}{e^{-\Delta E / (2eT_2)}} = \exp \left[ \frac{\Delta E}{2k} \left( \frac{1}{T_1} - \frac{1}{T_2} \right) \right]$$

Kremniy uchun  $\Delta E = 1,12 eV$  ekanini hisobga olib,

$$\frac{\sigma_1}{\sigma_2} = \exp \frac{1,76 \cdot 10^{-19}}{2(1,38 \cdot 10^{-23})} \left( \frac{1}{273} - \frac{1}{283} \right) = 2,28$$

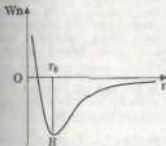
kelib chiqadi.

**22.1. Kristallarning tuzilishi**

Qattiq jismlarda zarralar (molekular, atomlar, ionlar) geometrik jihatdan qat'i ustibda, *kristall panjaralar* hosil qilib joylashgan bo'ladi. Zarralar o'zlarining muvozanat vaziyati yaqinida tebranna harakat qiladilar. Zarralar qattiq jismda bir joyidan ikkinchi joyga o'tishi mumkin, lekin bunday hol juda kam uchraydi. Shuning uchun qattiq jismlarda ham diffuziya bo'ladi, lekin bu diffuziya gaz va suyuqliklardagiga qaraganda juda sekin o'ladi.

Moddalarning qattiq, suyuq va gazsimon holatlari orasidagi farqning fizik mohiyatini molekulalarning o'zaro ta'sir potensial egri chizig'i yordamida yana ham aniqroq tushuntirish mumkin.

Molekulalarning hosil bo'lish mexanizmlari muhkama etilganda, bog'lanish tabiatidan qat'i nazar, molekula hosil qilayotgan atomlarga ikkita kuch ta'sir etishi qayd etilgan edi: katta masofalardayoq sezilarli bo'lgan tortishish kuchlari va kichik masofalarda paydo bo'ladigan va massofaning kamayishi bilan keskin ortib ketadigan itarishish kuchlari. 22.1-rasmda ordinalar o'qi bo'ylab molekular o'zaro ta'sir potensial energiyasi  $W_p$  absissa o'qi bo'ylab molekular orasidagi masofa  $r$  qo'yilgan. Molekular issiqlik harakatining o'rtaacha kinetik energiyasi  $W_k$  qiymatlarini



22.1-rasm.

solishtirish qulayroq bo'lishi uchun  $V$  potensial chqaurning tubi sathidan hislab qo'yamiz. Agar molekular issiqlik harakatining o'rtaacha kinetik energiyasi potensial o'rtaacha chuqurligidan ancha kam ( $W_k < W_p(r_0)$ ) bo'lsa, u holda molekular potensial o'rtaacha pastki qismida qolgan holda kichik tebranishlar qila oladi xolos. Bu hol moddaning qattiq holatiga to'g'ri keladi.

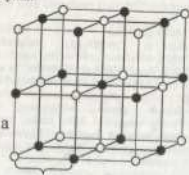
Agar molekular issiqlik harakatining o'rtaacha kinetik energiyasi potensial o'rtaacha chuqurligidan bir oz kam bo'lsa ( $W_k << W_p(r_0)$ ), u holda molekular ancha katta tebranna harakata bo'ladi, biroq bari bir potensial o'rtaacha qoladi. Bu hol moddaning suyuq holatiga to'g'ri keladi.

Agar molekular issiqlik harakatining o'rtaacha kinetik energiyasi potensial o'rtaacha chuqurligidan ancha katta bo'lsa ( $W_k >> W_p(r_0)$ ), u holda molekular bu o'rtaacha chiqib ketadi, o'zaro bog'lanishni yo'qotib, erkin harakatlanadi. Bu hol moddaning gazsimon holatiga to'g'ri keladi (22.1-rasm).

Qattiq jism molekular suyuqlik molekulalariga qaraganda, o'zaro mustahkamroq bog'langani uchun qattiq jism suyuqlikdan farq qilib, o'zining hajminigina emas, balki shaklini ham saqlaydi. Endi qattiq jism kristall tuzilishini batafsilroq ko'raylik.

Atomlar orasidagi masofa  $r_0$  bo'lganda tortishish va itarishish kuchlari tenglashadi, ya'ni ularning teng ta'sir etuvchiligi nolga, sistemaning potensial energiyasi minimal qiymatga ega bo'ladi, natijada sistema mustahkam muvozanat holatga erishadi. Bu xulosani ko'p sonli atomlar sistemasi ham umulashirak. undagi atomlar bir-biridan bir xil masofada joylashib mustahkam tuzilishga ega bo'lgan kristall jismni hosil qiladi. Kristallning ko'zga tashlanadigan tashqi belgisi

uning to'g'ri geometrik shaklda bo'lishidir. Masalan, osh tuzining eng kichik kristalli kub shaklda, muzning kristalli 6 yoqli prizma shaklda, olmos kristalli oktaedr (sakkiz qirrali) va kokazo shaklda bo'ladi. Har bir kristall moddani chegaralovchi sirtlari (yoqlari) orasidagi burchak qat'i aniq qiymatga ega bo'ladi (osh tuzida  $90^\circ$ , muzda  $120^\circ$  va kokazo). Kristallar payvand tekisliklari deb atalgan ma'lum tekisliklar bo'yab oson parchalanib ketadi. Bunda suddi boshlang'ich shakldagi, ammo kichik o'lchamli kristallchalar hosil bo'ladi. Masalan, osh tuzini va novvor qandini maydalaganda kichik kubchalar va to'g'ri burchakli parallelepipedlar hosil bo'ladi. Bu degan so'z, kristall jismlarda zarralar (molekular, atomlar yoki ionlar) bir-biriga nisbatan **fazoviy yoki kristall panjara** hosil qilgan holda qat'i simmetrik joylashgan demakki; zarralar joylashgan o'rinlar **panjaraning tugunlari** deyiladi.



22.2-rasm.

Eng sodda fazoviy panjara osh tuzi ( $NaCl$ ) ning kristall panjarasi bo'la oladi (22.2-rasm). Uning a qirrali elementar yacheykasi (rasmda, u qora chiziqlar bilan ajratilgan) natriyning musbat ionlari va xlorning manfiy ionlaridan hosil bo'lgan, bu ionlar kubning uchlariida joylashgan.

Fazoviy panjaralarning shakli turlituman bo'lishi mumkin; panjarani hosil qilgan elementar yacheykalar bir-biriga zich, hech qanday oraliqsiz joylashishi kerak.

1890-yilda E.S. Fyodorov kristall panjaraning barcha shakllarini nazariy hisoblab chiqdi va tabiatda faqat 230 xil kristall panjaralar bo'lishi mumkin ekanligini aniqladi, bu kristall panjaralar 23 xil simmetrik sinfni hosil qilar ekan. Kristallarni rentgen nurlari yordamida tekshirishi kristallar simmetrik joylashib kristall panjaralar hosil qilgan zarralar (atomlar, molekularlar yoki ionlardan iborat ekanligi tasdiqlandi). Shuningdek, rentgen struktura analizi yordamida tabiatdagi kristall panjaralarining haqiqatan ham 230 turdagi ko'rinishi bor ekanligi aniqlandi.

**Anizotropiya kristallning ajoyib xususiyatidir; turli yo'nalishlarda kristallning fizik xossalari turlicha bo'ladi.** Masalan, harma kristallarga mustahkamlik anizotropiyasi sodir; kristallarning ko'pchiligi issiqlik o'tkazuvchanlik, elektr o'tkazuvchanlik, yorug'lik nurini sindirish va boshqa jihatdan anizotropdir. Fazoviy panjaralarda uzunliklari bir xil, lekin yo'nalishlari turlicha bo'lgan kesmalarida zarralar sonining turlicha bo'lishi kristallar anizotropiyasining asosiy sababchisidir. Kristall panjara zarralarining turli yo'nalishlarda turlicha zichlikda bo'lishi kristallning bu yo'nalishlar bo'yab boshqa ko'p xossalariining ham turlicha bo'lishiga sabab bo'ladi.

Kristallar ikki guruhga: **monokristall** jismlar va **polikristall** jismlarga bo'linadi. Barcha zarralar bir umumiy fazoviy panjaraga joylashadigan jian monokristalldir. Monokristall anizotrop bo'ladi. Ko'pchilik mineralar monokristall bo'ladi. Polikristall bir-biriga nisbatan tartibsiz joylashgan ko'plab mayda monokristallchalardan tuzilgan jismdir. Shuning uchun polikristallar izotrop, ya'ni barcha yo'nalishlar bo'yicha bir xil fizik xossalarga ega bo'ladi. Ko'pchilik metallar

polikristall jismlarga misol bo'la oladi, biroq metallni monokristall ko'rinishda ham hosil qilish mumkin.

Kristall panjarasining qanday zarralardan tuzilganligiga qarab panjaralar to'rtta asosiy guruhga bo'lingan: **ion, atom, molekular va metall panjarali kristallar.**

1) **Ion panjarali** kristallar turli ishoralari zaryalangan ionlardan tuzilgan bo'lib, panjarada ionlarni elektr kuchlari tutib turadi. Ko'pchilik kristallar ion panjaralidir (massan,  $NaCl$ ).

2) **Atom panjarali** kristallar panjara tugunchalarida kimyoviy (kovalent) bog'lanishlar bilan tutib turladigan neytral atomlardan tuzilgan; qo'shni atomlarda tashqi (valent) elektronlar umumiy bo'ladi. Masalan, grafit, olmos kristallari atom panjaralidir.

3) **Molekulyar panjarali** kristallar – qutbiy (dipol) molekularidan tuzilgan bo'lib, bu molekularlar ham tugunlarda elektr kuchlari bilan tutib turladi. Biroq qutbiy molekularlarga bu kuchlar ionlarga ta'sir qilgandan kamroq kuch bilan ta'sir qiladi. Shuning uchun molekulyar panjarali moddalar oson deformatsiyalanadi. Ko'pchilik organik birikmalar (sellauloza, rezina, parafin va boshqalar) molekulyar kristall panjaradan tuzilgan bo'ladi.

4) **Metall panjarali** kristallar – erkin elektronlar bilan o'ralgan metallning musbat ionlaridan tuzilgan. Metall panjarasining ionlari ana shu elektronlar bog'lab turadi. Hozirgi zamon fizikasi kristall qat'ii jismlardan tashqari **amorf jismlarni** ham o'rganadi. Amorf jismlar polikristallarga o'shab **izotropdir**. Amorf jismlarga misol qilib, qora mo'm, shisha, anola, kamifol va shunga o'xshashlarni o'tish mumkin.

Keyingi vaqtlarda texnikada **organik amorf** moddalar, ya'ni **polimerlar** keng tarqaldi.

Polimerlarning tipik vakili plastmassalardir. Yuksak elastiklik va mustahkamlik polimerlarning juda muhim xossasi hisoblanadi.

## 22.2. Kristallardagi nuqsonlar

Agar kristall panjarada atomlar barcha kristall yo'nalishlarida beqat'a davriy ravishda joylashgan bo'lsa, bunday kristall **ideal kristall** deyiladi. Real kristalllarda turli sabablarga ko'ra nuqsonlar uchirab turishi yuqorida ayyd etilgan usullar bilan isbotlangan.

Kristall panjaraning nuqsonlari ularning mexanik, issiqlik, elektr va boshqa fizik-kimyoviy xossalariiga katta ta'sir ko'rsatadi. Shuning uchun nuqsonlarning asosiy turlari va hosil bo'lish sir-asorlari bilan qisqacha tinishib o'taylik.

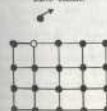
Kristall ichidagi to'planish joyiga qarab nuqsonlar: **inoqiyatli, chiziqli va hajmiy nuqsonlarga** bo'linadi.

Issiqlik harakati tufayli kristall panjara tugunlaridagi atomlar o'z joylarini tark etib (22.3-rasm) tugunlar osoniga o'tib olsa, bunday nuqsonni **inoqiyatli yoki Frenkel nuqsonlari** deyiladi.

Atomni ketib qolgan joyni **evakant** joy deb ataladi. **Evakant**, ya'ni bo'sh joylar qo'shni tugundagi atomlar tomonidan egallanishi va natijada atomlarning (tugunlarning) kristall bo'yab estafetali harakati sodir bo'lishi mumkin. Nuqtiyvi



22.3-rasm.



22.4-rasm.



nuqsonlar sirt qatlamlardagi atomlarning birortasini butunlay bug'lanib ketishi yoki bug'langan atom kristalli sirtida yangi qatlam tugunini hosil qilishi tufayli ham sodir bo'lishi mumkin (22.4-rasm). **Bunday nuqsonlarni Shottki nuqsonlari deyiladi.** O'z joyini yo'qotgan atomlar «vakant» joylarga yaqinlashganda ularda ushlab qolishi natijasida «Vakant» joyni to'ldirishi mumkin. Bu hodisani nuqsonlarning **rekombinatsiyasi** deyiladi. Nuqsonlarning hosil bo'lishidan rekombinatsiyalanishgacha o'tgan vaqtni nuqsonlarning **yaxshash vaqti** deyiladi. Nuqtaviy nuqsonlar kristall panjarasiga begona element atomlari kirib qolganida ham hosil bo'ladi. Bunda begona atom tugunlarining biriga yoki ularning oralig'iga joylashishi mumkin. Natijada kristalling shu joyi deformatsiyalanadi (22.5-rasm). **Chegaraviy yoki sintil deb atalgan dislokatsiyalarni chiziqiy nuqsonlar** deyiladi. Ular kristalllarda tashqi kuchlar ta'sirida noelastik siljish deformatsiyasi sodir bo'lganda kuzatiladi. Tasbqi muhit bilan ta'sirlashish natijasida kristall sirtga begona element atomlarining o'tirib qolishi hamda shu element sirtida oksid qatlamlarini hosil bo'lishi sirt nuqsonlariga kiradi. Shuningdek, kristall panjaraning ayrim joylarida fazoviy yo'nalishlarning o'zgarib qolishi tufayli ichki nuqsonlar paydo bo'ladi.

Kristall ichida to'planib qolgan nuqtaviy nuqsonlar, darz ketgan joylar, bo'shliqlar, stexiometriyaning buzilishi (qattiq eritmalarda) hajmiy nuqsonlarni tashkil etadi.



22.5-rasm.

### 22.3. Fononlar. Kristallarning issiqlik sig'imi

Zarralarning kristall panjara tugunlarida joylashishi, ularning o'zaro potensial energiyasining minimum bo'lishiga mos keladi. Zarralar muvozanat vaziyatidan har qanday yo'nalishda siljiganda zarrani bosilgan ichki vaziyatiga qaytarishda ilmtiruvchi kuch paydo bo'ladi, buning natijasida zarralar tebranma harakatga keladi. Ixtiyoriy yo'nalishda sodir bo'layotgan tebranishni uchta koordinata o'qlari yo'nalishida bo'layotgan tebranishlarning qo'shilishi deb tasavvur qilish mumkin. Shunday qilib, kristallidagi har bir zarraning uchta tebranma erkinlik darajasi bor, deb hisoblash mumkin. Dyulong va Pit qonunining ta'kidlashicha, kristall holatdagi barcha oddiy kimyoviy jismlarning panjaraviy molar issiqlik sig'imi 3R ga teng. Amalda bu qonun yetarlicha yuqori haroratlarda uchun bajariladi. Past haroratlarda esa kristallning issiqlik sig'imi kamayadi, harorat OK ga yaqinlashganda issiqlik sig'imi ham nolga yaqinlashadi.

Issiqlik sig'imining kvant nazariyasi Eynshteyn tomonidan yaratildi. Debyu esa uni takomillastirdi. Eynshteyn N ta atomdan tashkil topgan kristall panjarani bir-biri bilan bog'liq bo'lmagan 3N harmonik ossillatorlarga o'xshatdi. Bu ossillatorlarning barchasi birday u chastota bilan tebranishi va energiyasi kvantlangan qiymatlarga egaqligini e'tiborga olib Eynshteyn kristall panjaraning issiqlik sig'imi uchun quyidagi formulani hosil qildi:

$$C = \frac{3N h \omega}{(e^{h\omega/KT} - 1)^2} \frac{h \omega}{KT^2} \quad (22.1)$$

Bu ifodani yuqori va past haroratlarda uchun muhokama qilaylik.

1. Yuqori haroratlarda (ya'ni  $KT \gg h\omega$  bo'lganda) (22.1) ifodaning maxrajidagi

$$e^{h\omega/KT} = 1 + \frac{h\omega}{KT} \text{ va sur'atdagi } e^{h\omega/KT} = 1 \text{ deb hisoblasak, issiqlik sig'imi}$$

formulasi quyidagi ko'rinishga keladi:

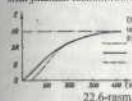
$$C = 3NK \quad (22.2)$$

Bu munosabat Dyulong va Pit qonunining o'zinasidir.

2. Past haroratlarda (ya'ni  $KT \ll h\omega$  bo'lganda) (22.1) ifoda maxrajidagi 1 ni e'tiborga olmasak:

$$C = \frac{3N h \omega}{KT^2} e^{-h\omega/KT} \quad (22.3)$$

ifodani hosil qilamiz. 22.6-rasmida aluminiy uchun issiqlik sig'imining tajribadan olingan va nazariy qiymatlari asosida chizilgan grafiklari tasvirlangan. Grafikdan ko'rinadiki, Eynshteyn nazariyasi past haroratlarda issiqlik sig'imining o'zgarishini sifat jihatidan tushuntiradi.



22.6-rasm.

Yuqorida ko'rdikki, kristall jismlarning atomlari o'zaro mustahkam bog'langan holda fazoviy aniq qonuniyatlarga bo'yicha joylashib kristall panjarani hosil qiladi. Undagi biron atom muvozanat holatdan chiqarilsa, uning ta'siri qolgan barcha atomlarga ham uzatiladi, ya'ni panjaradagi biron atomning tebranishi

barcha yo'nalishlar bo'yicha tarqaladi. Shuning uchun kristalling alohida atomining harakatini kuzatish o'ziga ularning birgalikdagi kollektiv harakatini kuzatish qulay. Atomlarning birgalikda tebranma harakati kristal bo'yab tarqalayotgan elastik to'lqinlarni hosil qiladi. Bu to'lqinlarning kristall chegarasidan qaytishi va interferensiyalanishi esa tur'gun to'lqinlarni hosil qiladi. Ularning soni kristalling erkin darajasi 3N ga teng. Bu to'lqinlar kristallda tarqala oladigan tovush to'lqinlaridan iboratdir. Kristall panjaradagi atomlar - kvant ossillatorlardan birortasini u, chastota bilan tebranishi tufayli kristal bo'yab tarqalayotgan tovush to'lqinlarini  $h\omega$  energiyali «zarralar» oqimining vujudga kelishidir, deb tavsif etish mumkin. «Zarra» so'zini qo'shimoq ichida yozish o'rninga **kvantzarra** degan so'zdan foydalaniladi. Bu so'z zarrachaga o'xshash degan ma'noni anglatadi. Tovush to'lqiniga mos keluvchi kvantzarraga alohida **fonon** degan nom berilgan.

Demak, kvant mexanikasi nuqtayi nazaridan fonon  $E = h\omega$  energiyaga va  $\vec{P} = h\vec{k}$  impulsga ega bo'ladi. Fononning ko'p xossalari zarraga o'xshaydi, lekin oddiy zarralar (elektron, proton, foton, ...)dan farq qilib, fonon vakuumda vujudga kelmaydi. Fononning fotonga o'xshashlik xususiyatlarini muvjud. Masalan, elektromagnit nurlanishini juda kichik teshikka ega bo'lgan berk kovak idish (absolut qora jisim timsolidagi kovak idish) to'ldirilgan foton gaz, deb tasavvur qilgan edi. Kristall panjara tebranishlarini esa kristal bo'lagining sirtini bilan chegaralangan hajmini to'ldirgan fonon gazi tarzida tasavvur etish mumkin. Fononlar va fononlar uchun (21.6) dagi  $\mu=0$ . Shuning uchun Boze-Eynshteyn taqsimoti quyidagi ko'rinishga keladi:

$$\langle N_i \rangle = \frac{1}{e^{\frac{h\nu_i}{kT}} - 1} \quad (22.4)$$

Boze-Eynshteyn statistikasini fonon gaziga qo'llash tufayli Debay kristall panjaraning issiqlik sig'imini past haroratlarda sohasida tajribaga muqodoriy mos holda tushuntirishga erishdi.

#### 22.4. Myossbauer effekti

1904-yilda Vud natriy (Na) bug'lariga sariq to'lqin uzunligidagi nur tushirganda bu bug'lar huddi shunday to'lqin uzunligidagi nurlar chiqarib shu talama boshlanishi aniqladi. Keyinchalik simob (Ng) va boshqa elementlarda ham shunday hodisalar kuzatildi. Bu hodisani *rezonans nurlanish* va *rezonans yutilish* deb atala boshlandi.



22.7-rasm.

Bunday atomlar asosiy holatdan eng yaqin uyg'ongan holatga o'tganda  $\omega$  chastotaga ega bo'lgan fotonlari  $\Delta E = \hbar\omega$  energiyali nurni intensiv yutadi, so'ngra asosiy holatga qaytishda shunday  $\omega$  chastotali nurlarni chiqaradi (22.7 rasm).

Fluorensensiyalanuvchi moddadan o'tgan yorug'lik yutilishi tufayli susayadi. Shu sababli rezonans Fluorensensiyani ko'pincha yorug'likning rezonans yutilishi deb ataladi.

Atom yadrolari atomlarning o'zi kabi diskret energiya sathlariga ega. Yadro sathlari orasidagi o'tishlarni  $\gamma$ -nurlar hosil qiladi. Atomlarga ko'rinadigan nurlar tushganda hosil bo'ladigan rezonans Fluorensensiyaga o'xshash yadrolarga  $\gamma$ -nurlarni tushganda ham Fluorensensiya sodir bo'ladi deb o'ylash mumkin. Lekin,  $\gamma$ -nurlarda rezonans Fluorensensiya hodisasini kuzatishga uzoq vaqt muvaffaq bo'linmadi.

Noaniqlik munosabatlariga asosan barcha uyg'ongan energetik yadro sathlari quyidagi energiya qiymatlariga ega bo'ladi:

$$\Delta W = \frac{\hbar}{\Delta t} \quad (22.5)$$

bu yerda,  $\Delta t$  - yadroni uyg'ongan holatda yashash vaqti;  $\Delta t \rightarrow \infty$  da  $\Delta W = 0$  bu asosiy holatga mos keladi. Yadro uyg'ongan holatdan asosiy holatga o'tish uchun ketgan vaqtda u  $\gamma$ -nurlarini chiqaradi (monoxromatik bo'lmagan). Yadrolar tomonidan  $\gamma$ -nurlarining rezonans yutilishi deb shunday  $\gamma$ -nurlar yutilishiga aytiladiki, bu nurlarning  $\omega$  chastotasi, asosiy holat bilan uyg'ongan holatdagi biri orasidagi energiya  $\hbar\omega$  ga teng bo'ladi.

Yadro  $E_2$  uyg'ongan holatdan asosiy holatga o'tganda ( $E_1$ )  $\gamma$ -nurlar.

$$\hbar\omega_{\text{em}} = W_f = W - W_{\text{yo}} < W, \quad W = E_2 - E_1 \quad (22.6)$$

bu yerda,  $W_{\text{yo}}$  - yadro olgan tepkili energiya. Aksincha, yutilishida esa

$$W_f = \hbar\omega_{\text{mut}} = W + W_{\text{yo}} > W \quad (22.7)$$

Yutilish va nurlanish chiziqlarida chastotalar bir-biriga nisbatan

$$\omega_{\text{mut}} - \omega_{\text{em}} = \Delta\omega \quad (22.8)$$

ga siljigan bo'ladi.

Energiya  $\hbar\Delta\omega = 2W_{\text{yo}} - \gamma$  kvant nurlanish va yutilishda yadroga beradigan umumiy tepki energiyasidir.

Yadroga berilgan  $W_{\text{yo}}$  tepki energiya foton impulsini  $P_f$  bo'yicha aniqlanadi, bunda, yutilish va nurlanish vaqtida yadro tepki impulsini  $P = P_{\text{yo}}$  ni olamiz:

$$W_{\text{yo}} = \frac{P_f^{12}}{2M_{\text{yo}}} = \frac{P_f}{2M_{\text{yo}}} = \left(\frac{\hbar\omega}{c}\right)^2 \cdot \frac{1}{2M_{\text{yo}}} \quad (22.9)$$

Shu sababdan alohida yadro uchun rezonans yutilish hodisasi kuzatilmaydi.

Kristall panjaradagi yadrolarda  $\gamma$ -nurlarini yutilishi yoki nurlanishida yadroga beradigan tepki energiya keskin kamayadi, chunki bu holda yadro olgan impuls va tepkili energiya bitta yadroga emas, butun kristall panjaraga beriladi. Kristallning massasi yadro massasidan katta, yutilishda va nurlanishda yo'qoluvchi energiya  $W_{\text{yo}}$  juda kichik bo'ladi. Bunday holda  $\gamma$ -fotonlarning rezonans yutilishi va nurlanishi kuzatiladi, bu rezonans ma'lum chastota  $\omega$  ga mos keladi. Buning kengligi tabiiy kenglikka mosdir.

$\gamma$ -nurlarini (tepkili) energiya yo'qotmasdan rezonans nurlanishiga (yutilishiga) *Myossbauer effekti* deyiladi.

1958-yilda Germaniyalik yosh fizik R. Myossbauer bayon etilgan muammoni hal qilish yo'lini ishlab chiqardi.  $\gamma$ -nurlanish chiqarayotgan yadroning tepkillosini kamaytirish uchun nihoyat past haroratlardan foydalandi. Manba va nishon 88K haroratigacha sovutildi. Bunday past haroratlarda kristalldagi yadrolarning issiqlik tebranishlari shu qadar kamayib ketadiki, kristall parchasi faqat mustahkam yagona sistemadek harakatlanishi mumkin, xolos. Bunday kristall tarkibida biror yadro  $\gamma$ -nurlanish chiqarganda tepkillosi shu yadroning o'zi emas, balki yaqin kristall parchasi oladi.

Natijada nishonga tushayotgan  $\gamma$ -nurlanish energiyasi yadroni uyg'otishga yetarli bo'ladi. Shuning uchun Myossbauer amalga oshirgan tajribalarda  $\gamma$ -nurlanishning rezonans yutilishi kuzatiladi.

#### Savollar

1. Kristall jismlar qanday tuzilishga ega va ularni nechta turi mavjudligini aytting?
2. Kristall panjaraning qanday zarralardan tuzilganligiga qarab panjaralar nechta asosiy guruhga bo'lingan, ular qaysilar?
3. Kristalllarda qanday nuqsonlar uchraydi?
4. Past va yuqori temperaturalarda kristallarning issiqlik sig'imi qanday bo'ladi?
5. Fonon deganda nimani tushunasiz? Fotonning fotonga o'xshashlik xususiyatlarini aytting.
6. Fonon gaziga Boze-Eynshteyn statistikasini qo'llash tufayli Debay kristall panjaraning issiqlik sig'imi uchun nimaga erishdi?
7. Myossbauer effekti mohiyatini izohlang.

### Masalalar

**82-masala.** Kalsiy kristallining panjara parametri  $a$  va eng yaqin qo'shni atomlar orasidagi masofa  $d$  aniqlansin (panjara qirrasini markazlashtirilgan kubsimon singoniya). Kalsiy kristallining zichligi  $\rho = 1,55 \cdot 10^3 \text{ kg/m}^3$ .

**Berilgan:**  $\rho = 1,55 \cdot 10^3 \text{ kg/m}^3$   
 $a \sim ?$   $d \sim ?$

**Yechish.** Kubsimon panjaraning  $a$  parametri eng sodd katakchening hajmi bilan  $V = a^3$  munosabatda bog'langan.

Boshqa tomondan, eng sodd katakchening hajmi molar hajmning bir mol kristalldagi eng sodd katakchalar soniga nisbatiga teng:  $V$  uchun keltirilgan ifodalarning o'ng tomonlarini tenglashtirib, quyidagini topamiz:

$$a^3 = V_m / Z_m \quad (1)$$

Kalsiyning molar hajmi  $V_m = \frac{M}{\rho}$  bunda,  $\rho$  - Kalsiyning zichligi,  $M$  - uning

molar massasi. Bir moldagi eng sodd katakchalar soni

$$Z_m = N_A / n,$$

bunda,  $n$  - bitta katakchaga to'g'ri keluvchi atomlar soni.

$V_m$  va  $Z_m$  lar uchun keltirilgan formulalarini (1) formulaga qo'yib quyidagini olamiz

$$a^3 = nM / (\rho N_A) \quad (2)$$

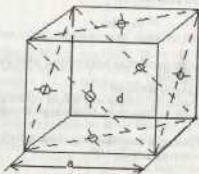
Bundan

$$a = \sqrt[3]{nM / (\rho N_A)}$$

$N=4$  ligini hisobga olib  $n, M, \rho$  va  $N_A$  kattaliklarning qiymatlarini

(2) formulaga qo'yib, hisoblab topamiz:

$$a = 556 \text{ pm.}$$



22.8-rasm.

Eng yaqin qo'shni atomlar orasidagi  $d$  masofa 22.8 -rasmda ko'rinib turgan sodd geometrik mulohazalardan topiladi.

$$d = a / \sqrt{2}$$

Bu ifodaga  $a$  ning oldin topilgan qiymatini qo'ysak,  
 $d = 393 \text{ pm.}$

**83-masala.**  $t_0=0^\circ\text{C}$  da rux tayoqchasining uzunligi  $\ell_{01}=200 \text{ mm}$ , mis tayoqchasining uzunligi esa  $\ell_{02}=201 \text{ mm}$ . Qanday  $t$  temperaturada tayoqchalar bir xil uzunlikda bo'ladi? Rux tayoqcha va mis tayoqchening chiziqli kengayish koeffitsiyentlari mos ravishda

**Berilgan:**  $\alpha_1 = 2,9 \cdot 10^{-5} \text{ grad}^{-1}$  va  $\alpha_2 = 1,7 \cdot 10^{-5} \text{ grad}^{-1}$

$$t_0 = 0^\circ\text{C}; \ell_{01} = 200\text{mm}; \ell_{02} = 201\text{mm}$$

$$t \sim ?$$

**Yechish:**  $t = t_0 (1 + \alpha \Delta t)$  formulaga muvofiq  $t$  - temperatura uchun quyidagi tenglikni yoza olamiz:  $\ell_{01}(1 + \alpha_1 t) = \ell_{02}(1 + \alpha_2 t)$  u holda

$$t = \frac{\ell_{02} - \ell_{01}}{\alpha_1 \ell_{01} - \alpha_2 \ell_{02}} = \frac{(201 - 200)10^3}{(2,9 \cdot 200 - 1,7 \cdot 201)} = 420^\circ\text{C}$$

**84-masala.**  $V=0,51$  suvda  $m=2g$  osh tuzi eritilgan. Bu eritma uchun  $t=17^\circ\text{C}$  temperaturadagi bosim  $R$  ni toping, tuz molekularining dissotsiatsiya darajasini 75% deb oling.

$$V = 0,51 = 0,5 \cdot 10^{-3} \text{ m}^3, m = 2g = 2 \cdot 10^{-3} \text{ kg}$$

**Berilgan:**  $t = 17^\circ\text{C} = 290\text{K}$

$$P \sim ?$$

**Yechish.** Van-Gooff qonuniga muvofiq, dissotsiatsiyalanmagan eritma uchun

$$P = \frac{CRT}{M}$$

bu yerda,  $C = \frac{m}{V}$  eritmaning konsentratsiyasi,  $T$  - uning absolyut temperaturasi,  $M$  - erigan modda kilomolining massasi ( $\text{NaCl}$  uchun  $M=23 \text{ kg/kmol} + 35 \text{ kg/kmol} = 58 \text{ kg/kmol}$ )  $R$  - universal gaz doimiyi.

Molekularning dissotsiatsiyani eritmada zaaralar sonining ko'payishiga va bosimning proporsional ravishda ortishiga olib keladi. Shuning uchun dissotsiatsiyani hisobga olgan holda shunday yozish mumkin:

$$P = \frac{mRT}{VM} \cdot 1,75 = \frac{0,002 \cdot 8,32 \cdot 10^3 \cdot 290 \cdot 1,75}{5 \cdot 10^{-4} \cdot 58} = 2,9 \cdot 10^5 \text{ N/m}^2 = 3 \text{ atm.}$$

## 7. YADRO FIZIKASI VA ELEMENTAR ZARRACHALAR

### XXIII BOB. YADRO FIZIKASI ELEMENTLARI

#### 23.1. Atom yadrosining tarkibi, Yadroning massa va zaryad soni

1919-yilda Rezerford azot yadrosini alfa zararlari bilan bombardimon qilganda ulardan vodorod yadrolari ajralib chiqishini kuzatgan. Rezerford bu zararlarni **proton** (yomoncha "birinchi" degan so'zdan olingan) deb atadi. 1932-yilda Rezerfordning shogirdi Chedvik yadro tarkibiga kinovchi yana bir zarra – **neytronni** aniqladi. 1932-yilda Chedvik kashtiyotidan keyin sovet fizigi D.D. Ivanenko va nemis fizigi V. Geyzenberglar bir-biridan mustaqil ravishda **atom yadrosi protonlar va neytronlardan tashkil topgan** degan fikrni ilgari surdilar. Shu tariqa atom yadrosining proton va neytronli modeli yaratildi. Proton va neytronni yagona nom bilan **nuklon** deb ataladi.

Proton musbat zaryadga ega bo'lib, elektron zaryadiga teng, ya'ni  $q_p = +|e| = 1,60219 \cdot 10^{-19} \text{ Kl}$ . uning tinchlikdagi massasi  $m_p = 1,67265 \cdot 10^{-27} \text{ kg}$ . Atom va yadro fizikasida **massaning atom birligi** (*m.a.b.*) kattaligini keng foydalaniladi. 1 m.a.b. uglerod 12 atomi massasining 1/12 ulashiga, ya'ni  $1,66057 \cdot 10^{-27} \text{ kg}$  ga teng. Natijada  $m_p = 1,00727 \text{ m.a.b.}$  ga teng bo'ladi. Neytron esa elektronreyal zarra bo'lib, uning tinchlikdagi massasi  $m_n = 1,67495 \cdot 10^{-27} \text{ kg} = 1,008665 \text{ m.a.b.}$  ga teng.

Massa va energiyaning ekvivalentli qonuni ( $E=mc^2$ )ga asoslanib, massa  $J$  larda, yoxud  $eV$  larda ( $1J = 6,2419 \cdot 10^{18} eV$ ) ham ifodalanadi. Demak,

$$m_p = 1,5033 \cdot 10^{-10} J = 938,28 \text{ MeV}$$

$$m_n = 1,5054 \cdot 10^{-10} J = 939,57 \text{ MeV} \quad (23.1)$$

Neytron va protonlar xususiy magnit momentlarga ham ega:

$$\mu_n = -1,91 \mu_m$$

$$\mu_p = +2,79 \mu_m \quad (23.2)$$

Bu ifodadagi  $\mu_m$  – **yadroviy magneton** deb ataladi;  $\mu_m$  – **yadroviy zarralarning magnit momentlarini** o'lchash uchun qo'llaniladigan kattalikdir. Agar Bor magnetonidagi elektron massasi  $m_e$  o'rniga proton massasi  $m_p$  ni qo'yajak,

$$\mu_m = \frac{eh}{2m_p} = 5,0508 \cdot 10^{-27} A \cdot m^2 \quad (23.3)$$

yadroviy magneton ifodasini hosil qilamiz.

D.I. Mendeleev davriy sistemasiidagi elementlarning tartib nomeri  $Z$  shu element atomi yadrosining zaryadini aniqlaydi, ya'ni  $q_n = +Ze$ .

Yadro tarkibidagi barcha protonlar soni  $Z$  va barcha neytronlar soni  $N$  ning yig'indisi, yadrodagi nuklonlar sonini ifodalaydi,

$$Z + N = A \quad (23.4)$$

**yadroning massa soni** deb ataladi.

Kimyoviy elementlarning atom yadrolarini  ${}_Z^A X$  simvol bilan belgilash qabul qilingan, bunda,  $X$  element simvoli,  $A$  – massa soni,  $Z$  – atom tartib nomeri.

Masalan,  ${}_{16}^{32}O$  gelyi atom yadrosini,  ${}_{8}^{16}O$  kislorod atom yadrosini bildiradi va shu kabilar.

Yadroda protonlar soni bir xil, ammo neytronlar soni har xil atomlar **izotoplar** deyiladi. Masalan, vodorodning uchta izotopi mavjud,  ${}_{1}^1H$  (protiy),  ${}_{1}^2H$  (deyteriy) va  ${}_{1}^3H$  (tritiy), bu yerda, kimyoviy simvolning pastki o'ng tomoniga neytronlar soni ham yoziladi.

Ya.I. Frenkel nazariyasiga ko'ra atom yadrosini **suyuqlik tomchisiga** o'xshatish mumkin. Suyuqlik tomchisidagi molekularlar o'zaro molekular tutinish kuchlari bilan bog'langani singari yadrosi tashkil qiluvchi nuklonlar ham o'zaro alohida tutilish kuchlari – **yadro kuchlari** bilan bog'langan. Ko'pgina elementlar atom yadrolarining barqarorligi yadro kuchlarining nihoyatda ulkan ekanligini ko'rsatadi.

Yadro kuchlari faqat juda kichik masofalardagina ( $10^{-11} \text{ m}$  tartibida) namoyon bo'ladi. Nuklonlar orasidagi masofa biroz o'zarganda yadro kuchlari nolgacha kamayadi va kulon kuchlari protonlarni ajratib yuboradi (yadroni parchalaydi). Yadro kuchlari gravitatsion va elektr kuchlari bo'lmay, alohida turgan kuchlardir. Ularning tabiati va xossalari hali to'liq o'rganilmagan. Hozirogi vaqtda haqiqatga eng yaqin deb yadro kuchlarining **mezon nazariyasini** hisoblashadi; bu nazariyaga muvofiq nuklonlar bi-biri bilan alohida elementar zarralar – **mezoni**ni almushah yo'lli bilan o'zaro ta'aliflashadi.

Bir xil sondagi protonlar va neytronlardan tashkil topgan yengil kimyoviy elementlarning yadrolari, ayniqsa, barqaror bo'ladi. Yadrolari ko'p sonli nuklonlardan tashkil topgan eng og'ir kimyoviy elementlarda (davriy sistemada qo'rg'oshindan keyin joylashgan) yadro kuchlari yadroning barqarorligini ta'minlay olmaydi. Bunday yadrolar o'z-o'zidan parchalanib, ancha yengil elementlarning yadrolariga aylanadi. Bu hodisa tabiiy **radioaktivlik** deb ataladi.

#### 23.2. Radioaktivlik

Tabiiy radioaktivlikni 1896-yilda fransuz fizigi Bekkerel kashf qildi. Uni fikricha, uran tuzining o'z-o'zidan chiqqan nurlari noishaffof moddalar qatlamidan o'ta olingan, gazlarni ionlashtira oladigan, fotoplastinkani qoraytiradigan xususiyatli bordir. P.Kyuri hamda M.Kyuri Skladovskaya va boshqalar tomonidan keyinchalik o'qchizilgan tadqiqotlar ko'rsatadiki, tabiiy radioaktivlik faqat uran tuzlariga xos bo'lib qolmay, balki og'ir kimyoviy elementlarning ko'pchiligiga, jumladan, aktiniy, toriy, poloniy va radeyga ham xosdir. Poloniy va radeyni 1898-yilda Per va Mariya Kyurilar kashf etgan. Bu elementlarning hammasini **radioaktiv elementlar**, ularning chiqarayotgan nurlarini – **radioaktiv nurlar** deb ataladi. Radioaktiv nurlarlashga **alfa-nurlar**, **beta nurlar** va **gamma-nurlar** deb atalgan uch xil nur kiradi.

1. Alfa-nurlar elektr va magnit maydonlarida og'adi; bu nurlar gelyi  ${}_{2}^{4}He$  atomi yadrolari oqimidan iborat. Har bir  $\alpha$  - zarracha ikkita elementar musbat zaryad  $+2e$  ga ega va massa soni 4 ga teng,  $\alpha$  - zarrachalar  $14000 \pm 20000 \text{ km/s}$  tezlikka ega bo'lib,  $4 \pm 9 \text{ MeV}$  kinetik energiyaga ega bo'ladihar.  $\alpha$  - zarracha o'z energiyasini atomlarni ionlashga sarflab to'xtaydi; bunda, u moddada mavjud bo'lgan erkin elektronlardan ikkitasini o'ziga qo'shib oladi va gelyi atomiga aylanadi.

$\alpha$  - zarrachani havoda o'tgan yo'lli  $3 \pm 9 \text{ sm}$  ni tashkil qiladi, ularning ionlashish qobiliyati esa 100000-250000 juft ionga teng. Shunday qilib,  $\alpha$  -

zarrachaning ionlashtrish qobiliyati yuqori, lekin o'tuvchanlik qobiliyati uncha katta emas.

1.  $\alpha$  - zarracha qalinligi  $0,06 \text{ mm}$  bo'lgan aluminiy qatlamida yoki qalinligi  $0,12 \text{ mm}$  bo'lgan biologik to'qima qalinligidagi qatlamda butunlay yutiladi.

2. Beta-nurlar elektr va magnit maydonlarida og'adi; ular *tez elektronlar* oqimidan iborat bo'lib,  $\beta$ -zarrachalar deb ataladi.  $\beta$ -zarrachaning o'rtacha tezligi  $160000 \text{ km/s}$  ga teng.

$\beta$ -nurlanish  $\alpha$ -nurlanishdan farq qilib, *tutash energetik spektriga* ega.  $\beta$ -zarracha havoda  $40 \text{ m}$  gacha, alyuminiyda  $\sim 2 \text{ sm}$  gacha, biologik to'qimada  $\sim 6 \text{ sm}$  gacha yuguradi.

3. Gamma-nurlar - xarakteristi juda katta  $\sim 10^{28} \text{ Ge}$ , to'liq uzunligi esa juda qisqa  $\sim 10^{-12} \text{ m}$  bo'lgan fotonlar oqimidan iborat.  $\gamma$ -fotonlar energiyasi  $1 \text{ MeV}$  chamasida bo'ladi.

$\gamma$ -nurlar eng qattiq elektromagnit nurlar bo'lib, ko'p jihatdan rentgen nurlariga o'xshaydi ular elektr va magnit maydonida og'maydi, yorug'lik tezligi bilan tarqaladi, kristalldan o'tishida diffraksiya ro'y beradi.

$\gamma$ -nurlarning ionlashtrish qobiliyati katta emas, u havoda  $100$  juft ionga ega yo'lni bosadi.

$\gamma$ -nurlar eng o'tuvchi nurlardir. Eng qattiq  $\gamma$ -nurlar qalinligi  $5 \text{ sm}$  bo'lgan qo'rg'oshin qatlamidan yoki qalinligi bir necha yuz metr bo'lgan havo qatlamidan o'tadi; kishi tanasidan bema'lol o'tib ketadi.

$\beta$ -yemirilishida radioaktiv element davriy sistemada massa sonini o'zgartirmasdan o'ngga bir nomerga siljiydi:



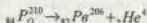
Masalan,



$\alpha$ -yemirilishida radioaktiv element davriy sistemasida massa sonini  $4$  ga kamaytirib, chapga ikki raqamga siljiydi:



Masalan,



Radioaktiv yemirilish radioaktiv element atomlarining asta-sekin kamayishiga olib keladi.  $dt$  vaqt ichida yemiriladigan atomlar soni  $dN$ , vaqtga va radioaktiv element atomlarining umumiy soni  $N$  ga proporsionaldir:

$$dN = -\lambda N dt \quad (23.7)$$

hunda,  $\lambda$  - berilgan elementning *yemirilish doimiyi* deb ataladigan proporsionallik koeffitsiyenti. Minus ishorasi vaqt o'tishi bilan radioaktiv element atomlar sonining kamayishini ko'rsatadi. (23.7) dan

$$\lambda = -\frac{dN}{N dt}$$

kelib chiqadi, ya'ni yemirilish doimiyi vaqt birligidagi atomlar sonining nisbiy kamayishiga teng.

(23.7) tenglikning  $t=0$  dan  $t$  gacha vaqt oralig'ida integrallab, quyidagini olamiz:

$$N = N_0 e^{-\lambda t} \quad (23.8)$$

(23.8) munosabatni *radioaktiv yemirilish qonuni* deb ataladi. (23.8) ifodadagi  $N_0$  - boshlang'ich ( $ya'$ ni  $t=0$ ) vaqtidagi radioaktiv moddada mavjud bo'lgan yadrolar soni.  $N$  - biror  $t$  - vaqtdan so'ng yemirilmay qolgan yadrolar soni,  $\lambda$  esa *yemirilish doimiyi deb ataluvchi* kattalik. ko'pincha  $\lambda$  o'rni *yarim yemirilish davri* ( $T_{1/2}$ ) deb ataladigan kattalikdan foydalaniladi:  $\lambda$  va  $T_{1/2}$  lar orasida quyidagicha bog'lanish bo'lar:

$$T_{1/2} = \frac{0,693}{\lambda} \quad (23.9)$$

radioaktiv izotoplarning yarim yemirilish davri  $T_{1/2}$  shunday vaqt oralig'iki, bu vaqt ichida mavjud radioaktiv yadrolarning yarmi yemiriladi.  $T_{1/2}$  ning qiymatlari turli radioaktiv yadrolar uchun turlicha, masalan, sekundning ulushidan million yillargacha bo'lishi mumkin.  $T_{1/2}$  ning qiymati tashqi sharoitlarga (harorat, bosim, magnit yoki elektr maydonlarining ta'siriga) va radioaktiv yadrolarni qanday kimyoviy birliklar tarkibida ekanligiga bog'liq emas.

*Radioaktiv manbalar aktivligi birlik vaqtda sodir bo'ladigan yemirilishlar sonini ifodalaydi. Uning SI dagi birligi bekkeler (Bk) 1 sekunda 1 yemirilish sodir bo'ladigan radioaktiv manbaning aktivligi 1 Bekkerel bo'ladi.*

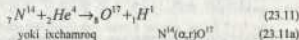
### 23.3. Yadroviy reaksiyalar

Ikki yadro yoki yadro va zarra bir-biri bilan  $10^{-15} \text{ m}$  lar chamasiga yaqinlashganda yadroviy kuchlarning ta'siri tufayli o'zaro intensiv ta'sirlashadi. Natijada yadroviy o'zgarishlar vujudga keladi. Bu jarayonlarni *yadroviy reaksiya* deb ataladi, yadroviy reaksiyani quyidagicha yozish mumkin:



hunda,  $X$  - boshlang'ich yadro,  $a$  - reaksiyaga kirishuvchi zarra,  $\sigma$  - yadroviy reaksiyada ajralib chiquvchi zarra,  $Y$  - yadroviy reaksiyada vujudga kelgan yadro,  $a$  va  $\sigma$  zarralar - neytron, proton, alfa-zarra, gamma - kvant, yengil yadrolar yoki boshqa elementar zarralar bo'lishi mumkin.

Birinchii yadroviy reaksiya Rezerford tomonidan azotni  $\alpha$ -zarralar bilan bombardimon qilish jarayonida kislordan va proton hosil qilib, amalga oshirilgan, ya'ni



ko'rinishda ifodalash mumkin.

Barcha yadro reaksiyalarida biror elementar zarracha (masalan,  $\gamma$ -foton) chiqadi. Ko'pchilik yadro reaksiyalarining mahsulotlari ham radioaktivdir, ular *sun'iy radioaktiv izotoplar* deb ataladi. Sun'iy radioaktivlik hodissasini 1934-yilda fransuz fiziklari *Frederik va Iren Joljo Kyuril* kashf qilishgan.

Fosfor  ${}_{15} \text{P}^{31}$  ning neytronlarni qo'shib olish reaksiyasi radioaktiv izotoplarini olishga misol bo'ladi. Unday qo'shib olishda  $\gamma$ -foton chiqadi va fosforning radioaktiv izotopi  ${}_{15} \text{P}^{32}$  hosil bo'ladi:



Fosfor izotopining yurim yemirilishi davri  $T_{1/2} = 14,5$  kunga teng.  $\beta$ -zarralarni chiqarish bilan boradigan izotop yadroshning yemirilishi  $\gamma$ -s<sup>2</sup> olingugurmi barqaror izotopining hosil bo'lishiga olib keladi:



Yadroviy reaksiyalarda saqlanish qonunlarining bajarilishini ko'raylik.

1. Yadroviy reaksiyaga kirishuvchi zarralarning umumiy zaryadi reaksiyada vujudga kelgan zarralarning umumiy zaryadiga teng.

2. Yadroviy reaksiyaga kirishayotgan zarralardagi nuklonlarning to'liq soni reaksiyadan keyin ham saqlanadi, ya'ni reaksiyada hosil bo'lgan zarralar nuklonlarining to'liq soniga teng bo'ladi (23.1-jadval).

23.1-jadval

Yadroviy reaksiya	Elektr zaryadi	Nuklonlar soni
$N^{14} + \alpha \rightarrow O^{17} + R$	$7+2=8+1$	$14+4=17+1$
$N^{14} + N^1 \rightarrow Ne^{15} + n$	$7+1=2+0$	$2+2=3+1$
$L^7 + R \rightarrow V^7 + n$	$3+1=4+0$	$7+1=7+1$
$S^{32} + n \rightarrow R^{32} + R$	$16+0=15+1$	$32+1=32+1$
$Ve^+ + \gamma \rightarrow Ne^+ + n$	$4+0=2+2+0$	$9+0=2+4+1$

3. Yadroviy reaksiyalarda massaning saqlanish qonuni (va energiyaning saqlanish qonuni ham) bajariladi. U holda yadroviy reaksiyaga kirishayotgan zarralarning tinchlikdagi massalari (23.10) ga asosan  $m_1$  va  $m_2$  deb, reaksiyada vujudga kelgan zarralarniki esa  $m_3$  va  $m_4$  deb belgilaylik. Ularning kinetik energiyalarini mos ravishda  $T_1, T_2, T_3, T_4$  deb belgilaylik. Natijada reaksiyaga kirishayotgan zarralar to'liq energiyalarning yig'indisi reaksiyada vujudga kelgan zarralar to'liq energiyalarning yig'indisiga tengligini quyidagicha ifodalaymiz

$$m_1 c^2 + T_1 + m_2 c^2 + T_2 = m_3 c^2 + T_3 + m_4 c^2 + T_4$$

Mos hadlarni guruhlasak, bu ifoda quyidagi

$$[(m_1 + m_2) - (m_3 + m_4)]c^2 = (T_3 + T_4) - (T_1 + T_2)$$

ko'rinishga keladi.

Yadroviy reaksiyada ajralib chiqadigan yoki yutiladigan energiyani **reaksiya energiyasi** deb ataladi, ya'ni

$$Q = [(m_1 + m_2) - (m_3 + m_4)]c^2 = (T_3 + T_4) - (T_1 + T_2) \quad (23.14)$$

Agar  $Q > 0$  bo'lsa, zarralar kinetik energiyasining ortishi kuzatiladi. U holda  $(T_3 + T_4)$  ning har qanday qiymatida ham **ekzotermik reaksiya** amalga oshadi.

Agar  $Q < 0$  bo'lsa, **endotermik reaksiya** sodir bo'ladi. Bunda zarralar kinetik energiyasining kamayishi hisobiga ularning tinchlikdagi massalari ortadi. Shuning uchun reaksiyaga kirishayotgan zarralar kinetik energiyalari yetarlicha katta bo'lishi, ya'ni  $(T_1 + T_2) = -Q / (T_3 + T_4)$  shart bajarilishi kerak.

## 23.4. Yadrolarning bo'linishi

Faqat uyg'ongan yadrogina ikki qismga bo'linishi yoki parchalanishi mumkin.

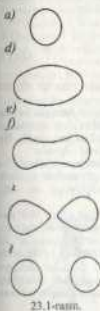
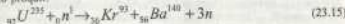
Yadroviy uyg'otish uchun, masalan, uni  $\alpha$ -zarralar yoki protonlar bilan bombardimon qilish usuli bilan unga yetarlicha energiya sarflash kerak bo'ladi. Avval qayt qilingandek, yadrolarni parchalashning eng yaxshi effektiv quroli neytronlardir, chunki ular elektr jihatdan neytral bo'lgani uchun yadro tomonidan elektrostatik itarish kuchiga duch kelmaydi.

XX asrning 40-yillariga kelib, bir qancha olimlar (E.Fermi, L.Jollo - Kyuri, P.Savich, O.Gan, Shtraman, O.Frishi, L.Maytner) ning tajribalari va nazariy izlanishlari tufayli, neytronlar bilan bombardimon qilingan uran yadrosining bo'linish reaksiyasi kashf qilindi. Yadroning tomchi modeliga asoslanib, bu reaksiyani quyidagicha izohlash mumkin.

Neytron n ni o'ziga qo'shgan uran yadrosi U uyg'ongan bo'lib qoladi va deformatsiyalanadi (23.1-rasm). Agar uyg'onish unchalik katta bo'lmasa, u vaqtda yadro y fotonlar yoki neytron chiqarish yo'li bilan ortiqcha energiyadan qutulib, turg'un holatga qaytadi. Bunda tomchining shakli sharsimonidan ellipsoidsimonga, undan yana sharsimonga qaytadi. Agar uyg'onish energiyasi yetarlicha katta bo'lsa, u vaqtda yadroda ikkiga bo'linayotgan suyuqlik tomchisining ikki qismi orasidagi cho'zilishga o'tilish uzunchoq shakl (23.10-rasmga q.) paydo bo'ladi. Cho'zilayotgan yadroning juda ipchikka qismida ta'sir qilayotgan yadro kuchlari endilikda yadroning bir xil ishorali zaryadlangan qismlarining katon itarishish kuchlariga qarshi tur olmaydi. Natijada cho'zilgan yadro uziladi va qarama-qarshi tomonga katta tezlik bilan uchib ketadigan ikkita sparchluga yemiriladi. Bundan tashqari, bo'linish vaqtda yadronin **only neytronlar** deb ataladigan 2-3 ta neytron ajralib chiqadi. O'ny neytronlarning ko'pchiligi 1-2 MeV energiyaga ega. Energiyasi 1,5 MeVdan katta bo'lgan neytronlar **tez neytronlar**, energiyasi 1,3 MeV dan oz neytronlar **sekin neytronlar** deb ataladi. Energiyasi juda kichik neytronlar **issiqlik neytronlari** deyiladi.

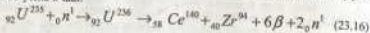
Bo'lingan yadroning parchalari radioaktiv bo'ladi: ular  $\gamma$ -fotonlar,  $\beta$ -zarralar va neytronlar chiqaradi, bu neytronlarni o'ny neytronlardan farqlash maqsadida **kuchlikan neytronlar** deb ataladi.

Barcha og'ir elementlarning yadrolari neytronlar ta'sirida ikki qismga bo'linish qobiliyatiga ega. Amaliy jihatdan eng muhim bo'linuvchi materiallar uran  ${}_{92}U^{235}$ , aktino uran  ${}_{88}Ac^{227}$ , uranning sun'iy  ${}_{92}U^{238}$  izotopi va plutoni  ${}_{94}Pu^{239}$  dir.  ${}_{92}U^{235}$ ,  ${}_{94}Pu^{239}$  va  ${}_{88}Ac^{227}$  yadrolar tez, shuningdek, sekin (jumladan, issiqlik) neytronlar ta'sirida bo'linadi,  ${}_{92}U^{238}$  yadrosi esa faqatgina tez neytronlar ta'sirida bo'linadi. Uran  ${}_{92}U^{235}$  ning uchta neytron chiqarib, kripton va bariy izotoplariga yemirilishi ehtimolligi ko'proqdir:

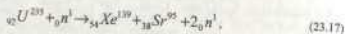


Keyingi tekshirishlar uran yadrosi neytronlar bilan bombardimon qilindanda 80 xil bo'laklar hosil bo'lishini ko'rsatdi. Shu bilan birga massalari nisbati 2:3 bo'lgan bo'laklarga bo'linish eng ehtimolli ikkani ma'lum bo'ldi.

Uran yadrosining mumkin bo'lgan bo'linish reaksiyalaridan yana biri quyidagi sxema bo'yicha o'tadi.



Shuningdek,



bu yerda, Se - sery, Zr - sirkoniy, Xe - ksenon, Sr - stronsiyalar davriy sistema elementlarining o'tra qismiga to'g'ri keladi.

Neytronlar ta'sirida bo'linish bilan bir qatorda, garchi juda oz darajada bo'lsa-da, og'ir yadrolar o'z-o'zidan bo'linishi ham mumkin; masalan, 1 g uranda bir soatda hammasi bo'lib taxminan 20 tacha o'z-o'zidan yemirilish yuz beradi. Bu hodisani 1940-yilda sovet fiziklari K.A.Petrijak va G.N.Flerov kashf qilganlar.

Uran yadrosining bo'linishida, taxminan, 208 MeV energiya ajraladi, bu energiyating deyarli 80% parchalarning kinetik energiyasi ko'rinishida ajraladi; qolgan 20% esa parchalarning radioaktiv nurlanish energiyasiga va oniy neytronlarning kinetik energiyasiga to'g'ri keladi.

Yadroning bo'linishida sarf qilingan neytronlarning energiyasi 7-10 MeV dan oshmaydi. Buni yadrolarni bo'linishida ajralib chiqqan energiya bilan solishtirsak, yadrosi bo'linadigan materiallar juda katta energiya manbai bo'lib xizmat qilishi ko'rinadi. Masalan: 1 kg uran - 235 da bo'lgan barcha yadrolarning bo'linishida ajralib chiqqan energiya, taxminan,  $2,3 \cdot 10^7$  kVsoat ga teng. Buncha energiya miqdori 2000000 kg benzin yoki 2500000 kg tosh ko'mir yonganda ajralishini ko'rsatish mumkin. Shuning uchun xalq xo'jaligida yadro yoqilg'isidan foydalanish maqsadga muvofiqdir.

### 23.5. Zanjir reaksiya. Reaktorlar

Yadroning bo'linish energiyasidan foydalanish imkoniyatini amalga oshirish uchun shunday sharoit yaratish kerakki, bu sharoitda reaksiya bir boshlangandan so'ng o'z-o'zidan davom eta olsin, ya'ni reaksiya zanjir xarakteriga ega bo'lsin. Bunday reaksiyani amalga oshirishga, masalan, og'ir Uran - 235 yadroning bo'linishida vujudga keladigan 2-3 dona neytron yordam beradi. Masalan, birinchi yadro bo'linganda ajralib chiqqan 2-3 neytronning har biri o'z navbatida yangi yadrolarning bo'linishiga sabab bo'ladi. Natijada 6-9 yangi neytronlar vujudga keladi. Bu neytronlar o'z navbatida yana boshqa yadrolarni bo'linishiga imkoniyat yaratadi va hokazo. Bunday reaksiya bo'linishning zanjir reaksiyasi deb yuritiladi. Uran - 235 bo'linishining zanjiriy reaksiyasi nazariyasini 1938-yilda Ya.B.Zeldovich va Yu.B.Xaritonlar ishlab chiqishgan.

Uraning har bir yadrosining bo'linishida 2-3 ta neytron paydo bo'lishiga qaramasdan, ularning hammasi ham boshqa yadrolarning bo'linishiga sabab bo'laermaydi. Neytronlarning bir qismini yadro yoqilg'isida bo'ladigan bo'linmaydigan aralashma yadrolari o'ziga o'shib olish mumkin, neytronlarning yana bir boshqa qismi yoqilg'i material hajmi siridun uning boshqa yadrolari bilan

to'qashmay chiqib ketishi mumkin. Shuning uchun uran yadrolar bo'linishining zanjiriy reaksiyasi hamma vaqt ham sodir bo'laermaydi. Zanjir reaksiya yuz berishi uchun birinchidan  ${}_{92}U^{235}$  izotopning bo'lagi yetarli katta bo'lishi kerak. Uran bo'lagining o'lchamlari yetarli katta bo'lganda bo'linish reaksiyasi davomida ajraluvchi neytronlarning ko'p qismi uran bo'lagining chekkasiga yetguncha reaksiyaga kirishib ulguradi. Uran bo'lagining neytronlari ham zanjir reaksiyaning amalga oshishiga yordam beradi. Umuman, zanjir reaksiyaning rivojlanish tezligi ko'payish koefitsiyenti  $K$  ning qiymati bilan xarakterlanadi. Ko'payish koefitsiyenti - biror avlod bo'linishlarida vujudga kelgan neytronlar sonini undan oldingi avlod bo'linishida hosil bo'lgan neytronlar soniga nisbatidir. Agar  $K > 1$  bo'lsa, zanjir reaksiyasi rivojlanadi.  $K < 1$  da reaksiya so'nadi.  $K = 1$  bo'lganda reaksiya bir me'yorda davom etadi. Zanjir reaksiya uran yoki plutoniyning izotoplaridan foydalaniladi. Masalan, tabiiy uran tarkibida 99,282%  ${}_{92}U^{238}$  izotop, 0,7121%  ${}_{92}U^{235}$  izotop va 0,06%  ${}_{92}U^{234}$  izotop bor. Tez neytronlar ta'sirida bu izotoplarning barchasi bo'linadi, sekin neytronlar esa faqat  ${}_{92}U^{235}$  izotopining bo'linishiga sabab bo'la oladi. Energiyasi 1 MeV dan kichik neytronlar  $U^{238}$  yadrosi tomonidan ham tutilishi mumkin va  $U^{238}$  hosil bo'ladi. Lekin  $U^{238}$  izotop  $\beta$  yemirilish natijasida  $Nr^{239}$  ga, u esa  $Rr^{239}$  ga aynlanadi, ya'ni:



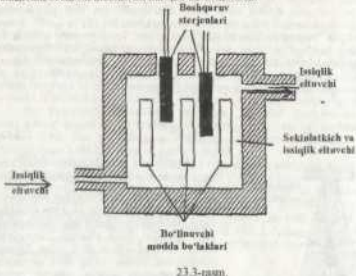
23.2-rasm.

$Pu^{239}$  ham, huddi  $U^{235}$  kabi sekin neytronlar ta'sirida bo'linadi. Demak,  $U^{235}$  yoki  $Pu^{239}$  yadrolaridan foydalanib, zanjir reaksiyani amalga oshirish mumkin. Faqat neytronlarni reaksiyada qatnashmay aktiv zondan chiqib ketishini kamaytirish lozim. Shuning uchun aktiv zona hajmini kattalashtirib borilsa, uning bitor qiyamatida zanjir reaksiyani amalga oshirish uchun yetarli sharoit yaratilgan bo'ladi. Bunday hajmdagi bo'linuvchi moddaning massasini kritik massa ( $m_k$ ) deb ataladi. Masalan, so'f  $U^{235}$  dan tashkil topgan bo'linuvchi modda uchun  $m_k \approx 9$  kg bo'lishi kerak.

$m > m_k$  shart bajarilganda  $K > 1$  bo'lsa, zanjir reaksiya boshqarilmaydigan tarzda amalga oshishi atom bombaning portlash jarayonida sodir bo'ladi. Atom bombaning tuzilishi sxematik tarzda 23.2-rasmda tasvirlangan. Unda bo'linuvchi modda ikki yoki ko'proq bo'laklar tarzida tayyorlanadi. Bu bo'lakchalarning umumiy massasi kritik massadan katta, lekin har bo'lakchalarning massasi kriti, massadan kichik. Shuning uchun har bir bo'lakning o'zida bo'linish zanjir reaksiya rivojlanmaydi. Bombaga joylashtirilgan oddiy portlovchi qurilma portlaganda mazkur bo'laklar qo'shilib, zanjir reaksiyani amalga oshirishga sharoit yaratiladi. Bo'linish reaksiyasini boshlab berish uchun kerak bo'ladigan birinchi neytronlar esa bo'linuvchi modda ichida doimo sadashibo yurgan bo'ladi. Masalan, massasi 1 g bo'lgan uranda spontan bo'linish tufayli sekundiga taxminan 20 neytron vujudga

keladi. Hundan tasqari, kosmik nurlar ta'sirida ham doimo turli zararlari qatori neytronlar ham vujudga kelib turadi. Atom bomba portlaganda juda qisqa vaqt ichida nihoyatda katta energiya ajralib chiqqanligi uchun portlash zonasida harorat bir necha million gradusga yetadi. Bunday issiqlik ta'sirida portlash zonasidagi modda bug'ga aylanadi. O'ta qiziqan sharsimon gaz tez kengayishi natijasida juda kuchli zarb to'lqini vujudga kelib o'z yo'lidagi obyektlarni yemiradi va kuydirib tashlaydi.

Boshqariladigan bo'linish zanjir reaksiyalarini amalga oshirish uchun qo'llaniladigan qurilmalar **yadroviy reaktor** deb ataladi. Bunday qurilmalarda neytronlar ko'payish koefitsiyentini  $K$  ning 1 dan o'zina katta qiymatlarida zanjir reaksiyani boshlash imkoniyati mavjud bo'lishi kerak.

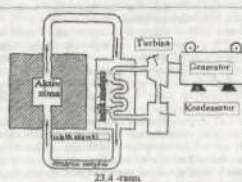


U holda aktiv zondagi neytronlar konsentratsiyasi va reaktorning quvvati orta bo'shaydi. Kerakli quvvatga erishilganda  $K$  ning qiymatini aynan 1 ga teng qilib turish imkoniyati bo'lishi kerak. Bu holda zanjir reaksiya o'zgarmas tezlik bilan davom etadi, natijada reaktor **stasionar rejimida** ishlay boshlaydi.

Endi biz hozirgi zamon energetikasida keng foydalanilayotgan issiqlik neytronlar ta'sirida ishlaydigan reaktorlar bilan tanishamiz. Reaktoring asosiy elementi - bo'linuvchi moddalar. Zamonaviy reaktorlarda bo'linuvchi modda sifatida  $U^{235}$  izotop bilan boyitilgan tabiiy urandan foydalanamiz. Issiqlik neytronlar  $U^{235}$  ni effektiv ravishda bo'linishiga sababchi bo'ladi. Shuning uchun bo'linish reaksiyasida vujudga kelgan tez neytronlarni sekinlashtirish yo'li bilan issiqlik neytronlarga aylantiriladi. Sekinlatkichlar sifatida grafit yoki og'ir suv ( $D_2O$ ) dan, bo'zari esa oddiy suv ( $H_2O$ ) dan ham foydalaniladi. 23.3-rasmida reaktor aktiv zonasining soddalashtirilgan sxemasi sekinlatkich modda bilan to'ldirilgan. Sekinlatkich ichiga sterjen yoki plastinka shaklida bo'linuvchi modda bo'laklari joylashtiriladi. Zanjir reaksiya tezligini boshqaruvchi sterjenlar yordamida

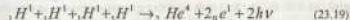
o'zgartirish mumkin. Bu sterjenlar neytronlarni intensiv ravishda yutadigan materiallar (masalan, bor yoki kadmiy)dan tayyorlanadi. Boshqaruvchi sterjenlarning ko'proq yoki kamroq qismini aktiv zona ichiga kiritish yo'li bilan  $K$  ning qiymatini o'zgartirishga erishiladi.

Yadroviy energiyadan foydalanishga asoslangan qurilmalarning asosiy qismi yadroviy reaktorlardir. Misol tariqasida atom elektr stantsiya (AES) ning ishlash prinsipi bilan tanishaylik. Zanjir bo'linish reaksiyasida ajralayotgan energiya aktiv zonani aylantiradigan (23.4-rasm q.) issiqlik oltuvchiga o'tadi. Issiqlik oltuvchi bu energiyani issiqlik almashgichda suvga beradi, natijada suv bug'ga aylanadi. Bug' esa o'z navbatida generatorning turbinasini harakatga keltiradi. Turbinadan o'tgan bug' kondensorda suvga aylanib, yana issiqlik almashgichga boradi. Shu tarzda yadroviy energiya elektr energiyaga aylantiriladi.



### 23.6. Termoyadroviy reaksiyalar. Yulduzlar energiyasi

Amerikalik fizik X. Beje 1939-yili Quyosh va yulduzlar energiyasining manbalaridan biri, ular tarkibiga kiruvchi vodoroddan geliy hosil bo'lishi degan gipotezani ilgari surdi, bu reaksiya soddalashtirilgan holda quyidagicha yozilishi mumkin:



bu reaksiyada ajraluvchi energiya  $\Delta E = 26 \text{ M}eB$  ga teng bo'ladi.

Oldingi 23.4 da uran -235 yadrosining bo'linish reaksiyasida  $\Delta E = 208 \text{ M}eB$  energiya ajralishi mumkinligini ko'rib o'tgan edik. Uran yadrosi

uchun har bir nuklonga to'g'ri kelgan energiya  $E_1 = \frac{208}{235} = 0,9 \text{ M}eB$ ; geliy

yadrosi uchun esa  $E_2 = \frac{26}{4} = 6,5 \text{ M}eB$ . Demak, yengil yadrolar sintezida har

bir nuklonga to'g'ri kelgan energiya og'ir yadrodagiga qaraganda qariyb 7 barobar katta ekan. Shunday qilib, energetika nuqtayi nazaridan yuqoridagi har bir nuklonga to'g'ri kelgan energiyalarni solishtirishda, shu nazari ma'lum bo'ldiki, yengil



yadrolar sintezi reaksiyasi, o'g'r yadrolarning bo'linish reaksiyasiga qaraganda ko'proq energiya olish imkoniyatini berar ekan.

Ravshanlik, ikki yadroning bir yadroga birlashishi uchun ular o'zaro itarishlik kuchlarini yengib, bir-biriga  $10^{13}$  m tartibidagi masofagacha yaqinlashishi lozim. Demak, birlashayotgan yadrolar kulon itarishlik kuchlariga qarshi ish bajara olishi uchun yetarlicha katta kinetik energiyaga ega bo'lishlari kerak, bu sintez reaksiyasini amalga oshirishning zaruriy shartidir.

Vodorod yadrolarining  $10^{7,5}$  m masofagacha yaqinlashuvi, faqat bir necha yuz million gradus haroratgacha qizitilgan vodorod plazmasiga bog'liq bo'lishi mumkin. Bunday haroratda yadrolarning kinetik energiyasi ular orasidagi elektrostatik itarishlik kuchlarini yengishiga yetarli bo'ladi. Bunday reaksiyalar **termoyadro reaksiyalari** deb yuritiladi.

Birinchi termoyadro reaksiyasi vodorod bombasidagi amalga oshirilgan. Unda vodorodning,  ${}^2N$  (deyteriy) va  ${}^3N$  (tritiy) izotoplaridan gely yadrosining sintezi amalga oshirilgan:



23.5-rasm.

Vodorod bombasi sinxritirilgan deyteriy bilan tritiy aralashmasi to'ldirilgan massiv gormetik yopilgan idishdan iborat. Idishning ichki qismi yuqoridagi incha

katta bo'lmagan atom bombasi joylashtiriladi, u portlaganda deyteriy bilan tritiy aralashmasi bir onda o'n-laracha million graduslarigacha qiziydi. Shu tayyali shiddatli termoyadro reaksiyasi vujudga kelib, bu reaksiya vodorod bombasining portlashi bilan tugallanadi. Vodorod bombasining portlash kuchi atom bombasining portlash kuchidan o'n marta kattadir. Agar vodorod bombaning devorlariga  $U^{238}$  izotop

(ya'ni tabiiy uran, chunki uning 99 %  ${}_{92}U^{238}$  dir) bilan qoplatasa, termoyadroviy reaksiyada ajralib chiqadigan tez neytronlar  $U^{238}$  yadrolarining bo'linishiga sababchi bo'ladi. Buning natijasida bombaning portlash quvvati yuzlarga ortadi (23.5-rasm).

Vodorod bombasidagi termoyadro reaksiyasini boshqarib bo'lmaydi. Boshqaruvchi termoyadro reaksiyasini amalga oshirish uchun  $10^8 K$  tartibidagi haroratni hosil qilish va uni ushlab turish kerak. Bundan tashqari, ofingan gaz plazmasını berigan hajmda ushlab turish zarur, chunki plazmaning idish devorlariga tegishi uning sovishiga olib keladi.

Optimal yochimlarni topish yo'lidagi fiziklarning uzoq muddatli izlanishlaridan ko'p sonli qiynchiliklarni yengish borasidagi kurashishlardan so'ng eng istiqbolli yo'nalishlar aniqlanadi. Hozirda bu muammoni hal qilishni ikki yo'nalishi belgilandi: termoyadro reaksiyasini «tokamak» tipidagi qurilmalarda tinch yadro «alangani» shaklida va yadro yonilg'isi kichik «tabletkalarning» «mikroporrtlashlari» ko'rinishida amalga oshirish.

Birinchi marta sobiq SSSR da yaratilgan «Tokamak - 10» tipidagi qurilmada plazmani qizitish uchun kuchli elektr razyadidan, uni ushlab turish uchun esa magnit maydonidan foydalaniladi. «Tokamak»da plazma toroidal kamerada hosil qilinadi. Kamera past bosimli deyteriy ( ${}^2N$ ) bilan to'ldirilgan, Toroidal kamera

impuls transformatorning ikkinchi o'rami bo'ladi, uning birlamchi o'rami juda katta sig'imli kondensatorlar batareyasiga ulanadi. Kondensatorlar batareyasi transformatorning birlamchi o'rami orqali zaryadsizlanganda toroidal kamerada uytqumaviy elektr maydon yuzaga keladi. U ishchi gazni ionlashtiradi va unda kuchli tok impulsini hosil qiladi. Elektr toki ishchi gazni qattiq qizdiradi. Bir necha o'n million kelvinsgacha haroratli plazma hosil bo'ladi.

Bundan tashqari, toroidal kamerada hosil qilingan elektr toki ikkinchi muhim funksiyani bajaradi: uning magnit maydoni elektron va ionlarni plazma ustunida ushlab turadi va bu bilan ularning kamera devorlariga bo'g'ridan-to'g'ri tegishiga to'sqinlik qiladi. Plazma slumirning egilishlarga va boshqa mumkin bo'lgan shakl o'zgarishlariga nisbatan turg'un bo'lishi uchun «tokamak»da induksiya chiziqlari plazmadagi tok yo'nalishiga parallel bo'lgan kuchli magnit maydon hosil qilinadi. Bu stabilizatsiylovchi toroidal magnit maydonni toroidal kameraning tashqarisida o'rangan o'ramlar hosil qiladi. «Tokamak»da yaduri harorati plazma  $0,06 \pm$  gacha ushlab turiladi, bundan bir oz kam vaqt davomida toroidal kamerada geliy sintezi termoyadro reaksiyasi amalga oshadi.

Hozirgi vaqtda xalqaro hamkorlik asosida boshqariladigan termoyadroviy reaksiyani amalga oshirish yo'licha izlanishlar ham olib borilmoqda.

Shu kunda dunyoning 16 mamlakatida 100 dan ortiq atom elektrostansiyasi (AES) lar ishlab turibdi. Ularning umumiy elektr quvvati  $4 \cdot 10^7$  kVt dan ortiq. Bundan buyon energetik balansda yadroviy energitazkangan ulushi ortib boradi. Chunki dunyoda ishlatilayotgan energiyaning taxminan 70 % i neft va gaz yoqish hisobiga olinadi. Borgan sari o'stib borayotgan energiya ehtiyojlarini hisobga oisak, neft va tabiiy gaz zapaslari uzog'i bilan 50 yilga yetadi. Ko'mir yoqish hisobiga esa energiya ehtiyojlarini uzog'i bilan 500 yil davomida qondirish mumkin. Iku muammoni hal qilishda yadroviy energetikaga, ayiqqasa, kelgusida termoyadro reaksiyasiga muhim rol ajratilgan.

## Savollar

1. Atom yadrosi modelini Rezertford tomonidan kashf qilingandan keyin, yadro tarkibi protonlar va neytronlardan tashkil topganini birinchi qatorida kimlar aniqladi? Nuklon deganda nimani tushunasiz?
2. Yadroning massa soni qanday aniqlanadi va u nimalardan tashkil topgan?
3. Izotoplar deganda nimani tushunasiz? Izotoplarga misollar keltiring.
4. Yadro kuchlari zararlarni qanday kuchlar bilan bog'laydi?
5. Radioaktivlik hodisasi nima? U kim tomonidan kashf etilgan?
6. Radioaktiv o,  $\beta$  va  $\gamma$  -nurlarning tabiiati va xossalari qanday?
7. Radioaktiv yemirilishning o va  $\beta$  - siljish qoidalari nushunrtir.
8. Radioaktiv elementning yarim yemirilish davri va o'rtaacha yashash vaqti qanday?
9. Qanday jarayonlar yadro reaksiyalari deyiladi?
10. Yadro reaksiyalarida suqanlash qorunilarni aniq bajarilishini tasdiqlovchi misollar keltiring.
11. Uran-235 izotopining bo'linish reaksiyasini yozing va tushuntirib bering. Bu reaksiyada ajraluvchi energiyaning kattaligini aniqlang.
12. Yadro reaktorining tuzilishi va ishlab prinsipi tushuntirng.
13. Qanday yadro reaksiyasiga termoyadro reaksiyasi deyiladi? Bunday reaksiyaga misol keltiring.

Masalalar

85-masala.  ${}^7_3\text{Li}$  yadrosining massa defekti va bog'lanish energiyasi hisoblanin.

Berilgan:  $\frac{{}^7_3\text{Li}}{\Delta m - ? W - ?}$

**Yechish.** Yadro massasi har doim shu yadroni tashkil etuvchi erkin protonlar va neytronlar massasining yig'indisidan kichik. *Yadroning massa defekti*  $\Delta m$  shu yadroni tashkil etuvchi nuklonlar (proton va neytronlar) massasining yig'indisidan yadro massasini ayirishga teng, ya'ni

$$\Delta m = Zm_p + (A - Z)m_n - m_{yu} \quad (1)$$

bunda,  $Z$  - atom nomeri (zaryad soni) yoki yadrodagi protonlar soni;  $A$  - massa soni (yadrodagi nuklonlar soni);  $m_p, m_n, m_{yu}$  - proton, neytron va yadro massalari.

(1) formulani neytral atom massasi  $m_a$  orqali ifodalaymiz. Neytral atom massasi yadro massasi va atomdagi elektronlar massasining yig'indisiga teng

$$m_a = m_{yu} + Zm_e$$

Hundan

$$m_{yu} = m_a - Zm_e \quad (2)$$

(2) ifodani (1) ga qo'yamiz:

$$\Delta m = Z(m_p + m_e) + (A - Z)m_n - m_a \quad (3)$$

Massalar son qiymatini jadvallardan olib (3) ifodaga qo'yib:

$$\Delta m = [3 \cdot 1,00783 + (7 - 3) \cdot 1,00867 - 7,01601] m.a.b = 0,04216 m.a.b$$

Massa va energiyaning proporsionallik qonunidan

$$W = \Delta mc^2 \quad (4)$$

$c^2 = 9 \cdot 10^{16} \text{ m}^2/\text{s}^2$ , boshqa birliklar sistemastida  $c^2 = 931 \text{ MeV}/m.a.b$ .

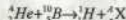
$$W = 931 \Delta m (\text{MeV}) \cdot 5 \text{ yoki}$$

$$W = 931 \cdot 0,04216 \text{ MeV} = 39,2 \text{ MeV}$$

86-masala.  $\alpha$  - zarracha bor yadro  ${}^{10}_5\text{B}$  bilan to'qnashishi tufayli yadroviy reaksiya amalga oshdi va natijada ikkita yangi yadro vujudga keldi. Agar birinchi yadro vodorod atomining yadrosi  ${}^1_1\text{H}$  bo'lsa ikkinchi yadroning massa soni va tartib nomeri aniqlansin. Yadroviy reaksiya yuzilgan va bu reaksiyada ajralib chiqqan energiya topilsin.

Berilgan:  $\frac{\alpha, {}^{10}_5\text{B}, {}^1_1\text{H}}{W - ?}$

**Yechish.** Noma'lum yadroni  $X$  simvoli bilan belgilaymiz.  $\alpha$  - zarracha bu gelyi yadrosi  ${}^4_2\text{He}$  bo'lganligi uchun yadroviy reaksiyani quyidagicha yozish mumkin:



Noma'lum yadrodagi nuklon sonini saqlanish qonunidan aniqlaymiz, ya'ni  $4 + 10 = 1 + A$ , bundan  $A = 13$ . Zaryad saqlanish qonunidan  $2 + 5 = 1 + Z$ , bundan  $Z = 6$ .

Demak, noma'lum yadro bu uglerod atom yadrosining izotopiga  ${}^{13}_6\text{C}$  mos keladi.

Endi yadro reaksiyasini to'liq yozish mumkin:



Reaksiya energiyasi ( $W$ ) quyidagi formuladan topiladi:

$$W = 93 [(m_{na} + m_e) - (m_n + m_e)]$$

Bu yerda birinchi qavs ichida reaksiya boshlanmasdan oldingi yadro massalari, ikkinchi qavs ichida reaksiyadan keyingi yadro massalari ko'rsatilgan. Hisoblash uchun bu formulada yadro massalari o'rniga neytral atomlar massalari olinadi. Buni sababini quyidagicha tushuntirish mumkin.

Neytral atom elektron qobig'laridagi elektronlar soni shu atomning zaryad soni  $Z$  ga teng. Reaksiyadan oldingi zaryadlar soni yig'indisi reaksiyadan keyingi zaryadlar soni yig'indisiga teng. Shu sababli gelyi va bor atomlaridagi elektronlar soni reaksiyadan keyingi hosil bo'lgan uglerod va vodorod atomlaridagi elektronlar soniga teng. Shu sababli elektronlar massasining ayirmasi o'zaro kompensatsiyalanadi (nolga teng) va formuladan faqat yadrolar massasining ayirmasi qoladi. Atomlar massasini (jadvalga qarag) formulaga qo'yib:

$$W = 931(4,00260 + 10,01291 - 1,00867 - 13,00335) \text{ MeV} = 4,06 \text{ MeV}$$

87-masala. Massasi  $m = 0,2 \text{ mkg}$  bo'lgan radioaktiv magniyning  ${}^{24}_{12}\text{Mg}$  boshlang'ich aktivligi  $A_0$  aniqlansin,  $t = 6$  soat vaqt o'tigandan keyin aktivlik qanday bo'ladi? Magniyning yarim yemirilish davri  $T_{1/2}$  ma'lum deb olinsin.

Berilgan:  $T_{1/2} = 10 \text{ min} = 600\text{s}$

$$m = 0,2 \text{ mkg} = 0,2 \cdot 10^{-6} \text{ kg}, \quad t = 6 \text{ soat} = 6 \cdot 3600\text{s}$$

$$A - ?$$

**Yechish.** Izotopning aktivligi  $A$  radioaktiv yemirilish tezligini xarakterlaydi, ya'ni  $dN/dt$  vaqt ichida yemirilgan yadrolar soni  $dN$  bilan o'lchanadi, ya'ni

$$A = -dN/dt \quad (1)$$

Manfiy «-» ishora radioaktiv yadrolar soni  $N$  vaqt o'tishi bilan kamayishini bildiradi.

« $dN/dt$ » ni aniqlash uchun radioaktiv yemirilish qonunidan foydalanamiz:

$$N = N_0 e^{-\lambda t} \quad (2)$$

Bunda  $N_0$  -  $t = 0$  vaqt momentidagi radioaktiv izotopdagi yadrolar soni;  $N_0 -$  boshlang'ich vaqtidagi ( $t = 0$ ) radioaktiv yadrolar soni;  $\lambda$  - radioaktiv yemirilish doimiyi.

(2) ifodani vaqt bo'yicha differensiallashtirish:

$$dN/dt = -\lambda N_0 e^{-\lambda t} \quad (3)$$

(1) va (3) formuladan: Izotopning boshlang'ich vaqtidagi ( $t=0$ ) aktivligi:

$$A = \lambda N_0 e^{-\lambda t} \quad (4)$$

yoki

$$A_0 = \lambda N_0 \quad (5)$$

Radioaktiv yemirish doimiyasi  $\lambda$  yarim yemirilish davri  $T_{1/2}$  bilan o'zaro quyidagicha bog'langan:

$$\lambda = (\ln 2) / T_{1/2} \quad (6)$$

Radioaktiv yadrolar soni  $N_0$  Avagadro doimiyasi  $N_A$  va  $\nu$  izotop miqdorining ko'paytmasiga teng:

$$N_0 = \nu N_A = \frac{m}{M} N_A \quad (7)$$

Bunda  $m$  - izotop massasi;  $M$  - molar massa.

(6) va (7) ifodalardan foydalansak, (5) va (4) formulalar quyidagi ko'rinishga keladi:

$$A_0 = \frac{m \ln 2}{M T_{1/2}} N_A \quad (8)$$

$$A = \frac{m}{M} \cdot \frac{\ln 2}{T_{1/2}} N_A e^{-\frac{\ln 2}{T_{1/2}} t} \quad (9)$$

Hisoblashlarni bajaramiz:

$$T_{1/2} = 10 \text{ min} = 600 \text{ s}$$

$$\ln 2 = 0,692, \quad 1 - 0,6 = 0,4 = 2,16 \cdot 10^{-1}$$

$$A_0 = \frac{0,2 \cdot 10^{-9} \cdot 0,693}{27 \cdot 10^{-3} \cdot 600} \cdot 6,02 \cdot 10^{23} \text{ Bk} = 5,13 \cdot 10^{12} \text{ Bk} = 5,13 \text{ T Bk}$$

$$A = \frac{0,2 \cdot 10^{-9} \cdot 0,693}{27 \cdot 10^{-3} \cdot 600} \cdot 6,02 \cdot 10^{23} e^{-\frac{0,693}{600} \cdot 2,6 \cdot 10^8} \text{ Bk} = 81,3 \text{ Bk}$$

**88-masala.** Uran  $^{235}_{92}\text{U}$  da ishlaydigan va quvvati  $R=500000$  kVt bo'lgan atom elektr stansiyasining foydali ish ko'rsatkichi  $\eta_1=20\%$ . Toshko'mirda ishlaydigan xuddi shunday quvvatli issiqlik elektr stansiyasining foydali ish ko'rsatkichi  $\eta_2=75\%$ .

Atom elektr stansiyasi yoqilg'isining yillik sarfi massasi  $m_1$  va issiqlik elektr stansiyasi yoqilg'isining yillik sarfi massasi  $m_2$  aniqlansin,  $^{235}_{92}\text{U}$  yadrosi bo'linishining har bir aktida  $W_1=200$  MeV energiya ajraladi, Toshko'mirning issiqlik berish qobiliyati  $W_2=2,93 \cdot 10^7$  J/kg.

$$P = 500000 \text{ kVt}, \quad \eta_1 = 20\%; \quad \eta_2 = 75\%;$$

$$\text{Berilgan: } W_1 = 200 \text{ MeV}; \quad W_2 = 2,93 \cdot 10^7 \text{ J/kg}$$

$$m_1 \sim ?, \quad m_2 \sim ?$$

**Yechish.** Ushbu belgilashlarni kiritamiz:

$\Delta m = \frac{235}{92} U$  atomi massasi,  $n$  - elektr stansiyasining bir yil ishlashida parchalanadigan uran atomlari soni.  
U vaqtda

$$\Delta m = \frac{A}{N} \quad (1)$$

Bunda  $A=235$  kg/kmol -  $^{235}_{92}\text{U}$  kilomolining massasi va  $N$  - Avagadro soni.

Shunday yozish mumkin:

$$m_1 = n \cdot \Delta m = n \cdot \frac{A}{N} \quad (2)$$

1 yil vaqtda parchalanadigan uranning barcha atomlari ajratadigan energiya  $Q_1$  ga teng. Bu energiyaning foydali ishg'a sarf bo'luvchi, ya'ni atom elektr stansiyasining foydali quvvati  $R$  ni hosil qiluvchi qismi

$$W_1 = m_1 \eta_1 \quad (3)$$

Ikkinchi tomondan

$$W_1 = Pt \quad (4)$$

Bu tengliklarni o'ng tomonlarini o'zaro tenglashtirib, ushuni topamiz:

$$n = \frac{Pt}{w_1 \eta_1} \quad (5)$$

(5) ifodani (2) ga qo'yib, quyidagini olamiz:

$$m_1 = \frac{PtA}{w_1 \eta_1 N} = \frac{5 \cdot 10^8 (365 \cdot 24 \cdot 60 \cdot 60) 235}{2 \cdot 10^8 \cdot 1,6 \cdot 10^{10} \cdot 0,2 \cdot 6,02 \cdot 10^{23}} = 961 \text{ kg}$$

Issiqlik elektr stansiyasida 1 yilda yoqiladigan toshko'mirdan ajraladigan energiya  $m_2 w_2$  ga teng. Bu energiyaning foydali ismi bajarishga ketadigan qismi

$$W_2 = m_2 w_2 \eta_2 = Pt$$

bundan

$$m_2 = \frac{Pt}{w_2 \eta_2} = \frac{5 \cdot 10^8 \cdot 3,15 \cdot 10^7}{2,93 \cdot 10^7 \cdot 0,75} = 7,17 \cdot 10^8 \text{ kg}$$

Shunday qilib,  $\frac{m_2}{m_1} = \frac{7,17 \cdot 10^8}{961} = 7,46 \cdot 10^5$  nisbatdan yadro

voqig'ining sarfi massasiga ko'ra, toshko'mizga qaraganda qariyb million marta xichik ekan.

24.1. Kosmik nurlar

Yer yuziga kosmosdan kelayotgan nurlarni *kosmik nurlari* deb nomlanadi. Bu nurlarni birlamchi va ikkilamchi nurlar tarzida o'rganamiz.

**Birlamchi kosmik nurlarga** Yer atmosferasiga olam fazodan juda katta tezlikda uchib keladigan atom yadrolari oqimi (asosan, protonlar va  $\alpha$ -zarralar) kiradi. Ibu yadrolarning havo tarkibiga kiruvchi atomlar yadrolari bilan to'qnashishidan yangi yadrolar va turli elementar zarralar hosil bo'ladi, ularning oqimlari **ikkilamchi kosmik nurlar** deyiladi. Birlamchi kosmik nurlarning ancha miqdori atmosferada yutiladi, shuning uchun Yer yuziga, asosan, ular vujudga keltirgan ikkilamchi kosmik nurlar yetib keladi.

Kosmik nurlarni 1912-yilda nemis fiziklari V.Gess, Gokkel va Gyunkelllar kashf qilishdi. Bu nurlarning kelib chiqishi sababallari haligacha aniqlangan emas, bu to'g'rida faqat qator gipotezalar mavjud. Ular orasida haqiqatga yaqinrog'i V.L.Ginzberg va I.S. Shklovskiyning gipotezasi bo'lib, ulara kosmik nurlar o'ta yangi yulduzlarning chiqishida generatsiya qilindi deb faraz qilindi.

Birlamchi kosmik nurlar zarralarining o'rtacha kinetik energiyasi taxminan  $10^9$  MeV, aytin zarralar  $10^{12}$  MeV chamasida energiyaga ega bo'ladi. Bunday zarralarning modda bilan to'qnashishida, asosan, yangi yadro reaksiyalari vujudga keladi.

Ikkilamchi nurlanish ikki komponentidan iborat: birinchisi yumshoq komponenta, u  $8-10$  sm qalinlikdagi qo'rg'oshinda yutiladi, ular elektron pozitron juftlari jalsidan iborat. Ikkinchisi qattiq komponent  $10$  sm bo'lgan qo'rg'oshindan bemaol o'tib keta oladi, qattiq komponenta mezonlar oqimidan iborat. Mezonlar kosmik nurlar qattiq komponentasining jism bilan ta'arlashuvini o'rganish nufayb kashf qilindi. Mezonlar massasi elektron massasidan 200 marta kattadir. Musbat va manfiy mezonlar mavjud bo'lib, ular mos ravishda  $\mu^+$  va  $\mu^-$  harflari bilan belgilanadi. Myunczonlar zamonaviy massa qiymati  $m_{\mu} \approx 207 m_e$  ga teng. Myunczonlar  $\tau \approx 2 \cdot 10^{-6}$  s davr ichida



sxema bo'yicha yemiriladi.

Kosmik nurlarni o'rganish jarayonida yana bir nechta elementar zarralar kashf etildi.

24.2. Elementar zarralar

Hozirgi vaqtda barqaror bo'lgan va o'rtacha yashash vaqti  $10^{17}$  s dan kam bo'lmagan 35 ta elementar zarra mavjud. Bulardan tashqari o'rtacha yashash vaqti  $10^{12}$  s  $10^{-25}$  s bo'lgan **rezonanslar** deb ataladigan 100 dan ortiq zarralar ham mavjud.

Barcha elementar zarralar tinch holatdagi massasi, elektr zaryadi, o'rtacha yashash vaqti va boshqa ba'zi fizik kattaliklari bilan sarakterlanadi.

Elementar zarralarni ularning tinch holatdagi  $m_0$  massalariga ko'ra quyidagi 4 guruhga ajratish mumkin:

1. Fotonlar ( $m_0 = 0$ ).
2. Leptonlar yoki yengil zarralar ( $0 < m_0 < m_e$ ).
3. Mezonlar yoki o'rta og'irlikdagi zarralar ( $m_e < m_0 < m_p$ ).

4. Barionlar yoki og'ir zarralar ( $m_1 < m_2 < m_3$ ) bu yerda  $m_1$ ,  $m_2$  va  $m_3$  lar mos ravishda elektron, proton va deytрон (og'ir vodород yadrosi) ning tinch holatidagi massalari. Barionlar o'z navbatida yana nuklonlar va giperonlarga bo'linadi.

Hozirgi vaqtda deyarli barcha zarralarning (foton, pino-l-mezon va etamezon dan tashqari) antizarralari mavjudligi aniqlandi. Antizarrani belgilash uchun zarraning belgisidan foydalaniladi, faqat belgi tepasiga chiziqcha qo'yiladi. 24.1-jadvalda zarralar va ularning antizarralari keltirilgan.

24.1-jadval

Zarralar nomi	Belgisi		Tinchlikdagi massa, MeV	Yashash doimiyligi, s
	zarralar	antizarralar		
Foton	$\gamma$		0	Barqaror
Leptonlar				
elektron	$e^-$	$e^+$	0,511	Barqaror
Myu-mezon	$\mu^-$	$\mu^+$	106	$2 \cdot 10^{-8}$
neytrino	$\nu$	$\bar{\nu}$	0	Barqaror
Mezonlar				
Pi-mezon	$\pi^+$	$\pi^-$	140	$2,6 \cdot 10^{-8}$
Pi-nol-mezon	$\pi^0$		135	$0,8 \cdot 10^{-16}$
Ka-mezon	$K^+$	$K^-$	491	$1,2 \cdot 10^{-8}$
Ka-nol-mezon	$K^0$	$\bar{K}^0$	498	$10^{10} \cdot 10^{-8}$
eta-mezon	$\eta$		549	$2,4 \cdot 10^{-18}$
Barionlar				
proton	$p$	$\bar{p}$	938,2	Barqaror
neytron	$N$	$\bar{N}$	939,6	$0,9 \cdot 10^3$
lyambda-giperon	$\lambda$	$\bar{\lambda}$	1116	$2,5 \cdot 10^{-11}$
sigma-plus-giperon	$\Sigma^+$	$\bar{\Sigma}^+$	1180	$0,8 \cdot 10^{-10}$
sigma-nol-giperon	$\Sigma^0$	$\bar{\Sigma}^0$	1192	$< 10^{-11}$
sigma-minus-giperon	$\Sigma^-$	$\bar{\Sigma}^-$	1197	$1,5 \cdot 10^{-10}$
ksi-nol-giperon	$\Xi^0$	$\bar{\Xi}^0$	1315	$3 \cdot 10^{-10}$
ksi-minus-giperon	$\Xi^-$	$\bar{\Xi}^-$	1321	$1,7 \cdot 10^{-10}$
omega-minus-giperon	$\Omega^-$	$\bar{\Omega}^-$	1672	$1,3 \cdot 10^{-10}$

24.1-jadvaldan ko'rinadiki, barcha zarralar to'rt guruhga joylashtirilgan. Birinchi guruhga o'zining xususiyatlari bilan boshqa zarralardan ajralib turadigan elektromagnit magnit kvanti - foton kiradi.

Elementar zarralardan faqat uchitasi - elektron, proton va neytronlar asosiydir; atomlar va bizi o'rab olgan butun moddiy olam shu zarrachalardan tuzilgan. Elementar zarraning zaryadi  $+1e$ ,  $-1e$  ga yoki 0 ga teng; ikkinci guruhdan ortiq zaryadli zarralar yo'q. Elementar zarralarning ko'pchiligi barqaror emas va ularning ko'pchiligini yashash vaqti nisbatan qisqadir.

Har bir zarraga (foton va pino-l-mezon dan tashqari) antizarralar mos keladi. Zarralar va anti zarraning massasi, elektr zaryadining miqdori bir xil, ammo zaryad ishorati qarama-qarshidir. Zarralar va antizarraga elektron va pozitron (antielektron), proton va antiproton, myu-plus-mezon va myu-minus-mezon lar misol bo'lib va hokazo.

Zarralar antizarralar bilan to'qnashganda boshqa elementar zarralarga aylanadi, bunda, ularning ikkalasi ham avvalgi holdagi mavjudligini yo'qotadi. Bu jarayon **julfar annigilyatsiyasi** deb yuritiladi.

Julfar annigilyatsiyasiga proton va antiprotonning pino-l-mezon ( $P + \bar{P} \rightarrow 2\pi^0$ ) aylinishi, elektron va pozitronning fotonlarga ( $e^- + e^+ \rightarrow 2\gamma$ ) aylinishi misol bo'lib.

Annigilyatsiyaga teskari jarayon ham uchraydi, bunday jarayonlar rasiyasida zarralar va ularga mos antizarralar paydo bo'lib. Bu jarayon **julfarlar hosil bo'lishi** deb ataladi. Julfarlar hosil bo'lishiga fotonning elektron va pozitronga aylinishi misol bo'la oladi.

$$\gamma \rightarrow e^- + e^+$$

Shunday qilib, bir-biriga aylana olish elementar zarralarning eng xarakterli belgisidir. Elementar zarralar bo'linmaydi, lekin ular bir-biriga aylash xususiyatiga ega.

### Savollar

1. Elementar zarrachalarning hosil bo'lish usullarini va elementar zarralar fizikasi nimalarni o'rganishini tushuntiring.
2. Barcha elementar zarralarning xarakterli xususiyati, ularning bir-biriga aylantirishdan iborat ekanini tushuntiring.
3. Barcha barqaror elementar zarralarni sanab bering va julfar annigilyatsiyasi nima ekanligini tushuntiring.
4. Tarixda kuchli o'zaro ta'sirlanuvchi zarralarning kvark nazariyasi yaratilishini va bu nazariyani tasdiqlovchi eksperimental natijalarni gapiring.

### Masalalar

89-masala. Proton va neytronlar nechtadan kvarkni o'z ichiga oladi, ular qaysilar?

Berilgan:  $U$  kvark, zaryadi  $+\frac{2}{3}e$   
 $d$  kvark, zaryadi  $-\frac{1}{3}e$

R-? a-?

**Yechish.** 1) Proton uchta kvarklardan - ikkita  $U$  kvark (har birining zaryadi  $+\frac{2}{3}e$  bo'lgan) va bitta  $d$  kvark ( $-\frac{1}{3}e$  zaryadidan iborat ekanligi eksperimental tekshirishdan o'tdi. Tajriba natijalarini sinchiklab tahlil qilganda,

elektr zaryadli proton ichida uch nuqtada bo'lishini va mos holda  $+\frac{2}{3}e$ ,  $+\frac{2}{3}e$  va  $-\frac{1}{3}e$  ga tengligini ko'rsatdi.

2) Kvarik nazariyasiga ko'ra neytron ham uchta kvarkdan tuzilgan: bitta U kvark ( $q_u = \frac{2}{3}e$ ) va ikkita d kvark ( $q_d = -\frac{1}{3}e$ ). Shuning uchun u elektr jihatdan neytral.

#### FOYDALANILGAN ADABIYOTLAR

1. А.А. Дегтаф, Б.М. Яворский. «Курс физики». М. 1989 г.
2. Кл. Е.Сюре «Необываемая физика обыкновенных явлений» М.: 1986 г.
3. Г. Линдлер «Физика в космосе». М.: 1966 г.
4. М.Я. Кутурин «Физика в сельском хозяйстве» М.: «Просвещение», 1985 г.
5. I.V. Savelev «Umumiy fizika kursi», Toshkent, «O'qituvchi» 1973, 1979, 1987, I - III tomlar.
6. Т.И. Трофимова М.: «Высшая школа» 1985 г.
7. О. Ахмедjonov «Fizika kursi» Toshkent «O'qituvchi» I tom, 1985, II tom, 1988, III tom 1989-y.
8. O'K. Nazarov, H.Z. Ikramova va K.A. Tursumetov «Umumiy fizika kursi», Mexanika va molekulyar fizika. Toshkent «O'zbekiston» 1992 y., 279-bet.
9. A.S. No'monxo'jaev «Fizika kursi» I qism. Mexanika, statistik fizika, termodinamika. Toshkent «O'qituvchi» 1992-y., 208-bet.
10. X.M. Abdurahadov, T.T. Turg'umov, M.I. Turg'umova «Amaliy fizika» I qism. Toshkent «O'qituvchi» - 1996 y., 296 bet.
11. M. Imomtov, P.Xabibullayev, M. Xalilulin «Fizika kursi», Toshkent, «O'zbekiston» 2000, 470-bet.
12. P.И. Грабосский «Курс физики» М.: «Высшая школа», 1974, 552 бет.
13. А.С. Шубин. «Курс физики», М., «Высшая школа», 1976, 470-бет.
14. П.А. Ризаев «Курс физики», М. «Высшая школа», 1975, 463 бет.
15. А.С. Сафаров «Umumiy fizika kursi» - elektromagnetizm va to'rlar. Toshkent, «O'qituvchi» 1992, II qism.
16. A.O' Rahimov, B.O Otaqulov «Elektrodinamika va nisbiylik nazariyasi», Toshkent «O'qituvchi» I - II qism 1985-yil.

## MUNDARIJA

SO'Z BOSHI .....	3
<i>I bob. KINEMATIKA ASOSLARI</i> .....	8
1.1. Sanoq sistemasi. Moddiy nuqta kinematikasi .....	8
1.2. Moddiy nuqtaning to'g'ri chiziqli harakati .....	10
1.3. Moddiy nuqtaning egri chiziqli harakati. Tangensial va normal tezlanishlar .....	12
1.4. Moddiy nuqtaning aylana bo'ylab harakati .....	14
<i>II bob. DINAMIKANING ASOSIY QONUNLARI</i> .....	19
2.1. Nyutonning birinchi qonuni. Massa va kuch .....	19
2.2. Nyutonning ikkinchi qonuni .....	20
2.3. Nyutonning uchinchi qonuni .....	21
2.4. Impuls va uning saqlanish qonuni .....	21
2.5. Moddiy nuqtalar sistemasining massa markazi harakati .....	23
2.6. Massasi o'zgaruvchi jismining harakat tenglamasi .....	24
<i>III bob. QATTIQ JISM MEKANIKASI</i> .....	28
3.1. Kuch momenti va impuls momenti .....	28
3.2. Qattiq jismining aylanish o'qiga nisbatan inersiya momenti. Shteyner teoremasi .....	29
3.3. Aylanma harakat qilayotgan qattiq jismining kinetik energiyasi .....	30
3.4. Aylanma harakat dinamikasining asosiy qonuni .....	31
3.5. Impuls momenti va uning saqlanish qonuni .....	32
<i>IV bob. ISH, QUUVAT, ENERGIYA</i> .....	36
4.1. Ish va quvvat .....	36
4.2. Energiya. Energiyaning saqlanish qonuni .....	37
4.3. Absolut elastik va noelastik urilishlar .....	39
<i>V bob. NISBIYLIK NAZARIYASI ELEMENTLARI</i> .....	48
5.1. Galileyning nisbiylik prinsipi .....	48
5.2. Nisbiylik prinsipining postulatları .....	49
5.3. Lorens almashtirishlari .....	49
5.4. Relativistik dinamikaning asosiy qonuni .....	51
5.6. Klassik mexanikaning qo'llanish chegaralari .....	53
<i>VI bob. MAKROSKOPIK HOLATLAR</i> .....	57
6.1. Fizika hodisalarini tekshirishda dinamik, statistik va termodinamik usullar .....	57
6.2. Makroskopik sistema parametrlari .....	57
6.3. Issiqlik harakati .....	59

6.4. Ideal gazning holat tenglamasi .....	59
6.5. Ideal gaz molekular - kinetik nazariyaning asosiy tenglamasi .....	62
6.6. Gaz molekularining tezliklari va energiyalari bo'yicha taqsimlanishiga oid Maksvell qonuni .....	63
6.7. Bolsman taqsimot qonuni .....	64
<i>VII bob. TERMODINAMIKA ASOSLARI</i> .....	72
7.1. Ichki energiya .....	72
7.2. Issiqlik miqdori. Issiqlik sig'imi .....	73
7.3. Termodinamikaning birinchi bosh qonuni va uni gaz izojarayonlariga tatbig'i .....	74
7.4. Issiqlik sig'imining klassik nazariyasi va uning chegaralanganligi .....	78
7.5. Qaytar va qaytmas jarayonlar .....	79
7.6. Termodinamikaning ikkinchi bosh qonuni .....	80
7.7. Karno sikli va uning foydali ish koeffitsiyenti .....	82
<i>VIII bob. REAL GAZLAR</i> .....	86
8.1. Molekularlar orasidagi o'zaro ta'sir kuchlari .....	86
8.2. Van-der-Vaals tenglamasi .....	86
8.3. Real gazning ichki energiyasi. Joul-Tomson effekti .....	88
8.4. Gazlarni suyultirish .....	89
Demak, real gaz uchun Klapeyron-Mendeleyev tenglamasini qo'llash bu gazning parametrlarini hisoblashda anchagina noaniqlikka olib kelar ekan .....	92
<i>IX bob. ELEKTROSTATIKA</i> .....	93
9.1. Kulon qonuni .....	93
9.2. Elektr maydon va uning kuchlanganligi .....	94
9.3. Kuchlanganlik chiziqlari. Gauss teoremasi .....	95
9.4. Elektrostatik maydon kuchlarining ishi. Potensial .....	97
<i>X bob. ELEKTR MAYDONIDA O'TKAZGICHLAR</i> .....	104
10.1. O'tkazgichda zaryadlarning taqsimlanishi .....	104
10.2. O'tkazgichning elektr sig'imi. Kondensatorlar .....	105
10.3. Elektrostatik maydon energiyasi .....	106
<i>XI bob. O'ZGARMAS ELEKTR TOKI</i> .....	111
11.1. Elektr tokining mavjudlik sharti va uning asosiy xossalari .....	111
11.2. Elektr yurituvchi kuch va kuchlanishi .....	111
11.3. Om qonuni. O'tkazgichning qarshiligi .....	113
11.4. Zanjirning bir jinsli bo'lmagan qismi uchun Om qonuni .....	114

11.5. Joul - Lens qonuni	116
11.6. Kirxgof qoidalari	116
11.7. Gazlarda elektr toki	118
11.8. Plazma	120
<i>XII bob. MAGNIT MAYDON</i>	124
12.1. Magnit maydon va uning xarakteristikasi	124
12.2. Bio-Savar-Laplas qonuni	126
12.3. Magnit maydondagi tokli o'tkazgichga ta'sir qiluvchi kuch. Amper kuchi	127
12.4. Lorens kuchi	128
<i>XIII bob. ELEKTROMAGNIT INDUKSIYA</i>	133
13.1. Elektromagnit induksiya hodisasi	133
13.2. O'zinduksiya va o'zaroinduksiya	135
13.3. Magnit maydon energiyasi	136
13.4. Moddalarning magnit xossalari	137
13.5. Elektromagnit maydon uchun Maksvell tenglamalari	141
<i>XIV bob. MEXANIK VA ELEKTROMAGNIT</i>	
TEBRANISHLAR	149
14.1. Mexanik garmonik tebranishlar tenglamasi	149
14.2. Elektromagnit garmonik tebranishlar	150
14.3. Mayatniklar	153
14.4. Bir xil yo'nalishdagi tebranishlarni qo'shish	156
14.5. O'zaro perpendikular tebranishlarni qo'shish	157
14.6. Garmonik tebranishlar energiyasi	158
14.7. So'nuvchi va majburiy tebranishlar. Rezonans	159
14.8. To'lqin jaryonlar. Yassi sinusoidal to'lqin	163
14.9. Fazaviy va gruppaviy tezliklar	165
14.10. To'lqinlar interferensiyasi. Turg'un to'lqinlar	166
14.11. Elektromagnit to'lqinlar. Umov vektori	167
<i>XV bob. YORUG'LIKNING TO'LQIN TABIATI</i>	175
15.1. Yorug'likning interferensiyasi	175
15.2. Yupqa qatlamlardagi yorug'lik interferensiyasi	179
15.3. Yorug'lik interferensiyasining qo'llanishi	180
15.4. Interferometrlar	180
15.5. Yorug'lik difraksiyasi. Gyuygens - Frenel prinsipi	181
15.6. Frenel zonaları, Fraungofer difraksiyasi. Difraksion panjara	182
15.7. Rentgen nurlari difraksiyasi	184

15.8. Golografiya	185
<i>XVI bob. YORUG'LIKNING ELEKTROMAGNIT</i>	
TABIATI	190
16.1. Yorug'lik dispersiyasi	190
16.2. Dispersiyaning elektron nazariyasi	190
16.3. Yorug'likning qutblanishi. Tabiiy va qutblangan yorug'lik	193
16.4. Yorug'likning qaytishida va sinishida qutblanishi	194
16.5. Nurning ikkilanib sinishi. Kristallning optik o'qi	195
16.6. Qutblovchi prizmalar. Malys qonuni	195
16.7. Yorug'likning sochilishi	196
16.8. Nochiziqliy optika elementlari	197
<i>XVII bob. YORUG'LIKNING KVANT TABIATI</i>	203
17.1. Issiqlik nurlanishi. Absolut qora jism nurlanishidagi qonuniyatlar	203
17.2. Fotoeffekt va uning qonunlari	208
<i>XVIII bob. ATOM TUZILISHINING BOR</i>	
NAZARIYASI	214
18.1. Atomning Rezerford modeli	214
18.2. Vodorod atomi spetridagi qonuniyatlar	216
18.3. Bor postulatları	217
18.4. D. Frank va G. Gers tajribasi	218
18.5. Bor nazariyasiga ko'ra vodorod atomi spektri	219
<i>XIX bob. KVANT MEXANIKASI ELEMENTLARI</i>	224
19.1. De-Broyl gipotezasi. Elektronlar difraksiyasi	225
19.2. Geyzenbergning noaniqliklar munosabati	226
19.3. To'lqin funksiya va uning statistik ma'nosi. Shredinger tenglamasi	227
19.4. Kvant mexanikasida garmonik ossillator	233
<i>XX bob. ATOM VA MOLEKULALAR FIZIKASI</i>	239
20.1. Vodorod atomining kvant nazariyasi	239
20.2. Shtern va Gerlax tajribasi. Elektronning spini	241
20.3. Pauli prinsipi	243
20.4. D. I. Mendeleyev elementlar davriy sistemasi	244
20.5. Molekulalar. Molekulalar kimyoviy bog'lanishining fizik tabiati	247
<i>XXI bob. KVANT STATISTIKASI ELEMENTLARI</i>	253
21.1. Kvant tizimining statistik tavsifi	253



21.2. Metallardagi elektronlarning kvant statistikasi.....	255
21.3. Metallar elektr o'tkazuvchanligining kvant nazariyasi .....	256
21.4. Yarimo'tkazgichlar fizikasi.....	257
21.5. O'ta o'tkazuvchanlik hodisasi.....	261
21.6. Majburiy nurlanish. Optik kvant generatorlari (lazerlar).....	262
<i>XXII bob. QATTIQ JISMLAR FIZIKASI</i>	
ELEMENTLARI.....	267
22.1. Kristallarning tuzilishi.....	267
22.2. Kristallardagi nuqsonlar.....	269
22.3. Fononlar. Kristallarning issiqlik sig'imi.....	270
22.4. Myossbauer effekti.....	272
<i>XXIII bob. YADRO FIZIKASI ELEMENTLARI</i>	
23.1. Atom yadrosining tarkibi. Yadroning massa va zaryad soni.....	276
23.2. Radioaktivlik.....	277
23.3. Yadroviy reaksiyalar.....	276
23.4. Yadrolarning bo'linishi.....	281
23.5. Zanjir reaksiya. Reaktorlar.....	282
23.6. Termoyadroviy reaksiyalar. Yulduzlar energiyasi.....	285
<i>XXIV bob. ELEMENTAR ZARRALAR</i>	
24.1. Kosmik nurlar.....	293
24.2. Elementar zarralar.....	293
Foydalanilgan adabiyotlar.....	297

NO'MONJON SULTANOV

## FIZIKA KURSI

Toshkent - «Fan va texnologiya» - 2007.

Muharrir:	M. Mirkomilov
Texnik muharrir:	A. Moydinov
Musahhah:	M. Hayitova
Sahifalovchi:	A. Shoxamedov

Bosishga ruxsat etildi: 28.07.07. Bichimi 60x84 1/16. «TimesUZ»  
garniturasida. Ofset usulida bosildi. Shartli bosma tabog'i 19.  
Nashr bosma tabog'i 15,2. Adadi 1000, Buyurtma № 45.

1997 - YIL

1. ...  
2. ...  
3. ...  
4. ...  
5. ...  
6. ...  
7. ...  
8. ...  
9. ...  
10. ...  
11. ...  
12. ...  
13. ...  
14. ...  
15. ...  
16. ...  
17. ...  
18. ...  
19. ...  
20. ...  
21. ...  
22. ...  
23. ...  
24. ...  
25. ...  
26. ...  
27. ...  
28. ...  
29. ...  
30. ...  
31. ...  
32. ...  
33. ...  
34. ...  
35. ...  
36. ...  
37. ...  
38. ...  
39. ...  
40. ...  
41. ...  
42. ...  
43. ...  
44. ...  
45. ...  
46. ...  
47. ...  
48. ...  
49. ...  
50. ...  
51. ...  
52. ...  
53. ...  
54. ...  
55. ...  
56. ...  
57. ...  
58. ...  
59. ...  
60. ...  
61. ...  
62. ...  
63. ...  
64. ...  
65. ...  
66. ...  
67. ...  
68. ...  
69. ...  
70. ...  
71. ...  
72. ...  
73. ...  
74. ...  
75. ...  
76. ...  
77. ...  
78. ...  
79. ...  
80. ...  
81. ...  
82. ...  
83. ...  
84. ...  
85. ...  
86. ...  
87. ...  
88. ...  
89. ...  
90. ...  
91. ...  
92. ...  
93. ...  
94. ...  
95. ...  
96. ...  
97. ...  
98. ...  
99. ...  
100. ...

«Fan va texnologiyalar Markazining bosmaxonasi»da chop etildi.  
700003, Toshkent shahri, Olmazor ko'chasi, 171-uy.

«Fan va texnologiyalar Markazining bosmaxonasi»da chop etildi.  
700003, Toshkent shahri, Olmazor ko'chasi, 171-uy.